

T. C.  
İSTANBUL TEKNİK ÜNİVERSİTESİ  
KÜTÜPHANESİ  
Sayı : 1253

# LEKTRONİK DEVRELERİ

(Cilt — I)

**Prof. Dr. Duran LEBLEBİÇİ**  
(İ.T.Ü. Elektrik - Elektronik Fakültesi)

**İ S T A N B U L**  
Teknik Üniversitesi Matbaası  
Gümüşsuyu — 1983



## ÖNSÖZ

Bu kitap, şimdije kadar yenilenerek ve genişletilerek birçok kez basılmış olan «Elektronik Devreleri I», «Elektronik Devreleri ve Sentezi I» ve «Elektronik Devreleri ve Sentezi II» ders notlarının bir araya getirilmesi ile oluştu. Öğrencilere elektronik devrelerinin davranışlarını mümkün olduğu kadar açık - seçik bir biçimde anlatma ve böylece edinilen bilgileri devre tasarımlına uygulama yeteneği kazandırma amacı ön plânda tutularak hazırlanan kitapta örneklerin ve problemlerin de «mühendislik» formasyonunun oluşmasına yardımcı olacak şekilde düzenlenmesine özen gösterildi. Kitap, adından da anlaşılacağı gibi «devre» ağırlıklıdır. Elektronik devrelerinde kullanılan «elemanlar» ile ilgili bilgilerin, kitaptaki konuların izlenebilmesi için gerekli bir minimum seviyede özetlenmesi ile yetinmiştir. Elektronik devrelerinin bu birinci cildin kapsamı dışında kalan bölümü de geribesleme, osilatörler, analog işlem blokları, dijital işlem blokları ve besleme devrelerini içine alacak olan 2. ciltte verilmeye çalışılacaktır.

Kitabın bugünkü sekline ulaşmasında pek çok kimsenin değerli katkıları oldu. İlk ders notumu hazırlama teşvikini ve cesaretini hocam Prof. Dr. Mustafa Santur'dan aldım. İlk «Elektronik Devreleri ve Sentezi» ders notu onun eleştirileri, tavsiyeleri ve düzeltmeleri ile gelişerek 1969'da basıldı ve bu kitabın nüvesini teşkil etti. Gerek bu not, gerekse onun yenilenmiş şekilleri ve diğerleri, ders aracı olarak kullanıldığı sınıflarda öğrencilerimin tepkileri —veya tepkisizlikleri— yahut eleştirileri ile olgunlaşarak son şeklini aldı. Birçok konu da meslektaşlarımıyla yaptığım konuşmalar - tartışmalarla olgunlaşa. Bunlardan, çok erken kaybettigim kıymetli oda arkadaşım Y. Müh. Aldo D'Orfani'yi anmak ve meslektaşım —ve eşim— Y. Müh. Yıldız Leblebici'yi özellikle belirtmek isterim.

Kitabın oluşması sırasında el yazmalarını sabırla daktilo eden Nadiye Kalkan ve Aknur Kalenderli'ye, şekilleri özenle çizen Aylâ Gültekin'e, klişe, dizgi ve basım işlerini titizlikle yürüten Yıldırım Yürek'e ve ekibine de içten teşekkürlerimi sunarım.

Mayıs, 1983  
Duran LEBLEBICI



*Hocam*  
**MUSTAFA SANTUR'un**  
*amsına*



## İÇİNDEKİLER

### 1. GİRİŞ

Sayfa

|  |   |
|--|---|
| 1.1. Elektronik Devre Elemanlarına Genel Bir Bakış . . . . . | 1 |
| 1.2. Ana Elektronik Devre Elemanı Grupları . . . . .         | 3 |

### 2. VAKUMLU ELEKTRONİK DEVRE ELEMANLARI (ELEKTRON TÜPLERİ)

|  |    |
|--|----|
| 2.2. Vakumlu Diyot . . . . .                             | 11 |
| 2.1. Isı İle Elektron Salma Olayı . . . . .              | 10 |
| 2.3. Triyot . . . . .                                    | 12 |
| 2.4. Pentot . . . . .                                    | 17 |
| 2.5. Tüplerin Yüksek Frekans Esdeğer Devreleri . . . . . | 18 |
| 2.6. Tüplerin Beslenmeleri . . . . .                     | 19 |

### 3. YARIİLETKEN ELEKTRONİK DEVRE ELEMANLARI

|  |    |
|--|----|
| 3.1. Yarıiletkenler . . . . .  | 22 |
| 3.2. p-n Jonksiyonu . . . . .  | 24 |
| 3.3. Yarıiletken Diyot . . . . .   | 29 |
| 3.4. Tranzistor . . . . .  | 33 |
| 3.4.1. Giriş . . . . .   | 33 |
| 3.4.2. Tranzistor Özegrileri . . . . .   | 38 |
| 3.4.3. Tranzistorun Kuvvetlendirici Olarak Kullanılması .                        | 42 |
| 3.4.4. Tranzistorların Beslenmesi . . . . .                                      | 48 |
| 3.4.4.1. Tranzistorlarda Çalışma Noktasının Kararlılığı . . . . .                | 52 |
| 3.4.4.2. Geribeslemeli Kutuplama Devreleri . . . . .                             | 57 |
| 3.4.4.3. Kompanzasyonlu Kutuplama Devreleri . . . . .                            | 66 |
| 3.4.4.4. Isıl Sürüklenme . . . . .   | 69 |
| 3.4.5. Tranzistorların Küçük İşaret Esdeğer Devreleri ve Parametreleri . . . . . | 71 |

|             |   |            |
|-------------|---|------------|
| 3.4.5.1.    | Ortak Emetörlü Devrede h Parametreleri . . . . .                                  | 72         |
| 3.4.5.2.    | Ortak Emetörlü Devrede y Parametreleri . . . . .                                  | 79         |
| 3.4.5.2.    | Tranzistorun Fiziksel Parametreleri . . . . .                                     | 84         |
| 3.4.5.4.    | Tranzistorların Yüksek Frekanslar İçin<br>Eşdeğer Devreleri . . . . .             | 89         |
| 3.4.5.5.    | Tranzistorların Sınır Frekansları . . . . .                                       | 97         |
| 3.4.5.6.    | Tranzistorların Büyüük İşaret Modelleri<br>(Ebers - Moll Modelleri) . . . . .     | 100        |
| <b>3.5.</b> | <b>Alan Etkili Tranzistor (FET) . . . . .</b>                                     | <b>105</b> |
| 3.5.1.      | Jonksiyonlu FET . . . . .   | 106        |
| 3.5.2.      | Yahtılmış Geçitli FET (MOS-FET, MOS Tranzistor)                                   | 111        |
| Problemler  | · · · · ·   | 115        |
| <b>4.</b>   | <b>KUVVETLENDİRİCİLER. GENEL KAVRAMLAR VE<br/>TEMEL KUVVETLENDİRİCİ DEVRELERİ</b> |            |
| <b>4.1.</b> | <b>Giriş . . . . .</b>  | <b>123</b> |
| 4.1.1.      | Frekans Eğrileri . . . . .  | 126        |
| 4.1.2.      | Kuvvetlendiricilerin Art-arda (Kaskad) Bağlanması . . . . .                       | 128        |
| 4.1.3.      | Bağıl Kazanç ve «Desibel» Tanımı . . . . .  | 129        |
| <b>4.2.</b> | <b>Temel Kuvvetlendirici Devreleri . . . . .</b>                                  | <b>134</b> |
| 4.2.1.      | Ortak Emetörlü Devre . . . . .  | 134        |
| 4.2.2.      | Emetör Direnci Köprütilenmemiş Ortak Emetörlü<br>Devre . . . . .                  | 138        |
| 4.2.2.1.    | Emetördeki Değişken Gerilimden Yararlanma : Simetrik Çıkışlı Kuvvetlendirici .    | 144        |
| 4.2.3.      | Emetör Çıktılı Devre . . . . .  | 146        |
| 4.2.4.      | Darlington Çifti . . . . .  | 148        |
| 4.2.4.1.    | Sürükklemeli (Bootstrap) Kutuplama Devresi . . . . .                              | 150        |
| 4.2.5.      | Ortak Bazlı Devre . . . . .   | 152        |
| <b>4.3.</b> | <b>Kuvvetlendiricilerin Büyük Genlikli İşaretler İçin Davranışları . . . . .</b>  | <b>154</b> |
| 4.3.1.      | Giriş . . . . .   | 154        |

|   |     |
|---|-----|
| 4.3.2. Direnç Yüklü Ortak Emetörlü Devre . . . . .  | 156 |
| Problemler . . . . .  | 162 |
| <b>5. KONDANSATÖR BAĞLAMALI ÇOK KATLI<br/>KUVVETLENDİRİCİLER</b>  |     |
| 5.1. Giriş . . . . .  | 166 |
| 5.2. Direnç Yüklü, Kondansatörle Bağlanmış (R-C bağlamalı)<br>Kuvvetlendiriciler . . . . .                          | 166 |
| 5.2.1. Alçak ve Orta Frekanslarda Durum. Bağlama Kon-<br>dansatörlerinin Etkisi . . . . .                           | 168 |
| 5.2.2. Emetör Köprüleme Kondansatörünün Etkisi . . .  | 176 |
| 5.2.3. Kazancın Yüksek Frekanslarda Değişimi . . . .  | 179 |
| 5.2.3.1. İç Geribeslemenin Küçük Olması Durumu .  | 181 |
| 5.2.3.2. İç Geribeslemenin İhmal Edilememesi Du-<br>rumu : Miller Teoreminin Uygulanması .                          | 183 |
| 5.2.4. Çok Katlı Kuvvetlendiricilerde Toplam Band Geniş-<br>liği İle Katların Band Genişlikleri Arasındaki İlişki . | 189 |
| 5.2.5. R-C Bağlamalı Kuvvetlendiricilerin Kare Dalgaya<br>Cevabı . . . . .  | 194 |
| 5.2.5.1. Yükselme Süresi . . . . .  | 194 |
| 5.2.5.2. Eğilme . . . . .   | 198 |
| Problemler . . . . .  | 204 |
| <b>6. KATLARI DOĞRUDAN DOĞRUYA BAĞLANMIS<br/>KUVVETLENDİRİCİLER</b>   |     |
| 6.1. Doğrudan Doğruya Bağlamanın Değişken İşaret Kuvvetlen-<br>diricilerinde Kullanılması . . . . .                 | 210 |
| 6.2. Doğru Gerilim Kuvvetlendiricileri . . . . .  | 213 |
| 6.2.1. Giriş . . . . .  | 213 |
| 6.2.2. Emetör Bağlamalı Kuvvetlendirici (Uzun Kuyruklu<br>Devre) . . . . .  | 216 |
| 6.2.2.1. Akım Kaynağı Kullanılarak Gerçeklestiri-<br>len Devreler . . . . .   | 224 |

|   |     |
|---|-----|
| 6.2.2.2. Emetör Bağlamalı Kuvvetlendiricilerde Kazanç Ayarı . . . . .   | 231 |
| 6.2.3. Çok Kathı Doğru Gerilim Kuvvetlendiricileri . . . . .  | 236 |
| Problemeler . . . . .   | 241 |
| <b>7. AKORDLU KUVVETLENDİRİCİLER</b>  |     |
| 7.1. Giriş . . . . .  | 248 |
| 7.2. Akordlu Kuvvetlendiricilerin Art-arda Bağlanması . . . . .   | 256 |
| 7.3. Çok Kathı Akordlu Kuvvetlendiricilerde Toplam Frekans Eğrisi . . . . .   | 258 |
| 7.4. Bağlaçmalı Rezonans Devreleri Kullanılarak Gerçekleştirilen Kuvvetlendiriciler (Çift Akordlu Kuvvetlendiriciler) . . . . . | 265 |
| 7.5. Akordlu Kuvvetlendiricilerde Kararsızlık Sorunu : İç Geribesleme Kapasitesinin Etkisi . . . . .                            | 273 |
| 7.6. Nötürleştirme . . . . .  | 285 |
| 7.7. Tümdevreli Akordlu Kuvvetlendiriciler . . . . .  | 286 |
| 7.8. Akordlu Kuvvetlendiricilerde Kullanılan Piezoelektrik rezonatörler . . . . .   | 289 |
| Problemeler . . . . .   | 292 |
| <b>8. GÜC KUVVETLENDİRİCİLERİ</b>   |     |
| 8.1. Giriş . . . . .  | 299 |
| 8.2. Tranzistorlu A Sınıfı Güç Kuvvetlendiricileri . . . . .  | 302 |
| 8.3. Tüplü A Sınıfı Güç Kuvvetlendiricileri . . . . .   | 312 |
| 8.4. Puşpul (Simetrik) Kuvvetlendiriciler . . . . .   | 313 |
| 8.5. Transformatörsüz Puşpul Kuvvetlendiriciler . . . . .   | 323 |
| 8.6. Tranzistorlu Güç Kuvvetlendiricilerinde Isıl Kararlılık . . . . .  | 333 |
| 8.7. C Sınıfı Kuvvetlendiriciler . . . . .  | 337 |
| 8.7.1. Tüplü C Sınıfı Kuvvetlendiriciler . . . . .  | 338 |
| 8.7.2. Tranzistorlu C Sınıfı Kuvvetlendiriciler . . . . .   | 350 |
| 8.7.3. Frekans Çoğaltıcı Devreler . . . . .   | 356 |
| Problemeler . . . . .   | 360 |
| <b>EK I (Tipik Tranzistor Özegrilileri)</b> . . . . .   | 363 |
| <b>EK II (Yarıiletken Devre Elemanları İle İlgili Harf Semboller)</b> . . . . .   | 366 |

## 1. GİRİŞ

### 1.1. Elektronik Devre Elemanlarına Genel Bir Bakış.

Elektronik devrelerinde bilinen elektriksel devre elemanları olan direnç, kondansatör, bobin ve transformatörlerin yanısıra *elektronik devre elemanları* denilen başka türlü elemanlar da kullanılır. Temel çalışma ilkeleri, çeşitleri ve yapıları ilerde ana hatları ile incelenecək olan bu elemanlar üç grupta toplanabilirler :

#### 1. Vakumlu elektronik devre elemanları.

Elektronların vakumda (boglukta) hareketlerine ilişkin fiziksel özelliklere dayanan bu elemanların ilki *diyot* adı verilen iki elektrotlu düzendir (Fleming - 1904). Bundan sonra ortaya çıkmış olan *triyot* (Lee de Forest - 1907) ve *tetrot*, *pentot* tipleri ile öteki çok elektrotlu tipler yakın zamana kadar elektronik devrelerinin temel elemanları olarak hizmet görmüştür. Genel olarak *elektron tipleri* adı ile andığımız bu elemanların kullanılma alanları, yeni devre elemanlarının ortaya çıkması ile gitgide daralmış bulunmaktadır.

#### 2. Gazlı elektronik devre elemanları.

Elektrik akımının düşük basınçlı gazlar içinden elektronların yanısıra gaz iyonlarının da katkısı ile akmasına dayanılarak gerçekleştirilen elemanlara genel olarak *gazlı tipler* denir. Kullanılma alanları elektron tüplerinininkine göre çok daha dar olan gazlı tipler de yeni tip ve daha üstün nitelikte elemanların ortaya çıkması ile hemen hemen terkedilmiş durumdadır.

#### 3. Yarıiletken devre elemanları.

Elektrik akımının *yarıiletkenler* adını verdığımız bazı katı malzemeden akışına ilişkin fiziksel özelliklere dayanılarak gerçekleştirilen elemanlara *yarıiletken devre elemanları* denir. 1945 de *tranzistor*'un bulunmasından (W. Brattain, J. Bardeen, W. Shockley) sonra hızla gelişen ve birçok çeşidi ortaya çıkmış olan yarıiletken devre elemanlarından *yarıiletken diyotlar* vakumlu diyotların ve gazlı diyotların, çeşitli tipten

*tranzistorlar* (tranzistorlar, FET'ler ve MOS-FET'ler) triyotların ve çok elektrotlu tüplerin, tiristor ve triyaklar ise gazlı triyot tipi tüplerin yeri almış bulunmaktadır.

Yarıiletken devre elemanlarının, daha önceki devre elemanı tipleri olan elektron tüplerini ve gazlı tüpleri kullanma alanlarından silmelerinin, hepsi de önemli birkaç sebebi vardır: Daha dayanıklı ve uzun ömürlü olmaları, daha hafif ve küçük boyutlu olmaları, daha az güç harcamaları, seri yapma daha elverişli, dolayısı ile daha ucuz olmaları. Bugün elektron tüplerinin hâlâ yarıiletken elemanlardan daha elverişli olduğu pek az alan vardır (örneğin elektronik devre elemanın yüksek frekanslarda ve birkaç yüz kW mertebesinde büyük güçlerde çalışmasını gerektiren radyoyayın vericileri).

Yarıiletken devre elemanlarının çok önemli bir tarafları da bunların yapım tekniklerindeki gelişmelerin, *tümdevreler*'in (entegre devrelerin) doğmasına yol açmalarıdır. Çok sayıda tranzistor, diyon ve dirençten oluşan ve çok küçük bir yarıiletken parçası içinde, bir bütün olarak gerçekleştirilen *yarıiletken tümdevreler*'in kullanılma alanları gün geçtikçe genişlemekte ve çeşitli elektronik devreler —hattâ sistemler— artık tümdevre olarak gerçekleştirilmektedir. Yarıiletken tümdevreler içinde ilke olarak kapasiteler de gerçekleştirilebilir. Ancak kapasitelerin öteki elemanlara oranla çok fazla yer tutması yüzünden tümdevrelerde kapasite bulunmamasına, zorunlu hallerde ise kapasite sayısının az ve değerlerinin küçük olmasına gayret edilir. Bugün yarıiletken tümdevreler iki ana grupta toplanabilir.

### 1. Dijital tümdevreler.

Çeşitli mantık devreleri (lojik devreleri) ile sayıcılar ve bellek devreleri bu gruptandır. Dijital tümdevreler hem bipolar tranzistorlar (kısaçca tranzistorlar) hem de metal-oksit-yarıiletken tranzistorlar (kısaçca MOS tranzistorlar) ile gerçekleştirilebilir. Özellikle MOS'lu devrelerde birkaç  $\text{mm}^2$  lik bir yarıiletken yüzeyine onbinlerce elemanın sığdırılabilmesi, çok karmaşık dijital devrelerin (hattâ sistemlerin) tek bir tümdevre halinde gerçekleştirilebilmesine yol açmıştır (geniş çapta tümlestirme - LSI).

### 2. Lineer tümdevreler (Analog tümdevreler).

Terim pek açıklayıcı ve doğru olmamakla beraber dijital olmayan devrelere lineer tümdevreler denilemeyecektir. Çeşitli kuvvetlendirici (yükseleç, amplifikatör) devreleri ile salınım üretici (osilatör) devre-

leri ve bu tiplerden çeşitli devrelerin bir araya gelmesi ile oluşan sistemler günümüzde lineer tümdevre tekniği ile gerçekleştirilebilmektedir.

## 1.2. Ana Elektronik Devre Elemanı Grupları.

Çeşitli fiziksel temellere dayanılarak gerçekleştirilen pek çok elektronik devre elemanı türü bulunmakla beraber bunlar temel davranışları bakımından üç ana gruba ayrılabilirler :

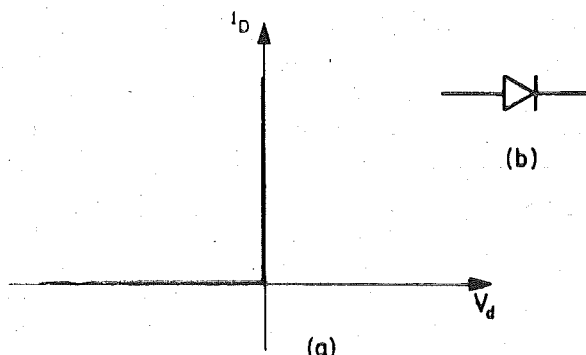
1. **Diyotlar**; yani akımı bir yönde geciren, öteki yönde geçirmeyen elemanlar.

2. **Akim kontrol elemanları**; yani bir devreden akan elektrik akımının değerini sürekli olarak kontrol etmede kullanılan elemanlar (triyot tüpü, tranzistor v.d.).

3. **Anahtar devre elemanları**; yani bir devreden akan akımı açıp - kapatmakta kullanılan elemanlar. Akım kontrol elemanlarının da bu amaç için kullanılabilecekleri açıklır. Bu gruba giren elemanların berikilerden farklı kontrolün sürekli olmaması, sadece iki konumlu olmasıdır (örneğin tiristor v.d.).

### 1.2.1. Diyotlar.

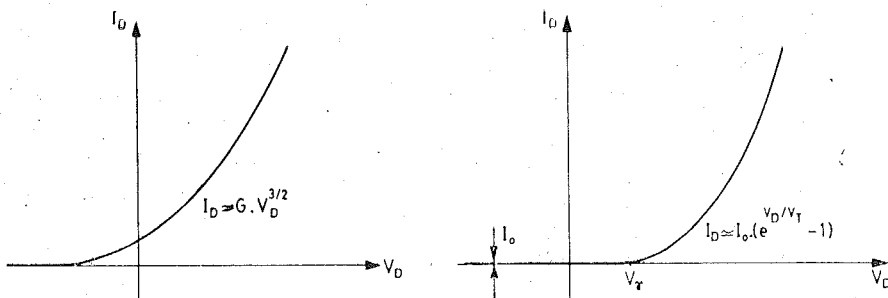
Elektrik akımını bir yöne doğru geçirip öteki yöne doğru geçirmeyen ideal bir iki uçlu elemanın akım - gerilim eğrisi (*özeğrisi, karakteristik eğrisi*) Şekil 1.1. (a) daki gibi olacaktır. Buna göre elemana *geçirme yönünde* bir gerilim uygulandığında uçlarında bir gerilim düşümü meydana



Şekil 1.1. (a) İdeal diyot özeğrisi. (b) Diyot sembolü.

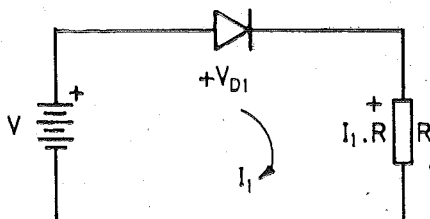
gelmemektedir. Yani elemanın geçirme yönündeki direnci sıfırdır. Zıt yönde yani *tıkama yönünde* kutuplama halinde ise uygulanan gerilimin değerinden bağımsız olarak akım sıfırdır. Yani diyodun tıkama yönündeki direnci sonsuzdur.

Pratikte kullanılmakta olan diyotların özeğrileri bu ideal diyot özeğrisinden biraz farklıdır. Şekil 1.2. (a) ve (b) de vakumlu bir diyodun ve bir yarıiletken diyodun özeğrileri verilmiştir. Görüldüğü gibi her ikisinde de geçirme yönündeki gerilim düşümü sıfır değildir ve akımın gerilime bağımlılığı eğriseldir (nonlinear'dir). Ayrıca yarıiletken diyotta akımın artmaya başlayabilmesi için geçirme yönü geriliminin belirli bir  $V_T$  değerini (*eşik gerilimini*) aşması gereklidir. Her iki diyot tipinde de tıkama yönü akımı —çok küçük olmakla beraber— sıfır değildir.

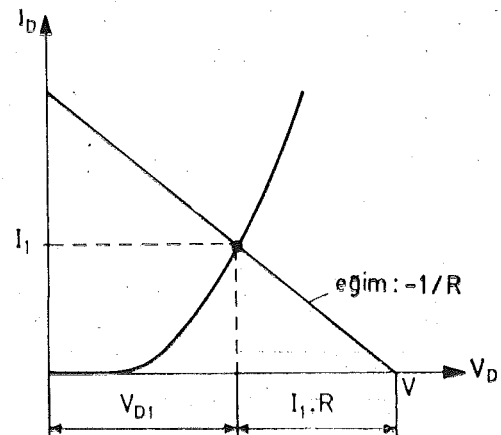


Şekil 1.2. (a) Bir vakumlu diyodun, (b) bir yarıiletken diyodun özeğrisi.

Şekil 1.3. de bir diyot, bir direnç ve bir doğru gerilim kaynağından oluşan basit bir devre verilmiştir. Kaynak, diyodu geçirme yönünde kutuplayacak şekilde bağlanmıştır. Diyodun ideal bir diyot olması halinde devreden akacak olan akımın değerinin  $I = V/R$  olacağı açıktır. Diyot ideal olmayan bir diyotsa, içinden bir  $I_1$  akımı akarken uçlarında buna bağlı —ama lineer olarak bağlı olmayan— bir  $V_{D1}$  gerilim düşümü meydana gelecektir.  $I_1$  akımının direncin uçlarında meydana getireceği  $I_1 \cdot R$  gerilim düşümü ile  $V_{D1}$  in toplamı  $V$  ye eşit olmak zorundadır. Bu söylemenler Şekil 1.4 de gösterilen çizim yolu ile, herhangi bir  $V$  gerilimi için Şekil 1.3. deki devreden akacak olan akımın bulunması için gerekli ipuçlarını verir. Bu çizim yolu kullanılarak  $V$  nin çeşitli değerleri için akacak olan  $I$  akımı değerleri bulunup  $V$  lerin hizasına işaretlenirse bunlar  $R$  direnci ile birlikte diyodun akım - gerilim bağıntısını belirleyen yeni bir eğri oluştururlar (Şekil 1.5.). Buna  $R$  ile diyodun *çalışma eğrisi* denir.

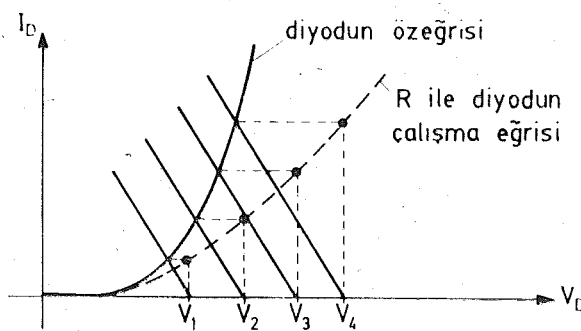


**Sekil 1.3.** Basit bir kaynak, diyon, di-  
renç devresi.



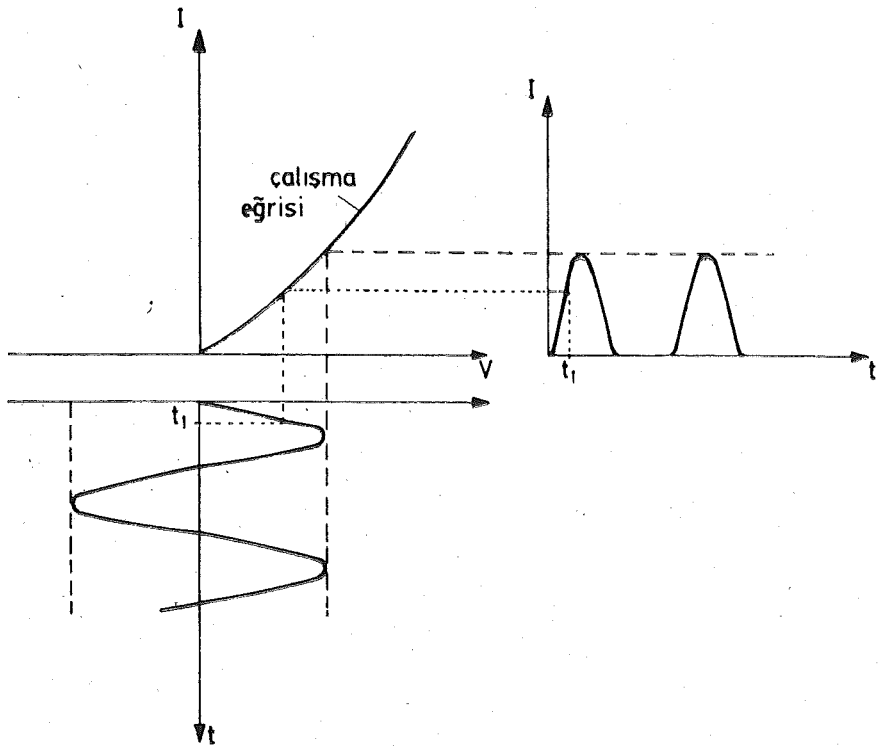
**Sekil 1.4.** Sekil 1.3.deki devrede  $I_1$  akı-  
minin çizim yol ile bulunması.

Sekil 1.3. deki gibi bir devrenin çalışma eğrisi bir defa çkartıldıktan sonra  $V$  nin herhangi bir değeri için devreden akacak olan akım —ve bununla orantılı olan—  $R$  nin uçları arasındaki gerilim kolayca bulunabilir. Bu yolla,  $V$  nin sinüs biçimli bir gerilim olması halinde akımın nasıl değişeceği Sekil 1.6. da çkartılmıştır. Sonuç, ortalama değeri sıfır



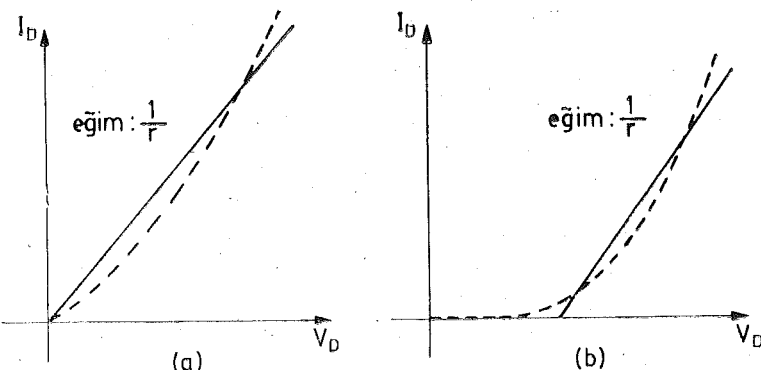
**Sekil 1.5.**  $R$  ile diyodon çalışma eğrisinin çizim yol ile nokta nokta çkartılması.

olmayan (yani bir doğru bileşeni bulunan) peryodik bir akımdır. O halde Sekil 1.3. deki basit devre, diyon olmasa idi akacak olan alternatif akımı, doğru akıma çeviren bir devre, bir *doğrultucu* olarak iş görmektedir.

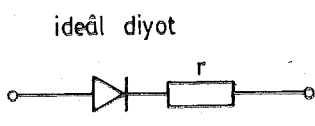


**Şekil 1.6.** Sinüs biçimli bir  $V$  gerilimi için diyonlu devreden akacak olan akımın çalışma eğrisi yardımı ile bulunması.

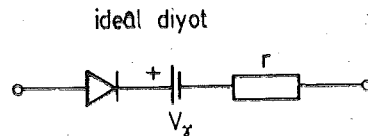
Diyotlu bir devrede akım - gerilim ilişkilerini yukarıda yapıldığı gibi çizim yolu ile çıkarmak oldukça sıkıcı bir istir. Bunun yerine —yapılan yaklaşımından doğacak hataya razi olunarak— özeğrileri *doğrusallaştırmak* yoluna gidilebilir. Şekil 1.2. deki vakumlu diyon özeğrisinin ve yarıiletken diyon özeğrisinin doğrusallaştırılmış şekilleri Şekil 1.7. (a) ve (b) de verilmiştir. Buna göre vakumlu bir diyon geçirme yönünde kutuplandığında değeri  $r$  olan bir dirence eşdeğer sayılmakta, tıkama yönünde kutuplandığında ise açık devre kabul edilmektedir. Bu davranış ideal bir diyonla buna bağlı bir  $r$  direncinin davranışına eşdeğerdir (Şekil 1.8.). Şekil 1.7. (b) deki doğrusallaştırılmış özeğri akımın akmaya başlaması için geçirme yönü geriliminin  $V_\gamma$  eşik geriliminden büyük olması gerektiğini belirtmekte, bundan sonra akımın  $(V_D - V_\gamma)$  gerilimi ile orantılı olarak artacağını göstermektedir. O halde bu diyon da Şekil 1.9. daki eşdeğer devre ile temsil edilebilir.



Sekil 1.7. (a) Doğrusallaştırılmış vakumlu diyon özegrisi, (b) doğrusallaştırılmış yarıiletken diyon özegrisi.



Sekil 1.8. Vakumlu bir diyodon yaklaşık eşdeğeri.

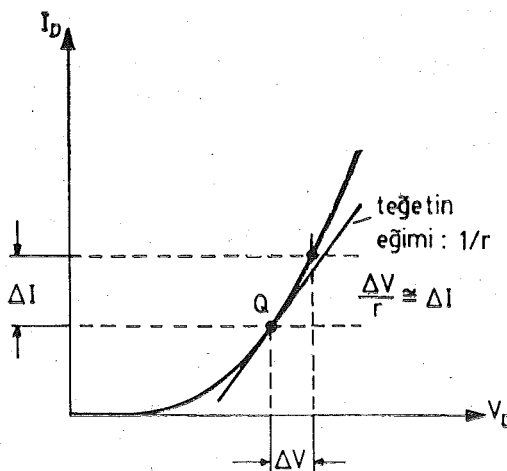


Sekil 1.9. Bir yarıiletken diyodon yaklaşık eşdeğeri.

Bazı uygulamalarda diyon belirli bir doğru gerilime kutuplanmışken, bu doğru gerilime ilâve olarak bir de küçük genlikli değişken gerilim uygulanır. Kutuplama geriliminde meydana gelecek  $\Delta V$  genlikli bir değişimin doğuracağı  $\Delta I$  akım değişimi özegri yardımı ile, Sekil 1.10. daki gibi bulunabilir.  $\Delta V$  nin çok küçük olması halinde  $\Delta I$ , eğri yerine bunun Q noktasındaki teğeti kullanılarak bulunursa önemli bir hata yapılmış olmaz. Özegrinin Q noktasındaki teğetinin belirlediği r direncine diyodon bu çalışma noktasındaki *değişken akım direnci* yahut *küçük işaret direnci* denir. r'nin değerinin çalışma noktasına bağlı olarak değişeceği, belirli bir Q çalışma noktası için r biliniyorsa  $\Delta I$  nin

$$\Delta I \approx \Delta V / r$$

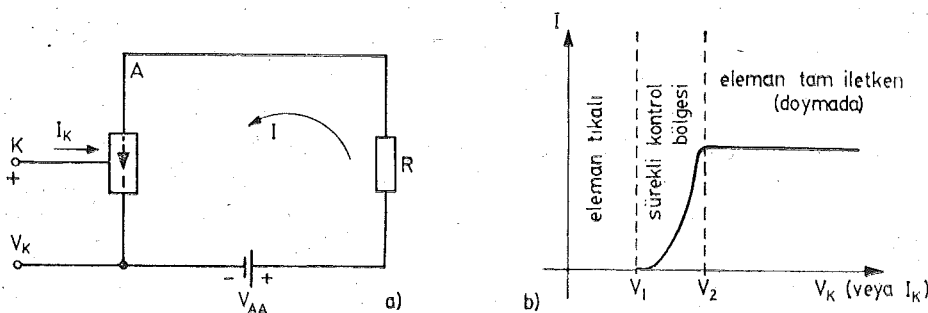
bağıntısı yardımıyla bulunabileceği kolayca görülebilir.



Şekil 1.10. Değişken akım direnci  
( $r$ ) yardımı ile  $\Delta I$  nin bulunması.

### 1.2.2. Akım Kontrol Elemanları.

Bir  $V_{AA}$  doğru gerilim kaynağının, bir  $R$  direnci üzerinden akıtacağı akımı sürekli olarak ayarlayabilen bir eleman olarak tanımladığımız genel akım kontrol elemanı Şekil 1.11. de gösterilmiştir. Elemanda akım yolunun tamamlandığı iki elektroda (A ve O) ek olarak bir de *kontrol elektrodu* bulunur. Akım kontrolü ya bu elektrodun akımı ile yahut da bu elektrodun, girişle çıkış arasındaki ortak O elektroduna göre gerilimi ile sağlanır. İdeal bir akım kontrol elemanında: (a) devre akımının yalnızca kontrol büyüklüğüne ( $I_K$  veya  $V_K$  ya) bağlı olması, elemanın uçları



Şekil 1.11. (a) Genel akım kontrol elemanı ve devresi (b) Kontrol büyütüğüne  
( $V_K$  veya  $I_K$ ) bağlı olarak akımın değişimi.

arasındaki  $V_{AO}$  geriliminden bağımsız olması, (b) akımın sıfır ile alabileceği en büyük değer arasında sürekli olarak değiştirilebilmesi, (c) akım maksimum değerinde iken elemanın uçları arasındaki  $V_{AO}$  gerilim düşümünün sıfıra düşmesi istenir. Pratikte kullanılan akım kontrol elemanları bu ideal şartları tamı tamına sağlayamamakla beraber ideale oldukça yakın elemanlar vardır (örneğin tranzistorlar, FET ler, pentot tüpleri).

Bir akım kontrol elemanın akımı sürekli olarak kontrol edebildiği bölgeye sürekli kontrol bölgesi (yahut terim pek doğru olmamakla beraber *lineer çalışma bölgesi*) denir. Bu bölgenin bir yanında akım sıfır yani eleman *tikalı*, öbür yanında ise eleman tam iletken (ideal olarak kısa devre) dir. Bu bölgeye de genel olarak *döymə* bölgesi denir. (Şekil 1.11.b)

### 1.2.3. Anahtar Devre Elemanları.

Şekil 1.11. b den bir akım kontrol elemanın kontrol geriliminin  $V_1$  den küçük olması halinde devrenin tikalı olacağı (akımın akmayacağı),  $V_2$  den büyük olması halinde ise devreden maksimum akımın akacağı görülmektedir. O halde bir akım kontrol elemanı, giriş gerilimi uygun iki değer arasında değiştirilerek I akımının açılıp kapanmasında bir *anahtar* devre elemanı olarak kullanılabilir. Gerçekten günümüzde mantık devrelerinde (lojik devrelerinde) anahtar eleman olarak genellikle tranzistorlardan ve MOS lardan yararlanılmaktadır. Büyük akımların açılıp kapanmasında kullanılan *tiristorlar* ve *triyaklar* ise sürekli kontrol bölgeleri olmayan anahtar devre elemanlarıdır. Aslında bir akım kontrol elemanı niteliğinde olan tranzistor, FET, MOS tranzistor gibi anahtar devre elemanlarında kontrol işaretini ( $V_k$  veya  $I_k$ ) I çıkış akımını sürekli olarak kontrol edebilir. Ayrıca kontrol karakteristiği her iki değişim yönü için (kontrol büyütüğünün artma veya azalma yönünde değişmesi) tamamen aynıdır. Tiristorlarda ise kontrol elektrodu (geçit) akımı yalnızca bir yön için etkiler. Geçit akımı sıfırdan başlanarak arttırıldığında akımın belirli bir değerinde eleman iletim durumu geçer. Bundan sonra yükten akan akım (anot akımı) geçit akımı ile kontrol edilemez. Eleman ancak anot geriliminin —kısa bir süre için de olsa— kesilmesi ile tekrar tikalı duruma sokulabilir. Tiristorlar ve bunların alternatif akımın iki yarıperiodu için de geçiş sağlayabilen bir tiirevi olan triyaklar günümüzde kuvvetli akım tekniginde çok büyük akımların açılıp - kapanmasında geniş ölçüde kullanılmaktadır.

## 2. VAKUMLU ELEKTRONİK DEVRE ELEMANLARI (ELEKTRON TÜPLERİ)

### 2.1. İSİ İLE ELEKTRON SALMA OLAYI.

Elektronik devre elemanları ailesinin ilk üyeleri, elektronların vakumda (boslukta) hareketlerinin kontrolü ilkesine dayanan vakumlu diyonlar ve bundan türetilen öteki elemanlardır. Bunların hepsinde kontrol edilecek olan elektrik akımını oluşturacak olan elektronların salınması (emisyonu) için *isi ile elektron salma* (termoelektronik emisyon) olayından yararlanılır.

Bir iletkeni meydana getiren atomların elektronlarının bir bölümü metal içinde *serbest elektron* olarak dolaşır. Bu elektronların enerjileri de rastgele olmakla beraber belirli bir istatistiksel dağılım gösterirler. Metalin sıcaklığı yükseltildiğinde daha çok sayıda elektron daha yüksek enerjilere sahip olur. Enerjileri metalin çıkış işi ( $E_w$ ) adı verilen belirli bir değeri aşan elektronlar metali terkedip dışarıya çıkabilirler. Bu şekilde ortaya çıkan ısı ile elektron salma olayında salınan elektronların sayısı sıcaklığa ve metalin çıkış işi'nin değerine bağlıdır.

$$I_{th} = A \cdot T^2 \cdot e^{-E_w/kT} \quad (2.1)$$

Burada A, katodun yapısına bağlı bir katsayı T, °K olarak sıcaklık  $E_w$ , eV olarak katot malzemesinin çıkış işi ve k, Boltzmann katsayısı ( $8,62 \cdot 10^{-5}$  eV/°K) dir.

Elektron tüplerinde, elektron salma işinde kullanılan elektroda *katot* denir. İçinden akım geçirilerek ısıtılan ve elektron salan katotlara «*direkt ısıtmalı katotlar*» adı verilir. Elektron salma işinde kullanılan yüzey, içinden elektrik akımı geçen bir *fitil* (filâman) ile dolaylı olarak ısıtılıyorsa buna da «*endirekt ısıtmalı katot*» denir. Direkt ısıtmalı katot olarak en çok tungsten kullanılır. Ergime derecesi yüksek olduğu için tungsten çok yüksek sıcaklıkta ( $2500^{\circ}\text{K}$ ) çalıştırılabilir. Buna karşılık çıkış işi yüksek olduğundan ( $E_w = 4,52$  eV) elektron salma verimi düşüktür. Verimi yükseltmek için tungsten fitilin yüzeyi çok ince bir toryum tabakası ile kap-

lanır. Tiryum'un çıkış işi daha düşük olduğundan ( $E_w = 2,63 \text{ eV}$ ), bu şekilde gerçekleştirilen tiryumlu tungsten fitillerle elde edilen elektron salma verimi, saf tungsten fitille elde edilene göre daha yüksektir. Tiryumlu tungsten fitillerin uygun çalışma sıcaklığı  $1500^\circ\text{K}$  mertebesindedir. Bazı toprak alkali metal oksitlerinin çıkış işleri çok düşüktür ( $E_w \approx 1 \text{ eV}$ ). Bu oksitler endirekt ısıtılmış katotlarda çok yüksek elektron salma verimleri elde etmede kullanılırlar. Oksit kaplı katotların normal çalışma sıcaklıklarları  $1000^\circ\text{K}$  mertebesindedir.

## 2.2. Vakumlu Diyot.

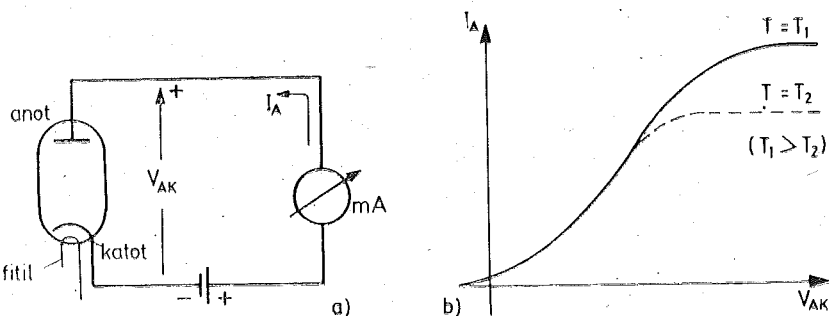
Havası boşaltılmış bir cam tüp içine elektrik akımı ile ısıtılan bir katot ve bunun karşısına bir iletken levha (anot) yerleştirilerek oluşturulan elektronik düzene vakumlu diyot denir. Anot genellikle katodu çevreleyen bir silindir şeklinde yapılır. Katot ısıtıldığında salınan elektronlar katot etrafında bir elektron bulutu oluştururlar. Anodun katoda göre gerilimi ( $V_{AK}$ ) sıfır iken, katottan salınan elektronlardan bazılarının ilk hızlarının yeteri kadar büyük olması sonucunda anoda ulaşmaları ile çok küçük bir akım akar. Anot katoda göre pozitif yapılrsa, anot-katot arasında oluşan elektriksel alanın etkisi ile elektronlar anoda doğru hareket ederek bir akım oluştururlar. Akımın değerinin  $V_{AK}$  ya bağlı olacağı açıklıktır. Katodun bol elektron saldığı ve elektronların ilk hızlarının ihmali edilebilecek kadar küçük olduğu kabulü ile

$$I_A \approx G \cdot V_{AK}^{3/2} \quad (2.2)$$

olduğu gösterilebilir. Anot katoda göre negatif yapılrsa alanın etkidiği kuvvet elektronları anottan uzaklaştıracak yönde olduğu için diyottan bir akım akmaz (tıkama durumu).

Diyottan akacak akımı, katodun saldığı elektronların sayısının sınırlayacağı açıklıktır. Gerçekten,  $V_{AK}$  değeri çok artırılırsa akımın (2.2) bağıntısını izleyemediği, katot sıcaklığına bağlı bir değerde sınırlandığı görülür. Şekil 2.1'de geçirme yönünde kutuplanmış bir vakumlu diyot ile bunun anot akımının anot-katot gerilimine bağımlılığını belirleyen  $I_A = f(V_{AK})$  eğrisi (diyodon özegrisi) gösterilmiştir.

Bir vakumlu diyodun kullanılabileceği akım ve gerilimleri sınırlayan bazı etkenler vardır. Filil akımının, katot malzemesinin cinsine göre en uygun sıcaklığı sağlayacak değerde tutulması gereklidir. Anot akımı bu sıcaklığın belirlediği sınırı aşamaz. Anot geriliminin etkisi ile hızlanarak anoda ulaşan elektronların çarpmaları ile aşağı çıkan ısı, anot



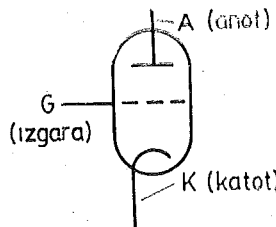
Şekil 2.1. (a) Geçirme yönünde kutuplanmış endirekt ıstıtmalı bir vakumlu diyon.  
 (b) Diyot özeğrisi ve akımın sınırlanmasının katot sıcaklığına bağlılığı.

levhasının sıcaklığının yükselmesine yol açar. Sicaklığın, tübü çalışma-sını bozacak bir seviyeye yükselmemesi için anot levhasında açığa çıkan gücün, levhanın radyasyonla etrafa yayabileceği gücü aşmaması gereklidir. Anot levhasının ısı yayma yeteneğini artırmak için büyük güçlerde kullanılacak tüplerde su ile yahut hava üfleyerek soğutma yoluna gidilebilir. Vakumlu diyotlar için önemli bir sınır değer de tıkama yönünde kutuplanmışken anoda uygulanabilecek en büyük negatif gerilim (ters tepe gerilimi)dir.

### 2.3. Triyot.

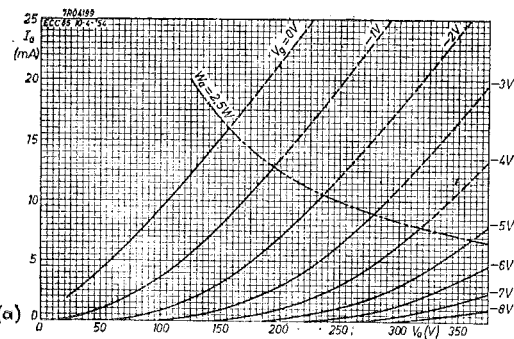
Bir vakumlu diyotta katotla anot arasına ızgara şeklinde bir elektron yerleştirilirse bu elektrodon katoda göre gerilimi, tübü anot akımı kontrollü etmede kullanılabilir. Bu üçüncü elektroda *ızgara* denir (Şekil 2.2.). ızgara - katot gerilimi sıfırken tübü anot akımı, bir diyotun anot akımına benzer şekilde  $V_{AK}$  ya bağlıdır. Belirli bir  $V_{AK}$  değeri için ızgara - katot gerilimi ( $V_{GK}$ ) negatif yapılrsa anodun, katot yakınında meydana getirdiği alana ilâve olarak zıt yönde bir alan oluşacaktır elektronların anoda doğru çekilmeleri zayıflar. O halde birim zamanda katot civarından anoda doğru gidecek olan elektron sayısı (anot akımı)  $V_{GK}$  gerilimi ile kontrol edilebilir. Negatif  $V_{GK}$  gerilimi yeteri kadar büyük yapılrsa akım sıfır olur (kesim durumu). ızgara katoda göre pozitif yapılrsa kumanda özelliği devam etmekle beraber bir de ızgara akımı akmaya başlar. Triyot tüpleri —özel bazı durumlar dışında— genellikle ızgara katoda göre daima negatif tutularak kullanılır.

Şekil 2.3. (a) da bir triyot tübünde çeşitli  $V_{GK}$  değerleri için  $I_A$  nin  $V_{AK}$  ya göre değişimini gösteren eğri ailesi (anot özeğrileri) verilmiştir. Şekil 2.3. (b) de ise belirli  $V_{AK}$  değerleri için  $I_A$  nin  $V_{GK}$  ya bağımlılığını gösteren eğri ailesi (ızgara özeğrileri) görülmektedir. Bu iki eğri ailesinden biri bilindiğinde ötekisinin nokta-nokta elde edilebileceği kolayca görülebilir.

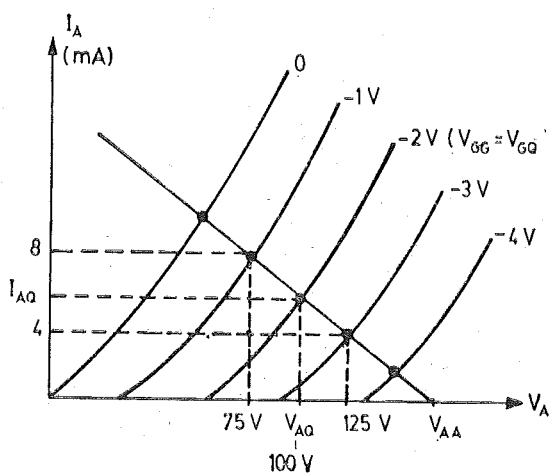
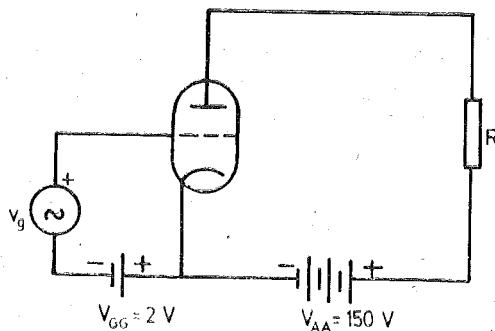


Şekil 2.2. Triyot simbolü.

ECC 85



ret kaynağı) bağlanmıştır.  $v_g=0$  iken tüp üzerinden akacak olan  $I_A=I_{AQ}$  akımı ile  $V_A=V_{AQ}$  gerilimi değerleri, anot özeğrileri ve R yük direncinin kesim noktasından (Q) okunabilir (Şekil 2.4. (b)). Q noktasına tübüin —bu— devredeki— çalışma noktası denir. Devremizde  $V_{GQ}=-2V$ ,  $V_{AQ}=100 V$  ve  $I_{AQ}=6 mA$  dir.



Şekil 2.4. (a) Basit triyotlu kuvvetlendirici devresi.  
(b) Yük doğrusu ve çalışma noktası.

Girişe seri olarak bağladığınız işaret kaynağının verdiği gerilim tepe değerinin  $V_g=1 V$  olduğunu kabul edelim. İ işaret geriliminin pozitif tepeşi için ızgara - katot geriliminin toplam anı değeri  $V_{gk}'=-1 V$  ve buna karşı düşen anot akımı  $I_A'=8 mA$ , anot - katot gerilimi ise  $V_A'=75 V$  dur. İ işaret geriliminin negatif tepeşi için de  $V_{gk}''=-3 V$ ,

$I_A''=4 \text{ mA}$ ,  $V_A''=125 \text{ V}$  bulunur. Bu duruma göre giriş geriliminin tepeden tepeye 2 V luk bir değişimi çıkış geriliminde tepeden tepeye  $125-75=50 \text{ V}$  luk bir değişime yol açmaktadır. Yani devrenin *gerilim kazancı* 25 dir:

Bir tübüin devre içindeki davranışını yukarıdaki örnekte görüldüğü gibi çizim yolu ile bulunabilirse de bu, işaret genliklerinin çok küçük olduğu hallerde —çizim hataları çok artacağından— elverişli değildir. Ayrıca yükün saf direnç olmaması halinde çizim yolu ile çözüm —imkânsız olmamakla beraber— çok güçtür. Böyle durumlarda tüplerin devre elemanı olarak davranışlarını belirlemek üzere *eşdeğer devre*'lerinden yararlanılır.

Bir tübüin anot akımı, izgara - katot gerilimi ( $V_g$ ) ile anot - katot geriliminin ( $V_a$ ) fonksiyonudur.

$$I_a = f(V_a, V_g) \quad (2.3)$$

seklinde ifade edilebilen bu bağımlılık genel olarak lineer değildir. Belirli bir Q çalışma noktasında kutuplanmış bir tübe değişken bir giriş gerilimi uygulandığında akacak olan akım sükünet noktasındaki akım ve gerilimi değerleri cinsinden bir Taylor serisi ile ifade edilebilir.

$$\begin{aligned} I_a(V_a, V_g) &= I_{AQ} + \frac{1}{1!} \left[ \frac{\partial I_a}{\partial V_a} \right]_{V_g=V_{GQ}=st} (V_a - V_{AQ}) + \\ &+ \frac{1}{2!} \left[ \frac{\partial^2 I_a}{\partial V_a^2} \right]_{V_g=V_{GQ}} (V_a - V_{AQ})^2 + \dots + \frac{1}{1!} \left[ \frac{\partial I_a}{\partial V_g} \right]_{V_a=V_{AO}} (V_g - V_{GQ}) + \\ &+ \frac{1}{2!} \left[ \frac{\partial^2 I_a}{\partial V_g^2} \right]_{V_a=V_{AQ}} (V_g - V_{GQ})^2 + \dots \end{aligned} \quad (2-4)$$

Q noktasının yakın civarı için yani *küçük genlikli değişimler* söz konusu olduğunda bağıntıdaki yüksek mertebeden terimler ihmäl edilebilir ve bağıntı lineer bir görünüm alır:

$$I_a(V_a, V_g) = I_{AQ} + \left[ \frac{\partial I_a}{\partial V_g} \right]_{V_a=V_{AQ}} \cdot \Delta V_g + \left[ \frac{\partial I_a}{\partial V_a} \right]_{V_g=V_{GQ}} \cdot \Delta V_a \quad (2-5)$$

Bu bağıntıdaki birinci katsayı tübüin geçiş özeğrisinin çalışma noktasındaki eğiminden başka birsey değildir. Tübün *geçiş iletkenliği* yahut *eğimi* adı verilen ve  $g_m$  ile gösterilen bu katsayı, temel parametrelerden biridir.

$$g_m = \left[ \frac{\partial I_a}{\partial V_g} \right]_{V_a=V_{AQ}} \quad (2-6)$$

(2.5) bağıntısındaki ikinci katsayı ise çıkış özegrilerinin Q çalışma noktasındaki eğimidir. Buna tübüin *ışık iletkenliği* ve tersine tübüin *ışık direnci* denir :

$$g_p = \frac{1}{r_p} = \left[ \frac{\partial I_a}{\partial V_a} \right]_{V_a=V_{AQ}} \quad (2-7)$$

Böylece (2.5) bağıntısı

$$\Delta I_a = g_m \cdot \Delta V_g + \frac{1}{r_p} \Delta V_a$$

yahut küçük değişimler yerine değişken bileşenlerin anı değerleri konularak

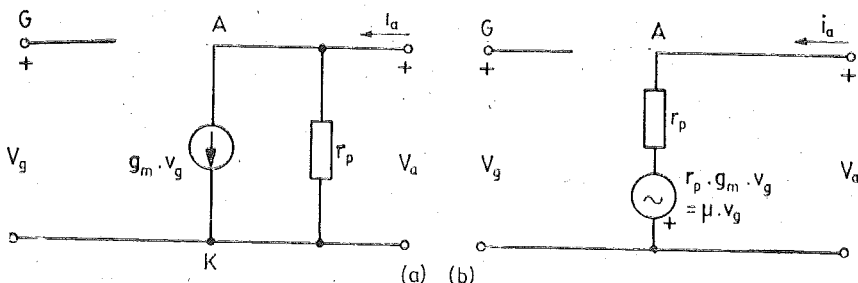
$$i_a = g_m \cdot v_g + \frac{1}{r_p} v_a \quad (2-8)$$

şeklinde yazılabilir.

(2.8) bağıntısı, Şekil 2.5. (a) daki eşdeğer devre ile gösterilebilir. Bu devrede akım kaynağı —paralel direnç yerine gerilim kaynağı— seri direnç eşdeğeri konulursa Şekil 2.5. (b) deki eşdeğer devreye ulaşılır. İkinci eşdeğer devredeki bağımlı kaynağı katsayısı olan ve

$$\mu = g_m \cdot r_p \quad (2.9)$$

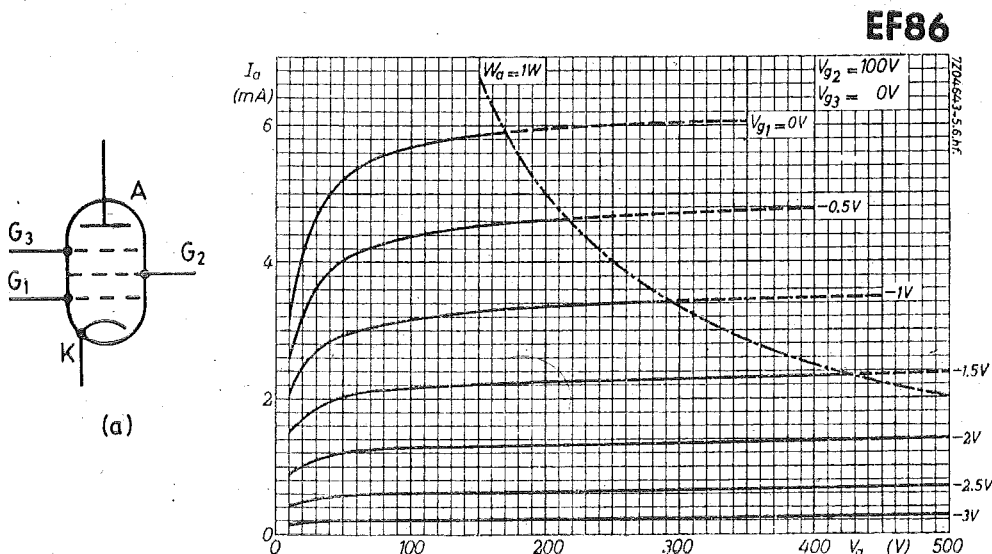
bağıntısı ile hesaplanabilen büyülükle tübüin *kuvvetlendirme katsayısı* denir. Triyotlarda  $g_m$  nin mertebesi  $1 \dots 10 \text{ mA/V}$ ,  $r_p$  nin mertebesi  $10 \dots 100 \text{ kohm}$  ve  $\mu$  nin mertebesi  $10 \dots 100$  dür.



Şekil 2.5. Belirli bir Q çalışma noktası civarında küçük genlikli değişimler için triyot tübüin eşdeğer devreleri.

## 2.4. Pentot.

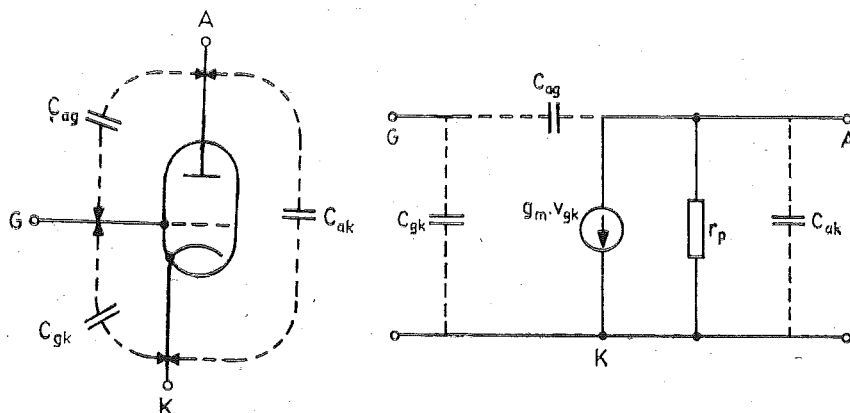
Triyot tübünde anotla izgara arasındaki kapasite —ilerde değinilebileceği gibi— yüksek frekanslarda çalışıldığında bazı sakıncalar doğurur. Bu kapasitenin değerinin kıçültülmesi amacıyla triyot tübünde anotla izgara arasına iki izgara daha yerleştirilerek elde edilmiş olan tüpe *pentot* denir (Şekil 2.6. (a)). Pentotlarda üçüncü izgara katot potansiyelinde, ikinci izgara ( $G_2$ ) ise katoda göre pozitif sabit bir potansiyelde tutulur. Bu tüplerde anot akımı —peki küçük anot gerilimleri dışında— anot geriliminden hemen hemen bağımsızdır. Bu sebepten çıkış özegrileri Şekil 2.6. (b) deki gibi olur. Buradan görüleceği gibi —tanım olarak çıkış özegrilerinin çalışma noktasındaki eğiminin tersine eşit olan— iç direnç ( $r_p$ ) triyotlardakine göre çok yüksektir (100 k ohm ... 1 M ohm). Eğimin büyüklüğü triyotlardaki gibi 1 ... 10 mA/V mertebesinde olur. Küçük genlikli değişken işaretler için eşdeğer devre, bir triyodunkinin aynıdır.



Şekil 2.6. (a) Pentot tübü sembolü. (b) EF86 tipi bir pentodun çıkış özegrileri.

## 2.5. Tüplerin Yüksek Frekans Esdeğer Devreleri.

Şekil 2.5. de verilmiş olan esdeğer devreler tübüün *elektrotlar arası kapasiteleri* nin etkilerinin ortaya çıkmaya başlamadığı alçak frekanslar için geçerlidir. Bir tübüün elektrotlar arası kapasiteleri küçük güçlü triyot tüplerinde herbiri birkaç pF mertebesinde olan ızgara - katot kapasitesi ( $C_{gk}$ ), anot - katot kapasitesi ( $C_{ak}$ ) ve anot - ızgara kapasitesi ( $C_{ag}$ ) dir. Pentot tüplerinde anot - ızgara kapasitesi, ekran ızgaranın ekranlama etkisi sebebi ile triyotlardakine göre çok daha küçüktür. Elektrotlar arası kapasitelerle beraber esdeğer devre Şekil 2.7. deki şekle dönüştür. Burada gösterilmiş olan elektrotlar arası kapasitelerin etkili ol-

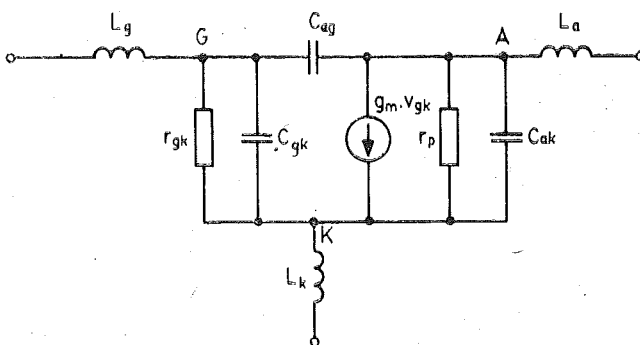


Şekil 2.7. Triyot tübünde elektrotlar arası kapasiteler ve esdeğer devre.

maya başladığı frekans kapasite değerlerine, tübüün iç direncine ve devredeki diğer dirençlere bağlıdır. Büyüük dirençli devrelerde bu etki ses frekansları bandının üst ucundan itibaren, yani oldukça alçak frekanslarda başlayabilir. Bu konu direnç yükülü kuvvetlendiricilerin kesim frekansları hesaplanırken ayrıca incelenecaktır.

30 - 40 MHz'den daha yüksek frekanslarda tüplerin giriş devrelerinden giriş gerilimi ile aynı fazda bir giriş akımı akmeye başlar. ızgara katoda göre negatif tutulduğu halde akan bu akımın sebebi, tüp ayaklarının geçtiği camdaki dielektrik kayıpları, cam üzerindeki yüzey akımları ve elektronların katottan ızgaraya geçiş sürelerinin işaret peryodu yanında çok küçük olmaması yüzünden ortaya çıkan enerji kaybıdır. Tüplerde giriş direnci ( $r_{gk}$ ) frekans arttıkça hızla azalarak 100 MHz'de birkaç k ohm mertebesine düşer.

Daha yüksek frekanslarda tüp ayaklarının, herbiri birkaç nH merkebesinde olan self endüktanslarının da hesaba katılması gerekebilir (Şekil 2.8.).



Şekil 2.8. Bir triyodun bacak bağlantılarının self endüktansları ile birlikte yüksek frekans esdeğer devresi.

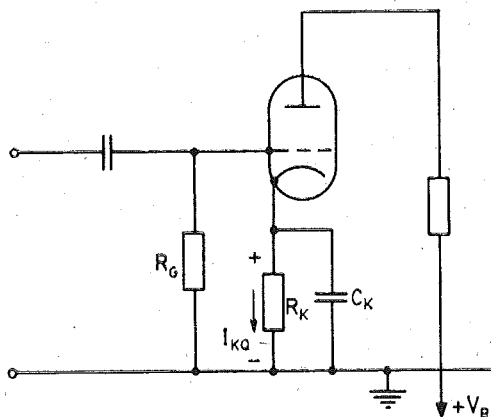
## 2.6. Tüpelerin Beslenmeleri.

Bir tübüün çalışabilmesi için gerekli besleme kaynaklarından birincisi filaman besleme kaynağıdır. Filaman, doğru yahut alternatif akımla beslenebilir. Devredeki diğer tüplerle filamanları paralel bağlanarak beslenen tüplerde filaman besleme kaynağı, filaman gerilimi ( $V_f$ ) ile ve diğer tüplerle seri beslenen tüplerde ise filaman akımı ( $I_f$ ) ile belirlenir.

Tüpelerde anot besleme kaynağı, değeri tübüün ve devrenin özeliklerine bağlı olarak seçilen bir doğru gerilim kaynağıdır ( $V_B$ ). Bu değer küçük güçlü tüplerde genellikle birkaç yüz V mertebedindedir. Büyüük güçlü verici tüplerinde birkaç bin V hattâ daha yüksek gerilimler kullanılır.

Izgarayı katoda göre negatif tutmak için kullanılan  $V_c$  öngerilimi genellikle katot akımının doğru bileşeninden yararlanılarak elde edilir (otomatik öngerilim). Bu amaçla tübüün katoduna seri olarak bir  $R_K$  direnci bağlanır. Tübün sükünetteki katot akımı (triyotlarda anot akımı, pentotlarda anot ve ekran izgara akımlarının toplamı)  $I_{KQ}$  ise  $R_K$  nin uçlarında meydana gelen gerilim düşümünün değeri  $R_K \cdot I_{KQ}$  dur. Bu doğru gerilimin değeri  $R_K$  ile, tüp için gerekli  $V_c$  öngerilimine eşit olacak şekilde ayarlanıp öngerilim olarak kullanılabilir (Şekil 2.9.). Devredeki büyük değerli  $R_G$  izgara direnci,  $R_K$  üzerinde meydana gelen  $V_c = R_K \cdot I_{KQ}$  gerilim düşümünün negatif ucunun izgaraya bağlanması sağlar.  $R_K$  ya

paralel bağlanmış olan  $C_K$  kondansatörünün ödevi devre değişken işaretlerle çalışırken katot akımında meydana gelen değişken bileşenleri kısa devre ederek öngerimin sükünet halindeki değerinde sabit kalmasını sağlamaktır. Bu sebeple, işaret geriliminin en alçak frekanslı bileşenleri için dahi  $R_K$  ya göre çok küçük bir reaktans gösterecek şekilde seçilir.

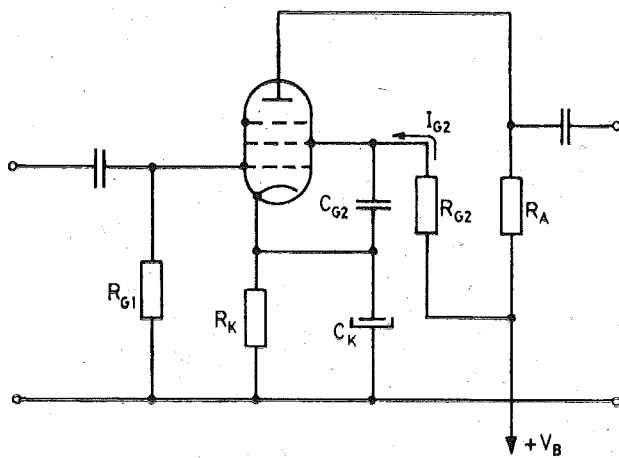


Sekil 2.9. Triyot tübü kutuplama şeması.

Pentot tüplerinde ekran ızgaranın katoda göre pozitif, sabit bir doğru gerilimle beslenmesi gereklidir. Bu gerilim genellikle anot gerilimine eşit yahut ondan daha küçük bir gerilimdir. Ekran ızgara ile  $V_B$  anot besleme kaynağının arsına bir  $R_{G2}$  direnci bağlanırsa, ekran akımının ortalama değeri (doğru bileşeni)  $I_{G2}$  olmak üzere

$$V_{G2} = V_B - I_{G2} \cdot R_{G2}$$

olur. Böylece  $R_{G2}$  nin değeri uygun seçilerek  $V_{G2}$  istenen değere getirilebilir. Girişe değişken bir işaret uygulanması halinde ekran ızgara akımında da —sükünet değeri üzerinde— değişken bir bileşen meydana gelir. Bu bileşenin  $R_{G2}$  üzerinde meydana getireceği gerilim düşümü sebebi ile  $V_{G2}$  nin sabit kalmayıp işaretle bağlı olarak değiştmesini önlemek üzere  $R_{G2}$  nin değişken işaretler bakımından bir  $C_{G2}$  kondansatörü ile katoda kısa devre edilmesi gereklidir (Şekil 2.10.).



Sekil 2.10. Bir pentot tübüünün kutuplama şeması.

### 3. YARIİLETKEN ELEKTRONİK DEVRE ELEMANLARI

#### 3.1. Yarıiletkenler.

Yarıiletken devre elemanlarının yapımında kullanılan silisyum (Si) ve germanyum (Ge), atomlarının dış kabuklarında dörder valans elektronları bulunan elemanlardır. Bu tipten bir malzeme, içindeki yabancı atomlardan arıtıldıktan sonra gerektiği şekilde kristalleştirilirse düzgün bir kristal yapı meydana getirir (has yarıiletken). Bu kristal yapıda atomların dörder tane olduğunu söylediğimiz valans elektronlarından herbiri iki Si (veya Ge) atomu tarafından ortaklaşa kullanılır. Isıl uyarma ile bu elektronlar yerlerinden koparak «serbest elektron» haline geçebilirler. Kristal yapı içinde rastgele dolaşan bu elektronlar bir elektriksel alan uygulandığında, bu alana zıt yönde yani negatif uçtan pozitif uca doğru sürüklenecek bir elektrik akımı akmasına sebep olurlar. Elektronların alanın etkisi altında ortalama sürüklendirme hızları ( $v_e$ ), alan şiddeti ( $E$ ) ile orantılıdır:  $v_e = -\mu_e \cdot E$ . Buradaki  $\mu_e$  orantı katsayısına «elektronların hareket yeteneği» denir. Akan akımın yönü olarak, elektronların hareket yönlerinin tersi kabul edilmistir.

Isıl uyarma ile yerinden kopan bir elektronun bu yerden ayrılması ile meydana gelen elektron noksantılığını, o yerde bir pozitif yükün bulunması şeklinde yorumlamak bazı olayların açıklanmasını kolaylaştırığı için faydalı görülmüştür. Bu —sözde— pozitif yüke «delik» denir. Delikler de —aslında bu boş elektron yerlerinin komşu atomlardan çalınan elektronlarla doldurulması ile— kristal yapı içinde rastgele hareket ederler. Bir elektriksel alan uygulandığında delikler de —elektronlar gibi— alanın behirlediği yönde yani pozitif uçtan negatif uca doğru sürüklenecek bir akım akmasına sebep olurlar. Deliklerin ortalama sürüklendirme hızları için de  $v_h = \mu_h \cdot E$  yazılabilir. Deliklerle elektronların alanın etkisi altında hareket yönleri zıt olduğu halde taşıdıkları yükler de zıt işaretli olduğundan, akıttıkları akım aynı yönde ve pozitiften negatife doğrudur. Demek oluyor ki isıl uyarma ile kristal yapıdan bir elektronun kopması yapı içinde iki tane akım taşıyıcısının (elektron - delik çiftinin) ortaya çıkışmasına sebep olmaktadır. Bu şekilde «doğan» elektron-delik çiftlerinin sayısı sıcaklık arttıkça çoğalır. Yani bir has yarıiletkende elektriksel iletkenlik sıcaklığına bağlı olarak artar.  $T=300^\circ K$  sıcaklığında (oda sıcaklığında) has germanyum için serbest elektron yoğunluğu  $n_i = 2,5 \cdot 10^{13} \text{ cm}^{-3}$  ve serbest delik yoğunluğu  $p_i = 2,5 \cdot 10^{13} \text{ cm}^{-3}$ , has silisyum için ise  $n_i = p_i = 1,6 \cdot 10^{10} \text{ cm}^{-3}$  dır.

Düzenin kristal yapıya sahip bir has yarıiletkene dış kabuklarında beser valans elektronu bulunan yabancı atomlar (örneğin; P, As, ...) katılırsa bu «katkı atomları» kristal yapıya, sanki birer yarıiletken ato-

mu imiş gibi, dört dış yörüngede elektronları ile komşu atomlara bağlanarak yerleşirler. Açıkta kalan beşinci elektronlar kolaylıkla ait oldukları atomun çevresinden ayrılarak yapı içinde rastgele dolasabilen birer «serbest elektron» haline geçerler. Bu yolla ortaya çıkan serbest elektronların sayısı, yapıya katılan 5 valans elektronlu atomların sayısı kadarır. Birer elektronlarını serbest bırakarak kristal yapıya yerleşmiş olan bu atomlar yerleri belirli ve sabit olan +1 pozitif yüklü iyonlar olarak yapı içinde kalırlar. Kristal yapı içinde bu serbest elektronlarla hareketsiz pozitif iyonlardan başka, yarıiletken atomlarından ıslı uyarma sonucu kopan elektronlarla bunların kopması ile ortaya çıkan delikler de vardır. Demek oluyor ki içine 5 valans elektronlu yabancı atomlar katılmış bir yarıiletkende akım taşıyıcısı olarak çok sayıda elektron ve az sayıda da delik bulunacaktır. Çoğunlukta bulunan taşıyıcılar «çögünlük taşıyıcıları» ve bu taşıyıcılar negatif yüklü olduğu için bu tip bir yarıiletkene «n tipi yarıiletken» denir. Kristal yapı içindeki «azınlık taşıyıcıları»nın (n tipi yarıiletken için, deliklerin) sayısı, aynı sıcaklıktaki bir has yarıiletkendeki delik sayısından daha küçüktür. Bunun sebebi yapı içinde çok sayıda bulunan elektronların, deliklerle birleşerek onları yok etmeleridir. Yarıiletkene ne kadar çok 5 valans elektronlu atom katılırsa serbest elektron sayısı okadar artacak, deliklerin sayısı da —birleşmeler sonucu— o oranda azalacaktır. Katkı atomları katılmış bir yarıiletkende, belirli bir sıcaklık için, pozitif ve negatif taşıyıcıların yoğunlukları çarpımının sabit ve has yarıiletken halindekine eşit olduğu gösterilebilir :

$$p \cdot n = p_i \cdot n_i$$

p ve n yoğunlukları çarpımı, has yarıiletkenle katkılabilir has yarıiletkende aynı olduğu halde toplam taşıyıcı yoğunluğu katkılabilir has yarıiletkendekine göre çok daha yüksek, dolayısı ile iletkenlik çok daha büyük olabilir. (Örneğin oda sıcaklığında has silisyum için  $n_i = p_i = 1,6 \cdot 10^{10} \text{ cm}^{-3}$  yani  $1 \text{ cm}^3$  deki deliklerin ve elektronların toplam sayısı  $2 \times 1,6 \cdot 10^{10}$  dur.  $n_i p_i$  çarpımı ise  $2,56 \cdot 10^{20}$  dir.  $n = 10^{16}$  olacak şekilde katkılabilir n tipi bir silisyumda, oda sıcaklığında,

$$n \cdot p = n_i \cdot p_i = 2,56 \cdot 10^{20}$$

olduğundan

$$p = 2,56 \cdot 10^4$$

dür.  $1 \text{ cm}^3$  deki elektronların sayısı  $10^{16}$ , deliklerin sayısı  $2,56 \cdot 10^4$ , elektronların ve deliklerin toplam sayısı

$$n + p = 10^{16} + 2,56 \cdot 10^4 \approx 10^{16}$$

yani has yarıiletkendekinin yaklaşık olarak 300.000 katıdır. Ayrıca bu sayı sıcaklığa, has yarıiletkendekine göre çok daha az bağlıdır.)

Has yarıiletkene dış kabuklarında üçer valans elektronu bulunan yabancı atomlar (örneğin Al, B, ...) katılırsa bu atomların kristal yapıya yerleştirmeleri için yakınlarındaki yarıiletken atomlarından birer elektron «çalmaları» gerekir. Böylece kendileri, yapı içinde yerleri belirli ve sabit olan birer negatif iyon haline geçerlerken, çaldıkları elektronlardan kalan *delikler* —sözde— pozitif yükler olarak kristal içinde rastgele dolasmaya başlarlar. Böylece ortaya çıkan pozitif akım taşıyıcıları, ıslı uyarma ile doğmuş olan serbest elektron ve deliklere eklenirler ve bu defa pozitif taşıyıcılar yoğunlukta olduğu için bu tip bir yarıiletkene *p tipi yarıiletken* denir. *p* tipi bir yarıiletkende de belirli bir sıcaklık için  $pn = p_i \cdot n_i$  bağıntısı geçerlidir.

### 3.2. p-n Jonksiyonu.

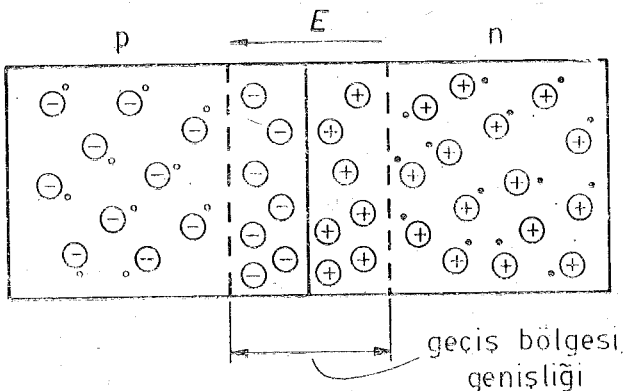
Bir yarıiletken parçasının bir bölgesi *p* tipi, bir bölgesi *n* tipi olacak şekilde katkılansırsa *p* tipi bölgede çok sayıda bulunan delikler *n* tipi bölgeye doğru ve *n* tipi bölgede çok sayıda bulunan elektronlar *p* tipi bölgeye doğru yayılmaya başlarlar. Hareket edebilen taneciklerin yüksek yoğunlukta bulundukları yerden alçak yoğunlukta bulundukları yerlere doğru bu şekilde yayılmaları olayına *difüzyon* denir. Difüzyonla taşınan taneciklerin miktarının, taneciklerin yoğunluğunun hareket doğrultusunda uzaklık ile değişim hızına yani *yoğunluk gradyanına* bağlı olacağı açıklıdır. Örneğin, yarıiletken içinde delik yoğunluğunun  $x$  doğrultusunda uzaklık ile değişim hızı  $dp/dx$  ile gösterilirse, bu doğrultuda difüzyonla hareket eden deliklerin taşıdığı akımın yoğunluğu

$$J_p = -q \cdot D_p \cdot dp/dx$$

olur. Bağıntıdaki  $D_p$  katsayısına *delikler için difüzyon katsayısı* denir ve  $(m^2/s)$  boyutundadır.

*p* tipi bölgeye ait deliklerin *n* tipi bölgeye ve *n* tipi bölgeye ait elektronların *p* tipi bölgeye doğru difüzyonları sürüp gidemez. *n* tipi bölgeye geçen delikler bu bölgede çok sayıda bulunan elektronlarla birleşerek birbirlerini yok ederler. Benzer durum *p* tipi bölgeye geçen elektronlar için de söz konusudur. Bu birleşmeler sonucunda jonksiyonun iki yanındaki serbest taşıyıcılar süratle azalarak taşıyıcılar bakımından fakirleşmiş bir bölge meydana gelmesine yol açarlar. Bu *fakirleşmiş bölge* yahut *geçiş bölgesinin* *n* tipi yarıiletken içinde kalan kısmında, kristal yapıya yerleştirmek için birer elektron kaybederek pozitif birer iyon haline gelmiş olan katkı atomları, pozitif bir yük birikiminin ortayamasına sebep olurlar. Benzer şekilde, *geçiş bölgesinin* *p* tipi yarıiletken içinde kalan kısmında da negatif bir yük birikimi meydana gelir (Şekil 3.1.).

Bu durumun doğal sonucu olarak elektronların sağdan sola doğru, deliklerin de soldan sağa doğru difüzyonları frenlenir ve sonunda durur. Bu denge konumunda hareketli yüklerin jonksiyonu gereklilik karşı tarafa gitmeleri durmuş ve jonksiyonun iki yanındaki sabit yükler (iyonlar) sebebi ile bir  $E$  elektriksel alanı meydana gelmiştir. Geçiş bölgesinin

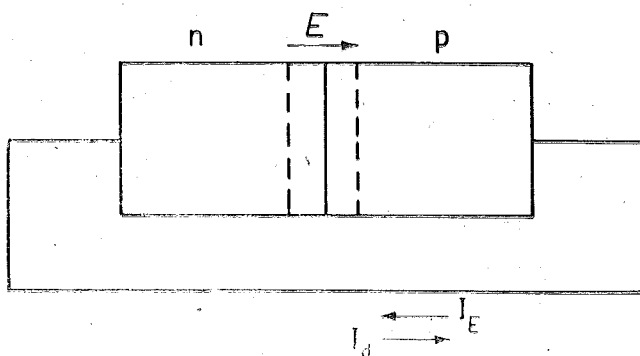


Sekil 3.1. p-n jonksiyonunda geçiş bölgesi (fakirleşmiş bölge).

dışında ise,  $n$  tipi bölgede çok sayıda serbest elektron ve az sayıda delik,  $p$  tipi bölgede de çok sayıda delik ve az sayıda serbest elektron mevcuttur. Bu durumda meselâ  $p$  tipi bölgedeki elektronlardan biri alanın etkisi ile  $n$  tipi bölgeye geçse, geçiş bölgesinin sağındaki pozitif iyonların birini nötürleştirir. Bu da  $E$  alanının, başka bir deyişle, soldaki deliklerin sağa geçmelerini engelleyen itme kuvvetinin biraz azalması sonucunu verir. Denge konumuna yeniden ulaşılması için soldan sağa bir deliğin (veya ters yönde bir elektronun) geçmesi gereklidir. Demek oluyor ki aslında jonksiyonun bir yanından diğer yanına bir taşıyıcı geçışı mümkündür; fakat bu hemen, karşıt cinsten bir taşıyıcının da geçmesi sonucunu doğuracağından, jonksiyondan geçen net akım sıfır ortalama değerini muhafaza eder.

$p$  ve  $n$  tipi bölgelerdeki katkı atomu yoğunlukları eşitse meydana gelen geçiş bölgesi genişliklerinin her iki taraf için aynı olacağı açıktır. Katkı atomu yoğunlukları eşit değilse, örneğin  $n$  tipi bölgede daha çok katkı atomu varsa, geçiş bölgesinin  $n$  tipi bölge içinde kalan kısmını —iki taraftaki zıt işaretli iyonların sayılarının eşit olmasını sağlayacak şekilde—  $p$  tipi bölge içinde kalan kısmından daha dar olur.

Jonksiyonun iki yanındaki p ve n tipi bölgeler dışardan bir iletkenle kısa devre edilirse durumda bir değişiklik olmaz. Alanın etkisi ile jonksiyonu aşan azınlık taşıyıcılarının meydana getirdiği küçük bir  $I_E$  akımı, bu akımı meydana getiren taşıyıcıların bir yandan öteki yana geçmeleri yüzünden, difüzyonu önleyen  $E$  alanının değerinde azalmalara ve bu da  $I_E$  ile zit yönde ve ona eşit bir  $I_d$  difüzyon akımının doğmasına sebep olur. Jonksiyon ve dış devre üzerinden akan net akımının ortalaması değeri sıfır kalır (Şekil 3.2.).



Şekil 3.2. Kısa devre edilmiş p-n jonksiyonu.

Jonksiyona dışardan,  $E$  alanını kuvvetlendirecek yönde bir gerilim uygulanırsa şu değişiklikler ortaya çıkar:

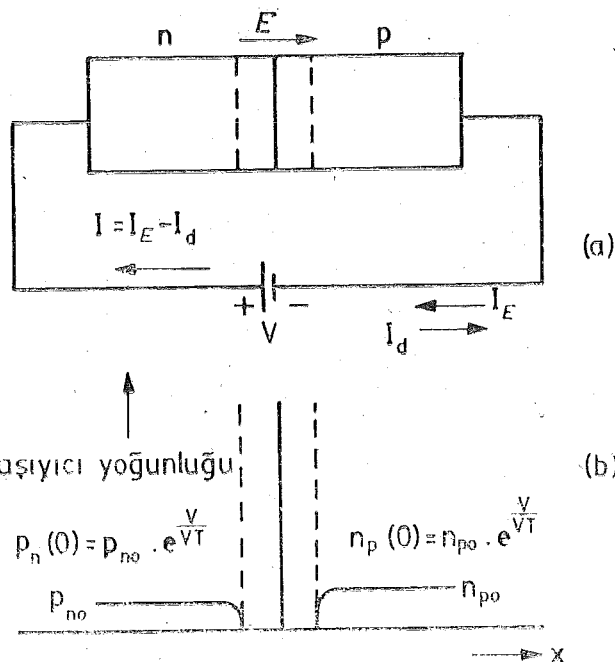
(a) Çoğunluk taşıyıcıları alanın büyümesi sebebi ile jonksiyondan daha uzaklara itilir ve bunun sonucunda geçiş bölgesi iki tarafa doğru genişler.

(b) Alanın büyümesi, azınlık taşıyıcılarının alanın etkisi altında akıtları  $I_E$  akımının artmasına sebep olur. Jonksiyona gerilim uygulanmamışken  $I_E$  akımını dengeleyerek net akımın sıfır olmasını sağlayan  $I_d$  difüzyon akımı, difüzyonu engelleyen alanın büyümesi sebebi ile azalır. Sonuç olarak devreden,  $I_E$  nin yönünde bir net akım akar (Şekil 3.3. a). Azınlık taşıyıcılarının meydana getirdiği bu akımın değeri küçüktür. Yarıiletken içindeki azınlık taşıyıcılarının sayısı küçük olduğu için uygulanan gerilim artırılsa da bu akım pek artamaz; mevcut bütün azınlık taşıyıcılarının akıma katılmalarından sonra belirli bir doyma değerinde sabit kalır. Ancak, azınlık taşıyıcılarının sayıları sıcaklığa çok bağlı olduğundan bu doyma akımının değeri, sıcaklıkla artar.

(c) Azınlık taşıyıcılarının alan tarafından karşı tarafa sürüklenebilmesinin sonucu olarak, azınlık taşıyıcıları yoğunluğu geçiş bölgesi sınırlarında düşer. Şekil 3.3. b de, azınlık taşıyıcıları yoğunluğunun jonksiyon civarında uzaklıkla nasıl değiştiği gösterilmiştir. Geçiş bölgesi sınırlarındaki azınlık taşıyıcıları yoğunlıklarının, uygulanmış olan gerilime ( $V$ ) bağlı olarak

$$p_n(0) = p_{no} \cdot e^{\frac{V}{kT}} , \quad n_p(0) = n_{po} \cdot e^{\frac{V}{kT}}$$

bağıntıları ile ifade edilebileceği gösterilebilir ( $p_n(0) < p_{no}$  ve  $n_p(0) < n_{po}$  olması için  $V$  nin negatif olması gereklidir). Bağıntılardaki  $kT$  büyülüklüğü, —k Boltzmann katsayısı,  $T$  mutlak sıcaklık ve  $q$  elektronun yükü olmak üzere—  $V_T = kT/q$  bağıntısı ile belirlidir ve oda sıcaklığında değeri yaklaşık olarak 25 mV dur.



Bu şekilde, bir p-n jonksiyonunu, p tipi bölgeyi bir gerilim kaynağının negatif ucuna, n tipi bölgeyi ise pozitif uca bağlayarak küçük bir akım akıtacak şekilde kutuplamaya *tıkama yönünde kutuplama* denir.

Jonksiyona uygulanan gerilimin yönü değiştirilirse bu sefer gerilim, mevcut alanı zayıflatacak yönde etki yapar ve şu durum ortaya çıkar :

(a) Alanın küçülmesi sebebi ile çoğuluk taşıyıcısı olan elektron ve delikleri jonksiyondan uzak tutan etki zayıflar ve bunun sonucunda geçiş bölgesi genişliği azalır.

(b) Çoğunluk taşıyıcılarının karşı tarafa difüzyonunu frenleyen etken zayıfladığı için  $I_d$  difüzyon akımı artar. Alanın akittiği  $I_E$  azınlık taşıyıcıları akımı ise azalır. Bu durumda devreden,  $I_d$  nin yönünde bir akım akar (Şekil 3.4. a).  $I_d$ , yapı içinde bol sayıda bulunan çoğuluk taşıyıcıları tarafından sağlandığı için —uygulanan gerilime bağlı olarak— büyük değerler alabilir.

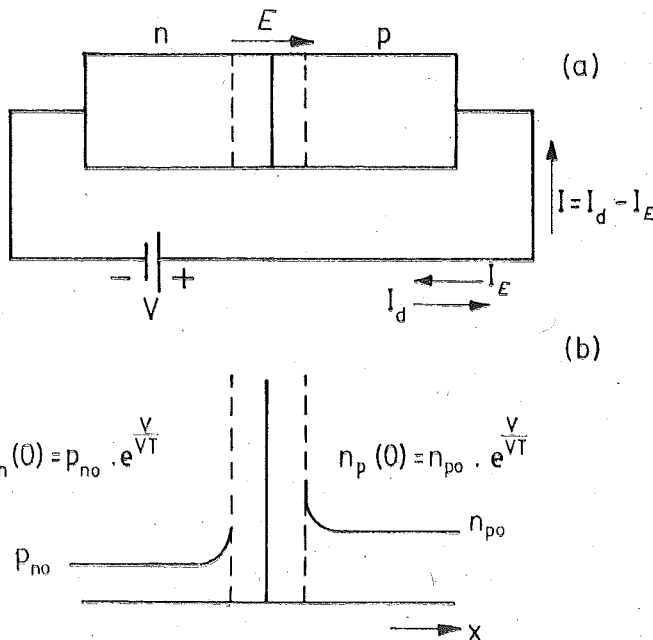
(c) Difüzyonla karşı tarafa geçen çoğuluk taşıyıcıları, geçikleri taraftaki azınlık taşıyıcıları yoğunluğunun geçiş bölgesinde sınırında artmasına sebep olurlar (Şekil 3.4. b). Geçiş bölgesi sınırındaki yoğunlıkların uygulanan gerilime ( $V$ ) bağlı olarak yine

$$p_n(0) = p_{no} \cdot e^{V/V_T}$$

$$n_p(0) = n_{po} \cdot e^{V/V_T}$$

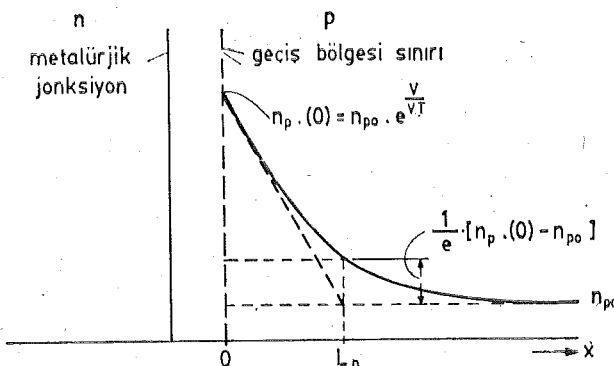
bağıntıları ile ifade edilebilecekleri gösterilebilir ( $p_n(0) > p_{no}$  ve  $n_p(0) > n_{po}$  olması için bu defa  $V$  nin pozitif olması gereklidir).

Bu şekilde, jonksiyonu,  $p$  tipi bölgeyi gerilim kaynağının pozitif ucuna ve  $n$  tipi bölgeyi gerilim kaynağının negatif ucuna bağlayarak, büyük bir akım akitacak şekilde kutuplamaya *geçirme yönünde kutuplama* denir (Şekil 3.4.).



Şekil 3.4. Gegirme yönünde kutuplanmış p-n jonksiyonu.

Geçirme yönünde kutuplanmış bir p-n jonksiyonunda geçiş bölgesi sınırlarındaki azınlık taşıyıcıları yoğunluğu yükselmesinin, karşı tarafındaki çoğuluk taşıyıcılarının difüzyonu sonucunda ortaya çıktıgı belirtildi. Bu taşıyıcıların yoğunluğu, geçiş bölgesi sınırlarından uzaklaşındıkça, bu bölgede çoğulukta olan karşı cinsten taşıyıcılarla birleşmeler sonucunda sürekli olarak azalır ve alabilecegi en küçük değer olan denge yoğunluğuna doğru ( $p$  tipi yarıiletken için  $n_{po}$  ve  $n$  tipi yarıiletken için  $p_{no}$ ) düşer. Bu değişimin üstel olduğu gösterilebilir. Yoğunluk artımının, geçiş bölgesi sınırlarındaki değerinin e'de birine düştüğü uzaklığa *difüzyon uzaklığı* denir ve elektronlar için  $L_n$ , delikler için  $L_p$  simbolü ile gösterilir (Şekil 3.5.). Difüzyon uzaklığı, ortamındaki çoğuluk taşıyıcıları yoğunluğununa bağlı olarak  $10 \mu\text{m}$  ile birkaç mm arasında değerler alabilir.



Şekil 3.5. Geçirme yönünde kutuplanmış p-n jonksiyonunda p bölgesinde giren elektronların yoğunluğunun uzaklıkla değişimi.

### 3.3. Yarıiletken Diyot.

Bir p-n jonksiyonu p tipi bölge n tipi bölgeye göre negatif olacak şekilde kutuplandığında küçük bir akım ve p tipi bölge n tipi bölgeye göre pozitif olarak kutuplandığında kutuplama gerilimi ile artan büyük bir akım akıttığına göre, bir *diyon* olarak kullanılabilir. Bir yarıiletken diyodun akım-gerilim bağıntısı elektron ve delik akımlarının geçiş bölgesi sınırlarındaki değerlerinden hareket edilerek çkartılabilir. Şekil 3.4. deki gibi geçirme yönünde kutuplanmış bir diyotta *jonksiyondan* geçen net akım soldan sağa doğru geçen elektronların doğurduğu akımla sağdan sola doğru geçen deliklerin doğurduğu akımın toplamıdır. Geçiş bölgesi içindeki üreme ve birleşmeler ihmal edilirse bu elektron ve delik akımları geçiş bölgesi sınırlarındaki değerlerine eşit alınabilir. Geçiş

bölgесinin p tipi bölge içindeki sınırı üzerindeki elektron akımı bu noktadaki elektron yoğunluğu gradyanı cinsinden :

$$I_n(0) = A \cdot q \cdot D_n \cdot \left[ \frac{dn_p}{dx} \right]_{x=0}$$

dir (Şekil 3.5.).

Burada A jonksiyon alanını,  $D_n$  p bölgesi içinde, azınlık taşıyıcıları için difüzyon katsayısını ve son çarpan da elektron yoğunluğu gradyanının geçiş bölgesi sınırlındaki değerini göstermektedir. Elektron yoğunluğunun uzaklıkla değişim kuralı ile başlangıç değeri  $n_p(0)$  ve  $x \gg L_n$  için ulaşacağı değer olan  $n_{po}$  bilindiğine göre ( $dn_p/dx$ ) hesaplanabilir :

$$n_p = [n_p(0) - n_{po}] \cdot e^{-x/L_n} + n_{po}$$

$$\frac{dn_p}{dx} = -\frac{1}{L_n} \cdot [n_p(0) - n_{po}] \cdot e^{-x/L_n}$$

$$\left[ \frac{dn_p}{dx} \right]_{x=0} = -\frac{1}{L_n} [n_p(0) - n_{po}]$$

Bu değer kullanılarak

$$I_n(0) = -A \cdot q \cdot D_n \cdot \frac{1}{L_n} \cdot [n_p(0) - n_{po}]$$

ve

$$n_p(0) = n_{po} \cdot e^{V/V_T}$$

olduğundan

$$I_n(0) = -A \cdot q \cdot \frac{D_n}{L_n} \cdot n_{po} \cdot (e^{V/V_T} - 1)$$

bulunur. Benzer işlemler Şekil 3.4. de sağdan sola doğru geçen delikler için yapılrsa geçiş bölgesinin n tipi bölge içindeki sınırındaki delik akımı için de

$$I_p(0) = -A \cdot q \cdot \frac{D_p}{L_p} \cdot n_{po} \cdot (e^{V/V_T} - 1)$$

bağıntısı elde edilir. Ohalbde toplam akım

$$I_D = I_n(0) + I_p(0) = -A \cdot q \cdot \left[ \frac{D_n}{L_n} \cdot n_{po} + \frac{D_p}{L_p} \cdot n_{po} \right] \cdot (e^{V/V_T} - 1)$$

bağıntısı ile belirlidir. Bağıntıdaki (-) işaretti Şekil 3.4. de x'in yönünün akım yönüne ters alınmış olmasının sonucudur.  $D_n$ ,  $L_n$ ,  $D_p$  ve  $L_p$  sebebi

ile malzemeye, A sebebi ile diyodun geometrisine,  $n_{po}$  ve  $p_{no}$  sebebi ile de katkı yoğunluklarına ve sıcaklığa bağlı olan katsayıya diyodun  $I_o$  doyma akımı denir :

$$I_o = -A \cdot q \cdot \left[ \frac{D_n}{L_n} \cdot n_{po} + \frac{D_p}{L_p} \cdot p_{no} \right]$$

Böylece geçirme yönünde kutuplanmış bir yarıiletken diyodun akımı için

$$I_D = I_o \cdot (e^{V/V_T} - 1)$$

bulunur. Bu bağıntı  $V \gg V_T$  şartını gerçekleyen (yani birkaç yüz mV dan daha büyük) geçirme yönü gerilimleri için

$$I_D \approx I_o \cdot e^{V/V_T}$$

şeklinde basitleştirilebilir. Bu bağıntıdan, geçirme yönünde kutuplanmış bir yarıiletken diyodun *küçük işaret direnci* için

$$r_d = \frac{dV}{dI_D} = \frac{V_T}{I_D}$$

elde edilir. Buna göre, küçük işaret direnci diyodun  $I_D$  kutuplama akımı ile ters orantılıdır ve değeri, oda sıcaklıklarında  $V_T \approx 25$  mV = 0,025 V olduğundan

$$r_d = \frac{0,025}{I_D (\text{A})} = \frac{25}{I_D (\text{mA})}$$

bağıntısı ile hesaplanabilir.

Yukarda geçirme yönünde kutuplanma durumu için çıkartılmış olan akım bağıntısının, tıkama yönünde kutuplama hali için de geçerli olduğu gösterilebilir. Bu durumda  $V$  tıkama geriliminin *negatif* alınması gereklidir.  $|V| \gg V_T$  (yani birkaç yüz milivolttan daha büyük tıkama gerilimleri) için  $I_D \approx -I_o$  olacağı, yani tıkama yönü akımının uygulanan gerilimden bağımsız olarak sabit kalacağı kolayca görülebilir.

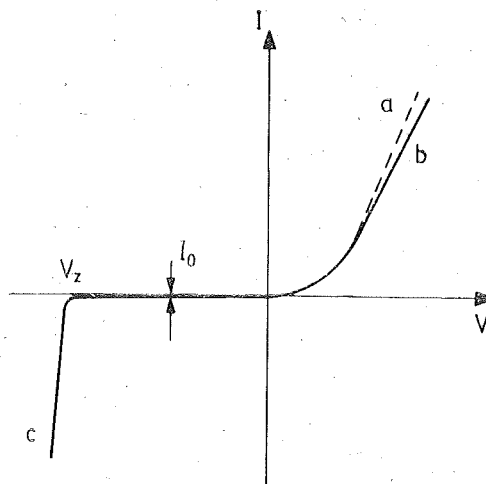
Gerçek bir yarıiletken diyodun elektriksel davranışları, elde edilmiş olan bağıntının belirlendiği eğriye tamı tamına uymaz (Şekil 3.6.) :

(a) Yarıiletken gövdemin direnci sıfır olmadığından gerçekte yarıiletken diyoda seri olarak bir  $R_s$  gövde direnci vardır. Bu dirençteki gerilim düşümü özellikle büyük akımlarda kendini belli eder.

(b) Gerilimden bağımsız olacağını gördüğümüz tıkama yönü akımı tıkama yönü geriliminin belirli bir değerinde birden bire artmaya

başlar. Fazla katkılanmış yarıiletkenlerle gerçekleştirilen yarıiletken diyonlarda geçiş bölgesi genişliği çok küçük olacağından tıkama yönü geriliminin bir değerinden sonra bu bölge içindeki alan şiddeti yarıiletken atomlarına ait elektronları kopartabilecek kadar yüksek bir değere (silisyum için  $300 \text{ kV/cm}$ ) ulaşabilir. Bu durumda yapı içinde çok yüksek sayıda serbest elektron ortaya çıkacağından akım birden bire artar (Zener olayı). Yarıiletkende katkı oranları çok yüksek değilse Zener olayından önce bir başka olay meydana gelir. Geçiş bölgesi genişçe olduğundan bu bölgeyi geçerken alanın etkisi ile hızlanan elektronlar çarpışıkları yarıiletken atomlarından yeni elektronların kopmasına ve bu şekilde ortaya çıkan elektronların da olaya katılması ile taşıyıcı sayısının çoğ gibi artmasına sebep olurlar (çoğ olayı). Fiziksel mekanizma farklı olmakla beraber çoğ olayına dayanan diyotlara da pratikte *Zener diyodu* denmekte ve akımın birdenbire artmaya başladığı gerilim (belverme gerilimi) genellikle *Zener gerilimi* adı ile anılmaktadır.

Zener olayında elektronların kopması sıcaklık arttıkça kolaylaşır. Dolayısı ile Zener olayının başladığı gerilimin sıcaklık katsayısı negatiftir. Öte yandan, sıcaklık arttıkça elektronların ortalama serbest yolları kısalacağından çoğ olayının başladığı gerilimin sıcaklık katsayısı pozitiftir. Bu nedenle her iki olayın da katkıda bulunduğu  $5 - 6 \text{ V}$  merkezindeki zener gerilimleri için sıcaklık katsayısı sıfır civarında, Zener olayının baskın olduğu  $5 \text{ V}$  dan küçük zener gerilimli diyotlarda negatif, çoğ olayının baskın olduğu  $6 \text{ V}$  dan büyük zener gerilimli diyotlarda ise pozitiftir.



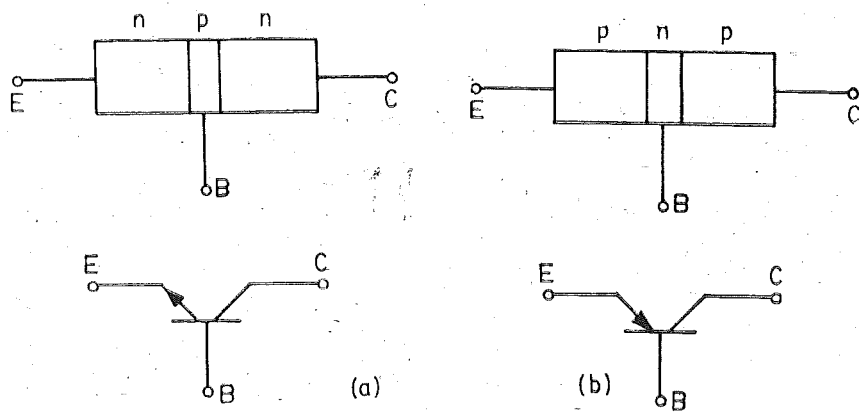
Şekil 3.6. Gerçek yarıiletken diyon özeğrisi (a) teorik eğri, (b) gövde direncinin etkisi, (c) Zener bölgesi.

### 3.4. Tranzistor.

#### 3.4.1. Giriş.

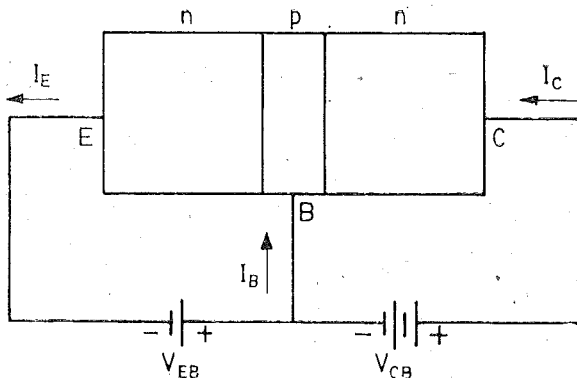
Günümüzde akım kontrol elemanı olarak en çok kullanılan yarıiletken düzenler *bipolar tranzistor'lar* —yahut kısaca *tranzistorlar*— dir. Tranzistorların alan etkili tranzistorlara göre en önemli üstünlükleri akım kontrol yeteneklerinin (yani *geçiş iletkenlikleri*'nin) daha yüksek olmasıdır. Aşağıda bipolar tranzistorların yapıları ve devre elemanı olarak davranışları ana hatları ile gözden geçirilecektir.

Bir tranzistor, iki n tipi yarıiletken bölgesi çok ince bir p tipi yarıiletken tabaka ile ayrılmış olan bir düzen olarak gerçekleştirilebilir. Böyle bir tranzistora *n-p-n tipi tranzistor* denir. Bunun tersi, yani iki p tipi bölge arasına ince bir n tipi tabaka yerleştirilerek gerçekleştirilen tranzistorlar ise *p-n-p tipi tranzistor'lar* olarak adlandırılır. Her iki tranzistor tipinde de aradaki ince yarıiletken tabakasına *baz*, bunun iki yanındaki —karşıt cinsten— yarıiletken bölgelerinden birine *emetör* öbürüne *kolektör* denir. Şekil 3.7. de n-p-n tipi ve p-n-p tipi tranzistorların sematik yapıları ile sembollerini verilmiştir.



Şekil 3.7. (a) n-p-n tipi bir tranzistorun, (b) p-n-p tipi bir tranzistorun sematik yapısı ve sembolü.

Şimdi bir n-p-n tipi tranzistoru göz önüne alarak akım kontrol mekanizmasını anlamaya çalışalım. Tranzistorun emetör baz jonksiyonu geçirme yönünde, baz kolektör jonksiyonu da tıkama yönünde kutuplanmış olsun (Şekil 3.8.).



Sekil 3.8. Emetör-baz jonksiyonu  $V_{EB}$  gerilimi ile geçirme yönünde, kolektör-baz jonksiyonu  $V_{CB}$  gerilimi ile tikama yönünde kutuplanmış n-p-n tipi bir tranzistor.

Bir an için tranzistorda baz bölgesinin çok dar olduğu gerçekini bir tarafa bırakarak akımları inceleyelim :

1. Geçirme yönünde kutuplanmış olan E-B jonksiyonunda, emetör bölgesindeki yoğunluk taşıyıcıları olan elektronlar difüzyonla baz bölge sine geçerler. Benzer şekilde baz bölgesindeki yoğunluk taşıyıcıları da emetör bölge sine geçerler. Bu iki taşıyıcı akışının sebep olduğu *elektrik akımı* aynı yönde ve emetörden dışarıya doğrudur. Emetör bölgesinin katkı yoğunluğu baz bölgesine göre çok yüksek yapılrsa toplam akım üzerinde bazdan emetöre geçen deliklerin payı ihmal edilebilir. Akacak olan akım geçirme yönünde bir p-n jonksiyonunun akımıdır ve değeri  $I_E \approx I_{EBS} (e^{-V_{EB}/V_T} - 1)$  bağıntısı ile belirlidir. Buradaki  $I_{EBS}$  kat sayısı kolektör jonksiyonundan da akım akması (yahut kolektörün baza kısa devre edilmesi) haline karşı düşen emetör-baz jonksiyonu doyma akımıdır.

$$\text{Emetördeki } \eta = \frac{I_E}{I_E + I_{EBS}} \quad \text{Laz } I_{EBS} = \eta \cdot I_E \quad \rho = \frac{I_E}{I_B} = \beta$$

2. Tikama yönünde kutuplanmış olan B-C jonksiyonunda p bölgesindeki azınlık taşıyıcıları olan elektronlar kolektör bölge sine, kolektör bölgesindeki azınlık taşıyıcıları da baz bölge sine doğru, jonksiyondaki  $V_{CB}$  nin de desteklediği alanın etkisi ile akarlar. Bunların toplamı kolektör ucundan içeriye doğru bir elektrik akımı demektir. Akıma katkıda bulunan taşıyıcıların yoğunluğu her iki bölgede de çok az olduğundan akım değeri küçüktür ve taşıyıcı yoğunlukları ile sınırlıdır.

Şimdi tekrar başa, emetör bölgesinden baz bölge sine difüzyonla geçen elektronlara dönelim. Bu elektronların baz bölgesi içinde ilerledikçe burada yoğunlukta bulunan deliklerle birleşeceklerini ve yoğunluklarının

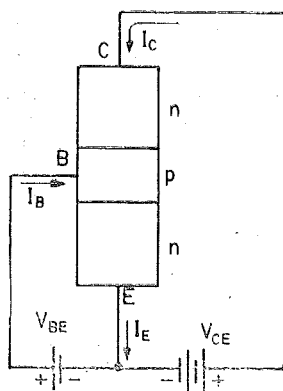
$$\text{Baz transport faktörü } \beta^* = \frac{I_{EBC}}{I_{EBS}}$$

$$\alpha = I_{EBC} = I_{EBS} \cdot \beta^* = \beta^* \alpha$$

uzaklıkla üstel olarak azalacağını, elektronların difüzyon uzaklıği denilen uzaklıkta yoğunluk artımının, başlangıçtaki değerinin  $1/e$  sine düşeceğini biliyoruz.

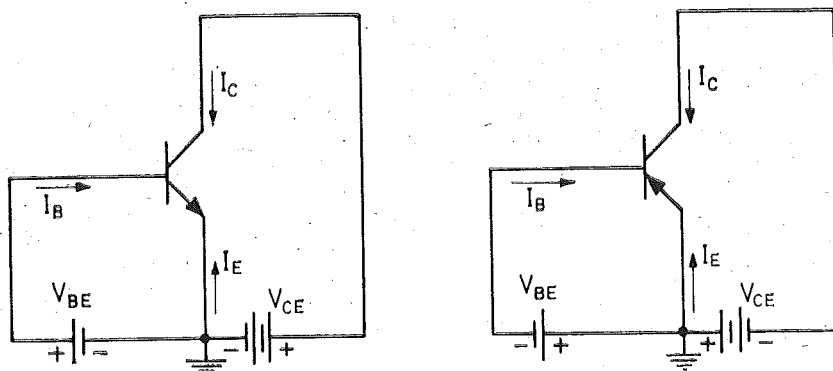
Şekil 3.8. deki yapıda p tipi baz bölgesinin genişliği elektronların  $L_n$  difüzyon uzaklığına göre küçük olacak şekilde, çok dar yapılrsa emetörden baz bölgesine geçen elektronların hentiz pek azi deliklerle birleşmisken, büyük çoğunluğu kolektör jonksiyonuna ulaşır. Bu jonksiyondaki kutuplama gerilimi elektronları kolektör bölgesine doğru akıtacak yönde olduğundan kolektör jonksiyonuna ulaşmış olan elektronlar kolektör bölgesine geçerek kolektörden dışarıya doğru bir elektron akımı (kolektörden içeriye doğru bir elektrik akımı) oluştururlar. Bu akım emetörden baza geçen elektronların akıldığı akımdan biraz küçüktür. Aradaki fark baz bölgesinden geçenken deliklerle birleşen az sayıda elektrona karşı düşen akıma eşittir. Baz bölgesi yeteri kadar dar ise baz içinde meydana gelen birleşmeler az olacağından baz akımı çok küçük ve emetör akımı yaklaşık olarak kolektör akımına eşit olur.

Şekil 3.8. e dikkate bakılırsa görüldür ki elektron akımı yolu emetörden —baz üzerinden— kolektöre doğru, yani elektrik akımının yolu kolektörden —baz üzerinden— emetöre doğrudur ve bu akımı sağlayan toplam kaynak  $V_{CE}$  gerilimidir. Akımı kontrol eden büyülüklük ise, baza geçen elektronların sayısını belirleyen  $V_{EB}$  gerilimidir. O halde tranzistoru Şekil 3.9. daki gibi de kutuplayabiliriz. Böylece kontrol edilen akımın, kontrolu sağlayan kaynak üzerinden akması önlenmiş olur. *Ortak bazlı devre* denilen Şekil 3.8. deki devrede kontrol kaynağından akan akım yaklaşık olarak kontrol edilen akıma eşit olduğu halde Şekil 3.9. daki *ortak emetörlü devre*'de kontrol kaynağından akan akım (baz akımı) kontrol edilen akıma göre çok küçüktür.



Şekil 3.9. n-p-n tipi bir tranzistorun ortak emetörlü devrede kutuplanması.

n-p-n tipi bir tranzistor için bu anlatılanlar p-n-p tipi bir tranzistor için de geçerlidir. Tek fark akım ve gerilimlerin yönlerinin yukarıdakinin tersi olmasıdır. Pratikte, her iki tranzistor tipi için de geçerli olmak üzere akımların referans yönleri'nin tranzistor'a doğru alınması kabul edilmiştir. Bu kabule göre —ve tranzistorlar için sembollerini kullanılarak— Şekil 3.10 (a) da verilmiş olan devrede  $I_C$  ve  $I_B$  —gerçek yönlerle referans yönleri uyusluğu için— pozitif birer büyüklük,  $I_E$  ise —gerçek akım yönü referans yönüne zıt olduğu için— negatif bir büyüklüktür. Şekil 3.10. (b) deki p-n-p tranzistorlu devrede ise  $I_E$  pozitif,  $I_C$  ve  $I_B$  negatifdir. Gerilimler de giriş ve çıkış çevrimleri için ortak olan üç referans alınarak yönlendirilir. Örneğin Şekil 3.10. (a) daki ortak emetörlü devrede  $V_{BE}$  ve  $V_{CE}$  pozitiftir. Şekil 3.10.(b) deki devrede ise her ikisi de negatiftir.



Şekil 3.10. (a) n-p-n tipi, (b) p-n-p tipi tranzistor için ortak emetörlü devrede akımların referans yönleri.

Şekil 3.10.(a) ve (b) de verilmiş olan ortak emetörlü devrelerde kontrol edilen akım (yahut çıkış akımı) yani  $I_C$  nin, giriş akımına yani  $I_B$  ye oranına tranzistorun *kısa devre akım kazancı* denir ve  $h_{FE}$  ile gösterilir :

$$h_{FE} = I_C / I_B \quad (3.1)$$

Buradaki *kısa devre* terimi akım yolu üzerinde bir yük bulunmadığını yahut yükün «kısa devre» olduğunu belirler. Görüleceği gibi  $h_{FE}$  her iki tranzistor tipi için de *pozitif* bir büyülüktür. Değeri tranzistorun yapısına (katkı yoğunluklarına ve baz bölgesinin genişliğine) bağlıdır ve mertebe olarak genellikle 10 ile 1000 arasında değişir.

Kolektör akımının emetör akımına oranı, ortak bazlı devrenin kısa devre akım kazancıdır ( $h_{FB}$ ) ve değeri daima 1'den küçüktür. İsgareti ise her iki tranzistor tipi için de *negatif*tir.

$$h_{FB} = I_C/I_E \quad (3.2)$$

Tranzistorun akımları arasında —elemanın içinde bir yük kaynağı yahut yük kapanı bulunmadığına göre—

$$I_B + I_C + I_E = 0 \quad (3.3)$$

bağıntısı yazılabilir. (3.1), (3.2) ve (3.3) bağıntıları kullanılırsa  $h_{FE}$  ile  $h_{FB}$  arasında

$$h_{FE} = \frac{I_C}{I_B} = \frac{I_C}{-(I_C + I_E)} = \frac{1}{-\left(1 + \frac{I_E}{I_C}\right)}$$

$$h_{FE} = \frac{\frac{I_C}{I_E}}{\left(\frac{I_C}{I_E} + 1\right)} = -\frac{h_{FB}}{h_{FB} + 1} \quad (3.4.)$$

ve

$$h_{FB} = -\frac{h_{FE}}{h_{FE} + 1} \quad (3.5)$$

bağıntıları bulunur.

Tranzistorda gerçekte, emetör bölgesindeki çoğuluk taşıyıcılarının baza difüzyonundan kaynaklanan bu akımlardan başka —şimdije kadar küçük olduğu için ihmäl ettiğimiz— tıkama yönünde kutuplanmış olan kolektör jonksiyonunun tıkama akımı da vardır. Kolektör ve baz bölgelerinde, ıslı etkilerle ortaya çıkan elektron ve deliklerin oluşturduğu bu akıma *ıslı doyma akımı* da denir ve  $I_{CBO}$  ile gösterilir. Bu akım da hesaba katılırsa kolektör akımı

$$I_C = h_{FB} \cdot I_E + I_{CBO} \quad (3.5.b)$$

şeklinde yazılabilir. Buradan  $h_{FB} = -h_{FE}/(h_{FE} + 1)$  ve  $I_E = -(I_C + I_B)$  ko-nularak

$$I_C = h_{FE} \cdot I_B + I_{CBO} \cdot (h_{FE} + 1) \quad (3.6)$$

bağıntısı elde edilir. Bu son iki bağıntı ortak bazlı ve ortak emetörlü devreler için sıcaklığı bağlı olan  $I_{CBO}$  akımının  $I_C$  üzerindeki etkisini belirler.

### 3.4.2. Tranzistor Özeğrileri:

Şekil 3.9. daki gibi kutuplanmış bir tranzistor için çeşitli akım gerilim ilişkilerini gösteren eğrilere yahut eğri ailelerine *tranzistorun özeğrileri* denir. Özeğriler arasında en önemli olanları *giriş özeğrisi* ( $I_B = f(V_{BE})$ ), *geçiş özeğrisi* ( $I_C = f(I_B)$ ) ve *cıkış özeğrileri* ( $I_C = f(V_{CE})$ ,  $I_B$  parametre) dir. Aşağıda bu eğrilerin genel gidişlerinin nasıl olması gerektiği, tranzistorun çalışma ilkelerinden yararlanılarak çıkartılacaktır.

#### Giriş Özeğrisi :

Şekil 3.10. (a) daki devrede tranzistorun emetöründen bazına geçen elektronların miktarını (dolayısı ile  $I_E$  emetör akımını) belirleyen etken  $V_{BE}$  gerilimidir.  $I_E$  nin  $V_{BE}$  ye bağımlılığı, p-n jonksiyonunun akım-gerilim bağıntısı ile belirlidir :

$$I_E \approx -I_{EBS} (e^{V_{BE}/V_T} - 1)$$

Burada  $I_{EBS}$ , emetör baz jonksiyonunun ıslı doyma akımıdır. (3.1) ve (3.3) bağıntılarından

$$I_B = -I_E / (h_{FE} + 1) \quad (3.7)$$

olduğu kolayca görülebilir. Ohalde tranzistorun giriş özeğrisini belirleyen bağıntı

$$I_B \approx \frac{+I_{EBS}}{h_{FE} + 1} (e^{V_{BE}/V_T} - 1) \quad (3.8.)$$

dir (Şekil 3.11.).

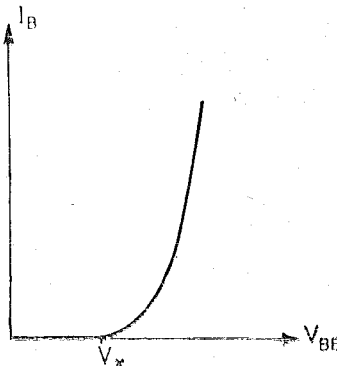
#### Cıkış Özeğrileri :

Bir tranzistorda kolektör akımını, emetörden baza difüzyonla geçen taşıyıcılardan, birleşmeyle baz içinde yok olmadan kolektör jonksiyonuna ulaşabilenler oluşturur. O halde bu akım emetör akımına ve tranzistorun  $h_{FE}$  sine, dolayısı ile  $I_B$  baz akımına bağlıdır, fakat kolektör emetör geriliminden bağımsızdır. Yani ideal olarak sabit bir  $I_B$  değeri için çizilecek  $I_C = f(V_{CE})$  eğrisinin, yatay bir doğru olması gereklidir (Şekil 3.13.). Ancak  $V_{CE}$  nin  $I_C$  üzerinde bazı etkileri olması gerektiği, biraz daha etraflı düşünülürse görülebilir :

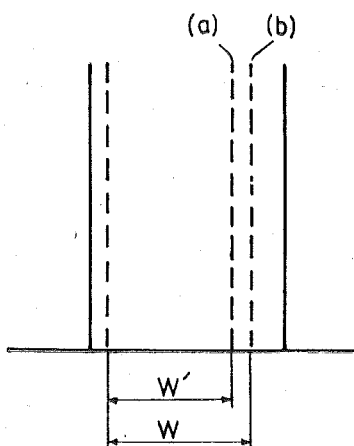
1. Kolektör-baz jonksiyonu  $V_{CE} > V_{BE}$  kalkıkça tıkama yönünde kutuplanmış bir jonksiyondur. Bu jonksiyondaki geçiş bölgelerinin geniş-

lığı, tıkama gerilimi yükseldikçe artar. O halde *baz bölgesinin etkin genişliği*,  $V_{CE}$  (dolayısı ile  $V_{CB}$ ) arttıkça azalır (Şekil 3.12.). Baz genişliğinin azalması ise  $h_{FE}$  nin, dolayısı ile belli bir  $I_B$  değeri için akacak kolektör akımının artması sonucunu verir. O halde *Early olayı* adı verilen bu olayın etkisi ile  $I_B = \text{sabit}$  için gizilen  $I_C = f(V_{CE})$  eğrisi yatay olmayacağı,  $V_{CE}$  büyüdüükçe  $I_C$  de meydana gelen artmayı belirleyecek şekilde meyilli olacaktır (Şekil 3.13.).

2.  $V_{CE}$  nin değeri azalma yönünde değiştirilirse  $V_{CE} = V_{BE}$  değerinde çıkış jonksiyonunu tıkama yönünde kutuplayan  $V_{CB}$  gerilimi sıfıra düşer.

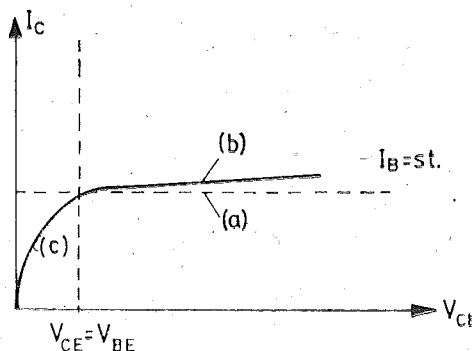


Şekil 3.11. Tranzistorun giriş özeğrisi. Akımın belirgin bir şekilde artmaya başladığı gerilim (eski gerilimi)  $V_\gamma$  ile gösterilmiştir.



Şekil 3.12. Early olayı. (a)  $V_{CE}$  tıkama geriliminin büyük bir değeri için kolektör-baz jonksiyonu geçiş bölgesinin baz içindeki bölümünün sınırı. Bu durumda bazın etkin genişliği  $W'$  dir. (b) Küçük bir  $V_{CE}$  için geçiş bölgesi sınırı. Bu durumda bazın etkin genişliği  $W$  ye yükselmektedir.

$V_{CE} < V_{BE}$  için ise kolektör-baz jonksiyonu tıkama yönünde değil, artık iletim yönünde kutuplanmıştır. Bu durumda akacak olan baz-kolektör akımını meydana getiren, kolektör ve baz bölgelerindeki çoğuluk taşıyıcılarıdır ve akımın yönü normal çalışma durumundaki akım yönünün tersidir. Baz akımına bu olaydan dolayı eklenen bilesenin yönü ise normal baz akımının kinin aynıdır. O halde  $V_{CE} < V_{BE}$  bölgesinde, belirli bir baz akımı için akacak olan kolektör akımı,  $V_{CE} > V_{BE}$  bölgesindekine göre çok küçüktür ve  $V_{CE}$  küçüldükçe hızla azalır. Şekil 3.13. de gösterilmiş olan bu bölgeye tranzistorun *doyma (satürasyon) bölgesi* denir. Doyma bölgesinin başlangıcını belirleyen  $V_{CE} = V_{BE}$  noktalarının  $I_B$  küçüldükçe sola doğru kayacağı kolayca görülebilir.

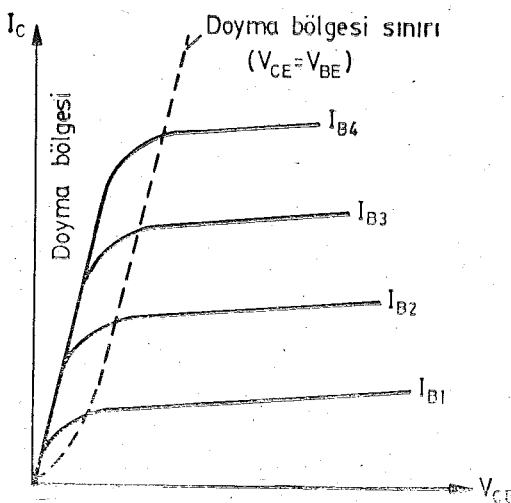


Şekil 3.13. Tranzistorun  $I_C = f(V_{CE})$  eğrilerinden biri. (a) İdeal eğri, (b) Early olayının etkisi, (c) Doyma bölgesinde  $I_C$  nin değişimi.

Şekil 3.14. de  $I_B$  ye adım adım değerler verildiğinde elde edilecek olan eğri ailesi (çıkış özeğrileri) verilmiş ve bunlar üzerinde doyma bölgesi işaretlenmiştir.

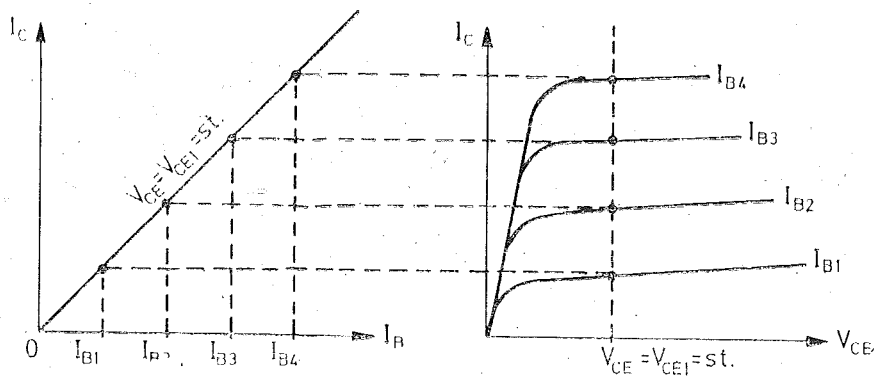
#### Akim Geçiş Özeğrisi :

Şekil 3.14. deki çıkış özeğrilerinden,  $V_{CE}$  nin belirli bir değeri için  $I_C = f(I_B)$  akım geçiş özeğrisini veren noktalar elde edilebilir. Bu özeğri —çıkış özeğrilerinin tam yatay olmaması sebebi ile— değişik  $V_{CE} = st$  değerleri için başka başkadır. Ancak bunlar biribirlerine çok yakın olacağından, pratikte ortalamaya bir  $V_{CE}$  değeri için tek bir özeğri vermekle yetinilir (Şekil 3.15). Geçiş özeğrisi başlangıçtan geçen hemen hemen lineer bir eğridir. Bu,  $h_{FE}$  nin akımdan bağımsız sayılabilceğini ifade



**Şekil 3.14.** Tranzistorun çıkış özeğrileri.

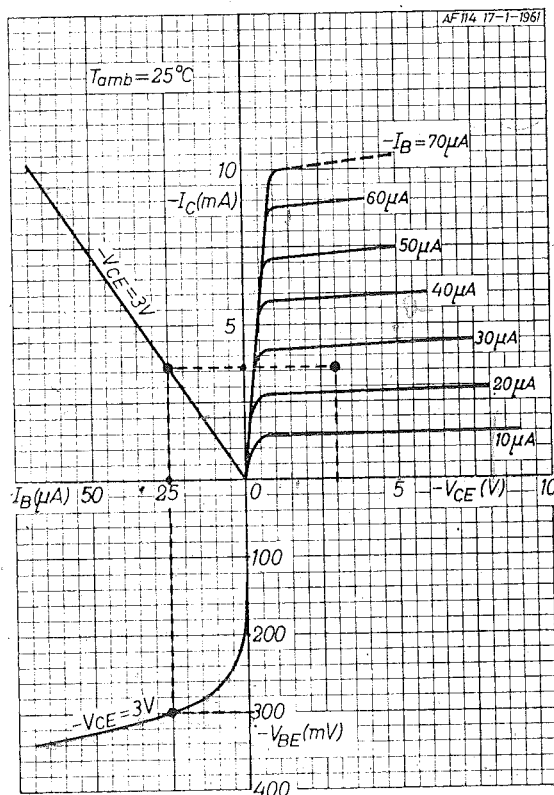
eder. Aslında çok küçük veya çok büyük  $I_c$  değerlerinde bazı ikincil olaylar sebebi ile  $h_{FE}$  nin değeri düşer, dolayısı ile geçiş özeğrisinin lineerliği bozulur.



Şekil 3.15.  $V_{CE} = V_{CE1} = st$  için  $I_C = f(I_B)$  geçiş özeğrisinin elde edilmesi.

Belirli bir tranzistor tipi için giriş, çıkış ve geçiş özeğrileri genellikle yapımçı tarafından kataloglarda verilir. Özeğriler üzerinde çizim yolu ile çözüm yapılırken elde edilen büyülükleri eksenden eksene taşıma işini azaltmak amacıyla bu üç özeğriyi eş eksenlerini çakıstırarak

bir arada vermek daha uygun olur. Şekil 3.16. daki özeğriler bu şekilde verilmiştir. Eğriler üzerinde —bir örnek olmak üzere—  $V_{BE} = -300$  mV ve  $V_{CE} = -3$  V luk kutuplama gerilimleri için akacak olan  $I_B$  ve  $I_C$  akımları bulunarak işaretlenmiştir.



Şekil 3.16. p-n-p tipi bir germanyum tranzistorun  
(AF 115 tranzistorunun) özeğrileri.

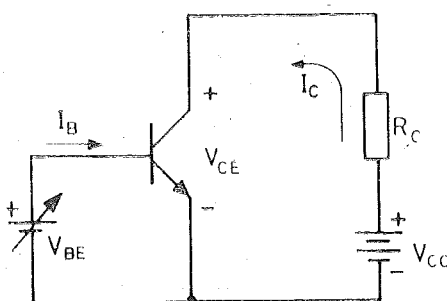
### 3.4.3. Tranzistorun Kuvvetlendirici Olarak Kullanılması.

Şekil 3.8. deki *ortak bazlı* devrede olsun, Şekil 3.9. daki *ortak emetörlü* devrede olsun tranzistorun kolektör akımının baz-emetör gerilimi ile kontrol edilebileceğini gördük. İki devre arasındaki önemli fark ortak bazlı devrede kontrol kaynağından çekilen akımın  $I_E$  olmasına karşılık ortak emetörlü devrede  $I_B$  olmasıdır.  $I_B = -I_E / (h_{FE} + 1)$  bağıntısı ve  $h_{FE}$  nin 100 ler mertebesinde olduğu göz önüne alınırsa, kolektör akımının kontrolu için ortak emetörlü devrenin daha elverişli olduğu görülür.

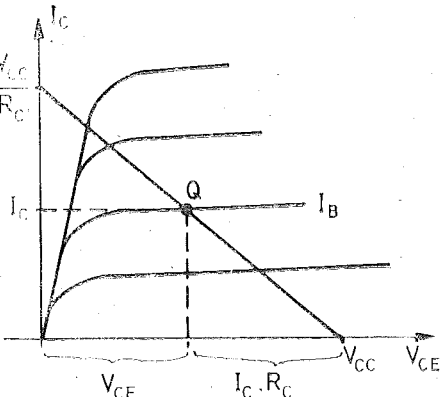
Şekil 3.17. de, kolektör akımı yolu üzerine bir  $R_C$  direnci bağlanmış olan bir tranzistor, kutuplama kaynakları ile birlikte gösterilmiştir.  $R_C$  ye tranzistorun *doğru akım yük direnci* denir.  $V_{CC}$  kolektör besleme kaynağı sabit gerilimli bir kaynaktır.  $V_{BE}$  kaynağının geriliminin değiştirilebildiğini kabul edelim.  $V_{BE}$  nin (dolayısı ile  $I_B$  nin) belirli bir değeri için akacak olan  $I_C$  kolektör akımının  $R_C$  direnci üzerinde meydana getirdiği gerilim düşümü ile tranzistorun çıkış uçları arasındaki gerilimin toplamı gevrededeki kaynak gerilimine ( $V_{CC}$ ) eşit olacağından

$$V_{CC} = V_{CE} + I_C \cdot R_C \quad (3.9)$$

yazılabilir. Bu bağıntı ( $V_{CE}$ ,  $I_C$ ) düzleminde bir doğru belirler ve *yük doğrusu* adını alır. Girişteki  $I_B$  akımının akitacağı  $I_C$  akımının  $V_{CE}$  ye bağlı olarak değişimi ise tranzistorun çıkış eğrilerinde, bu  $I_B$  değeri için çizilmiş olan eğri ile verilmiştir. O halde kolektör akımı, yük doğrusu ile, uygulanan  $I_B$  akımına karşı düşen çıkış özeğrisinin kesim noktası ( $Q$ ) tarafından belirlenir (Şekil 3.18.).  $I_B$  nin çeşitli değerleri için bulunacak olan  $I_C$  değerleri ( $I_C$ ,  $I_B$ ) düzleminde işaretlenirse tranzistorun  $V_{CC}$  kaynağı ve  $R_C$  yükü ile birlikte akımlar için çalışma geçiş eğrisi elde edilir (Şekil 3.19.).

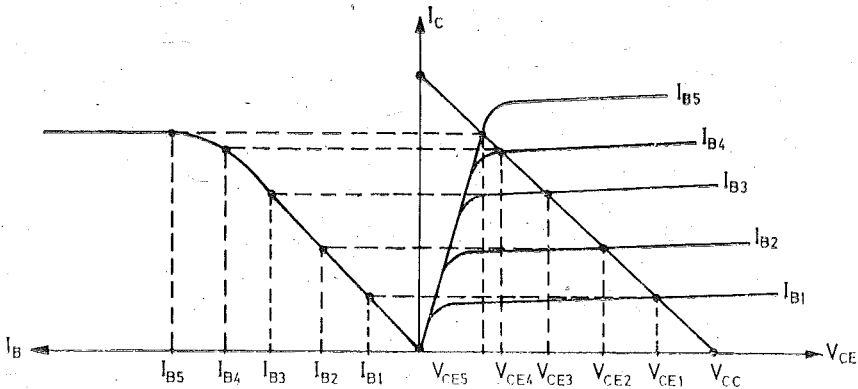


Şekil 3.17. Ortak emetörlü devrede doğru akım yük direnci.



Şekil 3.18. Yük doğrusunun çıkış özeğrileri üzerinde gösterilmesi.

Bu eğri yardımı ile  $I_B$  nin herhangi bir değeri için *bu devrede* akacak olan kolektör akımı doğrudan doğruya bulunabilir. *Çalışma geçiş eğrisi*nin, sabit bir  $V_{CE}$  değeri için verilmiş olan geçiş eğrisinden farklı olacağı ve farklı, özellikle tranzistorun *doyma*'ya girdiği bölgede belirginleştiği gözden kaçırılmamalıdır.

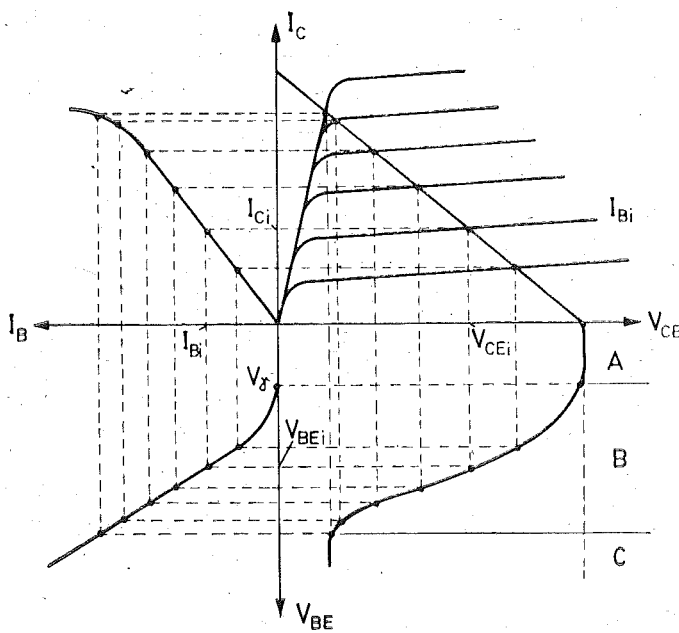


Şekil 3.19. Şekil 3.17. deki devre için çalışma geçiş eğrisinin elde edilmesi.

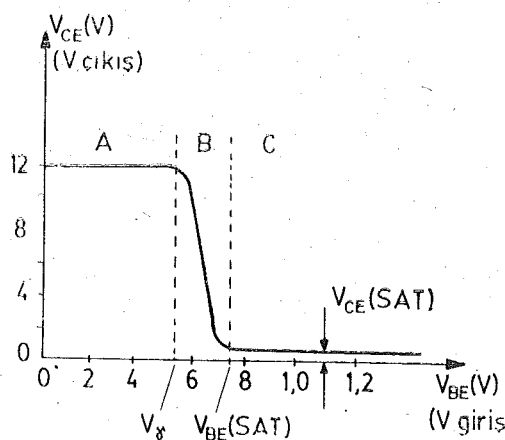
Devrede  $V_{BE}$  nin değiştirilmesi  $I_c$  nin değerinin değişmesine, o da  $-R_C$  direncindeki gerilim düşümü sebebi ile  $V_{CE}$  nin değişmesine yol açar.  $V_{BE}$  nin sıfırdan başlanarak artırılması halinde  $V_{CE}$  nin buna bağlı olarak nasıl değişeceği tranzistorun giriş özeğrisi ( $I_B=f(V_{BE})$  eğrisi) ile Şekil 3.19. daki eğriler kullanılarak çıkartılabilir (Şekil 3.20.).

$V_{BE}$ ,  $V_Y$  eşik değerine ulaşıncaya kadar baz akımı akmadığından tranzistorun kolektör akımı da sıfır, dolayısı ile  $V_{CE}=V_{CC}$  dir. Bu durumda tranzistor *tikalı*'dır denir (Şekil 3.20. de A bölgesi).  $V_{BE}>V_Y$  için baz akımı akmaya başlar. Bu baz akımı ile orantılı olan  $I_c$  nin  $R_C$  üzerinde meydana getireceği gerilim düşümü sebebi ile  $V_{CE}<V_{CC}$  dir.  $V_{BE}$  artırıldıkça  $I_B$  ve —buna bağlı olarak—  $I_c$  artar,  $V_{CE}=V_{CC}-R_C \cdot I_c$  olduğundan  $V_{CE}$  azalır.  $V_{CE}$  nin  $V_{BE}$  ile sürekli olarak kontrol edilebildiği bu bölgeye —değişim aşağı yukarı doğrusal olduğundan— *doğrusal çalışma bölgesi* denir (Şekil 3.20. de B bölgesi).  $V_{BE}$  artırılmaya devam edildiğinde  $V_{CE}$  gittikçe küçüller ve sonunda tranzistor *doyma* bölgesine girer. Doyma bölgesinde  $I_B$  artsa da  $I_c$  artık artamadığından  $V_{CE}$  aşağı yukarı sabit kahr (Şekil 3.20. de C bölgesi).

Şekil 3.17. deki devrenin gerilim geçiş eğrisi Şekil 3.21. de bir defa daha —eksenleri  $90^\circ$  döndürülerek— ve eksenler  $V_{CC}=12$  V luk bir kaynaktan beslenen ve yük direnci  $R_C=1$  k ohm olan tipik bir silisyum tranzistor için bulunan değerlere göre taksimatlandırılarak verilmiştir. Bu eğriden devrenin kullanılışı ile ilgili bazı önemli özellikler görülebilir :



Şekil 3.20.  $V_{CE} = f(V_{BE})$  gerilim geçiş eğrisinin özeğriler ve yük doğrusu yardımı ile elde edilmesi.



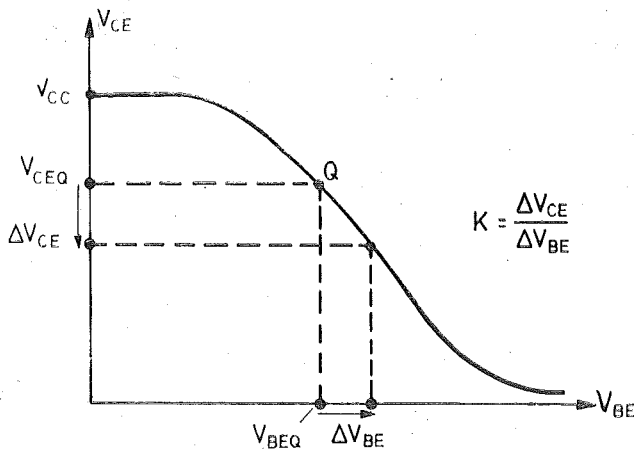
Şekil 3.21. 12 V luk bir  $V_{CC}$  kaynağından beslenen  $R_C = 1$  k ohm'luk bir dirençle yüklü tipik bir silisyum tranzistor için gerilim geçiş eğrisi.

1. Tranzistorun  $V_{BE}$  gerilimi,  $V_Y$  esik geriliminden küçük olduğu sürece tranzistor tıkalıdır; yani yükten akım akmaz.  $V_{BE}$  nin  $V_{BE(SAT)}$  ile gösterilmiş olan gerilimden büyük değerleri için ise tranzistor doymadadır. Uçları arasındaki gerilim ( $V_{CE(SAT)}$ ) birkaç yüz milivolt gibi küçük bir değere düştüğünden, doymada olan bir tranzistor yaklaşık olarak *kısa devre* sayılabilir. Böylece tranzistorun,  $R_C$  nin yolu üzerinde bulunan bir *anahtar* gibi çalışabilmesi için gerekli giriş koşulları ortaya çıkmış olur.

2.  $V_{BE}$  nin,  $V_Y$  ile  $V_{BE(SAT)}$  arasındaki değerleri için  $V_{CE}$ ,  $V_{BE}$  ile sürekli olarak değiştirilebilir.  $V_{BE}$  nin bir  $V_{BEQ}$  sükünət değeri etrafında  $\Delta V_{BE}$  kadar değişimine karşı düşen çıkış gerilimi değişimi  $\Delta V_{CE}$  ise,  $K = \Delta V_{CE} / \Delta V_{BE}$  ye devrenin küçük işaret *gerilim kazancı* denir. Gerilim kazancının, gerilim geçiş eğrisinin Q noktasındaki eğimine eşit olacağını açıktır (Şekil 3.22.).

3.  $V_{BEQ}$ ,  $\Delta V_{BE}$  kadar *arttırıldığında*  $V_{CEQ}$ ,  $\Delta V_{CE}$  kadar *azalır*. Yani çıkış işaretinde meydana gelen değişim giriş işaretinininkine ile *zit fazda*'dır.

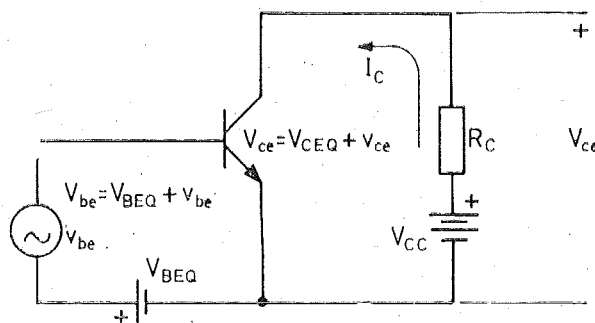
4. Çıkış geriliminin,  $V_{CEQ}$  sükünət değerinin etrafında iki yana doğru mümkün olduğu kadar geniş bir aralıktaki değişimini sağlamak için  $V_{CEQ}$  nın  $\{V_{CC} - V_{CE(SAT)}\}/2 + V_{CE(SAT)} \approx V_{CC}/2$  değerinde seçilmesi gereklidir.



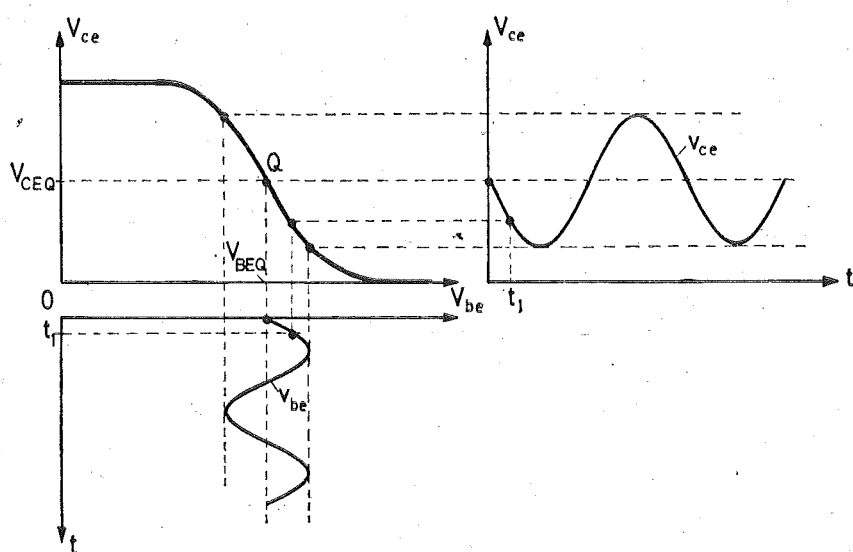
Şekil 3.22. Gerilim geçiş eğrisi yardımı ile küçük işaret gerilim kazancının bulunması.

5.  $V_{BEQ}$  doğru gerilime, bir  $v_{be}$  değişken gerilimi eklenirse (Şekil 3.23.)  $v_{be}$  nin her ani değerine karşı düşen  $v_{ce}$  çıkış gerilimi ani değeri, geçiş eğrisinden kolayca bulunabilir. Öyleyse  $v_{be}$  nin zamana göre herhangi bir şekilde değişen bir gerilim olması halinde  $v_{ce}$  nin nasıl değişeceğini

nokta nokta bulunabilir (Şekil 3.24). Geçiş eğrisi bu bölgede doğrusal olmadığından  $v_{ce}$  nin değişimi  $v_{be}$  nin değişimine tam tamaña benzemez. Bu olaya *eğrisellik bozulması* (non-linear distorsyon) denir.  $v_{be}$  nin pozitif büyük değerlerinde  $V_{be} = V_{BEQ} + v_{be}$  toplam anı değeri  $V_{BE(SAT)}$  değerini aşarsa çıkış gerilimi  $V_{CE(SAT)}$ 'in altına düşemeyeceğinden bu değerde sabit kalır. Bu olaya *kırılma* denir.  $v_{be}$  nin negatif büyük değerlerinde ise  $V_{be} = V_{BEQ} + v_{be} < V_\gamma$  olabilir ki bu zaman da çıkış gerilimi  $V_{cc}$  değerinde sabit kalır. Bu da bir kırılma'dır (Şekil 3.25).

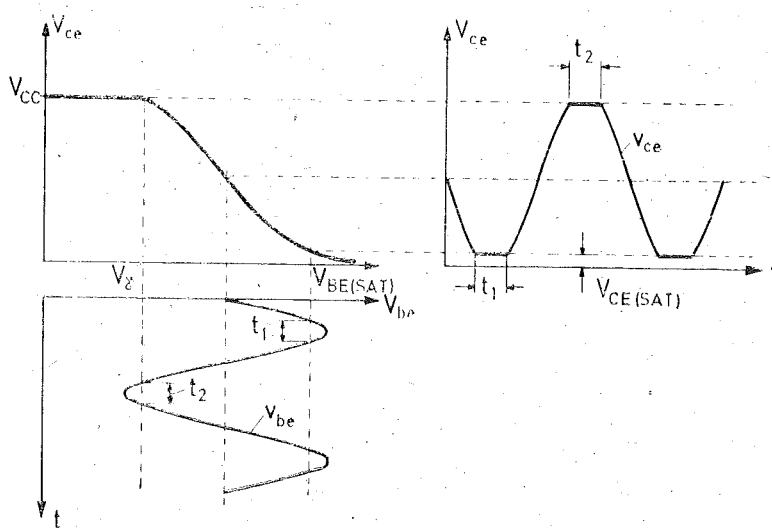


**Şekil 3.23.** Ortak emetörlü devrenin girişine bir  $v_{be}$  işaret gerilimi uygulanması.



Şekil 3.24. Çıkış gerilimi değişiminin geçiş eğrisi yardımcı ile nokta-nokta bulunması.

Yukarda, gerilim geçiş eğrisinden yararlanılarak bulunanların, gerilim geçiş eğrisi önceden nokta nokta çıkartılmadan da özegriler üzerinden bulunabileceğinin biraz düşünülsürse görülebilir.



**Sekil 3.25.** Giristeki işaret gerilimi  $v_{be}$  nin büyük genlikli olması halinde çıkış geriliminin pozitif tepelerinin kesim, negatif tepelerinin doyma sebebi ile kırılması.

Pratikte tranzistorlu bir kuvvetlendiricinin kutuplanması için Şekil 3.23. deki gibi iki ayrı doğru gerilim kaynağı kullanılabilecek yerde, tek bir kaynaktan yararlanmak daha elverişlidir. Tranzistorlu kuvvetlendiricilerin tek bir doğru gerilim kaynağı kullanılarak beslenmeleri ilerde, tranzistorlu kuvvetlendiricilerde ısıl kararlılık sorunu ile birlikte etrafı olarak incelenecektir.

#### 3.4.4. Tranzistorların Beslenmesi.

Şekil 3.23. deki basit devrede tranzistoru kuvvetlendirici olarak çalışmaya elverişli bir çalışma noktasında kutuplamak için  $V_{BB}$  ve  $V_{CC}$  gibi iki doğru gerilim kaynağından yararlanılmıştır.  $V_{BB}$  kaynağı tranzistorun giriş jonksiyonunu (baz-emetör jonksiyonunu) geçirme yönünde kutuplayarak sükünette ( $v_g=0$  iken) tranzistordan öngörülen bir  $I_{EQ}$  akımının akmasını sağlar.  $V_{CC}$  kaynağı ise kolektör-baz jonksiyonunun tıkama yönünde kutuplanması sağlanacak yönde ve kolektör-emetör geriliminin

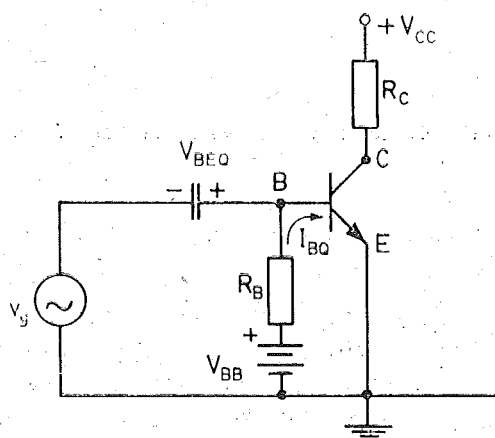
sükünette öngörülen bir  $V_{BEQ}$  değerine sahip olmasını sağlayacak değeridir. Bu besleme şeşlinin sakincalı yönleri (a) iki ayrı doğru gerilim kaynağının gerekli olması, (b) baz akımının doğru bileseninin işaret kaynağından akmasının zorunlu olmasıdır. İkinci sakincadan Şekil 3.26. daki devre düzeni ile kurtulunabilir:  $R_B$  direnci tranzistorun giriş direncine göre büyük bir dirençtir. Sükünnette akacak olan baz akımı

$$I_{BQ} = \frac{V_{BB} - V_{BEQ}}{R_B}$$

bağıntısı ile bulunabilir. Devredeki  $C_e$  bağlama kondansatörü sükünette  $V_{BEQ}$  gerilimi ile dolar.  $C_e$  ve bua seri toplam direncin belirlediği zaman sabitesi yeteri kadar büyükse girişe değişken bir  $v_g$  gerilimi uygulansa bile kondansatörün uçlarındaki gerilim sükünetteki değerini korumaya devam eder. O halde  $C_e$  kondansatörü gerilimi  $V_{BEQ}$  olan bir *doğru gerilim kaynağı* gibi düşünülebilir. Bu durumda tranzistorun toplam baz-emetör geriliminin ani değeri

$$V_{be} = V_{BEQ} + v_g$$

olur ki bu Şekil 3.23. deki devreninkinden farksızdır. Devredeki  $V_{BB}$  kaynağı referansa (emetöre) göre pozitif gerilimli bir kaynak olduğundan bu amaçla  $V_{CC}$  kaynağından da yararlanılabilir. Böylece devre *tek kay-*



Şekil 3.26. İsgaret kaynağının tranzistorun girişine bir  $C_e$  bağlama kondansatörü üzerinden bağlanması.

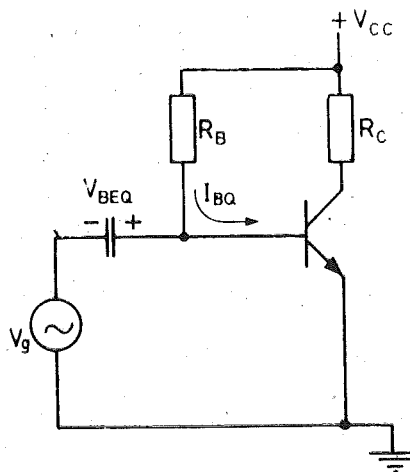
*naklı* bir devreye dönüştürülmüş olur (Şekil 3.27.). Bu durumda  $I_{BQ}$  baz sükünet akımının değeri

$$I_{BQ} = \frac{V_{CC} - V_{BEQ}}{R_B}$$

bağıntısı ile hesaplanabilir. Yahut tranzistorun  $I_{CQ}$  kolektör sükünet akımı, (3.6) bağıntısından da yararlanılarak

$$I_{CQ} = h_{FE} \cdot \frac{V_{CC} - V_{BEQ}}{R_B} + I_{CBO} \cdot (h_{FE} + 1) \quad (3.10)$$

şeklinde ifade edilebilir.



Şekil 3.27 En basit tek kaynaklı besleme devresi.

Şekil 3.27. deki devrenin çok basit bir devre olmasına karşılık bazı önemli sakıncaları vardır :

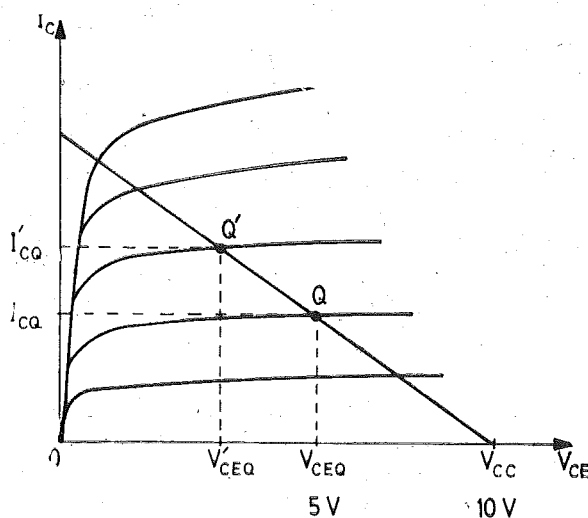
(a) Belirli bir tranzistor tipi için  $h_{FE}$  nin toleransı çok yüksek, genellikle  $\pm 50\%$  den daha büyütür. Buna bağlı olarak Şekil 3.27. deki devre  $h_{FE}$  nin ortalama değeri kullanılarak hesaplanan  $R_B$  ile gerçekleştirildiğinde elde edilen  $I_{CQ}$ , öngörülen değerden çok farklı olabilir. Yani çalışma noktasının,  $h_{FE}$  nin toleransına karşı *duyarlığı* yüksektir.

(b) Tranzistorda  $I_{CBO}$ ,  $V_{BE}$  ve  $h_{FE}$  sıcaklıkla değişen büyülüklerdir. Sıcaklık yükseldikçe —belirli bir baz akımı için—  $V_{BEQ}$  azalır.  $I_{CBO}$  ve

$h_{FE}$  ise sıcaklıkla artar. (3.10) dan  $I_{CBO}$ ,  $V_{BE}$  ve  $h_{FE}$  nin sıcaklığa bağımlılıklarının hep aynı —sıcaklık arttıkça  $I_{CQ}$  yu arttıracak— yönde etkili olduğu görüllür.

Tranzistorun sıcaklığının yükselmesi dış ortamın sıcaklığının artmasından ileri gelebileceği gibi tranzistorun içinde harcanan güç sebebi ile kendi kendini ısıtmasından da ileri gelebilir. Tranzistor içinde ısuya dönenügerek açığa çıkan gücü çevreye aktaramazsa sıcaklığı yükselir. Sıcaklığın yükselmesi de  $I_{CQ}$  yu arttıracak yönde bir etki yapar. Akımın yükselmesi —gerekli önlemler alınmamışsa— genellikle tranzistorda harcanan gücün arttırır ki bu, sıcaklığın daha da yükselmesine yol açar. Devrede akımın artışını sınırlayacak bir mekanizma yoksa sıcaklık sürekli olarak yükselip tranzistorun yapısının bozulacağı değerlere ulaşabilir. Bu sınır sıcaklığı germanium tranzistorlar için  $100^{\circ}\text{C}$  ve silisyum tranzistorlar için  $200^{\circ}\text{C}$  mertebesindedir.

Sıcaklığın yükselmesi ile sükUNET akımının artması, işi tranzistorun bozulmasına kadar götürmese bile çalışma noktasının öngörülen yerden kayması devre özeliklerinde istenmiyen bazı değişimlere sebep olur. Örneğin Şekil 3.27. deki devrede çıkış geriliminin iki yöne doğru değişim alanının eşit olabilmesi için çalışma noktasının, yük doğrusunun ortasında, yani  $V_{CEQ} \approx V_{CC}/2$  olacak şekilde seçilmesi gerekip (Şekil 3.28.). Bu durumda kolektör akımının alacağı değer de  $I_{CQ}$  ile gösterilmiştir. Sıcak-



Şekil 3.28.  $Q$  çalışma noktasının sıcaklıkla kayması sonucunda  $I_{CQ}$  ve  $V_{CEQ}$  nun değişmesi.

ligein yükselmesi ile sükünet akımı  $I'_{CQ}$  değerine kayarsa kolektör-emetör gerilimi de  $V'_{CEQ}$  değerine düşer. Bu yeni çalışma noktası için artık çıkış geriliminin iki yöne doğru değişim alanları eşit değildir. İlk durumda devreden elde edilebilecek tepeden tepeye maksimum simetrik çıkış gerilimi değeri yaklaşık olarak  $V_{CC}$  ye eşit, yani 10 V olduğu halde çalışma noktasının  $Q'$  ye kayması halinde bu, 10 V dan küçük bir değere (yaklaşık olarak  $2 \cdot V'_{CEQ}$  ye) düşmektedir. Bu devrenin çıkışını bir sonraki katın girişine doğrudan doğruya bağlanıyorsa çalışma noktasındaki kaymanın bir sonraki katı büyük ölçüde etkileyeceği de açıktır.

Görülüyor ki tranzistorda çalışma noktasının sıcaklığa bağımlı olmasının doğurabileceği bazı önemli sorunlar vardır. Bu sorunları zararlı sayılabilecek bir çizgide tutabilmek için çalışma noktasının sıcaklığa bağımlılığını azaltacak, yahut başka bir deyişle çalışma noktasının kararlılığını artıracak tedbirlerin alınması gereklidir.

#### 3.4.4.1. Tranzistorlarda Çalışma Noktasının Kararlılığı.

Tranzistorlu bir devrede kutuplama devresi ne şekilde olursa olsun sükünetteki kolektör akımı sıcaklığa bağlı olarak değiştiklerini söylediğimiz  $I_{CBO}$  ya,  $V_{BE}$  ye ve  $h_{FE}$  ye az veya çok bağlıdır. O halde genel olarak  $I_{CQ}$  da meydana gelecek bir  $\Delta I_c$  değişimi  $I_c$  ( $I_{CBO}$ ,  $V_{BE}$ ,  $h_{FE}$ ) fonksiyonunun  $I_{CQ}$  değeri yakınlarında Taylor serisine açılması ile bulunabilir. Bu üç değişkenli Taylor serisinde sadece birinci mertebeden terimler alınıp yüksek mertebeden terimler ihmal edilirse  $\Delta I_c$  yi  $I_{CQ}$  nun yakın civarı için veren

$$\Delta I_c \cong \left[ \frac{\partial I_c}{\partial V_{BE}} \right]_Q \cdot \Delta V_{BE} + \left[ \frac{\partial I_c}{\partial I_{CBO}} \right]_Q \cdot \Delta I_{CBO} + \left[ \frac{\partial I_c}{\partial h_{FE}} \right]_Q \cdot \Delta h_{FE} \quad (3.11)$$

bağıntısı elde edilir.  $\Delta V_{BE}$ ,  $\Delta I_{CBO}$  ve  $\Delta h_{FE}$  bağımsız değişimleri sıcaklığın başlangıç değerinden  $\Delta T$  kadar ayrılmazı sonucunda doğacak değişimler olarak alınırsa (3.11) bağıntısının ifade ettiği  $\Delta I_c$ , sıcaklığın  $\Delta T$  kadar değişmesi halinde kolektör akımında meydana gelecek değişimi gösterir. Pratikte genellikle kolektör akımının *nekadar* değiştiği değil, *ne oranda* değiştiği önemlidir. Bu bakımdan (3.11) bağıntısının iki tarafını  $I_{CQ}$  ile bölgerek kolektör akımının  $\Delta I_c/I_{CQ}$  bağıl değişimini veren bir bağıntıya gitmek yararlı olur :

$$\frac{\Delta I_c}{I_{CQ}} \cong \frac{1}{I_{CQ}} \left\{ \left[ \frac{\partial I_c}{\partial V_{BE}} \right]_Q \cdot \Delta V_{BE} + \left[ \frac{\partial I_c}{\partial I_{CBO}} \right]_Q \cdot \Delta I_{CBO} + \left[ \frac{\partial I_c}{\partial h_{FE}} \right]_Q \cdot \Delta h_{FE} \right\}$$

Bağıntının iki tarafı bir de  $\Delta V_{BE}$ ,  $\Delta I_{CBO}$  ve  $\Delta h_{FE}$  değişimlerini doğuran  $\Delta T$  sıcaklık değişimi ile bölünüürse

$$K = \frac{\Delta I_c / I_{CQ}}{\Delta T} = \frac{1}{I_{CQ}} \left\{ \left[ \frac{\partial I_c}{\partial V_{BE}} \right]_Q \cdot \frac{\Delta V_{BE}}{\Delta T} + \left[ \frac{\partial I_c}{\partial I_{CBO}} \right]_Q \cdot \frac{\Delta I_{CBO}}{\Delta T} + \left[ \frac{\partial I_c}{\partial h_{FE}} \right]_Q \cdot \frac{\Delta h_{FE}}{\Delta T} \right\} \quad (3.12)$$

elde edilir.  $K$  ya *kolektör akımının bağıl sıcaklık katsayısı* denir. Burada  $\Delta V_{BE}/\Delta T$ , baz-emetör geriliminin sıcaklığına ne ölçüde bağlı olduğunu gösteren bir büyülüktür. Tranzistorun fiziksel yapısı ile ilgili olan bu büyülüğün değeri gerek germanyum tranzistorlarda gerekse silisyum tranzistorlarda  $-2,5 \text{ mV/}^{\circ}\text{C}$  mertebesindedir.  $\Delta I_{CBO}/\Delta T$ , kolektör-baz jonksiyonu doyma akımının sıcaklığına bağımlılığını belirler. Bu bağımlılık jonksiyonun tıkama yönü akımını (doyma akımını) veren bağıntı yardımı ile hesaplanırsa

$$\frac{\Delta I_{CBO}/I_{CBO}}{\Delta T} \approx \% 7/\text{ }^{\circ}\text{C} \quad (3.13)$$

bulunur (başka bir anlatımla, sıcaklığın her  $10^{\circ}\text{C}$  artımı ile  $I_{CBO}$  başlangıçtaki değerinin iki katına çıkar).  $h_{FE}$  nin sıcaklığa bağımlılığı için  $V_{BE}$  ve  $I_{CBO}$  nunkinde olduğu gibi hem germanyum, hem silisyum tranzistorlar için geçerli ortalama bir sayısal değer verilemez.  $\Delta h_{FE}/\Delta T$  nin değeri tranzistorun fiziksel yapısına bağlı olarak değişebilir. Ancak işaretti daima pozitiftir.

$I_{CBO}$  nun sıcaklığa bağımlılığı (3.13) ifadesi ile bağıl olarak verildiğinden, (3.12) bağıntısını şu şekilde düzenlemek daha elverişli olur :

$$K = \frac{\Delta I_c / I_{CQ}}{\Delta T} = \left[ \frac{\partial I_c}{\partial I_{CBO}} \right]_Q \cdot \frac{I_{CBO}}{I_{CQ}} \cdot \frac{\Delta I_{CBO}/I_{CBO}}{\Delta T} + \frac{1}{I_{CQ}} \left\{ \left[ \frac{\partial I_c}{\partial V_{BE}} \right]_Q \cdot \frac{\Delta V_{BE}}{\Delta T} + \left[ \frac{\partial I_c}{\partial h_{FE}} \right]_Q \cdot \frac{\Delta h_{FE}}{\Delta T} \right\} \quad (3.14)$$

Burada tranzistorun fiziksel yapısına bağlı olan büyülüklükler

$$\frac{\Delta I_{CBO}/I_{CBO}}{\Delta T} = k \quad (3.15)$$

$$\frac{\Delta V_{BE}}{\Delta T} = k' \quad (3.16)$$

$$\frac{\Delta h_{FE}}{\Delta T} = k'' \quad (3.17)$$

ile ve bunlara çarpan olarak gelen büyülüklükler

$$\left[ \frac{\partial I_C}{\partial I_{CBO}} \right]_Q = S \quad (3.18)$$

$$\left[ \frac{\partial I_C}{\partial V_{BE}} \right]_Q = S' \quad (3.19)$$

$$\left[ \frac{\partial I_C}{\partial h_{FE}} \right]_Q = S'' \quad (3.20)$$

ile gösterilirlerse (3.14) bağıntısı şu şekli alır :

$$K = \frac{\Delta I_C / I_{CQ}}{\Delta T} = S \cdot k \cdot \frac{I_{CBO}}{I_{CQ}} + \frac{1}{I_{CQ}} \cdot [S' \cdot k' + S'' \cdot k''] \quad (3.21)$$

Bu bağıntıyı Şekil 3.27. deki basit kutuplama devresinde kolektör akımının bağıl sıcaklık katsayısını bulmak için uygulayalım :

Tranzistorun kolektör akımı

$$I_C = h_{FE} \cdot \frac{V_{CC} - V_{BE}}{R_B} + I_{CBO} \cdot (h_{FE} + 1)$$

dir. Buradan

$$S = \left[ \frac{\partial I_C}{\partial I_{CBO}} \right]_Q = (h_{FE} + 1)$$

$$S' = \left[ \frac{\partial I_C}{\partial V_{BE}} \right]_Q = - \frac{h_{FE}}{R_B}$$

$$S'' = \left[ \frac{\partial I_C}{\partial h_{FE}} \right]_Q = \frac{V_{CC} - V_{BEQ}}{R_B} + I_{CBO} \approx \frac{V_{CC} - V_{BEQ}}{R_B}$$

ve  $K$  bağıl sıcaklık katsayısı

$$K = (h_{FE} + 1) \cdot k \cdot \frac{I_{CBO}}{I_{CQ}} + \frac{1}{I_{CQ}} \cdot \left[ \frac{V_{CC} - V_{BEQ}}{R_B} \cdot k'' - \frac{h_{FE}}{R_B} \cdot k' \right] \quad (3.22)$$

bulunur.

Yukarda tanıtılmış olan  $S''$  büyüklüğünden, kolektör akımının  $h_{FE}$  nin değişimlerine karşı *bağıl duyarlığının* bulunmasında da yararlanılabilir. Bu duyarlık

$$S(I_{CQ}, h_{FE}) = \left[ \frac{\partial I_C / I_C}{\partial h_{FE} / h_{FE}} \right]_Q = \frac{h_{FE}}{I_{CQ}} \cdot \left[ \frac{\partial I_C}{\partial h_{FE}} \right]_Q = \frac{h_{FE}}{I_{CQ}} \cdot S'' \quad (3.23)$$

bağıntısı ile tanımlanmıştır ve  $h_{FE}$  nin belirli bir oranda değişmesinin kolektör akımının ne oranda değişmesine yol açacağını verir. O halde Şekil 3.27. deki devre için

$$S(I_{CQ}, h_{FE}) = \frac{h_{FE}}{I_{CQ}} \cdot \frac{V_{CC} - V_{BEQ}}{R_B}$$

ve (3.10) bağıntısında  $-I_{CBO}$  ihmali edilerek  $R_B$  hesaplanıp burada yerine konursa

$$S(I_{CQ}, h_{FE}) \cong 1 \quad (3.24)$$

bulunur.

**Örnek :** Şekil 3.27. deki devre BC 108 B tranzistoru kullanılarak kurulmıştır.  $V_{CC} = +10$  V dur. Çalışma noktasında  $I_{CQ} = 1$  mA,  $V_{CEQ} = 5$  V olacaktır. Tranzistor için katalogdan

$$h_{FE}(T=25^\circ\text{C}) = 250 \quad (150 \dots 400) \quad (I_C = 1 \text{ mA} \text{ için})$$

$$h_{FE}(T=100^\circ\text{C}) = 350 \quad (I_C = 1 \text{ mA} \text{ için})$$

$$I_{CBO} = 15 \text{ nA} \quad (25^\circ\text{C} \text{ için maksimum değer})$$

$$V_{BEQ} = 0,65 \text{ V} \quad (I_C = 1 \text{ mA}, T = 25^\circ\text{C} \text{ için ortalama değer})$$

bulunmuştur.

- $R_C$  yi ve  $h_{FE}$  nin ortalama değerini kullanarak  $R_B$  yi hesaplayınız.
- $I_{CQ}$  nun  $h_{FE}$  ye karşı bağıl duyarlığını bulunuz ve yorumlayınız.
- $I_{CQ}$  nun K bağıl sıcaklık katsayısının  $T = 25^\circ\text{C}$  civarı için değerini bulunuz ve yorumlayınız.

**Cözüm :**

- $R_C$  kolektör direncinin değeri

$$V_{CC} = R_C \cdot I_{CQ} + V_{CEQ}$$

bağıntısından çözülebilir ve

$$R_C = \frac{V_{CC} - V_{CEQ}}{I_{CQ}}$$

$$R_C = \frac{10 - 5}{1 \cdot 10^{-3}} = 5 \text{ k ohm}$$

bulunur.

(3.10) bağıntısından  $R_B$ ,  $I_{CBO}$  lu terim ihmal edilerek çözülürse

$$R_B = h_{FE} \cdot \frac{V_{CC} - V_{BEQ}}{I_{CQ}}$$

$$R_B = 250 \cdot \frac{10 - 0,65}{1 \cdot 10^{-3}} = 2337 \text{ k ohm}$$

cıkar.

b)  $I_{CQ}$  nun  $h_{FE}$  ye bağlı duyarlığı (3.24) bağıntısı gereğince

$$S(I_{CQ}, h_{FE}) \cong 1$$

dir. Yani  $h_{FE}$  ne oranda değişirse  $I_{CQ}$  da aynı oranda değişir. Örneğin devre  $h_{FE}$  si ortalama değere göre % 20 büyük (yani  $h_{FE}=300$  olan) bir tranzistorla gerçekleştirilirse  $I_{CQ}$  da öngörülmüş olan değerden % 20 büyük çıkar; yani  $I_{CQ}=1 \text{ mA}$  olacak yerde  $I_{CQ}=1,2 \text{ mA}$  olur ve  $V_{CEQ}$  gerilimi de

$$\begin{aligned} V_{CEQ} &= V_{CC} - R_C I_{CQ} \\ &= 10 - 5 \cdot 10^3 \cdot 1,2 \cdot 10^{-3} = 4 \text{ V} \end{aligned}$$

değerine düşer. Bunun doğuracağı sonuç, öngörülen çalışma noktası için kolektör geriliminin simetrik değişim alanı (yahut elde edilebilecek maksimum kirpilmazlık çıkış gerilimi değeri)  $\pm 5 \text{ V}$  olduğu halde yeni durumda bu değerin  $\pm 4 \text{ V}$ 'a düşmesidir.

c) Tranzistor için  $k=0,07/\text{°C}$ ,  $k'=-2,5 \text{ mV/°C}$  ortalama değerleri kullanılabilir. Katalogdan  $\Delta T=75\text{°C}$  için  $\Delta h_{FE}=100$  bulunmuştur. Bağlılılık lineer olmamakla beraber yaklaşık olarak

$$k'' = \frac{\partial h_{FE}}{\partial T} = \frac{\Delta h_{FE}}{\Delta T}$$

$$k'' = \frac{100}{75} = 1,33/\text{°C}$$

yazılabilir.

$$S = h_{FE} + 1 = 251$$

$$S' = - \frac{h_{FE}}{R_B} = - 0,107 \cdot 10^{-3}$$

$$S'' = \frac{V_{CC} - V_{BEQ}}{R_B} + I_{CBO} = 4 \cdot 10^{-6} + 15 \cdot 10^{-9} \approx 4,015 \cdot 10^{-6}$$

dir. Bu değerler ve  $I_{CBO}$  nun  $T=25^{\circ}\text{C}$  deki değeri (3.22) bağıntısında yerine konursa

$$\begin{aligned} K = 251.0,07 \cdot \frac{15.10^{-9}}{10^{-3}} + \frac{1}{10^{-3}} (-0,107.10^{-3}) (-2,5.10^{-3}) \\ + \frac{1}{10^{-3}} (4,015.10^{-6}.1,33) \end{aligned}$$

$$K = 0,264.10^{-3} + 0,268.10^{-3} + 5,34.10^{-3} = + 5,87.10^{-3}$$

yahut

$$K = \frac{\Delta I_C / I_{CQ}}{\Delta T} \approx +\% 0,59 / ^\circ\text{C}$$

bulunur. Bu, sıcaklığın her  $^\circ\text{C}$  artmasının  $I_{CQ}$  yu — $T=25^{\circ}\text{C}$  deki değerine göre— % 0,59 oranında artıracagını gösterir. Görüldüğü gibi bu örnekte  $K$  nin en etkili bileşeni  $h_{FE}$  nin sıcaklığa bağımlılığından gelen bileşendir. Germanium tranzistorlarda  $I_{CBO}$  nun değeri silisyum tranzistorlarındakine göre çok büyük olduğundan en etkili bileşen genellikle  $I_{CBO}$  nun sıcaklığa bağımlılığından ileri gelen bileşen olur.

Belirli bir tranzistor için  $k$ ,  $k'$  ve  $k''$  yapıya bağlı —dolayısı ile değiştirilemiyen— büyülükler olduğuna göre  $K$  bağıl sıcaklık katsayısının küçük olabilmesi (yani kolektör akımının sıcaklığa bağımlılığının az olabilmesi) için  $S$ ,  $S'$  ve  $S''$  katsayılarının değerlerinin küçük olması gereklidir.

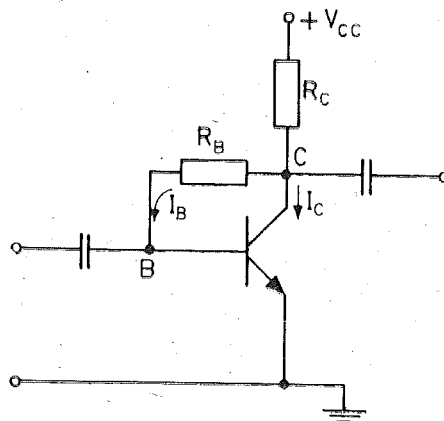
Devre şekline bağlı olan bu katsayıların küçük değerli yapılabilmesi için *geribesleme* yahut *kompanzasyon* tekniklerinden yararlanılır. Geribeslemeli kutuplama devrelerinde kolektör akımında meydana gelecek herhangi bir artma, baz devresinde bu artmayı frenleyecek yönde bir tepki oluşturularak önlenir. Kompanzasyonlu devrelerde ise direnci sıcaklıkla değişen pasif elemanlardan yararlanılır.

#### 3.4.4.2. Geribeslemeli Kutuplama Devreleri.

Şekil 3.27. deki devrede  $R_B$  direncinin üst ucu  $V_{CC}$  kaynağına bağlanacak yerde kolektör yük direncinin alt ucuna bağlanırsa Şekil 3.29. da ki *akım geribeslemeli* kutuplama devresi elde edilir. Bu durumda  $R_B$  direncinden sükünət durumunda akan akım

$$I_{BQ} = \frac{V_C - V_{BEQ}}{R_B} \quad (3.25)$$

dir. Sıcaklığın artması sonucunda kolektör akımında bir artma meydana geldiğinde  $R_c$  direncindeki gerilim düşümü artacağından  $V_c$  gerilimi düşer. Bu da (3.25) bağıntısı gereğince baz akımının ve buna bağlı olarak kolektör akımının azalması sonucunu verir. Görülüyör ki devre, kolektör akımında meydana gelen artmaya zıt yönde bir etki yaratarak çalışma noktasının kaymasını frenlemektedir.



Sekil 3.29. Akım geribeslemeli kutuplama devresi.

Devrenin sıcaklık değişimlerine karşı duyarlığının ne ölçüde azaldığını bulabilmek için kolektör akımını veren bağıntının çkartılması ve bundan yararlanılarak K nin hesabında kullanılacak olan S, S' ve S'' büyülüklerinin hesaplanması gereklidir :

$$\text{Devreden } V_c = V_{cc} - (I_c + I_B) R_c$$

$$I_B = \frac{V_c - V_{BE}}{R_B}$$

$$I_c = h_{FE} I_B + I_{CBO} (h_{FE} + 1)$$

yazılarak  $I_c$  için gözüllürse

$$I_c = h_{FE} \cdot \frac{V_{cc} - V_{BE}}{R_c (h_{FE} + 1) + R_B} + I_{CBO} (h_{FE} + 1) \frac{R_c + R_B}{R_c (h_{FE} + 1) + R_B}$$

çıkar. Buradan (daima  $h_{FE} \gg 1$  ve  $R_B \gg R_c$  olacağı da göz önüne alınarak)

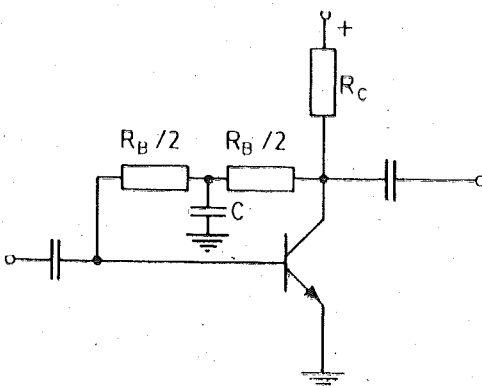
$$S = \left[ \frac{\partial I_C}{\partial I_{CBO}} \right]_Q = \frac{(h_{FE}+1)(R_C + R_B)}{R_C(h_{FE}+1) + R_B} \approx \frac{h_{FE}+1}{1+h_{FE} \frac{R_C}{R_B}} \quad (3.26)$$

$$S' = \left[ \frac{\partial I_C}{\partial V_{BE}} \right]_Q = -\frac{h_{FE}}{R_B} \frac{1}{1+(h_{FE}+1) \frac{R_C}{R_B}} \approx -\frac{h_{FE}}{R_B} \frac{1}{1+h_{FE} \frac{R_C}{R_B}} \quad (3.27)$$

$$S'' = \left[ \frac{\partial I_C}{\partial h_{FE}} \right]_Q \cong \left[ \frac{V_{CC} - V_{BEQ}}{R_B} + I_{CBO} \right] \frac{1}{\left( 1 + h_{FE} \frac{R_C}{R_B} \right)^2} \quad (3.28)$$

bulunur. Bu sonuçlardan akım geribeslemeli devrede  $S$  ve  $S'$ nün, Şekil 3.27. deki devreninkine göre  $(1+h_{FE} \cdot R_C/R_B)$  defa,  $S''$ 'nın ise  $(1+h_{FE} \cdot R_C/R_B)^2$  defa küçük olduğu görülmektedir. O halde devrenin bağıl sıcaklık katsayısı Şekil 3.27. deki devreninkine göre daha küçük olacaktır, Devrenin bir başka üstünlüğü  $S''$  ile orantılı olan  $S(I_{CQ}, h_{FE})$  duyarlığının da  $(1+h_{FE} \cdot R_C/R_B)^2$  defa küçük olmasıdır. Ancak  $R_C$  ve  $R_B$ , öngörülen bir çalışma noktası için belirli olacağından  $h_{FE} \cdot R_C/R_B$  de çalışma noktasının belirlediği ve genellikle 1'den pek büyük olmayan bir değere sahip olur. Bu yüzden devre, sıcaklık katsayısının (yahut  $h_{FE}$  ye karşı duyarlığın) çok küçük olmasının gerekliliği olduğu durumlar için yeterli bir çözüm değildir.

Devrede ikinci bir sorun  $R_B$  direnci üzerinden, çıkıştan girişe getirilen geribeslemenin, girişe bir işaret kaynağı uygulandığında, kolektör akımında bu sebeple meydana gelecek değişimleri de frenlemesi, yani *kazancı azaltması* dir. İlerde *geribesleme* konusu etrafı olarak incelenirken görüleceği gibi kazançtaki azalma işaret kaynağı iç direncine de bağlıdır. Devrenin ideal gerilim kaynağından sürülmESİ halinde kazançtaki azalmanın sıfır, akım kaynağından sürülmESİ halinde ise maksimum olacağı gösterilebilir. Kazançtaki azalmadan, değişken işaretler bakımından çıkıştan girişe geribesleme meydana gelmesi önlenerek kurtulunabilir. Bunun en kolay yolu  $R_B$  direncini iki parçalı yaparak orta noktayı bir C kondansatörü ile referansa bağlamaktır (Şekil 3.30.). Kuvvetlendirilecek işaretin en alçak frekanslı bileşenleri için bile  $X_C \ll R_B/2$  şartını sağlayacak şekilde büyük kapasiteli bir kondansatör kullanılrsa, kolektörden baza doğru akan akımın değişken bileşenleri yollarını C üzerinden tamamlayacakları için baza bir geribesleme işaretini ulaşamaz. Ancak geribesleme akımının doğru bileşeni (ve çok yavaş değişen bileşenleri) için geribesleme meydana gelir ve çalışma noktasının kararlılığına yardımcı olur.



Sekil 3.30. İsaret geribeslemesinin C kondansatörü yardımı ile önlenmesi.

Geribeslemeli kutuplama devrelerinin en çok kullanılanı Şekil 3.31. (a) da verilmiştir. Burada geribesleme,  $R_E$  direnci üzerindeki gerilim düşümü ile sağlanmıştır. Sükünnette E noktasının gerilimi  $V_E = R_E \cdot (I_C + I_B)$  dir. O halde B noktasının geriliminin  $V_E$  den  $V_{BEQ}$  kadar yüksek olması gereklidir. Bu  $V_B$  gerilimi en kolay şekilde  $R_1$  ve  $R_2$  gerilim bölgüsü dirençleri yardımı ile  $V_{CC}$  beslemeye kaynağından sağlanabilir.

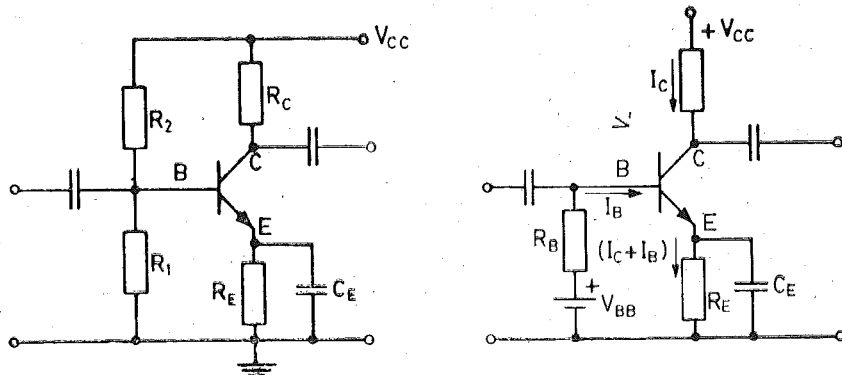
Devrenin kolektör akımı sıcaklığın etkisi ile  $\Delta I_C$  kadar artsa, emetör akımı da  $\Delta I_E \approx \Delta I_C$  kadar artacağından E noktasının gerilimi yükselir. B noktasının gerilimi sabit tutulduğundan  $V_{BE}$  azalır. Dolayısı ile  $I_B$  de azalır ve  $I_C$  deki artma frenlenmiş olur,  $R_E$  direncini köprüleyen  $C_E$  kondansatörü,  $I_C$  de devreye uygulanan işaret sebebi ile meydana gelen değişimlerin de frenlenmemesi (değişken işaret kazancının düşmemesi) için kullanılmıştır.

Kolektör akımının sıcaklık katsayısının hesaplanabilmesi için  $I_C$  yi  $V_{BE}$ ,  $I_{CEO}$  ve  $h_{FE}$  ye bağlı olarak veren bağıntının bulunması gereklidir. Bu bağıntı  $R_1$ ,  $R_2$  baz bölgüleri yerine Şekil 3.31. (b) deki Thévenin eşdeğeri konularak kolayca çıkartılabilir. Thévenin eşdeğerinin bileşenleri

$$R_B = R_1 R_2 / (R_1 + R_2) \quad (3.29)$$

$$V_{BB} = V_{CC} \frac{R_1}{R_1 + R_2} = V_{CC} \frac{1}{1 + \frac{R_2}{R_1}} \quad (3.30)$$

dir. Devreden



Sekil 3.31 (a) Emetör direnci ve baz bölütüsü ile kutuplama.  
 (b) Baz bölütüsü ve  $V_{CC}$  nin Thévenin eşdeğeri konduğunda devrenin alacağı şekil.

$$V_{BB} = I_B R_B + V_{BE} + (I_C + I_B) R_E$$

yazılabilir. Bu bağıntı ile tranzistor için evvelce verilmiş olan (3.6) bağıntısı arasında  $I_B$  yok edilerek  $I_C$  çözüülürse

$$I_C = h_{FE} \cdot \frac{V_{BB} - V_{BE}}{R_E (h_{FE} + 1) + R_B} + I_{CBO} \frac{(h_{FE} + 1) \left( 1 + \frac{R_B}{R_E} \right)}{(h_{FE} + 1) + \frac{R_B}{R_E}} \quad (3.31)$$

elde edilir. Buradan (3.18), (3.19) ve (3.20) tanım bağıntıları kullanılarak (ve yine  $h_{FE} \gg 1$  ve  $R_B \gg R_E$  hali için gerekli basitleştirmeler yapılarak)

$$S = (h_{FE} + 1) \frac{\left( 1 + \frac{R_B}{R_E} \right)}{\left( h_{FE} + 1 \right) + \frac{R_B}{R_E}} \approx (h_{FE} + 1) \frac{1}{1 + h_{FE} \cdot \frac{R_E}{R_B}} \quad (3.32)$$

$$S' = -\frac{h_{FE}}{R_B} \frac{1}{1 + h_{FE} \cdot \frac{R_E}{R_B}} \quad (3.33)$$

$$S'' = \left( \frac{V_{BB} - V_{BE}}{R_B} + I_{CBO} \right) \cdot \frac{1}{\left( 1 + h_{FE} \frac{R_E}{R_B} \right)^2} \quad (3.34)$$

bağıntıları bulunur. Bu bağıntılar Sekil 3.29 daki devre için elde edilmiş olan (3.26), (3.27) ve (3.28) bağıntılarının benzeridir. Ancak burada  $R_E$

ve  $R_B$  ye biribirlerinden bağımsız olarak istenilen değer verilebilir,  $R_E$  yeteri kadar büyük ve  $R_B$  yeteri kadar küçük seçilirse  $h_{FE} \cdot R_E \gg R_B \gg R_E$  şartı sağlanabilir ve

$$S \approx R_B / R_E \quad (3.35)$$

$$S \approx 1 / R_E \quad (3.36)$$

olur. Öte yandan  $S''$  yü veren (3.34) bağıntısında da bazı basitleştirmeler yapılabilir.  $I_B$  nin  $R_B$  üzerinde meydana getirdiği gerilim düşümü genellikle  $V_{BB}$  ye göre çok küçük olduğundan

$$V_{BB} \approx V_B$$

$$V_{BB} - V_{BE} \approx V_B - V_{BE} = V_E$$

dir. Ayrıca, özellikle silisyum tranzistorlarda  $I_{CBO}$  baz akımı yanında ihmal edilemeyecek kadar küçüktür. Bu yaklaşıklıklar yapılarak  $h_{FE} R_E \gg R_B$  hali için

$$S'' \approx \frac{V_E}{R_B} \cdot \frac{1}{h_{FE}^2 \frac{R_E^2}{R_B^2}} = \frac{V_E}{R_E} \cdot \frac{R_B}{R_E} \cdot \frac{1}{h_{FE}^2} \quad (3.37)$$

bulunur.  $S$ ,  $S'$  ve  $S''$  nün bu değerleri (3.21) de kullanılarak devrenin K bağılı sıcaklık katsayısı yazılırsa

$$K = k \cdot \frac{I_{CBO}}{I_{CQ}} \cdot \frac{R_B}{R_E} + (-k') \frac{1}{I_{CQ}} \cdot \frac{1}{R_E} + k'' \frac{1}{I_{CQ}} \cdot \frac{V_E}{R_E} \cdot \frac{R_B}{R_E} \cdot \frac{1}{h_{FE}^2}$$

ve  $I_{CQ} \cdot R_E \approx V_E$  konularak

$$K \approx k \cdot I_{CBO} \cdot \frac{R_B}{V_E} + (-k') \cdot \frac{1}{V_E} + k'' \frac{R_B}{R_E} \cdot \frac{1}{h_{FE}^2} \quad (3.38)$$

elde edilir. Görüldüğü gibi sıcaklık katsayısının ilk iki terimi  $V_E$  ile ters orantılıdır. Son terimi belirleyen ve devre elemanlarına bağlı olan çarpan ise  $R_B / R_E$  dir. O halde Şekil 3.31. deki tipten bir kutuplama devresinde sıcaklık katsayısının küçük olabilmesi için  $R_E$  direnci üzerindeki gerilim düşümüniin ( $V_E$  nin) olabildiği kadar büyük ve  $R_B / R_E$  oranının olabildiği kadar küçük seçilmesi gereklidir.

Durumu bir de devrenin sükünət akımının  $h_{FE}$  nin değişimlerine karşı bağılı duyarlığı açısından inceleyelim. (3.23) bağıntısına göre  $h_{FE}$  duyarlığı

$$S(I_{CQ}, h_{FE}) = (h_{FE}/I_{CQ}) \cdot S''$$

dür. Burada  $S''$  için (3.37) bağıntısı ile elde edilmiş olan yaklaşık değer yerine konulursa

$$S(I_{CQ}, h_{FE}) \approx \frac{h_{FE}}{I_{CQ}} \cdot \frac{V_E}{R_E} \cdot \frac{R_B}{R_E} \cdot \frac{1}{h_{FE}^2}$$

ve  $V_E \approx I_{CQ} \cdot R_E$  olduğundan

$$S(I_{CQ}, h_{FE}) \approx \frac{R_B}{R_E} \cdot \frac{1}{h_{FE}} \quad (3.39)$$

elde edilir. Bu da devrenin  $h_{FE}$  duyarlığının küçük olması için  $R_B/R_E$  oranının olabildiği kadar küçük olması gerektiği sonucunu verir.

Ancak uygulamada  $V_E$  yi (dolayısı ile  $R_E$  yi) çok büyük ve  $R_B/R_E$  yi (dolayısı ile  $R_B$  yi) çok küçük yapmayı önleyen bazı nedenler vardır :

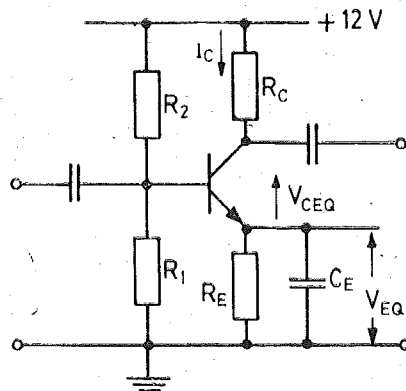
$C_E$  kondansatörü emetör akımının doğru bileseninin  $R_E$  üzerinde meydana getirdiği gerilim düşümü olan  $V_E$  doğru gerilimi ile dolar ve  $-C_E$  ile buna paralel gelen dirençlerin belirlediği zaman sabitesi, işaretin değişimlerine göre yeteri kadar büyükse— çalışma süresince bu değeri korur. O halde tranzistorun çıkış çevrimindeki *toplum etkin doğru gerilim*  $V_{CC}$  den  $V_E$  kadar noksandır. Dolayısı ile çıkış geriliminin değişim alanı  $R_E$  nin bulunmadığı duruma göre daha küçüktür. Bu yüzden, özellikle çıkış geriliminin tepeden tepeye değişiminin büyük olmasının gerekli olduğu hallerde  $V_E$  nin değerinin büyük tutulması uygun olmaz.

$R_B$  direnci ise  $R_1$  ve  $R_2$  dirençlerinin paralel eşdeğeridir.  $V_{BB}$  gerilimini belirleyen bu dirençlerin *oranı* (3.30) bağıntısı ile belirlidir. Direnç değerleri bu oranı ve öngörülen bir  $R_B$  değerini sağlayacak şekilde hesaplanabilir.  $R_B$  için küçük bir değer seçildiğinde  $R_1$  ve  $R_2$  nin de küçük olacağı açıklar. Bu durumda ortaya iki sakınca çıkar;  $V_{CC}$  kaynağından,  $R_1$  ve  $R_2$  üzerinden çekilen akım artar (daha fazla güç harcanır) ve devrenin giriş direnci küçülür. Ohalde  $R_B$  nin değerinin, bu sakıncalardan yeteri kadar uzak kalmayı sağlayacak şekilde, büyük seçilmesi gereklidir.

**Örnek :** Şekil 3.32. deki devre, bundan önceki örnekleri ve rövanlı olarak kullanılarak gerçekleştirilecektir.  $V_{CC}=12$  V dur.  $I_{CQ}=1$  mA olacak ve devreden tepeye 10 V luk bir çıkış gerilimi elde edilebilecektir. Çalışma noktasının  $h_{FE}$  ye karşı bağıl duyarlığı 0,1 olacaktır.

a) Direnç değerlerini hesaplayınız.

b)  $I_{CQ}$  nun K bağıl sıcaklık katsayısının  $T=25^\circ\text{C}$  civarı için değerini bulunuz ve yorumlayınız.



Sekil 3.32. Örnekte eleman değerleri hesaplanacak devre.

**Cözüm :** a) Çıkış geriliminin tepeye değişim alanının 10 V olması isteniyor. Bu alanın iki yana doğru simetrik olması için  $V_{CEQ}=5$  V ve  $R_C \cdot I_{CQ}=5$  V olmalıdır.  $I_{CQ}=1$  mA verildiğine göre  $R_C=5$  k olmalıdır.

$$V_{CC} = I_{CQ} R_C + V_{CEQ} + V_{EQ}$$

olduğundan

$$\begin{aligned} V_{EQ} &= V_{CC} - (I_{CQ} R_C + V_{CEQ}) \\ &= 12 - (5 + 5) \end{aligned}$$

$$V_{EQ} = 2 \text{ V çıkar.}$$

Öte yandan,

$$V_{EQ} = I_{EQ} \cdot R_E \approx I_{CQ} \cdot R_E$$

dir. Buradan

$$R_E \approx V_{EQ} / I_{CQ} = 2 / 1 \cdot 10^{-3} \text{ ohm}$$

$$R_E = 2 \text{ k ohm}$$

bulunur.

$I_{CQ}$  nun  $h_{FE}$  ye karşı bağıl duyarlığı

$$S(I_{CQ}, h_{FE}) \approx \frac{R_B}{h_{FE} \cdot R_E} = 0,1$$

olacaktır. Buradan,  $h_{FE}$  için ortalama değeri kullanılarak

$$R_B \approx 0,1 \cdot 250 \cdot 2 \cdot 10^3$$

$$R_B \approx 50 \text{ k ohm}$$

çıkar.

$R_1$  ve  $R_2$  dirençlerinin hesabı için Şekil 3.31. (b) deki esdeğerden yararlanılabilir. Burada B noktasının sükünet gerilimi

$$\begin{aligned} V_{BQ} &= V_{BB} + V_{BEQ} \\ &= 2 + 0,65 = 2,65 \text{ V} \end{aligned}$$

dur. Öte yandan

$$V_{BQ} = V_{BB} - I_{BQ} \cdot R_B$$

olmalıdır. Burada

$$I_{BQ} = \frac{I_{CQ}}{h_{FE}} = \frac{1 \cdot 10^{-3}}{250} = 4 \mu\text{A}$$

yazılarak

$$\begin{aligned} V_{BB} &= V_{BQ} + I_{BQ} \cdot R_B \\ &= 2,65 + 4 \cdot 10^{-6} \cdot 50 \cdot 10^{-3} \\ &= 2,65 + 0,2 \\ V_{BB} &= 2,85 \text{ V} \end{aligned}$$

bulunur. Bundan sonra (3.29) ve (3.30) bağıntılarından  $R_1$  ve  $R_2$  çözülebilir :

$$50 \cdot 10^3 = \frac{R_1 \cdot R_2}{R_1 + R_2}$$

$$2,85 = \frac{R_1}{R_1 + R_2} \cdot 12$$

$$50 \cdot 10^3 = R_2 \cdot \frac{2,85}{12}$$

$$R_2 = \frac{50 \cdot 12 \cdot 10^3}{2,85} = 210,5 \text{ k ohm}$$

ve bu değer yukarıdaki iki bağıntının birinde yerine konularak

$$R_1 = 65,6 \text{ k ohm}$$

elde edilir.

b) (3.35), (3.36) ve (3.37) bağıntılarından

$$S \approx \frac{R_B}{R_E} = \frac{50 \cdot 10^3}{2 \cdot 10^3} = 25$$

$$S' \approx -\frac{1}{2 \cdot 10^3} = -0,5 \cdot 10^{-3}$$

$$\begin{aligned} S'' &\approx \frac{2}{2 \cdot 10^3} \cdot \frac{50 \cdot 10^3}{2 \cdot 10^3} \cdot \frac{1}{(250)^2} \\ &= 0,4 \cdot 10^{-6} \end{aligned}$$

bulunur. Öte yandan tranzistor için  $k=0,07/\text{ }^\circ\text{C}$ ,  $k'=-2,5 \text{ mV}/\text{ }^\circ\text{C}$  ve —önceki örnekte bulunduğu gibi—  $k'' \approx 1,33/\text{ }^\circ\text{C}$  dir. Bütün bu değerler (3.38) bağıntısında yerine konularak

$$K = 0,07 \cdot 15 \cdot 10^{-9} \cdot \frac{50 \cdot 10^3}{2} + 2,5 \cdot 10^{-3} \cdot \frac{1}{2} + 1,33 \cdot \frac{50 \cdot 10^3}{2 \cdot 10^3} \cdot \frac{1}{(250)^2}$$

$$K = 26,25 \cdot 10^{-6} + 1,25 \cdot 10^{-3} + 0,532 \cdot 10^{-3}$$

$$K \approx 1,8 \cdot 10^{-3} = \% 0,18/\text{ }^\circ\text{C}$$

bulunur. Bu, sıcaklığın her  $\text{ }^\circ\text{C}$  artmasına karşılık sükünet akımının  $\% 0,18$  oranında artacağını gösterir.

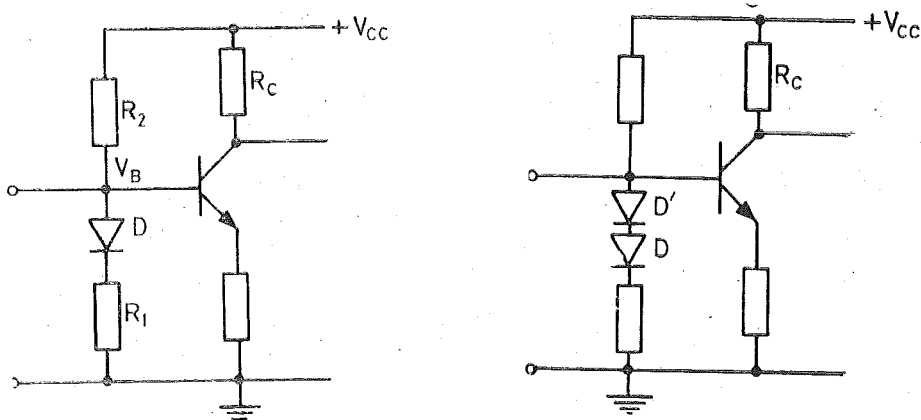
Bu değer (dolayısı ile devrenin sıcaklık değişimlerine karşı duyarlığı) önceki örnekte incelenen devreninkine göre yaklaşık olarak 3 defa küçüktür. Göründüğü gibi  $K$  nin en önemli bileşenleri  $V_{BE}$  nin sıcaklığa bağımlılığından ileri gelen ikinci terimle,  $h_{FE}$  nin sıcaklığa bağımlılığından ileri gelen üçüncü terimdir. Daha küçük bir  $K$  değeri elde edebilmek için en etkili yolun  $V_E$  yi büyütmek olduğu da açıkça görülmektedir.

#### 3.4.4.3. Kompanzasyonlu Kutuplama Devreleri.

Tranzistorun kutuplanmasını sağlayan pasif elemanlardan biri, kolktör akımının sıcaklıkla artmasını karşılayacak (kompanze edecek) şekilde sıcaklığa bağlı bir eleman alınarak da çalışma noktasının kararlılığı sağlanabilir. Bu amaçla en çok kullanılan sıcaklığa bağlı elemanlar *diyotlar* ve *negatif sıcaklık katsayılı (NTC) dirençler (termistor'lar)* dir.

Şekil 3.33. (a) da diyotlu bir kutuplama devresi verilmiştir. İletim yönünde kutuplanmış bir diyodun uçlarındaki geçirme yönü gerilimi sıcaklık arttıkça yaklaşık olarak  $-2,5 \text{ mV}/\text{ }^\circ\text{C}$  lik bir eğimle azaldığından, B noktasının gerilimi sıcaklık arttıkça azalacaktır. Tranzistorun akımı si-

caklığa bağlı olmasa idi  $V_B$  deki bu azalma kolektör akımının azalması sonucunu verecekti. Gerçekte  $I_C$  sıcaklıkla artma özelliğine sahip olduğundan  $V_B$  nin azalması  $I_C$  deki artmayı bir ölçüde karşılayacak, yani devrenin ısıl kararlılığını iyileştirecektir. Diyot geriliminin sıcaklığa bağımlılığı aslında, tranzistorun kolektör akımındaki artmanın yalnızca  $V_{BE}$  nin sıcaklığa bağımlılığından gelen bölümünü karşılayabilir.  $I_{CBO}$  ve  $h_{FE}$  nin sıcaklıkla artmalarından ileri gelen kolektör akımı yükseltmesini de karşılayabilmek için devrede birden fazla diyot kullanmak gereklidir (Şekil 3.33. b). Bu şekilde çok sayıda yarıiletken eleman gerektiren diyotlu kutuplama devreleri —eleman sayısının artmasını devre maliyetini fazla etkilemediği— yarıiletken tümdevrelerde geniş ölçüde kullanılmaktadır.

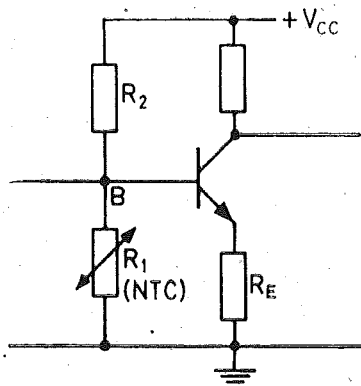


Şekil 3.33. (a) Baz bölüçünün  $R_1$  direncine seri bağlanan bir diyotla  $V_{BE}$  nin sıcaklıkla değişmesinin etkisinin karşılanması. (b) Diyot sayısı artırılarak devrenin sıcaklık katsayısı daha da azaltılabilir, hatta negatif yapılabılır.

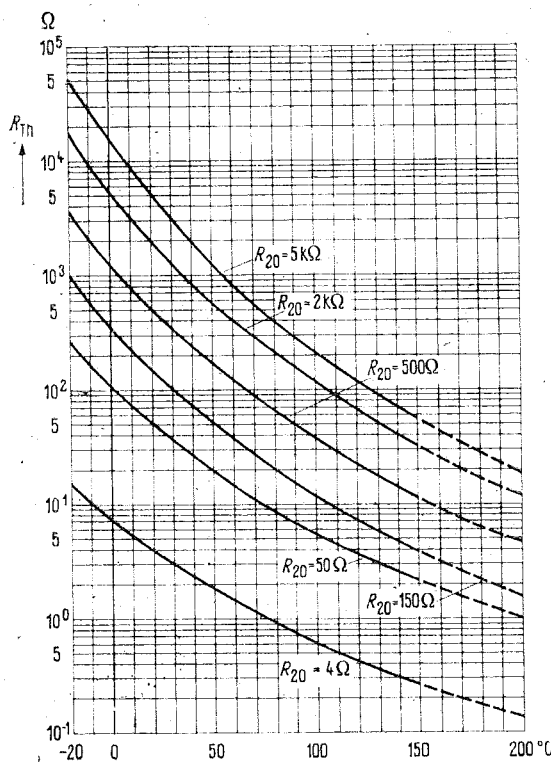
Şekil 3.34. de verilmiş olan devrede ise  $R_1$  direnci, değeri sıcaklık arttıkça azalan (negatif sıcaklık katsayılı) bir dirençtir. Baz akımı  $R_1$  ve  $R_2$  üzerinden akan akım yanında ihmäl edilerek  $V_B$  gerilimi için

$$V_B \approx V_{CC} \frac{R_1}{R_1 + R_2} = V_{CC} \frac{1}{1 + \frac{R_2}{R_1}}$$

yazılabilir.  $R_1$ 'in sıcaklık katsayısı *negatif* olduğundan  $V_B$  nin sıcaklıkla azalacağı açıktır.  $R_1$  in sıcaklık katsayısının değeri ve  $R_2/R_1$  oranı uygun



Sekil 3.34. Kutuplama devresinde bir termistor kullanılarak çalışma noktasının ısıl karaarlılığının sağlanması.



Sekil 3.35. Siemens K 15 tipi termistorlar için direncin sıcaklıkla değişimini veren eğriler. Anma değerleri termistorların 20°C deki değerleridir.

segilerek  $V_B$  deki azalmanın etkisinin,  $I_C$  de  $V_{BE}$ ,  $I_{CEO}$  ve  $h_{FE}$  nin sıcaklığa bağımlılıkları sebebi ile meydana gelen artmayı karşılaması sağlanabilir.

Negatif sıcaklık katsayılı dirençler özgül direnci sıcaklık arttıkça azalan *yaruiletken* maddelerden yapıllır. Bu iş için genellikle yaruiletken özelliği gösteren sinterlenmiş oksitler kullanılır. Bunların sıcaklık katsayıları  $\sim -3\% \text{ }^{\circ}\text{C} \dots -6\% \text{ }^{\circ}\text{C}$  mertebesindedir (iletkenlerde bu değer  $+0,4\%$  civarındadır). Şekil 3.35. de K 15 tipi çeşitli değerde termistorların dirençlerinin sıcaklıkla değişimleri verilmiştir. Direncin sıcaklığa böyle büyük ölçüde bağlı olması sayesinde bu elemanlardan sıcaklığın elektriksel olarak ölçülmesinde de yararlanılır.

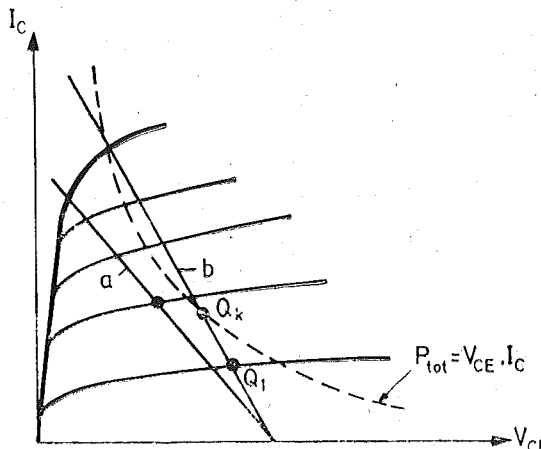
#### 3.4.4.4. Isıl Sürüklenme.

Çalışmakta olan bir tranzistorda, yaklaşık olarak kolektör akımı ile emetör geriliminin çarpımına eşit bir güç harcanır. Tranzistorun kılıfından gevreye yayılabilen isıl güç bu şekilde harcanan (ısıya dönüsen) güçten daha küçük ise tranzistorun sıcaklığı yükselir. Tranzistor kılıfından belirli bir ortam sıcaklığı ve müsaade edilen maksimum jonksiyon sıcaklığı için yayılabilecek toplam güçe ( $P_{tot}$ ) karşı düşen  $I_C \cdot V_{CE}$  çarpımları tranzistorun çıkış özegrileri üzerine çizilirse

$$P_{tot} = I_C \cdot V_{CE} \quad (3.40)$$

bağıntısı ile ifade edilebilen bir hiperbol elde edilir.

*Maksimum güç hiperbolü* adı verilen bu hiperbolün üzerindeki noktalar için tranzistorda açığa çıkan güç gevreye yayılabilen güçe esittir;



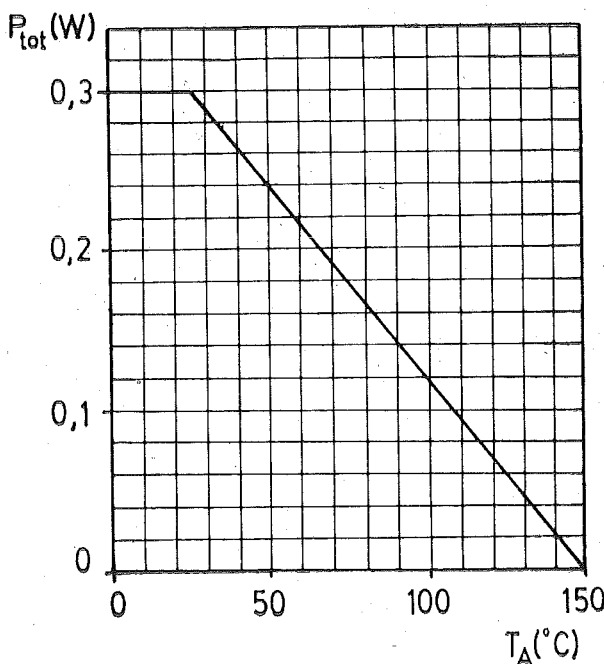
Şekil 3.36. Bir tranzistorun maksimum güç hiperbolü ve (a) isıl sürüklenemeye yol açmayacak, (b) isıl sürüklenemeye yol açabilecek yük doğruları.

yani tranzistorun sıcaklığı yükselmez. Hiperbolün aşağısında kalan çalışma noktaları için harcanan güç yayılabilenek güçten daha küçüktür; yani tranzistorun jonksiyon sıcaklığı,  $P_{tot}$  belirlenirken öngörülen değere ulaşamaz. Hiperbolün dışında kalan noktalar için ise tranzistorda, çevreye yayılabilenek güçten daha büyük bir güç açığa çıkar ve jonksiyon sıcaklığı tranzistorun zarar görmeden çalışabileceği en yüksek sıcaklığın (silisyum tranzistorlarda  $200^{\circ}\text{C}$ , germanium tranzistorlarda  $100^{\circ}\text{C}$  kadar) üzerine çıkar. O halde çalışma noktası sıcaklık etkisi ile kaysa bile maksimum güç hiperbolünün dışına çıkmamasını sağlayacak önlemlerin alınması gereklidir. Direnç yüklü tranzistorlu kuvvetlendiricilerde bu, yük direnci değerinin, yük doğrusu hiperbolü kesmeyecek şekilde seçilmesi ile sağlanabilir (Şekil 3.36. da a doğrusu). Bu durumda —çalışma noktası yük doğrusu üzerinde bulunmak zorunda olduğundan— tranzistorda harcanan güç hiçbir zaman  $P_{tot}$  değerine ulaşmaz. Harcanan gücün maksimum olduğu (doğrunun güç hiperbolüne en çok yaklaşığı) noktasında  $V_{CE}$  nin,  $V_{cc}$  nin yarısına eşit olacağı gösterilebilir. Yük doğrusu güç hiperbolünü kesecek şekilde seçildiğinde normal şartlar altında çalışma noktası hiperbolün altında seçilmiş olsa bile güvenli bir çalışma söz konusu değildir. Örneğin Şekil 3.36. da b ile gösterilen yük doğrusu için çalışma noktası  $Q_1$  noktasında seçilmiş olsun. SükUNETTEKİ kolektör akımı çevre sıcaklığının yükselmesi sonucunda biraz artsa yeni çalışma noktasındaki  $I_C \cdot V_{CE}$  çarpımı daha büyük (çalışma noktası maksimum güç hiperbolüne daha yakın) olduğundan tranzistorda harcanan güç artar. Bu, jonksiyon sıcaklığının yükselmesine, o da akımın daha fazla artmasına yol açar. Böylece kısa bir süre içinde tranzistorda harcanan güç  $P_{tot}$  değerinin, jonksiyon sıcaklığı da tranzistorun zarar görmeden çalışabileceği en yüksek sıcaklığın üstüne çıkar ve tranzistor bozulur. *Isıl sürükülenme* adı verilen bu olayın ortaya çıkmaması için tranzistorun doğru akım yük doğrusunun maksimum güç hiperbolünü kesmemesinin sağlanması gereklidir. Yahut da, özellikle büyük güçlü devrelerde, ıslı sürükülenmeyi önleyecek kompanzasyon veya koruma devrelerinden yararlanma yoluna gidilir.

Tranzistordan çevreye yayılabilenek maksimum güç olarak tanımlanan  $P_{tot}$  tranzistorun jonksiyonu ile dış ortam arasındaki toplam *ıslı difference* ve jonksiyon sıcaklığı ile ortam sıcaklığı arasındaki *farka* bağlıdır. ıslı direncin jonksiyondan kılıfı kadar olan bölümü tranzistorun yapısına bağlıdır; büyük güçlerde çalıştırılacak tranzistorlarda bu direncin olabildiği kadar küçük yapılmasına çalışılır. Kılıftan dış ortama ısı iletim yeteneğinin tersi olan ıslı direnç bileşeni ise kılıfın dış ortamla *ıslı bağlantısına* bağlıdır. Bu bileşeni küçültmek için genellikle kılıftan çev-

reye ısı iletimini (tranzistorun soğumasını) kolaylaştırmak üzere tranzistor, ıslık iletkenliği yüksek olan (genellikle alüminyumdan) geniş yüzeyle bir levha üzerine bağlanır. Tranzistorun güç sınırı yakınlarında cağıstırıldığı hallerde böyle bir *soğutucu* genellikle gerekli olur.

Tranzistordan gevreye yayılabilen maksimum güç çevre sıcaklığı yükseldikçe küçülür ve çevre sıcaklığının müsaade edilen maksimum jonksiyon sıcaklığına eşit olması hâlinde sıfıra düşer. Bu değişim genellikle Şekil 3.37. deki gibi, grafik olarak verilir.



Şekil 3.37. BC 212 tranzistoru için  $P_{\text{tot}}$  gücünün çevre sıcaklığı ( $T_A$ ) ile değişimi.

#### 3.4.5. Tranzistorların Küçük İşaret Eşdeğer Devreleri ve Parametreleri.

Bir tranzistorda çeşitli akım-gerilim ilişkilerinin tranzistorun *özeğrileri* ile verildiği, bu özeğrilerden yararlanılarak belirli akım yahut gerilimlerin değiştirilmesi halinde başka akım ve gerilimlerin değişimlerinin *cizim* yolu ile bulunabileceği 3.4.2. ve 3.4.3. de gösterilmiştir. Devrede yal-

nızca dirençlerin bulunması halinde ve büyük genlikli değişimler için bu çizim yolu gejerli bir çözüm yöntemidir. Ancak devrede reaktif elemanlar da varsa yahut akım ve gerilimlerdeki değişim genlikleri çok küçükse çizim yolu elverişli olmaktan çıkar; reaktif elemanların bulunması halinde çizim yolu pratikte uygulanamayacak kadar güçlesir, genliklerin küçük olması halinde ise çizim ve okuma toleransları sebebi ile sonucun doğruluğu önemli ölçüde azalır. Bu durumlarda tranzistoru çalışma noktasının yakın civarı için *lineer bir 4-uçlu* olarak ele alıp devre çözümünde bu 4-uçluğun parametrelerinden yararlanmak daha elverişli olur. Lineer 4-uçluların davranışlarını belirlemek için tanımlanabilen çeşitli parametre takımları arasında h parametreleri (hibrit parametreler, karma parametreler) ile y parametreleri (admitans parametreleri, kısa devre parametreleri) tranzistorlar için en uygun olanlardır. Aşağıda bu parameteler en çok kullanılan tranzistorlu devre tipi olan ortak emetörlü devre için çıkartılacak ve bunlardan yararlanılarak önemli devre özelliklerinin nasıl hesaplanabileceği gösterilecektir.

#### 3.4.5.1. Ortak Emetörlü Devrede h Parametreleri.

Şekil 3.10. daki gibi ortak emetörlü (emetörün giriş ve çıkış uç çiftleri arasında ortak olduğu) bir devrede giriş akımı ( $I_B$ ), giriş gerilimi ( $V_{BE}$ ), çıkış akımı ( $I_C$ ) ve çıkış geriliminden ( $V_{CE}$ ) herhangi ikisi biliniyorsa öteki ikisi bunlar cinsinden özeğriler yardım ile belirlenebilir. Bu dört büyülüktten  $V_{BE}$  ve  $I_C$ ,  $I_B$  ve  $V_{CE}$  cinsinden ifade edilmek istenirse

$$\begin{aligned} V_{BE} &= V_{BE}(I_B, V_{CE}) \\ I_C &= I_C(I_B, V_{CE}) \end{aligned} \quad (3.41)$$

yazılabilir. Bunlardan birincisi tranzistorun giriş özeğrilerini, ikincisi ise çıkış özeğrilerini belirler (giriş özeğrileri  $V_{CE}$  ye göre pek az bir değişim gösterdiğiinden genellikle tek bir  $V_{BE}=V_{BE}(I_B)$  eğrisi ile yetinir). Özeğrilerden görüleceği gibi her iki fonksiyon da açıkça eğrisel (nonlinear) dir.

Tranzistor, özeğriler üzerinde kolayca belirlenebilen bir Q noktasında kutuplanmışken  $I_{BQ}$  akımı  $\Delta I_B$  kadar ve  $V_{CEQ}$  gerilimi  $\Delta V_{CE}$  kadar değiştirilirse  $V_{BEQ}$  ve  $I_{CQ}$  da buna karşılık meydana gelecek değişimler özeğriler yardım ile bulunabileceği gibi, (3.41) fonksiyonları Q noktası civarında Taylor serisine açılarak da hesabedilebilir :

$$\Delta V_{BE} = \frac{1}{1!} \left[ \frac{\partial V_{BE}}{\partial I_B} \right]_{V_{CE}=V_{CEO}} \cdot \Delta I_B + \frac{1}{2!} \left[ \frac{\partial^2 V_{BE}}{\partial I_B^2} \right]_{V_{CE}=V_{CEO}} \cdot (\Delta I_B)^2 + \dots$$

$$+ \frac{1}{1!} \left[ \frac{\partial V_{BE}}{\partial V_{CE}} \right]_{I_B=I_{BO}} \cdot \Delta V_{CE} + \frac{1}{2!} \left[ \frac{\partial^2 V_{BE}}{\partial V_{CE}^2} \right]_{I_B=I_{BO}} \cdot (\Delta V_{CE})^2 + \dots \quad (3.42 \text{ a})$$

$$\Delta I_C = \frac{1}{1!} \left[ \frac{\partial I_C}{\partial I_B} \right]_{V_{CE}=V_{CEO}} \cdot \Delta I_B + \frac{1}{2!} \left[ \frac{\partial^2 I_C}{\partial I_B^2} \right]_{V_{CE}=V_{CEO}} \cdot (\Delta I_B)^2 + \dots$$

$$+ \frac{1}{1!} \left[ \frac{\partial I_C}{\partial V_{CE}} \right]_{I_B=I_{BO}} \cdot \Delta V_{CE} + \frac{1}{2!} \left[ \frac{\partial^2 I_C}{\partial V_{CE}^2} \right]_{I_B=I_{BO}} \cdot (\Delta V_{CE})^2 + \dots \quad (3.42 \text{ b})$$

$Q$  noktasının yakın civarı için, yani akım ve gerilimlerdeki değişimlerin, çalışma noktasındaki akım ve gerilim değerlerine göre küçük olması halinde (3.42 a) ve (3.42 b) bağıntılarındaki yüksek mertebeden terimler ihmal edilerek bağıntılar aşağıdaki şekilde basitleştirilebilir :

$$\Delta V_{BE} \approx \left[ \frac{\partial V_{BE}}{\partial I_B} \right]_{V_{CE}=V_{CEO}} \cdot \Delta I_B + \left[ \frac{\partial V_{BE}}{\partial V_{CE}} \right]_{I_B=I_{BO}} \cdot \Delta V_{CE}$$

$$\Delta I_C \approx \left[ \frac{\partial I_C}{\partial I_B} \right]_{V_{CE}=V_{CEO}} \cdot \Delta I_B + \left[ \frac{\partial I_C}{\partial V_{CE}} \right]_{I_B=I_{BO}} \cdot \Delta V_{CE} \quad (3.43)$$

Bu şekilde elde edilen bağıntılar  $\Delta I_B$  ve  $\Delta V_{CE}$  nin küçük değerli olması şartına bağlı olan *yaklaşık* bağıntılar olmakla beraber çok önemli bir özelikleri vardır; *lineer* bağıntılardır. Dolayısı ile tranzistora iyi bilinen lineer devre çözüm yöntemlerinin uygulanmasına imkân verecek *lineer eşdeğer devrelerin* (lineer modellerin) elde edilmesinde kullanılabilirler.

(3.43) bağıntılarında akım ve gerilimlerin  $Q$  sükünet noktasındaki değerlere göre değişimlerini gösteren  $\Delta I_B$ ,  $\Delta V_{CE}$ ,  $\Delta I_C$  ve  $\Delta V_{BE}$  büyülükleri, akım ve gerilimlerin *değişken bileşenlerinin ani değerlerini* belirtmek üzere  $i_b$ ,  $v_{ce}$ ,  $i_e$  ve  $v_{be}$  sembollerini ile de ifade edilebilirler :

$$v_{be} = \left[ \frac{\partial V_{BE}}{\partial I_B} \right]_{V_{CE}=V_{CEO}} \cdot i_b + \left[ \frac{\partial V_{BE}}{\partial V_{CE}} \right]_{I_B=I_{BO}} \cdot v_{ce}$$

$$i_e = \left[ \frac{\partial I_C}{\partial I_B} \right]_{V_{CE}=V_{CEO}} \cdot i_b + \left[ \frac{\partial I_C}{\partial V_{CE}} \right]_{I_B=I_{BO}} \cdot v_{ce} \quad (3.44)$$

Bu denklem sistemindeki katsayırlara tranzistorun ortak emetörlü devre için *h parametreleri* denir ve bağıntılar

$$v_{be} = h_{ie} \cdot i_b + h_{re} \cdot v_{ce} \quad (3.45 \text{ a})$$

$$i_c = h_{fe} \cdot i_b + h_{oe} \cdot v_{ce} \quad (3.45 \text{ b})$$

şeklinde yazılır.

$h$  parametrelerinin tanım bağıntıları (3.44) yahut (3.45) bağıntılardan elde edilebilir :

$h_{ie}$  nin tanım bağıntısı (3.44)'e göre

$$h_{ie} = \left[ \frac{\partial V_{BE}}{\partial I_B} \right]_{V_{CE}=V_{CEO}} \quad (3.46)$$

ve (3.45)'e göre

$$h_{ie} = \left[ \frac{v_{be}}{i_b} \right]_{v_{ce}=0} \quad (3.47)$$

dir. (3.46) ya göre  $h_{ie}$ , tranzistorun giriş özeğrisinin Q noktasındaki teğetinin eğiminin tersine eşittir (Şekil 3.38.). (3.47) bağıntısına göre ise  $v_{ce}=0$  için (başka bir deyişle, çıkış değişken işaretler bakımından kısa devre iken) bulunacak *giriş direnci*'dir.

$h_{re}$  nin tanım bağıntısı

$$h_{re} = \left[ \frac{\partial V_{BE}}{\partial V_{CE}} \right]_{I_B=I_{BO}}$$

yahut

$$h_{re} = \left[ \frac{v_{be}}{v_{ce}} \right]_{i_b=0} \quad (3.48)$$

dir. (3.48) bağıntısına göre, giriş değişken işaretler bakımından açık devre iken çıkış gerilimindeki bir değişimin giriş uçları arasındaki gerilimi ne kadar değiştireceğini belirleyen bu parametre boyutsuzdur ve *geriye doğru gerilim geçiş oranı* adını alır.

$h_{fe}$  nin tanım bağıntısı

$$h_{fe} = \left[ \frac{\partial I_C}{\partial I_B} \right]_{V_{CE}=V_{CEO}} \quad (3.49)$$

yahut

$$h_{fe} = \left[ \frac{i_c}{i_b} \right]_{v_{ce}=0} \quad (3.50)$$

dir. (3.49) bağıntısına göre  $h_{fe}$  tranzistorun  $I_C=f(I_B)$  geçiş özeğrilerinden  $V_{CE}=V_{CEO}$  ye ilişkin olanının Q noktasındaki teğetinin eğimine eşittir

(Şekil 3.38.). Tranzistorlarda akım geçiş özeğrisi başlangıçtan geçen hemen hemen doğrusal bir eğri olduğundan  $h_{fe}$  çalışma akımına pek az bağlıdır ve ayrıca,  $h_{fe}$  doğru akım kazancına da yaklaşık olarak eşittir. (3.50) bağıntısına göre ise  $h_{fe}$ , çıkış değişken işaretler bakımından kısa devre iken giriş akımındaki küçük genlikli bir değişken bileşenin çıkış akımında ne kadar bir değişimde yol açacağını belirleyen bir parametredir ve buna tranzistorun —ortak emetörlü devre için— *kısa devre değişken akım kazancı* denir.

$h_{oe}$  nin tanım bağıntısı

$$h_{oe} = \left[ \frac{\partial I_C}{\partial V_{CE}} \right]_{I_B=I_{BQ}} \quad (3.51 \text{ a})$$

yahut

$$h_{oe} = \left[ \frac{i_c}{V_{ce}} \right]_{i_b=0} \quad (3.51 \text{ b})$$

dir. Giriş değişken işaretler bakımından açık devre iken ölçülecek çıkış *iletkenliği* olan  $h_{oe}$ , çıkış özeğrilerinden  $I_B=I_{BQ}$  için olanının Q noktasındaki eğimi olarak da belirlenebilir (Şekil 3.38.).

$h$  parametrelerinden biri direnç boyutunda ( $h_{ie}$ ), biri iletkenlik boyutunda ( $h_{oe}$ ) ve ikisi de boyutsuz ( $h_{fe}$  ve  $h_{re}$ ) olduğundan bunlara *karma parametreler* (hibrit parametreler) adı verilmiştir.

Bir tranzistorun  $h$  parametrelerinin, çalışma noktasına bağlı olarak değişeceği açıklık. Bunların çalışma noktası akım ve gerilimlerine bağlı olarak ne yönde ve ne ölçüde değişecekleri Şekil 3.38. deki gösterimden yararlanılarak çıkartılabilir. Kataloglarda genellikle  $h$  parametrelerinin değerleri belirli bir çalışma noktası için verilir;  $I_C$  ye ve  $V_{CE}$  ye bağlı olarak değişimleri de eğrilerle gösterilir. Örneğin BC 107 B tipi tranzistorun  $h$  parametrelerinin  $V_{CE}=5$  V,  $I_C=2$  mA çalışma noktası için değerleri

$$h_{ie} = 4,5 \text{ k ohm}$$

$$h_{re} = 2 \cdot 10^{-4}$$

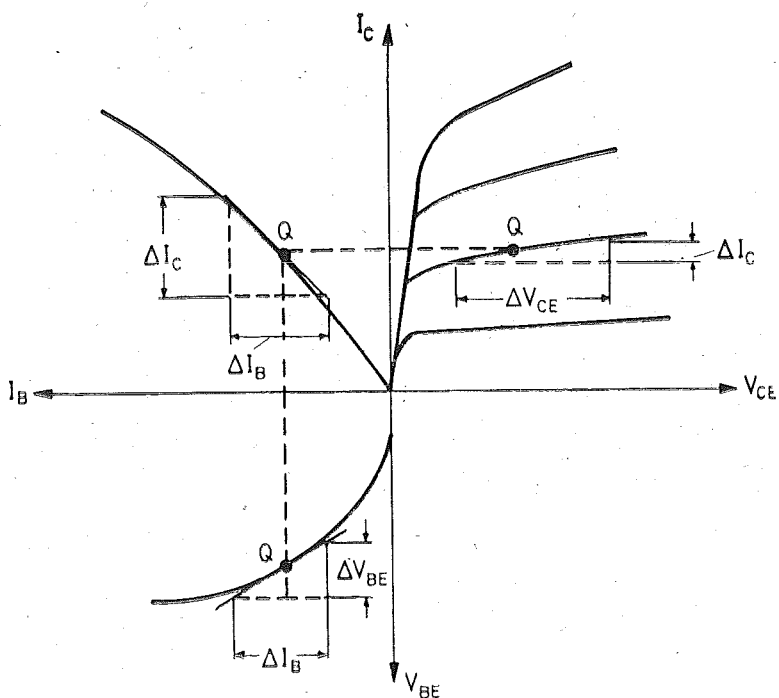
$$h_{fe} = 330$$

$$h_{oe} = 30 \mu\text{S}$$

olarak ve  $I_C$  ile  $V_{CE}$  ye bağlı değişimleri de Şekil 3.39. daki eğrilerle verilmiştir. Görüldüğü gibi parametrelerin  $V_{CE}$  ye bağımlılıkları,  $I_C$  ye bağımlılıklarına göre çok daha küçüktür ( $I_C$  ye bağımlılığı belirleyen eğride ek-

senlerin logaritmik taksimatlandırılmış olduğuna dikkat ediniz).  $h_{fe}$  nin  $I_c$  ye bağımlılığı —evvelce de deiginildiği gibi— oldukça kücüktür. Akımla en fazla değişen parametre  $h_{ie}$  dir ki bu, giriş eğrisinin üstel bir eğri olmasının sonucudur.

Doğru akım ve gerilimleri belirlenmiş (belirli bir çalışma noktasında kutuplanmış) olan bir tranzistorun akım ve gerilimlerinin küçük genlikli değişimleri için elde edilmiş olan (3.45) bağıntıları Şekil 3.40. da verilmiş olan eşdeğer devre ile temsil edilebilir. Gerçekten, (3.45 a) bağıntı-

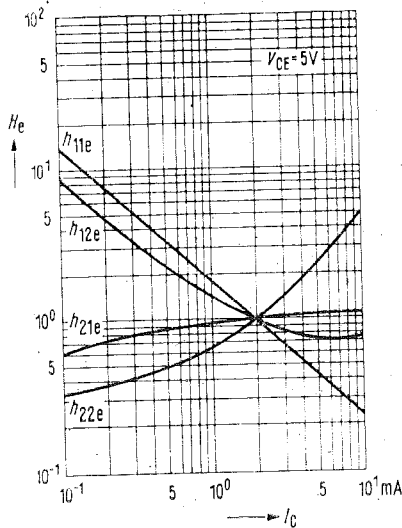


Şekil 3.38. Bir tranzistorun Q çalışma noktasındaki h parametrelerinin özegrilere ilişkisi.

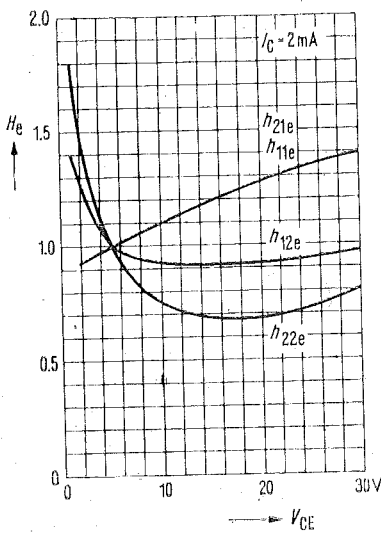
tisina göre giriş gerilimi ( $v_{be}$ ), gişim akımı ( $i_b$ ) nin giriş direnci ( $h_{ie}$ ) üzerinde meydana getirdiği gerilim düşümü ile, çıkış gerilimi ile orantılı olan bir  $h_{re} \cdot v_{ce}$  geriliminin toplamına eşittir. Ohalde giriş devresi  $h_{ie}$  direnci ile buna seri  $h_{re} \cdot v_{ce}$  bağımlı gerilim kaynağı'nın eşdeğeri olarak gösterilmelidir. (3.45 b) bağıntısı ise çıkış akımının, çıkış gerilimine bağlı-

$$h_{re} = \frac{h_{fe}(I_C)}{h_{fe}(I_C = 2 \text{ mA})} = f(I_C); V_{CE} = 5 \text{ V}$$

BC 107



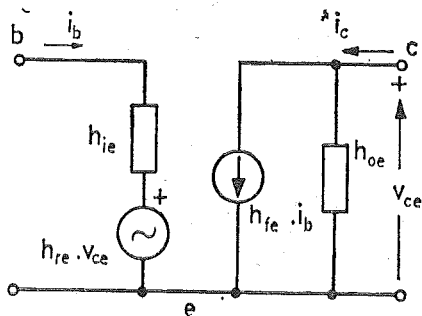
$$h_{re} = \frac{h_{fe}(V_{CE})}{h_{fe}(V_{CE} = 5 \text{ V})} = f(V_{CE}); I_C = 2 \text{ mA}$$



**Sekil 3.39.** BC 107 B tranzistoru için h parametrelerinin  $I_C$  ve  $V_{CE}$  ile nasıl değiştiğini gösteren eğriler.  $V_{CE} = 5 \text{ V}$ ,  $I_C = 2 \text{ mA}$  için ortalama parametre değerleri :  $h_{re} = 4,5 \text{ k}$ ,  $h_{fe} = 2 \cdot 10^{-4}$ ,  $h_{fe} = 330$ ,  $h_{oe} = 30 \mu\text{S}$  dir.

$h_{re} \cdot V_{ce}$  bileseni ile giriş akımına bağlı  $h_{fe} \cdot i_b$  bileseninin toplamından oluştuğunu gösterir. Ohalbde çıkış devresi de uçlarındaki  $v_{ce}$  gerilimi ile içinden  $h_{oe} \cdot v_{ce}$  akımı akan  $h_{oe}$  iletkenliğinin ve  $h_{fe} \cdot i_b$  bağımlı akım kaynağının paralel eşdeğerinden ibarettir.

(3.45) bağıntılarından elde edilmiş olan Sekil 3.40. daki devre çalışma noktası ve bu noktadaki h parametreleri bilinen bir tranzistoru küçük genlikli değişimler için temsil eden bir eşdeğer devre olduğuna göre, tranzistorun çeşitli pasif dış devre elemanları ile birlikte bir devre oluşturması halinde burada tranzistor yerine onun Sekil 3.40. daki eşdeğeri konularak ve bilinen *lineer devre analizi yöntemleri* uygulanarak çözüm yapılabilir. Sekil 3.41. de, Sekil 3.31. deki gibi kutuplanmış ve girişine  $R_g$  iç dirençli bir  $v_g$  işaret kaynağı, çıkışına ise bir  $R_y$  yük direnci bağlanmış olan tranzistorlu bir kuvvetlendiricinin şeması ile, tranzistor yerine h eşdeğeri konularak elde edilen devre verilmiştir.



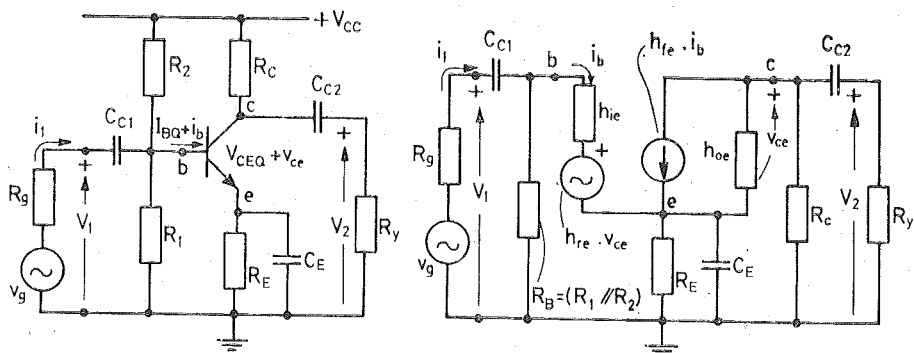
Şekil 3.40. Ortak emetörlü bağlama sekli için  
h parametreleri eşdeğer devresi.

Devredeki  $V_{CC}$  besleme kaynağı bir doğru gerilim kaynağı olduğundan (uçlarındaki gerilimin bir değişken bileşeni bulunmadığından) Şekil 3.41. (b) deki değişken işaretler için verilmiş olan eşdeğer devrede bu kaynak kısa devre alınmıştır (doğru gerilim kaynağının değişken işaretler için iç direnci sıfır —yahut çok küçük— değilse eşdeğer devrede bu da gösterilmelidir).

Bu devrenin doğru sonuçlar verebilmesi için;

1 — h parametrelerinin *değerlerinin*, Şekil 3.41. (a) daki devrede tranzistor için belirlenmiş olan çalışma noktasına ilişkin parametre değerleri olması,

2 —  $v_g$  işaret kaynağı sebebi ile tranzistorun akım ve gerilimlerinde meydana gelecek değişimlerin genliklerinin, çalışma noktasındaki doğru



Şekil 3.41. (a) Ortak emetörlü bir tranzistorlu kuvvetlendirici şeması.

(b) Kuvvetlendiricinin küçük genlikli işaretler için eşdeğer devresi.

akım ve gerilimlere göre *yeteri kadar küçük* kalması (yani  $v_{be} \ll V_{BEQ}$ ,  $i_b \ll I_{BQ}$ ,  $i_c \ll I_{CQ}$ ,  $v_{ce} \ll V_{CEQ}$  olması) gereklidir. Değişken bileşenlerin genlikleri büyütültürse (3.42) temel bağıntılarından (3.44) ve oradan (3.45) bağıntılarına geçerken yapılan ihmallerin geçerliliği ve dolayısı ile eşdeğer devre kullanılarak elde edilen sonuçların doğruluğu azalır.

Bir tranzistorun  $h$  parametreleri tanım bağıntılarının belirlediği şekilde ölçümek istendiğinde, ölçmelerin yapıldığı frekans yükselttilirse parametreler gerçek büyüklükler olmaktan çıkar. Bunun nedeni, tranzistorun elektrodlar arası kapasiteleri ve —yine bir kapasitif etki ile temsil edilebileceği gösterilebilen— taşıyıcı gecikmeleridir. Tranzistoru herhangi bir frekansta temsil etmek için  $h$  parametrelerinden yararlanılabilirse de bu, yüksek frekanslarda  $h_{re}$  ve  $h_{oe}$  nin ölçülmesi için gerekli olan «değişken işaretler bakımından girişi açık devre etmek» şartını gerçekleştirmek çok zor olduğundan, elverişli değildir. Bunun yerine bütün elemanları *kısa devre* şartları altında ölçülen bir başka parametre takımdan; *y parametreleri*'nden yararlanmak daha uygun olur.

#### 3.4.5.2. Ortak Emetörlü Devrede *y* Parametreleri.

Belirli bir çalışma noktasında kutuplanmış bir tranzistorda baz akımı ve kolektör akımı baz-emetör ve kolektör-emetör gerilimleri cinsinden

$$I_B = I_B (V_{BE}, V_{CE})$$

$$I_C = I_C (V_{BE}, V_{CE})$$

bağıntıları ile ifade edilebilir. Bu bağıntılar Q çalışma noktasına göre seriye açılarak yalnızca lineer terimlerle yetinilirse akım ve gerilimlerin değişken bileşenleri cinsinden

$$i_b = y_{ie} \cdot v_{be} + y_{re} \cdot v_{ce} \quad (3.52 \text{ a})$$

$$i_c = y_{fe} \cdot v_{be} + y_{oe} \cdot v_{ce} \quad (3.52 \text{ b})$$

bağıntılarına ulaşılır. Tranzistorun *aslında lineer olmayan* davranışlarını çalışma noktasının yakın civarı —yani küçük genlikli değişimler— için *yaklaşık olarak* temsil eden bu *lineer* bağıntılardaki katsayırlara tranzistorun ortak emetörlü devre için *y parametreleri* yahut *admitans parametreleri* adı verilir.

*y* parametrelerinin herbiri için tanım bağıntıları (3.52) ifadelerinden elde edilebilir :

$$y_{ie} = \left[ \frac{i_b}{v_{be}} \right]_{v_{ce}=0} \quad (3.53)$$

çıkış değişken işaretler bakımından kısa devre ikenki giriş admitansıdır. Buna *kısa devre giriş admitansı* denir.

$$y_{re} = \left[ \frac{i_b}{v_{ce}} \right]_{v_{be}=0} \quad (3.54)$$

giriş kısa devre iken çıkış uçlarındaki bir  $v_{ce}$  değişken gerilim bileşeninin, girişteki kısa devre üzerinde doğuracağı değişken akımın değerini belirler ve *geriye doğru geçiş admitansı* adını alır.

$$y_{fe} = \left[ \frac{i_e}{v_{be}} \right]_{v_{ce}=0} \quad (3.55)$$

büyüklüğüne *ileriye doğru geçiş admitansı* yahut kısaca *eğim* denir. Çıkış kısa devre iken giriş geriliminin çıkış akımı üzerindeki kontrol yeteneğini belirleyen bu parametre tranzistorun en önemli parametrelerinden biridir.

$$y_{oe} = \left[ \frac{i_e}{v_{ce}} \right]_{v_{be}=0} \quad (3.56)$$

ise giriş kısa devre ikenki çıkış admitansı —yahut kısaca— *kısa devre çıkış admitansı*'dır.

Tanım bağıntılarındaki girişin yahut çıkışın değişken işaretler bakımından kısa devre edilmesi şartı, yüksek frekanslarda, kısa devre edilecek uqlar bir kondansatörle söntlenerek ideale yakın bir şekilde yerine getirilebilir. Yüksek frekanslarda birer karmaşık büyülüklük olan y parametreleri *belirli bir çalışma noktası ve belirli bir frekans için* gerçek ve sanal kısımları ile yahut modül ve açıları ile ifade edilebilirler. Ancak aşağıdaki belirleme şekli tranzistorlu akordlu kuvvetlendiricilerin hesabında en elverişli şekil olduğu için

$y_{ie}$  nin     $g_{ie}$     ve  $C_{ie}$

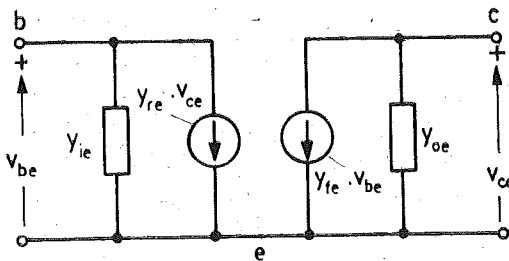
$y_{oe}$  nin     $g_{oe}$     ve  $C_{oe}$

$y_{fe}$  nin    |  $y_{fe}$  |    ve  $\varphi_{fe}$

$y_{re}$  nin    |  $y_{re}$  |    ve  $\varphi_{re}$

bileşenleri ile verilmesi adet olmuştur.

(3.52) bağıntıları bir eşdeğer devre ile gösterilmek istenirse, h eşdeğer devresi elde edilirkenkine benzer yoldan Şekil 3.42. deki eşdeğer devre kolayca elde edilebilir. Bu eşdeğer devredeki  $y_{ie}$  ve  $y_{oe}$  giriş ve çıkış admitansları ile  $y_{re}$  ve  $y_{fe}$  geçiş admitanslarının genel olarak her frekans-



Sekil 3.42. Ortak emetörlü bağlama sekli için tranzistorun y parametreleri esdeğer devresi.

ta başka değerde olacakları, ancak tranzistorun elektrodlar arası kapasiteleri ile gecikmelerin ihmali edilebileceği alçak frekanslarda bunların iletkenlik boyutunda birer gerçel büyüklüğe dönüsecekleri gözden kaçırılmamalıdır.

Belirli bir çalışma noktasında kutuplanmış bir tranzistorun o çalışma noktasındaki h parametreleri cinsinden alçak frekanslardaki (gerçel) y parametrelerini veren bağıntılar çıkartılırsa  $\Delta h_e = h_{ie} \cdot h_{oe} - h_{re} \cdot h_{fe}$  olmak üzere

$$\begin{aligned} y_{ie} &= \frac{1}{h_{ie}} & y_{ce} &= \frac{\Delta h_e}{h_{ie}} \\ y_{fe} &= \frac{h_{fe}}{h_{ie}} & y_{re} &= \frac{h_{re}}{h_{ie}} \end{aligned} \quad (3.57)$$

bulunur. Benzer şekilde h parametreleri de y parametreleri cinsinden hesabedilebilir :

$$\begin{aligned} h_{ie} &= \frac{1}{y_{ie}} & h_{ce} &= \frac{\Delta y}{y_{ie}} \\ h_{fe} &= \frac{y_{fe}}{y_{ie}} & h_{re} &= -\frac{y_{re}}{y_{ie}} \end{aligned} \quad (3.58)$$

Burada da  $\Delta y = y_{ie} \cdot y_{oe} - y_{fe} \cdot y_{re}$  dir.

Buraya kadar tranzistorun küçük işaret parametrelerini ortak emetörlü çalışma sekli; yani emetörün giriş üç çifti ile çıkış üç çiftinde ortak elekrot olması hali için inceledik. Tranzistorun üç ucunun başka kom-

binezonları için de küçük işaret parametrelerinin tanımlanabileceği ve —tranzistor aynı çalışma noktasında kalmak şartı ile— bu parametre takımları arasında geçiş bağıntılarının çıkartılabileceği açıklar. Aşağıda ortak bazlı ve ortak emetörlü devrelerin  $h$  ve  $y$  parametreleri arasındaki dönüşüm bağıntıları ve parametrelerin büyüklük mertebeleri göz önüne alınarak bulunmuş olan yaklaşık bağıntılar toplu olarak verilmiştir. Şekil 3.43. de de ortak bazlı bir tranzistorlu kuvvetlendiricinin şeması ile akım ve gerilimlerin referans yönleri gösterilmiştir.

Ortak bazlı devrenin  $h$  parametrelerini ortak emetörlü devrenin  $h$  parametreleri cinsinden veren bağıntılar :

$$h_{ib} = \frac{1}{1 + h_{fe} - h_{re} + \Delta h_e} \cdot h_{ie} \approx \frac{1}{1 + h_{fe}} \cdot h_{ie}$$

$$h_{rb} = \frac{1}{1 + h_{fe} - h_{re} + \Delta h_e} (\Delta h_e - h_{re}) \approx \frac{1}{1 + h_{fe}} \cdot \Delta h_e$$

$$h_{fb} = \frac{1}{1 + h_{fe} - h_{re} + \Delta h_e} (-h_{fe} - \Delta h_e) \approx \frac{-h_{fe}}{1 + h_{fe}} \quad (3.59)$$

$$h_{ob} = \frac{1}{1 + h_{fe} - h_{re} + \Delta h_e} \cdot h_{oe} \approx \frac{1}{1 + h_{fe}} \cdot h_{oe}$$

$$(\Delta h_e = h_{ie} h_{oe} - h_{re} h_{fe})$$

Ortak bazlı devrenin  $y$  parametrelerini ortak emetörlü devrenin  $y$  parametreleri cinsinden veren bağıntılar :

$$y_{ib} = (y_{ie} + y_{fe} + y_{re} + y_{oe}) \approx y_{fe}$$

(3.60)

$$y_{rb} = -(y_{re} + y_{oe})$$

$$y_{fb} = -(y_{fe} + y_{oe}) \approx -y_{fe}$$

$$y_{ob} = y_{oe}$$

Ortak emetörlü devrenin  $h$  parametrelerini ortak bazlı devrenin  $h$  parametreleri cinsinden veren bağıntılar :

$$h_{ie} = \frac{1}{1 + h_{fb} - h_{rb} + \Delta h_b} h_{ib} \approx \frac{1}{1 + h_{fb}} \cdot h_{ib}$$

$$h_{re} = \frac{1}{1 + h_{fb} - h_{rb} + \Delta h_b} (\Delta h_b - h_{rb}) \approx \frac{1}{1 + h_{fb}} (\Delta h_b - h_{rb})$$

$$h_{fe} = \frac{1}{1 + h_{fb} - h_{rb} + \Delta h_b} (-\Delta h_b - h_{fb}) \approx \frac{-1}{1 + h_{fb}} h_{fb}$$

$$h_{oe} = \frac{1}{1 + h_{fb} - h_{rb} + \Delta h_b} h_{ob} \approx \frac{1}{1 + h_{fb}} h_{ob} \quad (3.61)$$

$$(\Delta h_b = h_{ib} h_{ob} - h_{rb} h_{fb})$$

Ortak emetörlü devrenin y parametrelerini ortak bazlı devrenin y parametreleri cinsinden veren bağıntılar :

$$y_{ie} = y_{ib} + y_{rb} + y_{fb} + y_{ob} \approx y_{ib} + y_{fb}$$

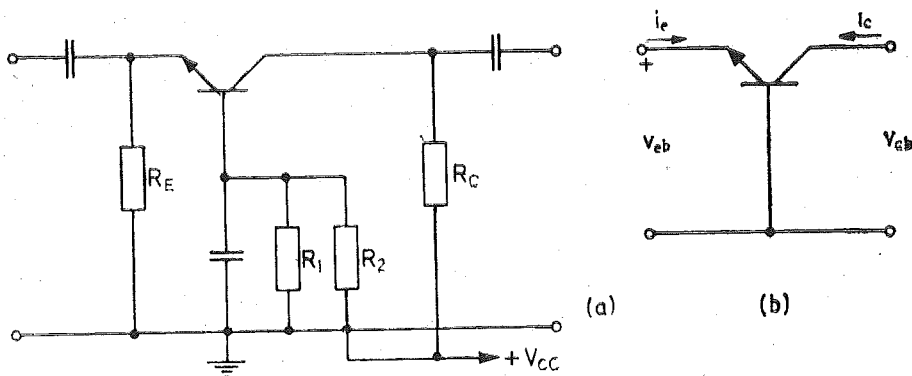
$$y_{re} = -(y_{rb} + y_{ob}) \quad (3.62)$$

$$y_{fe} = -(y_{fb} + y_{ob}) \approx -y_{fb}$$

$$y_{oe} = y_{ob}$$

Bu bağıntılar incelendiğinde ortak bazlı devrenin ortak emetörlü devreye göre farklı yanlarının en önemlilerinin sunular olduğu kolayca görürlür :

1. Ortak bazlı devrenin —çıkış kısa devre ikenki— giriş direnci ortak emetörlü devreninkinden önemli ölçüde (birkaç yüz defa) küçüktür.
2. Ortak bazlı devrede kısa devre akım kazancı 1'den biraz küçüktür.
3. Her iki bağlama şekli için *ileriye doğru geçiş iletkenliği (eğim)* yaklaşık olarak eşittir.



Sekil 3.43. (a) Kutuplama ve bağlama elementleri ile birlikte ortak bazlı bir kuvvetlendirici devresi. (b) Tranzistorun ortak bazlı bağlama şekli için giriş ve çıkış büyüklüklerinin referans yönleri.

### 3.4.5.3. Tranzistorun Fiziksel Parametreleri.

Yukarda tanımları verilmiş olan  $h$  ve  $y$  parametrelerinden, tranzistorun içinde olup biten fiziksel olaylarla hiç ilgilenilmeden, tranzistor üç büyülüklükleri ile verilen bir *kapalı kutu* olarak ele alınır yararlanılabilir. Ancak bu parametrelerin temelde, tranzistorun fiziksel özelliklerine bağlı olacakları açıklıktır. Gerçekten, tranzistorun çalışmasında en *belirleyici* büyülüklükler olan bazı parametrelere ulaşıldığında  $h$  ve  $y$  parametrelerinin hepsinin bu *fiziksel parametreler* cinsinden ifade edilebilecekleri gösterilebilir.

Tranzistorun temel fiziksel parametrelerinden biri

$$h_{FE} = I_C/I_B \quad (3.1)$$

dir.  $I_C = h_{FE} \cdot I_B = f(I_B)$  bağıntısı yukarı doğrusal, başlangıçtan geçen ve  $V_{CE}$  den *pratik olarak bağımsız* bir eğri olduğundan, belirli bir çalışma noktası yakınında küçük genlikli değişimler için değişken bileşenlerin oranı olan  $h_{fe}$  de yaklaşık olarak  $h_{FE}$  ye eşit olacaktır :

$$h_{fe} = \left[ \frac{\Delta I_C}{\Delta I_B} \right]_{V_{CE}=st} \approx \frac{\Delta I_C}{\Delta I_B} \approx \frac{I_C}{I_B} = h_{FE} \quad (3.63)$$

Tranzistorda emetör akımı, geçirme yönünde kutuplanmış bir yarıletken diyodun akımıdır. Kolektör emetör geriliminin  $V_{CE(SAT)}$  doyma değerinden büyük değerleri için bundan *pratik olarak bağımsız* olur ve Bölüm 3.4.2. de belirtildiği gibi

$$I_E \approx -I_{EBS} (e^{V_{BE}/V_T} - 1)$$

bağıntısı ile ifade edilebilir. Emetör-baz jonksiyonunun geçirme yönünde ve birkaç yüz milivolt mertebesinde ( $V_{BE} \gg V_T$  olacak şekilde) kutuplanması halinde büyük yaklaşılıklı

$$I_E \approx -I_{EBS} \cdot e^{V_{BE}/V_T}$$

yazılabilir. Buradan hesaplanan

$$r_e = \left[ \frac{\Delta V_{BE}}{\Delta I_E} \right]_{V_{CE}=st} \approx \frac{\Delta V_{BE}}{\Delta I_E}$$

direnci tranzistorun ikinci temel fiziksel parametresidir ve belirli bir  $Q$  çalışma noktası için

$$\frac{d I_E}{d V_{BE}} = -I_{EBS} \cdot \frac{1}{V_T} e^{V_{BEQ}/V_T} = \frac{I_{EQ}}{V_T}$$

olduğundan

$$r_e \cong V_T / I_{EQ} \quad (3.64)$$

bulunur. Oda sıcaklığında  $V_T = kT/q \cong 25$  mV dur. O halde çalışma noktasındaki emetör doğru akımı da miliamper olarak yerine konursa,  $r_e$  için çok basit ve kullanışlı bir bağıntı elde edilir :

$$r_e (\text{ohm}) \cong \frac{25}{I_{EQ} (\text{mA})} \quad (3.65)$$

Tranzistorun üçüncü temel fiziksel parametresi, kolektör baz jonksiyonunu tikama yönünde kutuplayan gerilimin değişmesi halinde, baz bölgesinin etkin genişliğinde meydana gelecek değişim sebebi ile ortaya çıkan olayları belirleyen *Early katsayıısı*'dır. Early katsayıısı tanım olarak

$$\mu = \left( \frac{\Delta V_{EB}}{\Delta V_{CB}} \right)_{I_E=st} \quad (3.66)$$

bağıntısı ile verilmiştir. Yani emetör akımı sabit tutulmak şartı ile kolektör-baz gerilimindeki belirli bir değişimin emetör-baz geriliminde ne kadarlık bir değişim doğuracağını gösterir. Boyutsuz bir büyülüklük olan  $\mu$  nün değeri baz bölgesinin gerçek genişliğine ve katkı yoğunluklarına bağlıdır ve genellikle  $10^{-4}$  mertebesindedir.

Bir tranzistorun ortak emetörlü ve ortak bazlı çalışma şekillerine ilişkin  $h$  ve  $y$  parametrelerinin hepsi —bazi basitleştirici yaklaşıklıklarla— bu üç fiziksel parametre, yani  $h_{fe}$ ,  $r_e$  ve  $\mu$  cinsinden hesaplanabilir :

Ortak bazlı devrenin kısa devre akım kazancı,  $h_{fe} \cong h_{FE}$  ve  $h_{fb} \cong h_{FB}$  olduğu göz önünde tutularak,  $h_{FE}$  ile  $h_{FB}$  arasındaki ilişkiyi veren (3.5) bağıntısından çıkartılır :

$$h_{fb} = -\frac{h_{fe}}{h_{fe} + 1} \cong -1 \quad (3.67)$$

$h_{ib}$  ile  $r_e$  nin tanım bağıntıları karşılaştırılırsa

$$h_{ib} = r_e \quad (3.68)$$

olduğu kolayca görülür. Yine tanım bağıntılarının karşılaştırılmasından

$$h_{rb} = \mu \quad (3.69)$$

çıkar.  $h_{ob}$  nin tanım bağıntısı

$$h_{ob} = \left[ \frac{\Delta I_C}{\Delta V_{CB}} \right]_{I_E=st} \quad (3.70)$$

dir. Tranzistorda

$$I_C = -(I_E + I_B)$$

olduğundan  $I_E$  nin sabit tutulması,  $I_B$  de meydana getirilecek bir değişimin aynen (fakat ters işaretli olarak)  $I_C$  ye yansımıası demektir. O halde

$$h_{ob} = \left[ \frac{\Delta I_C}{\Delta V_{CB}} \right]_{I_B=st} = \left[ \frac{-\Delta I_B}{\Delta V_{CB}} \right]_{I_B=st} = \left[ \frac{-\Delta I_B}{\Delta V_{EB}} \cdot \frac{\Delta V_{EB}}{\Delta V_{CB}} \right]_{I_B=st}$$

dir. Ayrıca bir tranzistorda

$$\left[ \frac{\Delta I_B}{\Delta V_{EB}} \right]_{I_B=st} \approx 2 \cdot \left[ \frac{\Delta I_B}{\Delta V_{EB}} \right]_{V_{CB}=st}$$

olduğu gösterilebilir. Bu bağıntı kullanılarak ve

$$I_B = -I_E / (h_{FE} + 1) \approx -I_E / h_{FE} \approx -I_E / h_{fe}$$

olduğu göz önünde bulundurularak

$$h_{ob} \approx 2 \cdot \frac{\mu}{h_{fe} \cdot r_e} \quad (3.71)$$

elde edilir.

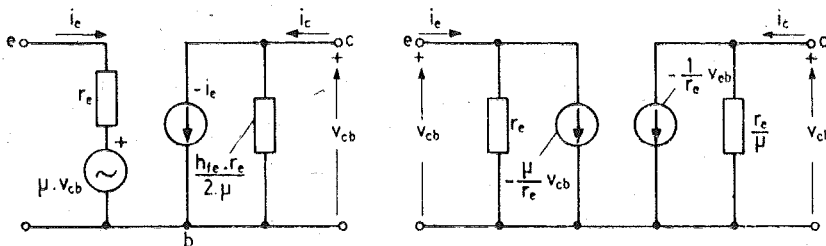
Böylece ortak bazlı devre şekli için  $h$  parametrelerinin tümü, üç fiziksel parametre; yani  $h_{fe}$ ,  $r_e$  ve  $\mu$  cinsinden elde edilmiş oldu.  $y$  parametrelerini  $h$  parametreleri cinsinden veren (3.57) bağıntıları ortak bazlı devre uygulanır ve  $h_b$  parametreleri yerine yukarıda, fiziksel parametreler için bulunmuş olan değerler kullanılırsa

$$\begin{aligned} y_{ib} &= \frac{1}{h_{ib}} = \frac{1}{r_e} \\ y_{fb} &= \frac{h_{fb}}{h_{ib}} \approx -\frac{1}{r_e} \quad (3.72) \\ y_{rb} &= -\frac{h_{rb}}{h_{ib}} = -\frac{\mu}{r_e} \\ y_{ob} &= \frac{\Delta h_b}{h_{ib}} \approx \frac{\mu}{r_e} \end{aligned}$$

elde edilir.

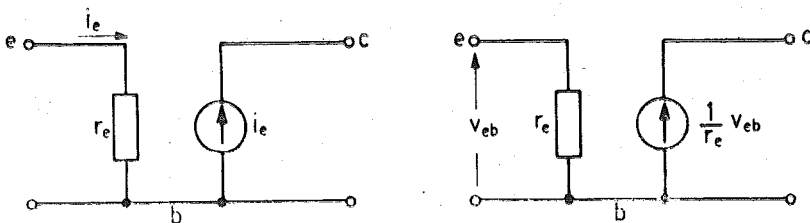
Şekil 3.44. de ortak bazlı devre için  $h$  ve  $y$  esdeğerleri, fiziksel parametreler cinsinden verilmiştir. Tranzistorun çıkışına paralel gelen dış devre direncinin —yahut empedansının— yeteri kadar küçük olması hinde ve  $\mu$  nün de çok küçük bir değere sahip olduğu göz önünde tutula-

raç Şekil 3.44. deki eşdeğer devreler Şekil 3.45. deki gibi basitleştirilebilir. Böylece ortak bazlı devrede bir tranzistor için çok basit —fakat özel durumlar dışında yeteri kadar tatminkâr— iki eşdeğer devreye ulaşılmış olur. Bu eşdeğer devreler için bilinmesi gereklî olan *tek* parametre  $r_e$  dir ki bu da (3.65) bağıntısından, çalışma noktasındaki emetör doğru akımının değeri kullanılarak kolayca hesaplanabilir.



Şekil 3.44. Ortak bazlı devrenin (a) h eşdeğeri ve (b) y eşdeğeriinde elemanların fizikalî parametreler cinsinden değerleri. Eşdeğer devrelerde iletkenlikler de direnç değerleri ile gösterilmiştir.

Ortak emetörlü devre için h eşdeğeri devresinin elemanlarını fizikalî parametreler cinsinden bulmak için (3.61) dönüşüm bağıntılarından yararlanılabilir. Böylece, gerekli basitleştirici yaklaşımlıklar da kullanılarak



Şekil 3.45. Ortak bazlı devre için basitleştirilmiş h ve y eşdeğeri devreleri.

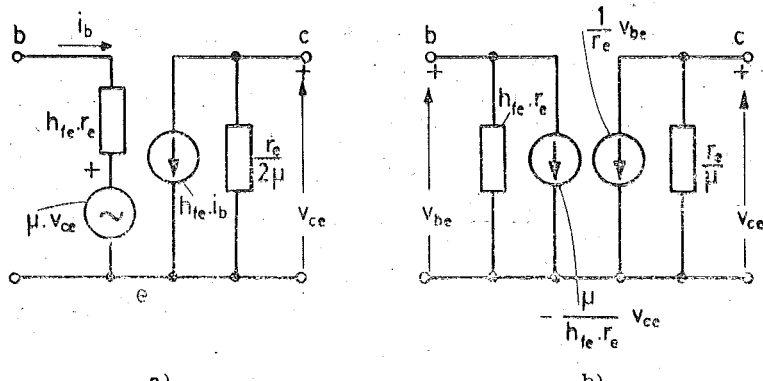
$$\begin{aligned} h_{ie} &\approx \frac{1}{1 + h_{fb}} \quad h_{ib} \approx h_{fe} \cdot r_e \\ h_{re} &\approx \frac{1}{1 + h_{fb}} (\Delta h_b - h_{rb}) \approx \mu \end{aligned} \quad (3.73)$$

$$h_{os} = \frac{1}{1 + h_{fb}} \quad h_{ob} \approx 2 \cdot \frac{\mu}{r_e}$$

bulunur. Ortak emetörlü devreye ilişkin y parametreleri de h parametrelerinin bu değerleri ve (3.57) dönüşüm bağıntılarından (yne yapılabilecek basitleştirici ihmaller yapilarak) şu şekilde elde edilir:

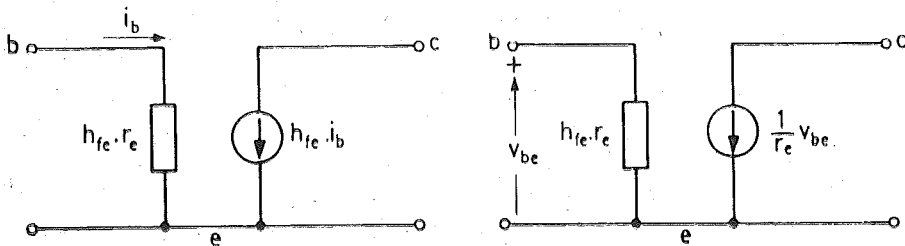
$$\begin{aligned} y_{ie} &\approx \frac{1}{h_{ie}} = \frac{1}{h_{fe} r_e} \\ y_{re} &= -\frac{h_{re}}{h_{ie}} = -\frac{\mu}{h_{fe} \cdot r_e} \quad (3.74) \\ y_{fe} &= \frac{h_{fe}}{h_{ie}} = \frac{1}{r_e} \\ y_{oe} &= \frac{\Delta h_e}{h_{ie}} \approx \frac{\mu}{r_e} \end{aligned}$$

Ortak emetörlü olarak çalıştırılan bir tranzistorun h ve y esdeğer devreleri fiziksel parametreler cinsinden Şekil 3.46. da verilmiştir.



Şekil 3.46. Ortak emetörlü devrenin (a) h esdeğeri, (b) y esdeğeriinde elemanların fiziksel parametreler cinsinden değerleri. Esdeğer devrelerde iletkenlikler de direnç değerleri ile gösterilmiştir.

Ortak emetörlü devre için de —ortak bazlı devrede yapıldığı gibi— yukarıda elde edilen esdeğer devreler basitleştirilebilir. Şekil 3.47. de verilen bu basitleştirilmiş esdeğer devreler tranzistorun çıkışına paralel geçen dış direncin (veya empedansının) çıkış direncine göre yeteri kadar küçük olduğu hallerde, fazla bir hatâya sebep olmaksızın kullanılabilir.



Şekil 3.47. Ortak emetörlü devre için basitleştirilmiş eşdeğer devreler.

#### 3.4.5.4. Tranzistorların Yüksek Frekanslar için Eşdeğer Devreleri.

Bir tranzistorun elektriksel özellikleri —örneğin giriş empedansı, kazancı, ...— alçak frekanslarda frekanstan bağımsız olduğu halde yüksek frekanslara doğru gidildikçe değişimeye başlar. Özelliklerin frekansa bağlı olmaya başladığı frekans tranzistorun yapısına ve devre şekline bağlıdır.

Tranzistorda yüksek frekanslarda etkilerini gösteren fiziksel nedenlerin en önemlileri jonksiyon kapasiteleri ve baz bölgesine difüzyonla gelen taşıyıcıların sebep oldukları etkilerdir.

Bölüm 3.2 de bir p-n arakesitinin iki yanında hareketli taşıyıcılar bakımından *fakirleşmiş* bir bölgenin meydana geldiği, jonksiyona uygulanan gerilimin sıfır olması halinde belirli bir  $d(0)$  değerine sahip olan *fakirleşmiş* bölge genişliğinin tıkama yönünde bir gerilim uygulanması halinde arttığı belirtildi. Fakirleşmiş bölgenin  $n$  tipi yarıiletken taraflında kalan bölümünde birer elektronunu kaybetmiş «veren» katkı atomu *iyonlarının* oluşturduğu bir pozitif yük,  $p$  tipi yarıiletken taraflında kalan bölümünde ise birer elektron alarak kristal yapıya yerleşmiş olan «alan» katkı atomu iyonlarının oluşturduğu bir negatif yük meydana geleceği ve bu iki yükün biribirine eşit olacağı açıklanmıştır.

Şimdi bir  $V$  gerilimi ile tıkama yönünde kutuplanmış bir p-n jonksiyonu göz önüne alalım. Bilindiği gibi, meydana gelen fakirleşmiş bölgenin  $d$  genişliği kutuplama geriliminin değerine ( $V$ ) bağımlıdır. (Bu bağımlılığın biçimini iki yandaki katkı yoğunluklarının uzaklığa değişim kuralı belirler. Örneğin  $d$  nin, katkı yoğunluğu  $p$  ve  $n$  tipi bölgelerde sabit kalan ve jonksiyonda birden bire tip değiştiren *sert geçili* jonksiyonlarda  $V^{-1/2}$  ile, efektif katkı yoğunluğu jonksiyona yaklaşıkça uzak-

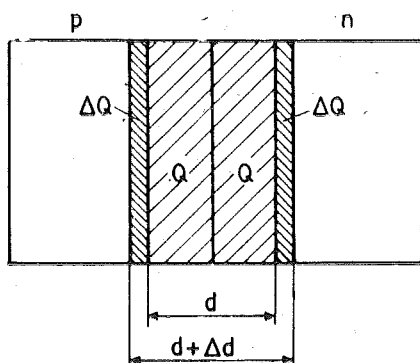
likla lineer olarak azalan ve jonksiyon üzerinde sıfırdan gereklilik tip değiştiren *lineer geçişli* jonksiyonlarda  $V^{-1/3}$  ile orantılı olacağı gösterilebilir.) Geçiş bölgesinin iki yanında bulunan ve ionlaşmış katkı atomlarının oluşturduğu n tipi bölgedeki pozitif, p tipi bölgedeki negatif Q yüklerinin miktarının da d ye bağımlı olacağı açıkları. Gerilim —negatif yönde—  $\Delta V$  kadar arttırılırsa d geçiş bölgesi genişliği  $\Delta d$  kadar, geçiş bölgesinin iki yanındaki Q yükleri de  $\Delta Q$  kadar artar (Şekil 3.48.). O halde

$$C_i = \Delta Q / \Delta V$$

bağıntısının belirlediği bir *kapasite* söz konusudur. Değeri  $\epsilon_r$  yarıiletkenin bağlı dielektrik katsayıısı,  $\epsilon_0$  boşluğun dielektrik katsayıısı ve A jonksiyon alanı olmak üzere

$$C_i = \frac{\epsilon_0 \cdot \epsilon_r \cdot A}{d} \quad (3.75)$$

bağıntısı ile hesaplanabilen bu *jonksiyon kapasitesi* d dolayısı ile V kutuplama gerilimine bağlı, yani nonlineer bir kapasitedir. (Jonksiyon kapasitesinin gerilime bağlı olması ve gerilim arttırıldıkça değerinin azalması özelliğinden, tıkama yönünde kutuplanmış bir p-n jonksiyonunu değeri değiştirilebilen bir kapasite olarak kullanarak yararlanılmaktadır. Bu amaçla kullanılan p-n jonksiyonlarına *kapasite diyodu* adı verilir.)



Şekil 3.48. Bir p-n jonksiyonunda geçiş bölgesi genişliğinin  $\Delta d$  kadar değişimine karşı düşen  $\Delta Q$  geçiş bölgesi yükü değişimi.

Tranzistorda biri emetör baz jonksiyonu, öteki baz kolektör jonksiyonu olmak üzere iki p-n jonksiyonu bulunduğuna göre, belirli bir kutuplama durumu için bu jonksiyonlardan herbirine ilişkin bir kapasite söz konusu olacaktır. Normal kutuplama şartları altında, tıkama yönünde kutuplanmış olan baz kolektör kapasitesinin, geçirme yönünde kutuplanan emetör baz jonksiyon kapasitesine göre daha küçük olacağı açıklıdır. Gerilim ve jonksiyon alanlarının yanısıra katkı yoğunluklarına da bağlı olan bu kapasitelerin değerleri küçük güçlü alçak frekans tranzistorlarında birkaç pF mertebesinde olur. Yüksek frekans tranzistorlarında kapasite değerlerinin olabildiği kadar küçük yapılmamasına çalışılır ve 0,1 pF dan daha küçük değerlere kadar inilebilir.

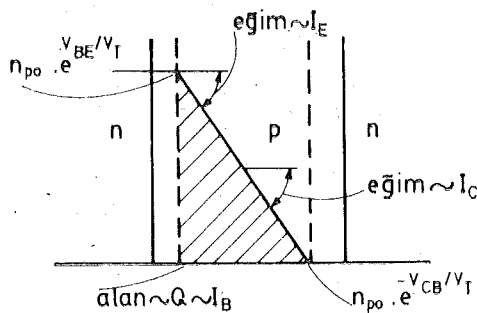
Bir tranzistorun yüksek frekanslardaki davranışını etkileyen bir başka etken de emetörden baza difüzyonla geçmiş olan azınlık taşıyıcılarının oluşturduğu yükle ilişkili olaylardır. Bu olayların anlaşılmamasında ve yorumlanması bazındaki azınlık taşıyıcıları yoğunluğu değişimini bilinmesi büyük kolaylık sağlar. Bu değişimin ne şekilde olacağı, bilinen bazı fiziksel gerçeklere dayanılarak çıkartılabilir.

Baz bölgesinin emetör sınırındaki elektron yoğunluğunu —yapısal özelliklerin yanısıra— emetör-baz jonksiyonuna uygulanan gerilim belirler :

$$n_p = n_{p_0} \cdot e^{V_{BE}/V_T}$$

Jonksiyon geçirme yönünde kutuplandığından bu yoğunluk  $n_{p_0}$  denge yoğunluğuna göre çok büyütür. Baz bölgesinin kolektör sınırındaki elektron yoğunluğu da kolektör-baz gerilimi tarafından belirlenir ve bu jonksiyon tıkama yönünde kutuplandığından denge yoğunluğuna göre çok küçük, pratik olarak sıfırdır. Öte yandan baz bölgesine emetörden giren elektronların oluşturduğu akım bazı gereklilik kolektöre ulaşan elektronların oluşturduğu akıma yaklaşık olarak eşit ve herbiri o kesitteki elektron yoğunluğu gradyanı (yoğunluğun  $x$  doğrultusundaki değişim eğimi) ile orantılıdır. Bütün bunlar bir tranzistorda bazındaki azınlık taşıyıcıları yoğunluğu değişiminin Şekil 3.49. daki gibi olması gerektiği sonucunu verir.

Bu değişim gerçekte tam lineer değil, emetör akımının kolektör akımından biraz büyük olması nedeni ile hafifçe içbükeydir. Bu eğrinin altında kalan alan da bazındaki toplam elektron miktarı ( $Q$  yükü) ile orantılıdır. Baz içinde meydana gelecek birleşmelerin sayısı toplam elektron sayısına bağlı olacağından, birleşmeleri karşılamak üzere akacak olan baz akımı da bu alanla orantılı olacaktır.



Şekil 3.49. Bir n-p-n tipi tranzistorda normal kutuplama durumunda baz ığınca elektron yoğunluğunun uzaklığıla değişimi.

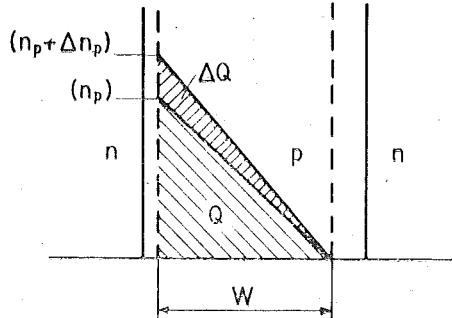
Şimdi normal kutuplanmış bir tranzistorda  $V_{BE}$  emetör-baz kutuplama gerilimini  $\Delta V_{BE}$  kadar arttırdığımızı düşünelim. Baz bölgesinin emetör geçiş bölgesindeki elektron yoğunluğu

$$n_p + \Delta n_p = n_{po} \cdot e^{(V_{BE} + \Delta V_{BE})/T}$$

değerini alır ve kısa bir süre sonra baz içindeki elektron yoğunluğu dağılımı yeni bir denge durumuna ulaşır (Şekil 3.50.). Baz bölgesi içindeki elektron mikdarında meydana gelen  $\Delta Q$  artımı, E-B jonksiyonu gerilimindeki  $\Delta V_{BE}$  artımının bir sonucu olduğuna göre olay, emetör-baz uçları arasına paralel bağlı

$$C_D = \Delta Q / \Delta V_{BE} \quad (3.76)$$

değerinde bir kapasite ile temsil edilebilir. Buna emetör-baz jonksiyonu difüzyon kapasitesi adı verilir.



Şekil 3.50. Normal kutuplanmış n-p-n tipi bir tranzistorda emetör-baz kutuplama geriliminin  $\Delta V_{BE}$  kadar artırılmasının baz içindeki elektron yoğunluğu dağılımına etkisi.

Baz bölgesinin etkin genişliği  $W$  ile gösterilirse  $\Delta Q$  yük artımı için ( $K$  bir orantı katsayısı olmak üzere)

$$\begin{aligned} Q &= K \cdot W \cdot n_p \\ (Q + \Delta Q) &= K \cdot W \cdot (n_p + \Delta n_p) \\ \Delta Q &= K \cdot W \cdot \Delta n_p \end{aligned} \quad (3.77)$$

yazılabilir. Öte yandan emetör akımı elektron yoğunluğunun azalma eğimi ile orantılı olduğundan başlangıçtaki akım ( $K'$  bir orantı katsayısı olmak üzere)

$$I_E = K' \cdot n_p / W$$

$\Delta V_{BE}$  artımı uygulandıktan sonraki akım

$$(I_E + \Delta I_E) = K' \frac{(n_p + \Delta n_p)}{W}$$

ve emetör akımındaki  $\Delta I_E$  artımı

$$\Delta I_E = K' \cdot \Delta n_p / W \quad (3.78)$$

olur. Difüzyon kapasitesinin (3.76) tanım bağıntısında  $\Delta Q$  yerine (3.77) deki değeri konursa

$$C_D = (1/\Delta V_{BE}) \cdot K \cdot W \cdot \Delta n_p$$

$\Delta n_p$  yerine de (3.78) den çözülen değeri konularak

$$C_D = \frac{1}{\Delta V_{BE}} \cdot \frac{K}{K'} W^2 \cdot \Delta I_E$$

bulunur.  $K$  ve  $K'$  birer sabit olduğundan ve  $W$  etkin baz genişliğinde  $V_{BE}$  nin değişmesi sebebi ile meydana gelecek küçük değişim ihmali edilebileceğinden  $C_D$  bağıntısı ( $k' = K/K'$ )  $\cdot W^2 \approx$  sabit olmak üzere)

$$C_D = k' (\Delta I_E / \Delta V_{BE})$$

şeklini alır. Buradaki  $\Delta I_E / \Delta V_{BE}$  oranı evvelce tanımlanmış olan  $r_e$  direncinin tersidir. Böylece

$$C_D = k' \cdot 1/r_e \quad (3.79)$$

ve  $r_e$  için (3.64) bağıntısındaki değeri kullanılarak

$$C_D = k' (I_E / V_T) \quad (3.80)$$

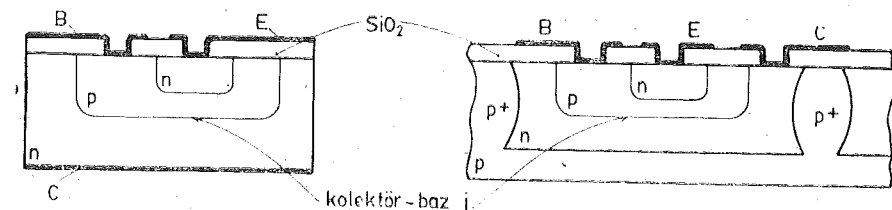
elde edilir. Görüldüğü gibi <sup>3.79.2.2</sup> jonksiyon kapasitesi emetör doğru akımı ile orantılıdır. Ayrıca jonksiyon alanına ve katkı yoğunluklarına da bağlı

olacağı açıklıktır (ki bütün bu bağımlılıklar k' katsayıısını belirleyen unsurlardır).  $C_D$  nin değeri, birkaç miliamperelik emetör akımları için alçak frekans tranzistorlarında birkaç yüz hattâ birkaç bin pikofarad olabilir. Yüksek akım değerlerinde bu kapasite mikrofaradlar mertebesinde, çok büyük değerlere ulaşabilir. Yüksek frekans tranzistorlarında bütün kapasitelerin olabildiği kadar küçük yapılmasına çalışılır. Birkaç miliamperelik emetör akımları için difüzyon kapasitesi genellikle 10 pikofaradlar mertebesinde olur.

Kolektör jonksiyonunu tıkama yönünde kutuplayan  $V_{CB}$  geriliminin değişimleri de baz içindeki yük miktarının değişmesine sebep olur. Ancak  $V_{CB}$  nin  $V_{BE}$  ye göre etkinliği çok küçük ( $\mu$  defa küçük) olduğundan kolektör-baz difüzyon kapasitesi, jonksiyon kapasitesi yanında genellikle ihmali edilemeyecek mertebeden kalır.

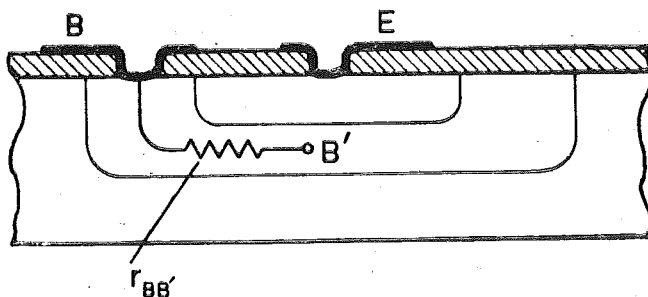
Tranzistorların yüksek frekanslardaki davranışlarını etkileyen bir başka etken de «gövde dirençleri»dir. Şekil 3.51. a da planar bir tranzistorun kesiti şematik olarak verilmiştir. Kolektör jonksiyonu ile kırmanın alt yüzüne bağlı kolektör ucu arasında kalan n tipi yarıiletken gövdenin direnci, kesit oldukça büyük, boy kısa olduğundan genellikle birkaç ohm mertebesindedir. Bir tümdevre tranzistorunda kolektör ucu da üst yüzeyden çıkarıldığından gövde direnci daha büyük olur (Şekil 3.51. b). Ancak tranzistorun kolektörüne bağlanan yük direnci (yahut genel olarak yük empedansı) yanında yine de genellikle ihmali edilemeyecek kadar küçük kalır.

Emetör gövde direnci hem geometri gereği, hem de —akım kazançının yüksek olması için— emetör bölgesinin katkılama oranı öteki bölgelere göre çok yüksek tutulduğundan, genellikle ihmali edilemeyecek kadar küçük olur.



Şekil 3.51. (a) n-p-n tipi planar bir tranzistorun kesiti. (b) Bir tümdevre içindeki n-p-n tipi tranzistor. (p tipi tabanla p+ ile gösterilen izolasyon difüzyonu bölgelerinin oluşturduğu «çanağın» iç yüzünün oluşturduğu p-n jonksiyonu dalmalı tıkama yönünde kutuplanmış durumda tutularak tranzistorun kırımkı üzerindeki öteki elemanlardan yalıtılması sağlanır.

Yüksek frekanslarda en etkili olan gövde direnci, baz gövde direncidir. Şekil 3.51. den görüldüğü gibi tranzistorun bazı ile baz ucu arasında, önemli bir bölümü genişliği  $\mu m$  mertebesinde olan baz bölgesinden oluşan bir yol uzanır. Kesitin küçüklüğünün yanısıra bazdaki katkılama oranı da genellikle küçük tutulduğundan bu direncin değeri oldukça büyük olabilir. Aslında *dağılmış* bir direnç olan baz gövde direnci Şekil 3.52. de sembolik olarak gösterilmiş ve dış baz ucu B ile, ortalama ger-

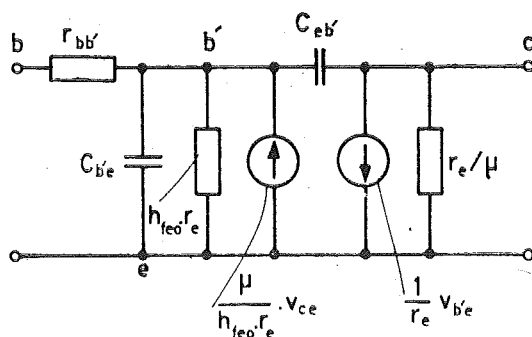


Şekil 3.52. Baz gövde direnci (symbolik gösterilis).

çek baz noktası olarak kabul edilen nokta B' ile gösterilmiştir.  $r_{BB'}$  baz gövde direncinin değeri yüksek frekans tranzistorlarında birkaç on ohm, alçak frekans tranzistorlarında birkaç yüz ohm mertebesinde olur.

$r_{BB'}$  baz gövde direncinin yüksek frekans tranzistorlarında küçük yapılmasının nedeni, direncin devredeki yeri sebebi ile —özellikle ortak emetörlü devrede— yüksek frekanslarda gerilim kazancının düşmesine sebep olmasıdır.

Böylece —en çok kullanılan devre şekli olan— ortak emetörlü devre için jonksiyon ve difüzyon kapasiteleri ile baz gövde direncinin de ilâve edilmesi ile Şekil 3.46. daki eşdeğer devre Şekil 3.53. deki hâli alır.

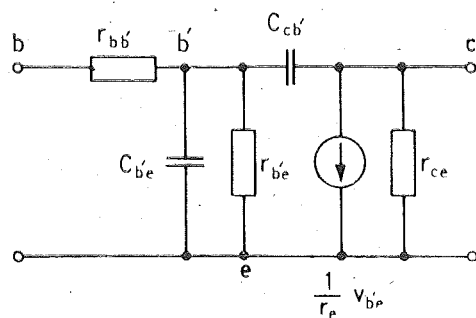


Şekil 3.53. Fiziksels parametreler cinsinden y eşdeğer devresinin yüksek frekanslarda da geçerli olacak şekilde geliştirilmiş hali.

Tranzistorun çalışmasında yüksek frekanslarda etkili olan en önemli elemanları da içeren bu eşdeğer devrede  $h_{fe}$  nin alçak frekanslardaki değerini belirtmek üzere  $h_{fe}$  sembolü kullanılmış, dış baz ucu b ile, baz gövde direnci  $r_{bb'}$  ile ve gerçek baz bölgesini temsil eden nokta b' ile gösterilmiştir. c ve b' noktaları arasında gösterilen  $C_{cb'}$  kapasitesi bu jonksiyona ilişkin jonksiyon kapasitesi ile difüzyon kapasitesinin toplamıdır. Ancak jonksiyon tikama yönünde kutuplandığından difüzyon kapasitesi çok küçüktür ve ihmali edilebilir.  $C_b'$  kapasitesi de bir difüzyon kapasitesi ile bir jonksiyon kapasitesinin toplamıdır. Bu jonksiyon geçirme yönünde kutuplandığından difüzyon kapasitesi büyültür ve  $C_b'$  nin büyük bölümünü oluşturur. Çıkış tarafındaki bağımlı kaynağı baz-emetör jonksiyonu uğalarındaki gerilim belirlediğinden kontrol büyütülüğü  $v_{b'e}$  ile gösterilmiştir. Eşdeğer devreden b' düğümüne c noktasının gerilimine bağlı iki ayrı akım geldiği görülmektedir: Giriş tarafındaki bağımlı kaynağın akımı (ki bu Early olayından kaynaklanır) ve  $C_{cb'}$  kapasitesi üzerinden gelen akım. Yüksek frekanslarda ikinci bileşen genellikle birinci bileşene göre daha baskın olduğundan eşdeğer devrenin giriş tarafındaki bağımlı kaynak ihmali edilebilir. Böylece ortak emetörlü devre için yüksek frekans eşdeğeri Şekil 3.54. deki hale indirgenebilir. Burada giriş ve çıkıştaki paralel direnç bileşenleri

$$r_{b'e}' = h_{fe} r_e, \quad r_{ce} = r_e / \mu$$

olmak üzere  $r_{b'e}'$  ve  $r_{ce}$  sembollerini ile gösterilmiştir. Tranzistorların yüksek frekanslardaki davranışlarını oldukça iyi bir şekilde temsil eden bu eşdeğer devre karma  $\pi$  eşdeğer devresi yahut Giacoletto eşdeğer devresi adı ile anılır.



Şekil 3.54. Ortak emetörlü devre için tranzistorun karma  $\pi$  yahut Giacoletto eşdeğer devresi.

Bu eşdeğer devredeki elemanların değerleri belirli bir çalışma noktası için ölçme yolu ile belirlenebilir. Ancak bazı elemanların (özellikle  $r_{bb}'$ 'nın) direkt ölçü yolu ile belirlenmesi zor olduğundan yapımcılar kataloglarda genellikle bu eleman değerlerini vermezler. Bunun yerine tranzistorun belirli frekanslarda ve belirli çalışma noktaları için kompleks y parametrelerini Bölüm 3.4.5.2. de gösterilmiş olan —ve direkt ölçmelerle belirlenebilen— bileşenleri ile verirler. 1 GHz'den daha yüksek frekanslarda y parametrelerinin de direkt ölçü yolu ile bulunması güçleşir; tanım bağıntılarının gerektirdiği ölçme koşulları (giriş veya çıkış uçarının kısa devre edilmesi) fiziksel olarak iyi bir şekilde gerçekleştirilemez. Bu frekanslarda —ölçümlerini daha kolay olduğu için— tranzistoru *dağılma parametreleri* (*s parametreleri*) ile belirlemek daha uygun olur.

#### 3.4.5.5. Tranzistorların Sınır Frekansları.

Bir tranzistordan kuvvetlendirici olarak yararlanılabilecek en yüksek frekans tranzistorun yapısal özelliklerine (dolayısı ile karma eşdeğer devresindeki elemanların değerlerine), devre sekline ve dış devre elemanlarına bağlıdır. Bununla beraber tranzistorları yüksek frekanslara elverislilik açısından karşılaştırabilmek için yalnızca tranzistorun belirlediği (dış devreye bağlı olmayan) bazı sınır frekansların tanımlanması uygun görülmüştür.

Bunlardan biri —ve ilk tanımlanmış olanı— ortak bazlı devrenin kısa devre akım kazancı olan  $h_{fb}$  nin modülünün alçak frekanslardaki değerinin  $1/\sqrt{2}$  sine düşüğü frekans olan  $f_{hfb}$  (yahut  $f_a$ ) frekansıdır. Günümüzde ortak bazlı devre önemini kaybettiği için kataloglarda artık bu kesim frekansı verilmemektedir.

Ortak emetörlü devre için tanımlanmış olan sınır frekanslarından biri, kısa devre akım kazancı olan  $h_{fe}$  nin modülünün alçak frekanslardaki değerinin ( $h_{feto}$  in)  $1/\sqrt{2}$  sine düşüğü frekans olan  $f_{hfe}$  (yahut  $f_\beta$ ) dir.  $f_{hfe}$  frekansının fiziksel parametrelerle ne şekilde bağlı olduğu Şekil 3.54. deki eşdeğer devreye  $h_{hfe}$  nin tanım bağıntısı uygulanarak bulunabilir. Tanım gereği çıkış uçları kısa devre edildiğinde kolektör akımı

$$i_c = (1/r_e) v_{b'e}$$

olar.  $v_{b'e}$ ,  $i_b$  akımının aktığı  $b'$  ve  $e$  noktaları arasındaki empedansın uclarındaki gerilim düşümüdür.  $Z_{b'e}$  nin  $C_{b'e}$ ,  $r_{b'e}$  ve çıkış kısa devre edilmiş olduğu için—  $C_{eb}'$  nün paralel eşdeğeri olduğu göz önüne alınarak  $h_{fe} = i_c/i_b$  oranı hesaplanırsa

$$h_{fe} = \frac{1}{r_e} \frac{r'_{be}}{1 + j\omega (C'_{be} + C'_{cb}) r'_e}$$

ve

$$r'_e = h_{feo} r_e \quad \text{olduğundan}$$

$$h_{fe} = \frac{h_{feo}}{1 + j\omega (C'_{be} + C'_{cb}) h_{feo} r_e}$$

$$|h_{fe}| = \frac{h_{feo}}{\sqrt{1 + \omega^2 (C'_{be} + C'_{cb})^2 h_{feo}^2 r_e^2}} \quad (3.81)$$

bulunur.  $|h_{fe}| = h_{feo}/\sqrt{2}$  şartını sağlayan  $\omega = \omega_{hfe}$  açısal frekansı buradan hesaplanabilir :

$$\frac{|h_{fe}|}{h_{feo}} = \frac{1}{\sqrt{1 + \omega_{hfe}^2 (C'_{be} + C'_{cb})^2 h_{feo}^2 r_e^2}} = \frac{1}{\sqrt{2}}$$

$$\omega_{hfe} = \frac{1}{(C'_{be} + C'_{cb}) h_{feo} r_e}$$

Buradan  $f_{hfe}$  frekansı

$$f_{hfe} = \frac{1}{2\pi (C'_{be} + C'_{cb}) h_{feo} r_e} \quad (3.82)$$

bulunur. Bu frekansta kısa devre akım kazancı alçak frekanslardaki değerinden  $1/\sqrt{2}$  defa küçük olmakla beraber — $h_{fe}$  nin 100 ler mertebesinde olduğu göz önünde tutulursa— yine de büyük bir akım kazancı vardır. Bu nedenle akım kazancı bakımından daha anlamlı bir sınır frekansı olarak  $h_{fe}$  nin modülünün 1'e düşüğü frekans ( $f_T$ ) tanımlanmıştır.  $f_T$  nin değeri (3.81) bağıntısı yardımı ile hesaplanırsa

$$f_T = \frac{1}{2\pi (C'_{be} + C'_{cb}) r_e} \quad (3.83)$$

bulunur. (3.82) ve (3.83) bağıntıları karşılaştırılırsa  $f_{hfe}$  frekansı ile  $f_T$  frekansı arasında

$$f_T = h_{feo} \cdot f_{hfe} \quad (3.84)$$

bağıntısının bulunduğu görüllür. Yüksek frekans tranzistorlarında  $f_T$  birkaç yüz (hattâ birkaç bin) MHz mertebesinde olur. Böyle yüksek frekanslarda  $f_T$  yi tanım bağıntısını uygulayarak doğrudan doğruya ölçmek zordur. (3.84) bağıntısı  $f_T$  nin dolaylı olarak bulunması için kullanılabilir.

(3.81) bağıntısı yardımı ile  $|h_{fe}|$  nin frekansla değişim şekli çıkarılabilir.  $\omega \ll \omega_{hfe}$  için  $|h_{fe}| \approx h_{fe0}$ ,  $\omega = \omega_{hfe}$  için  $h_{fe} = h_{fe0}/\sqrt{2}$  dir.  $\omega \gg \omega_{hfe}$  için ise

$$|h_{fe}| = \frac{h_{fe0}}{\sqrt{1 + (\omega/\omega_{hfe})^2}}$$

yazılıp  $1 \ll (\omega/\omega_{hfe})^2$  olduğu göz önüne alınarak

$$|h_{fe}| \approx \frac{h_{fe0}}{(\omega/\omega_{hfe})}$$

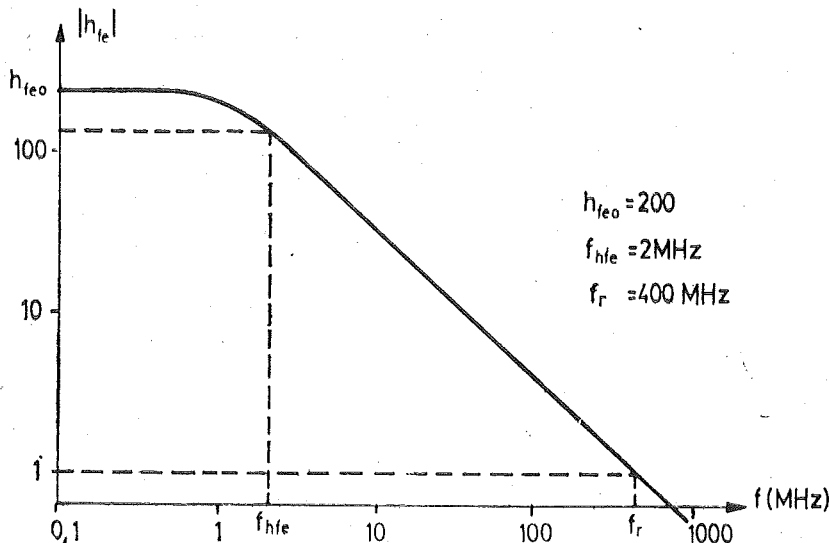
ve  $\omega_{hfe} = \omega_T/h_{fe0}$  bağıntısı kullanılarak

$$|h_{fe}| \approx \omega_T/\omega \quad (3.85)$$

bulunur. Bu bilgilerle  $h_{fe}$  nin frekansla değişiminin Şekil 3.55. deki gibi olacağı sonucuna varılır. (3.85) bağıntısı  $\omega_T$  nin dolaylı olarak ölçülmesi için yeni bir yöntem belirlemektedir.  $f_{hfe}$  den yeteri kadar büyük herhangi bir  $f_x$  frekansında  $h_{fe}$  ( $f_x$ ) ölçülsürse  $f_T$ , (3.85) den yararlanılarak

$$f_T \approx |h_{fe}(f_x)| \cdot f_x$$

bağıntısından hesaplanabilir.



Şekil 3.55.  $h_{fe}$  nin frekansla değişim şekli (Her iki eksen de logaritmik taksimatlandırılmıştır).

$f_T$  frekansı tranzistorun akım kuvvetlendirici olarak kullanılabileceği sınırı belirler. Bu frekansın ötesinde akım kazancı 1'in altına düşüğü halde tranzistor halâ bir *güç kazancı* sağlayabilir. O halde daha gerçekçi bir sınır frekansı olarak «tranzistorun girişte ve çıkışta en uygun şartlar sağlandığında güç kazancı verebildiği en yüksek frekans» tanımlanabilir.  $f_{max}$  sembolü ile gösterilen bu frekans tranzistorun, iç empedansı tranzistorun giriş empedansının eşleniği olan bir işaret kaynağı ile sürülmesi ve çıkış empedansının eşleniği olan bir empedansla yüklenmesi halinde güç kazancının 1'e eşit olduğu frekans olarak hesaplanırsa

$$f_{max} = \sqrt{\frac{f_T}{8\pi r_{bb'} C_{ob}}} \quad (3.86)$$

bulunur.  $f_{max}$  frekansı —bir başka bakış açısı ile— en uygun şartlar altında tranzistorun osilatör olarak çalışabileceği en yüksek frekans olduğundan, *maksimum osilasyon frekansı* adı ile de anılır.

#### 3.4.5.6. Tranzistorların Büyük İşaret Modelleri (Ebers-Moll Modelleri).

Tranzistorların belirli bir çalışma noktasında, emetör-baz jonksiyonu geçirme yönünde, kolektör-baz jonksiyonu da tıkama yönünde olacak şekilde kutuplanması (normal kutuplama) halinde, bu çalışma noktasındaki akım ve gerilim değerlerine göre küçük genlikli değişimler için davranışlarının, eşdeğer devreler yardımı ile incelenileceğini gördük. Tranzistorun akım-gerilim bağıntıları genellikle eğrisel (non-lineer) olduğu halde küçük genlikli değişimler için akım-gerilim bağıntılarının yaklaşık olarak doğrusal (lineer) kabul edilebilmesi, elde edilen eşdeğer devrelerin lineer devreler olması sonucunu verdi.

Bu eşdeğer devrelerin

(a) tranzistorun *herhangi* bir şekilde kutuplanmış olması,

(b) tranzistor normal kutuplanmış olsa bile değişim genliklerinin büyük olması durumlarında kullanılmamışacakları açıklar. Böyle durumlarda tranzistorun davranışını Bölüm 3.4.3. de yapıldığı gibi özeğriler üzerinde, çizim yolu ile çıkartılabilir. İkinci bir yol da tranzistor için her türlü kutuplama şartı altında geçerli olacak bir model bulmaktır. Böyle bir modelin büyük genlikler için de geçerli olması istendiğinde bunun artık *lineer* bir model olamayacağı açıklar. Bu şekilde, her türlü kutuplama durumu için geçerli olan *nonlinear* modellerin en basiti Ebers - Moll modeli adı ile bilinen modeldir. Gerek aşağıda incelenecak olan temel Ebers -

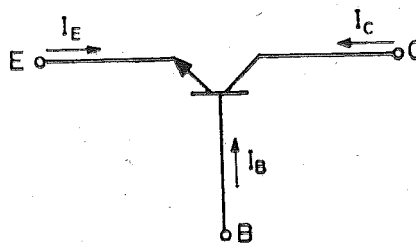
Moll modeli, gerekse bunun geliştirilmiş şekilleri, yahut başka nonlineer modeller günümüzde tranzistorlu devrelerin bilgisayar yardımı ile çözümlünde geniş ölçüde kullanılmaktadır.

Temel Ebers - Moll modeline süreklilik denklemi içindeki bütün akım bileşenleri için herhangi bir kutuplama şartı koşulmaksızın çözülerek ulaşılabilir. Aşağıda bu model daha basit bir yaklaşımla, yarı-iletken jonksiyonlarının bildiğimiz davranışlarından yararlanılarak çizilmesi olacaktır. İnceleme n-p-n tipi bir tranzistor için ve Şekil 3.10. daki referans yönleri kullanılarak yapılacaktır.

Bölüm 3.4.1. de belirtildiği gibi normal kutuplanmış bir tranzistorda emetör akımını, emetör baz jonksiyonunun kolektör jonksiyonu da akım akitirkenki  $I_{EB}$  doyma akımı ve  $V_{EB}$  kutuplama gerilimi belirler. Şekil 3.10. da verilmiş olan ve Şekil 3.56. da yeniden verilen akım ve gerilim referans yönleri ile emetör akımı için

$$I_E = -I_{EB} (e^{-V_{EB}/V_T} - 1) \quad (3.87)$$

yazılabilir. Emetör akımı ile kolektör akımının büyüklükleri arasındaki orantı katsayısı  $\alpha_F$  ile gösterilirse



Şekil 3.56. Tranzistorda standart akım referans yönleri.

$$I_C = -\alpha_F I_E \quad (3.88)$$

olur. Bu  $\alpha_F$  katsayısına tranzistorun *ileriye doğru (normal)* çalışma yönündeki akım kazancı denir. Pozitif bir katsayı olarak tanımlanan  $\alpha_F$  nin büyülüüğünün  $h_{FB}$  ninkine eşit olduğu açıklıdır. Akımların referans yönleri ile gerçek yönleri göz önüne alındığında

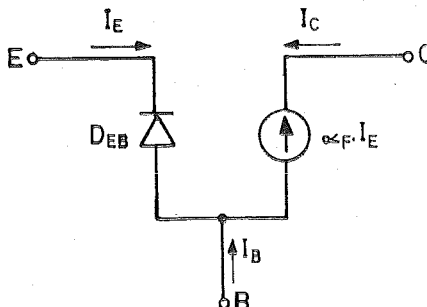
$$\alpha_F = -h_{FB}$$

olduğu kolayca görülür.

(3.87) ve (3.88) bağıntıları Şekil 3.57. deki *model* ile temsil edilebilir. Gerçekten bu modeldeki  $I_E$  akımı,  $D_{EB}$  ile gösterilen emetör-baz diyodunun

uçları arasındaki  $V_{EB}$  gerilimi tarafından belirlenmektedir. Diyot geçirme yönünde kutuplandığında ( $V_{EB}$  negatif olduğunda) E ucundan dışarıya doğru (referans yönüne göre negatif) büyük bir emetör akımı akacaktır. Buna bağımlı olarak akacak olan kolektör akımının büyülüklüğü  $\alpha_F I_E$  ve yönü —bağımlı kaynaktaki  $I_E$  negatif olduğundan— C ucundan içeriye doğrudur. Baz kolundan akan akım ise

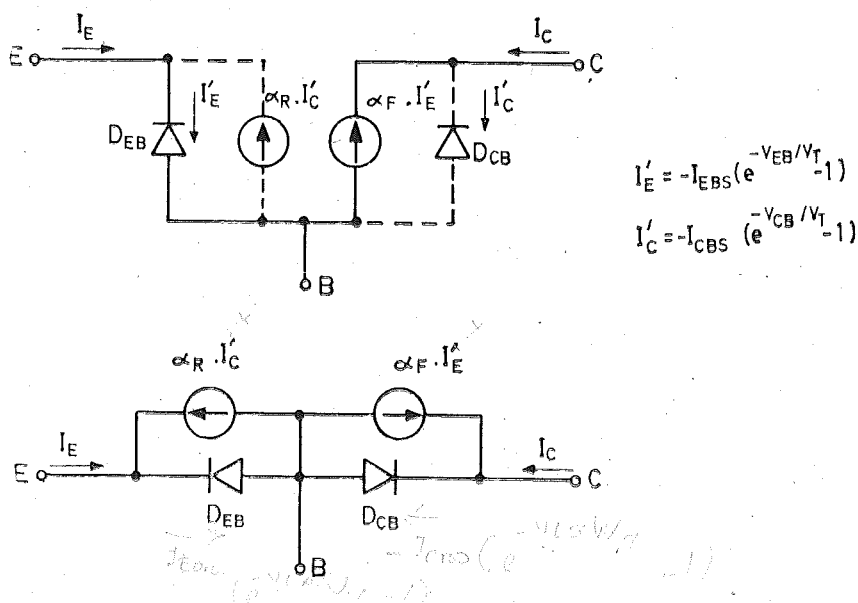
$$\begin{aligned} I_B &= -I_C - I_E \\ &= -I_C + (1/\alpha_F) I_C \\ &= \frac{1 - \alpha_F}{\alpha_F} \cdot I_C \end{aligned} \quad (3.89)$$



Sekil 3.57. Normal kutuplanmış bir n-p-n tipi tranzistor için basit büyük işaret modeli.

bağıntısı ile belirlidir ve  $\alpha_F$  daima 1'den küçük ve pozitif olduğundan  $I_B$  pozitif, yani gerçek akım yönü B ucundan içeriye doğrudur. Kolektör-baz jonksiyonunun tıkama yönünde kutuplanmış ideal bir jonksiyon olması hali için geçerli olan Sekil 3.57. deki model, bu jonksiyonun da geçirme veya tıkama yönünde kutuplanmış olması halini de temsil edecek şekilde geliştirilebilir. Temel yapı bakımından E-B jonksiyonu ile C-B jonksiyonu arasında bir fark yoktur. Kolektör-baz jonksiyonu geçirme yönünde, emetör-baz jonksiyonu tıkama yönünde kutuplanmış tranzistor bu sefer alımlıya ters yönde çalışan bir akım kontrol elemanı olarak iş görür. Ancak genellikle kolektör katkı yoğunluğu emetörünki kadar yüksek yapılmadığından bu durumda giriş jonksiyonu akımında bazdan giriş elektroduna doğru meydana gelen delik difüzyonu akımı ihmäl edilemez; dolayısı ile çıkış jonksiyonuna gelen elektronların oluşturduğu akımla *toplam* giriş jonksiyonu akımının oranı olan  $\alpha_R$  (ters yönde çalışma için akım kazancı)  $\alpha_F$  ye göre daha küçük olur. O halde Sekil 3.57. deki model tranzistorun ters yönde çalışması halinde de  $-\alpha_F$  yerine  $\alpha_R$  koymak

sarti ile — aynen kullanılabilir ve her iki yöndeki çalışmayı bir arada temsil eden —başka bir deyişle herhangi bir kutuplama şekli için geçerli olan— bir model Şekil 3.58. (a) daki gibi çizilebilir. Normal çalışmayı temsil eden elemanları dolu çizgilerle, ters yönde çalışmayı temsil eden elemanları kesikli çizgilerle gösterilmiş olan bu model Şekil 3.58. (b) de genel olarak kullanıldığı biçimde görülmektedir. Bu model, buna ilişkin akım gerilim bağıntılarını 1954 de ilk çıkaranların adı ile, *Ebers - Moll modeli* olarak anılır.



Şekil 3.58. Bir n-p-n tipi tranzistoru her türlü kutuplama şartı altında temel özelliklerini temsil edebilen Ebers-Moll modeli.

Yukardaki açıklamalara göre en genel halde emetör akımı

- Emetör-baz geriliminin bu jonksiyondan akıtacağı akım,
- Kolektör-baz jonksiyonundan akan akımın  $\alpha_R$  katı

olmak üzere iki bağımsız bileşenin toplamı olacaktır. Kolektör jonksiyonunun emetör akım akırkenki doyma akımı  $I_{CBS}$  ile gösterilip akım yönleri ve referans yönleri de göz önünde tutularak emetör akımı bu iki bileşenin toplamı olarak yazılrsa

$$I_E = -I_{EBS} (e^{-V_{EB}/V_T} - 1) + \alpha_R \cdot I_{CBS} (e^{-V_{CB}/V_T} - 1) \quad (3.90 \text{ a})$$

benzer şekilde kolektör akımı için de

$$I_C = -I_{CBS} (e^{-V_{CB}/V_T} - 1) + \alpha_F \cdot I_{EBS} (e^{-V_{EB}/V_T} - 1) \quad (3.90 \text{ b})$$

bulunur. Tranzistorun temel akım-gerilim ilişkilerini veren bu bağıntılara *Ebers - Moll bağıntıları* denir. Bu bağıntılardaki  $I_{EBS}$  nin  $V_{CB}=0$  haline karşı düşen emetör-baz jonksiyonu doyma akımını,  $I_{CBS}$  nin de  $V_{EB}=0$  haline karşı düşen kolektör-baz jonksiyonu doyma akımını belirlediği kolayca görülebilir.

(3.90) bağıntıları gerekli ara işlemler yaparak

$$I_E = -\alpha_R I_C - I_{EBS} (1 - \alpha_F \alpha_R) (e^{-V_{EB}/V_T} - 1) \quad (3.91 \text{ a})$$

$$I_C = -\alpha_F I_E - I_{CBS} (1 - \alpha_F \alpha_R) (e^{-V_{CB}/V_T} - 1) \quad (3.91 \text{ b})$$

şeklinde yeniden yazılabilir. (3.91 a) bağıntısının ikinci terimindeki kat-sayı irdelenirse bunun kolektörün açık devre ( $I_C=0$ ) olması haline karşı düşen emetör-baz jonksiyonu doyma akımı (jonksiyon tıkama yönünde kutuplandığında akan akım) olduğu görülür ve  $I_{EBO}$  simbolü ile gösterilir :

$$I_{EBO} = I_{EBS} (1 - \alpha_F \alpha_R) \quad (3.92)$$

Benzer şekilde, emetör ucu açık devre ( $I_E=0$ ) iken akacak olan kolektör-baz jonksiyonu doyma akımı da (3.91 b) bağıntısından hesaplanabilir :

$$I_{CBO} = I_{CBS} (1 - \alpha_F \alpha_R) \quad (3.93)$$

Bu tanımlar da kullanılırsa (3.91) bağıntıları

$$I_E = -\alpha_R I_C - I_{EBO} (e^{-V_{EB}/V_T} - 1) \quad (3.94 \text{ a})$$

$$I_C = -\alpha_F I_E - I_{CBO} (e^{-V_{CB}/V_T} - 1) \quad (3.94 \text{ b})$$

şeklini alır ki bunlardan ikincisi C-B jonksiyonunun yeteri kadar büyük bir gerilimle tıkama yönünde kutuplanmış olması (normal kutuplama) hali için evvelce verilmiş olan (3.5 b) bağıntısının genel şeklidir. Benzer şekilde (3.90 a) bağıntısının da (3.87) nin genel şekli olduğu kolayca görülebilir.

Ulaşılan sonuçlardan  $I_{CBO}$ ,  $I_{EBO}$ ,  $I_{CBS}$ ,  $I_{EBS}$ ,  $\alpha_F$  ve  $\alpha_R$  nin tranzistorun davranışlarını belirleyen temel yapısal parametreler olduğunu görüyoruz. Aslında bunlar biribirlerinden tamamen bağımsız değildir. (3.92) ve (3.93) bağıntılarından görüldüğü gibi  $I_{CBS}$  ve  $I_{EBS}$  verilirse  $I_{CBO}$

ve  $I_{EBO}$  bunlar yardımcı ile hesaplanabilir (veya tersi yapılabilir). Ayrıca, her iki jonksiyonun da tıkama yönünde kutuplanması halinde elemanın pasif bir direnç devresi niteliği alacağı (dolayısı ile resiprok olacağı) göz önüne alınarak parametreler arasında

$$\alpha_F I_{EBS} = \alpha_R I_{CBS} \quad (3.95)$$

bağıntısının da bulunduğu görülebilir.

Ebers - Moll modeli bir tranzistorun akım-gerilim ilişkilerini herhangi bir kutuplama şekli için *ana hatları ile* temsil edebilen bir modeldir. Örneğin etkin baz genişliğinin gerilimle değişmesi olayını (Early olayını), gövde dirençlerini, kapasiteleri hesaba katmaz. Bu etkileri de —gerekli durumlarda— hesaba katacak geliştirmeler yapılarak daha iyi modeller kurmak kabildir.

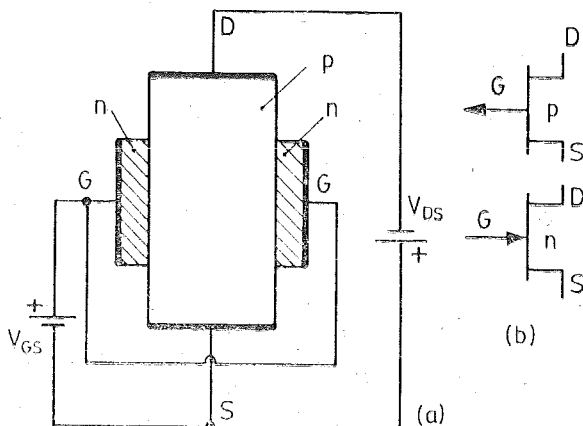
### 3.5. Alan Etkili Tranzistor (FET).

Bir yarıiletkenin içinden akan akımın bir elektriksel alan yardımı ile kontrol edilmesi prensibine dayandığı için *alan etkili tranzistorlar* adı verilen ve genellikle ingilizce adından (Field-Effect Transistor) kısaltılarak, kısaca FET diye anılan devre elemanları yapı bakımından birbirlerinden farklı iki sınıfa ayrılabilir : Jonksiyonlu alan etkili tranzistorlar (jonksiyonlu FET'ler) ve yalıtılmış geçitli alan etkili tranzistorlar daha yaygın adı ile Metal - Oksit - Yarıiletken Tranzistorlar (MOSFET'ler yahut MOS tranzistorlar). Bunların ortak önemli özellikleri çok büyük (pratik olarak sonsuz) giriş direncine sahip yarıiletken aktif devre elemanları olmalarıdır. Yarıiletken aktif devre elemanlarının en çok kullanılan tipi olan *bipolar tranzistorlar* (yahut kısaca *tranzistorlar*) genellikle FET'lere göre daha fazla kazanç sağlayabilirler. Fakat bunların giriş dirençleri küçüktür. O halde, çok büyük bir giriş direnci şartının bulunmadığı devrelerin bipolar tranzistorlarla gerçekleştirilmesi, ancak çok büyük bir giriş direncine sahip olması gereken devrelerde FET'lerin kullanılması uygun olur. Alan etkili tranzistorlardan MOSFET'lerin gittikçe daha geniş ölçüde kullanıldıkları bir alan da dijital tümdevrelerdir. MOSFET'li dijital tümdevrelerin belirli bir yarıiletken parçasığına çok sayıda eleman sığdırmaya elverişli olmaları bir yana, bunların yapımları da tranzistorlu tümdevrelere göre daha kolaydır.

Aşağıda jonksiyonlu FET'lerin ve MOSFET'lerin çalışma ilkeleri kısaca anlatılacak, bundan sonra özegrileri ve eşdeğer devreleri ile yüksek frekanslardaki özelliklerine kısaca değinilecektir.

### 3.5.1. Jonksiyonlu FET.

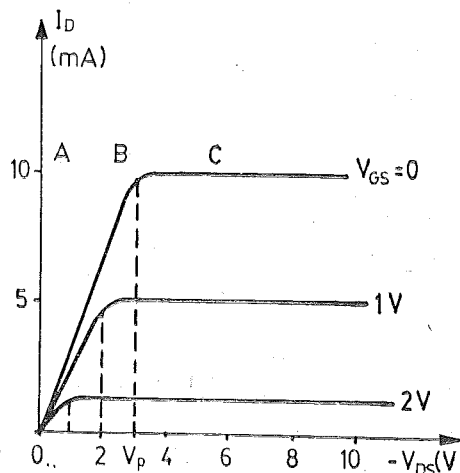
Jonksiyonlu bir FET en basit şekli ile Şekil 3.59. (a) daki gibi gerçekleştirilebilir. p tipi (veya n tipi) bir yarıiletken parçasının iki ucuna D ve S bağlantı elektrodları yerleştirilmiş, parçanın iki yan yüzeyinde de, arada birer p-n jonksiyonu meydana gelecek şekilde n tipi (asıl parça n tipi ise, p tipi) iki bölge oluşturulmuştur. D ve S arasındaki yarıiletken bölgeye «kanal» denir ve cinsine göre FET'e *n kanallı FET* veya *p kanallı FET* adı verilir. Kanalın uçlarındaki bağlantı uçlarından birine *emetör* (source - kaynak) diğerine *kolektör* (drain - savak) denir ve sırası ile S ve D harfleri ile gösterilir. Çevredeki aksi cinsten yarıiletkeye *geçit* (gate) adı verilir ve G harfi ile gösterilir. Görüldüğü gibi FET'in yapısı simetriktir ve emetör ve kolektörün yerleri değiştirilebilir.



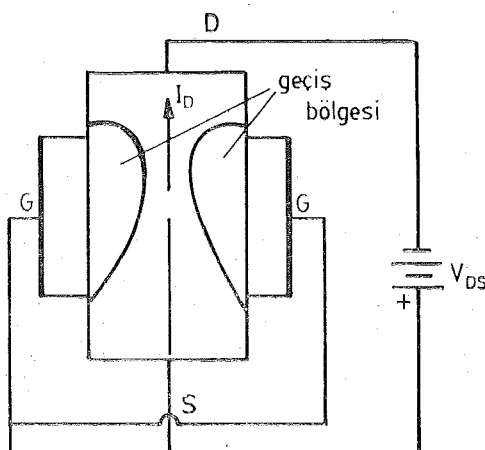
Şekil 3.59. (a) p kanallı FET ve kutuplanması. (b) FET sembollerleri.

Şimdi p kanallı bir FET'te geçit ve emetör kısa devre iken ( $V_{GS}=0$ ) kolektöre, emetöre göre negatif ve küçük bir  $V_{DS}$  gerilimi uygulayalım. Kanal p tipi yarıiletkeninden yapılmış olduğundan belirli bir özdirenci vardır.  $V_{DS}$  gerilimi sebebi ile akacak olan akım bu özdirençten başka  $V_{DS}$  gerilimi ile kanalın uzunluğuna ve kesit alanına bağlıdır. Akımın hemen hemen tamamı, kanal içindeki çoğuluk taşıyıcıları (burada delikler) tarafından taşınır. Akımın yönü emetörden kolektöre doğrudur.

Kanal, özdirenci belirli olan bir yarıiletken yol olduğuna göre akımın değeri, kanalın iki ucu arasında uygulanan  $V_{DS}$  gerilimi ile orantılı olarak artacaktır (Şekil 3.60. daki A bölgesi).



Şekil 3.60. FET de çıkış özeğrileri.

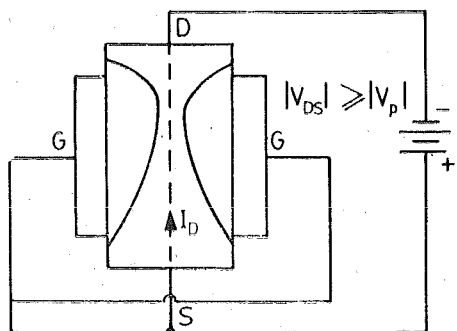


Şekil 3.61. FET de geçiş bölgelerinin genişlemesi ile kanalın daralması.

$V_{DS}$  gerilimi ve buna bağlı olarak  $I_D$  akımı arttıkça kanal direnci üzerindeki gerilim düşümü sebebi ile kanal içindeki noktaların emetöre göre gerilimleri aynı olmayacağı, kolektöre doğru gidildikçe gerilim düşümü artacaktır. Geçitle emetör kısa devre edilmiş olduğundan kanalın kolektöre yakın noktaları geçit ucuna göre daha negatif olacak, yani geçitle kanal arasındaki jonksiyonun tıkama yönündeki kutuplanma gerilimi artacaktır. Tıkama yönünde kutuplanan bir jonksiyonda taşıyıcıları faydalı kesiti azaltır. Bu, kanalın genişlemesini sağlar ve bu nedenle geçiş bölgesi genişliği artar. Bu, kanalın tıkama yönü gerilimini, emetöre yakın kısımlarındaki tıkama yönü gerilimine göre daha büyük olduğundan geçiş bölgesi genişliği artar (Şekil 3.61.).

Küçük  $V_{DS}$  gerilimleri ve küçük  $I_D$  akımı değerleri için bu anlatılanların etkisi pek görülmeyecektir ve  $I_D$ ,  $V_{DS}$  ile orantılı olarak artar. Ama  $I_D$  ve buna bağlı olarak kanal içindeki gerilim düşümü ve buna bağlı olarak da kanal içindeki geçiş bölgesi genişliği arttıkça kanalın, içinde taşıyıcı bulunan kesiti azalacağından,  $I_D$  akımının  $V_{DS}$  ile artış hızı azalmaya başlar (Şekil 3.60. B bölgesi). Kanalın faydalı kesitinin azaldığı bölgede kanal direnci ve buna bağlı olarak gerilim düşümü daha da artacağından

$V_{DS}$ 'in artmaya devam etmesi halinde kanal kesit alanı hızla azalır ve  $V_{DS}$ 'in bir değeri için iki taraftaki geçiş bölgeleri birbirine kavuşarak geçit adetâ boğulur (Şekil 3.62.).  $V_{DS}$ 'in bu değerine *kısilma gerilimi* (Pinch-off gerilimi) denir ve  $V_p$  ile gösterilir. Ancak kısılma sonucunda geçidin tamamen tıkanarak akımın kesilmesi söz konusu değildir. Akım öyle bir değerde ( $I_{DSS}$ ) sabit kalır ki bu akımın kanalın boğulduğu yerdeki kesitinde meydana getireceği gerilim düşümünün sebep olacağı geçiş bölgesi genişliği, kanal genişliğinin yarısından birazcık küçük olsun.  $V_{DS} = V_p$  değerinden sonra akım hemen hemen sabit kalır (Şekil 3.60. C bölgesi).



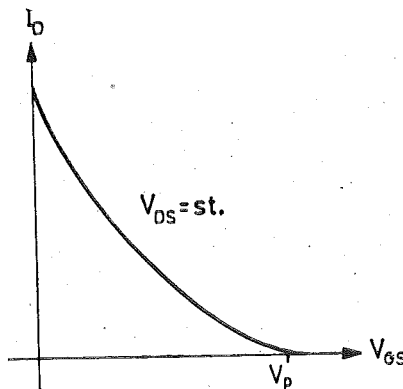
Şekil 3.62. FET de kısılma durumu.

Şimdi geçitle emetör arasına, jonksiyonu tıkama yönünde kutuplanan 1 V luk bir gerilim uygulandığını kabul ederek  $I_D$  nin  $V_{DS}$  ile değişimi yeni baştan inceleyelim :

Geçit-kanal jonksiyonu  $V_{GS}=1$  V ile tıkama yönünde kutuplanmış olduğundan  $V_{DS}$ 'in çok küçük değerlerinde bile  $V_{GS}$ 'in meydana getirdiği geçiş bölgeleri sebebi ile kanalın faydalı genişliği  $V_{GS}=0$  halindekiden küçüktür. Bu, kanal direncinin daha büyük olması demek olduğundan,  $I_D$  akımının  $V_{DS}$  ile artma hızı  $V_{GS}=0$  haline göre daha küçüktür. Kısılma olayı  $V_{DS}=(V_p-1)$  voltta meydana gelir. Akımın sabit kaldığı değer de  $V_{GS}=0$  halindekine göre daha küçüktür.

$V_{GS}=2, 3, \dots$  V için durum incelenirse, yukarıda anlatılanlara benzer şekilde  $V_{GS}$  büyündükçe aşağıya doğru kayan eğriler elde edilir.  $V_{GS}=V_p$  için,  $V_{DS}=0$  olsa bile kısılma meydana geleceğinden akım hiç akamaz yani FET kesime girer.

FET'in belirli bir  $V_{DS}$  gerilimi için  $I_D$  akımının  $V_{GS}$  ile değişimini gösteren *geçiş eğrileri* de benzer düşüncelerle, yahut Şekil 3.60. daki eğriler yardımcı ile elde edilebilir (Şekil 3.63.).



Şekil 3.63. p kanallı bir FET'de belirli bir  
| $V_{DS}$ | ( $>$  | $V_P$ |) gerilimi için  
 $I_D = f(V_{GS})$  eğrisi.

Böylece bir jonksiyonlu FET'in, D ve S uçları arasından akan akımın,  $V_{GS}$  gerilimi yardımcı ile *kontrol edilebileceğini* yani FET'in bir *akım kontrol elemanı* olarak kullanılabileceğini görmüş oluyoruz. Elemanın önemli bir özelliği, G-S jonksiyonunun tıkama yönünde kutuplanmış olması sebebi ile giriş akımının çok küçük (nA mertebesinde) olmasıdır. Dolayısı ile giriş direnci çok yüksektir.

Bir jonksiyonlu FET'te, kısılma bölgesi içinde  $I_D$  akımının  $V_{GS}$  ile değişiminin büyük bir yaklaşılıklıkla

$$I_D = I_{DSS} \left( 1 - \frac{V_{GS}}{V_P} \right)^2 \quad (3.96)$$

bağıntısı ile ifade edilebileceği gösterilebilir. Buradan, kiiçük genlikli değişimler için elemanın giriş geriliminin çıkış akımını denetleyebilme yeteneğinin bir ölçüsü olan ve *eğim* yahut *geçiş iletkenliği* olarak adlandırılan parametre tanımlanarak değeri hesaplanabilir :

$$g_m = \left[ \frac{\Delta I_D}{\Delta V_{GS}} \right]_{V_{DS}=\text{st.}} = -2 \cdot I_{DSS} \cdot \frac{1}{V_P} \left( 1 - \frac{V_{GS}}{V_P} \right)$$

(3.96) dan

$$\sqrt{\frac{I_D}{I_{DSS}}} = \left(1 - \frac{V_{GS}}{V_P}\right)$$

olduğundan

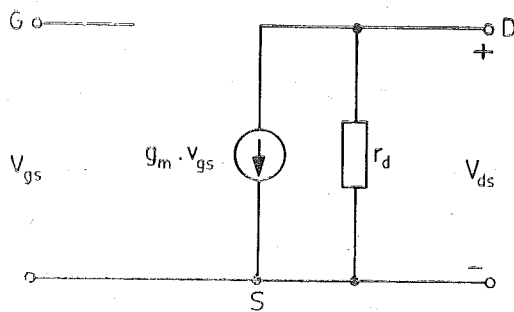
$$g_m = -2/V_P \sqrt{I_{DSS}} \cdot \sqrt{I_D}$$

bulunur. Yani eğim FET'in yapısına ( $V_P$  ve  $I_{DSS}$  sebebi ile) ve  $I_D$  kolektör akımına bağlıdır.

Elemanın giriş direncinin çok büyük olduğuna degenilmiştı. Şekil 3.60. daki çıkış özeğrilerine bakılırsa kısılma bölgesinde kalmak şartı ile ( $|V_{DS}| > |V_{GS}| - |V_P|$ ) elemanın küçük genlikli değişimler için çıkış direnci olan

$$r_d = \left[ \frac{\Delta V_{DS}}{\Delta I_D} \right]_{V_{GS}=st}$$

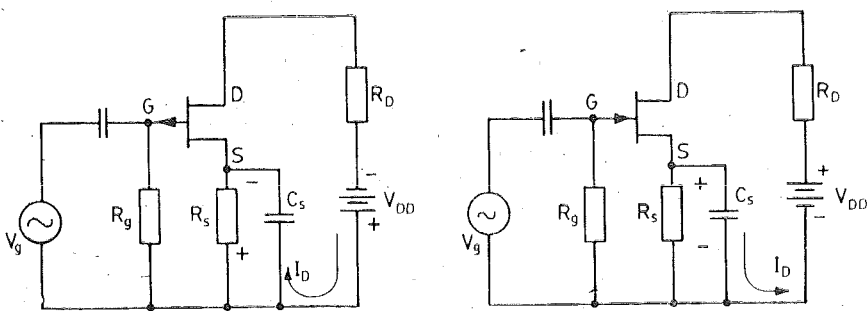
nin de oldukça büyük değeri olacağı görülebilir (pratikte 100 k ohm merkezinde). Bu bilinenlerden belirli bir çalışma noktasında kutuplanmış bir FET'in küçük genlikli değişimler için eşdeğer devresi çizilebilir (Şekil 3.64.).



Şekil 3.64. Bir jonksiyonlu FET'in küçük genlikli değişimler için eşdeğer devresi.

FET'lerin ilginç bir özellikleri de oldukça iyi bir *değişken direnç* olarak kullanılabilirleridir. Gerçekten, Şekil 3.60. daki özeğriler inceleinirse A bölgesi içinde, belirli bir  $V_{GS}$  gerilimi için  $I_D$  nin  $V_{DS}$  ile aşağı yukarı lineer olarak değiştiği görülür. Yani eleman bu şartlar altında değeri özeğrinin eğimi ile belirli bir dirence eşdeğerdır. Özeğrinin eğimi, dolayısı ile direnç değeri  $V_{GS}$  ile değiştirilebilir. O halde bir FET'den «*değeri gerilimle kontrol edilebilen bir direnç*» olarak yararlanılabilir.

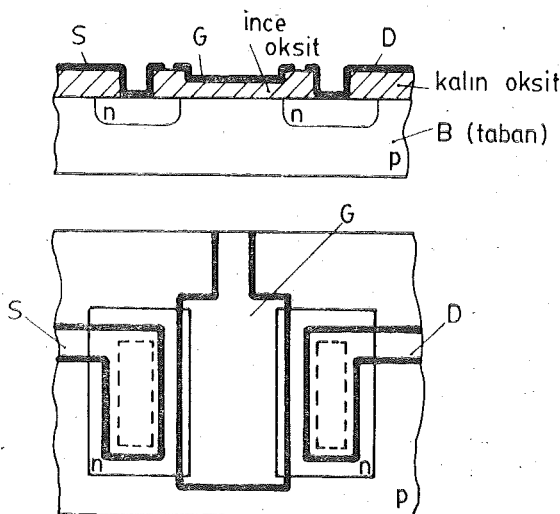
Jonksiyonlu FET'lerin bir kuvvetlendirici olarak çalıştırıldıklarken kutuplanmaları tüplerdeki benzer şekilde,  $I_D$  nin bir direncin uçları arasında meydana getireceği gerilim düşümünden yararlanılarak sağlanabilir. Şekil 3.65. de p kanallı ve n kanallı FET'li kuvvetlendiriciler için besleme ve otomatik kutuplama devreleri gösterilmiştir.  $R_g$  direnci,  $R_s$  nin uçları arasında meydana gelen  $V_{GS} = I_D \cdot R_s$  gerilimini G ucuna bağlamak için kullanılmıştır. Girişten akan akım çok küçük olduğundan  $R_g$  nin değerini çok büyük yapmakta bir sakınca yoktur.  $C_s$  kondansatörü ise  $I_D$  nin değişken bileşenlerini köprüleyerek öngerilimin sabit kalmasını sağlar. Her iki tip için de  $V_{GS}$  nin, jonksiyonu tikama yönünde tutacak yönde olduğu gözden kaçırılmamalıdır.



Şekil 3.65. : (a) p kanallı, (b) n kanallı FET'li kuvvetlendiricilerde  $R_s$  direnci yardımcı ile  $V_{GS}$  kutuplama gerilimi (otomatik öngerilim) elde edilmesi.

### 8.5.2. Yalıtılmış Geçitli FET (MOS-FET, MOS Tranzistor).

Daha çok *MOS tranzistor* adı ile anılan *yalıtılmış geçitli bir tranzistor*'un kesiti ve üstten görünüsü Şekil 3.66. da verilmiştir. p tipi bir yarıiletken taban yüzeyinde iki bölge difüzyon yolu ile katkılanarak n tipine dönüştürülmüştür. Biri emetör (source) öteki kolektör (drain) ödevi görecek olan bu bölgeler arasında kalan p tipi yarıiletken yüzeyi üzerinde çok ince ( $1000 \text{ \AA}^\circ$  mertebesinde) bir yalıtkan (yarıiletkenin silisyum olması halinde silisyum dioksit) tabakası oluşturulmuştur. Yüzeyin geri kalan kısmı, daha kalın bir yalıtkan tabaka ile kaplanmıştır. İnce oksit tabakanın üst yüzeyi üzerine bir iletken (genellikle alüminyum) film oluşturulmuş, emetör ve kolektör bölgelerinden de birer bağlantı ucu çıkartılmıştır. Bu yapıda ince yalıtkan tabakasının yüzeyindeki iletkenine *geçit elektrodu* adı verilir.



Şekil 3.66. Bir MOS tranzistorun yapısı.

Elemanın emetörü (S ucu) ile kolektörü (D ucu) arasına bir gerilim uygulandığında emetör-taban yahut taban-kolektör jonksiyonlarından biri yahut öbürü tıkama yönünde kutuplanmış olacağından devreden —pratik olarak— bir akım akmaz. Şimdi p tipi tabanla geçit elektrodu arasına, geçiti tabana göre pozitif yapacak yönde bir doğru gerilim uygulandığını düşünelim. Meydana gelen alanın etkisi ile yarıiletken tabanın oksit tabakasına yakın yerlerinde pozitif taşıyıcılar (delikler) itilerek bu bölgeden uzaklaştırılırken, elektronlar oksit-yarıiletken geçiş yüzeyine doğru çekilirler. Uygulanan gerilimin bir değeri için bu bölgedeki elektron yoğunluğu delik yoğunluğunu aşar; yanısı geçit elektrodu altında kalan bölgede ince bir yarıiletken tabakası, p tipinden n tipine dönüştürür. Böylece, zaten n tipi olan emetör (S) ve kolektör (D) bölgeleri arasında bir iletim yolu (*kanal*) oluşmuş olur. Kanal n tipi olduğundan böyle bir MOS'a *n kanallı MOS* (*kısaca n-MOS*) denir.

Geçide uygulanan pozitif gerilim artırılırsa n tipine dönüşen tabakanın kalınlığı artar, yani kanal direnci küçülür. MOS tranzistorda bu şekilde geçit elektrodunun altında kalan bölgede cins değiştiren yarıiletken tabakasına *evirtim tabakası* ve bu olaya *evirtim* denir. Evirtimin meydana gelebilmesi için gerekli minimum geçit gerilimine de *eşik gerilimi* denir ve genellikle  $V_T$  simbolü ile gösterilir. (Eşik gerilimi (threshold voltage) için kullanılan  $V_T$  simbolü ( $kT/q$ ) büyüğünü ifade etmek için kullanılan  $V_T$  ile karıştırılmamalıdır.)

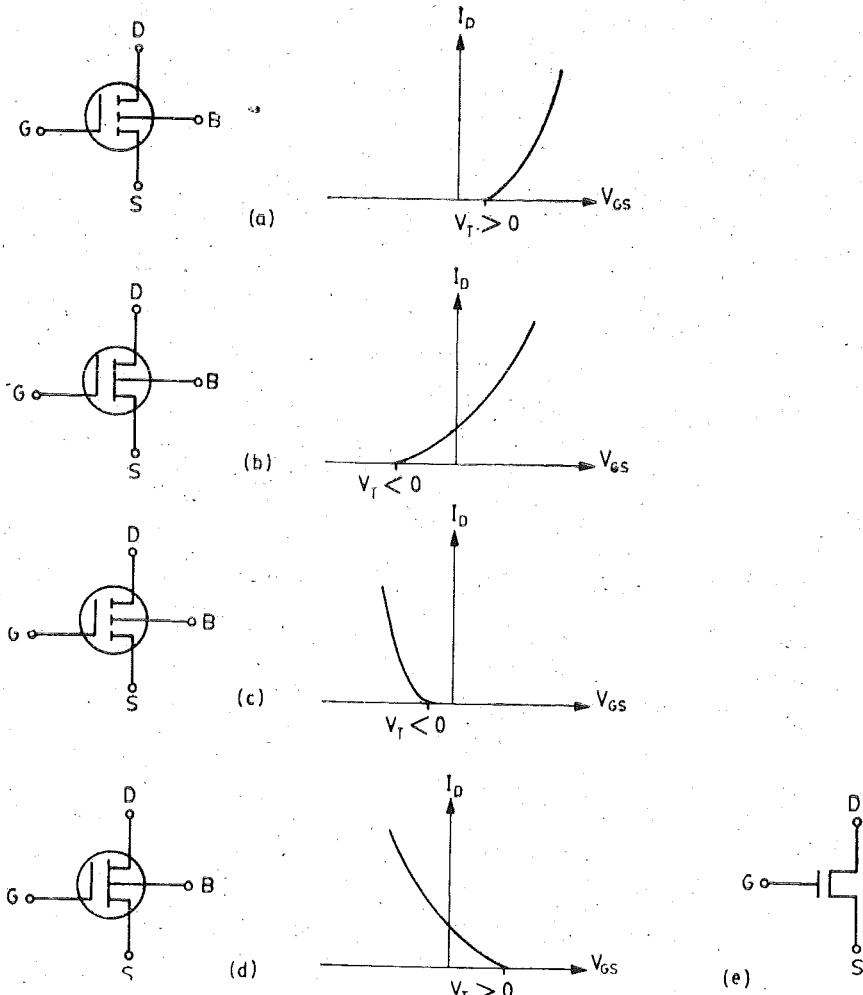
Buraya kadar anlatılan MOS yapısındaki tersi, yani tabanı n tipi, S ve D bölgeleri p tipi olan bir MOS'da iletimi sağlayacak p tipi bir kanalın olması için geçide, tabana göre negatif bir gerilim uygulanması gereklidir. Böyle bir MOS'a *p kanallı MOS* (*kısalta p-MOS*) denir.

Yeteri kadar büyük bir gerilim uygulanarak kanal oluşturulmuş bir MOS'da S ucu ile D ucu arasında bir gerilim uygulandığında kanal boyunca bir akım akar. Akımın değeri  $V_{DS}$  gerilimi ile orantılı olarak artar. S ucu tabana bağlanmış bir n kanallı MOS'da D ucu S ye göre pozitif olacak şekilde bir gerilim uygulanırsa çok küçük  $V_{DS}$  gerilimi değerleri için akım-gerilim bağıntısı yine lineerdir.  $V_{DS}$  geriliminin değeri arttırılırsa, kanalın S ucuna yakın noktalarında geçit-taban gerilimi, uygulanmış olan  $V_{GS}$  gerilime eşit olduğu halde, kanal içinde D ye doğru gidildikçe —akmaka- olan akımın kanal direncinde meydana getirdiği gerilim düşümü sebebi ile— geçitle taban arasındaki gerilim azalır ve bir noktadan sonra  $V_T$  eşik geriliminin altına düşer. Böylece kanal *kısırlır*.  $V_{DS}$  gerilimi arttırılsa da akım daha artamaz. Bu açıklamadan MOS çıkış özeğrilerinin jonksiyonlu bir FET'in çıkış özeğrilerine benzer eğriler olacağı anlaşılmıştır.

Buraya kadar anlatılmış olan MOS'larda geçite bir gerilim uygulanmadığı sürece bir iletim kanalı yoktur. Kanalı, geçide uygulanan gerilim oluşturur. Bu yüzden bu tipten bir MOS'a *kanal oluşturmalı MOS* (İngilizcesi; enhancement MOS yahut normally-off MOS) denir. Mantık devrelerinde kullanılan MOS tranzistorlar bu tiptendir. Bazı uygulamalarda geçide (girişe) gerilim uygulanmamışken MOS'un belirli bir ölçüde iletken olması,  $V_{GS}$  geriliminin bir yönde değişimi ile akımın artması, öteki yönde değişimi ile ise akımın azalması istenir. n-kanallı MOS tranzistörlerde bu durum tabanın katkı yoğunluğuna bağlı olarak, genellikle kolayca sağlanır. p-kanallı yapınlarda kanal bölgesinin katkılanması gereklidir. Bu tipten bir MOS'a da *kanal ayarlamalı MOS* (İngilizcesi; depletion MOS yahut normally-on MOS) denir. Şekil 3.67. de çeşitli tipten MOS'lar için kullanılan sembollerle bunların  $I_D = f(V_{GS})$  ( $V_{DS} = \text{sabit}$ ) eğrilerinin tipik biçimleri ve önemli akım ve gerilimlerinin işaretleri topluca verilmiştir.

MOS tranzistorlarının akım kontrol özelliklerinden kuvvetlendirici devreler yahut anahtar olarak kullanılan MOS'ların uygun şekilde bağlanmaları ile oluşturulan mantık devreleri gerçekleştirmede yararlanılabilir. MOS'ların *eğim*'leri bipolar tranzistorlarındaki gibi genellikle daha küçük olduğundan —özel uygulama alanları dışında— MOS'lar kuvvetlendiricilerde pek kullanılmazlar. MOS'da giriş elektrodu olan geçit, öteki elektrot-

lardan çok iyi bir yalıtkan olan silisyum dioksitle ayrılmış olduğundan giriş akımı çok küçüktür ( $10^{-11} \dots 10^{-12}$  A). Bu yüzden çok küçük bir giriş akımının (yahut çok büyük bir giriş direncinin) gerekli olduğu bazı durumlarda kuvvetlendiricilerin ilk katı MOS tranzistor kullanılarak gerçekleştirilebilir. MOS'ların asıl yaygın oldukları kullanılma alanı geniş çapta tümlestirilmiş dijital devreler ve sistemlerdir.



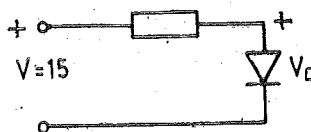
Şekil 3.67. Çeşitli MOS tranzistor sembollerini ve geçiş özeğrileri: (a) Kanal oluşturmalı n-MOS, (b) kanal ayarlamalı n-MOS, (c) kanal oluşturmalı p-MOS, (d) kanal ayarlamalı p-MOS, (e) MOS tranzistorun tipinin bilinmesi halinde (genellikle mantık devrelerinde) kullanılan genel MOS sembolü.

## P R O B L E M L E R

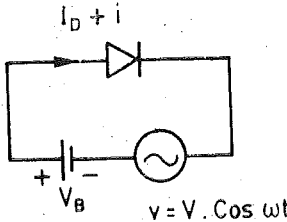
1 — Bir silisyum diyodun anodu ile katodu arasına uygulanan gerilim  $V_D=0,5$  V tur. Bu durumda akan akım 0,1 mA dir. 0,6 V luk bir gerilim uygulandığında akan akımı ve diyodun bu çalışma noktası için değişken akım ve doğru akım dirençlerini bulunuz. ( $T=300^{\circ}\text{K}$ )

2 — Şekildeki devrede kaynak gerilimi  $V=15$  V, direncin değeri  $R=3\text{ K}$  olduğuna göre

- Devreden akan akımı
- Diyot silisyum ise  $V_D$  gerilimini ( $I_0=10\text{ nA}$  dir.)
- Diyot germanyum ise  $V_D$  gerilimini ( $I_0=20\text{ }\mu\text{A}$  dir.) bulunuz. ( $T=300^{\circ}\text{K}$ ), ( $V \gg V_D$  alınacaktır).

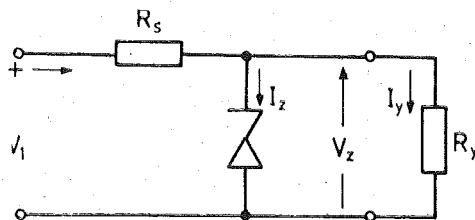


3 — Şekildeki germanyum diyoda  $V_B=0,3$  V,  $V=3\text{ mV}$  olacak şekilde gerilim uygulanmıştır. Diyodun doyma akımı  $T=300^{\circ}\text{K}$  için  $I_0=10\text{ }\mu\text{A}$  dir. Akan akımın, doğru ve değişken akım bileşenlerini bulunuz.



4 — BZY 83/C9V1 tipi Zener diyodunun Zener geriliminin anma değeri 9,1 V dur. Zener bölgesi içinde küçük işaret direnci ihmal edilebilecek kadar küçüktür. Diyot akımının sınır değerleri  $I_{Z\min}=1$  mA,  $I_{Z\max}=27$  mA olarak verilmiştir.

- Diyottan 1 mA den daha küçük bir zener akımı akitmanın sakınıcası nedir?
- Diyottan 27 mA den daha büyük bir zener akımı akitmanın sakınıcası nedir?



5 — Prob. 4 deki diyotla şekildeki gerilim regülatörü devresi kuruluyor. Girişteki doğru gerilim  $V_1=15$  V dur.

- $R_y$  yük direnci açık devre edilse de diyodun zarar görmemesi için  $R_s$  direncinin değeri ne olmalıdır?
- Yükün uçlarındaki gerilimin  $V_z$  değerini koruyabilmesi için  $R_y$  hangi değerden daha küçük olmamalıdır?
- $R_y$  den 10 mA lik bir  $I_y$  akımı akmaktadır. Yük akımının bu değerini koruyabilmesi için  $V_1$  giriş gerilimi hangi değerden daha aşağıya düşmemeli ve hangi değerden yukarıya çekilmelidir?
- Bulduğunuz sonuçları yorumlayınız.

6 — Prob. 4 deki diyodun zener bölgesinde ortalama küçük işaret direnci 10 ohm dan küçüktür ve özeğrinin her noktasında aynı değerde kabul edilebilir.  $V_1=20$  V ve  $R_s=5$  k ohm dur.

- $V_1$  in üzerinde tepe değeri 1 V olan sinüs biçimli bir dalgalı bilesen varsa  $R_y$  açık devre iken diyodun uçlarındaki gerilimin üzerindeki dalgalı bilesenin tepe değeri ne kadar olur?
- Aynı giriş gerilimi ve  $R_y=10$  k ohm için çıkış gerilimi üzerindeki dalgalı bilesenin değeri ne kadar olur?
- Sonuçları yorumlayınız.

7 — BC 107 A tranzistorunun Ek — 1 de verilmiş olan özeğrilerinden yararlanarak  $V_{CE}=15$  V a karşı düşen  $I_c=f(I_B)$  akım geçiş eğrisini çikartınız.

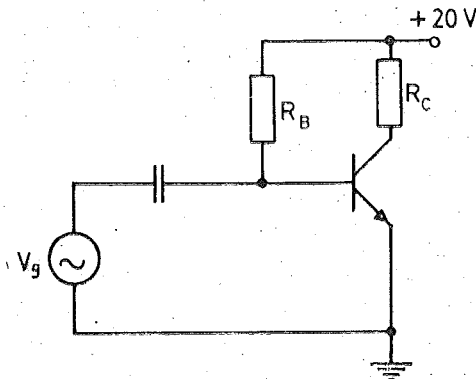
- BC 107 A tranzistorunun Ek — 1 de verilmiş olan özeğrisi üzerinde Şekil 3.23. deki devre için  $V_{CC}=20$  V,  $R_C=250$  ohm'a karşı düşen yük doğrusunu çiziniz.
- Bu durum için  $V_{CE}=f(V_{BE})$  gerilim geçiş eğrisini çikartınız.
- Geçiş eğrisi üzerinde doğrusal çalışma bölgesinin sınırlarını belirleyiniz ve uygun bir çalışma noktası seçiniz.
- Bu çalışma noktası için küçük işaret gerilim kazancını çizim yolu ile bulunuz.
- $v_{be}$  tepe değeri 40 mV olan sinüs biçimli bir gerilimdir.  $v_{ce}$  geriliminin dalga şeklini çikartınız.

9 — Şekildeki devre BC 237 B tranzistoru ile gerçeklestirilecektir. Bu tranzistor için  $h_{FE}$  nin anma değeri 290 ve dağılma sınırları ( $h_{FE}$  nin alabileceği en büyük ve en küçük değerler) 180 ve 460 dır.

- $R_C$  ve  $R_B$  yi  $V_{CEQ}=10$  V,  $I_{CQ}=2$  mA olacak şekilde hesaplayınız ( $h_{FE}$  nin anma değerini kullanınız).
- $h_{FE}$  nin toleransı sebebi ile çalışma noktası hangi noktalara kadar kayabilir.
- Bulduğunuz sonucu yorumlayınız.

d)  $S(I_C, R_B)$  bağıl duyarlığını hesaplayınız. Sonucu yorumlayınız.

e)  $I_{CQ}$  nun sıcaklıkla bağıl değişimini hesaplayınız (Çalışma sıcaklığında  $I_{CBO}=0,1 \mu A$  olarak verilmiştir).

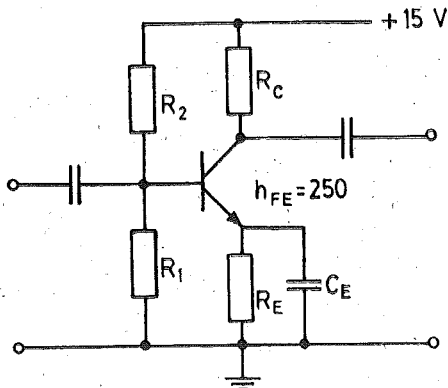


10 — Şekildeki devrede  $I_{CQ}=1 \text{ mA}$ , çıkış geriliminin tepepeden tepeye toplam değişim alanı 12 V olacaktır.

a)  $C_E$  kondansatörünün değerinin çok büyük olduğunu kabul ederek  $R_E$  direncinin değerini hesaplayınız.

b) Çıkış geriliminin iki yöne doğru kırpılmıştan eşit mikardarda değişebilmesi için  $R_c$  direncinin değeri ne olmalıdır? (Tranzistorun  $V_{CE\text{sat}}$  doyma gerilimi ihmali edebilecek kadar küçüktür).

c) Çalışma noktasındaki kolektör akımının tranzistorun  $h_{FE}$  sine karşı duyarlığının 0,2 olması isteniyor.  $R_1$  ve  $R_2$  dirençlerinin değerlerini bulunuz ( $V_{BE}=0,6 \text{ V}$  dur).

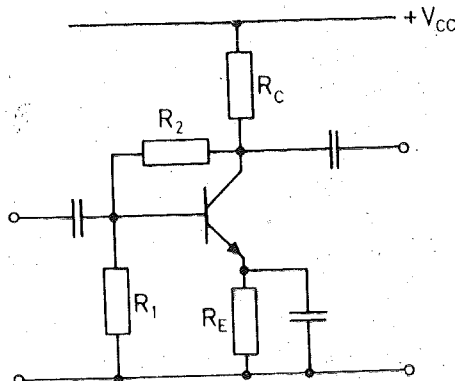


11 — Prob. 10 daki devrede  $V_{CEQ}=5$  V,  $I_{CQ}=2$  mA,  $S (I_{CQ}, h_{FE})=0,1$  olması isteniyor.

- Cıkış geriliminin iki yöne doğru kırpılmazsız değişimle alanının eşit ve maksimum olması için  $R_E$ ,  $R_C$ ,  $R_1$  ve  $R_2$  dirençlerinin değerleri ne olmalıdır?
- $T=25^\circ\text{C}$  için K bağılı sıcaklık katsayısını hesaplayınız ( $h_{FE}$  nin sıcaklıkla değişim katsayıısı  $k''=1,1/\text{ }^\circ\text{C}$ ,  $25^\circ\text{C}$  de  $I_{CBO}=20$  nA olarak verilmiştir).

12 — Şekildeki devrede çalışma noktasının kararlılığı hem  $R_E$  üzerinden, hem de  $R_2$  direnci yolu ile sağlanan geribesleme yardımı ile sağlanmıştır.

- $R_E$  ve  $R_2$  nin ısil kararlılık üzerindeki etkilerini devre üzerinde akıl yürüterek açıklayınız.



- Devre için K bağılı sıcaklık katsayısı ifadesini çıkartınız.
- $R_2$  üzerinden meydana gelen işaret geribeslemesi nasıl önlenebilir?

13 — Şekil 3.33. (b) deki devrede  $V_{CC}=+20$  V,  $R_E=1$  k,  $R_2=100$  k,  $R_C=R_1=5,6$  k dir. Tranzistor için  $T=20^\circ\text{C}$  de  $h_{FE}=200$ ,  $k''=1$ ,  $V_{BE}=0,6$  V,  $I_{CBO}=20$  nA,  $k=\% 7/\text{ }^\circ\text{C}$ , diyotların geçirme yönü gerilimleri  $V_D=V_D' \simeq 0,6$  V dir. Tranzistor ve diyotlar için  $k'=-2,5$  mV/ $^\circ\text{C}$  dir.

- $T=25^\circ\text{C}$  için devredeki akım ve gerilimleri hesaplayınız.
- Devrenin K bağılı sıcaklık katsayısını veren bağıntıyı çıkartınız.

c) K nin değerini hesaplayınız.

d) K nin değerini devrede diyotların bulunmaması hali için hesaplayınız.

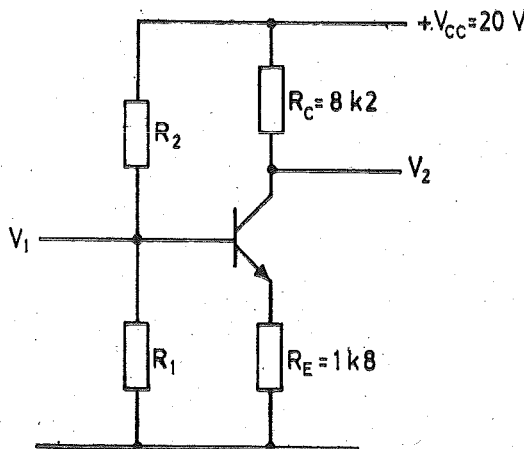
e) (c) ve (d) de bulunan sonuçları karşılaştırınız.

14 — Şekildeki devrede kullanılan silisyum tranzistorun parametreleri  $h_{fe} = h_{FE} = 200$ ,  $h_{ie} = 5 \text{ k}$ ,  $h_{re} = 0$ ,  $h_{oe} = 0$  olarak veriliyor.

a)  $S (I_{CQ}, h_{FE}) = 0,2$ ,  $V_{CE} = 10 \text{ V}$  olması için  $R_1$  ve  $R_2$  dirençlerinin değerlerini bulunuz.

b)  $V_1/V_2$  gerilim kazancını bulunuz.

c)  $R_E$  direnci bir kapasite ile köprülendiğine göre gerilim kazancının yeni değeri ne olur?

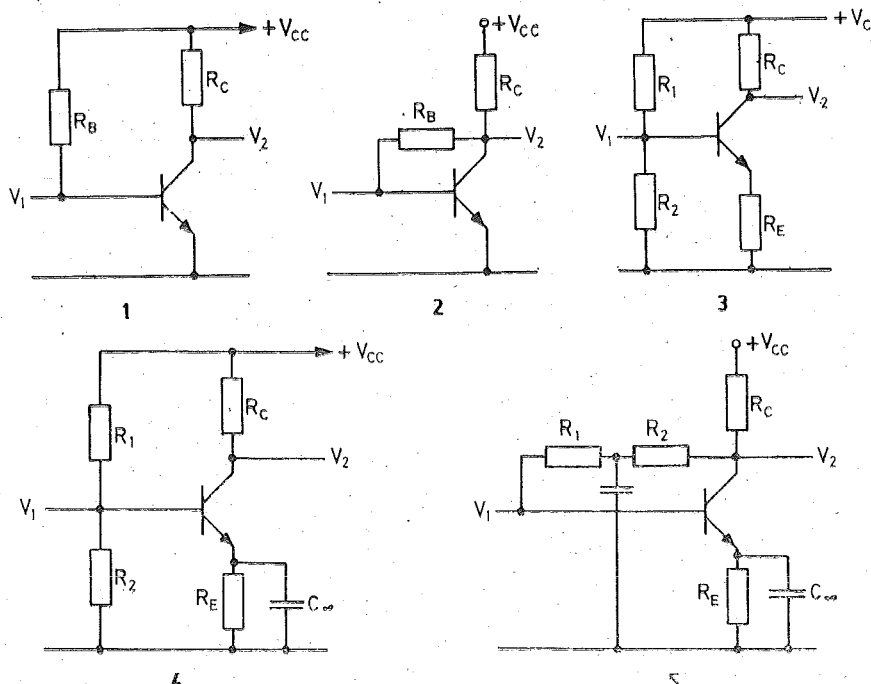


15 — a) Sayfa 121'deki şekilde görülen tranzistorlu devrelerin eşdeğer devrelerini çiziniz (Tranzistorlar  $h$  eşdeğerleri ile temsil edilecektir).

b) Tranzistorun çalışma noktasındaki parametreleri  $h_{ie} = 5 \text{ k}$ ,  $h_{fe} = 200$ ,  $h_{oe} \approx 0$ ,  $h_{re} = 0$  olduğuna göre herbir devre için  $V_1/V_2$  gerilim kazancını hesaplayınız.

16 — Bir tranzistorun  $f_{hfb}$  kesim frekansını karma  $\pi$  eşdeğer devresi elemanları cinsinden hesaplayınız. Sonucu  $f_T$  frekansını veren bağıntı ile karşılaştırarak yorumlayınız.

17 — Bir silisyum yüksek frekans tranzistorunda emetör-baz jonksiyon kapasitesi  $C_{b'e_j} = 2 \text{ pF}$ , kolektör-baz jonksiyon kapasitesi  $C_{eb'j} = 0,5 \text{ pF}$



dir. Kolektör-baz difüzyon kapasitesi ihmali edilebilecek kadar küçük,  $I_c = 2 \text{ mA}$  için  $f_t = 500 \text{ MHz}$ ,  $h_{fe} = 200$ ,  $r_{bb}' = 40 \text{ ohm}$ 'dur.

- $I_c = 2 \text{ mA}$  için  $f_{hfe}$  yi hesaplayınız.
- $I_c = 2 \text{ mA}$  için  $f_{hfb}$  yi hesaplayınız.
- $I_c = 0,1 \text{ mA}$  için  $f_t$  yi hesaplayınız.

18 — Prob. 17 deki tranzistorun  $h_{fe}$  kısa devre akım kazancının  $f = 100 \text{ MHz}$  deki modülünü ve açısını hesaplayınız.

19 — Prob. 17 deki tranzistorun  $f_{max}$  sınır frekansının  $I_c = 2 \text{ mA}$  için değerini bulunuz.

20 — Bir tranzistorun  $I_c = 1 \text{ mA}$ ,  $V_{CE} = 5 \text{ V}$  çalışma noktası için  $h_{fe} = 150$ ,  $\mu = 10^{-4}$ ,  $C_{cb}' = 1 \text{ pF}$ ,  $f_t = 200 \text{ MHz}$ ,  $r_{bb}' = 50 \text{ ohm}$  değerleri ölçü yolu ile bulunmuştur.

- Bu tranzistorun  $f = 1 \text{ MHz}$  ve verilen çalışma noktası için y parametrelerini bulunuz.

- b) Aynı çalışma noktası ve  $f=30\text{ MHz}$  için y parametrelerini bulunuz.

21 — n-p-n tipi bir tranzistorun normal kutuplama durumu için kısa devre akım kazancı  $h_{FEE}=100$ , emetörle kolektöre yer değiştirilerek ölçülen (ters yönde) kısa devre akım kazancı  $h_{FER}=2$  bulunmuştur. Ayrıca  $25^\circ\text{C}$  da  $I_{CBO}=10\text{ nA}$  dir.

- a) Tranzistorun Ebers - Moll bağıntılarını yazınız.  
 b)  $V_{CB}=10\text{ V}$  iken kolektör akımının  $I_C=1\text{ mA}$  olması için gerekli  $V_{BE}$  geriliminin değeri nedir?  
 c) Tranzistor doyma bölgesinde ve  $V_{BE}=0,6\text{ V}$ ,  $V_{CE}=0,1\text{ V}$  iken  $I_E$ ,  $I_C$  ve  $I_B$  yi hesaplayınız.

22 — n-p-n tipi bir tranzistorda  $\alpha_F=0,99$ ,  $\alpha_R=0,6$ ,  $I_{CBO}=5\text{ nA}$  dir.  $V_{BE}=0,6\text{ V}$  ve  $V_{CB}=5\text{ V}$  çalışma noktası için Ebers - Moll bağıntılarından yararlanarak

- a)  $h_{ib}$  nin değerini  
 b)  $h_{fb}$  nin değerini hesaplayınız.  
 c)  $h_{rb}$  ve  $h_{ob}$  parametrelerinin bu yoldan bulunacak değerleri neden hatalı çıkar? Açıklayınız.

23 — BF 256 tipi n-kanallı jonksiyonlu FET'in özeğrileri Ek — 1 de verilmiştir.

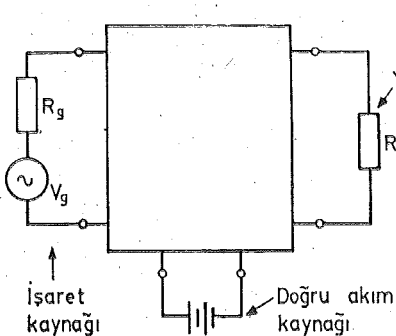
- a)  $I_{DSS}$  ve  $V_P$  değerlerini belirleyiniz.  
 b)  $V_{GS}=-1\text{ V}$  için  $I_D$  akımı ne kadardır? Özeğri üzerinden bulduğunuz  $I_D$  değeri ile (3.96) bağıntısı yardımı ile hesapladığınız  $I_D$  değerini karşılaştırınız.  
 c)  $V_{DSQ}=10\text{ V}$ ,  $V_{DQ}=1\text{ mA}$  çalışma noktası için  $g_m$  ve  $r_p$  yi özeğriler yardımı ile bulunuz.  
 d)  $g_m$  yi bir defa da (3.96) bağıntısından, türev alarak hesaplayınız ve sonuçları karşılaştırınız.

## 4. KUVVETLENDİRİCİLER.

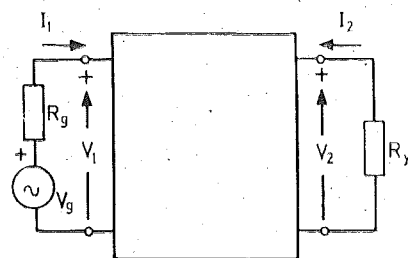
### GENEL KAVRAMLAR VE TEMEL KUVVETLENDİRİCİ DEVRELERİ

#### 4.1. Giriş.

Kuvvetlendirici diye, bir işaret kaynağı tarafından girişine uygulanan gücü, çıkış uçlarına bağlanan bir yüke kuvvetlendirerek veren devrelere diyoruz. Kuvvetlendiricilerin gerçekleştirilemesinde bir doğru akım kaynağından sağlanan akımı, girişine uygulanan işaretle kontrol etme özelliğine sahip olan elemanlardan (örneğin tranzistorlardan) yararlanılır. Kontrol işaretinin elemanın girişinde harcadığı güçe *giriş gücü* ve çıkışta, yük empedansında harcanan güçte meydana gelen değişime de *çıkış gücü* denir. Çıkış gücü ile giriş gücü arasındaki oran kuvvetlendiricinin *güç kazancı* dir. Özellikle büyük güçlü kuvvetlendiricilerde önemli olan bir devre özelliği de çıkış gücü ile doğru akım besleme kaynağından çekilen toplam gücün oranı olarak tanımlanan *verim* dir.



Sekil 4.1. Bir kuvvetlendiricinin doğru akım besleme kaynağı ile birlikte blok şeması.



Sekil 4.2. Bir 4-uçu olarak kuvvetlendirici.  $V_1$  ve  $I_1$  devrenin giriş gerilimi ve akımı,  $V_2$  ve  $I_2$  ise çıkış gerilimi ve akımıdır.

Sekil 4.1. de bir kuvvetlendirici doğru akım besleme kaynağı, girişteki işaret kaynağı ve yük direnci (daha genel olarak; yük empedansı)

ile, blok olarak gösterilmiştir. Yukarda da dephinildiği gibi aslında çıkış gücü doğru akım besleme kaynağından sağlanmakta ve bu, işaret kaynağı ile kontrol edilmektedir. Fiziksel gerçek böyle olmakla beraber devreyi sadece bir çift giriş ucu ve bir çift çıkış ucu olan bir 4-uçlu (2-kapılı) olarak ele alıp incelemek de kabildir (Şekil 4.2.). Bu bakış açısı özellikle devre içindeki akım ve gerilim değişimlerinin küçük olduğu, dolayısı ile kontrol elemanlarının lineer 4-uçlu parametreleri ile temsil edilebilediği durumlarda, bilinen lineer devre analizi yöntemlerini kolayca uygulamaya imkân verdiği için elverişlidir.

Bir kuvvetlendiricinin temel özelliği *güç kazancı sağlama* olmakla beraber birçok hallerde devrenin *gerilim kazancı* (yani çıkış geriliminin giriş gerilime oranı) daha önemlidir. Bazen de *akım kazancı* devrenin kullanıldığı amaç açısından daha önemli olur. Bu gibi hallerde kuvvetlendiriciye *gerilim kuvvetlendiricisi* yahut *akım kuvvetlendiricisi* adı verilir. Uygulamada gerilim kuvvetlendiricileri en çok kullanılan devrelereidir.

Şekil 4.2. deki kuvvetlendiricinin gerilim kazancı, tanım gereği,

$$K_V = V_2 / V_1$$

ve akım kazancı

$$K_I = I_2 / I_1$$

$$K_V \cdot K_I$$

dir. Güç kazancı da  $R_1$  kuvvetlendiricinin giriş direncini göstermek üzere

$$\begin{aligned} K_G &= P_2 / P_1 = \frac{V_2^2}{R_y} / \frac{V_1^2}{R_1} \\ &= I_2^2 \cdot R_y / I_1^2 \cdot R_1 \\ &= V_2 \cdot I_2 / V_1 \cdot I_1 \\ &= K_V \cdot K_I \end{aligned} \quad (4.1)$$

dir. Yükün saf bir direnç değil bir  $Z_y$  empedansı, yahut  $Y_y$  admitansı kuvvetlendiricinin giriş admitansının da  $Y_1$  olması halinde güç kazancı

$$K_G = |V_2|^2 \cdot R_e \{Y_y\} / |V_1|^2 \cdot R_e \{Y_1\} \quad (4.2)$$

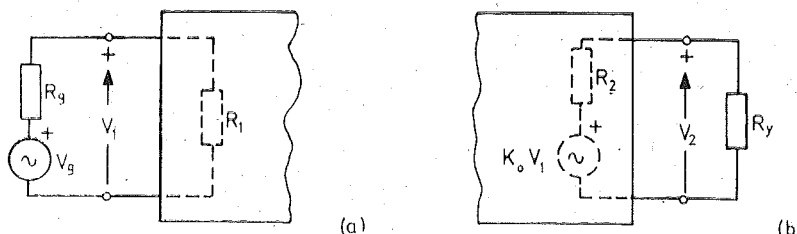
bağıntısı ile hesaplanır.

Bir kuvvetlendiricinin davranışını belirlemek için sadece kazançlarının bilinmesi yeterli değildir; *giriş empedansı* ve *çıkış empedansı* da önemlidir. Kuvvetlendiricinin çıkışına normal yükü bağlı iken giriş uçla-

rindan ölçülen empedansa *giriş empedansı* denir. Birçok hallerde, geniş bir frekans aralığında empedans frekanstan bağımsız ve gerçeldir; yani bir dirençtir ve *giriş direnci* adı ile anılır. Kuvvetlendiricinin girişine normal işaret kaynağı (yahut kaynağın iç empedansına eşit bir empedans) bağlı iken çıkış uçlarından ölçülen empedansa da *çıkış empedansı* adı verilir. Bu da frekanstan bağımsız ve gerçel olduğu frekans bandı içinde *çıkış direnci* adı ile anılır.

Bir kuvvetlendiriciden elde edilebilecek en yüksek güç kazancını sağlamak için işaret kaynağının kuvvetlendiricinin girişine ve kuvvetlendiricinin çıkışından yük empedansına güç aktarılmasının en iyi şekilde yapılması gereklidir. Bunun için gerek şart, bilindiği gibi, kaynak iç empedansı ile kuvvetlendiricinin giriş empedansının ve kuvvetlendiricinin çıkış empedansı ile yükün birbirlerinin *eşleniği* olmalarıdır. Kuvvetlendiricinin giriş ve çıkış empedanslarının gerçel (direnç) olduğu frekanslarda en yüksek güç kazancının elde edilebilmesi için kaynak iç direncinin giriş direncine ve yük direncinin çıkış direncine eşit olması gereklidir.

Bir gerilim kuvvetlendiricisinden elde edilebilecek en yüksek gerilim kazancının elde edilebilmesi için işaret kaynağı geriliminin kuvvetlendiricinin girişine aktarılmasında bir gerilim kaybı olmaması gereklidir. Şekil 4.3. (a) dan  $V_1$  giriş gerilimi ile  $V_g$  kaynak gerilimi arasındaki bağıntı yazılırsa



Şekil 4.3. (a) Bir gerilim kuvvetlendiricisinde giriş gerilimi ( $V_1$ ) ve işaret kaynağı gerilimi ( $V_g$ ). Kuvvetlendiricinin giriş direnci  $R_1$  ile gösterilmiştir. (b) Kuvvetlendiricinin çıkış tarafı:  $R_2$  çıkış direncini ve  $K_o V_1$  bağımlı kaynağını kuvvetlendiricinin açık devre çıkış gerilimini göstermektedir.

$$V_1 = V_g \frac{R_1}{R_1 + R_g} \quad (4.3)$$

$$V_1 = V_g \frac{1}{1 + \frac{R_g}{R_1}}$$

elde edilir. Buradan açıkça görüldüğü gibi  $V_1$ 'in alabileceği en büyük değer  $V_g$  dir ve bu değere  $R_1 \gg R_g$  olması halinde erişilebilir.

Kuvvetlendircinin çıkışından elde edilen  $V_2$  çıkış geriliminin mümkün olduğu kadar büyük yapılabilmesi için ise  $R_2 \ll R_g$  olması gerektiği Şekil 4.3. (b) den kolayca görülebilir. Demek oluyor ki iyi bir gerilim kuvvetlendircisinin giriş direncinin kaynak iç direncine göre çok büyük, çıkış direncinin ise yük direncine göre çok küçük yapılması gereklidir.

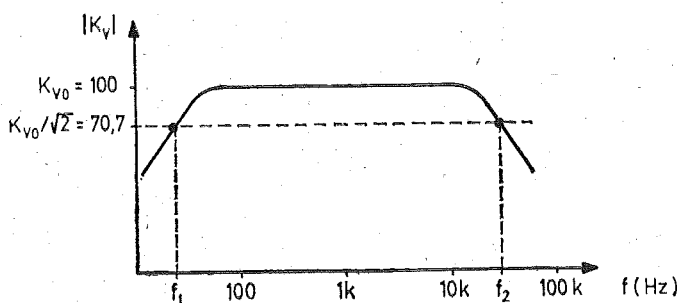
Bir akım kuvvetlendircisinde ise yüksek bir akım kazancı elde edilebilmesi için giriş direncinin girişteki akım kaynağının iç direncine göre çok küçük, çıkış direncinin de yük direncine göre çok büyük yapılması gerektiği kolayca görülebilir.

#### 4.1.1. Frekans Eğrileri.

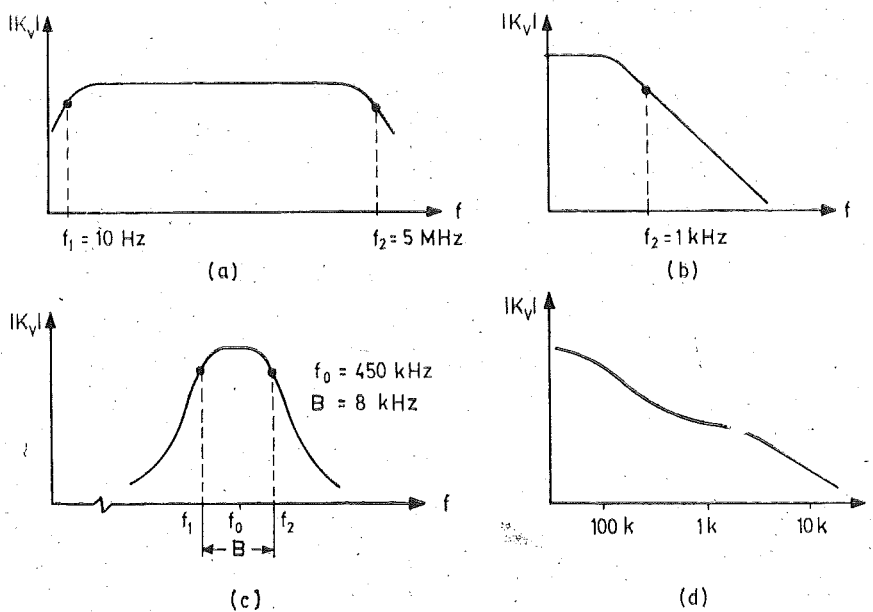
Bir gerilim kuvvetlendircisinin girişine küçük genlikli ve  $f$  frekanslı bir sinüs biçimli gerilim uygulandığını düşünelim. Gerilimin genliği sabit tutularak frekansı değiştirilirse genellikle geniş bir frekans bölgesinde  $V_2$  çıkış gerilimi genliğinin de sabit kaldığı görülür. Daha yüksek frekanslara doğru gidildiğinde genellikle çıkış gerilimi düşer. Benzer bir düşme —kuvvetlendircinin iç yapısına bağlı olarak— alçak frekanslarda da ortaya çıkabilir. Çıkış geriliminin genliğinin (yahut gerilim kazançının modülünü) frekansla değişimini veren grafiğe kuvvetlendircinin *genlik-frekans eğrisi* yahut kısaca *frekans eğrisi* denir. Frekans eğrilerinde yatay eksen frekansa göre genellikle logaritmik olarak taksimatlanır. Kazancın, sabit kaldığı bölgedeki değerinin  $1/\sqrt{2}$  sine düşüğü frekanslara kuvvetlendircinin *alt ve üst kesim frekansları* ve bu iki frekans arasında kalan aralığa *band genişliği* adı verilir.

Kuvvetlendirciler kesim frekanslarına ve band genişliklerine bağlı olarak sınıflandırılırlar. Örneğin işitilebilen frekansları kuvvetlendiren kuvvetlendiricilere *ses frekansi kuvvetlendircileri* denir. Şekil 4.4. de bir ses frekansı kuvvetlendircisine ait frekans eğrisi verilmistir. Genellikle band genişliği ses frekanslarının ötesinde olan kuvvetlendiricilere *geniş bandlı kuvvetlendirciler* adı verilir (Şekil 4.5. a). Kazancı alçak frekanslarda düşmeyen ve  $f=0$ 'a (doğru gerilime) kadar sabit kalan kuvvetlendiricilere *doğru gerilim kuvvetlendircileri* denir (Şekil 4.5. b). Bazı kuvvetlendircilerin yüksek frekans bölgesinde, dar bir band içinde kazanç sağlaması istenir. Bu türden kuvvetlendiricilere de dar bandlı kuvvetlendiriciler yahut daha çok *akordlu kuvvetlendirciler* denir (Şekil 4.5. c). Bazı kuvvetlendircilerde de kazancın frekansla belirli bir şekilde değiş-

mesi istenir. Genellikle ses frekansı devrelerinde kazanç eğrisini elde olmayan bir nedenle bozan bir etkiye karşılamak üzere gerçekleştirilen ya-hut daha önce belirli bir amaçla bozulmuş olan frekans eğrisini tekrar düz hale getirmek için kullanılan bu türden kuvvetlendiriciler de *denkleştirici kuvvetlendirici* yahut *egalizör kuvvetlendirici* adı ile anılırlar (Şekil 4.5. d).

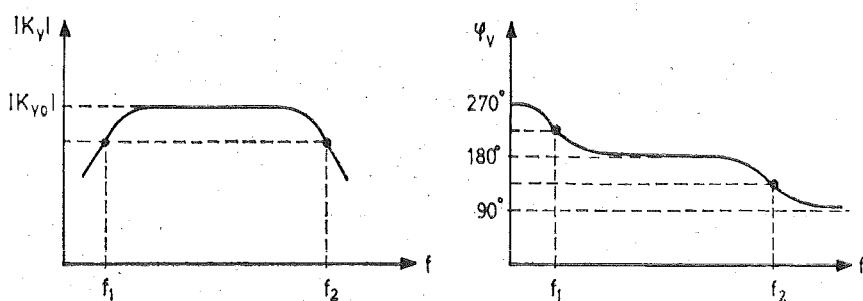


Şekil 4.4. Bir ses frekansı kuvvetlendircisinin frekans eğrisi.  
Alt kesim frekansi  $f_1$ , üst kesim frekansi  $f_2$  ve  
band genişliğii  $B = f_2 - f_1$  dir.



Şekil 4.5. Çeşitli tipten kuvvetlendiricilere ilişkin tipik frekans eğrileri. (a) Genis bandlı kuvvetlendirici, (b) doğru gerilim kuvvetlendirici, (c) akordlu kuvvetlendirici, (d) egalizör kuvvetlendirici.

Bir kuvvetlendiricide çıkış gerilimi ile giriş gerilimi arasındaki faz farkının frekansla değişimini veren grafiğe de kuvvetlendiricinin *faz eğrisi* adı verilir. Bu faz farkı (kazancın faz açısı), modülün sabit kaldığı bölgede ya sıfır, ya da  $180^\circ$  olur. Şekil 4.6. da tek katlı bir kuvvetlendiriciye ilişkin frekans ve faz eğrileri bir arada verilmiştir. Burada faz açısının, alçak ve yüksek frekanslara doğru gidişdikçe orta frekanslardaki değerinden ( $180^\circ$  den) ayıldığı ve  $180^\circ \pm 90^\circ$  değerlerine asimptot olduğu görülmektedir. Faz eğrisinin frekansla değişim biçimini ve uç değerleri kuvvetlendiricinin iç yapısına bağlıdır.



Şekil 4.6. Tek katlı tipik bir kuvvetlendiricinin frekans ve faz eğrileri.

Buraya kadar söylenenlerden, girişi sinyüs biçiminde gerilimle uyarılan bir kuvvetlendiricinin gerilim kazancının

$$K_v(\omega) = |K_v(\omega)| \angle \varphi_v(\omega) \quad (4.4)$$

şeklinde, bir kompleks büyülüklük olarak gösterilebileceği sonucuna varılır. Akım kazancı da benzer şekilde

$$K_i(\omega) = |K_i(\omega)| \angle \varphi_i(\omega) \quad (4.5)$$

olarak ifade edilebilir.  $|K_i|$  ve  $\varphi_i$  nin frekansla değişimlerinin de gerilim kazancı için yapılan benzer şekilde, eğrilerle verilebileceği açıklıdır.

#### 4.1.2. Kuvvetlendiricilerin Art-Arda (Kaskad) Bağlanması.

Bir tek tranzistor (veya triyot tübü v.b.) ile gerçekleştirilen bir kuvvetlendiricinin sağlayabildiği kazanç genellikle yeterli olmaz. Daha yüksek bir kazanç elde edilebilmesi için tek elemanlı kuvvetlendiriciler (kuvvetlendirici katları) birinin çıkışını bir sonra gelen katın girişini besleye-

cek şekilde, art arda (kaskad) bağlanırlar. Şekil 4.7. de görülen n katlı kuvvetlendiricide toplam gerilim kazancı olan  $K_{VT} = V_{n+1}/V_1$  kat kazançları cinsinden kolayca hesaplanabilir :

$$K_{VT} = \frac{V_{n+1}}{V_1} = \frac{V_{n+1}}{V_n} \cdot \frac{V_n}{V_{n-1}} \cdots \frac{V_3}{V_2} \cdot \frac{V_2}{V_1}$$

$$= K_{v1} \cdot K_{v2} \cdot \dots \cdot K_{vn} \quad (4.6)$$

Kat kazançlarından her birinin modülü ve açısı frekansın fonksiyonu olarak

$$K_{vi} = |K_{vi}| \angle \varphi_{vi}$$

seklinde ifade edilirse toplam kazancın modülü ve açısı

$$|K_{VT}| = |K_{v1}| \cdot |K_{v2}| \cdots |K_{vn}|$$

$$\varphi_{VT} = \varphi_{v1} + \varphi_{v2} + \dots + \varphi_{vn}$$

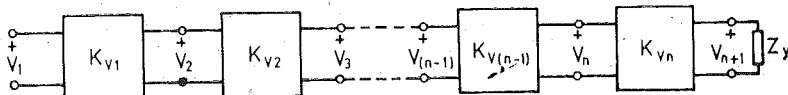
olarak hesaplanabilir.

Benzer sekilde çok katlı bir akım kuvvetlendiricisinde toplam kazancı ;

$$K_{IT} = K_{i1} \cdot K_{i2} \cdots K_{in} \quad (4.7)$$

$$K_{IT} = |K_{i1}| \cdot |K_{i2}| \cdots |K_{in}|$$

$$\varphi_{IT} = \varphi_{i1} + \varphi_{i2} + \dots + \varphi_{in}$$



Şekil 4.7. Gerilim kazançları  $K_{v1}, K_{v2}, \dots, K_{vn}$  olan n tane katın art arda bağlanması ile oluşturulan n katlı kuvvetlendirici. Son katın yükü  $Z_y$ , öteki katların yükleri ise bir sonraki katın giriş empedansıdır.

güç kazancı ise

$$K_{GT} = K_{G1} \cdot K_{G2} \cdots K_{Gn} \quad (4.8)$$

bağıntıları ile hesaplanabilir.

#### 4.1.3. Bağıl Kazanç ve «Desibel» Tanımı.

Birçok hallerde bir gücü bir başka güçe göre logaritmik eşelde bağıl olarak ifade etmek faydalı olur. Kullanılan eşelin birimi «desibel» dir; dB sembolü ile gösterilir ve

$$N (\text{dB}) = 10 \log (P/P_r) \quad (4.9)$$

bağıntısı ile tanımlanır. Özel olarak  $P$  yerine bir kuvvetlendiricinin çıkış gücü ( $P_2$ ),  $P_r$  referans gücü yerine de bu kuvvetlendiricinin giriş gücü ( $P_1$ ) alınırsa

$$N (\text{dB}) = 10 \log (P_2/P_1) = 10 \log K_g \quad (4.10)$$

olur ve kuvvetlendiricinin güç kazancını dB olarak ifade eder. Bu duruma göre, örneğin, girişine uygulanan 10 mW lik bir işaret gücü için çıkışındaki yükle 1 W lik bir güç veren bir kuvvetlendirici için

$$\begin{aligned} 10 \log \frac{P_2}{P_1} &= 10 \log \frac{1000 \text{ mW}}{10 \text{ mW}} \\ &= 20 \text{ dB} \end{aligned}$$

olduğundan, *kuvvetlendiricinin güç kazancı 20 dB dir* yahut *çıkış gücü giriş gücünden 20 dB yüksektir* denir.

*Çıkış gücü giriş gücünden daha küçük olan bir devrede (bir zayıflatıcıda)  $P_2/P_1$  olarak tanımladığımız güç kazancı 1 den küçük olduğundan bunun dB olarak değeri negatif bir büyülüklük olacaktır.*

Giriş direnci  $R_1$ , yük direnci  $R_y$  olan bir kuvvetlendiricide

$$P_1 = \frac{V_1^2}{R_1}, \quad P_2 = \frac{V_2^2}{R_y}$$

olduğundan, dB olarak güç kazancı

$$\begin{aligned} N (\text{dB}) &= 10 \log \frac{P_2}{P_1} = 10 \log \frac{V_1^2/R_1}{V_2^2/R_y} \\ &= 20 \log \frac{V^2}{V_1} + 10 \log \frac{R_1}{R_y} \end{aligned}$$

şeklinde ifade edilebilir.  $R_1=R_y$  özel hali için bağıntı

$$N (\text{dB}) = 20 \log (V_2/V_1) \quad (4.11)$$

olur. Bu duruma göre güç kazancının dB olarak değeri,  $V_2/V_1$  oranı (gerilim kazancı) cinsinden yukarıdaki bağıntı ile bulunabilir. Buna *gerilim kazancının —yahut gerilimler oranının— dB olarak değeri* de denir. Ancak, güç kazancının dB olarak değeri ile gerilim kazancının dB olarak değerinin, güçlerin harcadıkları dirençlerin eşit olması halinde aynı olacakları unutulmamalıdır. Yukarda gerilim kazancı —yahut herhangi bir ge-

rilikler oranı— için çıkartılmış olan bağıntının benzeri, akım kazancı —yahut iki akımın oranı— için de çıkartılabilir:

$$N (\text{dB}) = 20 \log (I_2/I_1)$$

Bu bağıntı ile bulunan N değerinin,  $I_1$  ve  $I_2$  akımları sebebi ile açığa çıkan güçlerin oranından gidilerek bulunan N değerine eşit çıkması yine, dirençlerin eşit olması şartına bağlıdır. Çeşitli akım, gerilim yahut güç oranlarına karşı düşen dB değerleri Şekil 4.8. de bir grafikle verilmüştür.

Desibel tanımı özellikle çok katlı bir kuvvetlendiricinin yahut daha genel olarak, art arda bağlı çok sayıda bölümden oluşan bir işaret iletim dizisinin toplam kazancının hesaplanmasıında yararlı olur. Örnek olarak Şekil 4.7. deki çok katlı kuvvetlendiriciyi göz önüne alalım. Katların güç kazançları sırası ile  $P_2/P_1$ ,  $P_3/P_2$ ,  $P_4/P_3$ , ...,  $P_n/P_{n-1}$  ise toplam güç kazancının

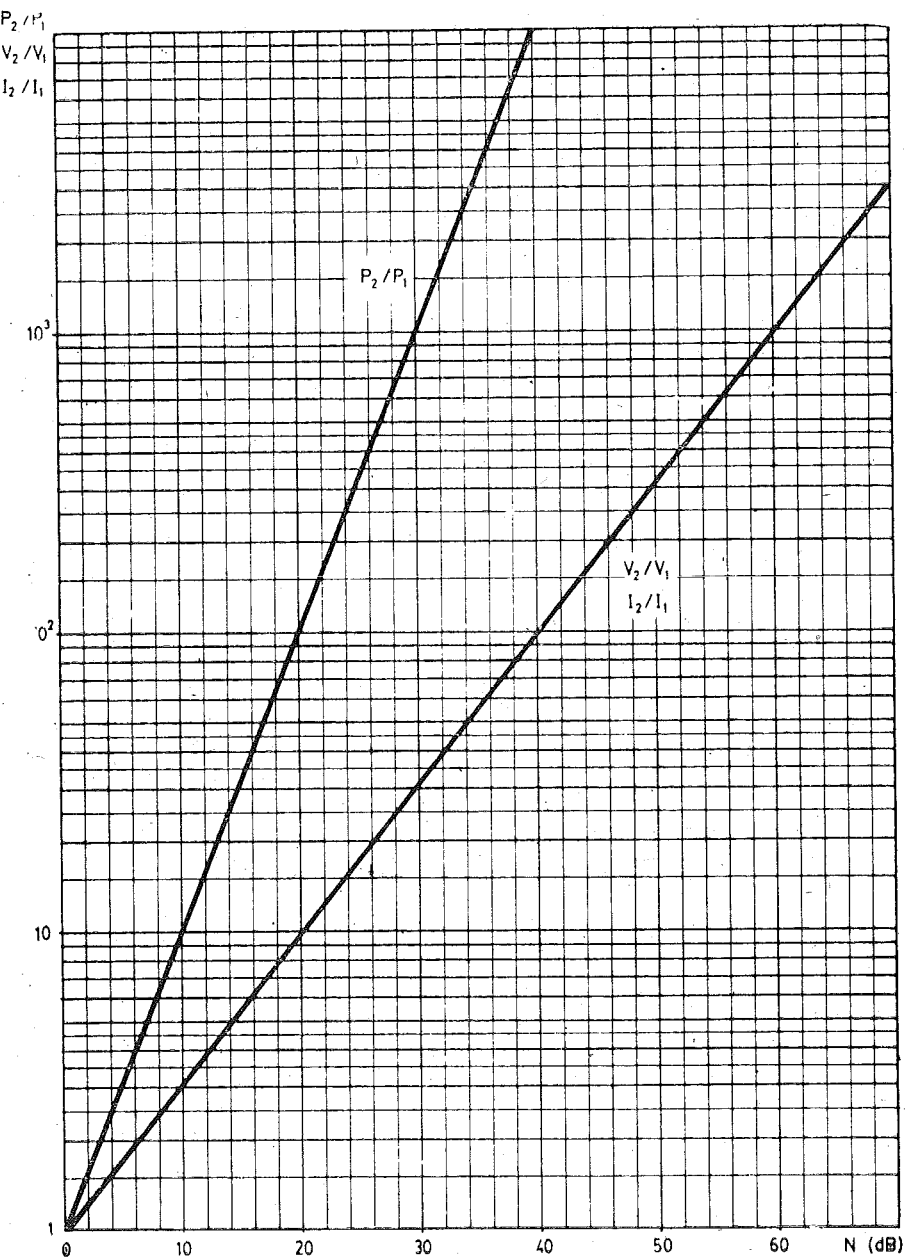
$$K_{GT} = \frac{P_n}{P_1} = \frac{P_2}{P_1} \cdot \frac{P_3}{P_2} \cdot \dots \cdot \frac{P_n}{P_{n-1}}$$

olduğunu biliyoruz.  $K_G$  yi dB olarak ifade etmek istersek

$$\begin{aligned} N_T(\text{dB}) &= 10 \log \frac{P_n}{P_1} \\ &= 10 \log \left( \frac{P_2}{P_1} \cdot \frac{P_3}{P_2} \cdot \frac{P_4}{P_3} \cdots \frac{P_n}{P_{n-1}} \right) \quad (4.12) \\ &= 10 \log \frac{P_2}{P_1} + 10 \log \frac{P_3}{P_2} + 10 \log \frac{P_4}{P_3} + \dots + 10 \log \frac{P_n}{P_{n-1}} \\ &= N_1 + N_2 + N_3 + \dots + N_n \end{aligned}$$

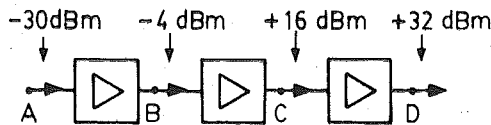
bulunur. Demek oluyor ki çok katlı bir kuvvetlendiricide dB olarak toplam kazanç, kat kazançlarının dB olarak değerlerinin toplamına eşittir. Benzer bağıntılar akım kazancı ve gerilim kazancı için de çıkartılırsa yine aynı sonuç bulunur :

$$\begin{aligned} N_T(\text{dB}) &= 20 \log \frac{V_n}{V_1} \\ &= 20 \log \left( \frac{V_2}{V_1} \cdot \frac{V_3}{V_2} \cdot \frac{V_4}{V_3} \cdots \frac{V_n}{V_{n-1}} \right) \quad (4.13) \\ &= 20 \log \frac{V_2}{V_1} + 20 \log \frac{V_3}{V_2} + \dots + 20 \log \frac{V_n}{V_{n-1}} \\ &= N_1 + N_2 + \dots + N_n \end{aligned}$$



Şekil 4.8. Güç, gerilim ve akım oranlarının dB karşılıkları.

Güçlü bir referans güçe göre dB olarak ifade edilirken, herhangi bir güç referans alınabilir. Ancak, keyfi olarak seçilecek farklı referans güçler kullanmaktan doğacak karışıklığı önlemek amacıyla haberleşme teknliğinde referans güç olarak 1 mW kabul edilmiştir. 1 mW'a göre dB olarak ifade edilen güçler, bu belirli referans gücüne göre ifade edildiklerini belirtmek üzere ayrı bir birimle (dBm) ölçülür. Alçak frekanslarda kullanılan ses ve haberleşme düzenlerinde gerilim referansı olarak da 0,775 V (içinde 1 mW lik bir güç harcanan 600 ohm'luk bir direncin uçları arasındaki gerilim) kabul edilmiştir.(\*) Şekil 4.9. da çok katlı bir kuvvetlendiricinin blok şeması verilmiş ve çeşitli noktalarındaki güç seviyeleri dBm olarak gösterilmiştir. Buna göre katların kazançları sırasıyla 26 dB, 20 dB ve 16 dB, toplam kazanç ise 62 dB dir. Şekil üzerindeki



Şekil 4.9. Çok katlı bir kuvvetlendiricinin çeşitli noktalarındaki işaret seviyeleri.

bilgilerden çeşitli noktalardaki güçlerin gerçek değerleri hesaplanabilir. Örneğin kuvvetlendiricinin girişine uygulanan güç  $-30 \text{ dBm}$ , yani  $1 \text{ mW}$  dan  $30 \text{ dB}$  aşağıdır. Hesaplanırsa,

$$N_A = 10 \log \frac{P_A}{1 \text{ mW}} = -30 \text{ dBm}$$

$$\log \frac{P_A}{1 \text{ mW}} = -3$$

$$\frac{P_A}{1 \text{ mW}} = \frac{1}{1000}$$

$$P_A = 10^{-3} \text{ mW} = 1 \mu\text{W}$$

bulunur. Benzer şekilde çıkış gücü hesaplanırsa

(\*) Uygulamada çeşitli referans seviyeleri ve empedans değerleri için tanımlanmış çok sayıda dB birimi kullanılmaktadır. Bunların dBm den sonra en önemli olanları mikrodalga teknliğinde kullanılan dBW (referans güç seviyesi  $1 \text{ W}$ ) ve video işaretlerinin iletişiminde kullanılan dBmV (referans gerilim seviyesi  $75 \text{ ohm}'un$  uçlarında  $1 \text{ mV}$ ) dur.

$$N_D = 10 \log \frac{P_D}{1 \text{ mW}} = 32 \text{ dBm}$$

$$P_D = 1585 \text{ mW} = 1,585 \text{ W}$$

çikar.

## 4.2. Temel Kuvvetlendirici Devreleri.

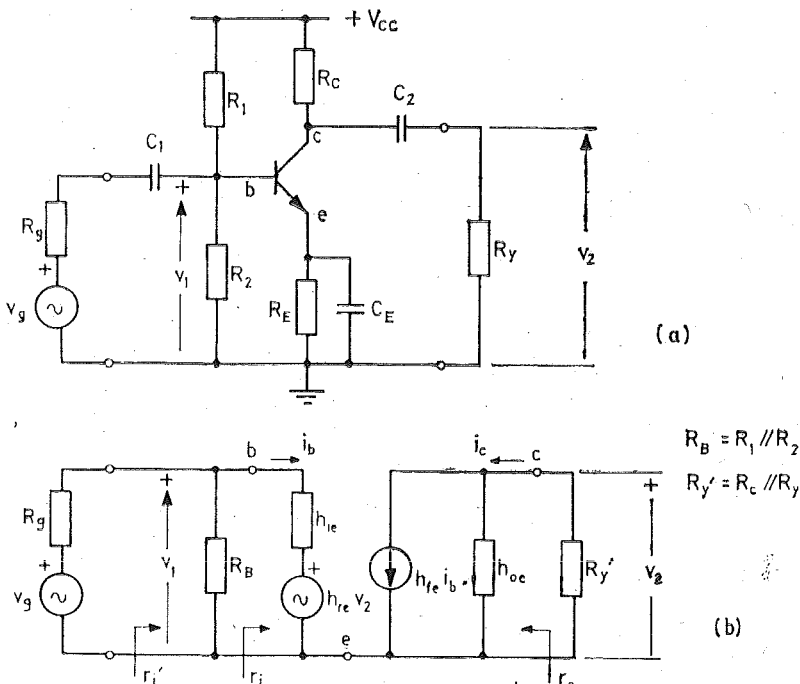
Bipolar tranzistor, alan etkili tranzistor v.b. bir akım kontrol elemanın kuvvetlendiricilerin gerçekleştirilmesinde kullanılabilceklerine daha önce de感恩ilmiş ve Kısım 3.4.3. de bir tranzistordan kuvvetlendirici olarak nasıl yararlanılabileceği kısaca anlatılmıştı. Bu bölümde konu daha ayrıntılı olarak ele alınacak, temel kuvvetlendirici devreleri önemli devre özellikleri bakımından inceleneciktir. Bu incelemelerde kuvvetlendiricilerin kutuplama elemanlarının devre özellikleri üzerindeki etkileri de göz önünde bulundurulacaktır. Devrelerin temel davranışlarının berrak bir şekilde kavranabilmesi için elemanların, yüksek frekanslarda etkili olmaya başlayan elektrodlar arası kapasiteleri ihmal edilecek, bağlama ve köprüleme kondansatörlerinin ise değişken işaretler bakımından (en alçak frekanslı bileşenler için bile) kısa devre sayılabilcek kadar büyük kapasiteli oldukları kabul edilecektir. Devre özelliklerinin frekansa bağlı olarak değişimleri ilerde, Bölüm — 5 de de ele alınmıştır.

### 4.2.1. Ortak Emetörlü Devre.

Tranzistorlu temel kuvvetlendirici katları arasında en çok kullanılan giriş ucu baz, çıkış ucu kolektör, giriş ve çıkış için ortak ucu emetör olan ve *ortak emetörlü devre* (yahut emetör montajı) adı ile anılan devredir. Bu devre tipinin önemli özelliği, giriş ve çıkış dirençlerinin, art arda bağlama halinde yüksek bir kat kazancı elde etmeye elverişli olmalarıdır.

Şekil 4.10. (a) da tipik bir ortak emetörlü kuvvetlendirici devresi kutuplama elemanları ( $R_1$ ,  $R_2$ ,  $R_E$  ve  $C_E$ ) ile birlikte verilmiştir. Kuvvetlendirilecek değişken gerilimi üreten  $v_s$  işaret kaynağı devrenin girişine  $C_1$  bağlama kondansatörü ile bağlanmıştır. Çıkışa  $C_2$  bağlama kondansatörü ile bağlanmış olan  $R_y$  direnci ise ya bir sonraki kuvvetlendiricinin giriş direncini ya da kuvvetlendirilmiş işaretin kullanılacağı elemanı (örneğin bir ölçü aletini yahut dönüştürücüyü) temsil eder.

Devrenin küçük genlikli değişken işaretler bakımından eşdeğeri Şekil 4.10. (b) de verilmiştir. Bu eşdeğer devre çizilirken:



Şekil 4.10. (a) Tipik bir ortak emetörlü kuvvetlendirici devresi, (b) Kuvvetlendiricinin küçük genlikli değişken işaretler bakımından eşdeğeri.

- Tranzistorun yerine h eşdeğer devresi konulmuştur (eşdeğer devredeki h parametrelerinin değerleri,  $R_1$ ,  $R_2$ ,  $R_E$ ,  $R_C$  ve  $V_{CC}$  nin birlikte belirledikleri Q çalışma noktasına ilişkin parametre değerleridir!)
- Bağlama ve köprüleme kondansatörleri değişken işaretler bakımından kısa devre kabul edilmişlerdir.
- $V_{CC}$  doğru akım besleme kaynağı, iç direnci genellikle çok küçük olduğu için, değişken işaretler bakımından kısa devre kabul edilmiştir. Bu nedenle  $R_1$  ve  $R_2$  baz böülübü dirençleri, bunların paralel eşdeğeri olan  $R_B$  direnci ile,  $R_C$  ve  $R_y$  dirençleri de  $R_y'$  direnci ile temsil edilmiştir.

Kuvvetlendiricinin küçük genlikli değişken işaretler bakımından önemli özellikler;

Girişten çıkışa gerilim kazancı :

$$K_v = \frac{v_2}{v_1} = \frac{-h_{fe} \cdot R_y'}{h_{ie} + [\Delta h_e] \cdot R_y'} \quad (4.14)$$

Tranzistorun baz-emetör giriş direnci :

$$r_i = \frac{v_1}{i_b} = \frac{h_{ie} + [\Delta h_e] \cdot R_y'}{1 + h_{oe} \cdot R_y'} \quad (4.15)$$

Tranzistorun kolektör-emetör çıkış direnci :

$$r_o = \frac{v_2}{i_c} = \frac{h_{ie} + R_g'}{[\Delta h_e] + h_{oe} \cdot R_g'} \quad (4.16)$$

bağıntıları ile hesaplanabilir. ( $R_g' = R_g // R_B$  ve  $[\Delta h_e]$ nin değeri 3,59 bağıntılarında da belirtildiği gibi  $h_{ie} \cdot h_{oe} - h_{re} \cdot h_{fe}$  dir). Uygulamada genellikle daha önemli olan kutuplama dirençleri ile birlikte devrenin *toplam giriş direnci* :

$$r_i' = (r_i // R_B) = \frac{r_i \cdot R_B}{r_i + R_B} \quad (4.17)$$

ve kaynaktan çıkışa gerilim kazancı ise

$$K_{vk} = \frac{v_2}{v_g} = \frac{y_1}{v_g} \cdot \frac{v_2}{v_1}$$

$$K_{vk} = \frac{r_i'}{r_i' + R_g} \cdot K_v \quad (4.18)$$

dir.

Tranzistorun  $h_{re}$  parametresinin değerce çok küçük olduğu göz önünde bulundurulursa (4.14) ... (4.16) bağıntıları önemli ölçüde basitleştirilebilir. Gerçekten, esdeğer devre  $h_{re} \cdot v_2$  bağımlı kaynağı ihmal edilerek çizilirse (Şekil 4.11.), buradan gerilim kazancı ile giriş ve çıkış dirençleri kolayca hesaplanabilir :

$$v_2 = -h_{fe} \cdot i_b \cdot R \quad , \quad R = R'_y // (1/h_{oe})$$

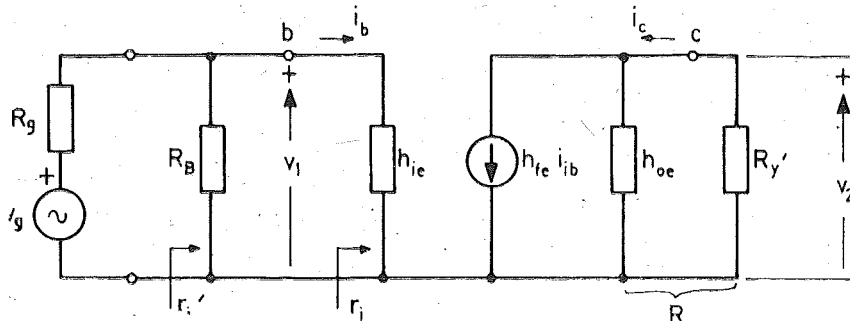
$$v_1 = i_b \cdot h_{ie}$$

$$K_v = \frac{v_2}{v_1} = -\frac{h_{fe} \cdot R}{h_{ie}} \quad (4.19)$$

$$r_i = h_{ie} \quad (4.20)$$

$$r_o = 1/h_{oe} \quad (4.21)$$

Yukardaki bağıntılarda  $h_{ie}$  parametresini tranzistorun fiziksel parametreleri cinsinden ifade eden



Sekil 4.11.  $h_{re}$  nin değerce çok küçük olması göz önünde bulundurularak,  $h_{re} \cdot v_{ce}$  bağımlı kaynağının ihmali edilmesi ile çizilen basitleştirilmiş eşdeğer devre.

$$h_{ie} \approx h_{fe} \cdot r_e \quad (3.73)$$

bağıntısı kullanılırsa

$$K_v = -\frac{h_{fe} \cdot R}{h_{fe} \cdot r_e} = -\frac{R}{r_e}$$

ve genellikle  $1/h_{oe} \gg R_y'$  eşitsizliğinin gerçekleştiği göz önünde bulundurularak  $R = R_y'$  yazılırsa

$$K_v \approx -R_y'/r_e \quad (4.22)$$

bulunur. Bu çok basit kazanç bağıntısının payı, tranzistorun çıkışına paralel gelen toplam paralel dirençten, paydası ise sükünetteki emetör doğru akımına bağlı olarak

$$r_e \approx V_T/I_{EQ} \quad (3.64)$$

bağıntısı ile hesaplanabilen  $r_e$  direncinden ibarettir.

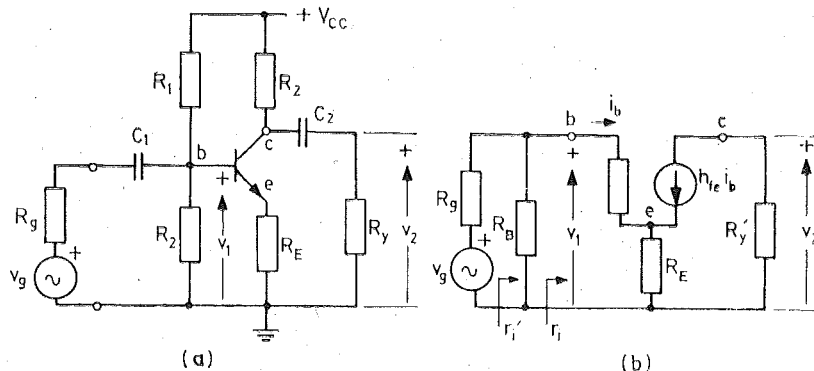
Gerek (4.22) bağıntısı, gerekse (4.20) ve (3.73) bağıntılarının verdiği

$$r_i \approx h_{fe} \cdot r_e \quad (4.23)$$

giriş direnci bağıntısı tranzistorlu kuvvetlendiricilerin yaklaşık analizinde çok kullanılan, basit bağıntılardır. Tranzistorlar için kataloglarda verilen parametre değerlerinin toleransları genellikle çok yüksek olduğundan, aslında, yaklaşık olmayan bağıntıların kullanılması ile yapılan hesaplar da çoğu zaman gerçeğe uygun sonuçlar vermez (Problem 4, 5 ve 6 ya bakınız). Bu da (4.22) ve (4.23) bağıntılarının çok kullanılmasının bir başka nedenidir.

#### 4.2.2. Emetör Direnci Köprülenmemiş Ortak Emetörlü Devre.

Şekil 4.10. (a) da verilmiş olan ortak emetörlü devrede  $R_E$  direncini köprüleyen  $C_E$  kondansatörü açık devre edilirse devre özellikleri üzerinde bazı önemli ve genellikle olumlu yönde değişiklikler ortaya çıkar. Bu nedenle Şekil 4.12. (a) daki emetör direnci köprülenmemiş ortak emetörlü



Şekil 4.12. (a) Emetör direnci köprülenmemiş ortak emetörlü devre. (b) Basitleştirilmiş eşdeğer devre ( $h_{re}$  ve  $h_{oe}$  parametreleri sıfır kabul edilmiştir).  $R_y' = R_y // R_c$  ve  $R_B = R_1 // R_2$  dir.

devre uygulamada çok kullanılır. Devrenin küçük genlikli değişken işaretler bakımından basitleştirilmiş eşdeğeri Şekil 4.12. (b) de verilmiştir.

Devrenin kazancı Şekil 4.12. (b) den kolayca hesaplanabilir :

$$v_1 = h_{ie} \cdot i_b + (h_{fe} + 1) i_h \cdot R_E$$

$$v_2 = -h_{fe} \cdot i_b \cdot R_y'$$

$$K_v = \frac{v_2}{v_1} = -\frac{h_{fe} \cdot R_y'}{h_{ie} + (h_{fe} + 1) \cdot R_E} \quad (4.24)$$

Genellikle  $h_{fe} \gg 1$  olduğu göz önünde bulundurulur ve  $h_{ie}$  için (3.73) bağıntısı kullanılırsa kazancı

$$K_v \approx -\frac{R_y'}{r_e + R_E} \quad (4.25)$$

bulunur. Bu bağıntı emetör direnci köprülenmiş olan devrenin kazancını ifade eden (4.22) bağıntısı ile karşılaştırılırsa  $C_E$  kondansatörünün bağlanmasıının kazancı küçültüğü görülür. Buna rağmen bu devrenin yay-

gin bir şekilde kullanılmasının nedeni, kazancın küçük olmakla beraber çalışma noktasına bağımlılığının azalmış olmasıdır. Gerçekten her iki devre için kazanç  $r_e$  yerine (3.64) bağıntısı ile verilmiş olan değeri konularak,  $I_{EQ}$  sükünət akımı cinsinden yazılıp  $K_v$  nin  $I_{EQ}$  ya göre bağlı duyarlıları hesaplanırsa emetör direnci köprülenmiş devrede

$$S(K_v, I_{EQ}) = \frac{\frac{dK_v}{K_v}}{\frac{dI_{EQ}}{I_{EQ}}} = 1 \quad (4.26)$$

ve emetör direnci köprülenmemiş devrede

$$\begin{aligned} \frac{dK_v}{K_v} &= \frac{1}{1 + \frac{R_E I_{EQ}}{V_T}} \cdot \frac{dI_{EQ}}{I_{EQ}} \\ S(K_v, I_{EQ}) &= \frac{1}{1 + \frac{V_{EQ}}{V_T}} \end{aligned} \quad (4.27)$$

bulunur. (4.26) bağıntısına göre, emetör direnci köprülenmiş bir devrede  $I_{EQ}$  sükünət akımı ne oranda değişimse kazanç da aynı oranda değişir. Emetör direnci köprülenmemiş bir devrede ise, (4.27) bağıntısına göre, aynı oranda bir  $I_{EQ}$  değişimini için kazançtaki değişim  $(1+V_{EQ}/V_T)$  defa daha küçük olacaktır. Devrede  $R_E \gg r_e$  şartı sağlandığında ise (4.25) bağıntısı

$$K_v \approx -R_y'/R_E \quad (4.28)$$

seklini alır; yani tranzistor parametrelerinden, dolayısı ile çalışma noktasından tamamen bağımsız hâle gelir.

Bir devrede sükünət halindeki  $I_{EQ}$  emetör doğru akımının değişmesi başlıca iki şekilde ortaya çıkabilir: (a) Çevre sıcaklığının yahut  $V_{CC}$  besleme kaynağı geriliminin değişmesi nedeni ile  $I_{EQ}$  nun değişmesi, (b) devrede kullanılan tranzistorun değiştirilmesi halinde,  $h_{FE}$  nin farklı değerde olması nedeni ile  $I_{EQ}$  nun değişmesi. Hangi nedenden kaynaklanırsa kaynaklansın  $I_{EQ}$  nun değişmesinin en önemli devre büyülüğu olan kazanç'ı az etkilemesi daima istenilen, önemli bir özellikle ve emetör direnci köprülenmemiş devre bu nedenle daha çok kullanılır.

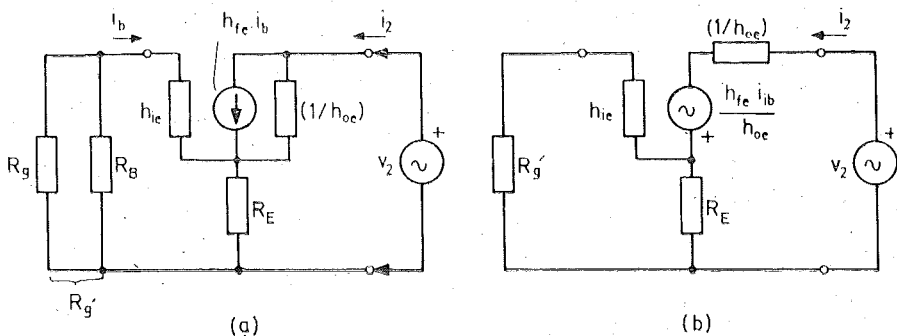
Devrenin  $r_i = v_i/i_b$  giriş direnci de Şekil 4.12. (b) den kolayca hesaplanabilir :

$$r_i = h_{ie} (r_e + R_E) \quad (4.29)$$

Genellikle ıslık kararlılığının iyi olması için büyük  $R_E$  değerleri kullanıldığından, yani  $R_E \gg r_e$  olduğundan, giriş direnci emetör direncinin köprülenmemiş olması haline göre önemli ölçüde büyük olur. Ancak devrenin toplam giriş direnci  $r_i$  den ibaret değildir;  $r_i$  ile  $R_B$  nin paralel eşdeğeridir.  $R_B$  ise ıslık kararlılığının yüksek olması amacı için fazla büyük yapılamaz. Bu nedenle emetör direnci köprülenmemiş kuvvetlendirici devrelerinde  $r_i'$  direncini belirleyen asıl etken  $R_B$  nin değeri olur.

Sekil 4.12. (a) daki devrenin çıkış direnci 4.12. (b) eşdeğer devresinden hesaplanırsa, sonsuz çıkar. Gerçekle bağdaşmayan bu durumun nedeni, tranzistorun  $1/h_{oe}$  çıkış direncinin sonsuz kabul edilmiş olmasıdır. Öyleyse eşdeğer devrenin  $h_{oe}$  ihmali edilmeden, yeniden çizilip çıkış direncinin buradan hesaplanması gereklidir. Sekil 4.13. (a) daki eşdeğer devreye tranzistorun  $h_{oe}$  si de dahil edilmiştir. Ayrıca  $r_o$  çıkış direnci hesaplanacağından girişteki bağımsız gerilim kaynağı kısa devre edilmiş, çıkışta bir  $v_2$  kaynağı uygulanmıştır. Devrenin çıkış direnci  $r_o = v_2 / i_2$  dir. Bu oran  $h_{fe} i_b$  bağımlı kaynağı ve buna paralel  $1/h_{oe}$  direnci yerine gerilim kaynağı eşdeğeri konulursa daha kolay hesaplanabilir (Sekil 4.13. b);

Giriş çevresinden;



Sekil 4.13. Çıkış direncinin hesabında kullanılan eşdeğer devreler.

$$0 = i_b (R_g' + h_{ie} + R_E) + i_2 R_E$$

Çıkış çevresinden;

$$v_2 + \frac{h_{fe}}{h_{oe}} i_b = (i_b + i_2) R_E + i_2 \frac{1}{h_{oe}}$$

ve ara işlemlerden sonra

$$r_o = \frac{1}{h_{oe}} \cdot \frac{(1+h_{fe}) R_E + (R_g' + h_{ie})(1+h_{oe} R_E)}{R_g' + h_{ie} + R_E}$$

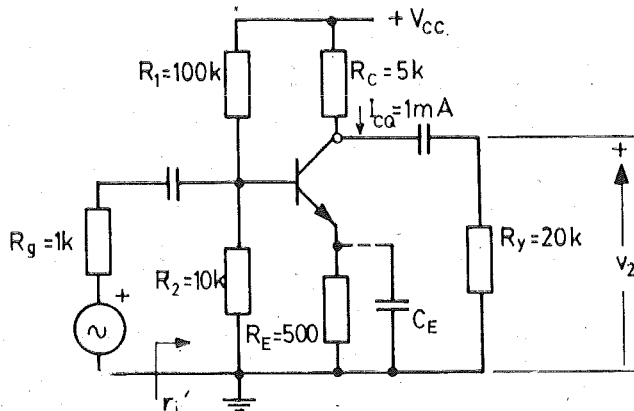
ve genellikle  $1/h_{oe} \gg R_E$ ,  $h_{fe} \gg 1$  olduğu göz önünde bulundurulursa

$$r_o \approx \frac{1}{h_{oe}} \left[ \frac{R_g' + h_{ie} + R_E h_{fe}}{R_g' + h_{ie} + R_E} \right] \quad (4.30)$$

elde edilir.

### Örnek :

Şekil 4.14. deki devrede (a)  $C_E$  köprüleme kondansatörü devrede iken, (b)  $C_E$  kondansatörü devrede yokken, (1)  $r_i'$  giriş direncini, (2)  $K_v$  ve  $K_{vk}$  gerilim kazançlarını ve  $K_v$  nin  $I_{EQ}$  ya duyarlıklarını, (3)  $r_o$  çıkış direncini hesaplayınız.



Şekil 4.14. Tranzistorun bu devredeki çalışma noktası için parametreleri  $h_{FE} \approx h_{fe} = 200$ ,  $h_{ie} = 5$  k ohm,  $h_{oe} = 20 \mu S$  ve  $h_{re} \approx 0$  olarak verilmiştir.

(a1)  $C_E$  devrede iken  $r_i'$  giriş direnci (4.20) bağıntısına göre  $h_{ie}$ , 5 k ohm'dur.  $r_i'$  direnci  $r_i$  ile  $R_B$  nin (yani  $R_1$  ile  $R_2$  nin paralel eşdeğeriinin) paralel eşdeğeridir. Buradan,

$$R_B = \frac{R_1 R_2}{R_1 + R_2} = 9,1 \text{ k ohm}$$

$$r_i' = \frac{R_B \cdot r_i}{R_B + r_i} = 3,23 \text{ k ohm}$$

bulunur.

(a2)  $K_v$  gerilim kazancı (4.19) bağıntısından hesaplanabilir. Bağintıdaki R direnci tranzistorun çıkış direnci ( $r_{oe} = 1/h_{oe} = 50$  k ohm) ile  $R_C$  ve  $R_y$  nin paralel eşdeğeri, yani

$$R = \frac{r_{oe} \cdot R_C \cdot R_y}{r_{oe} \cdot R_C + r_{oe} R_y + R_C R_y} = 3,7 \text{ k ohm}$$

dur. Bu değer ve Şekil 4.14. de verilmiş olan parametre değerleri kullanılarak

$$K_v = -\frac{200 \cdot 3,7 \cdot 10^3}{5 \cdot 10^3} = -148$$

bulunur. Kaynaktan çıkışa gerilim kazancı (4.18) bağıntısı yardımcı ile hesaplanabilir :

$$K_{vk} = \frac{3,23 \cdot 10^3}{3,23 \cdot 10^3 + 1 \cdot 10^3} \cdot (-148) = -113$$

$K_v$  nin  $I_{CQ} \approx |I_{EQ}|$  nin değişimlerine karşı bağıl duyarlığı 1 dir. Yani  $I_{CQ}$  ne oranda değişirse  $K_v$  de aynı oranda değişir.

(a3) Emetör direnci köprülenmiş devrenin çıkış direnci  $h_{re}=0$  olduğunda  $1/h_{oe}$  den ibarettir, yani 50 k ohm'dur.

Şimdi  $C_E$  açık devre ikenki devre büyülüklerini hesaplayalım :

(b1) Bu durum için  $r_i$ , (4.29) bağıntısından hesaplanabilir.  $r_e = V_T / |I_{EQ}| = 25$  ohm'dur. O halde

$$r_i = 200 (25 + 500) = 105 \text{ k ohm}$$

yani emetör direnci köprülenmiş olan devrenin 5 k ohm olan  $r_i$  giriş direncine göre önemli ölçüde büyütür. Ancak  $R_1$  ve  $R_2$  buna paralel geldiğinden  $r'_i$  toplam giriş direnci aynı oranda büyük çıkmaz.  $R_1$  ve  $R_2$  nin paralel eşdeğeri  $R_B = 9,1$  k ohm idi. O halde

$$r'_i = \frac{r_i \cdot R_B}{r_i + R_B} = 8,37 \text{ k ohm}$$

olur, yani büyük ölçüde  $R_B$  tarafından belirlenir.

(b2)  $K_v$  gerilim kazancı (4.25) bağıntısından

$$K_v \approx -\frac{4 \cdot 10^3}{25 + 100} = -7,6$$

bulunur. Yani kazanç emetör direncinin köprülenmemiş olması haline göre önemli ölçüde azalmıştır. Ancak bunun  $I_{EQ} \approx I_{CQ} \cdot R_E = 500 \text{ mV}$  ve  $V_T = 25 \text{ mV}$  değerleri kullanılarak hesaplanırsa

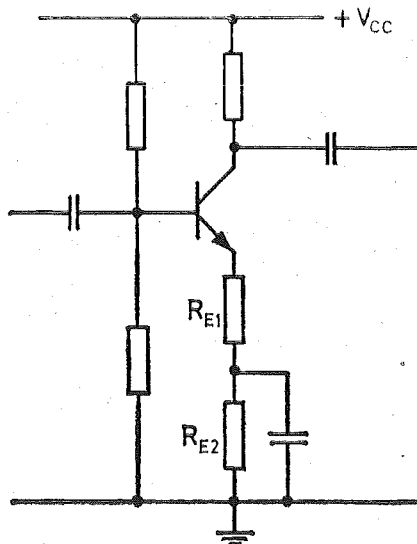
$$S(K_v, I_{EQ}) = \frac{1}{1 + \frac{500}{25}} = 0,047$$

çıkar, yani öteki devreye göre 21 defa daha küçüktür.

$K_{vk}$  kazancı ise yine (4.18) bağıntısı yardımı ile

$$K_{vk} = \frac{8,37 \cdot 10^3}{8,37 \cdot 10^3 + 1 \cdot 10^3} \cdot (-7,6) = -6,79$$

bulunur.



Sekil 4.15. Emetör direncinin bir bölümü köprülenmiş ortak emetörlü kuvvetlendirici.

(b3) Emetör direncinin köprülenmemiş olması hali için çıkış direnci (4.30) bağıntısı ile verilmiştir. Değerler yerine konursa

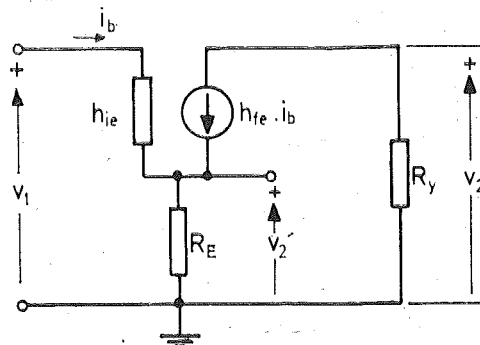
$$r_o \approx 1,61 \text{ M ohm}$$

bulunur; yani tranzistorun çıkış direncine göre önemli ölçüde büyüktür.

Yukardaki örnekte de görüldüğü gibi emetör direncini köprüleyen  $C_E$  kondansatörünün kullanılmaması gerilim kazancının önemli ölçüde küçülmesine yol açar. Özellikle ıslık kararlılığın yüksek olmasını sağlamak amacıyla ile büyük değerli emetör direnci kullanılan devrelerde kazanç aşırı derecede küçülür. Bu durumun önüne geçmenin bir yolu,  $R_E$  direncinin bir bölümünü köprülemektir. Şekil 4.15. de verilmiş olan böyle bir devrede ıslık kararlılık bakımından etkili olan emetör —doğru akım— direnci ( $R_{E1} + R_{E2}$ ) olduğu halde kazanç ve giriş direnci üzerinde etkili olan direnç  $R_{E1}$  den ibarettir.

#### 4.2.2.1. Emetördeki Değişken Gerilimden Yararlanma : Simetrik Çıkışlı Kuvvetlendirici.

Şekil 4.12. deki emetör direnci köprülenmemiş kuvvetlendiricide emetör ucundaki gerilim de giriş gerilimi ile değişen bir gerilimdir. Şekil 4.16. daki eşdeğer devrede  $v_2'$  ile gösterilmiş olan bu yeni çıkış geriliminin  $v_1$  giriş gerilimine bağlı olarak veren bağıntı, yahut  $K_v' = v_2'/v_1$  gerilim kazancı kolayca hesaplanabilir :



Şekil 4.16.  $v_2'$  emetör çıkış geriliminin hesabında kullanılan basitleştirilmiş eşdeğer devre.  $R_E'$ ,  $v_2'$  çıkışına bağlanan değişken işaret yük direnci ile  $R_E$  nin paralel eşdeğerini göstermektedir.

$$v_1 = i_b [h_{ie} + (h_{fe} + 1) R_E']$$

$$v_2' = (h_{fe} + 1) i_b \cdot R_E'$$

$$K_v' = \frac{v_2'}{v_1} = \frac{(h_{fe} + 1) R_E'}{h_{ie} + (h_{fe} + 1) R_E'}$$

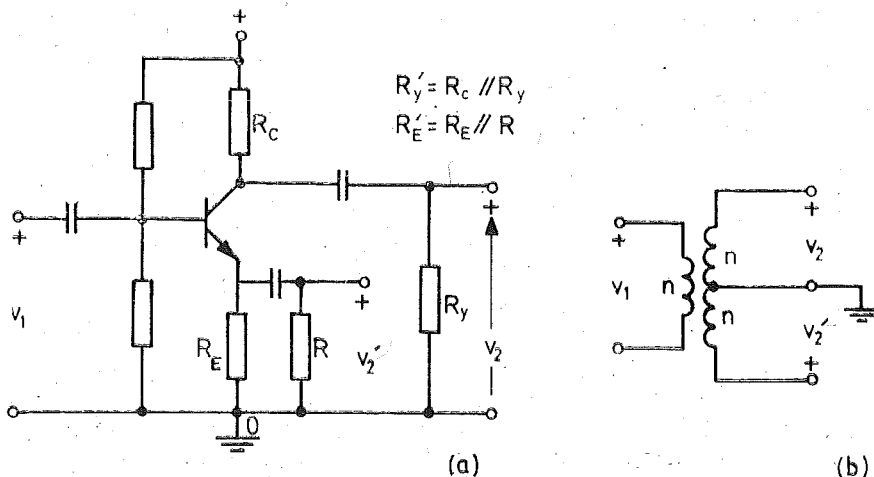
$$K_v' = \frac{1}{1 + \frac{h_{fe}}{(h_{fe} + 1)R_E'}} \quad (4.31)$$

Bu bağlantıda  $h_{fe} = h_{fe} r_e$  eşitliği kullanılır ve  $h_{fe} \gg 1$  olduğu da göz önüne alınırsa

$$K_v' = \frac{1}{1 + \frac{r_o}{R_E}} \quad (4.32)$$

yazılabilir. Görüldüğü gibi kazanç pozitiftir (yani  $v_2'$ ,  $v_1$  ile aynı fazdadır) ve büyüklüğü, genellikle  $R_E' \gg r_e$  olduğundan, yaklaşık olarak 1'e esittir.

Devrede özel olarak  $R_x' = R_y'$  olması sağlanırsa (Şekil 4.17.) :



**Şekil 4.17.** (a) Simetrik çıkışlı kuvvetlendirici,  $R_y' = R_E'$  yapılrsa zıt fazda olan  $v_2$  ve  $v_2'$  çıkış gerilimleri eşit genlikte olur ve devre (b)deki simetrik çıkışlı transformatör yerine kullanılabilir.

$$K_v = \frac{V_2}{V_1} = -\frac{R_y'}{r_e + R_E'} = -\frac{1}{1 + \frac{r_e}{R_E'}} = -1 \quad (4.33)$$

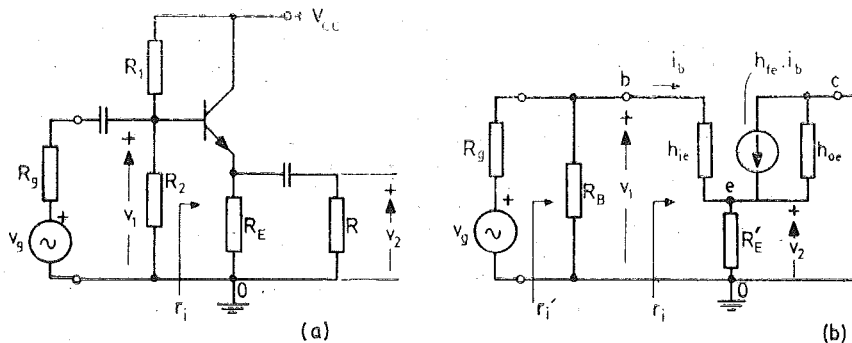
$$K_v' = \frac{v_2'}{v_1} = \frac{1}{1 + \frac{r_e}{R_E}} = +1$$

olur. Yani devre bir  $v_1$  giriş geriliminden eşit genlikli fakat zıt fazda iki işaret elde etmek için kullanılabilir.

#### 4.2.3. Emetör Çıkışlı Devre.

Elektronik devrelerinde en çok kullanılan kuvvetlendirici türlerinden biri de Şekil 4.18 (a) da verilmiş olan emetör çıkışlı devre'dir.  $R_C=0$  olduğu yani kolektör değişken işaretler bakımından toprak (referans) noktası ile aynı potansiyelde bulunduğu için devreye *ortak kolektörlü devre* yahut *kolektör montajı* adı da verilir.

Emetör çıkışlı kuvvetlendiricinin gerilim kazancı ile giriş ve çıkış dirençleri eşdeğer devresinden kolayca hesaplanabilir. Şekil 4.18. (b) de verilmiş eşdeğer devrede  $R_E'$ ,  $R_E$  direnci ile  $R$  yük direncinin paralel eşdeğerini,  $R_B$  de  $R_1$  ile  $R_2$  nin paralel eşdeğerini göstermektedir. Değeri küçük olduğu için sonuç üzerindeki etkisi az olan  $h_{re}$  parametresi, basitlik sağlamak amacıyla sıfır kabul edilmiştir.



Şekil 4.18. (a) İ işaret kaynağına ve  $R$  yük direncine kondansatörle bağlanmış bir emetör çıkışlı kuvvetlendirici. (b) Esdeğer devre.

Eşdeğer devreden, genellikle  $1/h_{re} \gg R_E'$  ve  $h_{fe} \gg 1$  olduğu göz önünde bulundurularak

$$v_1 \approx i_b [h_{ie} + h_{fe} \cdot R_E']$$

$$v_2 \approx h_{fe} \cdot i_b \cdot R_E'$$

yazılabilir. Buradan,

$$K_v = \frac{v_2}{v_1} = \frac{1}{1 + \frac{h_{ie}}{h_{fe} \cdot R_E'}}$$

ve  $h_{ie} = h_{fe} \cdot r_e$  olduğundan

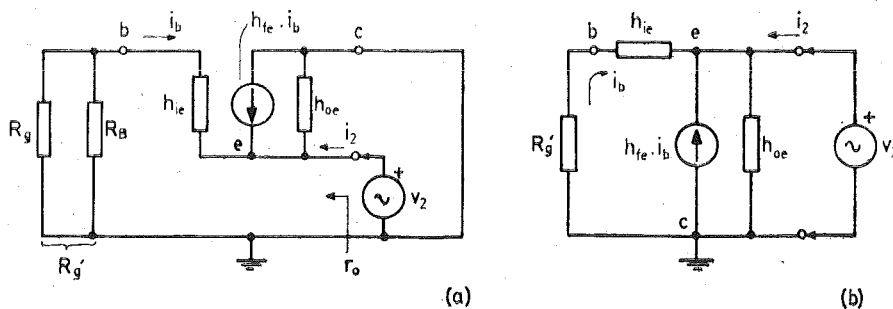
$$K_v = \frac{1}{1 + \frac{r_e}{R_E}} \quad (4.34)$$

giriş direnci için de

$$\begin{aligned} r_i &= v_1 / i_b = h_{ie} + h_{fe} \cdot R_E' \\ r_i &= h_{fe} (r_e + R_E') \end{aligned} \quad (4.35)$$

elde edilir.

Devrenin  $r_o$  çıkış direncini hesaplamak için (a) girişteki  $v_a$  gerilim kaynağını sıfır yapmak, (b) çıkış uçları arasına bir  $v_2$  gerilim kaynağı uygulamak ve (c) bu kaynağın akıtacağı  $i_2$  akımını bulmak gereklidir (Şekil 4.19.) :



Şekil 4.19. (a) Emetör çıkışlı kuvvetlendiricinin  $r_o$  çıkış direncinin hesabında kullanılan eşdeğer devre, (b) Devrenin düzenlenlenmiş şekli.

e düğümü için

$$i_b + h_{fe} \cdot i_b - v_2 h_{oe} + i_2 = 0$$

$$i_b (h_{fe} + 1) - v_2 h_{oe} + i_2 = 0$$

dır. Ayrıca  $v_2$  için

$$v_2 = -i_b (R_g' + h_{ie})$$

yazılabilir. Son iki bağıntı yardımı ile  $i_2/v_2$  oranı hesaplanırsa

$$g_o = \frac{i_2}{v_2} = h_{oe} + \frac{1 + h_{fe}}{h_{ie} + R_g'} \quad (4.36)$$

ve  $h_{ie} = h_{fe} \cdot r_e$ ,  $(1 + h_{fe}) \approx h_{fe}$  olduğundan

$$g_o = h_{oe} + \frac{1}{r_e + \frac{R_g'}{h_{fe}}} \quad (4.37)$$

bulunur. Tranzistorun  $1/h_{oe}$  çıkış direnci genellikle  $\left(r_e + \frac{R_g'}{h_{fe}}\right)$  toplamına göre çok büyük olduğundan

$$g_o \approx \frac{1}{r_e + \frac{R_g'}{h_{fe}}}$$

ve çıkış direnci için de

$$r_o \approx r_e + (R_g'/h_{fe}) \quad (4.38)$$

bağıntısı kullanılabilir.

Elde edilen sonuçlar toplu olarak aşağıda özetlenmiştir :

— Emetör çıkışlı devrenin gerilim kazancını veren (4.34) bağıntısına göre kazancın işaret pozitiftir; yani çıkış gerilimi giriş gerilimi ile aynı fazdadır.

— Kazanç daima 1'den küçüktür.  $R_E' \gg r_e$  şartı altında yaklaşık olarak 1'e eşit olur (Pratikte bu şart genellikle oldukça iyi bir şekilde sağlanır).

— Giriş direnci daima  $h_{fe}$  den büyüktür.  $R_E' \gg r_e$  şartı geçerli ise  $r_i$  giriş direnci çok büyük değerler alır (Örneğin  $I_{EQ}=1 \text{ mA}$ ,  $R_E'=10 \text{ k}$ ,  $h_{fe}=200$  için  $r_i \approx 2 \text{ M ohm}$  olur). Bu durumda devrenin  $r_i'$  toplam giriş direncini  $R_B$  belirler.

— (4.38) bağıntısı ile verilebilen çıkış direnci, özellikle  $R_g$  işaret kaynağı iç direncinin fazla büyük olmaması halinde, küçük bir değere sahiptir (Örneğin  $I_{EQ}=1 \text{ mA}$ ,  $R_g=1 \text{ k}$ ,  $R_B=100 \text{ k}$ ,  $h_{fe}=200$  için  $r_o \approx 30 \text{ ohm}$  olur).

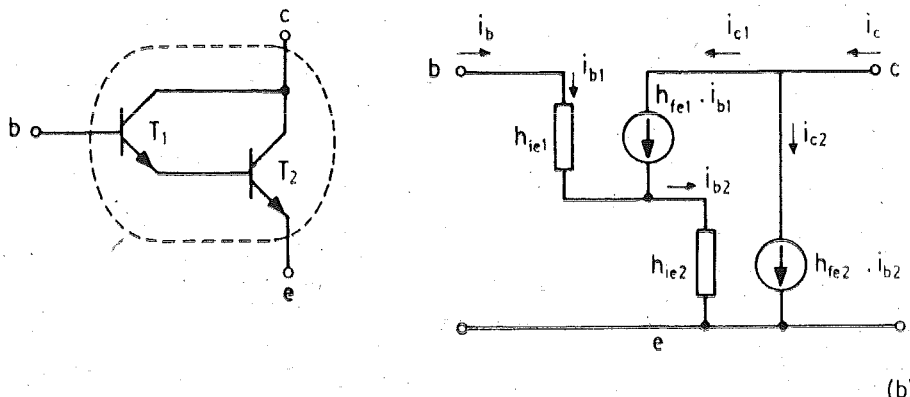
Bu özellikler sebebi ile emetör çıkışlı devre —kendisi gerilim kazancı sağlamamakla beraber— büyük iç dirençli bir gerilim kaynağı ile, küçük giriş dirençli bir kazanç katı (örneğin ortak emetörlü kat) arasında yahut küçük değerli bir yük direnci ile büyük çıkış dirençli bir direnç katı arasında ara kat olarak kullanıldığında, gerilim kazancının yükseltmesini dolaylı olarak sağlayabilir.

#### 4.2.4. Darlington Çifti.

Gerek ortak emetörlü, gerekse emetör çıkışlı kuvvetlendiricilerde tranzistorun bazından görünen  $r_i$  giriş direnci tranzistorun  $h_{fe}$  paramet-

resi ile doğru orantılıdır. Belirli bir devre yapısı için mümkün olduğu kadar yüksek bir giriş direnci elde etmenin bir yolu çok yüksek  $h_{fe}$  li tranzistorlar kullanmaktadır. Günümüzde, gerilim kuvvetlendiricilerinde kullanılan küçük güçlü silisyum tranzistorlarda  $h_{fe}$ , «birkaç yüz» mertebesindedir. Baz genişliği çok küçük olan özel yapılı ve «süper kazançlı» adı verilen tranzistor tiplerinde bu değer «birkaç bin» mertebesinde olabilir. Ancak bunların —baz genişliğinin çok küçük olması nedeni ile— maksimum kollektör-emetör gerilimlerinin 1-2 V gibi çok küçük bir değere sahip olmaları, kullanım alanlarını önemli ölçüde sınırlar.

Yüksek  $h_{fe}$  elde etmenin ikinci bir yolu, iki tranzistör Şekil 4.20. (a) da görüldüğü gibi bağlamaktır. Bu şekilde elde edilen üç uçlu elemana *Darlington çifti* adı verilir. Bir «bileşik tranzistor» gibi düşünülebilecek olan çiftin önemli küçük işaret parametreleri Şekil 4.20. (b) deki basit-



Şekil 4.20. Darlington çifti ve basitleştirilmiş esdeğer devresi.

lestirilmiş esdeğer devre yardımcı ile hesaplanabilir.  $T_1$  ve  $T_2$  tranzistorlarının parametreleri  $h_{ie1}$ ,  $h_{fe1}$  ve  $h_{ie2}$ ,  $h_{fe2}$  ile ve çiftin parametreleri de  $h_{ie}$ ,  $h_{fe}$  ile gösterilirse;

$$i_b = i_{b1}$$

$$i_e = i_{c1} + i_{c2}$$

$$i_{b2} = (h_{fe1} + 1) i_{b1}$$

olduğundan

$$v_{be} = i_{b1} h_{ie1} + i_{b2} \cdot h_{ie2}$$

$$v_{be} = i_b [h_{ie1} + (h_{fe1} + 1) h_{ie2}]$$

$$h_{ie} = h_{ie1} + (h_{fe1} + 1)h_{ie2} \approx h_{ie1} + h_{fe1} \cdot h_{ie2} \quad (4.39)$$

$$i_c = i_{b1} h_{fe1} + i_{b2} h_{fe2}$$

$$i_c = i_b [h_{fe1} + (h_{fe1} + 1)h_{fe2}]$$

$$\begin{aligned} h_{fe} &= h_{fe1} + (h_{fe1} + 1)h_{fe2} \approx h_{fe1} + h_{fe1} \cdot h_{fe2} \\ &= h_{fe1}(1 + h_{fe2}) \end{aligned}$$

$$h_{fe} \approx h_{fe1} \cdot h_{fe2} \quad (4.40)$$

elde edilir. Görüldüğü gibi  $h_{fe}$ , çifti oluşturan tranzistorların  $h_{fe}$  lerinin çarpımına eşittir, yani 10.000 mertebesinde  $h_{fe}$  değerleri kolayca elde edilebilir.

Darlington çiftinin  $h_{fe}$  sinin çok yüksek olması nedeni ile çok büyük giriş dirençli emetör çıkışlı kuvvetlendiricilerin, yahut çok büyük giriş dirençli ortak emetörlü kuvvetlendiricilerin gerçekleştirilemesine elverişli olduğu açıklıktır. Ancak böyle devrelerde tranzistorun bazını kutuplamak için kullanılan dirençler bu yüksek giriş direncinden yararlanılmasını engeller.

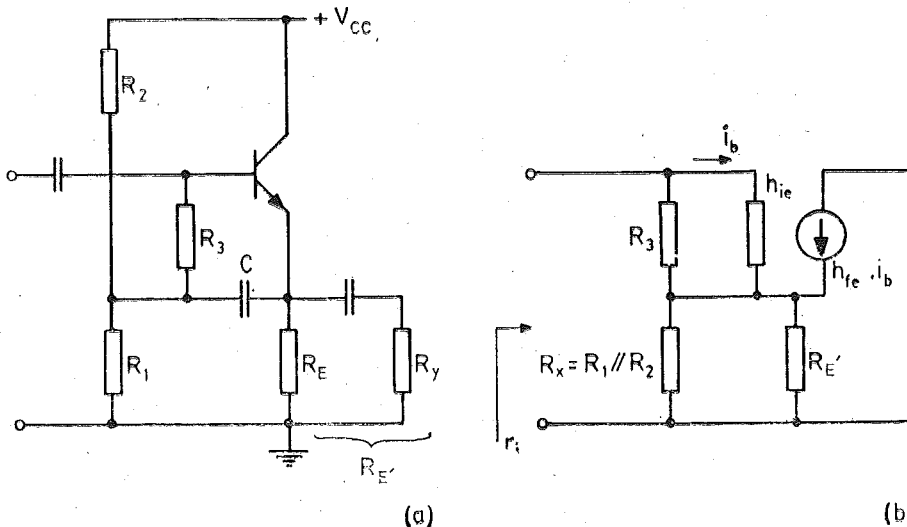
#### 4.2.4.1. Sürükklemeli (Bootstrap) Kutuplama Devresi.

Emetör çıkışlı bir kuvvetlendiricide yahut emetör direnci köprülenmemiş ortak emetörlü bir kuvvetlendiricide tranzistorun bazından görülen direncin

$$r_i = h_{fe} (r_e + R_E') \quad (4.35)$$

bağıntısı ile hesaplanabileceğinin gösterilmiştir. Bu direnç özellikle  $h_{fe}$  nin ve  $R_E'$  nin değerlerine bağlı olarak çok yüksek değerler alabilir. Ne var ki bazla referans arasına paralel gelen  $R_B$  baz kutuplama direnci yüzünden bu özellikten yeterince yararlanılamaz.

Değişken işaretlerin kuvvetlendirilmesinde kullanılan devrelerde bu sorun Şekil 4.21. (a) da görülen devre düzeni kullanılarak çözümlenebilir. Görüldüğü gibi burada  $R_1$  ve  $R_2$  baz bölücü dirençlerinin orta ucu baza doğrudan doğruya bağlanacak yerde bir  $R_3$  direnci üzerinden bağlanmış ve üç direncin birleştiği düğüm, değişken işaretler bakımından kısa devre sayılabilcek kadar büyük kapasiteli bir C kondansatörü ile emetöre bağlanmıştır. Devrenin küçük genlikli değişken işaretler bakımından eşdeğeri Şekil 4.21. (b) de verilmiştir. Bu eşdeğer devrede  $R_E'$  direncine  $R_1$  ile  $R_2$  nin paralel eşdeğeri olan  $R_x$  direncinin,  $h_{ie}$  ye ise  $R_3$  ün paralel



Şekil 4.21. (a) Emetör çıkışlı bir devrenin sürükleme kutuplama devresi.  
 (b) Devrenin küçük genlikli değişken işaretler için eşdeğeri.

geldiği görülmektedir. O halde devrenin giriş direnci eşdeğer devreden hesaplanabilir :

$$r_i = \frac{R_3}{h_{ie} + R_3} \left( h_{ie} + h_{fe} \frac{R_E' \cdot R_x}{R_E' + R_x} \right) + \frac{R_E' R_x}{R_E' + R_x} \quad (4.41)$$

Kutuplama dirençleri ile birlikte toplam giriş direnci olan  $r_i$  nin, aynı  $R_1$  ve  $R_2$  dirençleri ile kurulacak klasik kutuplamalı bir devrenin giriş direncine göre önemli ölçüde büyük olacağı kolayca görülebilir.

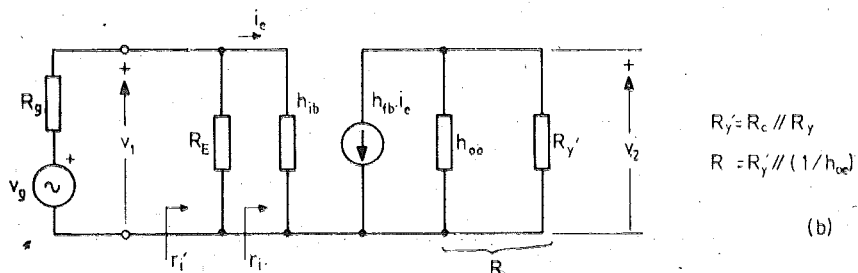
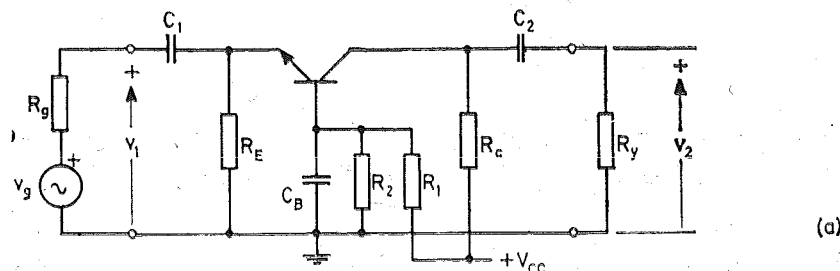
Yukarda incelenen devrede karşılaşılan «giriş direncinin büyümesi olayı»na bir de su açıdan bakmak yararlıdır:

Şekil 4.18. deki gibi baz kutuplaması  $R_1$ ,  $R_2$  dirençleri ile sağlanmış bir devrede giriş düğümüne bağlı olan  $R_B = R_1 // R_2$  direncinin öteki ucu —değişken işaretler bakımından— referansa bağlıdır; dolayısı ile giriş gerilimindeki bir  $v$  değişimi bu dirençten  $v/R_B$  değerinde bir akım akmasına yol açar. Şekil 4.21. (a) daki devrede ise giriş düğümüne bağlı olan  $R_3$  direncinin öteki ucu referansa değil, *gerilimi giriş gerilimi ile birlikte değişen* emetöre bağlıdır. Ideal olarak devrenin bazdan emetöre gerilim kazancı  $+1$  olsa idi  $b$  noktasının gerilimi  $v$  kadar değiştiğinde

e noktasının gerilimi de aynı yönde, v kadar değişecek, dolayısı ile  $R_s$  direncinden bir akım akmayıp —başka bir deyişle—  $R_s$ ün giriş direncini azaltıcı hiçbir etkisi olmayacağındı. Ancak gerçekte bazdan emetöre gerilim kazanrı daima +1 den küçük olduğundan  $R_s$ ün, giriş direnci üzerinde —az da olsa— bir etkisi olur. Burada  $R_s$  direncinin alt ucunun geriliminin b noktasının gerilimi ile birlikte değişmesi (b noktasının gerilimi tarafından sürükleme), devreye *sürükleme kutuplama devresi* adı verilmesine yol açmıştır.

#### 4.2.5. Ortak Bazlı Devre.

İşaret kaynağına ve yüke kondansatörle bağlanmış bir ortak bazlı kuvvetlendirici devresi kutuplama elemanları ile birlikte Şekil 4.22. (a)



Şekil 4.22. (a) Kaynağa ve yüke kondansatörle bağlanmış bir ortak bazlı kuvvetlendirici. Devre Şekil 4.10. (a) ile karşılaştırılırsa doğru akım ve gerilimler, dolayısı ile kutuplama koşulları bakımından aynı olduğu görülür. (b)  $C_1$ ,  $C_2$  ve  $C_B$  nin değişken işaretler bakımından kısa devre sayımları kabulü ile gizlenen eşdeğer devre.

da verilmiştir. Devrenin önemli büyüklükleri tranzistorun  $h_b$  parameteleri cinsinden hesaplanabilir. Ancak  $h_{rb}$  parametresinin çok küçük değerli olması nedeni ile tranzistorun basitleştirilmiş eşdeğer devresinden

yararlanarak giriş ve çıkış dirençleri ile kazanç kolayca ve yeterli doğrulukla hesaplanabilir. Devredeki  $C_1$  ve  $C_2$  bağlama kondansatörleri ile bazı referansa bağlayan  $C_B$  kondansatörünün değişken işaretler için kısa devre sayılabilecek kadar büyük kapasiteli oldukları kabulü ile çizilen Şekil 4.22. (b) deki eşdeğer devreden;

$$v_2 = -h_{fb} i_e \cdot R$$

$$i_e = v_1 / h_{ib}$$

$$K_v = \frac{v_2}{v_1} = -\frac{h_{fb} \cdot R}{h_{ib}} \quad (4.42)$$

bulunur. Ortak bazlı devrede  $h_{fb} \approx -1$  ve  $h_{ib} = r_e$  olduğu göz önünde bulunurursa

$$K_v = R / r_e$$

ve genellikle  $(1/h_{ob}) \gg R_y'$  olduğundan  $R$  yerine  $R_y'$  konularak

$$K_v = R_y' / r_e \quad (4.43)$$

elde edilir. Bu bağıntı ortak emetörlü devre için bulunanın (4.22) bağıntısı ile karşılaştırılırsa, kazancın modülünün aynı olduğu görülür. Yani bir tranzistorun belirli bir d.a. çalışma noktası (yani belirli bir  $r_e$ ) için, belirli bir  $R_y'$  toplam yükü ile sağlayacağı gerilim kazancı ortak bazlı ve ortak emetörlü devreler için aynıdır. Buna karşılık ortak emetörlü devrede kazancın işaretini negatif (giriş ve çıkış değişimleri zıt fazda) olduğu halde ortak bazlı devrede kazancın işaretini pozitif (giriş ve çıkış değişimleri aynı fazda) dir.

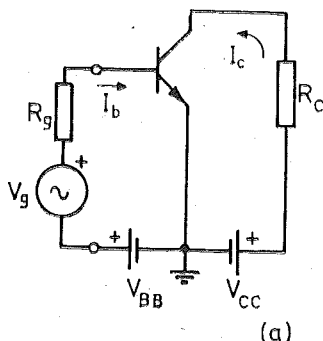
Ortak bazlı devre tranzistorun girişinden çıkışa sağladığı kazanç ortak emetörlü devrenin sağladığı kazanca eşit olmasına rağmen uygulamada ortak emetörlü devreye göre çok az kullanılır. Bunun nedeni, giriş direncinin  $r_e$  den ibaret olması; yani aynı bir tranzistor ve aynı bir çalışma noktası için giriş direncinin ortak emetörlü devreninkinden  $h_{fe}$  defa daha küçük olmasıdır. Durum —devrenin  $r_i'$  toplam giriş direncinin  $r_i$  ile  $R_e$  nin paralel eşdeğeri olduğu göz önünde bulundurularak— (4.18) bağıntısı yardımı ile irdelenirse, pratikte işaret kaynağı iş direnci hiç bir zaman sıfır olmayacağından ortak emetörlü devrenin kazanç bakımından daima daha avantajlı olacağını görüllür.

### 4.3. Kuvvetlendiricilerin Büyüük Genlikli İşaretler İçin Davranışları.

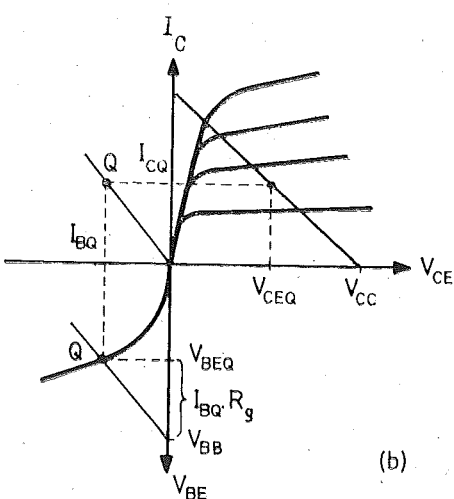
#### 4.3.1. Giriş.

Bir kuvvetlendiricinin çeşitli noktalarındaki akım ve gerilim değişimlerinin genlikleri sükünət akım ve gerilimlerine göre çok küçük kaldığı sürece kullanılabilen küçük işaret parametreleri ve eşdeğer devreler, büyük genlikli değişimler için kullanılamaz. Bu durumda devreler ya grafik yöntemleri yardımı ile, ya da aktif elemanların büyük genlikli değişimler için de geçerli olan non-lineer modellerini (örneğin bipolar tranzistorlar için Ebers - Moll modelini) kullanarak, non-lineer analiz yöntemleri yardımı ile çözülür. Non-lineer çözüm yöntemleri günümüzde bilgisayarlar dan yararlanılarak uygulanmaktadır. Aşağıda verilecek olan grafik çözüm yöntemleri her zaman yeterli doğruluğu sağlayamamakla beraber devrelerin büyük genlikli işaretler için davranışlarını kavramak açısından yararlıdır ve bazı durumlarda, bilgisayar kullanılarak yapılacak çözümler için algoritma üretilmesinde de yararlı olabilir.

Kuvvetlendiricilerin büyük genlikli işaretler için davranışları inceleyirken bağlama ve köprüleme kondansatörlerinin en alçak frekanslı değişken işaretler için kısa devre sayılabilen kadar büyük kapasiteli oldukları, aktif elemanın elektrodlar arası kapasiteleri ile montaj kapasitelerinin de en yüksek frekanslı bileşenler için bile açık devre sayılabilen kadar küçük değerli oldukları kabul edilecektir. Benzer şekilde —varsayı— devredeki transformatörlerin primer endüktansları çok büyük, kaçak reaktansları ve kapasiteleri de çok küçük sayılacaktır.

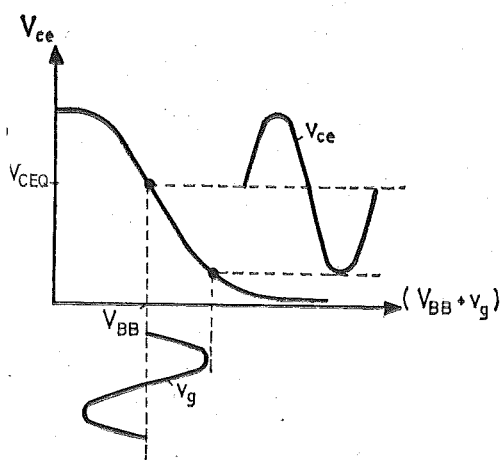
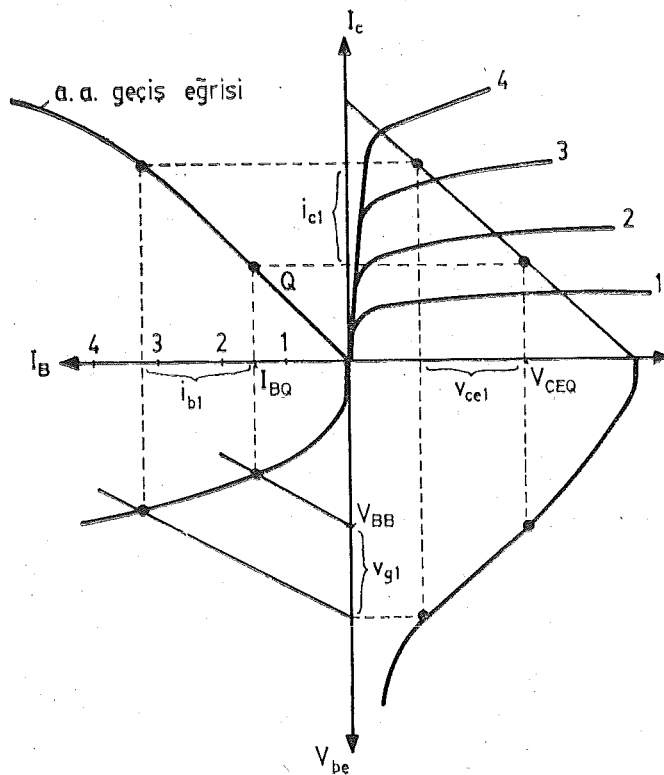


(a)



(b)

**Sekil 4.23. (a) Direnç yüklü ortak emetörlü temel devre. (b) Özegriler üzerinde çalışma noktasının belirlenmesi.**

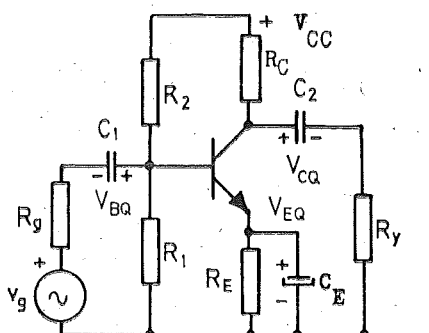


Sekil 4.24. (a) Şekil 4.23.deki devrede kaynak geriliminin  $v_{g1}$  ani değerine karşı düşen  $i_{b1}$ ,  $i_{c1}$  ve  $v_{ce1}$  ani değerlerinin çizim yolü ile bulunması ve böylece  $V_{be}/V_{ce}$  geçiş eğrisinin nokta nokta elde edilmesi, (b)  $v_g$  nin sinüs biçimde değişmesi hali için  $v_{ce}$  çıkış gerilimi değişiminin geçiş eğrisi yardımı ile elde edilmesi.

#### 4.3.2. Direnç Yüklü Ortak Emetörlü Devre.

Ortak emetörlü tranzistorlu kuvvetlendiricilerin büyük işaret davranışlarını incelemek için ilk olarak Şekil 4.23. (a) da verilmiş olan basit temel devreyi göz önüne alalım. Sükünnet halinde, yani  $v_g=0$  için devredeki  $V_{CC}$  ve  $V_{BB}$  kaynakları ile  $R_g$  ve  $R_c$  dirençlerinin belirledikleri çalışma noktaları Şekil 4.23. (b) de, tranzistor özegrilleri üzerinde işaretlenmiştir. Devrede  $V_{BB}$  kutuplama kaynağı ile  $v_g$  doğrudan doğruya seri bağlanmış olduğuna göre belirli bir  $v_g \neq 0$  ani değerine karşı düşen akım ve gerilim değişimleri kolayca bulunabilir. Şekil 4.24. de  $v_g$  nin çeşitli değerleri için uygun aralıklarla çözüm yapılmış ve devrenin  $V_{ce}=f(V_{BB}+v_g)$  giriş-çıkış gerilimleri geçiş eğrisi çıkartılmıştır. Artık bu eğri yardımı ile —ya da istenirse bu eğriye geçmeksizsin, doğrudan doğruya— herhangi bir  $v_g$  giriş gerilimi değişimi için çıkıştan elde edilebilecek değişim bulunabilir.

Aslında pratikte kullanılan bir kuvvetlendiricinin yapısının Şekil 4.23. deki kadar basit olmadığını biliyoruz. Şekil 4.25. de verilmiş olan tipik devre işaret kaynağına ve bir sonraki kata birer kondansatörle bağlanmıştır. Ayrıca devrede kutuplama ve ıslık kararlılık amacı ile kullanılmış olan  $R_1$ ,  $R_2$ ,  $R_E$  ve  $C_E$  elemanları da vardır.

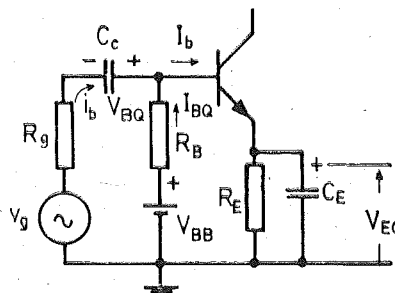


Şekil 4.25. Kaynağa ve yükle kondansatörle bağlanmış tipik ortak emetörlü devre. Sükünette kondansatörlerin uçları arasındaki doğru gerilimler işaretlenmiştir.

Devrenin büyük genlikli işaretler bakımından davranışını yine giriş ve çıkış için ayrı ayrı inceleyip, sonuçları birleştirmek gerekir.

Şekil 4.25. deki devrenin giriş tarafı,  $R_1$ ,  $R_2$  ve  $V_{cc}$  doğru gerilim kaynağından oluşan doğru akım kutuplama düzeni yerine Thévenin es-

değeri konularak Şekil 4.26. daki gibi çizilebilir. Sükünette, yani  $v_g=0$  için  $C_E$  bağlama kondansatörünün uçları arasındaki gerilim, referansa göre,  $V_{BQ}=V_{BB}-R_B \cdot I_{BQ}$  değerindedir.  $C_c$  kondansatörü  $v_g$  değişken işaretinin en alçak frekanslı bileşenleri için kısa devre sayılabilcek kadar büyük kapasiteli olduğundan devrede işaret varken de  $C_c$  nin uçları arasındaki gerilim sükünetteki  $V_{BQ}$  değerini korur. Benzer şekilde, büyük kapasiteli  $C_E$  kondansatörünün uçları arasındaki gerilim de daima sabit kabul edilebilir ve değeri  $V_{EQ} = |I_{EQ}| \cdot R_E \approx I_{CQ} \cdot R_E$  dir.



Şekil 4.26. Ortak emetörlü devrenin giriş akımının doğru ve değişken bileşenleri.

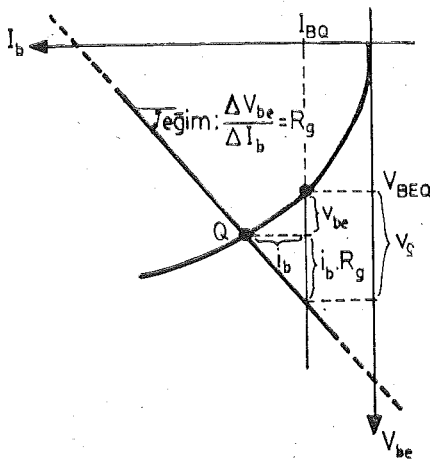
Tranzistorun toplam baz akımı ( $I_b$ ),  $I_{BQ}$  doğru bileşeni ile  $v_g$  kaynağının akıttığı  $i_b$  değişken bileşeninin toplamıdır. Baz-emetör geriliminin toplam ani değeri de  $V_{be}$  ile gösterilirse dış çevreden,

$$\begin{aligned} v_g + V_{BQ} - V_{EQ} &= i_b \cdot R_g + V_{be} \\ v_g &= i_b \cdot R_g + V_{be} - (V_{BQ} - V_{EQ}) \\ v_g &= i_b \cdot R_g + V_{be} - V_{BQ} \end{aligned} \quad (4.44)$$

yazılabilir. Baz emetör geriliminin toplam ani değeri ( $V_{be}$ ) ile sükünet değeri ( $V_{BQ}$ )nın farkının, baz emetör geriliminin *değişken bileşeni* olacağı açıkları. Böylece

$$v_g = i_b \cdot R_g + v_{be} \quad (4.45)$$

elde edilir ki giriş çevriminde akım ve gerilimlerin *değişken bileşenleri* arasında elde edilen bu bağıntıdan giriş özegrisi üzerinde bir Q çalışma noktası belirlenmiş olan bir tranzistorun, iç direnci  $R_g$  olan bir  $v_g$  gerilim kaynağı ile sürülmesi halinde  $i_b$  baz akımının  $v_g$  ile nasıl değişeceğini bulunmasında yararlanılabilir. Çözüm, Şekil 4.27. de gösterilmiştir.



Şekil 4.27. Q noktasında kutuplanılmış bir tranzistorda  $R_g$  iç dirençli işaret kaynağının  $v_g$  anı değerine karşı düşen  $i_b$  baz akımı değişimi anı değerinin çizim yol ile bulunması.

$v_g$  ye bağlı olarak değişimi böylece elde edilen  $i_b$  baz akımı değişiminin kolektör akımını, dolayısı ile kolektör - emetör gerilimi nasıl değiştireceği de çıkış özeğrileri yardım ile bulunabilir.

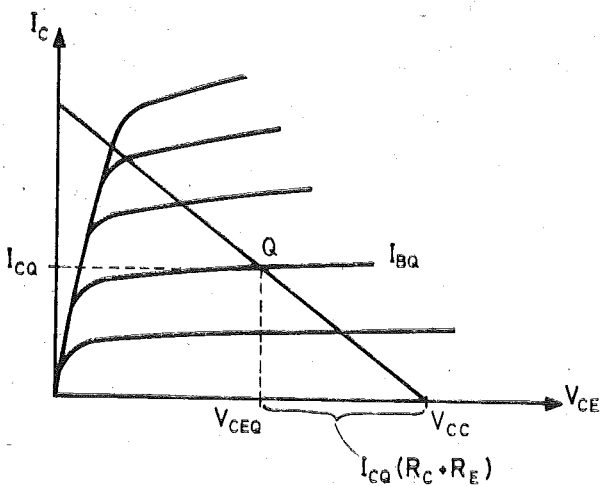
Cıktı tarafında, sükünət halinde

$$V_c \approx I_c \cdot R_c + V_{ce} + V_E$$

bağıntısı vardır.  $|I_{EQ}| \approx I_{CQ}$ , dolayısı ile  $V_{EQ} \approx I_{CQ} \cdot R_c$  olduğundan bağıntı

$$V_c \approx V_{ce} + I_c (R_c + R_E) \quad (4.46)$$

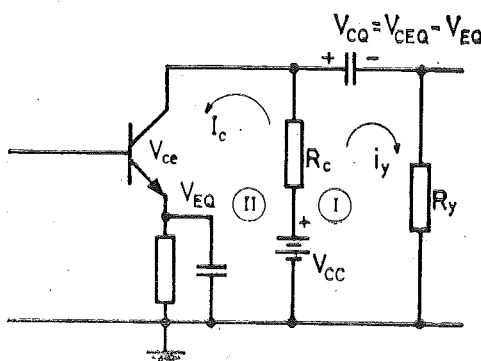
şeklinde yazılabilir. Bu bağıntı çıkış özeğrilerinin çizilmiş olduğu  $V_{ce} - I_c$  düzleminde, eğimi  $(R_c + R_E)$  ile belirli bir doğru belirler. *Doğru akım yük doğrusu* adı verilen bu doğru Şekil 4.28. de tranzistorun çıkış özeğrileri üzerinde çizilmiştir. Akım ve gerilimlerin bu doğru üzerinde hangi değerleri alacağını (yani Q çalışma noktasının yerini) tranzistorun  $I_{BQ}$  baz akımı belirler. Q çalışma noktasına karşı düşen akım ve gerilimler sekil üzerinde  $I_{CQ}$  ve  $V_{CEQ}$  olarak işaretlenmiştir. Bu durumda  $C_2$  bağlama kondansatörünün uçları arasındaki gerilim  $V_{CQ} = V_{CEQ} + V_{EQ}$  dur ve kapaşitenin çok büyük olması halinde, devrede değişken bileşenler varken de gerilimin bu değerde sabit kaldığı kabul edilebilir (Şekil 4.29.).



Sekil 4.28. Sekil 4.25. deki devrede tranzistorun doğru akım yük doğrusu ve çalışma noktası.

Devrenin girişine  $v_g$  işaretini uygulanması halinde kolektör akımının toplam anı değeri  $I_c$  ile ve  $R_y$  yük direncinden akan değişken akım  $i_y$  ile gösterilirse,  $I$  gevresinden

$$V_{cc} - V_{cq} = i_y (R_c + R_y) + R_c \cdot I_c$$



Sekil 4.29. Tranzistorun çıkış tarafında akım ve gerilimler.

II çevresinden de

$$V_{ce} = (V_{cc} - V_{EQ}) - R_C (i_y + I_C)$$

yazılabilir. Bu iki bağıntı kullanılarak ve

$$V_{CQ} = V_{CEQ} + V_{EQ}$$

olduğu göz önünde bulundurularak  $V_{ce}$ ,  $I_C$  einsinden çözülürse

$$V_{ce} = \left[ (V_{cc} - V_{EQ}) \frac{R_y}{R_C + R_y} + V_{CEQ} \frac{R_C}{R_C + R_y} \right] - I_C \frac{R_C \cdot R_y}{R_C + R_y} \quad (4.47)$$

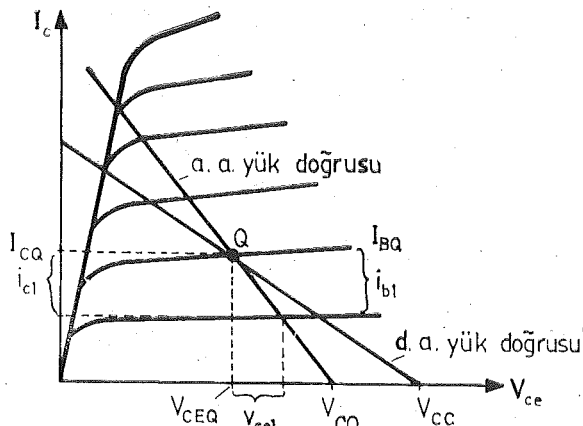
bulunur ki bu  $(V_{ce}, I_C)$  düzleminde  $Q(I_{CQ}, V_{CEQ})$  noktasından geçen, eğimi

$$R_y' = \frac{R_C \cdot R_y}{R_C + R_y} \quad (4.48)$$

direnci ile belirli olan ve yatay ekseni

$$V_{ce} = V_{cc} - I_{CQ} \left( R_E + \frac{R_C^2}{R_C + R_y} \right) = V_{CO} \quad (4.49)$$

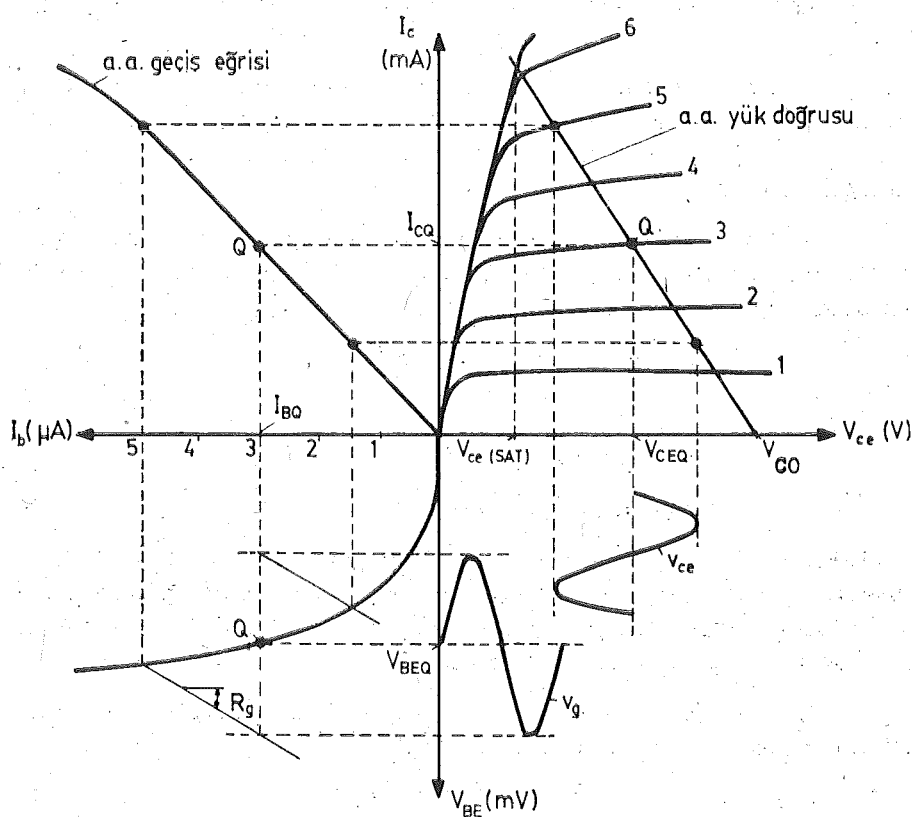
noktasında kesen bir doğru belirler. Devrenin «değişken işaretler için yük doğrusu» adı verilen bu doğru, Şekil 4.30. da, çıkış özeğrileri üzerine, doğru akım yük doğrusu ile birlikte çizilmiştir. Bu doğru ve özeğriler yardımı ile baz akımı değişken bileşeninin bir  $i_{b1}$  ani değeri için kolektör akımının buna karşı düşen  $i_{c1}$  ani değeri ile  $v_{ce1}$  çıkış gerilimi değişimi kolayca bulunabilir.



Şekil 4.30. Tranzistorun alternatif akım yük doğrusu  
Q çalışma noktasından geçen ve eğimi ( $R_C // R_y$ ) ile  
belirli olan bir doğrudur.

Şekil 4.31. de, Şekil 4.27. de verilen çözüm ile Şekil 4.30. da verilen çözüm kombine edilerek iç direnci  $R_g$  olan sinüs biçimli bir  $v_g$  işaret kaynağının çıkışta doğuracağı  $v_{ce}$  değişiminin nasıl elde edileceği gösterilmiştir.

Gördüğü gibi  $V_{ce}$  çıkış gerilimi değişiminin iki yarıperiodun genlikleri eşit değildir; yani sinüs biçimini olan giriş gerilimi çıkışa bozularak ulaşmıştır. Tranzistorun akım-gerilim ilişkilerinin lineer olmaması (eğrisel olması) nedeni ile ortaya çıkan bu bozulmaya *eğrisellik bozulması* (*non-lineer distorsiyon*) adı verilir. Şekilden, kaynak geriliminin genliğinin daha da büyütülmesi halinde çıkış geriliminin pozitif tepelerinde  $V_{co}$  değerinin üzerine çıkamayacağı için, negatif tepelerinde de  $V_{ce(SAT)}$  doyma geriliminin altına düşemeyeceği için tepelerinden *kırılacağı* ko-  
layca anlaşılabilir.



Şekil 4.31. Şekil 4.25. deki tipik devrede sinüs biçimini bir işaret kaynağının geriliminin doğuracağı çıkış geriliminin çizim yolu ile bulunması. (Şekilde yalnızca pozitif ve negatif tepelere ilişkin değerlerin bulunduğu gösterilmiştir. Çıkış dalga şeklini tam olarak elde etmek için peryot boyunca çok sayıda nokta için çözüm yapmak gereklidir).

## P R O B L E M L E R

1 — Ortak emetörlü bir tranzistorlu kuvvetlendirici için  $r_i$  giriş direncinin,  $R_y$  yük direncine bağlı olarak nasıl değişeceğini bulunuz.  $R_y \ll 1/h_{oe}$  şartını gerçekleyen küçük yük direnci değerleri için giriş direncinin yaklaşık olarak  $h_{ie}$  ye eşit olacağını gösteriniz.

2 — Ortak emetörlü bir tranzistorlu kuvvetlendiricide  $K_i$  akım kazancının  $R_y$  yük direncine bağlı olarak nasıl değişeceğini bulunuz.  $R_y \ll 1/h_{oe}$  için akım kazancının yaklaşık olarak  $h_{fe}$  ye eşit olacağını gösteriniz.

3 — Ortak emetörlü bir tranzistorlu kuvvetlendiricide gerilim kazancının (a)  $h_{re}$  parametresi ile, (b) yük direnci ile değişimini inceleyiniz.  $K_v \approx -R_y \cdot h_{fe} / h_{ie}$  yaklaşık bağıntısının hangi şartlar altında kullanılabilceğini bulunuz.

4 — Şekildeki devre, BC 108 B tranzistoru kullanılarak kurulmuştur. Tranzistorun  $I_{CQ}=2$  mA,  $V_{CEQ}=5$  V çalışma noktası için katalogda verilen  $h$  parametreleri

$$h_{ie} = 4,5 \text{ k ohm } (3,2 \dots 8,5 \text{ k ohm})$$

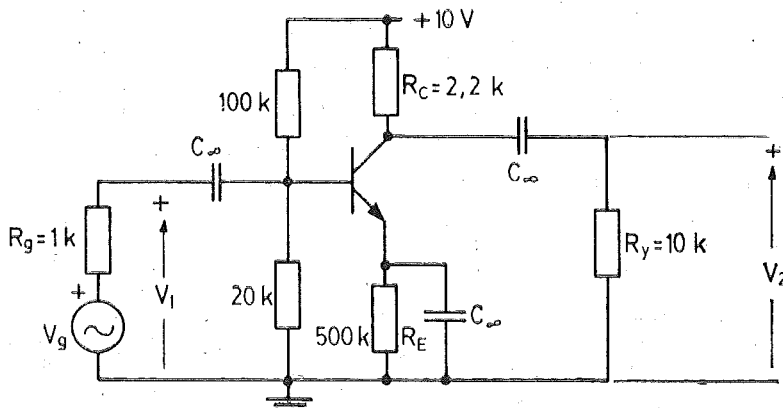
$$h_{re} = 2 \cdot 10^{-4}$$

$$h_{fe} = 330 \text{ (240 ... 500)}$$

$$h_{oe} = 30 (<60) \mu \text{ mho}$$

dur. (Parantez içindeki değerler bu tip tranzistorun belirli bir çalışma noktasında, parametrenin alabileceği en küçük ve en büyük değerleri gösterir. Oldukça yüksek olduğu görülen bu yapım toleranslarının devre tasarımında daima göz önünde tutulması gereklidir.)

- $v_2/v_1$  ve  $v_2/v_g$  gerilim kazancı değerlerini hesaplayınız (Parametrelerin ortalama değerlerini kullanınız).
- Devrenin  $r_i$  giriş direncini hesaplayınız.
- Parametrelerin toleranslarını hesaba katarak  $v_2/v_1$  gerilim kazancının alabileceği en büyük ve en küçük değerleri hesaplayınız.



5 — (a) Yukardaki devrede  $R_E$  ye paralel bağlanmış olan kondansatör devreden çıkartılıyor. Bu durum için  $v_2/v_1$ ,  $v_g/v_1$  ve  $r_i$  yi hesaplayınız (Parametrelerin ortalama değerlerini kullanınız).

(b) Parametrelerin toleranslarını hesaba katarak  $v_2/v_1$  gerilim kazancının alabileceği en büyük ve en küçük değerleri hesaplayınız.

6 — (a) Yukardaki iki problemdeki soruları  $h_{re}=0$  olarak hesaplayınız. Kazanç ve giriş direnci hesabında  $h_{re}$  nin ihmali edilmesinin doğracağı hata ne kadar oluyor?

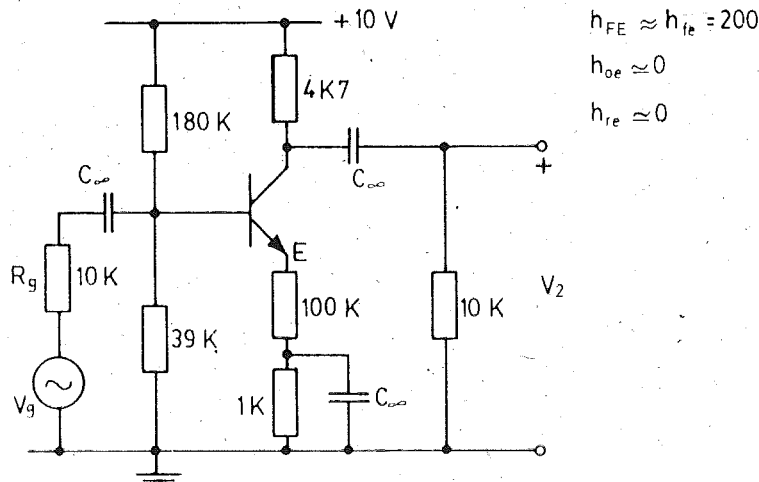
(b) Aynı işleri  $h_{oe}$  yi de ihmali ederek tekrarlayınız.

(c) Bu yaklaşık sonuçları, tranzistor parametrelerinin toleransları hesaba katılarak bulunan sonuçlarla karşılaştırarak yorumlayınız.

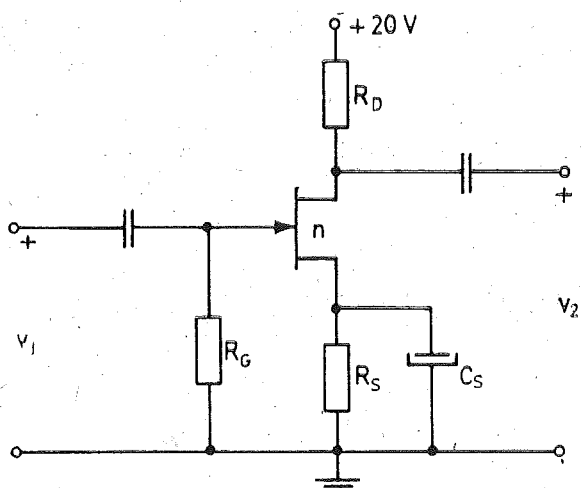
7 — (a) Şekildeki kuvvetlendiricide tranzistorun akım ve gerilimleri ile S ( $I_{CQ}$ ,  $h_{FE}$ ) duyarlığını hesaplayınız.

(b)  $V_g$  tepe değeri 1 mV olan sinüs biçimli bir gerilimdir.  $V_2$  çıkış geriliminin tepe değeri ne kadardır? E noktasındaki gerilimin değişken bileşeninin tepe değeri ne kadardır?

(c) Çıkış işaretinde bir kirpılma olmaksızın girişe uygulanabilecek en büyük işaretin gerilimi genliği ne kadardır?



8 — BF 256 tipi n kanallı FET ile şekildeki devre gerçekleştirilecektir.  $I_{SQ}$  akımının  $R_s$  üzerinde meydana getireceği gerilim düşümünden G-S jonksiyonunu tıkama yönünde kutuplayan gerilim ( $V_{GSQ}$ ) olarak yararlanılacaktır.  $I_s$  nin değişken bileşenlerinin  $V_{GSQ}$  yu değiştirmemesi için  $R_s$ ,



büyük değerli bir  $C_s$  kondansatörü ile köprülenmiştir.  $R_G$  bu gerilimi G ucuna ulaştıran çok büyük değerli bir dirençtir.

- a) Çalışma noktasında  $I_{DQ}=4 \text{ mA}$  olması için  $R_s$  nin değeri ne olmalıdır?
- b) Çıkış geriliminin değişim alanının iki yöne doğru simetrik olması için  $R_D$  nin değeri ne olmalıdır?
- c) Devrenin  $v_2/v_1$  küçük işaret gerilim kazancını çizim yolu ile bulunuz.
- d) Kazancı, önce çalışma noktasındaki parametreleri belirledikten sonra hesap yolu ile bulunuz.

## **5. KONDANSATÖR BAĞLAMALI ÇOK KATLI KUVVETLENDİRİCİLER**

### **5.1. Giriş.**

Tek bir kuvvetlendirici katının sağladığı kazancın yetmemesi halinde katların art arda bağlanması ile kazancın yükseltilmesi yoluna gider. Kuvvetlendirici katları art arda bağlanırken bunların, biribirlerinin doğru akım çalışma şartlarını bozmamaları gereklidir. Kuvvetlendirilecek işaretin bir doğru bileşeninin bulunmaması, yahut işaretin doğru bileşeninin de kuvvetlendirilmesinin gerekli olmaması halinde katları, doğru bileşenleri geçirmeyip değişken bileşenleri geçiren bağlama elemanları ile bağlamak elverişli olur. Bu amaçla kullanabilecek bağlama elemanları kondansatörler ve transformatörlerdir.

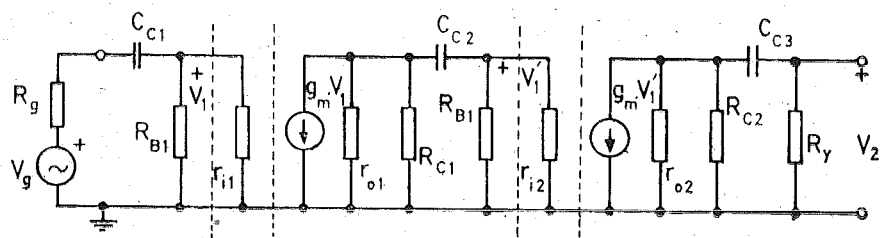
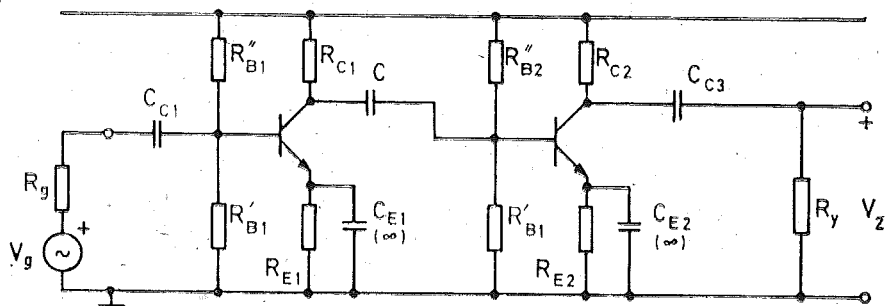
Giriş işaretinin doğru bileşeninin de kuvvetlendirilmesi isteniyorsa katların doğrudan doğruya bağlanmaları gerekeceği açıklıdır. Bu durumda art arda gelen katların doğru akım çalışma şartları biribirlerinden bağımsız olarak belirlenemez; devrenin doğru akım şartları bakımından bir bütün olarak ele alınması gereklidir.

Aşağıda, çok katlı kuvvetlendiricilerin gerçekleştirilebilmesinde kullanılan çeşitli bağlama teknikleri, önemli özellikler ile birlikte, sıra ile ele alınacak ve bu arada frekansa bağlı özellikleri de inceleneciktir.

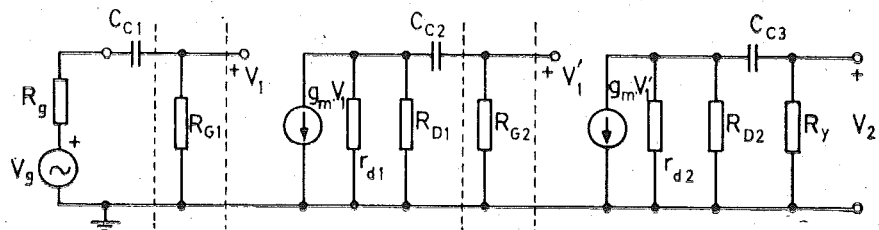
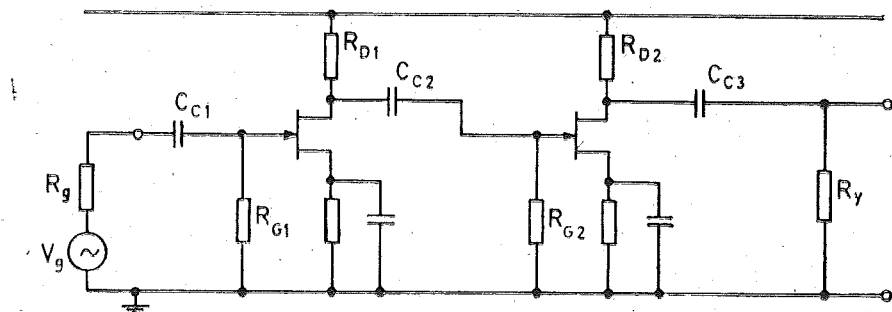
### **5.2. Direnç Yüklü, Kondansatörle Bağlanmış (R-C bağlamalı) Kuvvetlendiriciler.**

Kaskat bağlanan katlar doğru akım çalışma şartları bakımından biribirlerini etkilemediği için en basit ve dolayısı ile en çok kullanılan bağlama şekli, kondansatörle bağlamadır. Katlardan her birinin yalnızca bir dirençle yüklenmiş olması halinde üst kesim frekansını bu dirençlerle bunlara paralel gelen kapasiteler (tranzistor, FET ve tüplerin giriş ve çıkış kapasiteleri ile parazitik kapasiteler) belirler. Alçak frekanslara doğru gidildiğinde, kullanılan bağlama kondansatörlerinin reaktansları büyüyeceğinden bağlamanın etkinliği azalır ve kazanç düşer. O halde alt kesim frekanslarını belirleyen en önemli elemanlar bağlama kondan-

a)



b)



Sekil 5.1. (a) R-C bağılmalı, tranzistorlu iki katlı kuvvetlendirici ve eşdeğer devresi.

(b) FET'li kuvvetlendirici ve eşdeğeri.

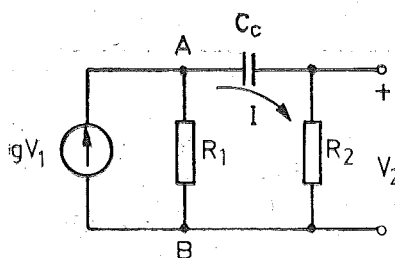
satörleridir. Alçak frekanslarda, bağlama kondansatörlerinden başka emetör (veya katot) direncini köprüleyen (değişken işaretler bakımından kısa devre eden) kondansatörlerin de etkili oldukları ilerde görülecek ve incelenecaktır.

### 5.2.1. Alçak ve Orta Frekanslarda Durum. Bağlama Kondansatörlerinin Etkisi.

Şekil 5.1. a da işaret kaynağına, birbirlerine ve yüke kondansatörle bağlanmış iki kattan oluşan tranzistorlu bir kuvvetlendiricinin şeması ile bunun alçak frekanslardaki eşdeğer devresi verilmüştür. (Sadece bağlama kondansatörlerinin etkisini inceleyebilmek amacıyla emetör direncini köprüleyen kondansatörlerin değeri şimdilik çok büyük kabul edilecektir). Şekil 5.1. b de ise yine kondansatör bağlamalı FET'li (veya tiplü) bir kuvvetlendirici ile bunun alçak frekanslardaki eşdeğer devresi görülmektedir. Her iki devre için de  $V_g$  kaynak geriliminden yükün uçlarındaki  $V_2$  çıkış gerilimine kadar olan toplam gerilim kazancı

$$K = \frac{V_2}{V_g} = \frac{V_2}{V_1'} \cdot \frac{V_1'}{V_1} \cdot \frac{V_1}{V_g} \quad (5.1)$$

şeklinde çarpanlara ayrılabilir. Dikkat edilirse (5.1) bağıntısındaki çarpanlardan herbirine ilişkin devre bölümünün Şekil 5.2. deki temel yapıya sahip olduğu görülebilir. O halde Şekil 5.2. deki devrede  $A = V_2/V_1$  oranının frekansla nasıl değiştiği incelenirse, bulunan sonuçlardan yararlanılarak Şekil 5.1. deki devreler için kazancın frekansla değişim şekli kolayca elde edilebilir.



Şekil 5.2. Şekil 5.1. deki devreye ilişkin birim hücre.

Sekil 5.2. deki devreden

$$V_2 = g V_1 \underbrace{\frac{R_1 \left( R_2 + \frac{1}{sC_e} \right)}{R_1 + R_2 + \frac{1}{sC_e}}}_{V_{AB}} \cdot \underbrace{\frac{1}{\left( R_2 + \frac{1}{sC_e} \right)}}_{I} \cdot R_2$$

$$V_2 = g V_1 \frac{R_1 \cdot R_2}{R_1 + R_2 + \frac{1}{sC_e}}$$

$$A = \frac{V_2}{V_1} = g \frac{R_1 \cdot R_2}{R_1 + R_2} \cdot \frac{s}{s + \frac{1}{(R_1 + R_2) C_e}}$$

ve

$$A_0 = g \frac{R_1 \cdot R_2}{R_1 + R_2} = g \cdot R_e$$

konularak

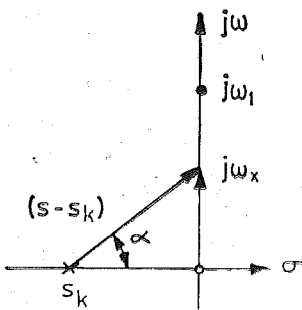
$$A = A_0 \frac{s}{s + \frac{1}{(R_1 + R_2) C_e}} = A_0 \frac{s}{(s - s_k)} \quad (5.2)$$

elde edilir.

Gördüğü gibi A nin  $s=0$  da bir sıfırı ve

$$s_k = -\frac{1}{(R_1 + R_2) C_e} \quad (5.3)$$

değerinde bir kutbu vardır. Devrenin girişine sabit genlikli ve  $\omega$  açısal frekanslı bir  $V_1$  gerilimi uygulandığında A nin (ve dolayısı ile  $V_2$  nin) modülünün ve açısının frekansla nasıl değişeceği A nin sıfır-kutup diyagramı yardımcı ile incelenebilir (Şekil 5.3.). Bir sinüs biçimli işaret kaynağı olan  $V_1$ 'in genliği sabit tutulmak şartı ile frekansının sıfırdan başlanarak sürekli olarak artırılması, Şekil 5.3. deki s düzleminde s değişkeninin  $j\omega$  ekseni üzerinde 0 dan  $+\infty$ 'a doğru kaydırılması demektir.  $\omega$  nin herhangi bir  $\omega_x$  değeri için s fazörü ile  $(s - s_k)$  fazörü Şekil üzerinde işaretlenmiştir. Buna göre A nin  $\omega_x$  için modülü



Şekil 5.3. Birim hücrenin sıfır-kutup diyagramı.

$$\begin{aligned} |A(\omega_x)| &= |A_0| \frac{|s|}{|s-s_k|} \\ &= |A_0| \frac{\omega_x}{\sqrt{\omega_x^2 + |s_k|^2}} \end{aligned}$$

ve açısı

$$\begin{aligned} \varphi(\omega_x) &= \varphi(A_0) + \varphi_{(s)} - \varphi_{(s-s_k)} \\ &= \varphi(A_0) + \pi/2 - \alpha \\ &= \varphi(A_0) + \pi/2 - \operatorname{artg} [\omega_x / |s_k|] \end{aligned}$$

dir. Frekans  $\omega \gg |s_k|$  şartını sağlayanak kadar yüksekse

$$|A(\omega)| = |A_0| \frac{\omega}{\sqrt{\omega_1^2 + |s_k|^2}} \approx |A_0|$$

olur. Bu değerin,  $A$  nin modülüünün alabileceği en yüksek değer olacağı açıkları. Yahut başka bir deyişle,  $\omega \rightarrow \infty$  için  $|A|$  nin  $|A_0|$  değerinde yatay bir asymptotu vardır.  $A$  nin modülüünün, bu değerin  $1/\sqrt{2}$  sine (dB olarak ifade edilirse 3 dB altına) düşüğü frekans, yani  $A$  nin  $\omega_1$  ile göstereceğimiz alt kesim frekansı hesaplanırsa,

$$|A(\omega_1)| = |A_0| \frac{\omega_1}{\sqrt{\omega_1^2 + |s_k|^2}} = |A_0| \cdot \frac{1}{\sqrt{2}}$$

bağıntısından

$$\omega_1 = |s_k| = \frac{1}{(R_1 + R_2) C_0}$$

bulunur. Kesim frekansına göre çok alçak frekanslar için

$$\omega \ll \omega_1$$

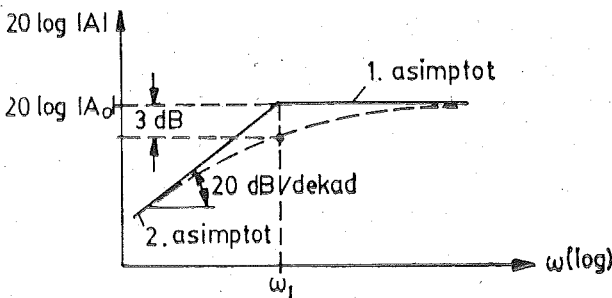
yahut

$$\omega \ll |s_k|$$

olduğundan

$$|A(\omega)| = |A_0| \cdot \frac{\omega}{\sqrt{\omega^2 + |s_k|^2}} \approx |A_0| \cdot \frac{\omega}{|s_k|} = |A_0| \cdot \frac{\omega}{\omega_1}$$

bulunur. Yani  $A$  nin modülü kesim frekansının aşağısında, frekansla orantılı olarak düşer. Frekans eğrilerinde genel olarak frekans ekseni logaritmik olarak taksimatlandırıldığı, düşey eksende ise  $|A|$  nin dB olarak işaretlendiği belirtilmişti. Şimdi frekans eğrisinin böyle bir eksen takımı üzerinde nasıl değişeceğini arayalım.  $\omega \ll \omega_1$  bölgesinde frekans 10 defa azalırsa (başka bir deyişle 1 dekad düşerse)  $|A|$  da 10 defa, yani 20 dB düşer. Bu,  $\omega \ll \omega_1$  bölgesinde,  $|A|$  nin her dekad için 20 dB düşmesi demektir. O halde  $|A|$  nin frekans eğrisinin  $\omega_1$  frekansından aşağıda 20 dB/dekad eğimli bir asimptotu daha vardır. Bulunmuş olan iki asimptotu ve  $\omega = \omega_1$  kesim frekansındaki değeri yardımı ile  $|A|$  nin frekansla değişimi yaklaşık olarak gizilebilir (Şekil 5.4.).



Şekil 5.4. Birim nücreye ilişkin frekans eğrisi.

Devrenin sıfır-kutup diyagramı yardımcı ile  $A$  nin  $\varphi$  faz açısının frekansla değişim şekli de incelenebilir. Şekil 5.3. den

$$\varphi(\omega_x) = \varphi_{(A_0)} + \pi/2 - \alpha$$

yazılabilirdi. Buna göre  $\omega \rightarrow 0$  için  $\alpha \rightarrow 0$

$$\varphi(0) = \varphi_{(A_0)} + \pi/2$$

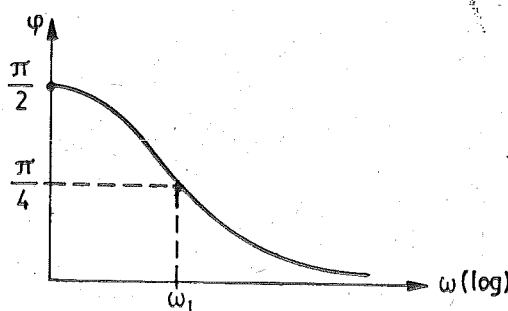
$\omega \rightarrow \infty$  için  $\alpha \rightarrow \pi/2$

$$\varphi(\infty) = \varphi(A_0) + \pi/2 - \pi/2 = \varphi(A_0)$$

$\omega = \omega_1$  için ise  $\alpha = \text{artg } \omega_1 / |s_k| = \text{artg } 1 = \pi/4$

$$\varphi(\omega_1) = \varphi(A_0) + \pi/2 - \pi/4$$

bulunur. Bu bilgilerle  $\varphi(\omega)$  eğrisi yaklaşık olarak çizilebilir (Şekil 5.5.). (Genel halde  $A$  nin frekanstan bağımsız çarpanı olan  $A_0$  pozitif yahut negatif gerçel bir büyüklük olduğundan  $\varphi(A_0)$  ya 0 yahut  $\pi$  dir. Şekil 5.2. deki devre için  $A_0$  pozitif gerçel olduğundan Şekil 5.5. de  $\varphi(A_0) = 0$  alınmıştır.)



Şekil 5.5. Birim hücreye ilişkin faz-frekans eğrisi.

Buraya kadar ulaşılan sonuçları söyle özetleyebiliriz :

Şekil 5.2. deki tipten bir devrede

1. Kazancın modülü yeteri kadar yüksek frekanslar için sabittir.
2.  $\omega_1 = 1/C_e(R_1 + R_2)$  frekansında kazancın modülü, sabit kaldığı bölgedeki (orta frekanslar bölgesindeki) değerinin  $1/\sqrt{2}$  sine (dB olarak ifade edilmek istenirse 3 dB aşağıya) düşer. Bu frekansa kazancın «alt kesim frekansı» denir.
3. Alt kesim frekansında kazancın fazı orta frekanslardaki değerinden  $\pi/4$  radyan ( $45^\circ$ ) daha yüksektir.
4. Alt kesim frekansından daha düşük frekanslarda kazancın modülü, 20 dB/dekadlık bir eğimle düşen bir doğruya asimptot olur.

5. Frékans alt kesim frekansından aşağıya doğru değiştirildiğinde kazancın fazı büyümeye deva mederek  $\omega \rightarrow 0$  için, orta frekanslar bölgesindeki değerinin  $\pi/2$  radyan ( $90^\circ$ ) üstüne ulaşır.

Bu sonuçları Şekil 5.1. a daki devreye uygulayarak devrenin tümü için  $K = V_2/V_g$  gerilim kazancının modülünün ve açısının frekansla değişimi bulalım:

a)  $A_1 = V_2/V_g$  kazancının orta frekanslar bölgesindeki ( $C_{el}$  kondansatörünün kısa devre sayılabilen frekanslardaki) değeri

$$A_{10} = \frac{R_1}{R_g + R_1}, \quad R_1 = (R_{b1}/r_{i1}) = \frac{R_{b1} \cdot r_{i1}}{R_{b1} + r_{i1}}$$

ve bu kazancın kutbu

$$s_{k1} = -\frac{1}{C_{el} (R_g + R_1)}$$

alt kesim frekansı ise

$$\omega_{11} = |s_{k1}| = \frac{1}{C_{el} (R_g + R_1)}$$

dir. Bu bilgilerle  $|A_1|$  ve  $\varphi_1$ 'in frekansla değişimleri Şekil 5.6. a daki gibi çizilebilir.

b)  $A_2 = V'_1/V_1$  kazancının orta frekanslar bölgesindeki değeri,

$$R_2 = (r_{o1}/R_{el}) = \frac{r_{o1} \cdot R_{el}}{r_{o1} + R_{el}}$$

$$R_3 = (R_{b2}/r_{i2}) = \frac{R_{b2} \cdot r_{i2}}{R_{b2} + r_{i2}}$$

yazıldıkten sonra

$$V'_1 = -g_{m1} V_1 \frac{R_2 \cdot R_3}{R_2 + R_3}$$

$$A_{20} = \frac{V'_1}{V_1} = -g_{m1} \frac{R_2 \cdot R_3}{R_2 + R_3}$$

olarak bulunur.  $A_2$  nin kutbu

$$s_{k2} = -\frac{1}{C_{el} (R_2 + R_3)}$$

ve alt kesim frekansı

$$\omega_{12} = |s_{k2}| = \frac{1}{C_{c2}(R_2 + R_y)}$$

dür. Bu bilgilerle  $A_2$  ve  $\varphi_2$  nin frekans değişimleri çizilebilir (Şekil 5.6. b). ( $A_{20}$  negatif gerçel bir büyülüük olduğundan orta frekanslar bölgesinde  $\varphi_2 = \pi$  dir).

c)  $A_3 = V_2/V_1'$  kazancının orta frekanslar bölgesindeki değeri, benzer şekilde,

$$A_{30} = -g_{m2} \frac{R_4 \cdot R_y}{R_4 + R_y}, \quad R_4 = (r_{02}/R_{c2}) = \frac{r_{02} \cdot R_{c2}}{r_{02} + R_{c2}}$$

$A_3$ 'ün kutbu

$$s_{k3} = -\frac{1}{C_{c3}(R_4 + R_y)}$$

alt kesim frekansı ise

$$\omega_{13} = |s_{k3}| = \frac{1}{C_{c3}(R_4 + R_y)}$$

bulunur ve  $A_3$ 'ün frekans eğrileri de bu bilgilerle çizilebilir (Şekil 5.6. c).

Toplam kazanç

$$K = A_1 \cdot A_2 \cdot A_3$$

$$|K| = |A_1| \cdot |A_2| \cdot |A_3|$$

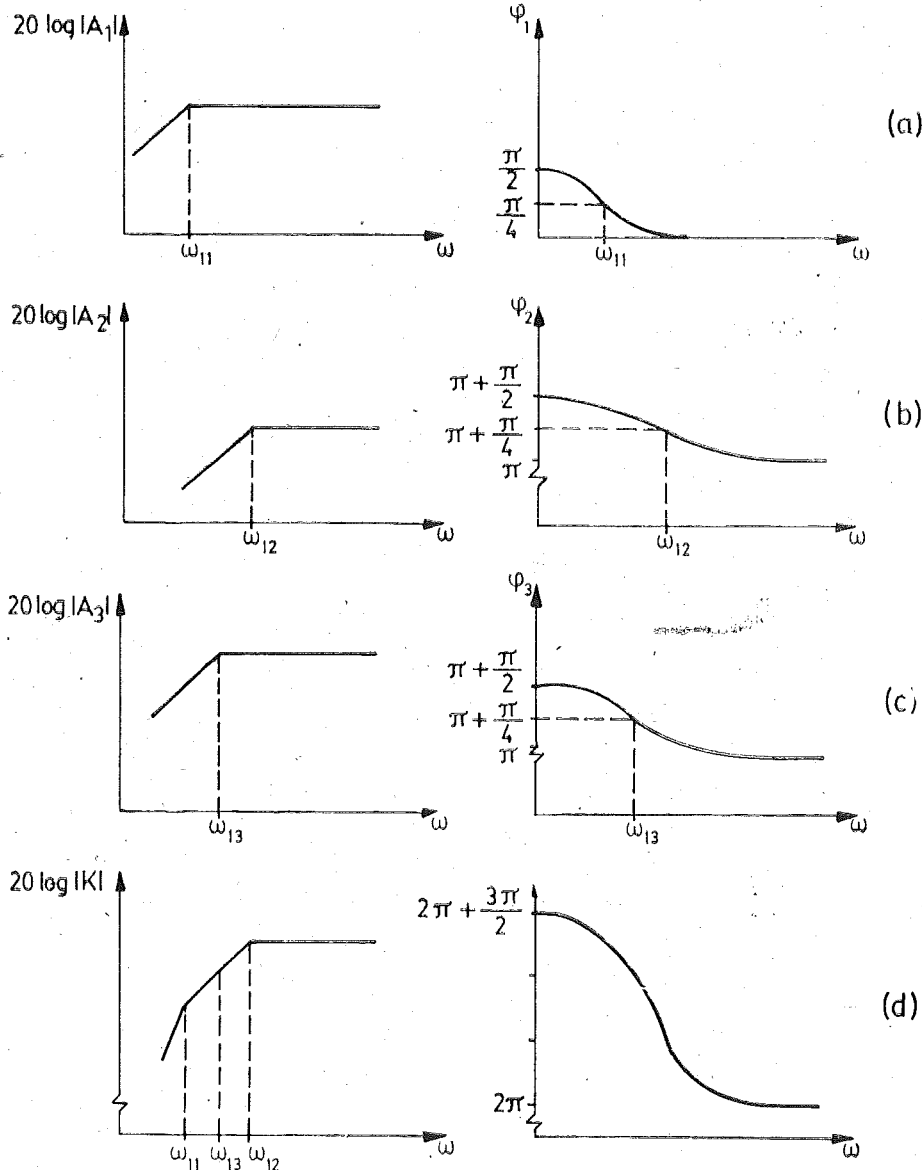
olduğundan dB olarak

$$20 \log |K| = 20 \log |A_1| + 20 \log |A_2| + 20 \log |A_3|$$

yazılabilir. Toplam kazancın açısı da

$$\varphi = \varphi_1 + \varphi_2 + \varphi_3$$

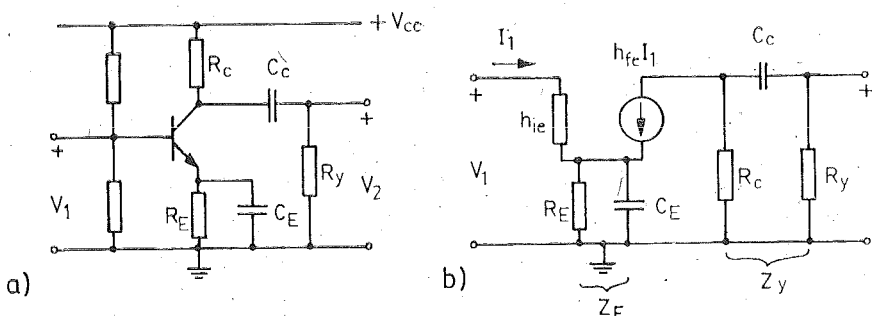
dür. Bu bilgilerle  $|K|$  ve  $\varphi$  nin frekansla değişimleri Şekil 5.6. a, b ve c deki eğrilerin toplamı olarak çizilebilir (Şekil 5.6. d). Buradan görüldüğü gibi toplam devrenin genlik frekans eğrisinde kazancın düşmeye başladığı frekansı, kesim frekansı en yüksek olan hücrenin kesim frekansı belirlemektedir. Alçak frekanslar bölgesindeki toplam ilâve faz dönmesi de bir hücrenin getirdiği ilâve faz dönmesine göre çok daha büyük değerler almaktadır. Kuvvetlendiriciye geribesleme uygulanması halinde büyük önem kazanan bu durum üzerinde, ilerde ayrıca durulacaktır.



Sekil 5.6. Sekil 5.1. (a) daki devrenin toplam frekans eğrilerinin birim hücrelerinin frekans eğrilerinin toplamı olarak elde edilmesi.

### 5.2.2. Emetör Köprüleme Kondansatörünün Etkisi.

Bundan önceki bölümde incelenen devrelerde, emetör direncini köprüleyen kondansatörlerin çok büyük değerleri kabul edilerek bağlama kondansatörlerinin etkisi incelenmişti. Emetör direncine paralel bir kondansatör bulunan bir kuvvetlendirici katında bu kondansatörün değeri büyük de olsa, alçak frekanslara doğru gidildikçe reaktansının büyüyeceği ve bu durumun devrenin kazancı üzerinde etkili olacağı açıklıdır. Bu etki, Şekil 5.7. (a) daki tipik kat için, bunun eşdeğer devresi yardımcı ile incelenecektir. Şekil 5.7. (b) de verilmiş olan eşdeğer devrede baz bölücü dirençlerinin paralel eşdeğerinin sürücü kaynak iç direnci ile tranzistorun giriş direncinin paraleli yanında çok büyük olduğu için ihmali edilebileceği kabul edilmiştir. Tranzistor da çözümü kolaylaştırmak amacıyla ile basitleştirilmiş eşdeğer devresi ile alınmıştır.



Şekil 5.7. (a) Emetör köprüleme kondansatörünün etkisinin incelenmesi için kullanılacak tipik hibre. (b) Eşdeğer devresi.

Devrede R<sub>E</sub> direnci ile bunu köprüleyen C<sub>E</sub> kondansatörünün paralel eşdeğeri Z<sub>E</sub>, tranzistorun R<sub>c</sub>, R<sub>y</sub> ve C<sub>c</sub> den oluşan çıkış yüküne Z<sub>y</sub> diyerek V<sub>2</sub> çıkış gerilimi için

$$V_2 = -h_{fe} I_1 Z_y \frac{1}{R_y + \frac{1}{sC_e}} R_y$$

yazılabilir. Burada Z<sub>y</sub> nin değeri

$$Z_y = \frac{R_c \left( R_y + \frac{1}{sC_e} \right)}{R_c + R_y + \frac{1}{sC_e}}$$

olarak yerine konursa

$$V_2 = -h_{fe} I_1 \frac{R_e \left( R_y + \frac{1}{sC_e} \right)}{R_e + R_y + \frac{1}{sC_e}} \frac{1}{R_y + \frac{1}{sC_e}} R_y$$

$$V_2 = -h_{fe} I_1 \frac{sC_e R_e R_y}{sC_e (R_e + R_y) + 1}$$

bulunur. Öte yandan,

$$V_1 = I_1 (h_{ie} + Z_E) + h_{fe} I_1 Z_E$$

$$I_1 = \frac{V_1}{h_{ie} + Z_E (h_{fe} + 1)}$$

olduğundan

$$K = \frac{V_2}{V_1} = -h_{fe} \frac{1}{h_{ie} + Z_E (h_{fe} + 1)} \frac{sC_e R_e R_y}{sC_e (R_e + R_y) + 1}$$

ve  $Z_E$  nin değeri

$$Z_E = \frac{R_E}{1 + s C_E R_E}$$

yerine konarak

$$K = -h_{fe} \frac{1}{\frac{R_E}{h_{ie} + \frac{1}{1 + s C_E R_E}} (h_{fe} + 1)} \frac{sC_e R_e R_y}{sC_e (R_e + R_y) + 1}$$

çıkar. Bu bağıntı sıfırları ve kutupları kolayca ayırdedilecek şekilde düzenlenendiğinde

$$K = - \left( \frac{h_{fe}}{h_{ie}} \cdot \frac{R_e R_y}{R_e + R_y} \right) \frac{s}{(s - s_{k1}) (s - s_{k2})} \quad (5.4)$$

elde edilir. Burada

$$s_{k1} = -\frac{1}{C_e (R_y + R_e)}$$

$$s_0 = -\frac{1}{C_E R_E}$$

$$s_{k2} = -\frac{1}{C_E R_E} \cdot \left[ 1 + \frac{R_E (h_{fe} + 1)}{h_{fe}} \right] \approx \frac{-1}{C_E R_E} \cdot \left( 1 + \frac{R_E}{r_e} \right)$$

$$= -\frac{1}{C_E \cdot (R_E/r_e)}$$

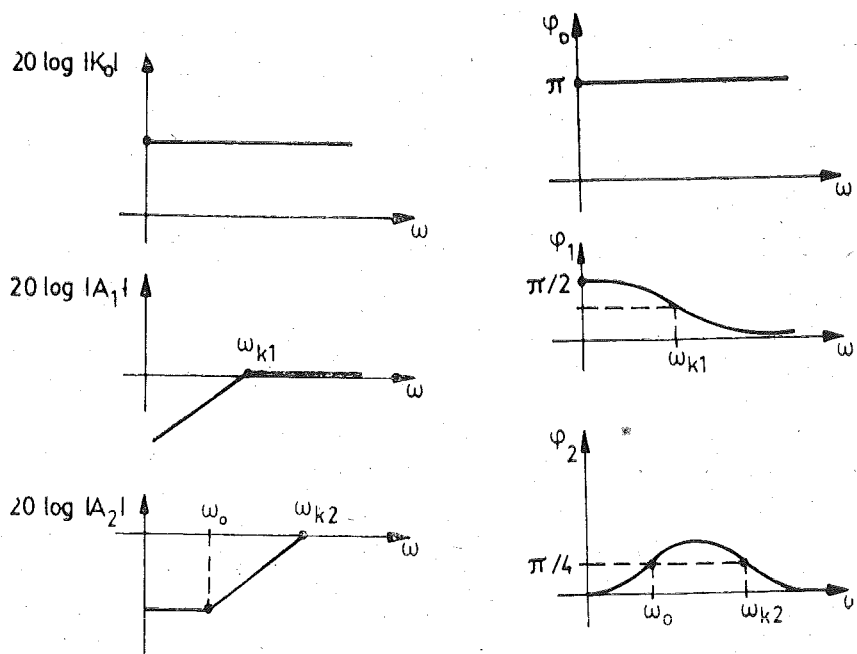
dir. (5.4) bağıntısı dikkatle incelenirse ilk çarpanın ( $K_o$ ) devrenin orta frekanslar bölgesindeki kazancı olduğu görülür. İkinci çarpan, bağlama kondansatörünün, son çarpan ( $A_2$ ) ise emetör köprüleme kondansatörünün etkisini belirler.

Devrenin frekans eğrileri, (5.4) bağıntısı yardımı ile elde edilebilir. Kazancın modülünün frekansla değişimini bulmak için çarpanlardan her birinin modülünün frekansla değişimlerini çıkartıp, bunları çarpmak, ya-hut kazanç değerleri dB olarak bulunmuşsa bunları toplamak gereklidir. Toplam faz dönmesi de çarpanlardan herbirinin getirdiği faz dönemelerinin toplamıdır. Orta frekanslar bölgesindeki kazancı belirleyen ilk çarpanın modülü frekanstan bağımsız (sabit) ve açısı (eksi işaretti sebebi ile)  $\pi$  dir (Şekil 5.8. (a)). İkinci çarpanın modülünün ve açısının frekansla değişimi, bağlama kondansatörünün etkisi incelenirken çıkartılmıştır. Buna göre  $s_{k1}$  kutbunun belirlediği

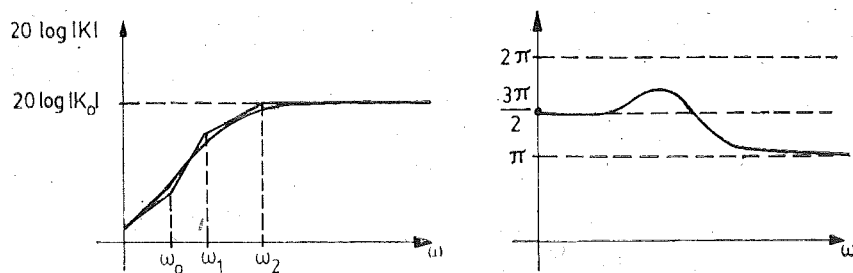
$$\omega_{k1} = \frac{1}{C_o (R_o + R_y)}$$

köşe frekansında kazancın modülü, daha yüksek frekanslardaki değerinin 3 dB altındadır ve  $\omega_{k1}$  den daha alçak frekanslara doğru gidildikçe kazanç 20 dB/dekad'lık bir eğimle sürekli olarak düşer. Faz eğrisinde ise, orta frekanslar bölgesinde 0 olan faz dönmesi alçak frekanslara doğru gidildikçe  $\omega_{k1}$  frekansında  $\pi/4$  değerinden geçerek  $\pi/2$  değerine asimptot olur (Şekil 5.8. b).

Negatif gerçel bir sıfırı ve bir kutbu bulunan ve  $|s_{k2}| > |s_o|$  olan üçüncü çarpana ilişkin frekans eğrileri de bu çarpana ilişkin sıfır kutup diyagramı yardımı ile kolayca elde edilebilir (Şekil 5.8. c). Bu eğrilerden, kazancın modülünün ve fazının frekansla değişimini çizilirse Şekil 5.9. daki eğriler bulunur. Görüldüğü gibi, emetör köprüleme kondansatörünün sonsuz büyük alınması halinde, bağlama kondansatörünün belirlediği  $\omega_{k1}$  kesim frekansından aşağıya doğru 20 dB/dekad'lık sabit bir eğimle düşen frekans eğrisinde, köprüleme kondansatörü yüzünden iki kırılma da-ha ortaya çıkmaktadır. Frekans eğrisinin biçimini,  $\omega_o$ ,  $\omega_{k1}$  ve  $\omega_{k2}$  nin birbirlerine göre durumu belirler. Faz dönmesi de bir bölgede  $3\pi/2$  nin üstüne çıkar ki bu durumun önemli olduğu bazı haller vardır ve bunlara yeri geldiğinde değinilecektir.



Şekil 5.8. (5.4.) bağıntısına ilişkin frekans eğrileri.



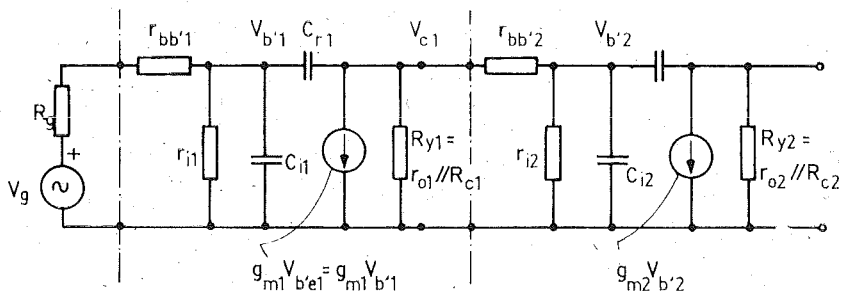
Şekil 5.9. Bağlama kondansatörü ve emetör köprüleme kondansatörünün frekans eğrileri türlerindeki toplam etkisi.

### 5.2.3. Kazancın Yüksek Frekanslarda Değişimi.

Biribirlerine bağlama kondansatörleri ile bağlanmış çok katlı bir kuvvetlendiricide kazancın yüksek frekanslardaki değişimini genel olarak aktif elemanların elektrotlar arası kapasiteleri belirler. Bazı hallerde kazancın, aktif elemanların iç kapasitelerinin belirlediğinden daha alçak

frekanslarda düşmeye başlaması —veya belirli bir şekilde değişmesi— için devreye dışardan bazı elemanlar —genellikle paralel kapasiteler— ilâve edilebilir.

Ortak emetörlü iki kattan oluşan tranzistorlu bir kuvvetlendirici ve eşdeğer devresi Şekil 5.10. da verilmüştür. Devredeki tranzistorlar, yüksek frekanslarda da geçerli olan Giacotto esdeğer devreleri ile temsil edilmiştir. Bağlama ve köprüleme kondansatörleri orta frekanslarda bile etkileri görülmeyen büyük değerli kondansatörler olduğundan, yüksek frekanslardaki durumu incelemek için kullanacağımız esdeğer devrede, kısa devre kabul edilmişlerdir. Ayrıca baz bölücü dirençleri, tranzistorların giriş dirençleri yanında ihmal edilmişlerdir. Bu esdeğer devrenin bazı basitleştirici değişikliklerle tüpler ve FET'ler için de geçerli olacağını kolayca görülebilir.



Şekil 5.10. İki katlı tranzistorlu kuvvetlendirici ve yüksek frekanslardaki eşdeğer devresi.

İki katlı, basit bir kuvvetlendiricinin yüksek frekanslardaki eşdeğeri olan Şekil 5.10. daki devre için devre denklemleri (örneğin düğüm denklemleri) yazılıp  $K_v = V_{c2}/V_g$  için çözülürse

$$K_v = A \frac{(s - s_{o1})(s - s_{o2})}{(s - s_{k1})(s - s_{k2})(s - s_{k3})(s - s_{k4})}$$

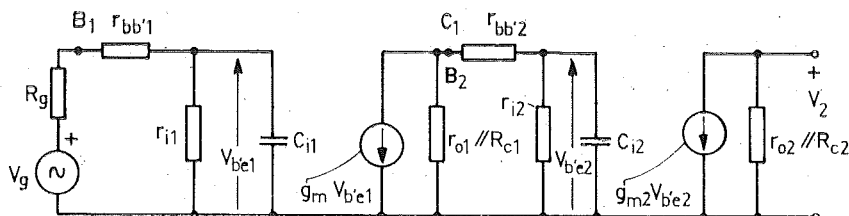
biriminde bir kazanç fonksiyonu elde edilir. Ancak bu basit devre için bile sıfır ve kutupların değerlerinin bulunması uzun ve yorucu hesaplar gerektirir. Bu yüzden çok katlı kuvvetlendiricilerin yüksek frekanslardaki davranışlarının incelenmesinde elektronik hesaplayıcılarından yararlanılması faydalı olur. Bu amaçla yazılmış çeşitli standart programlar mevcuttur.

Devrelerin elektronik hesaplayıcılar kullanılarak çözümü belirli bir devrede belirli eleman ve parametre değerleri için tam doğru sonuçların elde edilmesi için yararlıdır. Ancak birçok hallerde sonucun elemanlara ve parametrelere bağlı olarak kolayca yorumlanabilecek cebirsel bağıntılar şeklinde elde edilmesi —bağıntılar bazı yaklaşıklıklar ve kabuller yapılarak elde edilmiş olsa bile— daha yararlı olur. Şekil 5.10. daki eşdeğer devrede  $C_{r1}$  ve  $C_{r2}$  iç geribesleme kapasitelerinin varlığı, katların kazançlarının bağımsız olarak hesabedilebilmelerini, böylece sonuca kolay yoldan ulaşılmasını engellemiştir. Bu şekilde düğümler arasında gelen admitansları, bu düğümlerle referans arasına gelecek bazı elemanlarla temsil ederek uzun zincir devrelerin kaskad bağlanmış bağımsız hücrelere dönüştürülmesi için «Miller teoremi»nden yararlanılabilir. Bu teorem 5.2.3.2. de, uygulamada rahatlık sağlayan bazı değişikliklerle verilmiştir.

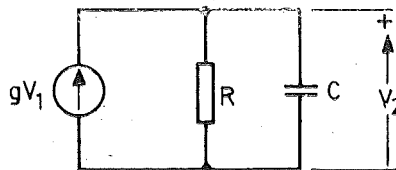
#### 5.2.3.1. İç Geribeslemenin Küçük Olması Durumu.

Kuvvetlendiricide kullanılan aktif elemanın iç geribesleme kapasitesinin küçük olduğu durumlarda Şekil 5.10. daki eşdeğer devrede bu elemanlar açık devre kabul edilebilir. Böylece devre, kazançları bağımsız olarak hesabedilebilen art arda bağlanmış hücrelerden oluşan bir zincire dönüşür ki bunun toplam kazancı, bağımsız hesaplanan kat kazançlarının çarpımı olarak kolayca bulunabilir.

Bu basitleştirmenin yapılması halinde devrenin ne şekilde bölümleneceği Şekil 5.11. de gösterilmiştir. Dikkat edilirse her bölümün Şekil 5.12. deki eşdeğer devreye kolayca dönüştürülebileceği görülebilir. O halde bu tipik hücre için kazancın frekansla değişimi bulunursa, devrenin tümünün kazancının frekansla değişimine kolayca geçilebilir.



Şekil 5.11. İç geribesleme kapasitelerinin ihmal edilebilecek kadar küçük olması haline eşdeğer devre.



Şekil 5.12. Şekil 5.11. deki devrenin tipik birim hücresi.

Devrenin çıkış gerilimi  $V_2$ ,

$$\begin{aligned} V_2 &= g \cdot V_1 \frac{\frac{1}{sC}}{R + \frac{1}{sC}} = g \cdot V_1 \frac{R}{sRC + 1} \\ &= g \cdot V_1 \frac{R}{RC} \frac{1}{s + \frac{1}{RC}} \end{aligned}$$

dir. Burada  $s_k = -1/RC$  konularak

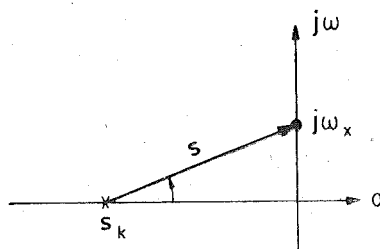
$$K = \frac{V_2}{V_1} = g \cdot R \cdot (-s_k) \frac{1}{(s - s_k)} \quad (5.5)$$

yazılabilir ki burada  $g \cdot R$  nin,  $C$  nin açık devre kabul edilebildiği frekanslardaki kazanç olduğu açıklar. Kazancın *frekanstan bağımsız* olan bu değeri  $K_0$  ile gösterilirse (5.5) bağıntısı

$$K = K_0 (-s_k) \frac{1}{(s - s_k)} \quad (5.6)$$

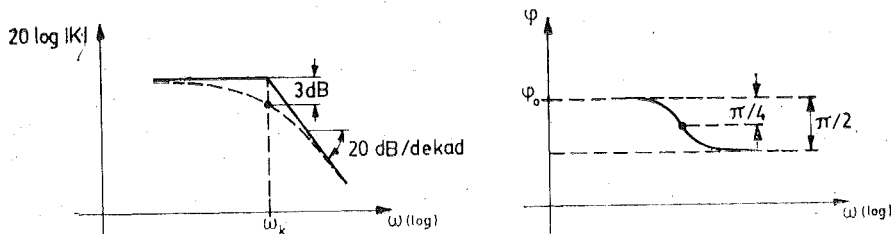
şeklinde yazılabilir.

(5.6) bağıntısına ilişkin sıfır-kutup diyagramında, Şekil 5.13. de görüldüğü gibi  $s_k = -1/RC$  değerinde negatif gerçek bir kutup vardır. Buradan frekans egrilerine geçilirse Şekil 5.14. (a) ve (b) de verilmiş olan egriler elde edilir. Buna göre kazancın modülü  $\omega_k = 1/RC$  açısal fre-



Şekil 5.13. Birim hücreye ilişkin sıfır-kutup diyagramı.

kansında (*üst kesim frekansında*) kazancın frekanstan bağımsız kaldığı bölgedeki değerinin 3 dB altına düşmekte ve azalma 20 dB/dekad eğimli bir asymptota yaklaşarak devam etmektedir. Kazancın fazı ise üst kesim frekansında orta frekanslardaki değerinin  $\pi/4$  radyan altına düşmekte ve  $\pi/2$  radyana doğru azalarak devam etmektedir.



Şekil 5.14. Birim hücrenin frekans eğrileri.

Şekil 5.14. deki devrenin toplam kazancına ilişkin modül eğrisi her bir hücrenin modül eğrileri dB ekseninde toplanarak elde edilebilir. Toplam faz eğrisi de benzer şekilde çıkartılır.

#### 5.2.3.2. İç Geribeslemenin İhmal Edilmemesi Durumu :

##### Miller Teoreminin Uygulanması.

Elektron tübü, tranzistor ve FET gibi aktif devre elemanlarının giriş-çıkış uçları arasındaki kapasitenin, bu elemanlarla kurulan kuvvetlendiricilerin yüksek frekanslardaki davranışlarını belirlemede büyük önemi vardır. İlk olarak Miller tarafından, elektron tüpleri için yapılan inceleme bu kapasitenin, devrenin üst kesim frekansı üzerinde ilk bakışta tahrmin edilebilenden çok daha etkili olduğunu göstermiş ve «Miller teoremi» olarak anılan teorem böylece ortaya çıkmıştır. Doğru kullanıldığı takdirde karmaşık elektronik devrelerinin çözümlerini kolaylaştırması —ve daha önemlisi— sonuçları, mühendislik açısından kolayca yorumlanabilir bir biçimde vermesi Miller teoremini elektronik mühendisliği alanında en çok kullanılan devre teoremlerinden biri haline getirmiştir.

Aşağıda Miller teoremi, değişik bir yaklaşımla verilecek ve teoremin, bu yaklaşım yolu izlenerek uygulandığında Elektronikte en çok karşılaşılan devre tipi için tehlikesizce kullanılabileceği gösterilecektir.

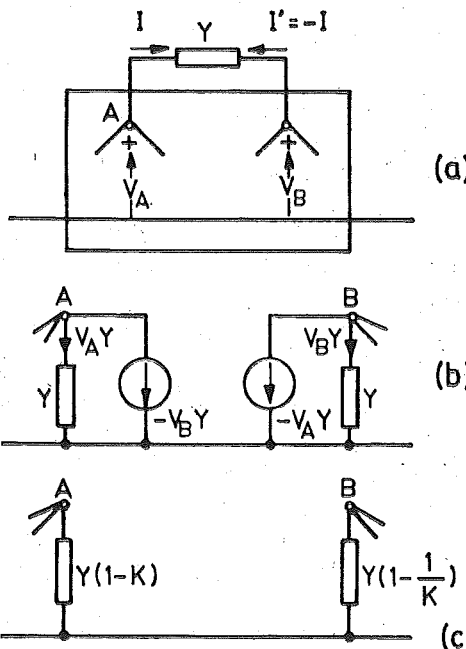
Bir devrede A ve B düğümleri, aralarında bir Y admitansı bulunan ve 0 referans noktasına göre gerilimleri  $V_A$  ve  $V_B$  olan herhangi iki düğüm olsun (Şekil 5.15. a). A düğümünden Y ye doğru akan akıma I dersek, B den Y ye doğru akan akım da  $I' = -I$  ile gösterilebilir. Şekilden kolayca görüleceği gibi I ve  $I'$  akımları

$$I = (V_A - V_B) \cdot Y = V_A \cdot Y - V_B \cdot Y \quad (5.7)$$

$$I' = (V_B - V_A) \cdot Y = V_B \cdot Y - V_A \cdot Y \quad (5.8)$$

bağıntıları ile ifade edilebilir. (5.7) bağıntısına göre; Y admitansının soldaki ucu A düğümünden ayrılp bu düğümle referans arasına Y değerinde bir admitans ve  $-V_B \cdot Y$  değerinde bir akım kaynağı bağlanırsa A düğümünün şartlarında bir değişiklik meydana gelmez. Benzer şekilde B den dışarıya doğru akan  $-I$  akımı da B ile referans arasına bağlanacak bir Y admitansı ve  $-V_A \cdot Y$  akım kaynağı ile temsil edilebilir (Şekil 5.15. b). Simdi  $V_B/V_A = K$  dersek A düğümüne bağladığımız bağımlı kaynak

$$-V_B \cdot Y = -V_A \cdot K \cdot Y$$



Şekil 5.15. Miller teoremi yardımı ile A ve B düğümleri arasındaki Y admitansının  $Y_A$  ve  $Y_B$  paralel admitanslarına dönüştürülmesi.

olur ki bu, A düğümü ile referans arasına bağlanacak ( $-Y \cdot K$ ) değerinde bir admitansa eşdeğerdir. Benzer şekilde B düğümündeki bağımlı kaynak da

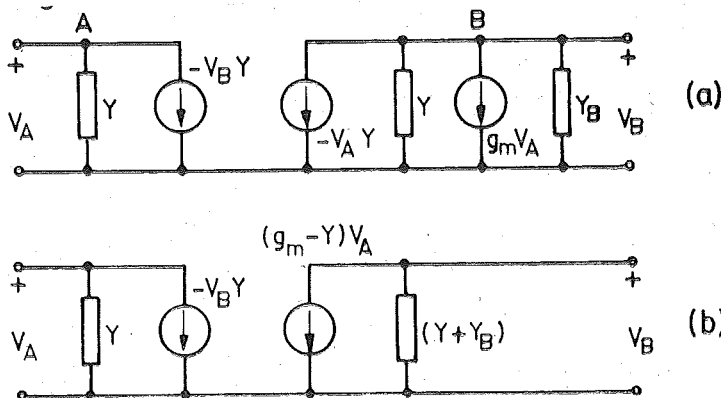
$$-V_A \cdot Y = -V_B (1/K) \cdot Y$$

bağıntısının gösterdiği şekilde bu düğümle referans arasına bağlanacak ( $-Y/K$ ) değerinde bir admitansla temsil edilebilir. Böylece Şekil 5.15.c deki eşdeğer elde edilir. Bu eşdeğer devre ancak  $K$  nin hesabedilebildiği haller için bir anlam taşır.  $K$  nin değeri, B düğümüne gelen öteki kollara bağlıdır. Bu kolların B ile referans arasına bağlı bir  $Y_B$  toplam eşdeğer admitansı ve  $V_A$  gerilimine bağlı bir bağımlı kaynakla ( $g_m V_A$ ) temsil edilebildiği özel hal için  $K$  herhangi bir yaklaşılığa veya kabule gerek kalmaksızın, kolayca hesaplanabilir. Şekil 5.15. (b) den bu özel hal için elde edilen Şekil 5.16. (a) ve (b) yardımını ile

$$V_B = -(g_m - Y) V_A \frac{1}{(Y + Y_B)}$$

$$K = \frac{V_B}{V_A} = -\frac{g_m - Y}{(Y + Y_B)} \quad (5.9)$$

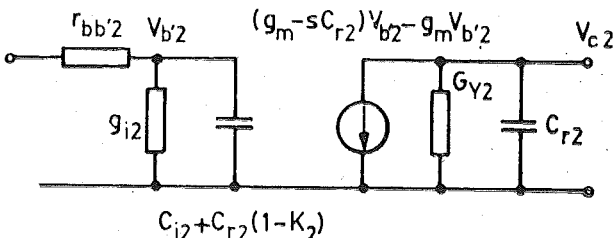
bulunur.



Şekil 5.16.  $K$  nin doğrudan doğruya hesaplanıldığı özel durum için eşdeğer devre.

Yukarda kazancın bu şekilde hesabedilebilmesi için varsayılan özel durum, B nin bir aktif 4-uçluğunun çıkış düğümü ve Y nin elemanın iç geribesleme admitansı olması halinden başka birsey değildir ve en çok kar-

şılaşılan durumlardan biridir. Gerçekten, Şekil 5.10. daki iki katlı kuvvetlendiricinin ikinci katına yukarıda yaptığımız dönüşümler uygulanırsa Şekil 5.17. deki eşdeğer devre elde edilir.



Şekil 5.17. Şekil 5.10. daki devrenin ikinci katının Miller dönüşümü uygulandıktan sonrası hali.

Tranzistorlarda ve öteki aktif 4-uçlularda  $C_f$  iç geribesleme kapasitesi genellikle birkaç pF mertebesinde, özel olarak yüksek frekanslarda kullanılmak üzere geliştirilen elemanlarda ise 0,1 pF mertebesinde, hattâ daha küçüktür. Bu yüzden hemen hemen her zaman  $\omega C_{r2} < g_m$  olacağından  $(g_m - sC_{r2}) \approx g_m$  yaklaşılığı rahatlıkla yapılabilir. Çıktakı bağımlı kaynağa paralel gelen  $G_{Y2}$  ile  $C_{r2}$  nin kazanç fonksiyonuna bir kutup getireceği, yani kazancın frekansla değişiminde bu elemanların belirlediği frekansa düşme yönünde bir kırılma meydana geleceği açıklıktır. Eşdeğer devrenin getirdiği en önemli —ve genellikle ilk bakişa beklenmeyen— bilgi, giriş kapasitesine eklenen  $C_{r2} \cdot (1 - K_2)$  bileşenidir.  $K_2, G_{Y2} \gg \omega C_{r2}$  şartının geçerli olduğu frekanslar için negatif, gerçek ve  $g_{m2} \cdot R_{y2}$  değerinde oldukça büyük bir sayıdır. (Örneğin  $g_{m2} = 25 \text{ mA/V}$ ,  $R_{y2} = 10 \text{ k ohm}$ ,  $C_{r2} = 1 \text{ pF}$  için  $R_{y2} = 1/\omega C_{r2}$  eşitliğinin sağlandığı  $f = 16 \text{ MHz}$  den yeteri kadar küçük frekanslarda  $K_2 \approx -250$  dir.) Demek oluyor ki  $C_{r2}$  nin Miller dönüşümü ile girişe aktarılan eşdeğeri,  $C_{r2}$  ye göre çok büyük bir kapasite olmaktadır ve bir önceki katın yük direncine paralel geldiğinden, bu katın frekans eğrisini önemli ölçüde etkileyecektir.

Daha da genel olarak bir tranzistorun yükünün reaktif kısmının endüktif yahut kapasitif olabileceği göz önünde bulundurularak

$$Y_y = G_y(\omega) + jB_y(\omega)$$

yahut

$$Z_y = R_y(\omega) + jX_y(\omega)$$

yazılabilir. Bu yük için kazanç

$$K - g_m \cdot Z_y = -g_m (R_y + jX_y) \quad (5.10)$$

ve  $C_r$  iç geribesleme kapasitesinin Miller dönüşümü sonucunda girişe paralel getirdiği admitans

$$\begin{aligned} Y(1-K) &= j\omega C_r(1-K) = j\omega C_r[1 + g_m(R_y + jX_y)] \\ &= (-\omega C_r \cdot g_m \cdot X_y) + j\omega C_r(1 + g_m R_y) \end{aligned} \quad (5.11)$$

olur. Göründüğü gibi bu durumda girişe paralel gelen  $C_r(1 + g_m R_y)$  kapasitesinden başka bir de iletkenlik bileşeni ortaya çıkmaktadır.

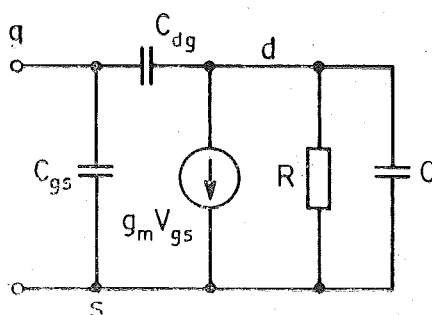
Tranzistorun yükünüün *kapasitif* yani  $X_y$  nin negatif olması halinde bu iletkenlik pozitiftir ve degeri

$$G(\omega) = \omega C_r \cdot g_m |X_y(\omega)| \quad (5.12)$$

bağıntısı ile belirlidir. Yükün kapasitif olması halinde girişe paralel gelen bu iletkenlik bileşeni alan etkili tranzistorlarda ve elektron tüplerinde normal şartlar altında çok küçük olan giriş iletkenliğinin frekans arttıkça büyüyeceğini gösterir.

### Örnek :

Bir MOS tranzistorun giriş kapasitesi  $C_{gs}=5 \text{ pF}$ , iç geribesleme kapasitesi  $C_{dg}=1 \text{ pF}$ , eğimi  $g_m=5 \text{ mA/V}$ , yük direnci  $R=10 \text{ k ohm}$ 'dur ve çıkışa  $C=10 \text{ pF}$  huk bir kapasite paralel gelmektedir.  $f=1 \text{ MHz}$  için devrenin giriş direncini ve giriş kapasitesini hesaplayınız (Şekil 5.18.).



Şekil 5.18. Kapasitif bir admitanslı yüklü bir MOS tranzistorlu kuvvetlendiricinin eşdeğer devresi.

MOS tranzistorun yük empedansı :

$$\begin{aligned} Z_y &= \frac{1}{\frac{1}{R} + j\omega C} \\ &= \frac{R}{1 + \omega^2 C^2 R^2} - j \frac{\omega C R^2}{1 + \omega^2 C^2 R^2} = R_y + jX_y \end{aligned}$$

Miller dönüşümü ile girişe paralel gelen kapasite (Şek. 5.19.)

$$C_p = C_{dg} (1 + g_m R_y) = C_{dg} \left( 1 + g_m \frac{R}{1 + \omega^2 C^2 R^2} \right)$$

sayısal değerler yerlerine konulursa

$$C_p = 10^{-12} \left( 1 + 5 \cdot 10^{-3} \frac{10^4}{1 + (2\pi \cdot 10^6)^2 (10^{-11})^2 (10^4)^2} \right)$$

$$C_p = 35,9 \text{ pF}$$

bulunur. 5 pF olan  $C_{gs}$  kapasitesi ile birlikte toplam giriş kapasitesi 40,9 pF dir.

Girişe paralel gelen iletkenlik:

$$G_p = -\omega C_{dg} \cdot g_m X_y = -\omega C_{dg} g_m \left( -\frac{\omega C R^2}{1 + \omega^2 C^2 R^2} \right)$$

$$G_p = 2\pi \cdot 10^6 \cdot 10^{-12} \cdot 5 \cdot 10^{-3} \frac{2\pi \cdot 10^6 \cdot 10^{-11} \cdot 10^8}{1 + (2\pi \cdot 10^6)^2 (10^{-11})^2 (10^4)^2}$$

$$G_p = 1,4 \cdot 10^{-4} \text{ S}$$

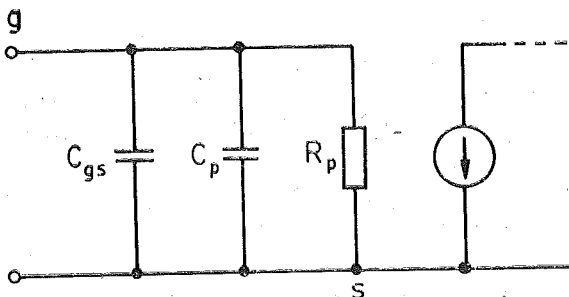
ve buna karşı düşen direnç

$$R_p = 7140 \text{ ohm}$$

bulunur ki pratik olarak sonsuz büyük olan  $r_{gd}$  direncine göre çok küçuktur.

Bazı kuvvetlendiricilerde yük bir transformatör, bir rezonans devresi v.b. olabilir ki böyle hallerde  $Z_y$  —bütün frekanslarda yahut bir frekans bölgesinde —endüktif, yani  $X_y$  pozitiftir. Bu durumda giriş admitansının gerçel bileşeni (giriş iletkenliği)

$$G(\omega) = -\omega C_r \cdot g_m \cdot X_y$$

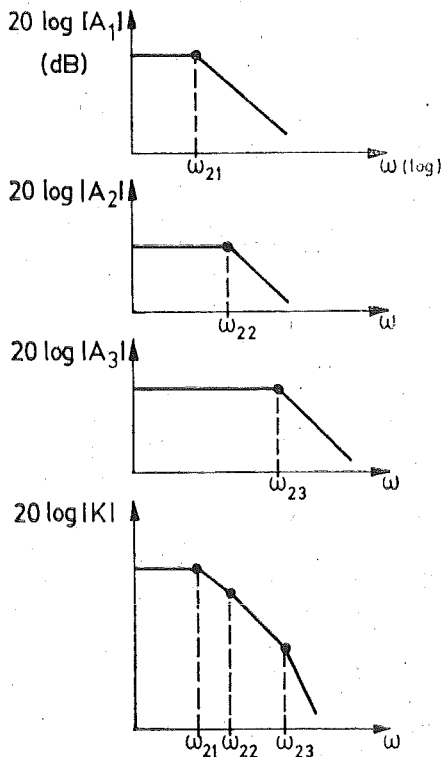


Sekil 5.19. Sekil 5.18. deki devrenin Miller dönüşümünden sonra giriş admitansı.

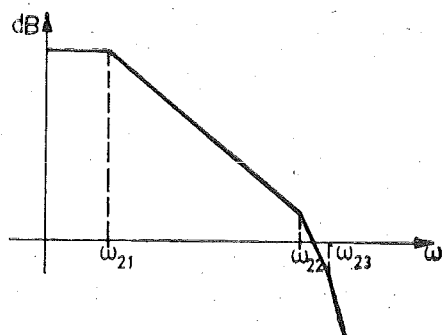
negatiftir. Bu tür devreler «negatif direnç» elde etmede kullanılabilir ve giriş uçları arasında elde edilen negatif direnç bir rezonans devresinin kayıplarını (pozitif paralel direncini) karşılayarak sönümzsüz salınımlar elde edilmesini sağlayabilir.

#### 5.2.4. Çok Kath Kuvvetlendiricilerde Toplam Band Genişliği ile Katların Band Genişlikleri Arasındaki İlişki.

Katlarından herbirinin frekans eğrileri bilinen çok katlı bir kuvvetlendiricide kuvvetlendiricinin tümüne ait frekans eğrilerinin kolayca elde edilebileceği gösterilmiştir. Sekil 5.20. de verilmiş olan örnekte üç kath bir kuvvetlendirici için yüksek frekanslardaki durum görülmektedir. Katlardan birinin kesim frekansının (örneğin  $\omega_{21}$ 'in) ötekilere göre çok küçük olması halinde, toplam frekans eğrisinin önemli ölçüde bu kat tarafından belirleneceği açıklıdır (Sekil 5.21.). Bu şekilde, toplam frekans eğrisi üzerindeki etkisi, öteki kutupların etkilerine göre daha baskın olan kutba «*baskın kutup*» denir. Toplam kazanç eğrisinin kesim frekansının istenilen bir  $\omega_{2T}$  değerinde olması istendiğinde eğer bu frekans, katların tek başlarına verdikleri kesim frekanslarının tümüne, yahut bunlardan biri hariç diğerlerine göre yeteri kadar küçükse, en küçük kesim frekansı —devrede gerekli değişiklik yapılarak— bu  $\omega_{2T}$  değerine kaydırılabilir. Bu şekilde elde edilen frekans eğrisi geniş bir bölgede, tek kutuplu bir devreye ilişkin frekans eğrisinin özelliklerine sahiptir; yani bu kutba ilişkin frekanstaki düşme 3 dB ve daha ileri gidildikçe düşme eğimi 20 dB/dekaddır. Faz bakımından da durum tek kutuplu devredeki gibidir; yani  $\omega_{2T}$  frekansında —orta frekanslar bölgesindekine ek— faz dönmesi  $\pi/4$  den ibarettir.



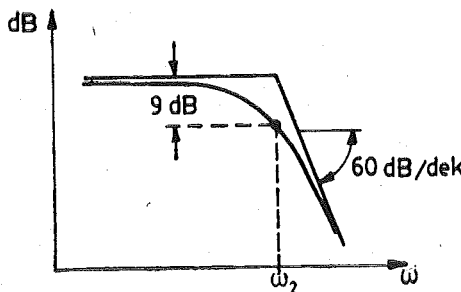
Sekil 5.20. Toplam frekans eğrisinin, hücrelerin frekans eğrileri yardımcı ile bulunması.



Sekil 5.21. Bir kutbun (burada  $\omega_{21}$ 'e karşı düşen kutbun) baskın kutup olması halinde frekans eğrisi.

Cök katlı kuvvetlendiricilerin frekans eğrileri bakımından önemli bir özel hâl, katların kesim frekanslarının birbirlerine eşit olması hâlidir. Bu durumda, art arda bağlanan katların sayısı  $n$  ise, katların  $\omega_2$  üst kesim frekansında kazancın modülündeki düşme ( $nx3$ ) dB, ve bu frekanstan daha yukarıda toplam kazancın frekansla düşmesi, eğimi ( $nx20$ ) dB/dekad olan bir doğuya asimptot olacaktır. Sekil 5.22. de herbir katının üst kesim frekansı  $\omega_2$  olan 3 katlı bir kuvvetlendiricide kazancın modülünün frekansla değişimi köşe frekansı ve asimptotları ile gösterilmiştir.

Böyle bir kuvvetlendiricinin üst kesim frekansının (kazancın, orta frekanslardaki değerinin 3 dB altına düşüğü frekansın)  $\omega_2$  den daha küçük olacağı açıktır. Kuvvetlendiricinin tümüne ait bu kesim frekansı ( $\omega_{2T}$ ) ile katların —biribirlerine eşit olan— kesim frekansları ( $\omega_2$ ) ara-



Şekil 5.22. Herbir katının köşe frekansı  $\omega_2$  olan üç katlı bir kuvvetlendiricide frekans eğrisinin asimptotları.

sindaki bağıntının bulunabilmesi gereklidir. Şekil 5.23. de katlardan herhangibirine ilişkin sıfır - kutup diyagramı verilmiştir. Bilindiği gibi tek kutuplu bir kazanç fonksiyonu

$$K = K_0 (-s_k) \frac{1}{(s - s_k)} \quad (5.13)$$

biçiminde olup, herhangi bir  $\omega$  frekansı için  $|K|$ , frekanstan bağımsız olan  $K_0$  (orta frekanslar bölgesindeki kazanç) bilindiğine ve bu  $\omega$  için  $(s - s_k)$  fazörünün modülü sıfır - kutup diyagramından hesaplanabileceğine göre kolayca bulunabilir:

$$|K| = |K_0| \cdot (-s_k) \frac{1}{\sqrt{\omega^2 + s_k^2}}$$

ve

$$\omega_2 = |s_k|$$

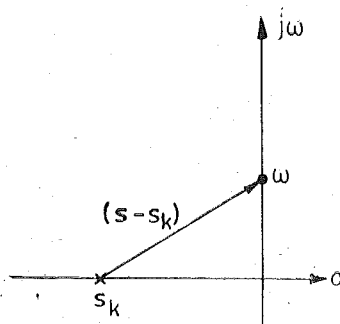
olduğundan

$$|K| = |K_0| \cdot \omega_2 \cdot \frac{1}{\sqrt{\omega^2 + \omega_2^2}}$$

Şimdi orta frekans kazançları başka başka olmakla beraber üst kesim frekansları aynı olan  $n$  tane katın art arda bağlılığını düşünelim. Bu durumda toplam kazancın orta frekanslardaki değeri

$$|K_{OT}| = |K_{o1} \cdot K_{o2} \cdot K_{o3} \cdot \dots \cdot K_{on}|$$

herhangi bir frekanstaki değeri



Şekil 5.23. (5.14.) bağıntısına ilişkin sıfır-kutup diyagramı.  
Burada sadece negatif gerçek bir kutup var.

$$|K_T| = |K_{01} \cdot K_{02} \dots K_{0n}| \cdot \left( \frac{1}{\sqrt{\omega^2 + \omega_2^2}} \right)^n (\omega_2)^n$$

olur.  $\omega = \omega_{2T}$  için tanım gereği  $|K_T| = |K_{0T}| / \sqrt{2}$  dir. Bu bağıntı açık olarak yazılırsa

$$\omega = \omega_{2T}; |K_{01} \dots K_{0n}| \cdot (\omega_2)^n \left( \frac{1}{\sqrt{\omega_{2T}^2 + \omega_2^2}} \right) = |K_{01} \dots K_{0n}| \frac{1}{\sqrt{2}}$$

ve buradan

$$\omega_{2T} = \omega_2 \sqrt{(2^{1/n} - 1)}$$

$$f_{2T} = f_2 \sqrt{(2^{1/n} - 1)} \quad (5.14)$$

bulunur. Bağıntıdaki  $\sqrt{2^{1/n} - 1}$  çarpanının  $n=1 \dots 6$  için alacağı değerler aşağıda verilmiştir :

| n                    | 1 | 2     | 3     | 4     | 5     | 6     |
|----------------------|---|-------|-------|-------|-------|-------|
| $\sqrt{2^{1/n} - 1}$ | 1 | 0,644 | 0,510 | 0,435 | 0,386 | 0,350 |

Bu bilgilere göre üst kesim frekansları  $f_2 = 20$  kHz olan üç kat art arda bağlandığında toplam devrenin üst kesim frekansı

$$f_{2T} = 20 \text{ kHz} \times 0,510 = 10,2 \text{ kHz} \text{ olur.}$$

Benzer şekilde, üst kesim frekansı örneğin  $f_{2T} = 100$  kHz olan 4 katlı bir kuvvetlendirici, üst kesim frekansları biribirlerine eşit olan  $n=4$  kattan kurulacaksa, katlardan herbirinin üst kesim frekansının

$$f_2 = 100 \text{ kHz} / 0,435 = 229,9 \text{ kHz}$$

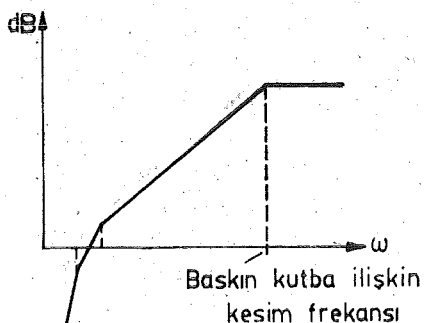
olması gerekir.

Buraya kadar yüksek frekanslar bölgesi için söylenenler, alçak frekanslar bölgesi için de geçerlidir. Alçak frekanslar bölgesinde de katlardan birine ait kutbun —bu defa— diğerlerine göre çok büyük olması halinde frekans eğrisinin tek kutuplu bir devreninkine benzeyeceği açıktır (Şekil 5.24.). Katların  $f_1$  alt kesim frekanslarının biribirlerine eşit olması halinde kuvvetlendiricinin tümüne ilişkin alt kesim frekansının

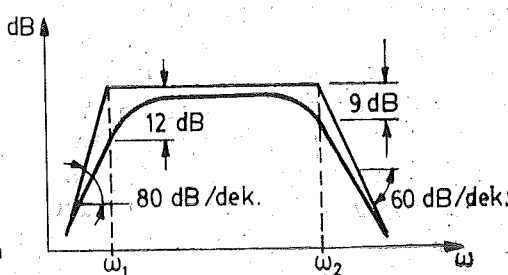
$$f_{1T} = f_1 / \sqrt{(2^{1/n} - 1)} \quad (5.15)$$

bağıntısı ile hesaplanabileceğinin kolayca gösterilebilir.

Şekil 5.25. de alçak frekanslarda biribirine eşit 4 kutbu ve yüksek frekanslarda —yne biribirine eşit— 3 kutbu bulunan bir kuvvetlendiricinin toplam frekans eğrisi köşe frekansları ve asimptotları ile verilmiş-



Şekil 5.24. Katlarının kesim frekanslarından biri ötekine göre çok yüksek olan üç hücreli bir kuvvetlendiricinin frekans eğrisi.



Şekil 5.25. Bir kuvvetlendiricinin toplam frekans eğrisinin asimptotları.

tir. Buradaki gibi, katların kesim frekansları eşit olan bir kuvvetlendiricide kazancın geçirme bandının dışındaki değişimi, kesim frekanslarının eşit olmaması halindeki göre daha hızlı, yani frekans eğrisi ideal süzgeç devre frekans eğrisine daha yakındır. Kat sayısının artması ile değişim eğiminin daha da artacağı açıktır.

### 5.2.5. R-C Bağlamalı Kuvvetlendiricilerin Kare Dalgaya Cevabı.

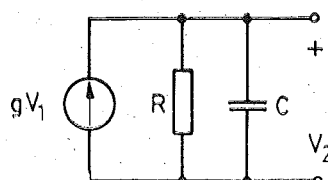
Buraya kadar, dirençle yüklü, sürücü kaynağı ve bir sonraki kata kondansatörle bağlanmış kuvvetlendiricilerin sinus biçimini giriş işaretlerine cevabı incelendi ve bu cevabın frekans eğrileri ile gösterildiği belirtildi. Bu eğriler kazancın modülünün hangi frekans aralığında sabit kaldığını, hangi frekanstan başlayarak düştüğünü, ayrıca çıkış işaretinin girişe göre fazının frekansla nasıl değiştiğini gösteriyordu.

Bir kuvvetlendiricinin basamak biçimini bir sürücü işaretine, yahut bir kare dalgaya cevabı (yani bu giriş işaretinin çıkış işaretinin zamana göre değişim şekli) incelenerek de özellikleri hakkında bazı önemli bilgiler edinilebilir.

#### 5.2.5.1. Yükselme Süresi.

Girişine basamak biçiminde bir sürücü işaret uygulanan bir kuvvetlendiricide, ideal olarak, çıkış işaretinin de basamak biçiminde olması gereklidir. Ancak, esdeğer devrede kaçınılmaz olarak var olduklarını gördüğümüz paralel kapasiteler yüzünden çıkış işaretin girişteki işaretle birlikte, anı olarak değişim olmaz. Genellikle büyük değerli olan bağlama ve köprüleme kondansatörleri hızlı değişimler için kısa devre sayılabilenlerinden, basamak biçimini giriş işaretinin hızlı değişim bölgesi üzerine devrenin etkisi incelenirken yüksek frekanslar için geçerli olan esdeğer devreyi kullanmak yeterli olacaktır. Herhangi dirençle yüklü ve kondansatörle bağlanmış çok katlı bir kuvvetlendiricinin yüksek frekanslardaki esdeğer devresinin Şekil 5.26. daki tipten hücrelere ayrılabileceği görülmüştür. Böyle bir hücre için

$$K = \frac{V_2}{V_1} = \frac{g}{C} \frac{1}{s + \frac{1}{RC}} \\ = K_0 (-s_k) \frac{1}{s - s_k}, \quad s_k = -\frac{1}{RC}, \quad K_0 = g \cdot R$$



Şekil 5.26. Yükselme süresinin hesabında kullanılan birim hücre.

yazılabilir.  $V_1$  sürücü gerilimi, adımı  $V$  volt olan bir basamak bigiminde değişiyorsa,  $s$  domeninde  $V_1(s) = V/s$  olduğundan  $V_2(s)$  çıkış gerilimi için

$$V_2 = V_1 \cdot K = V K_0 (-s_k) \frac{1}{s(s-s_k)}$$

bulunur. Ters Laplace dönüşümü ile  $t$  domenine geçirilirse  $V_2$  nin zamana bağlı olarak değişimi

$$v_2(t) = V K_0 (1 - e^{+s_k t})$$

$$v_2(t) = V K_0 (1 - e^{-t/RC}) \quad (5.16)$$

olarak bulunur. Bağıntıdaki RC çarpımına devrenin *zaman sabitesi* denir ve  $\tau$  ile gösterilir. Dikkat edilirse bu,  $v_2$  nin, son değerinin  $(1 - 1/e)$  katına ulaşması için gelecek olan süredir. (5.16) bağıntısının belirlediği değişim Şekil 5.27. de verilmistir.  $v_2$  nin,  $t \rightarrow \infty$  da alacağı  $K_0 V$  değerinin % 10'undan % 90'ma yükselmesi için geçen süreye çıkış işaretinin *yükselme süresi* denir ve  $t_r$  ile gösterilir.  $t_r$ , R ve C ye bağlı olarak hesaplanabilir :

$v_2$  nin,  $(0,1 \cdot K_0 V)$  değerine ulaştığı  $t_1$  zamanı

$$0,1 \cdot K_0 V = K_0 V (1 - e^{-t_1/RC})$$

bağıntısından hesaplanırsa

$$t_1 = 0,105 RC$$

ve benzer şekilde,  $v_2$  nin  $(0,9 \cdot K_0 V)$  değerine ulaştığı  $t_2$  zamanı hesaplanırsa

$$t_2 = 2,302 RC$$

bulunur. Buradan,

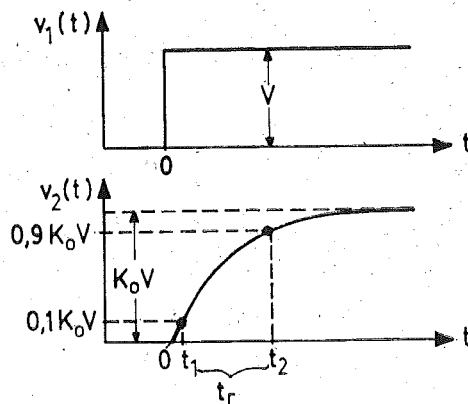
$$t_r = t_2 - t_1 = 2,197 RC \approx 2,2 RC \quad (5.17)$$

çıkar. Devrenin  $f_2 = 1/(2\pi RC)$  bağıntısı ile belirli olan üst kesim frekansı (5.17) de yerine konursa

$$t_r = 0,35/f_2 \quad (5.18)$$

elde edilir.

(5.18) bağıntısına göre, yüksek frekanslarda tek bir kutbu bulunan tek katlı bir kuvvetlendiricinin, yahut yüksek frekanslardaki kutuplarından biri baskın kutup olan çok katlı bir kuvvetlendiricinin  $f_2$  üst ke-



Sekil 5.27. Sekil 5.26. daki devre için giriş ve çıkış işaretlerinin zamanla değişimi.

sim frekansı,  $t_r$  yükselme süresi cinsinden hesaplanabilir.  $t_r$  ise, yükselme süresi  $t_r$  ye göre ihmäl edileBILECEK kadar kısa olan bir basamak gerilim üreteci (yahut daha elverişlisi, tekrarlanma peryodu yeteri kadar uzun olan bir kare dalga üreteci) ve bir osiloskop yardımı ile kolayca ölçülebilir.

Cok katlı bir kuvvetlendiricide katların üst kesim frekansları (yüksek frekanslardaki kazanç ifadelerinin kutupları) hep biribirlerine eşitse toplam kazanç

$$K_T = \left( K_{01} (-s_k) \frac{1}{s - s_k} \right) \cdot \left( K_{02} (-s_k) \frac{1}{s - s_k} \right) \dots$$

$$K_T = K_{0T} (-s_k)^n \frac{1}{(s - s_k)^n}$$

olur. Genliği  $V$  volt olan basamak biçiminde bir  $V_1$  giriş gerilimi için  $V_2$  çıkış gerilimi

$$V_2(s) = V_1(s) \cdot K_T$$

$$V_2(s) = \frac{V}{s} \cdot K_{0T} (-s_k)^n \frac{1}{(s - s_k)^n}, s_k = -\frac{1}{RC} = -\frac{1}{\tau}$$

ve buradan ters Laplace dönüşümü ile  $t$  domenine geçirilirse  $V_2$  nin zamanla göre değişimi için

$$v_2(t) = V \cdot K_{OT} \left[ 1 - e^{-\frac{t}{\tau}} \sum_{k=0}^{n-1} \frac{(t/\tau)^k}{k!} \right]$$

bağıntısı elde edilir. Şekil 5.28. de  $n=1 \dots 5$  için  $v_2(t)/V \cdot K_{OT}$  nin  $t/\tau$  ye bağlı olarak değişimi verilmüştür. Şekilden görüldüğü gibi kat sayısı arttıkça yükselme süresi artmaktadır. Aşağıdaki tabloda da  $t_r/\tau$  ile  $f_2 \cdot t_r$  nin, kat sayısı ( $n$ ) ile değişimi verilmiştir.

TABLO.

| $n :$             | 1     | 2     | 3     | 4     | 5     |
|-------------------|-------|-------|-------|-------|-------|
| $t_r/\tau :$      | 2,2   | 3,3   | 4,2   | 4,9   | 5,5   |
| $f_2 \cdot t_r :$ | 0,350 | 0,338 | 0,342 | 0,343 | 0,342 |

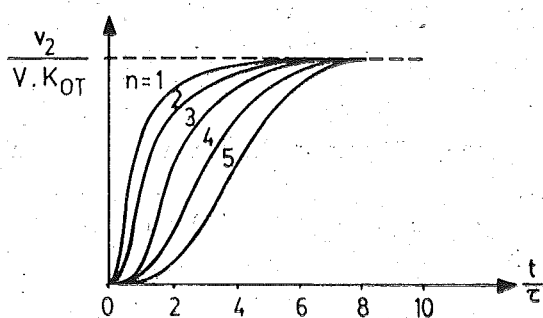
Buradan

$$f_2 \cdot t_r \approx 0,35$$

yahut

$$t_r \approx 0,35/f_2$$

bağıntısının kat sayısından hemen hemen bağımsız olarak geçerli olduğu görülmüyor. Bu pratik sonuç,  $n$  nin 5 den büyük değerleri, hattâ katların kesim frekanslarının eşit olmaması halleri için de yaklaşık olarak doğrudur ve yükselme süresi ölçme yolu ile üst kesim frekansının belirlenmesi bakımından önemlidir.



Şekil 5.28.  $n$  kat sayısının çeşitli değerleri için çıkış geriliminin değişimi.

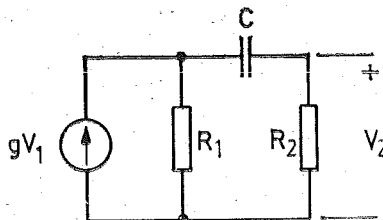
Art arda bağlanan katların üst kesim frekanslarının ve dolayısı ile yükselme sürelerinin eşit olmaması halinde toplam devrenin  $t_r$  yükselme süresi katların  $t_{r1}, t_{r2}, \dots$  yükselme süreleri cinsinden

$$t_r = 1,1 \sqrt{t_{r1}^2 + t_{r2}^2 + t_{r3}^2 + \dots} \quad (5.19)$$

amprik bağıntısı ile oldukça iyi bir yaklaşımla hesaplanabilir.

### 5.2.5.2. Eğilme.

Girişine basamak biçiminde bir işaret uygulanan bir kuvvetlendiricide çıkış geriliminin belirli bir yükselme süresi içinde yükselsek sükünetteki değerinden farklı bir değer alacağını gördük. Kuvvetlendiricide bağlama elemanı olarak kondansatör kullanılmışsa, devrede doğru gerilim kazancı sıfır olacağını, çıkış geriliminin bu yeni değerini koruması beklenemez. Çıkış gerilimi yavaş yavaş düşerek, eleman değerlerine bağlı belirli bir süre sonunda sükünetteki değerine ulaşır. Durumu Şekil 5.29. daki tipik hücre üzerinde inceleyelim :



Şekil 5.29. Eğilme hesabında kullanılan birim hücre.

Böyle bir hücre için gerilim kazancı ifadesi

$$K = K_o \frac{s}{s - s_k}, \quad s_k = -\frac{1}{(R_1 + R_2)C}$$

dir,  $V_1$  sürücü geriliminin,  $V$  volt genlikli, basamak biçiminde bir gerilim olması hali için

$$V_2 = V_1 \cdot K = V \cdot K_o / (s - s_k)$$

bulunur. Ters Laplace dönüşümü ile de

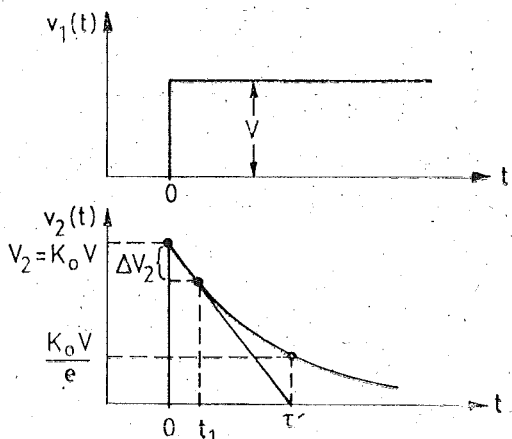
$$v_2(t) = V \cdot K_o \cdot e^{s_k t}$$

$$v_2(t) = V \cdot K_o \cdot e^{-t/(R_1 + R_2)C}$$

yahut  $C$  ve buna seri toplam direncin belirlediği zaman sabitesi için  $\tau' = (R_1 + R_2)C$  konularak

$$v_2(t) = V \cdot K_o \cdot e^{-t/\tau'} \quad (5.20)$$

elde edilir. (5.20) bağıntısının ifade ettiği değişim Şekil 5.30. da verilmiştir. Bağıntıdan kolayca görüleceği gibi  $v_2$ ,  $t=\tau'$  için başlangıç değerinin  $1/e$  sine düşer.



Şekil 5.30. Sekil 5.29'daki devre için giriş ve çıkış gerilimlerinin zamanla değişimi.

Herhangi bir  $t_1$  anında çıkış gerilimindeki düşmeye  $\Delta V_2$  dersek  $\Delta V_2/V_2$  oranına (% olarak) «eğilme» adı verilir ve  $t_1$  süresi içinde çıkış geriliminin ne oranda düştüğünü belirler. Eğilme genel olarak  $\delta$  ile gösterilir ve değeri, küçük  $t_1$  değerleri için değişimin, yaklaşık olarak başlangıç noktasındaki tegetini izlediği kabul edilerek hesaplanabilir:

$$\begin{aligned} (\%) \delta &= \frac{\Delta V_2}{V_2} \cdot 100 = \frac{t_1}{\tau'} \cdot 100 \\ &= \frac{1}{C(R_1 + R_2)} t_1 \cdot 100 \end{aligned} \quad (5.21)$$

Art arda gelen hücrelerin herbirinin eğilmesi yeteri kadar küçükse toplam eğilme, yaklaşık olarak eğilmelerin toplamına eşit olur.

Kuvvetlendiricilerde eğilmeye sebep olan bir başka eleman da emetör (yahut katot) direncini köprüleyen kondansatördür. Böyle bir köprülüme kondansatörü bulunan bir katta kazanç fonksiyonunun bu kondansatör sebebi ile

$$K = K_0 \frac{(s - s_0)}{(s - s_k)}$$

seklinde olacagi ve  $s_0$  sıfırı ile  $s_k$  kutbunun eleman değerlerine

$$s_0 = -\frac{1}{C_E R_E}$$

$$s_k = -\frac{1}{C_E R_E} \left[ 1 + \frac{R_E (h_{f0} + 1)}{h_{i0}} \right] \approx \frac{1}{C_E R_E} \left( 1 + \frac{R_E}{r_e} \right)$$

seklinde bağlı olacagi evvelce görülmüştü. Genliği V olan basamak biçimli bir giriş gerilimi için çıkış geriliminin ifadesi

$$V_2(s) = K \cdot V_1(s) = K_0 \frac{(s - s_0)}{(s - s_k)} \cdot \frac{V}{s}$$

$$V_2(s) = K_0 V \frac{(s - s_0)}{s(s - s_k)}$$

olacağından, bundan ters Laplace dönüşümü ile  $v_2(t)$  ye, yani çıkış geriliminin zamana göre değişim şeklini veren ifadeye geçilebilir :

$$v_2(t) = K_0 V \frac{s_0}{s_k} \left[ 1 + \left( \frac{s_k}{s_0} - 1 \right) e^{s_k t} \right]$$

$$v_2(t) = K_0 V \cdot \frac{1}{\left( 1 + \frac{R_E}{r_e} \right)} \left[ 1 + \left( 1 + \frac{R_E}{r_e} - 1 \right) e^{-\frac{1}{C_E R_E} \left( 1 + \frac{R_E}{r_e} \right) t} \right]$$

$$v_2(t) = K_0 V \frac{1}{\left( 1 + \frac{R_E}{r_e} \right)} \left[ 1 + \frac{R_E}{r_e} e^{-\frac{1}{R_E C_E} \left( 1 + \frac{R_E}{r_e} \right) t} \right] \quad (5.22)$$

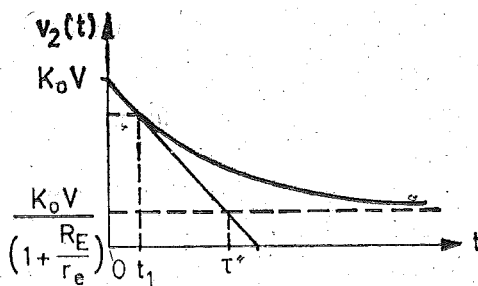
Görüldüğü gibi değişim, üstel bir değişimdir ve zaman sabitesi

$$\tau' = C_E \cdot \frac{R_E}{\left( 1 + \frac{R_E}{r_e} \right)}$$

$$\tau' = C_E \cdot \frac{R_E r_e}{R_E + r_e} = C_E \cdot (R_E // r_e)$$

dir.  $v_2(t)$  nin t ye göre değişimi Şekil 5.31. de verilmiştir. Burada da  $t_i \ll \tau'$  için eğilme

$$(\%) \delta = \frac{K_0 V - v_2(t_1)}{K_0 V} \cdot 100$$



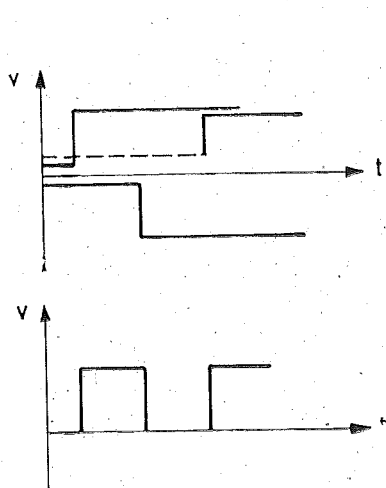
Şekil 5.31. (5.22.) bağıntısının belirlediği değişim.

bağıntısından hesaplanabilir ve

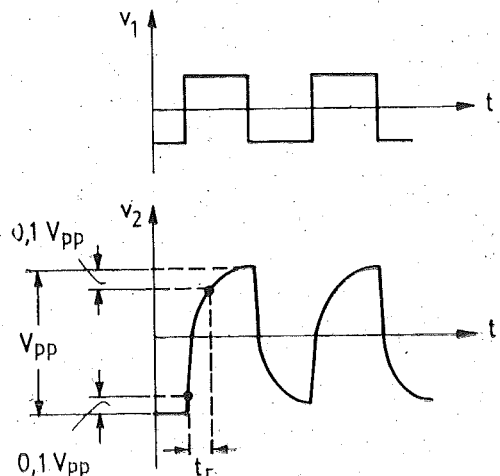
$$(\%) \delta = \frac{1}{C_E r_e} t_1 \cdot 100 \quad (5.23)$$

bulunur.

Buraya kadar giriş işaretinin basamak biçiminde değişen bir işaret olması hali incelendi. Ancak pratikte böyle bir girişi yerine periyodik olarak tekrarlanan ve eşit aralıklarla gelen pozitif ve negatif basamak fonksiyonlarının toplamı olarak düşünülebilen «kare dalga» biçimde giriş işaretleri kullanmak daha elverişlidir (Şekil 5.32.). Bu sayede



Şekil 5.32. Bir kare dalganın, eşit aralıklarla gelen pozitif ve negatif basamakların toplamı olarak alınması.

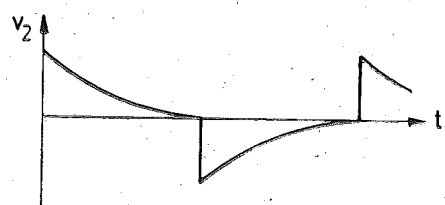
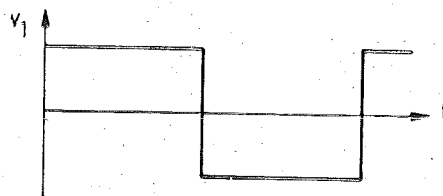


Şekil 5.33. İdeal kare dalga biçimli bir giriş işaretini için çıkış işaretinin yükselme süresinin ölçülmesi.

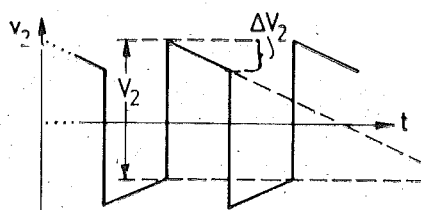
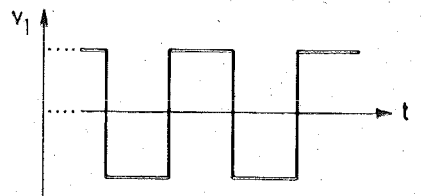
gözlem ve ölçü aleti olarak kullanılan katot ışınılı osiloskop üzerinde kararlı bir şeclin sürekli olarak elde edilmesi kabil olur.

Yükselme süresinin ölçülmesi söz konusu ise kare dalganın yarı peryodunun, yükselseme süresinden yeteri kadar büyük olması gereklidir (Şekil 5.33.). Aksi halde  $v_2$  maksimum genliğine ulaşamadan düşmeye başlayacağından, doğru bir ölçme yapılamaz.

Kare dalga biçiminde bir giriş işaretini ile bağlama kondansatörlerinin yahut köprüleme kondansatörlerinin etkilerini görebilmek için kare dalganın yarı peryodunun, çıkış işaretindeki düşmenin  $\tau'$  zaman sabitesine göre yeteri kadar büyük olması gereklidir (Şekil 5.34.). Tek katlı bir devre için yarı peryodun  $\tau'$  dan daha küçük olması halinde ortaya çıkacak olan durum da Şekil 5.35. de verilmiştir. Bu sekilden açıkça gö-



Şekil 5.34.  $T/2 \gg \tau'$  için giriş ve çıkış dalgaları.



Şekil 5.35. Kare dalgada eğilme.

rıldüğü gibi kare dalganın şeclinin mümkün olduğu kadar az bozulması için  $T/2$  yarı peryodu sonunda ortaya çıkan eğilmenin mümkün olduğu kadar küçük olması gereklidir. Meydana gelen eğilme (5.21) bağıntısında  $t_1 = T/2$  konularak hesaplanabilir :

$$(\%) \delta = \frac{T/2}{\tau'} \cdot 100 = \frac{T/2}{(R_1 + R_2) C} \cdot 100 \quad (5.24)$$

Kuvvetlendiricinin alt kesim frekansı

$$f_1 = \frac{1}{2\pi(R_1 + R_2)C}$$

ve kare dalganın  $f=1/T$  frekansı (5.24) bağıntısında kullanılırsa

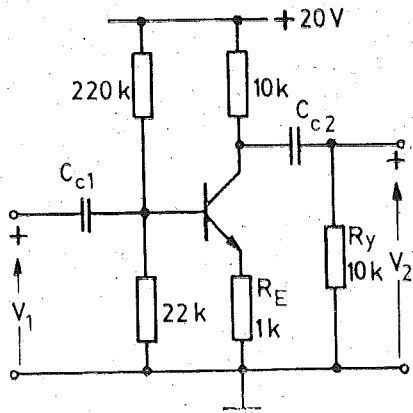
$$(\%) \delta = (\pi f_1/f) \cdot 100 \quad (5.25)$$

bulunur. Buradan, frekansı  $f$  olan bir kare dalganın  $\% \delta$  kadar bir eğilme ile kuvvetlendirilebilmesi için kuvvetlendiricinin  $f_1$  alt kesim frekansının ne kadar olması gerektiği bulunabilir. (Örneğin  $f=50$  Hz lik bir kare dalgayı  $\% 10$  bir eğilme ile geçirebilmesi için kuvvetlendiricinin alt kesim frekansının  $f_1=1,6$  Hz olması gerektiği bulunur.)

## P R O B L E M L E R

1 — Şekildeki kuvvetlendiricide  $C_{c1}=0,33 \mu F$ ,  $C_{c2}=0,10 \mu F$  dir. Transistorun çalışma noktasındaki parametreleri  $h_{ie}=4 k$ ,  $h_{fe}=200$ ,  $h_{oe}=40 \mu S$  olarak verilmiştir ( $h_{re} \approx 0$ ).

- Orta frekanslar bölgesinde için  $V_2/V_1$  gerilim kazancını hesaplayınız.
- Kazancın frekansla değişimini —alçak ve orta frekanslar için—  $C_{c1}$  ve  $C_{c2}$  nin belirlediği köşe frekansları yardımı ile, yaklaşık olarak giziniz.
- Devrenin giriş empedansının alçak ve orta frekanslar bölgesinde içinde değişimini inceleyiniz.
- Devrenin, iç direnci  $R_g=10 k$  olan bir  $V_g$  gerilim kaynağı ile sürülmlesi hali için  $|V_2/V_g|$  nin frekansla değişimini inceleyiniz. Sonucu (b) de bulduğunuz sonuçla karşılaştırınız ve yorumlayınız.
- $R_y$  yük direncinin değerinin 2 k ohm olması hali için  $|V_2/V_1|$  'in frekansla değişimini inceleyiniz. Sonucu (b) de bulduğunuz sonuçla karşılaştırınız ve yorumlayınız.



2 — a) Problem (1)deki devrede  $|V_2/V_1|$  'in alçak frekanslara doğru düşme eğiminin 12 dB/oktav ve kazancın 6 dB düştüğü frekansın  $f=30$  Hz olması için  $C_{c1}$  ve  $C_{c2}$  kondansatörlerinin değerleri ne olmalıdır?

b) Bu durumda kazancın modülüün 3 dB ve 1 dB düştüğü frekansları bulunuz.

c) Kazancın faz açısının  $270^\circ$  olduğu frekansı hesaplayınız.

3 — Problem (1) deki devrede  $R_E$  direnci bir  $C_E$  kondansatörü ile köprüleniyor.

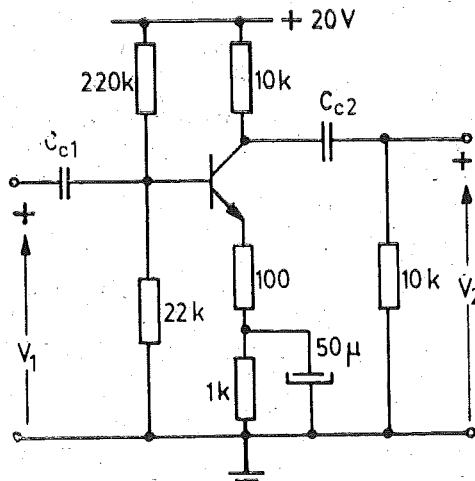
a) Bu durum için  $V_2/V_1$ 'in orta frekanslar bölgesindeki değerini hesaplayınız.

b)  $C_E=50 \mu F$  için  $|V_2/V_1|$  'in frekansla değişimini çıkartınız.

c)  $V_2/V_1$ 'in faz açısının maksimumdan geçtiği frekansı ve açının bu frekanstaki değerini bulunuz.

d) Frekans eğrisi üzerinde  $C_E$  nin etkisinin  $C_{c1}$ 'e ilişkin köşe frekansının 1 dekad aşağısına kadar ihmali edilebilecek mertebede kalması istenirse  $C_E$  nin değeri ne kadar olmalıdır?

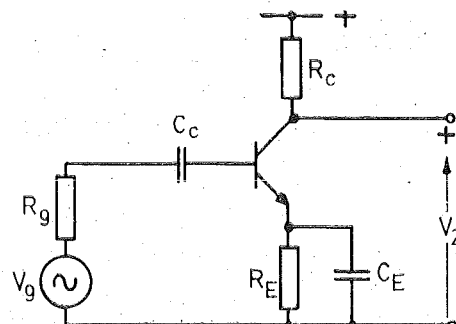
4 — Şekildeki devrede tranzistorun çalışma noktasındaki parameteleri  $h_{ie}=4k$ ,  $h_{re} \approx 0$ ,  $h_{fe}=200$ ,  $h_{oe}=40 \mu S$  olarak verilmiştir.  $C_{c1}=0,33 \mu F$ ,  $C_{c2}=0,1 \mu F$  dir.



- a) Orta frekanslar bölgesinde  $V_2/V_1$  gerilim kazancını hesaplayınız.
- b) Kazancın modülünün frekansla değişimini orta ve alçak frekanslar bölgesi için çiziniz.
- c) Sonucu Problem 3—b de bulunan sonuçla karşılaştırarak yorumlayınız.

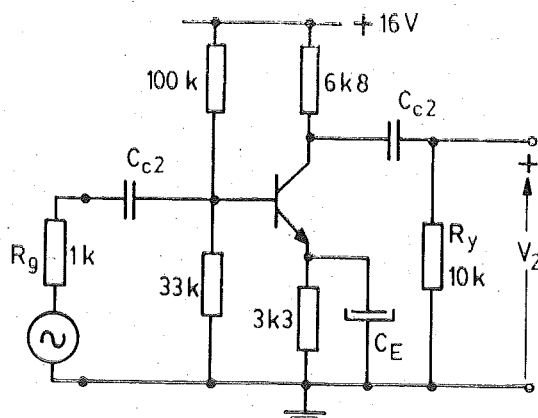
5 — a) Aşağıdaki devrede  $V_2/V_g$  kazancının frekansla değişimi üzerinde  $C_c$  ve  $C_E$  nin ortak etkisini veren bağıntıyı çkartınız.

b)  $C_c$  den gelen kutupla  $C_E$  den gelen kutbun çakıştırılmasının kabul olup olmadığını inceleyiniz.



6 — a) Şekildeki devrede tranzistorun sükUNETTEKİ akım ve gerilimlerini bulunuz ( $V_{BE} \approx 0,6$  V,  $h_{FE} = 200$  dür).

b) Devrenin  $V_2/V_g$  gerilim kazancını orta frekanslar bölgesi için yaklaşık olarak hesaplayınız (tranzistorun basitleştirilmiş eşdeğer devresi kullanılacak; yani  $h_{re} \approx 0$ ,  $h_{oe} \approx 0$ ,  $r_e = 25/I_{EQ}$  (mA) alınacaktır).



c)  $C_{e1}$ ,  $C_{e2}$  ve  $C_E$  nin kısa devre sayılabildeği orta ve yüksek frekanslar bölgesinde kazancın frekansla değişimini inceleyiniz. (Tranzistor için  $r_{bb}'=100$  ohm,  $f_T=100$  MHz,  $C_{eb}' \approx 0$  dir).

d) Devrenin üst kesim frekansını  $R_g=0$  için hesaplayınız ve (c) de bulduğunuz sonuçla karşılaştırarak yorumlayınız.

e) Devrenin çıkışına paralel bir  $C_y$  kondansatörü bağlanıyor. Bu kondansatörün getireceği köse frekansının devrenin kendi köse frekansı ile çakışması için  $C_y$  nin değeri ne olmalıdır?

7 — Problem 6 daki devrenin çıkışına, 1 k ohm'luk bir dirençle  $1\text{nF}$  lik bir kondansatör seri bağlanarak elde edilen bir empedans paralel bağlanıyor.  $|V_2/V_g|$  nin frekansla değişimini çıkartınız.

8 — Problem 6 daki devrede  $C_{eb}'=2\text{ pF}$  için üst kesim frekansını bulunuz ve 6—c de bulduğunuz sonuçla karşılaştırarak yorumlayınız.

9 — Problem 6 daki devrelerden iki tanesi, ilk katın  $R_y$  yük direnci yerine ikinci katın girişi bağlanarak kaskad hale getirilmiştir. İkinci katın yükü yine 10 k ohm'dur.

a)  $C_{eb}'$  iç geribesleme kapasitelerinin sıfır alınması hali için devrenin toplam gerilim kazancının orta ve yüksek frekanslar bölgesi içinde değişimini inceleyiniz.

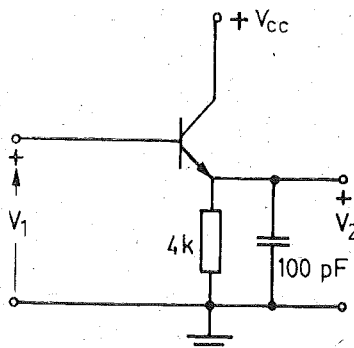
b)  $C_{eb}'=2\text{ pF}$  alındığında toplam kazancın frekansla değişimini inceleyiniz. Sonucu (a) daki sonuçla karşılaştırarak yorumlayınız.

c) Bağlama kondansatörlerinin değeri  $C_e=0,33\text{ }\mu\text{F}$ , emetör direnci köprüleme kondansatörleri  $C_E=100\text{ }\mu\text{F}$  dir. Devrenin toplam gerilim kazancının frekansla değişimini alçak, orta ve yüksek frekanslar için, tüm olarak çıkartınız.

10 — Şekildeki emetör çıkışlı kuvvetlendiricide tranzistorun sükünetteki emetör akımı  $I_{CQ}=2,5\text{ mA}$ ,  $f_T=40\text{ MHz}$ ,  $r_{bb}'=50\text{ ohm}$ ,  $C_{eb}'=5\text{ pF}$  dir.

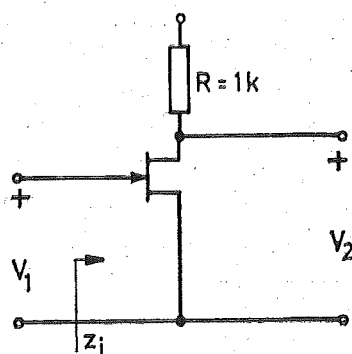
a) Giriş admitansının gerçek ve sanal kısımlarının frekansla değişimini inceleyiniz ve sonucu yorumlayınız.

b)  $|V_2/V_1|$  in frekansla değişimini inceleyiniz.

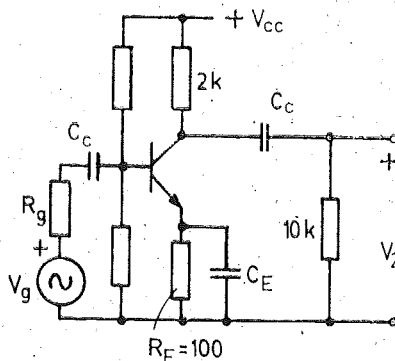


11 — Şekildeki kuvvetlendiricide FET'in parametreleri  $g_m=4 \text{ mA/V}$ ,  $r_d=100 \text{ k}$ ,  $C_{dg}(=C_r)=2 \text{ pF}$  dir.

- Çıkışa paralel olarak  $C=10 \text{ pF}$  lik bir kondansatör bağlandığında giriş kapasitesinin ve giriş direncinin  $f=1 \text{ kHz}$  deki değerini hesaplayınız.
- Giriş kapasitesinin ve giriş direncinin değerlerini  $f=10 \text{ MHz}$  için hesaplayınız. Sonucu —FET'in büyük giriş dirençli bir eleman olması özelliğini de göz önünde tutarak— yorumlayınız.
- Devrenin çıkışına  $L=25 \mu\text{H}$  lik bir endüktans paralel bağlandığında giriş direncinin değeri ne olur? Sonucu yorumlayınız.



12 — Emetör direncini köprüleyen kondansatorden, bir kuvvetlendiricinin kazancında yüksek freksnlarda meydana gelen düşmeyi karşılamak için de yararlanılır (y.f. kompanzasyonu). Şekildeki devrede transistorun çalışma noktasındaki önemli büyülükleri  $I_{EQ}=2,5 \text{ mA}$ ,  $f_T=100 \text{ MHz}$ ,  $r_{bb}'=50 \text{ ohm}$ ,  $C_{cb}' \approx 0$  dir ve çıkış direnci ihmali edilebilecek kadar büyüktür.



a)  $C_E = 0$  için  $|V_2/V_g|$  gerilim kazancının frekansla değişimini hesaplayınız ve çiziniz (Baz bölütü dirençleri ihmali edilebilecek kadar büyüktür).

b) Devrede  $C_E$  varken  $|V_2/V_g|$  nin frekansla değişimini inceleyiniz. En uygun  $C_E$  değerini hesaplayınız ve sonucu yorumlayınız.

13 — Problem 1 deki kuvvetlendiricinin girişine bir kare dalga uygulanıyor. Eğilme'nin % 2 den küçük kalması için frekansın hangi değerden daha küçük olmaması gereklidir?

14 — a) Problem 6 daki devrede  $R_g = 1$  k ohm için yükselme süresini hesaplayınız.

b)  $R_g = 0$  için yükselme süresini hesaplayınız.

c)  $C_c = 0,33 \mu F$ ,  $C_E = 100 \mu F$ ,  $R_g = 1$  k ohm için devrenin basamak biçiminde bir  $V_g$  giriş gerilimine cevabını hesaplayarak çiziniz.

15 — Problem 9—b deki iki katlı kuvvetlendirici için yükselme süresini hesaplayınız.

## **6. KATLARI DOĞRUDAN DOĞRUYA BAĞLANMIŞ KUVVETLENDİRİCİLER**

Önceki bölümde incelenmiş olan kondansatörle bağlama, art arda gelen katların çalışma noktalarının biribirlerinden bağımsız olarak belirlenmelerine imkân verdiği için en basit bağlama şeklidir. Ancak bazı sakıncaları vardır :

1. Kuvvetlendiricinin alt kesim frekansının alçak olması için bağlama kondansatörü değerleri genellikle büyüklik çıkar. Bu durum tümlestirme tekniklerine genel olarak uygun değildir.
2. Alçak frekanslara doğru gidildikçe artan ve kat başına değeri  $\pi/2$  ye yaklaşan ilâve faz dönmelerinin toplamının artması, devrenin çıkışından girişine geribesleme uygulandığında frekans eğrisinde —ilerde inceleneyecek olan— bazı düzensizliklere hattâ osilasyona sebep olabilir.

Yukarda söylenenler emetör direncini köprülemek için kullanılan kondansatörler için de geçerlidir.

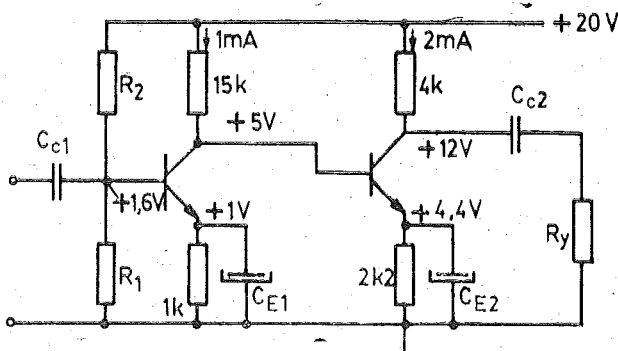
3. Bazı uygulamalarda işaretin doğru bileşeninin de kuvvetlendirilmesi gereklidir. Yahut kuvvetlendirilecek işaret doğrudan doğruya bir doğru gerilimdir. Bu durumlarda kondansatörün bir bağlama elemanı olarak yetersiz kalacağı açıklıdır.

Yukarda 1. ve 2. de belirtilen sakıncalı durumlardan kurtulmak için değişken işaretlerin kuvvetlendirilmesinde kullanılacak kuvvetlendiricilerde de doğrudan doğruya bağlama kullanılabilir. 3. de sözü edilen *doğru gerilim kuvvetlendiricilerinde* ise doğrudan doğruya bağlama bir zorunluluktur.

### **6.1. Doğrudan Doğruya Bağlamanın Değişken İşaret Kuvvetlendiricilerinde Kullanılması.**

Katları doğrudan doğruya bağlanmış kuvvetlendiricilerde art arda bağlanan katlardan, bir sonra gelenin giriş kutuplamasının bir önceki katın çıkışına tarafından sağlanması gereklidir. Şekil 6.1. de verilmiş olan örnekte  $T_1$  tranzistorunun çalışma noktası  $R_1$  ve  $R_2$  dirençleri ile belirlen-

mıştır.  $T_1$ 'in kolektöründeki sükûnet gerilimi,  $T_2$ 'nin baz kutuplama gerilimi olacaktır. Böyle bir devrede ilk katın ıslık kararlılığının çok iyi olması gereklidir. Sıcaklık değişimlerinin sonucu olarak ilk katın akımının değişmesi kolektör geriliminin değişmesine yol açar ki bu, ikinci katın doğru gerilim kazancı ile çarpılarak çıkışa ulaşır. Devrede katlar arası

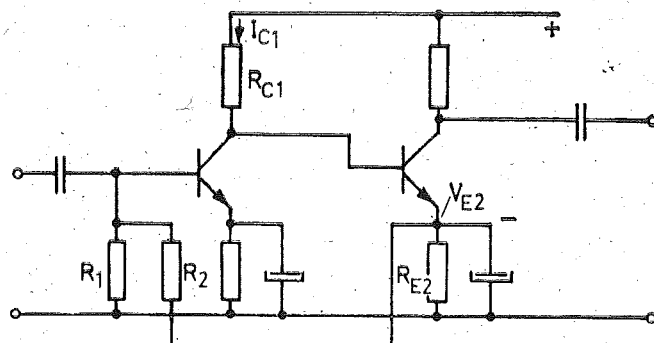


Sekil 6.1. Katları doğrudan doğruya bağlanmış iki katlı bir değişken işaret kuvvetlendiricisi.

bağlama doğrudan doğruya yapılmış olduğu halde işaret kaynağının ve yük direncinin devreye bağlanması yine bağlama kondansatörleri ile sağlanmıştır.  $C_{E1}$  ve  $C_{E2}$  kondansatörleri kullanılmayabilir. Bu durumda devrenin giriş direncinin yükselseceği, buna karşılık gerilim kazancının önemli ölçüde düşeceğinin açıkltır.  $C_{E1}$  ve  $C_{E2}$  nin bulunmaması halinde  $-C_{c1}$  ve  $C_{c2}$  dış devre elemanları gibi düşünülebileceğinden— kuvvetlendirici sadece tranzistor ve dirençlerden oluşmuş bir devreye dönüşür ki bu yapı tımlaşturma teknikleri için elverişlidir.

Sekil 6.1. deki gibi ilk katının çalışma noktası bir baz böülüclüsü ile belirlenen çok katlı doğrudan doğruya bağlamalı kuvvetlendiricilerin en zayıf tarafı ıslık kararlılığın iyi olmamasıdır. Devrenin ıslık kararlılığını artırmak için girişe, son katın çalışma noktası kaydığında bunu karşılayacak yönde bir etki getiren bir bağlantı yapılması (bir doğru akım geribeslemesi uygulanması) çok yararlı olur. Sekil 6.2. deki devre kutuplama devresi bir yana bırakılırsa Sekil 6.1. deki devrenin aynıdır. Fakat yeni devrede  $R_1$ ,  $R_2$  baz böülüclüğünün üst ucu  $+V_{cc}$  kaynağına bağlanacak yerde  $T_2$ 'nin emetör direncinin üst ucuna bağlanmıştır. Bu noktadaki gerilim ( $V_{K2}$ ),  $C_{E2}$  kondansatörü ile köprülenmiş olduğu için bir doğru gerilimidir.

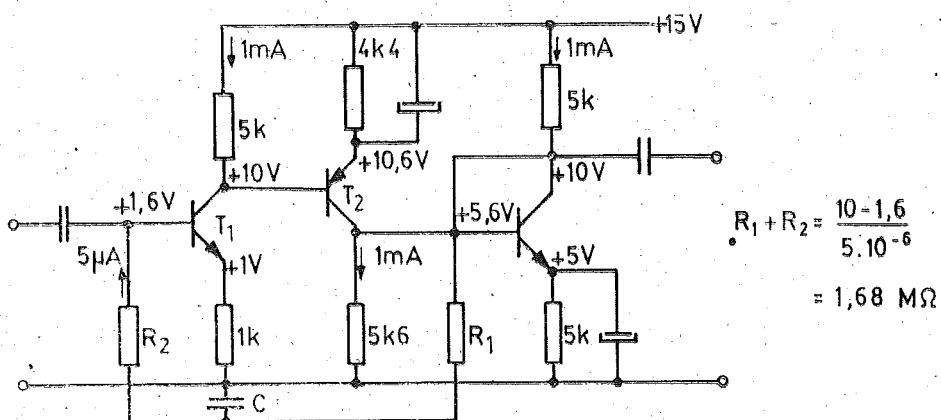
Değerini de  $T_2$  nin emetör akımı belirler.  $T_2$  nin akımı herhangi bir nedenle —örneğin sıcaklığın yükselmesi sonucunda— artsa  $T_1$ ’in bazına gelen gerilim büyütüyeceğinden  $T_1$ ’in akımı ( $I_{C1}$ ) artar, ( $V_{cc} - I_{C1} R_{C1}$ ) değerinde olan kolektör gerilimi (yani  $T_2$  nin baz gerilimi) azalır ki bu,  $I_{C2}$  yi azaltacak, yani sıcaklığın yükselmesi sonucunda ortaya çıkan değişimini karşılayacak yönde bir etkidir.



**Sekil 6.2.** Doğru gerilim geribeslemesi ile çalışma noktalarının kararlılığının sağlanması.

Sekil 6.1. deki devrede her iki tranzistorda n-p-n tipindendir; n-p-n tipi bir tranzistorda kolektörün baza göre daha pozitif olması gerektiğinden, ikinci katın kolektörü —bu katın bazına bağlı olan— birinci katın kolektörüne göre daha pozitiftir. Kat sayısı daha çok olan kuvvetlendiricilerde bu durum önemli bir sakınca doğurur; art arda gelen katların kolektör gerilimlerinin hep bir tarafa doğru artarak gitmesi sonucunda son katın kolektör gerilimi  $V_{cc}$  kaynak gerilimine fazla yaklaşacağından, çıkış geriliminin değişim alanı kısıtlı kalır. Bu sakınca p-n-p tipi tranzistorlarda kolektörün baza göre daha negatif olması sayesinde, p-n-p ve n-p-n tipi tranzistorlar uygun şekilde bir arada kullanılarak giderilebilir. Sekil 6.3. de bu tip devrelere bir örnek verilmiştir. Bu devrede de devrenin kutuplanması ve kararlılığı çıkıştan girişe bir doğru akım geribeslemesi ile sağlanmıştır.  $T_1$ ’in baz kutuplama akımı  $I_{B1} = (V_{cs} - V_{B1}) / (R_1 + R_2)$  dir. Tranzistorlardan herhangi birinin akımının artması halinde  $I_{B1}$  yolu ile bu artmayı karşılayacak bir tepkinin geleceği kolayca görülebilir. Devredeki C kondansatörünün bulunmaması halinde çıkıştaki ışaret bağılı değişimler de bastırılır; yani değişken işaret kazancı düşer.

C kondansatörü  $T_3$ 'ün kolektör gerilimindeki değişken bileşenlerin girişi etkilemesini (bir değişken işaret geribeslemesi meydana gelmesini) önlemek amacıyla konulmuştur.



Şekil 6.3. Üç katlı, doğrudan doğruya bağlamalı değişken işaret kuvvetlendiricisi.

## 6.2. Doğru Gerilim Kuvvetlendiricileri.

### 6.2.1. Giriş.

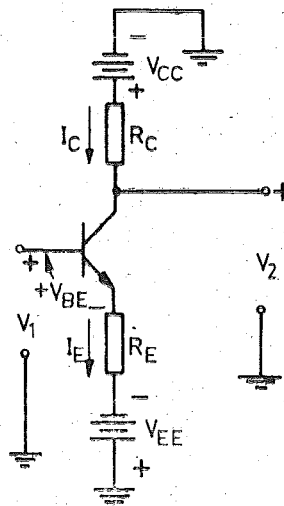
Bazı uygulamalarda küçük doğru gerilimlerin kuvvetlendirilmesi gereklidir. Örneğin bir temokuplün verdiği —ve sıcaklıkla yaklaşıklık olarak orantılı olan— gerilim değeri milivoltlar mertebesinde, hattâ düşük sıcaklıklarda daha da küçük olan bir doğru gerilimidir. Bu gerilimin doğru bir şekilde ölçülerek temokuplün bulunduğu ortamın sıcaklığının bulunabilmesi için, kazancı belirli olan ve dış etkenlerden etkilenmeyen bir doğru gerilim kuvvetlendiricisine ihtiyaç duyulur.

Bir doğru gerilim kuvvetlendiricisinden —genellikle— istenen özellikler

1. Giriş gerilimi sıfırken (sükûnet hâli) çıkış geriliminin de sıfır olması,
2. Kazancın giriş geriliminin yönünden (isaretinden) bağımsız olması,
3. Kazanç değerinin belirli ve sıcaklık, besleme gerilimleri v.d. dış etkenlerden bağımsız olması,

4. Kazancın işaret kaynağı iç direncinden ve yükden bağımsız olması (yani giriş direncinin çok büyük, çıkış iç direncinin çok küçük olması) şeklinde özetlenebilir.

Şimdi kazanç sağlama bakımından en elverişli devre olduğunu evvelce belirttiğimiz ortak emetörlü bir kuvvetlendirici katını bir doğru gerilim kuvvetlendiricisi olarak göz önüne alalım. Sülfütet hâlinde yani devrenin giriş gerilimi sıfırken (tranzistorun bazı referans olarak alınan noktaya kısa devre iken) tranzistorun lineer çalışma bölgesinde bulunacak şekilde kutuplanmış olabilmesi için emetör-baz jonksiyonunun geçirme yönünde kutuplanması gereklidir. Devredeki tranzistor n-p-n tipi bir tranzistorsa bu, pozitif kolektör geriliminden başka referansa göre negatif olan ikinci bir kaynağın gerekli olması demektir. Şekil 6.4. de bu iki kaynakla beraber, tranzistorun ıslı kararlılığını artırmak ve devrenin küçük işaretler için giriş direncini büyütmek için konulmuş olan  $R_E$  direnci de gösterilmiştir.



Şekil 6.4. Doğru gerilim kuvvetlendiricisi olarak ortak emetörlü kat (akımlar gerçek yönleri ile işaretlenmiştir).

Şekil 6.4. deki devrede bir  $V_1$  giriş gerilimi için

$$I_E = \frac{V_{EE} + V_1 - V_{BE}}{R_E}$$

ve

$$I_C = \frac{h_{FE}}{1 + h_{FE}} I_E \approx I_E$$

olduğundan çıkış gerilimi

$$V_2 = V_{CC} - R_C I_C$$

$$V_2 = V_{CC} - (V_{EE} + V_1 - V_{BE}) \frac{R_C}{R_E} \quad (6.1)$$

çıkar.  $V_1 = 0$  için bulunacak çıkış gerilimi,  $V_2$  nin sükünet değeridir.

Sükünet durumu yakınılarında küçük genlikli değişimler için kazanç hesaplanırsa

$$K = \frac{\Delta V_2}{\Delta V_1} = \frac{\partial V_2}{\partial V_1} = - \frac{R_C}{R_E} \quad (6.2)$$

bulunur. Ancak (6.1) bağıntısından kolayca görültür ki çıkış geriliminin belirli bir  $\Delta V_2$  değişimi  $\Delta V_1 = \Delta V_2 / K$  giriş gerilimi değişimi ile sağlanabileceği gibi  $V_{BE}$  nin yahut  $V_{EE}$  nin  $\Delta V_1$  kadar değişmesinden yahut da  $V_{CC}$  nin  $\Delta V_2$  kadar değişmesinden de ileri gelmiş olabilir. Bu yorum doğru gerilim kuvvetlendiricilerinde besleme kaynaklarının ( $V_{CC}$  ve  $V_{EE}$  nin) kararlılıklarının çok önemli olduğunu gösterir. Ayrıca  $V_{BE}$  nin oldukça yüksek olan ( $-2 \text{ mV}/^\circ\text{C}$ ) sıcaklığa bağımlılığının da bu tip devrelerde büyük dikkat gerektirdiği ortaya çıkar. İdeal olarak  $V_2$  çıkış geriliminin kaynak gerilimlerinin ve  $V_{BE}$  nin değişimlerinden hiç etkilenmemesi (bunlara karşı duyarlığı'nın sıfır olması) gereklidir. Çıkış geriliminin —örneğin—  $V_{BE}$  gerilimine karşı mutlak duyarlığı

$$s(V_2, V_{BE}) = \frac{\partial V_2}{\partial V_{BE}} \quad (6.3)$$

büyüklüğü ile belirlenir. Bu tanım gereğince  $V_2$  nin  $V_{CC}$ ,  $V_{EE}$  ve  $V_{BE}$  ye karşı duyarlığı hesaplanırsa sırası ile

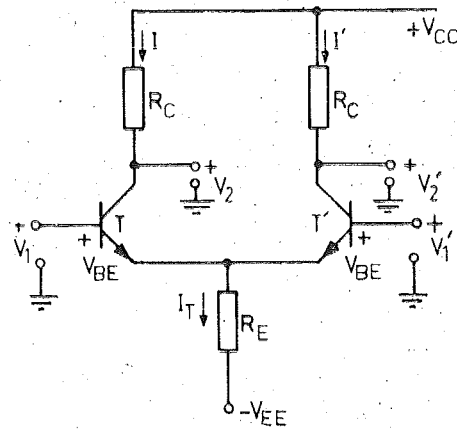
$$s(V_2, V_{CC}) = 1, \quad s(V_2, V_{EE}) = - \frac{R_C}{R_E}, \quad s(V_2, V_{BE}) = \frac{R_C}{R_E}$$

bulunur. Devrenin küçük genlikli değişimler için kazancının da  $K = -R_C/R_E$  olduğu hatırlanırsa  $V_{EE}$  ve  $V_{BE}$  ye karşı duyarlığın kazanç büyütükçe artacağı, düşük duyarlıklı bir devrenin ancak kazançtan büyük ölçüde fedakârlık edilerek gerçekleştirilebileceği sonucuna varılır. Ancak  $V_{BE}$  nin  $1^\circ\text{C}$  lik bir sıcaklık değişimi için yaklaşık olarak  $2 \text{ mV}$  değiştiği göz önüne alırsa düşük bir kazanca razı olunsa bile Şekil 6.4. deki devrenin küçük doğru gerilimlerin kuvvetlendirilmesi için uygun bir devre olmadığı kolayca görüldür. Aşağıda bu amaç için kullanılmaya daha elverişli bir devre incelenecaktır.

### 6.2.2. Emetör Bağlamalı Kuvvetlendirici (Uzun Kuyruklu Devre).

*Emetör bağlamalı kuvvetlendirici, fark kuvvetlendiricisi* yahut *uzun kuyruklu devre* adı ile anılan Şekil 6.5. deki devre doğru gerilim kuvvetlendiricisi olarak en çok kullanılan devre tipidir. Bu devre ve bundan türetilen devre tipleri günümüzde yarıiletken tümdevrelerin en önemli yapı taşları haline gelmiştir.

Devrenin *giriş gerilimlerinin sıfır olması* (yani  $T$  ve  $T'$  nün her ikisinin de bazlarının referansa bağlanması) halinde baz-emetör jonksiyonlarının kutuplama geriliminin geçirme yönünde olabilmesi için  $R_E$  ortak emetör direncinin alt ucu referansa göre negatif bir  $V_{EE}$  kaynağına bağlanmıştır. Bu durumda  $T$  ve  $T'$  nin baz-emetör kutuplama gerilimleri aynı olacağından —tranzistorlar eş ise—  $I$  ve  $I'$  akımları biribirine eşittir. Yaklaşık olarak bunların toplamına eşit olan  $I_T$  akımının değeri de



Şekil 6.5. Emetör bağlamalı devre.

$$I_T = \frac{V_{EE} - V_{BE}}{R_E}$$

bağıntısı ile belirlidir.

Sükûnet halinde  $T$  nin çıkış gerilimi olan  $V_2$  için

$$V_2 = V_{CC} - R_C \cdot I = V_{CC} - R_C (I_T / 2)$$

$$V_2 = V_{CC} - (R_C / 2 R_E) (V_{EE} - V_{BE})$$

yazılabilir. Buradan çıkış geriliminin  $V_{CC}$ ,  $V_{EE}$  ve  $V_{BE}$  ye karşı duyarlıklar sırası ile

$$s(V_2, V_{CC}) = 1, \quad s(V_2, V_{EE}) = -\frac{R_C}{2R_E}, \quad s(V_2, V_{BE}) = \frac{R_C}{2R_E}$$

bulunur. Devrenin ilging bir tarafı —ilerde görüleceği gibi— gerilim kazancının pratik olarak  $R_E$  den bağımsız olmasıdır. O halde çok büyük  $R_E$  değerleri kullanılarak çıkış geriliminin  $V_{EE}$  nin ve  $V_{BE}$  nin değişimlerinden etkilenmesi büyük ölçüde azaltılabilir.

Cıktı gerilimi olarak  $V_o = (V_2 - V_2')$  alınırsa devrenin  $V_{BE}$  nin değişimlerine karşı duyarlığı daha da az olur. T ve T' es tranzistorlar oluklarından ortam sıcaklığının değişmesi  $V_{BE}$  ve  $V'_{BE}$  yü aynı yönde ve eşit miktarlarda değiştirir. Bunun sonucu olarak I ve  $I'$  de aynı yönde ve eşit mikarda değişeceğinden  $V_o$  eski değerinde sabit kalır. Aynı durum  $V_{CC}$  nin değişimleri için de söz konusudur.

Şimdi devrenin basitleştirilmiş esdeğerini çizerek küçük genlikli değişimler için kazancı hesaplayalım (Şekil 6.6.):

$$E \text{ düğümünden } g_m(v_{be} + v'_{be}) = v_e (2g_i + G_E) - v_1 g_i - v_1' g_i \quad (6.4)$$

$$C \text{ düğümünden } -g_m v_{be} = v_2 G_c \quad (6.5)$$

$$C' \text{ düğümünden } -g_m v'_{be} = v_2' G_c \quad (6.6)$$

yazılabilir. Ayrıca

$$v_{be} + v_e = v_1 \quad ; \quad v'_{be} = v_1 - v_e \quad (6.7)$$

$$v'_{be} + v_e = v_1' \quad ; \quad v_{be}' = v_1' - v_e \quad (6.8)$$

dir. (6.7) ve (6.8) bağıntıları (6.4) de yerine konup  $v_e$  ye göre düzenlirse

$$v_o = \frac{(g_m + g_i)(v_1 + v_1')}{(2g_m + 2g_i + G_E)} = \frac{(v_1 + v_1')}{2 + \frac{G_E}{(g_m + g_i)}} \quad (6.9)$$

bulunur. (6.7) bağıntısı (6.5) de yerine konarak  $v_2$  çözülürse

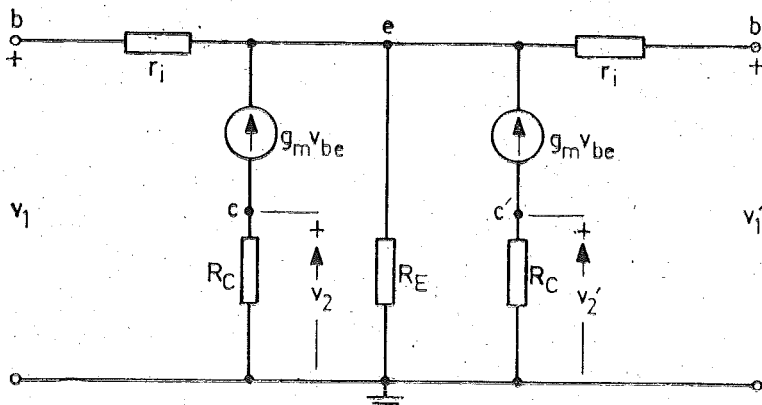
$$v_2 = (g_m/G_c)(v_e - v_1) \quad (6.10)$$

ve benzer şekilde

$$v_2' = (g_m/G_c)(v_e - v_1') \quad (6.11)$$

elde edilir. Devrede  $R_E$  ortak emetör direncinin değeri çok büyükse ( $G_E \ll 2(g_m + g_i)$  ise) (6.9) bağıntısı

$$v_e \approx -\frac{1}{2} (v_1 + v_1') \quad (6.12)$$



Sekil 6.6. Emetör bağlamalı devrenin basitleştirilmiş eşdeğer devresi.

Şekilde basitleştirilebilir. (6.12) bağıntısı (6.10) ve (6.11) de kullanılsa  $v_2$  ve  $v_2'$  çıkış gerilimlerini  $v_1$  ve  $v_1'$  giriş gerilimleri cinsinden veren iki bağıntı bulunur:

$$v_2 = -\frac{g_m}{2G_e} (v_1 - v_1') = -\frac{R_C}{2r_e} (v_1 - v_1') \quad (6.13)$$

$$v_2' = +\frac{g_m}{2G_e} (v_1 - v_1') = +\frac{R_C}{2r_e} (v_1 - v_1')$$

Bu sonuç şu şekilde yorumlanabilir:

1. Devrenin çıkışlarından, büyüklükleri giriş işaretlerinin *fark'* ile orantılı olan, zıt fazda iki gerilim elde edilmektedir. Bu yüzden devreye *fark kuvvetlendiricisi* (diferansiyel kuvvetlendirici) denir.
2. Giriş işaretlerinden biri (örneğin  $v_1'$ ) sıfır yapılrsa çıkış gerilimleri

$$v_2 = -\frac{1}{2} \frac{R_C}{r_e} v_1$$

$$v_2' = +\frac{1}{2} \frac{R_C}{r_e} v_1$$

olur. Yani devre bir  $v_1$  geriliminden, eşit genlikli ve zıt fazlı iki gerilim elde edilmesinde kullanılabilir.

3. Çıkış gerilimi olarak iki kolektör arasındaki gerilim yani  $v_o = (v_2 - v_2')$  alınırsa

$$v_o = (v_2 - v_2') = - (R_C/r_e) (v_1 - v_1')$$

bulunur. Devrenin  $v_o$  çıkışına *fark işaret çığırı* (diferansiyel çıkış) ve

$$K_d = \frac{(v_2 - v_2')}{(v_1 - v_1')} = - \frac{R_C}{r_e} \quad (6.14)$$

büyüklüğünə devrenin *fark işaret kazancı* (diferansiyel kazanç) denir.

Devrenin iki girişinden biri  $v_1$  öteki  $v_1' = -v_1$  gerilimi ile antisimetrik olarak sürültürse çıkışlardan birinin gerilimi (örneğin  $v_2$ )

$$v_2 = - (R_C/2r_e) [v_1 - (-v_1)]$$

$$v_2 = - (R_C/r_e) \cdot v_1 \quad (6.14 a)$$

olur ki bu durumda da  $v_2/v_1$  oranı devrenin *fark işaret kazancı*'na eşit olur.

4. Devrenin sağladığı kazanç aynı tipten bir tranzistor kullanılarak gerçekleştirilen ve emetöründe direnç *bulunmayan* bir kuvvetlendiricinin kazancı mertebesindedir ve —çok büyük değerde olması şartı ile—  $R_E$  den bağımsızdır. Bu sayede kazançtan fedakârlık etmeksizin besleme kaynağı gerilimlerine ve sıcaklığa karşı duyarlığı çok küçük olan yüksek kazançlı devreler gerçekleştirilebilir.

5. (6.13) ve (6.14) bağıntılarına bakıldığında varılan bir başka sonuç da  $v_1$  in  $v_1'$  ye eşit olması (yani iki girişe ortak olarak bir işaretin uygulanması) halinde kolektör gerilimlerinin değişimeyecekleri sonucudur. Ancak pratikte bir fark kuvvetlendiricisinin iki girişine ortak bir işaret uygulandığında  $v_2$  ve  $v_2'$  nun sıfır olmadığı, yani devrenin ortak işaretler için de bir kazanç verdiği görülür. *Ortak işaret kazancı*'nın değeri,  $R_E = \infty$  kabulu ile bulunmuş olan (6.13) bağıntılarına göre sıfır olmalıdır. Ancak  $R_E$  de hesaba katılarak ortak işaret kazancı hesaplanırsa

$$K_C = \frac{v_2}{v_1} = - \frac{R_C}{2R_E + r_e} \quad (6.15)$$

bulunur ki bunun,  $R_E$  nin değeri büyükçe küçüleceği açıkları.  $\rho = |K_d/K_C|$  oranına devrenin *ortak işaretin zayıflatma oranı* denir.

CMRR(\*) simbolü ile gösterilen bu oran genellikle dB olarak ifade edilir ve kuvvetlendiricinin iki girişine ortak gelen bir işaret bileşeninin, bir fark işaretine göre ne ölçüde daha az etkili olduğunu belirler. Buna göre Şekil 6.5. deki devrenin ideale yakın bir fark kuvvetlendiricisi olabilmesi için  $R_E$  nin değerinin çok büyütülmesi gereklidir.

### Örnek :

Şekil 6.5. deki devrede  $V_{CC}=10$  V,  $-V_{EE}=-15$  V;  $V_{BE}=0,6$  V;  $h_{fe}=50$  dir. (a) T ve  $T'$  nün sükünet akımlarının  $I=I'=0,5$  mA ve kolektör-emetör gerilimlerinin  $V_{CE}=6$  V olması için  $R_C$  ve  $R_E$  dirençlerinin değerleri ne olmalıdır? (b) Devrenin fark işaret kazancı ( $K_d$ ), ortak işaret kazancı ( $K_c$ ) ile ortak işaret zayıflatma oranını (CMRR) hesaplayınız. c)  $v_1=+1$  mV,  $v_1'=-1$  mV için  $v_2$  çıkış geriliminin değeri nedir? (d)  $v_1=v_1'=+1$  mV için  $v_2$  nin değeri nedir?

a) Sükünet halinde ( $v_1=v_1'=0$ )  $V_E=-0,6$  V dur.  $V_{CE}=6$  V olması,  $V_C$  nin 5,4 V olması demektir. O halde  $R_C$  deki gerilim düşümü

$$I \cdot R_C = (10 - 5,4) = 4,6 \text{ V}$$

dur. Buradan

$$R_C = \frac{4,6}{0,5 \cdot 10^{-3}} = 9,2 \text{ k ohm}$$

bulunur.  $R_E$  den akan akım  $I_T=I+I'=1$  mA, uçlarındaki gerilim düşümü ise

$$\begin{aligned} I_T \cdot R_E &= V_E - (-V_{EE}) \\ &= -0,6 + 15 = 14,4 \text{ V} \end{aligned}$$

dur. Buradan

$$R_E = \frac{14,4}{1 \cdot 10^{-3}} = 14,4 \text{ k ohm}$$

elde edilir.

b) Fark işaret kazancı için yaklaşık basit bağıntının kullanılabilmesi için  $G_E \ll 2 \cdot (g_m + g_i)$  şartı sağlanmalıdır.

$$G_E = \frac{1}{R_E} = \frac{1}{14,4 \cdot 10^3} = 69,4 \cdot 10^{-6} \text{ S}$$

(\*) CMRR simbolü ortak işaret zayıflatma oranı'nın ingilizce karşılığı olan «Common Mode Rejection Ratio» teriminin ilk harflerinden gelmektedir.

$$g_m = \frac{1}{r_e} = \frac{I (\text{mA})}{25} = \frac{0,5}{25} = 0,02 \text{ S}$$

$$g_i = \frac{1}{h_{fe} \cdot r_e} = \frac{1}{50 \cdot 50} = 0,4 \cdot 10^{-3} \text{ S}$$

dir. O halde

$$K_d \cong -R_C/r_e$$

bağıntısı kullanılabilir:

$$K_d \cong -9200/50 = -184$$

çıkar. Ortak işaret kazancı ise (6.15) bağıntısından

$$K_c = -\frac{R_C}{2R_E + r_e} = \frac{9,2 \cdot 10^3}{2 \times 14,4 \cdot 10^3 + 50}$$

$$K_c = -0,32$$

bulunur.  $\rho = |K_d/K_c| = 184/0,32 = 575$  dir. O halde

$$\text{CMRR} = 20 \log |K_d/K_c| = 20 \log 575 = 55,2 \text{ dB}$$

çıkar.

c)  $v_1 = 1 \text{ mV}$ ,  $v_1' = -1 \text{ mV}$  olduğundan ortak işaret yoktur. Fark işaret sebebi ile meydana gelen  $v_2$  çıkış gerilimi değişimi (6.14 a) bağıntısından

$$v_2 = K_d \cdot v_1 = -184 \cdot 1 \text{ mV} = -184 \text{ mV}$$

bulunur. Yani T nin kolektör gerilimi sükünət değerinden 184 mV aşağıdadır.

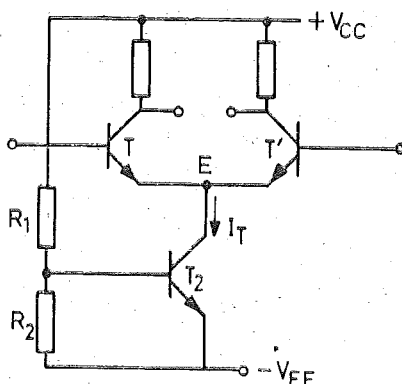
d)  $v_1 = +1 \text{ mV}$ ,  $v_1' = +1 \text{ mV}$  durumunda 1 mV luk bir ortak işaret vardır. Bunun doğuracağı  $v_{2c}$  çıkış gerilimi (6.15) bağıntısına göre

$$v_{2c} = -K_c \cdot 1 \text{ mV} = -0,32 \cdot 1 = -0,32 \text{ mV}$$

olur. Demek oluyor ki devre iki giriş için ortak olan bir giriş gerilimini (örneğimizde +1 mV), iki girişe antisimetrik olarak uygulanan aynı değerde bir gerilime göre  $184/0,32 = 575$  defa daha zayıf olarak çıkışa aktarmaktadır ki bu değer —dB olarak— devrenin ortak işaretin zayıflatma oranına eşittir.

$R_E$  nin değerinin arttırılmasının daha büyük  $V_{EE}$  gerilimlerini gerektireceği açıkları. Bunun yerine uçları arasındaki doğru gerilim düşümü

küçük olduğu halde küçük işaret direnci yüksek olan bir iki uçlu kullanmak elverişlidir. Bu amaçla  $I_T$  ye eşit bir akım akitacak şekilde kutuplanmış bir tranzistorun kolektör-emetör iki uglusu kullanılabilir (Şekil 6.7.). Burada emetör bağlamalı çift, aşağıdaki  $T_2$  tranzistorunun kolektör yükünü oluşturmaktadır. Ortak emetör noktası ile  $V_{EE}$  ucu (dolayısı ile referans noktası) arasındaki küçük işaret direnci  $T_2$  nin çıkış direncidir. Direnç değerini daha da artırmak için  $T_2$  nin emetöründe seri bir  $R_E'$  direnci bağlanabilir. Bu ayrıca  $T_2$  nin ısıl kararlılığının sağlanması ( $I_T$  akımının sıcaklığı bağlı olarak değişimemesi) için de gereklidir.



Şekil 6.7. Emetör bağlamalı devrede emetör direnci yerine bir tranzistorun ( $T_2$ ) çıkış direncinin kullanılması.

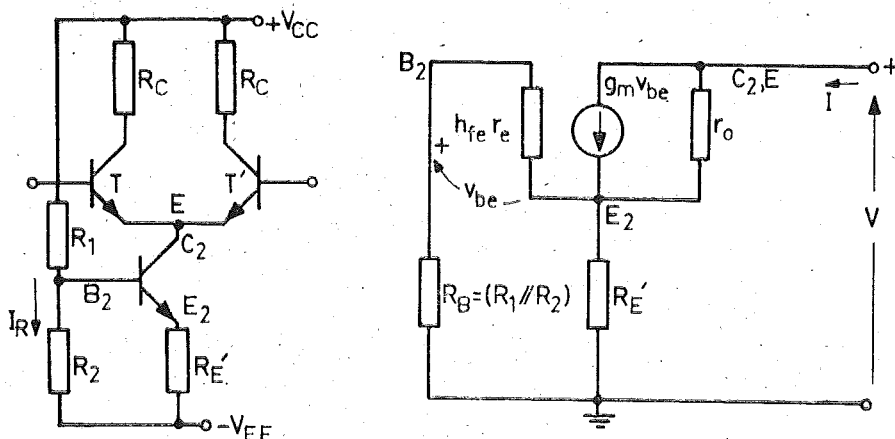
Şekil 6.8. de böyle bir devre verilmistiştir. Akım kaynağı olarak kullanılan  $T_2$  tranzistorunun kolektörü ile referans noktası arasında görülen  $r_o'$  küçük işaret direnci Şekil 4.12. deki esdeğer yardım ile ve (4.30) bağıntısında  $R_g' = R_B$ ,  $R_E = R_E'$  konularak hesaplanabilir :

$$r_o' = \frac{1}{h_{oe}} \left[ \frac{R_B + h_{fe}(r_e + R_E')}{R_B + h_{fe} r_e + R_E'} \right] \quad (6.16)$$

$h_{fe} \gg 1$  olduğundan  $r_o'$  nün,  $R_E' = 0$  haline karşı düşen çıkış direncine ( $r_o = 1/h_{oe}$  ye) göre daha büyük olacağı açıklar.  $r_o'$  nün  $R_E' \rightarrow \infty$  için asimptotik değerinin

$$r_o' \approx (1/h_{oe}) \cdot h_{fe} \quad (6.17)$$

olacağı da kolayca görülebilir.



Sekil 6.8.  $T_2$  nin çıkış direncinin büyütülmesi için  $R_E'$  direncinin kullanılması.

### Örnek :

Sekil 6.8. (a) daki devrede  $V_{CC} = +15$  V,  $-V_{EE} = -15$  V,  $V_{BE} = 0,6$  V,  $h_{fe} = 100$ ,  $R_1 = 25$  k,  $R_2 = 5$  k ohm'dur. (a)  $T$  ve  $T'$  nün sükünət akımlarının  $I = I' = 100 \mu A$  olması için  $R_E'$  direncinin değeri ne olmalıdır? (b)  $T_2$  nin sağladığı esdeğer direnç ne kadar? ( $T_2$  nin bu çalışma noktasındaki çıkış direnci  $r_o = 20$  k ohm'dur). (c) Bu direnç değeri  $T_2$  yerine bir direnç kullanılarak sağlanırsa iddi  $V_{EE}$  kaynağının geriliminin ne kadar olması gerekiyor?

a)  $T_2$  nin sükünət akımı  $I_T = I + I' = 200 \mu A$  dir. Baz akımı  $R_1$  ve  $R_2$  üzerinden akan akım ( $I_R$ ) yanında ihmäl edilebilecek kadar küçük olduğundan  $B_2$  noktasının gerilimi

$$V_{B2} = -V_{EE} + I_R R_2$$

$$I_R = \frac{V_{CC} + V_{EE}}{R_1 + R_2}$$

olduğundan

$$V_{B2} = -15 + \frac{15+15}{(25+5) \cdot 10^3} \cdot 5 \cdot 10^3 = -10 \text{ V}$$

bulunur. Ohalbde  $V_{E2} = V_{B2} - V_{BE2} = -10 - 0,6$  V,  $R_E'$  nün uçları arasındaki gerilim düşümünü de  $V_{RE'} = (-V_{EE}) = -10,6 + 15 = 4,4$  V olması gerekiyor.

Bu gerilim düşümünü meydana getirecek olan akım —büyük yaklaşık-likla—  $I_T = 200 \mu A$  olduğundan

$$R_E' = \frac{4,4}{200 \cdot 10^{-6}} = 22 \text{ k ohm}$$

çıkar.

b)  $T_2$  nin bu  $R_E'$  ve  $R_1$ ,  $R_2$  baz bölgüsü ile birlikte küçük işaret çıkış direnci (6.17) bağıntısından hesaplanabilir.  $R_B = R_1 // R_2 = 4,17 \text{ K}$ ,  $T_2$  için  $r_{e2} = 25/0,2 = 125 \text{ ohm}$ 'dur.

$$r_o' = 20 \cdot 10^3 \frac{100 \cdot 125 + (100+1) 22 \cdot 10^3 + 4,17 \cdot 10^3}{100 \cdot 125 + 22 \cdot 10^3 + 4,17 \cdot 10^3} + 22 \cdot 10^3$$

$$r_o' = 20 \cdot 10^3 \times 57,9 + 22 \cdot 10^3$$

$$r_o' = 1,18 \text{ M ohm}$$

c) Devrede  $T_2$  yerine  $1,18 \text{ M ohm}$  değerinde bir direnç kullanılsa idi  $200 \mu A$  lik  $I_T$  akımının bunun üzerinde meydana getireceği gerilim düşümü

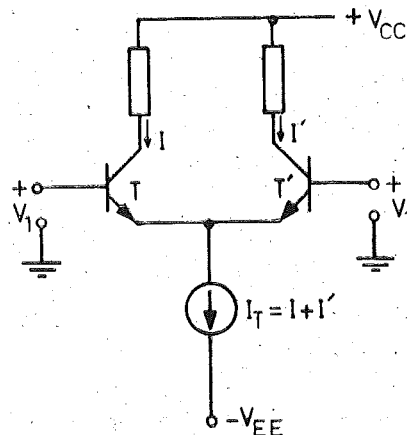
$$\begin{aligned} V_{RE} &= I_T \cdot R_E \\ &= 200 \cdot 10^{-6} \cdot 1,18 \cdot 10^6 \\ &= 236 \text{ V} \end{aligned}$$

olurdu. Dolayısı ile  $-V_{EE} = -236,6 \text{ V}$  luk bir negatif gerilim kaynağı kullanılması gereklidir.

#### 6.2.2.1. Akım Kaynağı Kullanılarak Gerçekleştirilen Devreler.

Bir fark kuvvetlendiricisinde ortak işaret kazancını küçültmenin en etkili yolu devredeki  $I_T$  akımını ideal bir *doğru akım kaynağından* sağlamak (Şekil 6.9.). Bu durumda  $I_T$  sabit olacağinden sükünette herbiri  $I_T/2$  ye eşit olan  $I$  ve  $I'$  de sabittir. Girişlere bir ortak işaret uygulandığında  $I$  ve  $I'$  nin *ikisinin birden* ya artması ya azalması gerekir ki  $I + I' = I_T = \text{sabit}$  olduğundan bu, olanaksızdır. Yani girişlere ortak uygulanan bir gerilim çıkışta bir değişim meydana getiremez (ortak işaret kazancı sıfırdır).

Günümüzde yarıiletken tümdevre teknigi ile gerçekleştirilen kuvvetlendiricilerde *akım kaynağı* devrelerinden geniş ölçüde yararlanılmaktadır. Bunların en basit —ve çok kullanılan— tipi Şekil 6.10. da verilmiştir.  $T_2$  tranzistoru akım kaynağı ödevini yapacak olan tranzistordur.  $T_1$  ise



Sekil 6.9. Emetör direnci yerine doğru akım kaynağı kullanılması.

bunun akımını belirlemek için kullanılır. Şekilden görüldüğü gibi  $T_1$  tranzistorunun bazı kolektörüne bağlanmıştır. Yani kolektör-emetör gerilimi, baz-emetör gerilimine ( $V_{BE}$  ye) eşittir. Bu durumda  $V_{CE}$  oldukça küçük olmakla beraber tranzistor henüz doymadı değildir. Belirli bir  $V_{BE}$  değeri için  $T_1$  den akacak olan emetör akımı

$$I_E = I_o (e^{V_{BE}/V_T} - 1) \approx I_o \cdot e^{V_{BE}/V_T}$$

bağıntısı ile belirlidir.  $T_1$  in emetör akımı

$$I_{E1} = I_{C1} + I_{B1}$$

ve  $R$  direncinden akan toplam  $I$  akımı

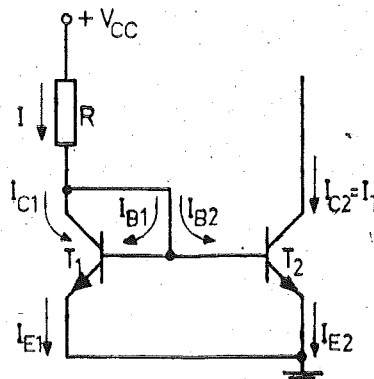
$$I = I_{C1} + I_{B1} + I_{B2} = I_{E1} + I_{B2} \quad (6.18)$$

dir. Bu akım

$$I = \frac{V_{CC} - V_{BE}}{R} \quad (6.19)$$

bağıntısı yardımıyla bulunabilir.  $T_1$  in baz emetör gerilimi aynen  $T_2$  ye de uygulanmıştır. Ohalde  $T_1$  ve  $T_2$  es iki tranzistorsa  $I_{E2} = I_{E1}$  olacaktır.  $T_2$  nin kolektör akımı olan  $I_T$  çıkış akımı

$$I_T = I_{C2} = I_{E2} - I_{B2}$$



Şekil 6.10. Akım kaynağı devresi.

bağıntısı ile (6.18) ve (6.19) bağıntıları kullanılarak hesaplanırsa

$$I_T = \frac{V_{CC} - V_{BE}}{R} - 2 I_{B2}$$

ve

$$I_{B2} = I_T / h_{FE2}$$

olduğundan

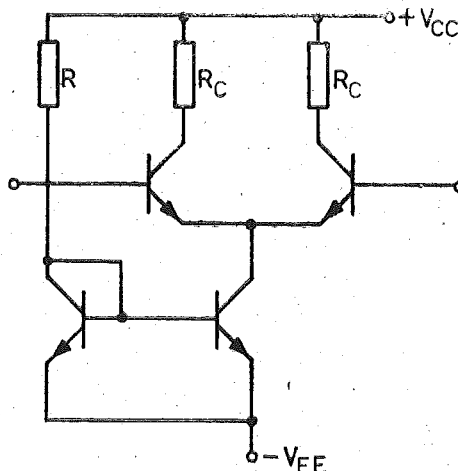
$$I_T = \frac{h_{FE2}}{h_{FE2} + 2} \cdot \frac{V_{CC} - V_{BE}}{R}$$

$$I_T = \frac{V_{CC} - V_{BE}}{R} \quad (6.20)$$

bulunur. Böylece  $I_T$  akımı, akmakta olduğu kol üzerindeki kaynaklardan ve empedanslardan bağımsız olarak belirlenmiş olur. Yani  $T_2$  tranzistoru bu kol üzerinde bulunan bir *akım kaynağı* olarak çalışır.  $I_T$  nin değeri  $V_{BE}$  nin sıcaklığına bağlılığı sebebi ile sıcaklığına bağlı olursa da genellikle  $V_{CC} \gg V_{BE}$  yapılarak bu bağımlılık azaltılabilir.

Şekil 6.11. de toplam emetör akımı Şekil 6.10. daki gibi bir akım kaynağı ile sağlanan emetör bağlamalı bir devre verilmiştir.

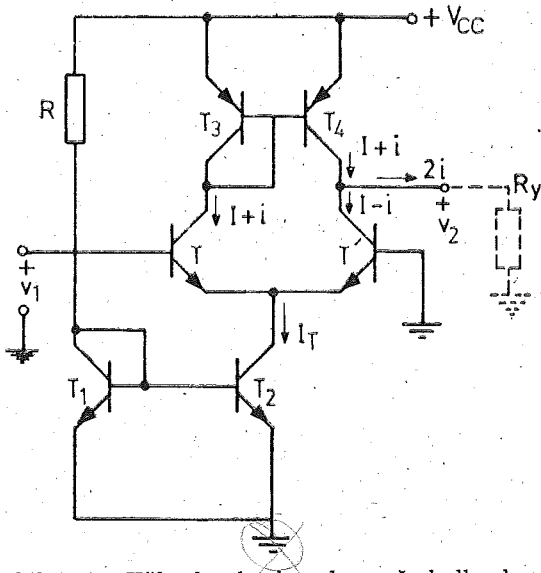
Emetör bağlamalı bir kuvvetlendiricinin fark gerilim kazancının  $R_c$  yük direnci ile (daha doğrusu,  $R_c$  ile bir sonraki katın giriş direncinin paralel esdeğeri olan dirençle) doğru orantılı ve tranzistorların  $r_e$  diren-



Sekil 6.11.  $R_E$  yerine akım kaynağı kullanılması.

ci ile ters orantılı olduğu (6.14) bağıntısı ile gösterilmiştir. Buna göre kazancı artırmadan bir yolu  $R_C$  yi büyütmek, ikinci bir yolu da  $r_e$  yi küçültmektir.  $r_e$ , tranzistorların emetör doğru akımları ile ters orantılı olduğundan  $r_e$  nin küçültülmesi devrenin *giriş doğru akımlarının* ( $I_B$  ve  $I_B'$  nün) büyümESİ demektir ki bu bir *doğru gerilim kuvvetlendiricisi* için sakincalıdır.  $T$  ve  $T'$  nün emetör akımlarının arttırılmasının ikinci bir sakincası da devrenin *küçük işaret giriş direnci*'nin küçülmesidir. O halde kazancı artırmak için olabildiği kadar büyük yük dirençleri kullanmak yoluna gidilmelidir. Tümdevre teknigi ile 10 k ohm'lar mertebesinden daha büyük direnç değerleri kolayca gerçekleştiremediği için  $R_C$  yerine bir tranzistorun çıkış direncini kullanmak yoluna gidilebilir. Buna *aktif yük* denir. Daha iyi bir çözüm yük olarak bir *akım kaynağı* kullanmaktadır.

Devrenin iki çıkışını da kullanılmayacaksız Sekil 6.12. de gösterildiği gibi bir akım kaynağı devresinin bir tranzistoru  $T$  ye, ikinci tranzistoru  $T'$  ye yük olarak bağlanabilir.  $T$  ve  $T'$  nün akım yönleri ile kaynak tranzistorlarının akım yönlerinin uyusabilmesi için akım kaynağı devresi p-n-p tipi tranzistorlarla gerçekleştirilmiştir. Bir sonraki katın giriş direnci,  $R_y$  ile temsil edilmiştir. Sükünette (yani  $v_i=v_1'=0$  iken)  $T_1$  in belirlediği  $I_T$  akımı  $T$  ve  $T'$  arasında eşit şekilde paylaştırılır. Girişe —örneğin  $T$  nin akımını artıracak yönde— bir gerilim uygulanmış olsun.  $T$  nin akımında meydana gelen artım  $i$  ile gösterilirse — $I_T$  sabit olduğundan—



Şekil 6.12. Yük olarak akım kaynağı kullanılması.

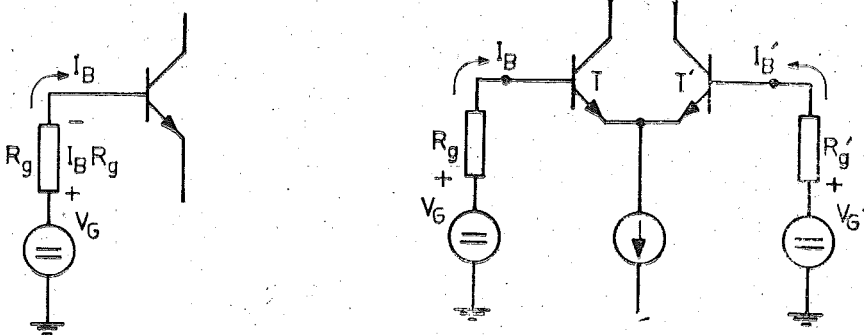
$T'$  nün akımı da  $i$  kadar azalacaktır. Öte yandan yukarıdaki akım kaynağı çiftinin akımlarının eşit olması şartından  $T_4$  ün akımının  $(I+i)$  olması gerektiği sonucu çıkar.  $T'$  nün akımının  $(I-i)$ ye,  $T_4$  ün akımının ise  $(I+i)$ ye eşit olması ancak  $R_y$  yükü (bir sonraki katın girişi) üzerinden  $2i$  akımının akması ile kabildir.  $T'$  nün yükü bir  $R_c$  direncinden ibaret olsa idi çıkış gerilimi  $v_2' = R_c \cdot i$  ve bu durumda gerilim kazancı (6.13) bağıntısı gereğince  $K = (R_c / 2r_e) v_1$  olacaktı. Yeni durumda çıkış gerilimi  $v_2' = R_y \cdot 2i$  dir. O halde gerilim kazancı

$$K_v = R_y / r_e$$

olacaktır. Göründüğü gibi kazancı bir sonraki devrenin giriş direnci belirlemekte yani akım kaynağı bir sonsuz yük direnci rolü oynamaktadır. Ayrıca  $T$  nin çıkışındaki akım değişiminden de yararlanılması, kazancın bir 6 dB daha artmasına yol açmaktadır.

Doğru gerilim kuvvetlendiricilerinde giriş doğru akımının değerinin küçük olması istenir. Çünkü bu akımın işaret kaynağının iç direnci üzerinde meydana getireceği gerilim düşümü girişte —kaynağa ilâve olarak gelen— ikinci bir gerilim kaynağı gibi etki yapar. Örneğin Şekil 6.13. (a) daki devrede  $T$  nin giriş akımı ( $I_B$ )nin  $R_g$  üzerinde meydana getirdiği gerilim düşümü  $I_B \cdot R_g$  olduğundan  $T$  nin bazı ile referans noktası ara-

sindaki toplam etkili gerilim sadece  $V_G$  işaret gerilimi değil,  $(V_G - I_B \cdot R_g)$  gerilimidir. Özellikle büyük iç dirençli kaynaklarla çalışmak gerekiğinde bu  $I_B \cdot R_g$  hata teriminin öneminin artacağı açıklıktır. Diferansiyel girişli devrelerde bu hata, iki girişe seri gelen dirençler eşit tutularak azaltılabilir. Örneğin Şekil 6.13 (b) deki devrede  $R_g = R'_g$  yapılrsa —T ve T'



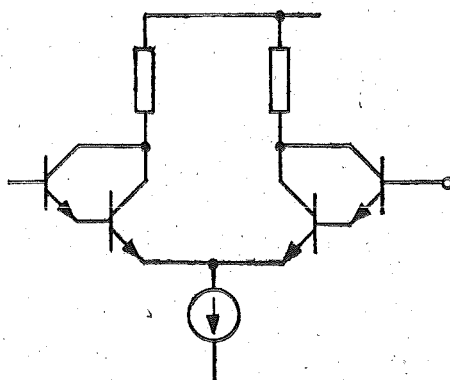
Şekil 6.13. (a) Giriş akımının  $R_g$  üzerinde doğurduğu «yalancı» giriş gerilimi.  
(b) Fark kuvvetlendiricisinde giriş akımları.

nün baz akımları eşit olduklarından— iki girişe ait hata terimleri birbirini götürür. Ancak pratikte T ve T' nün yapışal farklılıklar sebebi ile genellikle  $I_B$  ve  $I_B'$  tam tamına eşit olmaz ve  $(\Delta I_B \cdot R_g)$  değerinde bir hata terimi ortaya çıkar. Bu  $\Delta I_B = (I_B - I_B')$  farkına devrenin *giriş dengesizlik akımı* denir. (Benzer şekilde T ve T' nün  $V_{BE}$  gerilimleri arasında yapışal nedenlerle var olan farka da giriş dengesizlik gerilimi adı verilir. Bu gerilimin değeri genellikle 1 ... 5 mV ve sıcaklığa bağımlılığı 1 ... 10  $\mu$ V/ $^{\circ}$ C mertebesindedir).

Emetör bağlamalı kuvvetlendiricilerde giriş akımı olan  $I_B$  nin küçük yapılabilmesi için T ve T' nün kolektör akımlarının küçük seçilmesi gereklidir. Ancak çok küçük kolektör akımı değerlerinde (modern tranzistorlarda 10  $\mu$ A den daha küçük kolektör akımlarında) tranzistorların  $h_{FE}$ leri önemli ölçüde düşer. Ayrıca akımın küçültülmesi  $r_e$  nin büyümeye yol açar. Bu yüzden T ve T' nün akımları fazla küçültülemez. Küçük giriş akımlı kuvvetlendiriciler gerçekleştirmede kullanılan yollardan biri  $h_{FE}$ leri çok yüksek olan özel tranzistorlar (süper  $\beta$  yahut süper kazançlı tranzistorlar) kullanmaktadır. Bu tranzistorlarda  $h_{FE}$ , 5000 mertebesindedir. Ancak bu büyük  $h_{FE}$  değerine baz bölgesi genişli-

ğinin çok küçük yapılması sayesinde ulaşıldığından kolektör-emetör delinme gerilimi çok küçük ( $2 - 3$  volt) olur ve özel koruma önlemleri gerektirir. Bu tranzistorlar  $50 \mu\text{A}$  mertebesinde kolektör akımları ile kullanılarak  $10 \text{nA}$  mertebesinde giriş akım değerlerine inilebilir.

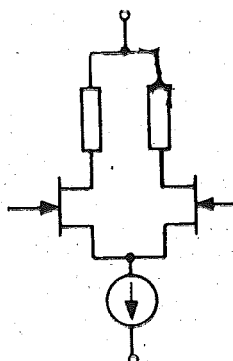
Giriş akımlarını küçültmenin ikinci bir yolu da  $T$  ve  $T'$  yerine birer *Darlington çifti* kullanmaktadır (Şekil 6.14.). Bir Darlington çiftinin eşdeğer  $h_{FE}$  si çifti oluşturan tranzistorların  $h_{FE}$  lerinin çarpımına eşit olduğundan, standart tranzistorlarla  $10.000$  mertebesinde eşdeğer  $h_{FE}$  değerlerine ulaşılabilir. Böylece  $5 \text{nA}$  mertebesinde giriş akımları gerçek-



Şekil 6.14. Darlington girişi emetör bağlamalı kuvvetlendirici.

lestirilebilir. Devrenin sakıncalı yönü dengesizlik geriliminin ve bunun sıcaklığı bağımlılığının temel devreye oranla daha yüksek olmasıdır.

Bu yollarla elde edilen giriş akımlarının da büyük geldiği yerlerde jonksiyonlu FET girişi yahut MOS girişi fark kuvvetlendiricilerinden yararlanılır (Şekil 6.15.). Bunlarla  $\text{pA}$  ler mertebesinde giriş akımları sağlanabilir. Küçük işaret giriş dirençleri de  $10^9 \dots 10^{10}$  ohm mertebesinde olabilir. Ancak gerek dengesizlik gerilimleri gerekse bunların sıcaklığı bağımlılığı tranzistorlu temel devredenin göre büyütür ( $10 \dots 20 \text{ mV}$  ve  $>40 \mu\text{V}/^\circ\text{C}$ ). Ayrıca jonksiyonlu FET'lerin ve MOS'ların yarıiletken tümdevrelerde bipolar tranzistorla birlikte gerçekleştirilmelerinin problemli olması ikinci bir sakıncadır.



Sekil 6.15. FET girişi fark kuvvetlendiricisi.

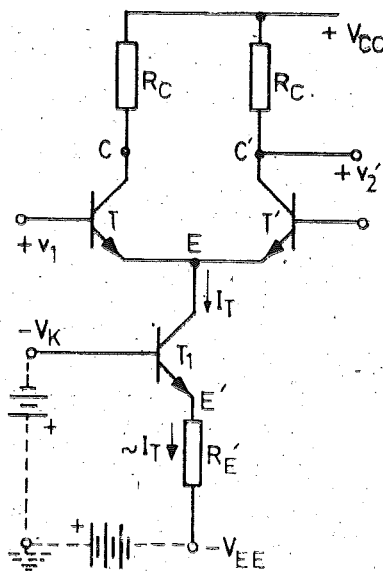
#### 6.2.2.2. Emetör Bağlamalı Kuvvetlendiricilerde Kazanç Ayarı.

Birçok uygulamada kullanılan kuvvetlendiricinin kazancının ayarlanabilmesi gereklidir. Bu iş ya elle, bir direncin değeri değiştirilerek, ya da kuvvetlendirici elemanın *eğim*'ini etkileyen bir akım veya gerilimin değiştirilmesi ile yapılabilir. Kazancın bir akım veya gerilimle kontrol edilebilmesi özellikle kazancın otomatik olarak kontrol edilmesinin gerekliliği hallerde (örneğin bir radyo alıcısının kazancının kuvvetli bir istasyon dinlenirken azalıp, zayıf bir istasyon dinlenirken çoğalmasını sağlayan otomatik kazanç ayarı düzeninin gerçekleştirilmesinde) çok önemlidir.

Bir emetör bağlamalı kuvvetlendiricide kazanç  $r_e$  ile ters orantılı dolayısı ile  $I_T$  ile doğru orantılı olduğundan,  $I_T$  değiştirilerek kazanç kontrol edilebilir. Şekil 6.16. daki devrede  $T_1$  tranzistorunun akımı olan  $I_T$ ,  $V_K$  kontrol gerilimine

$$I_T = \frac{V_{EE} - V_K - V_{BE}}{R_E'} \quad (6.21)$$

bağıntısı ile bağlıdır.  $I_T$  nin teorik minimum değeri sıfır, teorik maksimum değeri ise  $T$ ,  $T'$  ve  $T_1$  in doyma bölgesine girmeye başladığı akımdır. Ancak,  $C$  ve  $C'$  çıkış noktalarının sükünət gerilimleri de  $I_T$  ye bağlı olduğundan pratikte akım bu kadar geniş bir aralıktaki değişimlemez. Yine bu sebepten elde edilebilecek maksimum çıkış genliği de  $I_T$  ye (dolayısı ile kazanca) bağlıdır. Bu yüzden devre ancak küçük işaret seviyelerinde kullanılabilir.



**Sekil 6.16.** Emetör bağlamalı devrede kazancın  
 $V_K$  gerilimi ile kontrolü.

### Örnek :

Sekil 6.16. daki devrede  $V_{CC} = +15$  V,  $V_{EE} = -15$  V,  $R_C = 10$  k,  $R_E = 3$  k ohm dur. (a)  $V_K$  nin değeri en çok ne kadar olabilir? (b)  $V_K = -6$  V için  $v_2/v_1$  kazancı ne kadardır? Çıkışta kırıplıma olmaksızın girişe uygulanabilecek en büyük işaret gerilimi değeri nedir? (c) Kazancı 20 dB düşürmek için  $V_K$  nin değeri ne olmalıdır? Bu durum için girişe uygulanabilecek maksimum giriş gerilimi ne kadar olur?

(a)  $T_1$  tranzistorunun lineer çalışma bölgesinde kalabilmesi (yani doymaya girmemesi) için  $V_{CB} \geq 0$  olmalıdır. Ohalbde  $V_K$  geriliminin maksimum değeri  $V_{K\max} = V_E \cong -0,6$  V dur. Bu durumda  $V_{CE} = V_{BE} \cong 0,6$  V olacağından  $V_E'$  gerilimi de  $V_E - 0,6 \cong -1,2$  V dur.  $I_T$  akımı ise  $I_{\max} = (V_E' - V_{EE})/R_E' = (-1,2 + 15)/3$  k = 4,6 mA çıkar. Bu akım  $T$  ve  $T'$  arasında bölüşür. Bu tranzistorların lineer çalışma bölgesinde kalmaları için  $V_{CE} \geq V_{BE}$  olmalıdır.  $V_{CE} = V_{BE}$  sınır durumunda  $V_C = V_B = 0$  olur.  $I$  akımının  $R_C$  üzerinde meydana getirebileceği gerilim düşümü en çok  $V_{CC} - V_C = 15 - 0$  V olabileceğinden  $I$  akımının değeri de en çok  $I_{\max} = V_{CC}/R_C = 1,5$  mA olabilir. O halde devredeki tranzistorları doymaya sokmamak şartı ile akitlabilen en büyük  $I_T$  akımı değeri 3 mA'dır. Bu na karşı düşen  $V_K$  gerilimi (6.21) bağıntısı yardımı ile

$$\begin{aligned} V_{K(\max)} &= V_{EE} - V_{BE} - I_T R_E' \\ &= 15 - 0,6 - 3 \cdot 10^{-3} \cdot 3 \cdot 10^3 \end{aligned}$$

$$\begin{aligned} V_{K(\max)} &= 5,4 \text{ V} \\ -V_{K(\max)} &= -5,4 \text{ V} \end{aligned}$$

çıkar.

(b)  $-V_K = -6 \text{ V}$  için

$$I_T = \frac{15 - 6 - 0,6}{3} = 2,8 \text{ mA}$$

$$I = I' = 1,4 \text{ mA}$$

ve

$$r_e = 25 / 1,4 = 17,8 \text{ ohm}$$

olduğundan,

$$K = R_C / 2r_e = 280$$

bulunur. C' noktasının sükünet gerilimi

$$\begin{aligned} V_{C'} &= V_{CC} - I' R_C \\ &= 15 - 1,4 \cdot 10^{-3} \cdot 10^4 = 1 \text{ V} \end{aligned}$$

dur. T' nün doyma bölgesi sınırı  $V_{C'} = 0$  olduğundan çıkış geriliminin negatif tepe değeri en çok 1 V olabilir. Ohalde çıkışta kırılma (sınırlama) olmaksızın girişe uygulanabilecek en büyük işaret  $1 \text{ V} / 280 = 3,57 \text{ mV}$  dur.

(c) Kazancın 20 dB (yani 10 defa) düşmesi halinde  $K = 28$  olacaktır. Buna karşı düşen  $r_e$  değeri 178 ohm ve  $I'$  akımı 0,14 mA dir. O halde bu durumda  $I_T = 0,28 \text{ mA}$  olmalıdır. Buna karşı düşen  $V_K$  değeri (6.21) bağıntısından

$$\begin{aligned} V_K &= 15 - 0,6 - 0,28 \cdot 10^{-3} \cdot 3 \cdot 10^3 = 13,56 \text{ V} \\ -V_K &= -13,56 \text{ V} \end{aligned}$$

bulunur.

C' çıkış noktasının sükünet gerilimi

$$\begin{aligned} V_{C'} &= V_{CC} - (I_T / 2) R_C \\ &= 15 - \frac{0,28 \cdot 10^{-3}}{2} \cdot 10^4 = 14,86 \text{ V} \end{aligned}$$

dur. Çıkış gerilimi pozitif yönde  $0,14\text{ V}$  değişirse T' kesime girer. O halde maksimum kırılmaz çıkış gerilimi değişimi  $0,14\text{ V}$  ve buna karşı düşen giriş gerilimi  $0,14/28=5\text{ mV}$  dur.

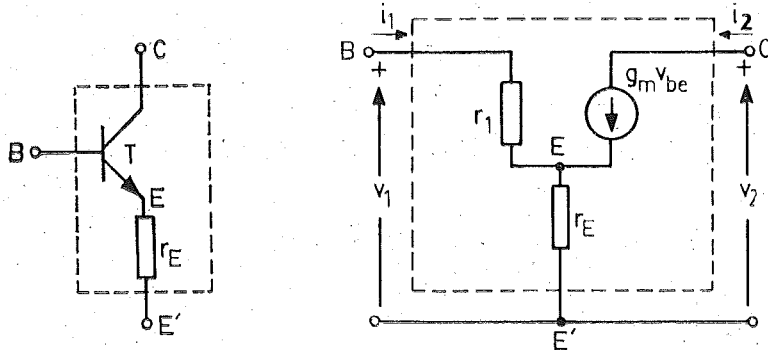
Kazancın ayarlanması için ikinci bir yol da emetör bağlamalı devrede emetörlere seri birer değişken direnç bağlayarak tranzistorların etkin eğim'lerini değiştirmektir. Şekil 6.17. (a) daki T tranzistorunun eğimi  $g_m$  ise T ile  $r_E$  nin birlikte bir tranzistor gibi ele alınmaları halinde sağlanacak eğim (etkin eğim) Şekil 6.17 (b) deki basitleştirilmiş es-değer devreden yararlanılarak hesaplanabilir. Tanım gereğince devrenin eğimi

$$g_m' = \frac{i_2}{v_1} \quad |_{v_2=0}$$

dir.  $v_2=0$  için  $i_2=g_m v_{be}$ ,  $v_1=v_{be}+i_2 \cdot r_E$  ve yalnızca tranzistorun eğiminin  $g_m = i_2/v_{be}$  olduğu göz önüne alınarak  $g_m'$  hesaplanırsa

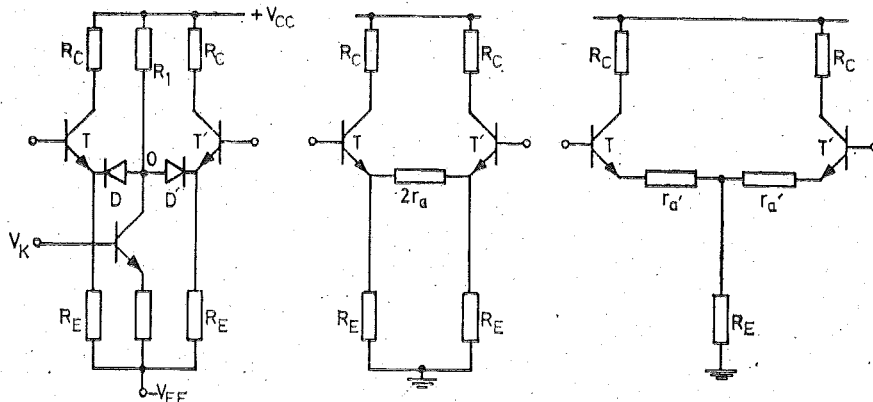
$$g_m' = \frac{g_m}{1 + g_m r_E} \quad (6.22)$$

bulunur. Buna göre Şekil 6.17 (a) daki devrenin eğimi (dolayısı ile ka-



Sekil 6.17. (a) Tranzistor ve emetörüne seri bağlı bir  $r_E$  direnci, (b) egdeğer devresi.

zancı),  $r_E$  ile ayarlanabilir. Bu ayarlamanın bir akım veya gerilimin değiştirilmesi ile sağlanabilmesi için yarıiletken tümdevrelerde en çok kullanılan yöntemlerden biri Şekil 6.18 (a) da gösterilmiştir. Devredeki D ve D' diyotlarından geçen doğru akımları O noktasının gerilimi belirler. Bu gerilim ise  $T_1$  tranzistorunun kolektör akımının  $R_1$  direnci üzerinde mey-



Şekil 6.18. (a) Kazancı D ve D' diyotlarının değişken işaret dirençleri ile kontrol edilen emetör bağlamalı kuvvetlendirici. (b) Eşdeğer devre. (c) Üçgen-yıldız dönüşümünden sonra eşdeğer devre.

dana getireceği gerilim düşümüne, dolayısı ile  $V_K$  kontrol gerilimine bağlıdır.  $V_K$  geriliminin belirli bir değeri için D ve D' diyotlarından akan doğru akım  $I_D$  ise diyotların küçük genlikli değişken işaretler için direnci

$$r_d = \frac{V_T}{I_E} \approx \frac{25}{I_E (\text{mA})}$$

olduğundan devre değişken işaretler için Şekil 6.18. (b) deki gibi çizilebilir. Bu devrede  $R_E - 2r_d - R_E$  dirençlerine üçgen-yıldız dönüşümü uygulanırsa Şekil 6.18 (c) deki eşdeğer devre bulunur. Burada

$$r_d' = \frac{2r_d R_E}{2R_E + 2r_d} \approx r_d \quad \text{ve} \quad R_E' = \frac{R_E^2}{2R_E + 2r_d} \approx \frac{R_E}{2}$$

dir. Ohalbde Şekil 6.18. (a) daki devrede T ve T' tranzistorlarının diyotlarla birlikte etkin eğimleri

$$g_m' = \frac{g_m}{1 + g_m \cdot r_d}$$

olur ve (6.13) bağıntıları kullanılarak devrenin çıkış gerilimleri için

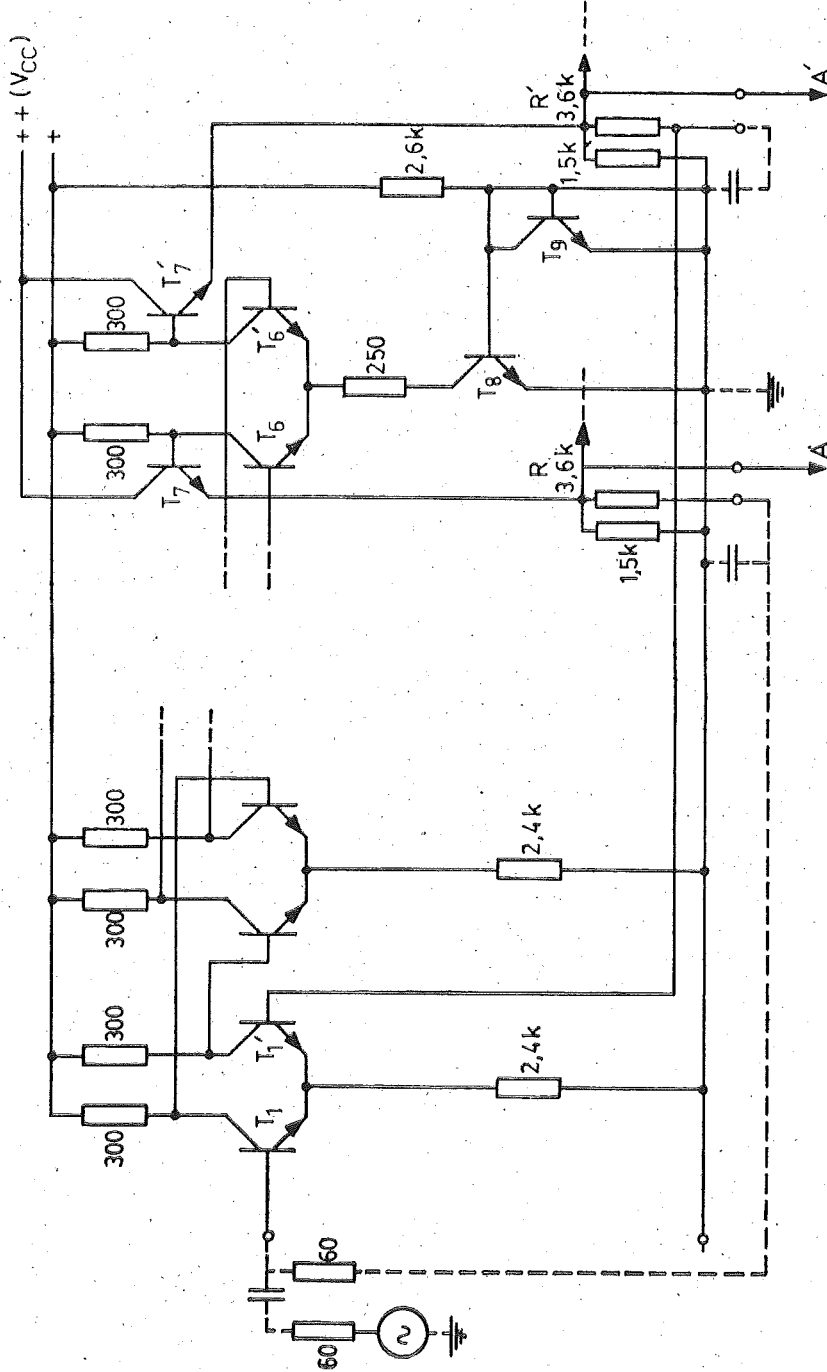
$$v_2 = -g_m' \cdot \frac{R_C}{2} (v_1 - v_1') = -\frac{g_m \cdot R_C / 2}{1 + g_m \cdot r_d} (v_1 - v_1') \quad (6.23)$$

$$v_2' = +g_m' \cdot \frac{R_C}{2} (v_1 - v_1') = \frac{g_m \cdot R_C / 2}{1 + g_m \cdot r_d} (v_1 - v_1')$$

elde edilir. Bu devrenin Şekil 6.16. daki devreye göre önemli üstünlüğü kazanç ayarlanırken D ve D' diyotlarının akımları geniş bir aralıkta değiştirse bile uçları arasındaki doğru gerilik düşümlerinin hemen hemen sabit kalması, dolayısı ile kuvvetlendiricinin doğru akım çalışma şartlarının fazla değişmemesidir. (Ancak diyotlardan akan akımların T ve T' nün emetör doğru akımlarına yaklaşması halinde doğru akım çalışma şartlarının değişeceği kolayca görülebilir).

#### **6.2.3. Çok Kathi Doğru Gerilik Kuvvetlendiricileri.**

Bir doğru gerilik kuvvetlendiricisinde kullanılacak kat sayısını belirleyen ana etkenlerden biri elde edilmesi istenen kazanç değeri, öteki de kuvvetlendiricinin band genişliği (üst kesim frekansı)dır. Doğru gerilik kuvvetlendiricilerinde bağlama ve köprüleme kondansatörleri kullanılmadığı için frekans bandının alttan sınırlanması söz konusu değilse de tranzistorların elektrotlar arası kapasiteleri yüzünden kazanç yüksek frekanslara gidildikçe düşer. Doğru gerilik kuvvetlendiricilerin ana yapısı taşı olan ortak emetörlü devrede üst kesim frekansını belirleyen etkenler (a) tranzistorların  $f_T$  kesim frekansı ve buna bağlı olarak giriş devresinin zaman sabitesi, (b) yük direnci ve buna paralel gelen kapasitelerin belirlediği zaman sabitesi'dir. Bu yüzden üst kesim frekansının yüksek olmasının istendiği hallerde büyük yük direnci değerleri (özellikle aktif yük veya akım kaynağı yük) kullanılamaz. Küçük yük dirençleri kullanılması ise kat kazancının küçük olması demektir. O halde geniş bandlı kuvvetlendiricilerde yüksek kazanç değerlerine ancak çok sayıda katın art arda bağlanması ile ulaşılabilir. Bu tip kuvvetlendiricilere —girişten çıkışa toplam faz dönmesi kesim frekansı ve yukarısında çok büyük değerlere ulaşacağından— işaret geribeslemesi uygulanamaz. Şekil 6.19. da televizyon ses devrelerinde ve F.M. alıcılarda yararlanılan bir tümdevrenin (TBA 120) kuvvetlendirici olarak kullanılan bölümünün şeması verilmiştir. Üst kesim frekansının yüksek (35 MHz) olabilmesi için 300 ohm gibi küçük yük dirençleri kullanılmıştır. Bu dirençlerin küçük olması yüzünden kat başına kazanç ancak 3,3 (yani 10 dB) sağlanabildiğinden, gerekli olan 60 dB kazancı elde edebilmek için art arda 6 kat bağlanması gerekmıştır. En son katın çıkışları ilerdeki devrelere birer emetör çıkışlı kat aracılığı ile bağlanmıştır. Devredeki R ve R' dirençlerinin uçlarındaki *doğru gerilikler* ilk katın  $T_1$  ve  $T'_1$  tranzistorları için kutuplama geriliği olarak kullanılmış, böylece devrenin tümü üzerinde bir negatif doğru gerilik geribeslemesi ile çalışma noktalarının kararlılığı sağlanmıştır. (Bu geribeslemenin etkisi, devredeki tranzistorlardan her-

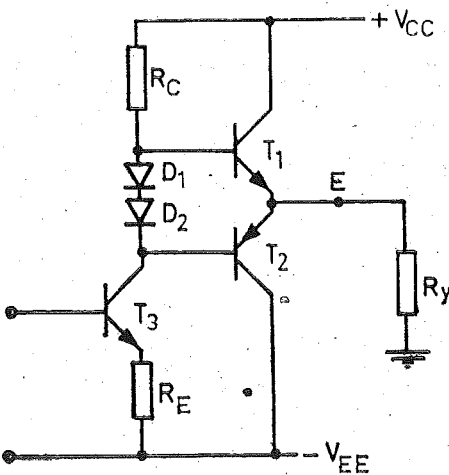


Sekil 6.19. TBA-120 tümdenverinin kuvvetlendirici bölümü. Tümdeverinin dışında yapılmazı gereken bağlantılar kesikli çizgilerle gösterilmiştir.  $A$  ve  $A'$  çıkışları dışarıya alınmış ve ayrıca tümdenverin ikinci bölümü olan demodülatör girişine bağlanmıştır. (+) ile gösterilmiş olan gerilim tümdenver içinde bulunan bir gerilim regülatörü ile V<sub>CC</sub> girişinden elde edilmiştir.

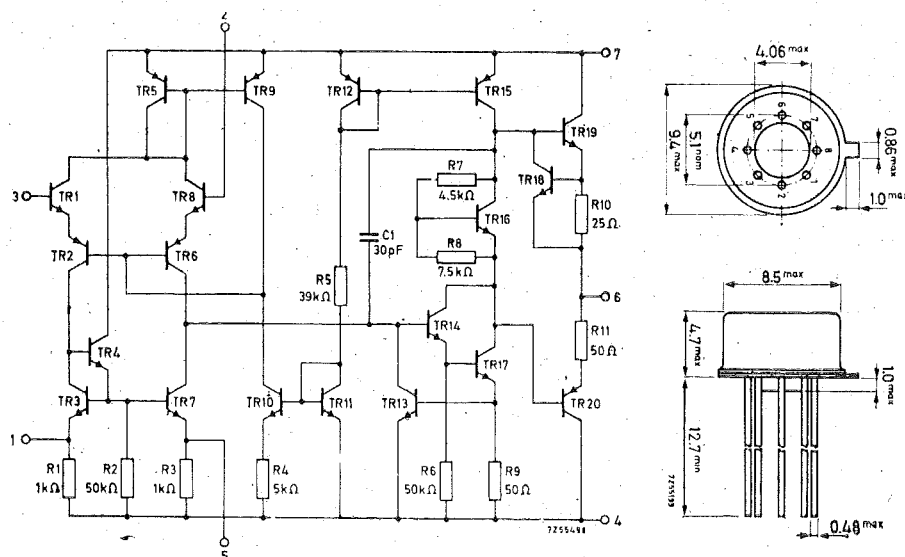
hangi birinin akımının bir yönde değiştiği kabul edilip bunun doğuracağı değişimler adım adım izlenerek görülebilir.) Devrede bir işaret geribeslemesi de meydana gelmemesi için R ve R' nün uçlarındaki değişken bileşenler birer kapasite ile köprülenmiştir.

Geribesleme uygulanarak kullanılacak kuvvetlendiricilerde (örneğin islemlsel kuvvetlendiricilerde) giristen çıkışa toplam ilâve faz dönmesinin  $180^\circ$  yi aşmaması zorunluluğu olduğundan kat sayısı az (en çok iki) olmalıdır. Bu da kat başına kazancın yüksek tutulması zorunluluğunu getirir. Aktif yük yahut akım kaynağı yük kullanılarak kat başına kazanç çok yüksek ( $>60$  dB) yapılabilir. Böylece iki katlı bir kuvvetlendirici ile islemlsel kuvvetlendirici uygulamalarında gerekli olan  $80 \dots 100$  dB merkebesinde toplam kazanç değerlerine kolaylıkla ulaşılabilir. Ancak eşdeğer kolektör yük direnci değerleri çok yüksek olduğundan bunlara paralel gelen kapasiteler çok alçak frekanslardan başlayarak etkili olmaya başlar, dolayısı ile üst kesim frekansları çok küçük olur. Islemlsel kuvvetlendiricilerde yerine getirilmesi gereken bir şart da çıkış direncinin küçük olmasıdır. Bu amaçla çıkış katı olarak genellikle emetör çıkışlı devrelerden yararlanılır. Şekil 6.20. de şeması verilmiş olan tipik bir çıkış katında tek bir emetör çıkışlı tranzistor kullanılacak yerde biri n-p-n öteki p-n-p tipi olan iki eşlenik tranzistor kullanılmış ve bunlar sükünette akım akıtma sınırında bulunacak şekilde kutuplanılmışlardır (B sınıfı çalışma). E çıkış noktasının sükünet gerilimi de sıfırdır. Sözü edilen kutuplama gerilimi olarak  $D_1$  ve  $D_2$  diyonotlarının uçları arasında I akımının meydana getirdiği gerilim kullanılmıştır. Bu akım, ortak emetörlü bir gerilim öteleyici tranzistorun ( $T_3$ ) sükünet akımıdır.  $T_3$  aynı zamanda  $K = -R_C/R_E$  değerinde bir gerilim kazancı da sağlar. Devrenin giriş gerilimi örneğin  $\Delta V$  kadar arttırılırsa  $B_1$  ve  $B_2$  noktalarının gerilimleri  $K \cdot \Delta V$  kadar azalır. Sükünette akım akıtma sınırında bulunan  $T_1$  tranzistoru kesime girer,  $T_2$  ise bir emetör çıkışlı kuvvetlendirici olarak  $K \cdot \Delta V$  değişimini yaklaşık  $+1$  kazançla yükle aktarır. Girişin  $\Delta V$  kadar azaltılması halinde ise  $T_2$  tikanır bu sefer  $T_1$  bir emetör çıkışlı devre olarak hizmet görür. Böylece  $T_1$ ,  $T_2$  ve  $T_3$  birlikte, K kazançlı ve küçük çıkış dirençli bir devre olarak çalışırlar. Devrenin önemli özelliği çıkış katının sükünet akımının çok küçük olmasıdır.

Günümüzde kullanılan islemlsel kuvvetlendiricilerin büyük çoğunluğu ilke olarak Şekil 6.12. deki devreye benzeyen akım kaynağı yüklü bir giriş katı ile Şekil 6.20. deki devreye benzeyen bir çıkış katının art arda bağlanması ile oluşturulmaktadır. Şekil 6.21. de kazancı 100 dB olan genel amaçlı bir islemlsel kuvvetlendirici tümdevrenin şeması verilmistiir.



Şekil 6.20. Eslenik tranzistorlu çıkış katı.

Şekil 6.21. 741 (yahut TBA 221) tipi işlemel kuvvetlendiricinin şeması ve kılıf şekli.  
(Kılıftaki bacak numaraları şemadaki bağlantı ucu numaralarına karşı düşmektedir.)

Pozitif besleme gerilimi : 15 V, Negatif besleme gerilimi : 15 V, gerilim kazancı

$(R_y = 2 \text{ k ohm için}) : 100.000, \text{ CMRR} : 90 \text{ dB.}$

Devre dikkatle incelenirse temelde, yukarıda anlatılan şemaya uygun olduğu görülebilir. Ayrıca devrede ortak işaret kazancını küçültmek (TR 5 ve TR 9), aşırı akımlara karşı devreyi korumak (TR 13 ve TR 18) ve frekans eğrisini tek kutuplu hale getirmek için ( $C_1$ ) bazı ilâveler bulunmaktadır.

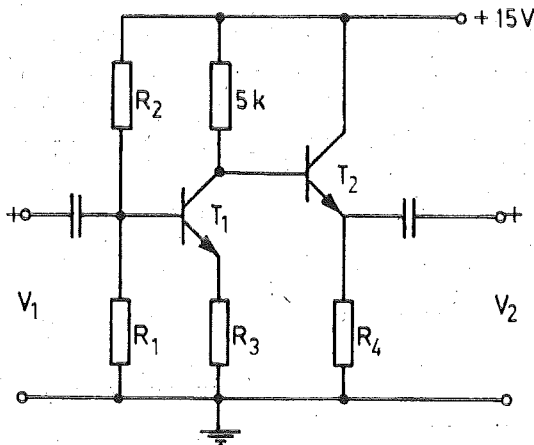
## P R O B L E M L E R

1 — a) Şekildeki devrede  $T_1$  tranzistorunda  $V_{CE}=5$  V,  $I_{C1}=1$  mA ve  $S(I_{CQ}, h_{FE})=0,1$  olması için  $R_1$ ,  $R_2$  ve  $R_3$  direncinin değerleri ne olmalıdır?

b)  $T_2$  nin kollektör akımının  $I_{C2}=1$  mA olması için  $R_4$  direncinin değeri ne olmalıdır?

c) Devrenin  $V_2/V_1$  gerilim kazancını hesaplayınız.

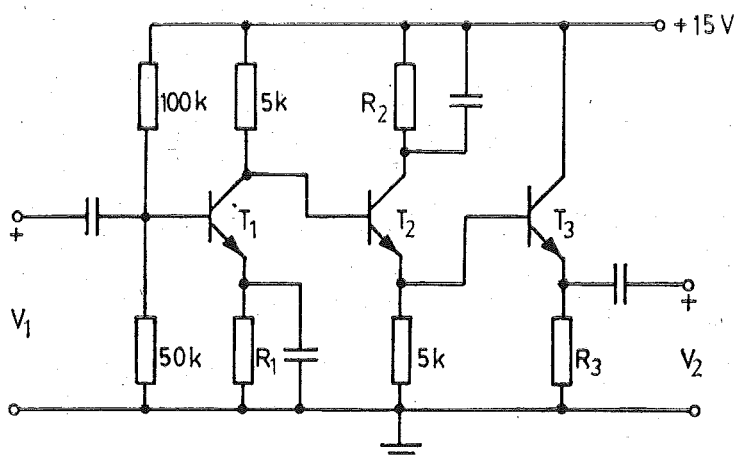
( $h_{ie}=3000$  ohm,  $h_{re}=0$ ,  $h_{fe}=120$ ,  $h_{oe}=0$ ,  $V_{BE1}=0,6$  V,  $V_{BE2}=0,6$  V alınacaktır.)



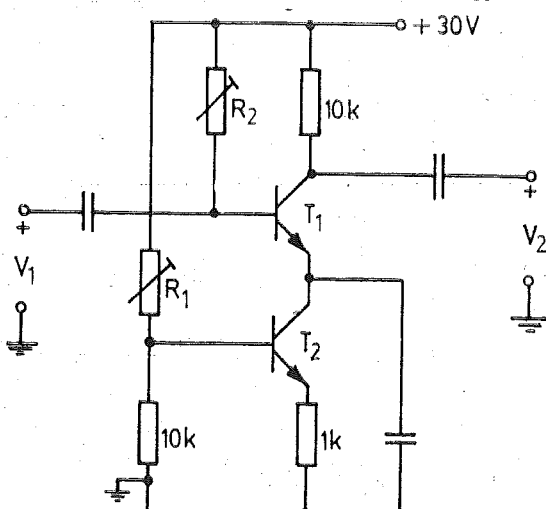
2 — a) Şekildeki devrede tranzistorların kolektör akımlarının birer mA olması için  $R_1$ ,  $R_2$  ve  $R_3$  dirençlerine verilmesi gereken değerleri hesaplayınız. ( $V_{BE1}=V_{BE2}=V_{BE3}=0,6$  V dur. Baz akımları kolektör akımları yanında ihmal edilecektir.)

b) Devrenin  $V_2/V_1$  gerilim kazancını hesaplayınız. (Tranzistorlar için  $h_{ie}=5$  k ohm,  $h_{fe}=200$ ,  $h_{re}=h_{oe}=0$  alınacaktır.)

- c) Devrenin giriş ve çıkış dirençleri ne kadardır?
- d) Emetör direnci köprüleme kondansatörleri devreden çıkartılırsa gerilim kazancının, giriş ve çıkış dirençlerinin değerleri ne olur?

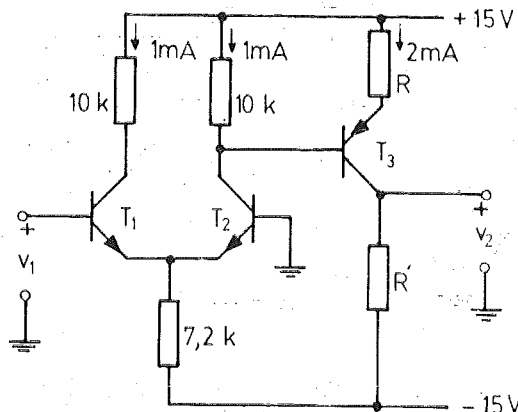


3 — Şekildeki devrede  $T_2$  tranzistoru  $T_1$  in emetör doğru akımını sağlayan bir akım kaynağı olarak çalışmaktadır.  $T_1$  ve  $T_2$  için  $h_{FE}=100$ ,  $V_{BE}=0,6$  V olduğuna göre,  $T_1$  in emetör akımının  $I_E=1$  mA ve kolektör emetör geriliminin  $V_{CE}=10$  V olması için  $R_1$  ve  $R_2$  dirençleri hangi değerlere ayarlanmalıdır?



4 — a) Şekildeki doğru gerilim kuvvetlendiricisinde tranzistorlardan herbiri için  $h_{FE}=200$  ve  $V_{BE}=0,6$  V tur.  $V_1$  giriş gerilimi sıfır iken  $V_2$  çıkış geriliminin de sıfır ve  $T_3$  tranzistorunun kolektör akımının 2 mA olması için  $R$  ve  $R'$  dirençlerinin değerleri ne olmalıdır?

b) Devrenin  $V_2/V_1$  gerilim kazancını, işaret ile birlikte bulunuz.

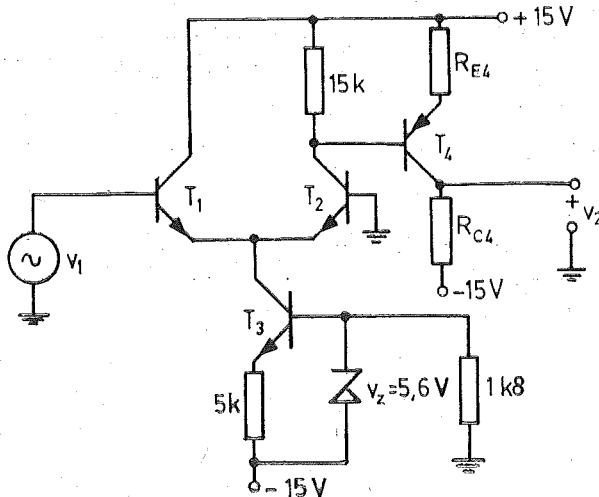


5 — a) Şekildeki devrede sükünət halinde çıkış geriliminin 0 ve  $T_4$ ün kolektör akımının  $I_{C4}=1$  mA olması için gerekli  $R_{E4}$  ve  $R_{C4}$  değerlerini hesaplayınız. Tranzistorların sükünət halindeki akım ve gerilimlerini bulunuz.

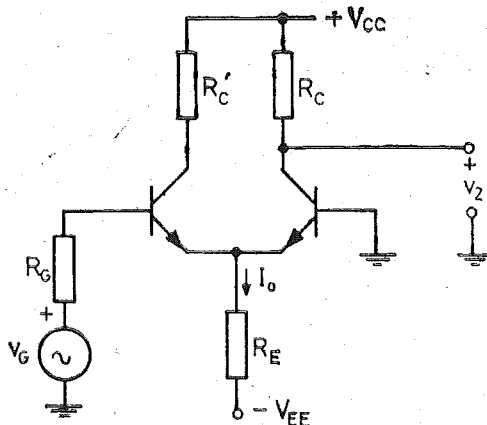
b) Devrenin  $v_2/v_1$  gerilim kazancını hesaplayınız.

c) Giriş direncini hesaplayınız.

(Tranzistorlar için  $V_{BE}=0,6$  V,  $h_{FE} \approx h_{fe}=200$  dür.  $h_{oe}$  ve  $h_{re}$  ihmäl edilebilecek kadar küçüktür.)



6 —



- a) Şekildeki uzun kuyruklu devrenin üst kesim frekansını esdeğer devre yardımıyla hesaplayınız. (Miller Teoremi uygulanırken, orta frekanslardaki kazanç kullanılabılır,  $r_{bb}' \approx 0$ ).

$$\text{Sonuç : } f(\text{üst}) = \frac{1}{2\pi \cdot \left[ \frac{2h_{ie} \cdot R_G}{2h_{ie} + R_G} \cdot \left( \frac{C_{eb}}{2} + \left[ \frac{R_C'}{2r_e} + 1 \right] C_{eb} \right) \right]}$$

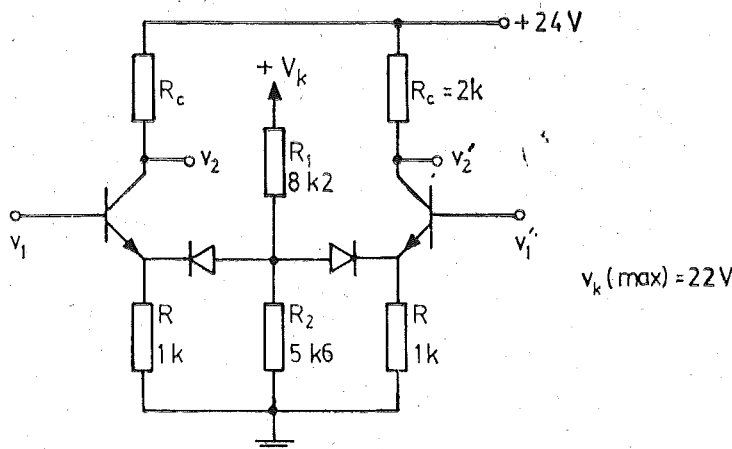
- b) Bulduğunuz sonucu yorumlayınız.

- c)  $R_G = 1 \text{ K}$ ,  $R_C = R_C' = 5,6 \text{ k ohm}$ ,  $I_o = 2 \text{ mA}$ ,  $h_{fe} = 200$ ,  $C_{eb} = 25 \text{ pF}$ ,  $C_{cb} = 3 \text{ pF}$  olduğuna göre devrenin üst kesim frekansını hesaplayınız.

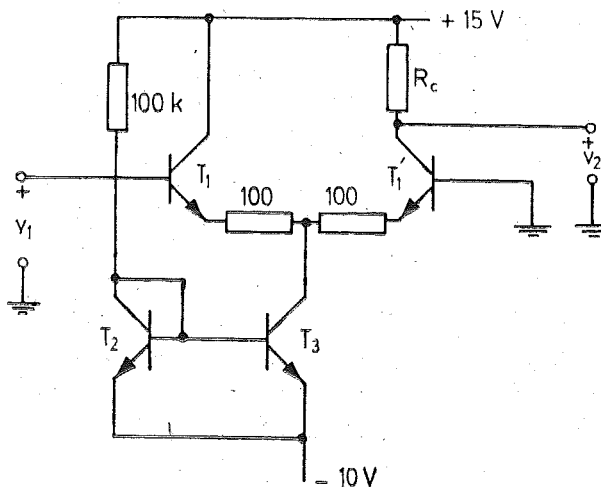
- d)  $R_C' = 0$ ,  $R_C = 5,6 \text{ k ohm}$  olarak verildiğine göre, devrenin yüksek frekanslardaki kutuplarını bulunuz ve frekans eğrisini çiziniz.

- 7 — a) Şekildeki kazanç kontrol devresinin nasıl çalıştığını açıklayınız.

- b) Devrenin sağladığı minimum ve maksimum kazançları ve kazanç kontrol dinamğini bulunuz. [ $K.K.D. = 20 \log (K_{\max}/K_{\min})$ ]



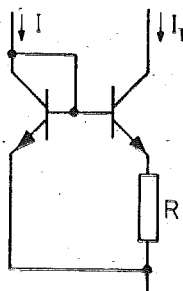
8 —



- a) Şekildeki devrede  $V_2$  çıkış geriliminin tepeden tepeye kırpılmaz maksimum değeri en fazla ne kadar olabilir? Bu durumda  $R_c$  nin değeri ne olmalıdır?
- b) Devrenin  $V_2/V_1$  gerilim kazancını hesaplayınız.
- c) Devrenin giriş direncini hesaplayınız.

9 — Şekil 6.10. daki akım kaynağı devresinde  $T_1$  ve  $T_2$  nin yapısal özellikleri birbirinin aynı, ancak  $T_2$  nin jonksiyon alanı  $T_1$  inkinin n katıdr. Bu durumda  $I_T \approx nI$  olacağını gösteriniz.

10 — Şekildeki devre yarıiletken tümdevrelerde küçük akımlı akım kaynaklarının gerçekleştirilmesinde çok kullanılır.  $T_1$  ve  $T_2$  es iki tranzistor olduğuna göre  $I_T/I$  oranını hesaplayınız.



11 — TBA 120 tümdevrenin (Şekil 6.19.) içinde bulunan gerilim regülatörünün sağladığı (+) gerilimin değeri 3 V dur.

a) Kuvvetlendiricinin son katı olan  $T_6$ ,  $T_6'$  çiftinin sükünnetteki akım ve gerilimleri ile kazancını hesaplayınız.

b)  $T_7$ ,  $T_7'$  emetör çıkışlı tranzistorların çıkış doğru gerilimleri ( $T_1$  ve  $T_1'$  nin baz kutuplama gerilimleri) ne kadardır? Bundan yararlanarak giriş katının sükün net akım ve gerilimlerini ve kazancını hesaplayınız.

12 — Şeması Şekil 6.21. de verilmiş olan TBA 221 işlemel kuvvetlendiricisinin iki girişine birden pozitif bir ortak işaret uygulandığında  $TR_1$  ve  $TR_6$  tranzistorlarının emetör akımlarında meydana gelecek artma  $TR_5$  ve  $TR_9$  un oluşturduğu kontrol devresi yardım ile frenlenir ve böylece ortak işaret kazancının küçük olması sağlanır.  $TR_{10}$  tranzistorunun bir akım kaynağı olduğunu göz önünde tutarak söz konusu kontrol devresinin çalışmasını açıklayınız.

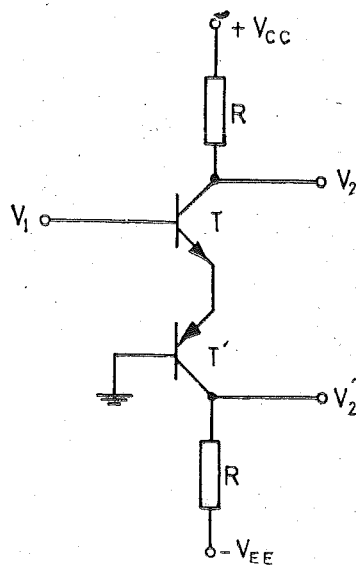
13 — TBA 221 işlemel kuvvetlendiricisinde  $TR\ 18$  tranzistoru  $TR\ 19$ 'un,  $TR\ 13$  tranzistoru da  $TR\ 17$  nin (dolayısı ile  $TR\ 20$  nin) akımının belirli bir değerin üstüne çıkmasını önleyerek devreyi kısa devrelere karşı korur. Bunun nasıl sağlandığını açıklayınız.

14 — TBA 221 işlemsel kuvvetlendiricisinde TR 14 ve TR 17, kolektör yükü TR 15 (akım kaynağı) olan bir Darlington çiftidir. TR 16 transistör Şekil 6.20. deki devredeki  $D_1$ ,  $D_2$  diyonotlarının görevini yapmaktadır. Devredeki eleman değerlerinden yararlanarak TR 16 nin kolektör emetör doğru gerilimini ve değişken işaretler için devreye getirdiği seri direnci hesaplayınız.

15 — a) Şekilde şeması verilmiş olan eşlenik tranzistorlu emetör bağlamalı kuvvetlendiricidé  $|V_{CC}| = |V_{EE}|$  dir.  $V_2 = V_{CC}/2$  olması için  $V_1$  in değeri ne olmalıdır? ( $V_1$  ve  $V_2$  doğru gerilimleri göstermektedir.)

b) Devrenin  $v_2/v_1$  ve  $v'_2/v_1$  gerilim kazançlarını veren bağıntıları çıkartınız. ( $v_1$ ,  $v_2$ ,  $v'_2$  küçük genlikli değişken işaretleri göstermektedir.)

c) Devreyi normal emetör bağlamalı devre ile karşılaştırınız.

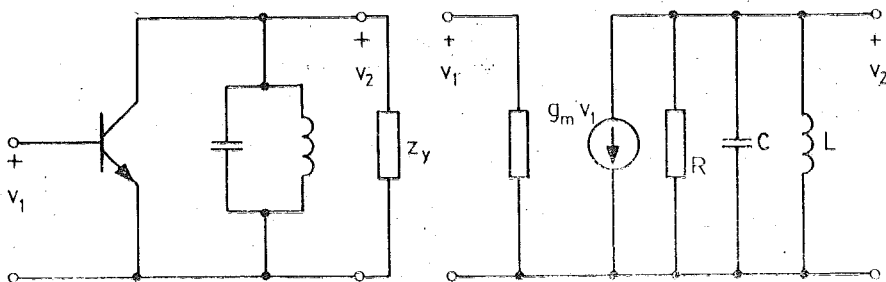


## 7. AKORDLU KUVVETLENDİRİCİLER

### 7.1. Giriş.

Bazı uygulama alanlarında kullanılan kuvvetlendiricilerin *dar bandlı* olması, yani bir  $f_0$  merkez frekansının iki yanında dar bir band içine düşen frekanslar için kazancın yüksek, bunun dışında kalan frekanslar için düşük olması istenir. Bu şekilde frekans spektrumunda belirli —ve genellikle dar— bir bölgeyi seçip kuvvetlendirme özelliğine sahip olan kuvvetlendiricilerin çoğunda *rezonans devreleri*'nden yararlanılır. Böylece (a) rezonans devrelerinin frekans seçici özelliklerinden yararlanılarak dar bandlı kuvvetlendiriciler kolayca gerçekleştirilebilir, (b) direnç yükülü devrelerde kazancın yüksek frekanslarda düşmesine sebep olan paralel kapasiteler *rezonans kapasitesi* nin bir bölümü olarak kullanıldığı için yüksek frekanslara daha kolay çıkılabilir.

Sekil 7.1. de yük empedansı olarak bir *paralel rezonans devresi* ile yüklenmiş bir tranzistorlu kuvvetlendiricinin basitleştirilmiş şeması ve eşdeğer devresi verilmiştir.



Sekil 7.1. Tranzistorlu bir akordlu kuvvetlendiricinin basitleştirilmiş şeması ve eşdeğer devresi.

Eşdeğer devredeki  $R$ ; tranzistorun çıkış direnci ile rezonans devresinin kayıplarına karşı düşen direncin ve bir sonraki kattan (genel olarak yükten) gelen paralel direncin toplam eşdeğeri,  $C$ ; devredeki kondansatörün kapasitesi ile tranzistorun çıkış kapasitesinin, montaj kapa-

sitelerinin ve bir sonraki kattan gelen paralel kapasitesinin toplamı, L ise devredeki bobinin endüktansıdır. Tranzistorun iç geribesleme kapasitesi —simdilik— ihmali edilmiştir. Şekil 7.1. deki eşdeğer devrenin FET-li yahut tüplü bir kuvvetlendirici için de aynen geçerli olacağı açıkları.

Devrenin  $V_2/V_1$  gerilim kazancı hesaplanırsa  $G=1/R$  konularak

$$V_2 = \frac{-g_m V_1}{G + sC + \frac{1}{sL}}$$

$$K = -g_m \cdot \frac{1}{C} \cdot \frac{s}{s^2 + s \frac{G}{C} + \frac{1}{LC}}$$

bulunur.  $\omega$  nin  $\omega = \omega_0 = 1/\sqrt{LC}$  bağıntısını sağlayan özel bir değeri (rezonans frekansı) için kazancın

$$K = K_0 = -g_m (1/G) = -g_m \cdot R \quad (7.1)$$

olacağı kolayca görülebilir. Böylece

$$\begin{aligned} K = K_0 \frac{G}{C} \cdot \frac{s}{s^2 + s \frac{G}{C} + \frac{1}{LC}} &= K_0 \frac{G}{C} \cdot \frac{s}{(s - s_1)(s - s_2)} \\ &= K_0 \frac{\omega_0}{Q} \cdot \frac{s}{(s - s_1)(s - s_2)} \end{aligned} \quad (7.2)$$

elde edilir. (7.2) bağıntısının kutupları

$$s_{1,2} = -\frac{G}{2C} \mp \frac{G}{2C} \sqrt{1 - 4 \frac{1}{LC} \left(\frac{C}{G}\right)^2}$$

dir. Burada

$$\omega_0 = 1/\sqrt{LC} \quad (\text{rezonans frekansı})$$

ve

$$Q = R/L \quad \omega_0 = C \omega_0 / G \quad (\text{değer katsayıısı})$$

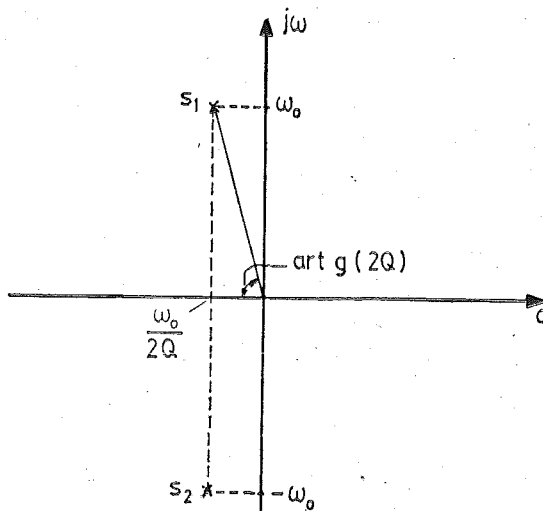
tanım bağıntıları kullanılarak

$$s_{1,2} = -\frac{\omega_0}{2Q} \mp j \left[ \frac{\omega_0}{2Q} \cdot \sqrt{4Q^2 - 1} \right] \quad (7.3)$$

yazılabilir. Genellikle devrenin Q değer katsayıısı yüksek olacağından (7.3.) bağıntısı

$$S_{1,2} \approx -(\omega_0/2Q) \mp j\omega_0 \quad (7.4)$$

şeklinde basitleştirilebilir. Bundan yararlanılarak çizilen K ya ilişkin sıfır-kutup diyagramı Şekil 7.2. de verilmiştir. Görüldüğü gibi kazanç fonksiyonunun, biribirinin eşleniği olan bir çift kutbu ve 0'da bir sıfırı vardır. Devrenin frekans eğrisinin elde edilmesi için s değişkeninin  $j\omega$  ekseni boyunca değiştirilmesi ve her  $\omega$  değerine karşı düşen modül ve

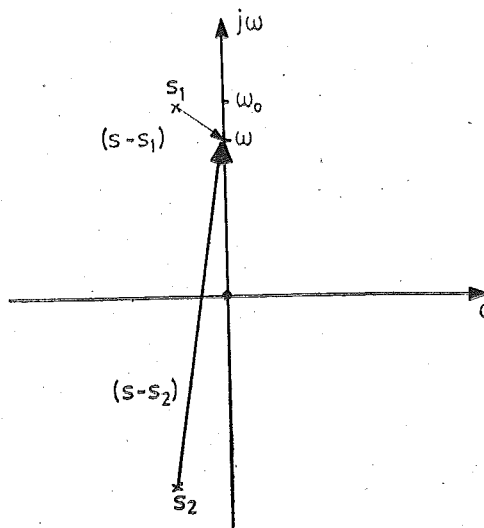


Şekil 7.2. Akordlu bir kuvvetlendiricinin kazancına ilişkin sıfır-kutup diyagramı.

açının bulunması gereklidir. Ancak  $\omega_0$  rezonans frekansının yakın civarı için bazı basitleştirmelerden yararlanılabilir. Şekil 7.3. de  $\omega_0$  yakınında bir  $\omega$  değeri için  $s$ ,  $(s-s_1)$  ve  $(s-s_2)$  fazörleri işaretlenmiştir. Kolayca görülebilir ki devre yüksek Q lu olmak şartıyla (yani kutupların  $j\omega$  eksene yakını olması şartıyla)  $(s-s_2)$  fazörü yaklaşık olarak s fazörünün iki katına eşittir. O halde  $\omega_0$  rezonans frekansının yakın civarı için (7.2) bağıntısı

$$K = K_0 \frac{\omega_0}{Q} \frac{s}{(s-s_1)(s-s_2)} \approx K_0 \frac{\omega_0}{2Q} \frac{1}{(s-s_1)} \quad (7.5)$$

şeklinde basitleştirilebilir. Bu son bağıntıdan,  $(s-s_1)$  fazörünün modülünün minimum ve açısının sıfır olduğu  $\omega_0$  frekansı için K nin modülünün maksimumdan geçeceği ve açısının da  $K_0$  in açısına eşit (yani ilâve faz



Şekil 7.3. Herhangi bir  $\omega$  frekansı için  
 $(s-s_1)$  ve  $(s-s_2)$  fazörleri.

dönmesinin sıfır) olacağı kolayca görülebilir. Kazancın,  $\omega_0$  akord frekansındaki —maksimum— değerinin  $1/\sqrt{2}$  sine (3 dB aşağısına) düştüğü frekanslar için  $(s-s_1)$  fazörünün modülü minimum değeri olan  $(\omega_0/2Q)$ ının  $\sqrt{2}$  katına eşit olmalıdır. Bu şartı sağlayan  $\omega_1$  ve  $\omega_1'$  frekanslarının  $\omega_0$  in  $(\omega_0/2Q)$  kadar aşağısında ve  $(\omega_0/2Q)$  kadar yukarısında bulunan frekanslar olacağı açıkları. O halde devrenin band genişliği ( $-3$  dB frekansları olan  $\omega_1$  ile  $\omega_1'$  arasındaki uzaklık)

$$2 \overline{\Delta\omega} = \omega_1' - \omega_1 = \omega_0/Q$$

ve *frekans* olarak

$$B = 2 \overline{\Delta f} = f_1' - f_1 = f_0/Q \quad (7.6)$$

dur. Akordlu bir kuvvetlendiricide rezonans frekansı yakınlarında kazancın modülünün ve açısının değişimi normalleştirilmiş eğrilerle de verilir. (7.5) bağıntısında  $s$  yerine  $j\omega$  konularak  $K_0$  a göre normalleştirilmiş kazancı ifadesi yazılırsa

$$\frac{K}{K_0} \approx \frac{\omega_0}{2Q} \cdot \frac{1}{j\omega - \left( -\frac{\omega_0}{2Q} + j\omega_0 \right)}$$

$$= \frac{\omega_0}{2Q} \frac{1}{\frac{\omega_0}{2Q} + j(\omega - \omega_0)}$$

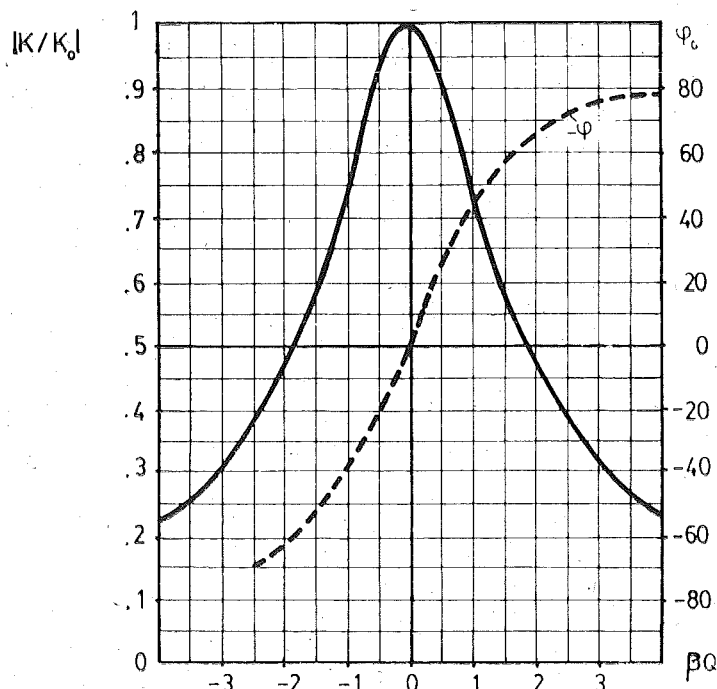
$(\omega - \omega_0)$  yerine  $\Delta\omega$  konularak

$$\frac{K}{K_0} = \frac{1}{1 + j \frac{2\Delta\omega}{\omega_0} Q}$$

bulunur. Buradaki  $2\Delta\omega/\omega_0$  oranına *akord bozukluğu katsayısı* denir ve  $\beta$  ile gösterilir. Böylece bağıntı

$$\frac{K}{K_0} = \frac{1}{1 + j \beta Q} \quad (7.7)$$

şeklini alır. Buradan  $K/K_0$  in modülü



Sekil 7.4. Bir akordlu kuvvetlendiricide kazancın modülünün ve açısının ( $\beta Q$ ) ya bağlı olarak değişimi (Kazanç, rezonanstaki değerine göre normalleştirilmiştir).

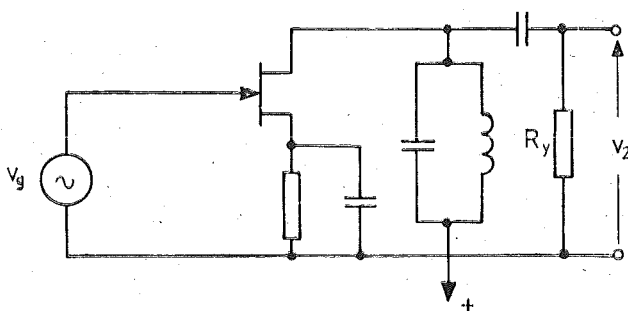
$$\left| \frac{K}{K_0} \right| = \frac{1}{\sqrt{1 + \beta^2 Q^2}} \quad (7.8)$$

ve açısı

$$\varphi = -\operatorname{artg}(\beta Q) \quad (7.9)$$

bulunur. (7.8) ve (7.9) bağıntılarının  $(\beta Q)$  değişkenine göre değişimleri Şekil 7.4. de verilmiştir. Bu eğrilerden  $Q$  değer katsayıları ve  $\omega_0$  rezonans frekansı bilinen bir devrede rezonans frekansından  $\Delta\omega$  kadar uzakta bir frekans için kazancın modülü ve açısı bulunabilir.

**Örnek :**



Şekil 7.5. Tek katlı FET'li akordlu kuvvetlendirici.

FET'li bir akordlu kuvvetlendiricide (Şekil 7.5.)  $g_m = 10 \text{ mA/V}$ ,  $C_o = 2 \text{ pF}$ ,  $r_o = 100 \text{ k ohm}$ , bir sonraki katın giriş direnci  $R_y = 300 \text{ k ohm}$  ve giriş kapasitesi  $C_y = 10 \text{ pF}$  dir. Montaj kapasiteleri  $3 \text{ pF}$  tahmin edilmiştir. Kullanılacak bobinin self endüktansı  $L = 40 \mu\text{H}$  ve —akord frekansı olan—  $f_0 = 1 \text{ MHz}$  de bobinin değer katsayıısı  $Q_L = 100$  dır.

- Devrenin  $f_0 = 1 \text{ MHz}$  de rezonansa gelebilmesi için bağlanacak kondansatörün değeri ne kadar olmalıdır?
- Kazancın  $1 \text{ MHz}$  deki değeri nedir?
- Band genişliği ne kadardır?
- Akord frekansından  $20 \text{ kHz}$  uzaklıkta kazanç maksimum değerinin kaç dB aşağısındadır?

Cözüm :

a) Toplam rezonans kapasitesinin

$$C = \frac{1}{(2\pi f_0)^2 L}$$

bağıntısı gereğince

$$C = \frac{1}{4 \cdot \pi^2 \cdot 10^{12} \cdot 40 \cdot 10^{-6}} = 633 \cdot 10^{-12} F = 633 \text{ pF}$$

olması gereklidir. Bu, FET'in çıkış kapasitesi (2 pF), yük kapasitesi (10 pF) ve montaj kapasitesi (3 pF) ile devreye bağlanacak kondansatörün kapasitesinden ( $C'$ ) oluşur. O halde

$$C' = C - (2 + 10 + 3) = 633 - 15 = 618 \text{ pF}$$

olmalıdır. (Akordlu kuvvetlendiricilerde hesaplanan eleman değerleri ile devre kurulduğunda, kullanılan elemanların toleransları ve montaj kapasitelerinin takdirinde yapılan hatâ sebebi ile genellikle rezonans tam istenen frekansta çıkmaz. Bu yüzden  $L$  veya  $C'$  nün, değeri ayar edilebilir cinsten bir eleman olması gereklidir. Devre tam akorda, bu eleman yardımı ile getirilir.)

b) Kazançın rezonans frekansındaki değeri :

$$K(\omega_0) = K_0 = -g_m \cdot 1/G$$

$G$ , FET'in çıkış iletkenliği, yükün iletkenliği ve bobinin kayıplarına karşı düşen paralel iletkenliğin toplamıdır. Bobinin değer katsayısı —paralel direnç cinsinden—

$$Q_L = R_L / L \omega_0$$

bağıntısı ile verilmiştir. Buradan

$$R_L = Q_L \cdot L \omega_0$$

$$= 100 \cdot 40 \cdot 10^{-6} \cdot 2\pi \cdot 10^6 = 25,13 \text{ k ohm}$$

ve iletkenlik;  $G_L = 39,8 \mu S$  bulunur. Toplam iletkenlik

$$G = G_L + g_o + G_y$$

$$= 39,8 \cdot 10^{-6} + 10 \cdot 10^{-6} + 3,33 \cdot 10^{-6} = 53,13 \mu S$$

ve

$$K_0 = \frac{g_m}{G} = - \frac{10 \cdot 10^{-3}}{53,13 \cdot 10^{-6}} = - 188$$

bulunur.

c) Band genişliği :  $B = 2 \Delta f = f_o / Q$  dur.

Devrenin bütün kayipları hesaba katılarak bulunacak olan *etkin değer katsayısı*

$$Q = \frac{R}{L \omega_0} = \frac{1}{G \cdot L \omega_0}$$

bağıntısından

$$Q = \frac{1}{53,13 \cdot 10^{-6} \cdot 40 \cdot 10^{-6} \cdot 2\pi \cdot 10^6}$$

$$Q = 74,9$$

O halde band genişliği

$$2 \Delta f = \frac{f_o}{Q} = \frac{10^6}{74,9} = 13,35 \text{ kHz}$$

çıkar.

d) Akord frekansından 20 kHz uzakta, yani  $\Delta f = 20 \text{ kHz}$  için akord bozukluğu katsayıısı

$$\beta = \frac{2 \Delta f}{f_o} = \frac{40 \cdot 10^3}{10^6} = 0,04 \text{ dür.}$$

Ohalde  $\beta Q = 0,04 \cdot 74,9 \approx 3$

$$\left| \frac{K}{K_0} \right| = \frac{1}{\sqrt{1+(3)^2}} = 0,316$$

Bu dB olarak;  $20 \log 0,316 = -10 \text{ dB}$  bulunur. Yani 980 kHz ve 1020 kHz deki kazanç değerleri 1 MHz deki kazanca göre 10 dB aşağıdadır. (Bu sonuç Şekil 7.4. deki normlaştırılmış eğrilerden de bulunabilir).

Şekil 7.1. deki bir akordlu kuvvetlendiricide kazancın rezonans frekansındaki değeri ile band genişliğinin çarpımı, R rezonans devresine paralel gelen toplam direnci ve Q etkin değer katsayısını göstermek üzere

$$| K \cdot B | = g_m \cdot R \cdot f_o / Q$$

bağıntısı ile belirlidir. Değer katsayıısı için  $Q = RC \omega_o$  kullanılırsa

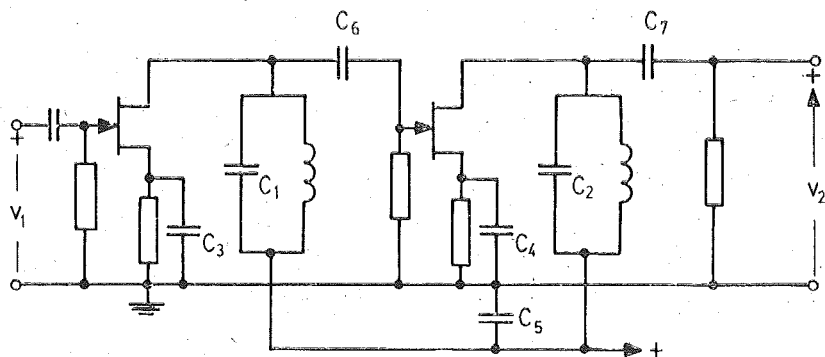
$$| K \cdot B | = g_m \cdot (2\pi C) \quad (7.10)$$

bulunur. Buna göre bir akordlu kuvvetlendiriciden elde edilebilecek maksimum kazanç-band genişliğini sağlamak için rezonans kapasitesine mü-

kün olan en küçük değeri vermek gerekir. Bu  $C_{\min}$  değerinin, devrede kaçınılmaz olarak bulunan paralel kapasitelerin toplamı olacağı, maksimum kazanç-band genişliği çarpımının elde edilmesi için devreye ayrıca bir kondansatör bağlamadan  $L$ 'yi, istenen çalışma frekansında bu  $C_{\min}$  kapasitesi ile rezonansa gelecek şekilde seçmek gerektiği açıklar.

## 7.2. Akordlu Kuvvetlendiricilerin Art-arda Bağlanması.

Akordlu kuvvetlendiricilerde de bir katın sağlayabildiği kazancın yeterli olmaması halinde katlar art arda (kaskad) bağlanarak yüksek kazanç değerlerine ulaşılır. Akordlu kuvvetlendiricilerin art arda bağlanması da katların birbirlerinin doğru akım çalışma noktalarını değiştirmemeleri sağlanmalıdır. Ayrıca, giriş ve çıkış iletkenliklerinin etkin değer katsayısı üzerindeki, giriş ve çıkış kapasitelerinin de toplam rezonans kapasitesi üzerindeki etkileri hesaba katılmalıdır. Bu bakımdan, giriş impedansı yüksek olan tüplerle yahut FET'lerle gerçekleştirilen çok katlı akordlu kuvvetlendiricilerde genellikle bir sorun çıkmaz; katlar —örneğin bağlama kapasiteleri kullanılarak— doğrudan doğruya kaskad bağlanabilir (Şekil 7.6.).

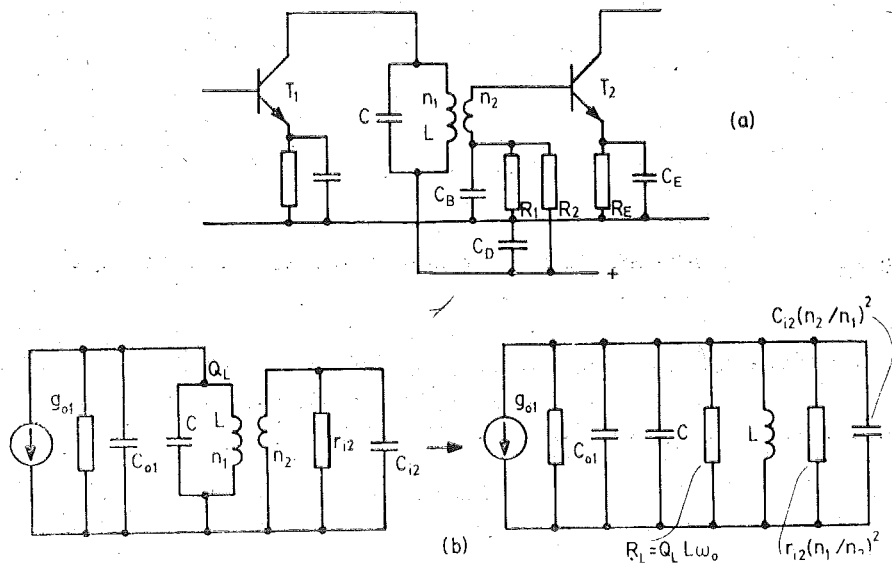


Şekil 7.6. FET'li akordlu kuvvetlendiricilerin bağlama kondansatörleri yardımcı ile art arda bağlanması.

Tranzistorların giriş dirençlerinin kiiçük olması yüzünden doğrudan doğruya kaskad bağlama yoluna gidilirse bir önceki katın çıkışındaki rezonans devresi fazlaca yükleneceden etkin değer katsayısı düşer ve istenilen band genişliği sağlanamaz. Bunun için tranzistorun giriş impedansını bir önceki katın çıkışındaki rezonans devresinin uçlarına bü-

yüterecek aktaran düzenlerden yararlanılır. Şekil 7.7. (a) daki devrede bu amaçla transformatörden yararlanılmıştır. Sargılar arasındaki magnetik bağlaşma tam ise  $T_2$  nin  $Z_L$  giriş empedansı rezonans devresinin uçları arasında  $(n_1/n_2)^2$  oranında büyütüerek aktarılır. Şekil 7.7. (b) de  $T_2$  nin giriş empedansının direnç ve kapasite bileşenlerinin rezonans devresine aktarılması ayrı ayrı gösterilmistir. Böylece  $L$  yi  $\omega_0$  frekansında rezonansa getirecek toplam kapasite

$$C_T = C_{o1} + C + C_{i2} \cdot (n_2/n_1)^2$$



Şekil 7.7. (a) Tranzistorlu akordlu kuvvetlendiricide transformatörlü bağlama şekli.  
 (b)  $T_2$  nin giriş empedansının rezonans devresinin uçlarına aktarılması.

ve etkin değer katsayısını belirleyecek toplam paralel iletkenlik

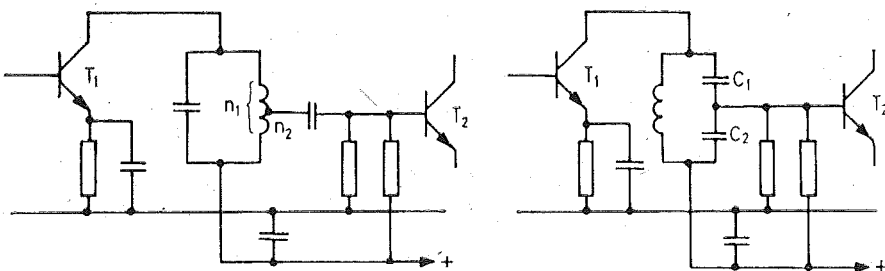
$$G_T = g_{o1} + \frac{1}{|Q_L| L \omega_0} + \frac{1}{r_{i2} \left( \frac{n_1}{n_2} \right)^2}$$

olur (burada  $Q_L$  yalnızca bobinin  $\omega_0$  frekansındaki değer katsayısını göstermektedir).

Şekil 7.7. (a) daki şemada  $R_1$ ,  $R_2$  ve  $R_E$   $T_2$  tranzistorunun çalışma noktasını belirleyen ve ısıl kararlılığını sağlayan dirençlerdir.  $R_E$  direncini

köprüleyen  $C_E$ ,  $R_B = R_1 // R_2$  direncini köprüleyen  $C_B$  ve doğru akım besleme kaynağını köprüleyen  $C_D$  kondansatörlerinin, çalışma frekansında kısa devre sayılabilen değerde olmaları gereklidir.

Tranzistorlu akordlu kuvvetlendiricilerin art arda bağlanması sırasında kullanılan oto-transformatör düzeni ile kapasitif bölüçülü empedans aktarma düzeni de Şekil 7.8. de gösterilmiştir. Oto-transformatörlü düzen



Şekil 7.8. (a) Oto-transformatörlü bağlama. (b) Kapasitif bölüçülü bağlama.

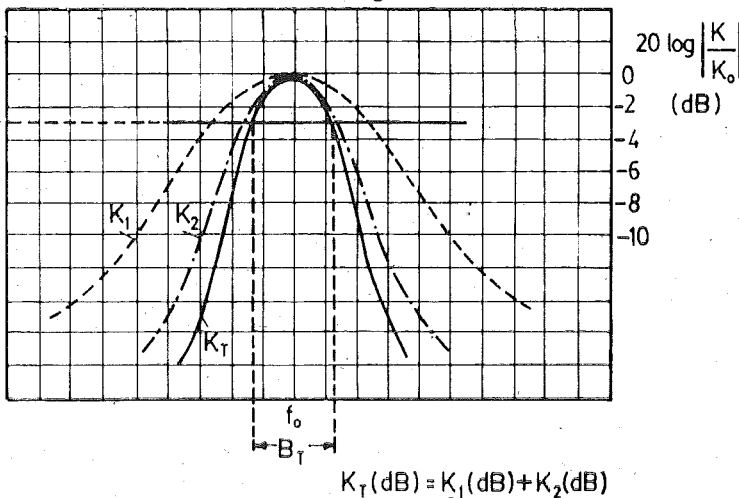
icin empedans aktarma bağıntıları Şekil 7.7. deki devredenin aynıdır. Şekil 7.8. (b) deki devre için  $\omega_0$  frekansında  $X_{c2} \ll r_{i2}$  olmak şartıyla rezonans devresinin uçlarına aktarılan direncin

$$r_{i2} \left( \frac{C_1 + C_2}{C_1} \right)^2$$

olacağı gösterilebilir.

### 7.3. Çok Katlı Akordlu Kuvvetlendiricilerde Toplam Frekans Eğrisi.

Akordlu bir kuvvetlendiricinin sağladığı kazancın yeterli olmadığı durumlarda aynı frekansa akord edilmiş çok sayıda kat art arda bağlanarak kazanç yükseltilir. Bu durumda akord frekansındaki kazanç, kat kazançlarının çarpımı (yahut dB olarak kat kazançlarının toplamı)dır. Akord frekansı dışında, herhangi bir frekansta da durum aynıdır. O halde kuvvetlendiricinin *toplama band genişliğini* belirleyen alt ve üst kesim frekanslarında kat kazançlarının dB olarak toplamlarının, akord frekansındaki toplam kazançtan 3 dB aşağıda olması gereklidir. Şekil 7.9. da değer katsayıları farklı iki kattan oluşan bir kuvvetlendiricide katlardan her birine ilişkin frekans eğrileri ile toplam frekans eğrisi çizilmiş ve toplam devrenin kesim frekansları işaretlenmiştir. Görüldüğü gibi (a) top-



Şekil 7.9. Kazançları  $K_1$  ve  $K_2$  olan iki katlı bir kuvvetlendiricide toplam kazancın ( $K_T$ ) frekansla değişimi.

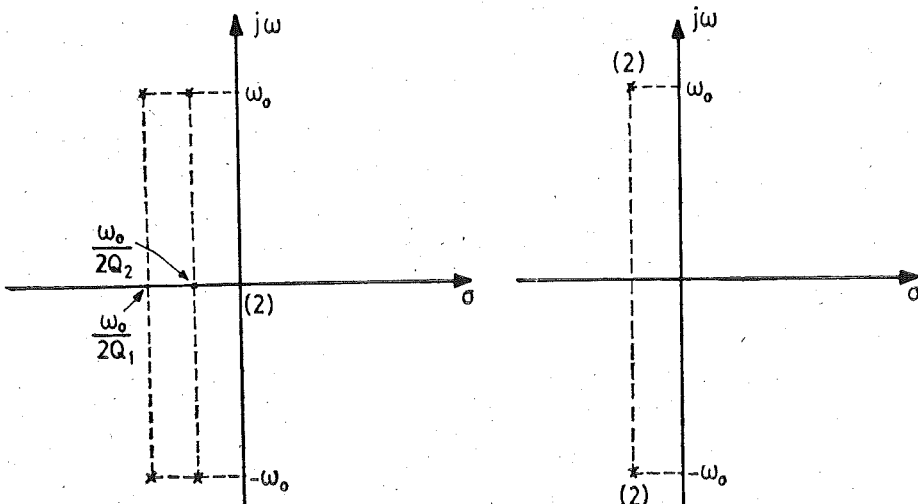
lam devrenin band genişliği katlardan herbirinin band genişliğinden daha küçüktür ve (b) geçirme bandı dışında kazancın düşme hızı daha yüksektir. Art arda bağlanan kat sayısı artırılırsa band genişliği daha da küçüller, buna karşılık devrenin *seçiciliği* artar. Katların değer katsayılarının eşit olması halinde  $n$  katlı bir kuvvetlendiricinin  $B_T$  toplam band genişliğinin katlardan herbirine ilişkin  $B$  band genişliği cinsinden

$$B_T = B \sqrt{2^{1/n} - 1}$$

bağıntısı ile bulunabileceği gösterilebilir.

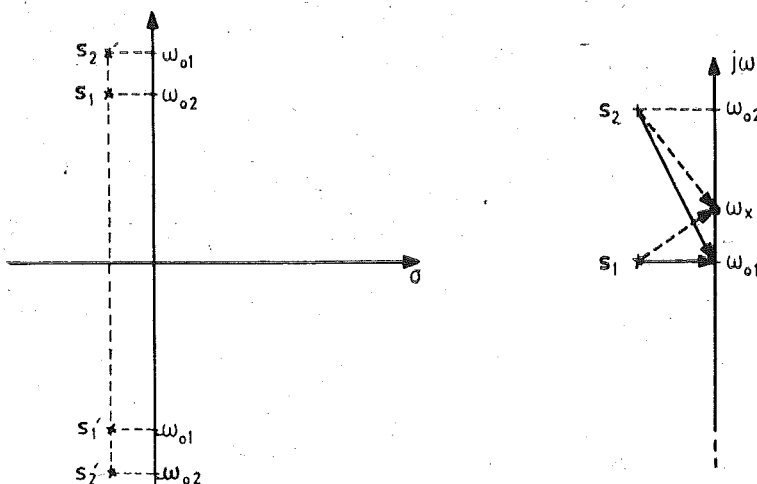
Frekans eğrileri Şekil 7.9. da verilmiş olan iki katlı akordlu kuvvetlendiricinin tümüne ilişkin sıfır-kutup diyagramı Şekil 7.10. (a) da gösterildiği gibi olacaktır. Her iki devre *aynı* frekansa akordlu olduğu için kutupların sanal kısımları aynı  $\mp j\omega_0$  değerlerindedir. Birinci devrenin band genişliği daha büyük ( $Q_1$  değer katsayısı daha küçük) olduğundan buna ilişkin kutupların gerçek kısımları daha büyütür. İki devrenin değer katsayılarının eşit olması halinde sıfır-kutup diyagramında kutupların Şekil 7.10. (b) deki gibi iki katlı olacağı açıktır.

İlginc bir durum da art arda bağlanan katlara ilişkin kutupların sanal kısımlarının farklı olması (başka bir deyişle devrelerin farklı frekanslara akord edilmiş olması)dır. Şekil 7.11. (a) da  $\omega_{o1}$  ve  $\omega_{o2}$  gibi biri-



Sekil 7.10. Katları aynı  $f_0$  frekansına akord edilmiş iki katlı bir kuvvetlendiricinin sıfır-kutup diyagramı: (a)  $Q_1 < Q_2$  için, (b)  $Q_1 = Q_2$  için.

birine yakın iki frekansa akord edilmiş ve değer katsayıları —yaklaşık olarak— eşit olan iki katın art arda bağlanması ile elde edilmiş bir kuvvetlendiricinin sıfır-kutup diyagramı verilmiştir. Böyle bir kuvvetlendi-

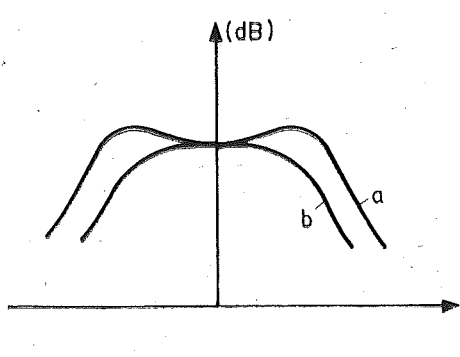


Sekil 7.11. (a) Rezonans devreleri farklı —fakat yakın— iki frekansa akord edilmiş iki katlı kuvvetlendiricinin sıfır-kutup diyagramı. (b) Akord frekansları civarında  $(s - s_1)$  ve  $(s - s_2)$  fazörleri.

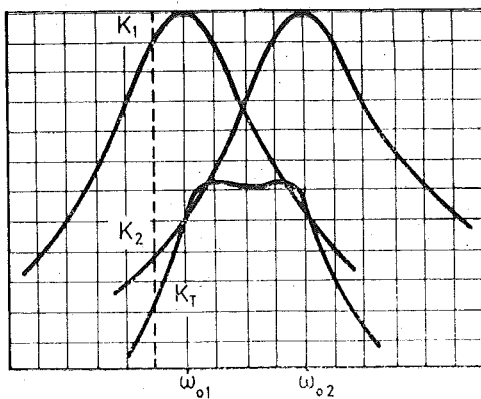
ricinin kazanç fonksiyonu akord frekansları yakınılarında (7.5) bağıntısından yararlanılarak

$$K \cong K_{01} \cdot K_{02} \frac{\omega_{01} \cdot \omega_{02}}{4 Q_1 \cdot Q_2} \frac{1}{(s - s_1)(s - s_2)}$$

seklinde ifade edilebilir. Sekil 7.11. (b) de  $s_1$  ve  $s_2$  kutupları civarı büyütülmüş olarak yeniden çizilmiş,  $\omega_{01}$  akord frekansı ile başka bir  $\omega_x$  frekansı için  $(s - s_1)$  ve  $(s - s_2)$  fazörleri işaretlenmiştir. Şeklin incelenmesinden görülür ki frekans sıfırdan başlanarak arttırlığında  $(s - s_1)$  ve  $(s - s_2)$  fazörlerinin modülleri sürekli olarak azalacağından kazancın modülü artar.  $\omega_{01}$  frekansında  $(s - s_1)$  fazörünün modülü minimum olduğundan kazanç maksimumdur.  $\omega_{02}$  frekansında kazancın değeri  $\omega_{01}$  frekansındaki değere esittir.  $\omega_{01}$  ile  $\omega_{02}$  arasındaki frekanslarda —akord frekanslarının uzaklığına ve değer katsayısına bağlı olarak— kazanç,  $\omega_{01}$  ve  $\omega_{02}$  frekanslarındaki değerinden daha küçük olabilir. Bu durumda frekans eğrisi Sekil 7.12. a da görüldüğü gibi *çift tepeli* olacaktır. Bu şekilde art arda bağlanan katların akord frekanslarının biribirlerinden biraz farklı yapılarak geçirme bandının genişletilmesine *kademeli akord* denir. Kademeli akordun sonucunda elde edilecek olan frekans eğrisi Sekil 7.13. de gösterildiği gibi, frekans eğrileri (dB olarak) nokta nokta toplanmak yolu ile de bulunabilir.



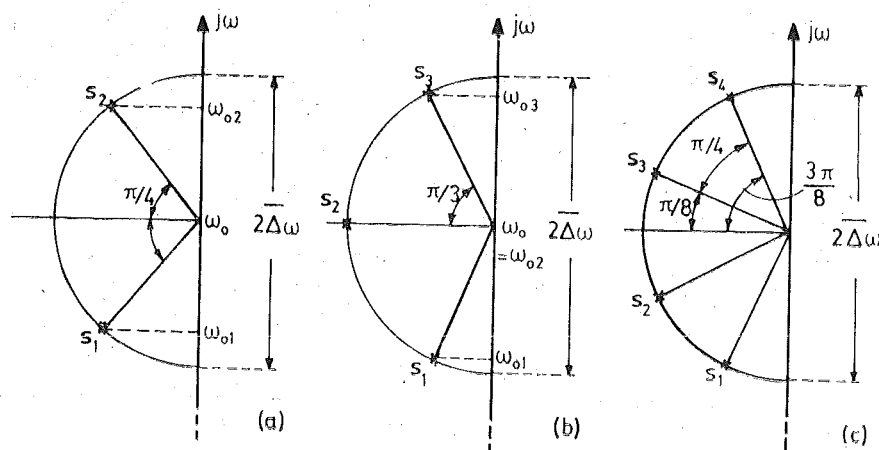
Sekil 7.12. Kademeli akord edilmiş iki katlı bir kuvvetlendiricinin frekans eğrisi.



Sekil 7.13. Kademeli akord edilmiş iki katlı bir kuvvetlendiricide frekans eğrisinin katların frekans eğrileri yardımı ile elde edilmesi.

Kademeli akordda özel bir durum toplam frekans eğrisinin tepeinde bir çukurlaşma olmadan elde edilebilecek en büyük band genişliğini sağlayan *maksimum düzükte frekans eğrisi*'ni veren durumdur (Sekil 7.12. b).

Filtre teorisinden, Butterworth frekans eğrisi denen böyle bir frekans eğrisinin elde edilebilmesi için kutupların bir çember üzerinde bulunması ve merkeze göre açılarının —kat sayısına bağlı olarak— belirli bir kurala uyması gerektiği bilinmektedir. Şekil 7.14. de 2, 3 ve 4 katlı kademeli akordlu kuvvetlendiriciler için maksimum düzülükte frekans eğrisi verecek olan kutup dağılımları gösterilmiştir. Art arda bağlanan kat-



Şekil 7.14. Maksimum düzülükte (Butterworth tipi) bir frekans eğrisi için gerekli kutup dağılımları: (a) iki katlı, (b) üç katlı, (c) dört katlı devre için.

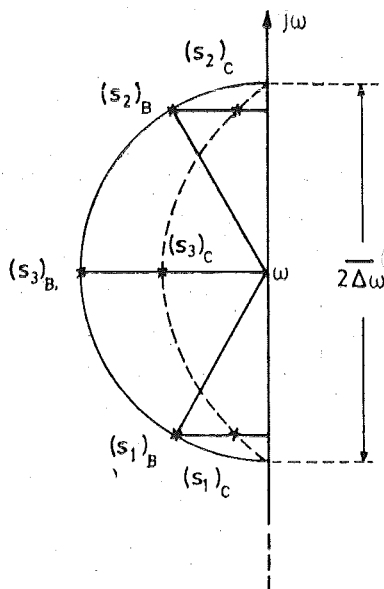
ların akord frekanslarının ortasına düşen  $\omega_0$  frekansının, frekans bandının merkez frekansı olacağı açıklıdır. Devrenin toplam frekans eğrisinin kesim frekansları ise çemberin  $j\omega$  ekseni kestiği frekanslarla belirlidir. Kutup dağılımı başka türlü seçilerek kademeli akordlu kuvvetlendiricilerle değişik frekans eğrisi biçimleri (örneğin geçirme bandı içinde, belirli bir tepe değeri etrafında belirli bir toleransla dalgalanma gösteren Chebyshev tipi —yahut eşit dalgalılık— frekans eğrisi) elde edilebilir.

Chebyshev tipi frekans eğrileri veren kazanç fonksiyonlarının payda polinomlarına ilişkin değerler konu ile doğrudan doğruya ilgili kaynaklardan bulunabilir. Aşağıda —payda polinomunun katsayılarından değil de— aynı band genişliğine sahip Butterworth tipi bir frekans eğrisine ilişkin kutuplardan hareket edilerek Chebyshev kutuplarının nasıl bulunacağı gösterilecektir.

Merkez frekansı  $\omega_0$  ve band genişliği  $2\Delta\omega$  olan Butterworth tipi bir devrenin kutupları, bilindiği gibi,  $\omega_0$  merkezli ve  $\Delta\omega$  yarıçaplı bir멤ber üzerinde bulunurlar. Gösterilmiştir ki aynı  $2\Delta\omega$  band genişliğine sahip olan Chebyshev tipi bir frekans eğrisine ilişkin kutuplar büyük ekse- ni  $2\Delta\omega$  kadar olan bir elips üzerinde bulunurlar. Elipsin basıklığı, fre- kans eğrisinin tepe dalgalılığını belirler, elips nekadar basık — kutuplar  $j\omega$  eksene nekadar yakın — olursa tepe dalgalılığı okadar fazla olur (buna karşılık band başlarında frekans eğrisinin düşme eğimi artar). Chebyshev kutuplarının sanal kısımları aynı band genişliğini veren Butterworth kutuplarının sanal kısımlarına eşittir. Gerçel kısımların bü- yüklükleri

$$\text{Re } [s_i]_c = \tgh \alpha \cdot \text{Re } [s_i]_B$$

bağıntısı ile hesaplanabilir (Şekil 7.15.).

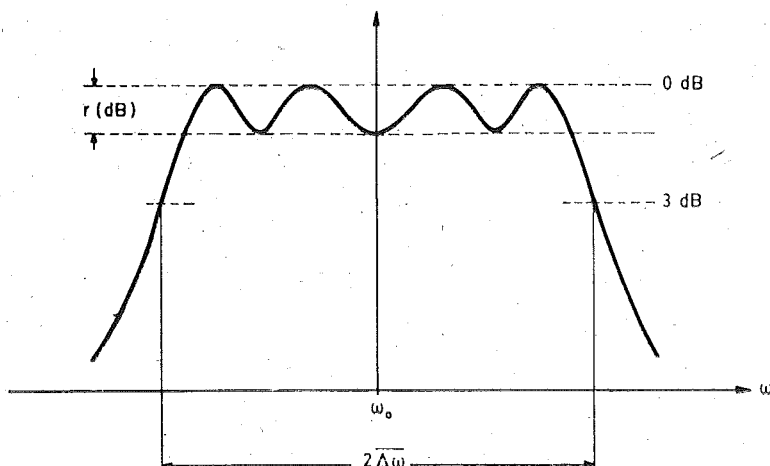


**Sekil 7.15.** Chebyshev kutuplarının Butterworth kutuplarından hareket edilerek bulunması.

Buradaki a frekans eğrisinin mertebesi ( $n$ ) ile tepe dalgalılığına ( $r$ ) bağlı bir parametredir ve

$$a = \frac{1}{n} \sinh^{-1} \frac{1}{\sqrt{\epsilon}} , \quad \epsilon = \log^{-1} \frac{r (\text{dB})}{10} - 1$$

bağıntısı ile belirlidir (Şekil 7.16.). Kutplardan herbirine ilişkin değer katsayısı  $R_e[s_i] = \omega_0 / 2 Q_i$  bağıntısından hesaplanabilir.  $\tgh a$ 'nın 2 ... 4 cü mertebeden (2 ... 4 çift kutuplu) frekans eğrileri ve çeşitli tepe dalgalılıkları için alacağı değerler Tablo 7.1. de verilmüştür. Buna göre, örneğin



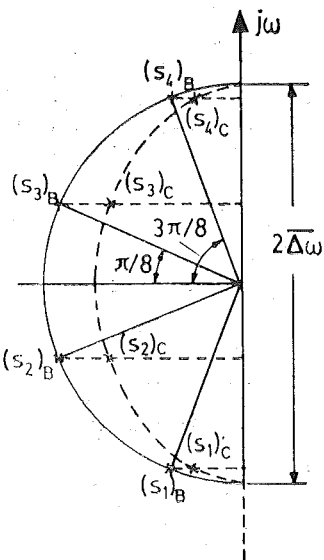
Şekil 7.16. Chebyshev tipi frekans eğrisi için tepe dalgalılığı ( $r$ ) ve 3dB band genişliği ( $2\Delta\omega$ ). (Tepelere karşı düşen frekansların dağılımına ve değer katsayılarının farklı olmasının etkisine dikkat ediniz.)

4. mertebeden ve tepe dalgalılığı 0,3 dB ve band genişliği  $2\Delta\omega$  olan Chebyshev tipi bir frekans eğrisi elde edilebilmesi için kutupların  $\omega_0$  merkez frekansı etrafında Şekil 7.17. deki gibi yerleştirilmesi gereklidir.

TABLO 7.1.

 $\tgh a$ 

| $r(\text{dB})$ | $n=2$ | $n=3$ | $n=4$ |
|----------------|-------|-------|-------|
| 0,05           | 0,898 | 0,750 | 0,623 |
| 0,1            | 0,859 | 0,696 | 0,567 |
| 0,2            | 0,806 | 0,631 | 0,505 |
| 0,3            | 0,767 | 0,588 | 0,467 |
| 0,4            | 0,736 | 0,556 | 0,439 |
| 0,5            | 0,709 | 0,524 | 0,416 |



Şekil 7.17. Dördüncü mertebeden ve tepe dalgalılığı 0,3 dB olan Chebyshev kutuplarının bulunması.

#### 7.4. Bağlaçlı Rezonans Devreleri Kullanılarak Gerçekleştirilen Kuvvetlendiriciler (Çift Akordlu Kuvvetlendiriciler).

Şekil 7.18. deki gibi iki rezonans devresinin magnetik olarak bağlaçtırılması ile elde edilen devrelere *magnetik bağlaçlı çift akordlu* devreler denir. (İki rezonans devresinin bağlaştırılması başka yollardan; örneğin bir bağlaştırma kapasitesi ile de sağlanabilir. En çok kullanılan bağlaştırma şekli magnetik bağlaştırma olduğundan aşağıda özellikle bu tipten devrelerin özellikleri üzerinde durulacaktır. Öteki bağlaçma tiplerinin özellikleri de magnetik bağlaçlı devrelerinkine benzer şekilde incelenebilir ve benzer sonuçlar elde edilir).

Magnetik bağlaçlı çift akordlu bir devre genellikle bir kuvvetlendirici elemanın yükü olarak kullanıldığından, bir akım kaynağı (kuvvetlendirici elemanın çıkış tarafındaki bağımlı akım kaynağı) ile sürüldüğü durumu incelemek yararlı olur. Bu durumda birinci taraftaki  $C_1$  kapasitesi devredeki toplam paralel kapasiteyi,  $r_1$  direnci toplam kayıplara karşı düşen eşdeğer seri direnci göstermektedir.  $C_2$  nin içine bir sonraki katın giriş kapasitesi ve  $r_2$  nin içine de  $-L_2$  bobininin kayıplarının yanı sıra— bir sonraki katın giriş direncinden gelen seri bileşen dahildir.  $L_1$  ve

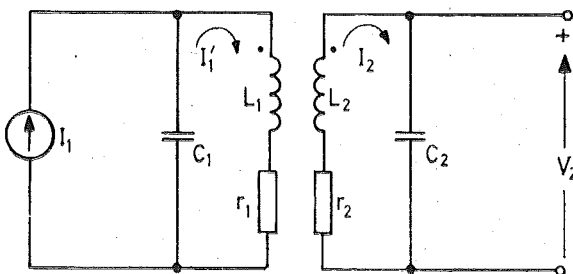
$$\operatorname{Re} [s_1]_B = -0,383 \cdot \overline{\Delta\omega}$$

$$\begin{aligned}\operatorname{Re} [s_1]_C &= -0,467 \times 0,383 \cdot \overline{\Delta\omega} \\ &= -0,179 \cdot \overline{\Delta\omega}\end{aligned}$$

$$\operatorname{Re} [s_2]_B = -0,924 \cdot \overline{\Delta\omega}$$

$$\begin{aligned}\operatorname{Re} [s_2]_C &= -0,467 \times 0,924 \cdot \overline{\Delta\omega} \\ &= -0,43 \cdot \overline{\Delta\omega}\end{aligned}$$

$L_2$  bobinlerinin arasındaki ortak endüksiyon katsayıısı  $M$  ve bağlaşma katsayıısı



Sekil 7.18. Magnetik bağlaşmalı çift akordlu devre.

$k = M / \sqrt{L_1 L_2}$  dir. Devreden

$$\left. \begin{aligned} \left( \frac{1}{sC_1} + r_1 + sL_1 \right) \cdot I_1' - s \cdot MI_2 &= \frac{1}{sC_1} \cdot I_1 \\ -s \cdot MI_1' + \left( \frac{1}{sC_2} + r_2 + sL_2 \right) I_2 &= 0 \end{aligned} \right\} \quad (7.11)$$

yazılabilir. Buradan  $I_2$  akımı  $I_1$  cinsinden çözülürse

$$I_2 = I_1 \frac{\frac{M}{C_1}}{\left( \frac{1}{sC_1} + r_1 + sL_1 \right) \left( \frac{1}{sC_2} + r_2 + sL_2 \right) - s^2 M^2}$$

ve  $V_2 = I_2 \cdot (1/sC_2)$  çıkış gerilimi

$$V_2 = I_1 \frac{s \cdot M}{(1 + s r_1 C_1 + s^2 L_1 C_1) (1 + s r_2 C_2 + s^2 L_2 C_2) - s^4 M^2 C_1 C_2}$$

bulunur. Bu bağlantıda

$$\omega_{01}^2 = \frac{1}{L_1 C_1}, \omega_{02}^2 = \frac{1}{L_2 C_2}, Q_1 = \frac{1}{r_1 C_1 \omega_{01}}, Q_2 = \frac{1}{r_2 C_2 \omega_{02}}$$

tanım bağıntıları kullanılarak devrenin transfer empedansı

$$\frac{V_2}{I_1} = \frac{s \cdot M \cdot \omega_{01}^2 \omega_{02}^2 Q_1 Q_2}{(\omega_{01}^2 Q_1 + s \omega_{01} + s^2 Q_1) (\omega_{02}^2 Q_2 + s \omega_{02} + s^2 Q_2) - s^4 k^2 Q_1 Q_2} \quad (7.12)$$

şeklinde yazılabilir. Bu ifadenin sıfırda bir sıfırı ve dört tane de kutbu vardır. Bu kutupları biraz yaklaşıklik yapılarak fakat basitçe elde edebilmek için paydanın  $s^4$ 'e göre düzenlenmesi halinde çakacak  $s^4$ 'ün katsayısı

$$\begin{aligned}s^4(Q_1 Q_2 - k^2 Q_1 Q_2) &= s^4 Q_1 Q_2 (1 - k^2) \\ &= s^4 Q_1 Q_2 (1 - k) (1 + k)\end{aligned}$$

şeklinde yazılp,  $k \ll 1$  olduğu göz önüne alınarak payda

$$[\omega_{01}^2 Q_1 + s \omega_{01} + s^2 Q_1 (1 - k)] [\omega_{02}^2 Q_2 + s \omega_{02} + s^2 Q_2 (1 + k)]$$

yaklaşık bağıntısı ile ifade edilebilir.

Buradan transfer empedansının kutupları kolayca bulunur :

$$s_1, s_1' = -\frac{\omega_{01}}{2Q_1(1-k)} \pm j \frac{\omega_{01}}{2Q_1(1-k)} \sqrt{4Q_1^2(1-k)-1}$$

$$s_2, s_2' = -\frac{\omega_{02}}{2Q_2(1+k)} \pm j \frac{\omega_{02}}{2Q_2(1+k)} \sqrt{4Q_2^2(1+k)-1}$$

Genellikle  $4Q^2(1 \mp k) > 1$  olduğundan bu bağıntılar

$$s_1, s_1' \cong -\frac{\omega_{01}}{2Q_1(1-k)} \pm j \frac{\omega_{01}}{\sqrt{1-k}}$$

$$s_2, s_2' \cong -\frac{\omega_{02}}{2Q_2(1+k)} \pm j \frac{\omega_{02}}{\sqrt{1+k}}$$

şeklinde basitleştirilebilir.  $k \ll 1$  olduğu göz önüne alınırsa  $\sqrt{1-k}$  ve  $\sqrt{1+k}$  nin seriye açılımları ilk iki terimleri ile alınarak ve gergel kisimlar için de  $(1-k) \cong 1$ ,  $(1+k) \cong 1$  yaklaşıklığı yapılarak

$$\left. \begin{aligned}s_1, s_1' &\cong -\frac{\omega_{01}}{2Q_1} \pm j \omega_{01} \left(1 + \frac{k}{2}\right) \\ s_2, s_2' &\cong -\frac{\omega_{02}}{2Q_2} \pm j \omega_{02} \left(1 - \frac{k}{2}\right)\end{aligned}\right\} \quad (7.13)$$

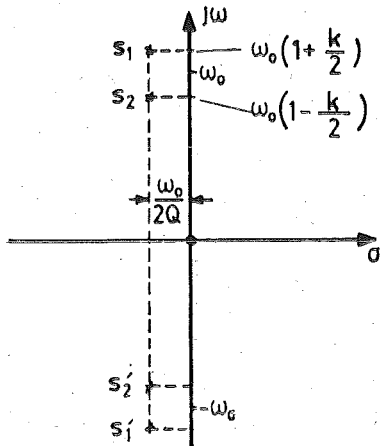
bulunur. İki rezonans devresi aynı frekansa akord edilirlerse (yani  $\omega_{01} = \omega_{02} = \omega_0$  için) kutuplar

$$\left. \begin{aligned}s_1, s_1' &\cong -\frac{\omega_0}{2Q_1} \pm j \omega_0 \left(1 + \frac{k}{2}\right) \\ s_2, s_2' &\cong -\frac{\omega_0}{2Q_2} \pm j \omega_0 \left(1 - \frac{k}{2}\right)\end{aligned}\right\} \quad (7.14)$$

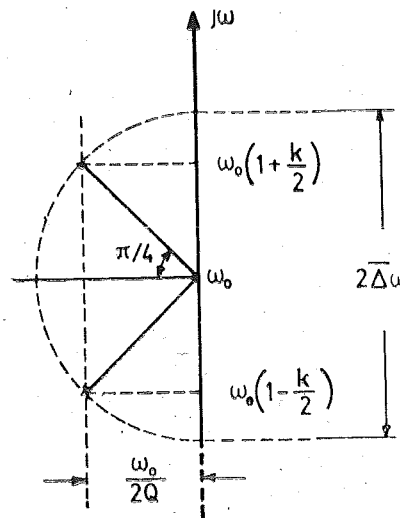
olur. Bu bağıntılar;

(a) İki rezonans devresi *aynı* bir  $\omega_0$  frekansına akord edildikleri halde eşlenik kutupların sanal kısımlarının  $\omega_0$ dan farklı olacağını ve  $\omega_0$ 'a göre simetrik  $\omega_0[1 - (k/2)]$  ve  $\omega_0[1 + (k/2)]$  değerlerini alacaklarını,

(b) İki rezonans devresinin değer katsayılarının eşit olması halinde kutupların gerçek kısımlarının aynı bir  $(-\omega_0/2Q)$  değerinde olacağını ifade eder. Bu durumda sıfır kutup dağılımı Şekil 7.19. daki gibi olur ki bu,  $k$  ve  $Q$  parametrelerinin uygun seçilmesi ile maksimum düzülükte bir frekans eğrisi yahut Chebyshev tipi bir frekans eğrisi elde edilebileceğini gösterir.



Şekil 7.19. Magnetik bağlamalı çift akordlu devrenin sıfır-kutup diyagramı.



Şekil 7.20. Maksimum düzülükte bir frekans eğrisi için kutuplar (sadece üst yarı düzlemden gösterilmiştir).

Maksimum düzülükte (Butterworth tipi) bir frekans eğrisi elde edilebilmesi için gerekli kutup dağılımı (sadece üst yarıdakiler) Şekil 7.20. de gösterilmiştir. Bu durum için şeklin geometrisinden

$$\omega_0 - \omega_0 \left(1 - \frac{k}{2}\right) = \frac{\omega_0}{2Q}$$

$$k Q = 1 \quad (7.15)$$

ve band genişliği

$$2\Delta\omega = 2 \cdot \left( \frac{\omega_0}{2Q} \sqrt{2} \right) = \frac{\omega_0}{Q} \cdot \sqrt{2}$$

yahut

$$B = 2 \Delta f = \sqrt{2} \cdot f_0 / Q \quad (7.16)$$

bulunur. O halde iki yanına ilişkin değer katsayıları  $Q_1 = Q_2 = Q$  olan çift akordlu bir devrenin maksimum düzükte bir frekans eğrisi vermesi için bobinler arasındaki bağlaşma katsayısının  $kQ = 1$  şartını sağlaması gereklidir.  $k$  nin bu durumuna *kritik bağlaşma* (kritik koplaj) denir. (7.16) bağıntısının, tek akordlu bir devrenin band genişliğini veren (7.6) bağıntısı ile karşılaştırıldığından da kritik bağlaşmalı çift akordlu bir devrenin sağlayacağı band genişliğinin, aynı  $Q$  ya sahip tek akordlu bir devre ile elde edilebilenin  $\sqrt{2}$  katı olacağı anlaşılmıştır.

Herhangi bir  $k$  değeri için —ve genel hal olarak  $Q_1 \neq Q_2$  durumunda— transfer empedansının  $\omega_0$  akord frekansı yakınılarında değişimi (7.12) bağıntısının, kutupları einsinden yazılmış şekli olan

$$\frac{V_2}{I_1} \cong \frac{s \cdot M \cdot \omega_0^4}{(s-s_1)(s-s_1')(s-s_2)(s-s_2')}$$

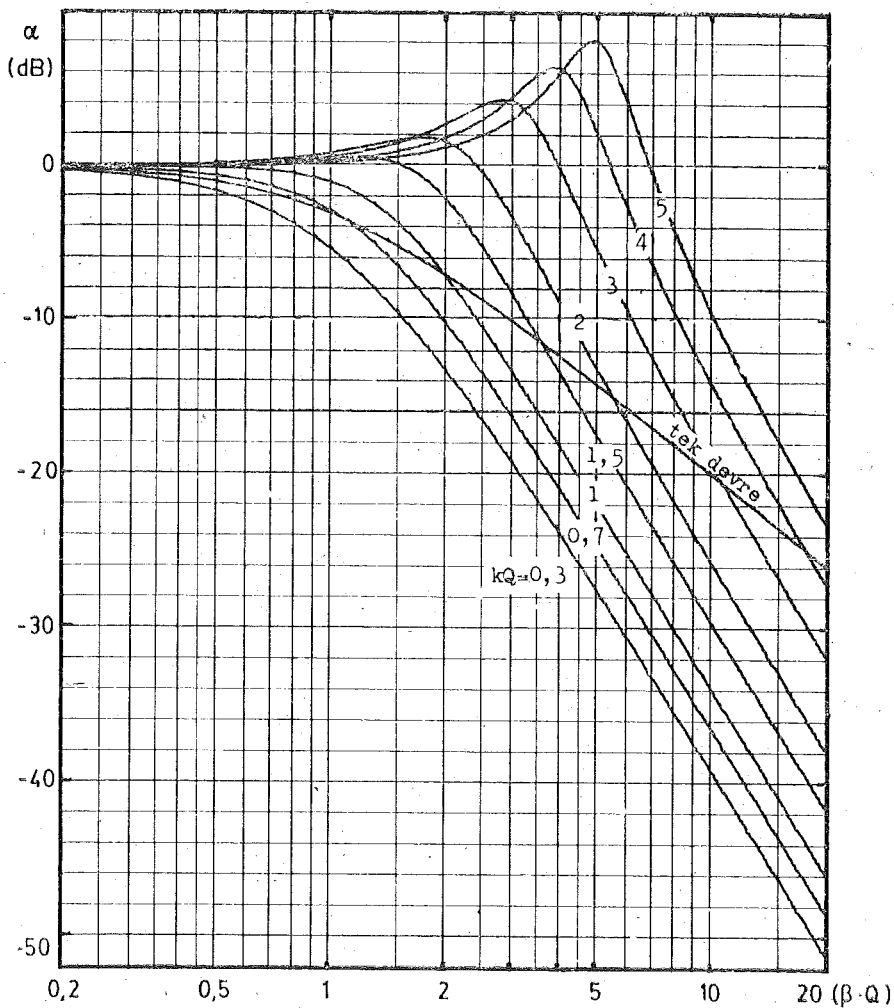
bağıntısından, akord frekansı yakınılarında  $(s-s_1') \approx 2s$ ,  $(s-s_2') \approx 2s$  olduğu göz önüne alınarak yazılan

$$\frac{V_2}{I_1} \approx \frac{M}{4s} \cdot \frac{\omega_0^4}{(s-s_1)(s-s_2)} \quad (7.17)$$

bağıntısı yardımcı ile bulunabilir.  $Q_1 \neq Q_2$  için kutupların (7.14) ile verilmiş olan değerleri (7.17) bağıntısında yerine konup  $s$  de  $j\omega$  ile değiştirilirse

$$\begin{aligned} \frac{V_2}{I_1} &= -j \frac{M}{4\omega} \cdot \frac{\omega_0^4}{\left[ \frac{\omega_0}{2Q_1} - j \cdot \left( \omega_0 - \omega + \frac{\omega_0 k}{2} \right) \right] \cdot \left[ \frac{\omega_0}{2Q_1} - j \cdot \left( \omega_0 - \omega - \frac{\omega_0 k}{2} \right) \right]} \\ &\approx -j \frac{M}{\omega} \cdot \frac{\omega_0^2 \cdot Q_1 \cdot Q_2}{\left\{ 1 - j \left[ \frac{\omega_0 - \omega}{\omega_0} \cdot 2Q_1 + kQ_1 \right] \right\} \cdot \left\{ 1 - j \left[ \frac{\omega_0 - \omega}{\omega_0} \cdot 2Q_2 - kQ_2 \right] \right\}} \end{aligned} \quad (7.18)$$

bulunur. Bu bağıntı yardımcı ile  $V_2/I_1$ , transfer empedansının modülünü ve açısının  $\omega$  ile değişimi çıkartılabilir. Literatürde —genellikle  $Q_1 = Q_2 = Q$  hali için— transfer empedansının modülünün  $kQ$  büyülüğünün çeşitli değerleri için frekansla —yahut  $\beta = 2 \Delta\omega/\omega_0$  akord bozukluğu katsayısı



$$\alpha = 20 \log \frac{|V_2/I_1|}{|V_{2r}/I_1|} = 20 \log \frac{1 + k^2 Q^2}{\sqrt{(1 + k^2 Q^2 - \beta^2 Q^2)^2 + 4 \beta^2 Q^2}} \text{ (dB)}$$

Sekil 7.21. Çift akordlu bir devrede  $|V_2/I_1|$  transfer empedansının  $\beta \cdot Q$  ile değişimi.  $k \cdot Q$  parametre olarak alınmış ve transfer empedansı,  $\omega_0$  daki değere göre normalleştirilmiştir. Eğriler tizerinde ayrıca tek bir rezonans devresine ilişkin eğri de gösterilmiştir.

ile— nasıl değişeceğini gösteren eğriler verilmiştir. Şekil 7.21. deki eğriler bunlardan biridir ve transfer empedansının modülünün,  $\omega_0$  akord frekansındaki değerine göre bağılı değişimini dB olarak vermektedir. Eğrilerden görüldüğü gibi kritik bağlaşmaya (maksimum düzlükteki frekans eğrisine) karşı düşen  $kQ=1$  den daha büyük  $kQ$  değerleri için frekans eğrisi çift tepeli şeke dönüşmektedir, buna karşılık band genişliği artmaktadır. Örneğin  $kQ=2$  değeri için frekans eğrisinin tepesinde 2 dB lik bir dalgalılık meydana gelmekte, band genişliği ise  $-3$  dB noktalarında  $\beta Q \approx \pm 3$  olduğundan

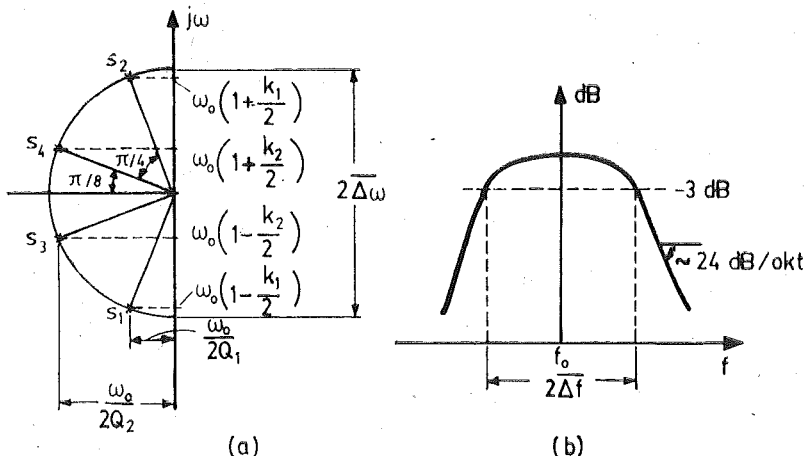
$$\beta Q = (2 \overline{\Delta\omega} / \omega_0) Q = 3$$

$$2 \overline{\Delta\omega} = 3 (\omega_0/Q)$$

$$B = 2 \Delta f = 3 (f_0/Q)$$

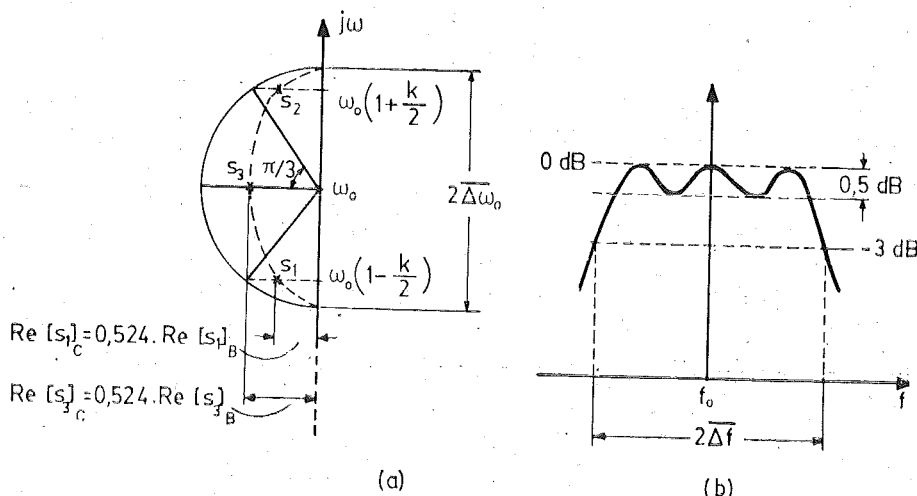
çıkmaktadır. Eğrilerin yan dikliğinin  $k$  değerinden bağımsız olarak hemen hemen sabit ve 12 dB/oktav olduğu görülmektedir.

Devre tasarımindan doğrudan doğruya bu eğrilerden yararlanabileceğim gibi sıfır kutup diyagramından da yararlanılabilir. Özellikle çok katlı devrelerde toplam frekans eğrisinin istenilen biçimde olması için gerekli  $k$  ve  $Q$  değerleri bu yoldan daha kolay bir şekilde belirlenebilir. Örnek olarak Şekil 7.22. (a) da iki katlı çift akordlu bir devrenin maksimum düzlükte bir frekans eğrisi ile  $2 \overline{\Delta\omega}$  band genişliğini sağlaması için



Şekil 7.22. (a) Herbiri çift akordlu iki katlı bir devrede, maksimum düzlükte frekans eğrisi için kutupların yerleri. (b) Böyle bir devrenin frekans eğrisi.

gerekli kutup dağılımı gösterilmiştir. Bu kutuplardan  $s_1$  ve  $s_2$  (ve bunların eşlenikleri) çift akordlu devrelerden biri ile  $s_3$  ve  $s_4$  (ve eşlenikleri) de ikinci çift akordlu devre ile elde edilir. Devrelerden herbirine ilişkin önemli parametrelerin değerleri, şeitin geometrisinden kolayca hesaplanabilir. Şekil 7.22. (b) de böyle bir devrenin frekans eğrisi verilmiştir. Şekil 7.23. (a) da da biri tek akordlu diğer çif akordlu iki devrenin art arda bağlanması ile elde edilen bir devrenin, 0,5 dB tepe dalgalılığı için kutuplarının bulunması gereken yerler işaretlenmiştir. Burada da  $s_1$  ve  $s_2$  kutupları çift akordlu devre tarafından ve  $s_3$  kutbu tek akordlu devre tarafından sağlanacaktır. Devreye ilişkin frekans eğrisi Şekil 7.23. (b) de verilmiştir.



Şekil 7.23. (a) Biri tek akordlu, öteki çift akordlu iki katlı bir kuvvetlendiricide 0,5 dB tepe dalgalılıklı Chebyshev tipi frekans eğrisi için kutupların yerleri. (b) Böyle bir devrenin frekans eğrisi.

Yükiü çift akordlu bir devre olan kuvvetlendiricinin herhangi bir  $\omega$  frekansındaki gerilim kazancı, transfer empedansını veren bağıntıdan yararlanılarak bulunabilir. Daha önce de değinildiği gibi Şekil 7.18. deki eşdeğer devredeki  $I_1$  genellikle bir kuvvetlendirici elemanın çıkışındaki bağımlı akım kaynağıdır ve

$$I_1 = -g_m V_1$$

bağıntısı ile belirlidir. Bu bağıntı transfer empedansının

$$Z_{tr} = V_2/I_1$$

bağıntısı ile birleştirilirse gerilim kazancı

$$K_v = V_2/V_1 = -g_m \cdot Z_{tr}$$

bulunur. Kazancın  $\omega_0$  akord frekansındaki değeri (7.12) bağıntısında  $\omega_{o1} = \omega_{o2} = \omega_0$  ve  $s = j\omega_0$  konularak hesaplanabilir :

$$K_0 = j \cdot g_m \omega_0 \cdot \frac{k \sqrt{L_1 L_2 Q_1 Q_2}}{1 + k^2 \cdot Q_1 \cdot Q_2} \quad (7.19)$$

$Q_1 = Q_2 = Q$  için bağıntı

$$K_0 = j g_m \cdot \omega_0 \cdot \frac{k \sqrt{L_1 \cdot L_2 \cdot Q^2}}{1 + (kQ)^2} = j g_m \cdot \omega_0 \cdot \sqrt{L_1 \cdot L_2 \cdot Q} \cdot \frac{kQ}{1 + (kQ)^2} \quad (7.20)$$

ve  $L_1 = L_2 = L$  özel hali için

$$K_0 = j g_m \cdot \omega_0 \cdot LQ \cdot \frac{kQ}{1 + (kQ)^2} \quad (7.21)$$

şeklini alır. Maksimum düzükte bir frekans eğrisi veren (kritik bağılasmalı) bir devrede  $kQ = 1$  olduğundan

$$K_0 = j g_m \omega_0 \cdot (LQ/2)$$

ve

$$Q = R/L \omega_0$$

konulursa

$$K_0 = j g_m \cdot (R/2)$$

$$|K_0| = g_m \cdot (R/2) \quad (7.22)$$

bulunur. Bu bağıntı tek akordlu bir kuvvetlendiricinin kazancını veren (7.1) bağıntısı ile karşılaştırılırsa çift akordlu bir devre ile elde edilen kazancın, eleman değerleri aynı olan tek akordlu bir devrenin sağlayacağı kazancın yarısı kadar olacağı sonucuna varılır.

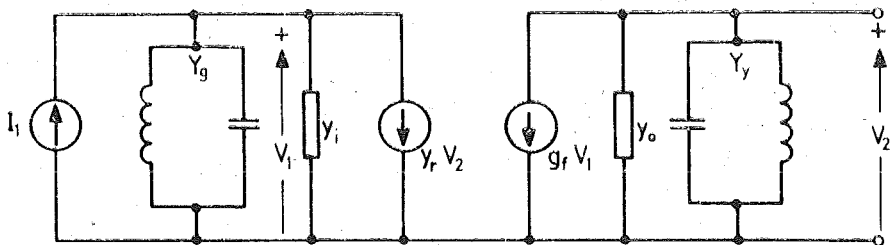
## 7.5. Akordlu Kuvvetlendiricilerde Kararsızlık Sorunu :

### İç Geribesleme Kapasitesinin Etkisi.

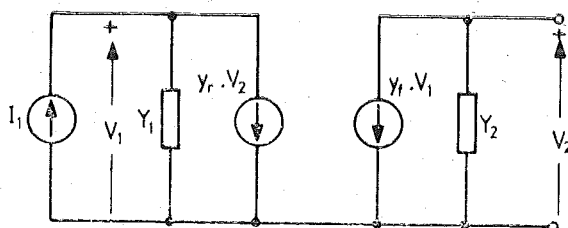
Buraya kadar yapılan incelemelerde, kullanılan kuvvetlendirici elemanın *İç geribeslemesi* bulunmadığı kabul edilmiştir. Gerçekte bütün kuvvetlendirici elemanlarda az veya çok bir iç geribesleme vardır. Bu geribeslemenin nedeni tüplerde elektrodlar arası kapasiteler, tranzistor-

larda ise Early etkisi ve çıkış-giriş kapasitesidir. Yüksek frekanslarda Early etkisi daima kapasitenin etkisi yanında ihmali edilebilecek kadar küçük kalır.

Girişinde ve çıkışında birer rezonans devresi bulunan akordlu bir kuvvetlendiricinin eşdeğer devresi Şekil 7.24. de gösterilmiştir. Aktif elemanın  $y$  parametreleri ile verildiği kabul edilmiş ve iç geribesleme  $y_r$  parametresi ile belirlenmiştir. Girişteki rezonans devresinin admitansının  $y_1$  giriş admitansı ile toplamı  $Y_1$  ile ve çıkıştaki rezonans devresinin admitansının  $y_2$  çıkış admitansı ile toplamı  $Y_2$  ile gösterilirse eşdeğer devre Şekil 7.25. deki gibi basitleştirilebilir. Bu eşdeğer devre yardımı ile devrenin  $V_2/I_1$  transfer empedansı hesaplanabilir :



Şekil 7.24. Girişinde ve çıkışında birer paralel rezonans devresi bulunan kuvvetlendiricinin eşdeğer devresi.



Şekil 7.25. Basitleştirilmiş eşdeğer devre.

$$I_1 = Y_1 \cdot V_1 + y_r \cdot V_2$$

$$0 = y_f \cdot V_1 + Y_2 \cdot V_2$$

$$\frac{V_2}{I_1} = - \frac{y_f}{Y_1 \cdot Y_2 - y_r \cdot y_f} \quad (7.23)$$

(7.23) bağıntısına göre  $y_r \cdot y_t = Y_1 \cdot Y_2$  eşitliğinin sağlanması halinde transfer empedansı —dolayısı ile kazanç— sonsuz olur. Yani devrenin  $I_1$  giriş ıgareti sıfır olsa bile  $V_2$  çıkış gerilimi sonlu bir değer alabilir. Bu şartın sağlandığı frekansta devre bir salınım üretici (osilatör) gibi çalışır. Ancak bir devreden bir kuvvetlendirici olarak yararlanılabilmesi için bu *kararsızlık* durumundan uzak kalınması gereklidir. (7.23) bağıntısından,  $y_r$  iç geribesleme admitansının sıfır olması halinde kararsızlığın söz konusu olamayacağı kolayca görülür. Gerçekte bütün aktif elemanlarda  $y_r$  sıfırdan farklıdır. O halde Şekil 7.24. deki devreni nkararlı kalabilmesi (osilasyon yapmaması) için gerekli şartların bulunması gereklidir.

Devre bir akordlu kuvvetlendirici olduğuna göre girişteki ve çıkıştaki rezonans devrelerinin aynı bir  $\omega_0$  frekansına akord edilmesi gereklidir. Bu durumda girişteki  $Y_1$  admitansı için

$$\begin{aligned} Y_1 &= G_1 + j\omega C_1 - j \frac{1}{\omega L_1} \\ &= G_1 + j\omega C_1 \left( 1 - \frac{1}{\omega^2 L_1 C_1} \right) \end{aligned}$$

yazılabilir,  $\omega_0^2 = 1/L_1 C_1$  bağıntısı ile

$$\begin{aligned} Y_1 &= G_1 + j\omega C_1 \left( 1 - \frac{\omega_0^2}{\omega^2} \right) \\ &= G_1 + jC_1 \frac{\omega^2 - \omega_0^2}{\omega} = G_1 + jC_1 \frac{(\omega - \omega_0)(\omega + \omega_0)}{\omega} \end{aligned}$$

ve

$$(\omega - \omega_0) = \Delta\omega, \quad \frac{2\Delta\omega}{\omega_0} = \beta, \quad Q_1 = \frac{C\omega_0}{G_1}$$

tanim bağıntıları kullanılarak

$$Y_1 = G_1 (1 + j\beta Q_1) \quad (7.24)$$

bulunur. Benzer şekilde aynı  $\omega_0$  frekansına akord edilmiş olan çıkış devresi için de

$$Y_2 = G_2 (1 + j\beta Q_2)$$

çıkar.  $Y_1$  ve  $Y_2$  nin bu ifadeleri kullanılarak devrenin kararsız duruma geçme şartı

$$G_1 G_2 (1 + j\beta Q_1) (1 + j\beta Q_2) = y_r \cdot y_t$$

ve pratikte genellikle  $Q_1 \approx Q_2$  olduğundan

$$G_1 G_2 (1 + j \beta Q)^2 = y_r \cdot y_f \quad (7.25)$$

şeklinde yazılabilir. Tranzistorlarda ve FET lerde  $y_r$  ve  $y_f$  belirli bir çalışma noktası için modül ve açı olarak verilir. Böylece (7.25) bağıntısı

$$G_1 G_2 (1 + j \beta Q)^2 = |y_r| e^{j\varphi_r} \cdot |y_f| e^{j\varphi_f} \quad (7.26)$$

şeklini alır.  $\varphi = (\varphi_r + \varphi_f)$  yazıldıktan sonra (7.26) bağıntısında iki tarafın gerçek ve sanal kısımları eşitlenirse

$$G_1 G_2 \cdot [1 - (\beta Q)^2] = |y_r| \cdot |y_f| \cdot \cos \varphi$$

$$2G_1 G_2 \beta Q = |y_r| \cdot |y_f| \cdot \sin \varphi$$

ve gerekli ara hesaplardan sonra

$$\frac{|y_r| \cdot |y_f|}{G_1 G_2} \cdot \frac{1 + \cos \varphi}{2} = 1 \quad (7.27)$$

elde edilir. Eşitliğin sağlanabilmesi için  $|y_r|$  nin

$$|y_r|_k = \frac{G_1 G_2}{|y_f|} \cdot \frac{2}{1 + \cos \varphi} \quad (7.28)$$

kritik değerine eşit olması gereklidir.  $|y_r| < |y_r|_k$  ise devre kararlıdır. Uygulamada —tranzistor parametrelerinin toleransları ve çalışma noktasına bağlı olarak değişimelerini hesaba katılarak— osilasyon tehlikesinden yeteri kadar uzak kalabilmek için  $|y_r|$  nin  $|y_r|_k$  dan m defa ( $m=4 \dots 10$ ) daha küçük kalmasına dikkat edilir. O halde *pratik* kararlılık bağıntısı

$$|y_r| \leq \frac{1}{m} \cdot \left( \frac{G_1 G_2}{|y_f|} \cdot \frac{2}{1 + \cos \varphi} \right)$$

yahut

$$G_1 \cdot G_2 \geq m \left( |y_r| \cdot |y_f| \cdot \frac{1 + \cos \varphi}{2} \right) \quad (7.29)$$

dir.

Bu şekildeki devreyi kritik durumdan uzakta çalıştırmanın ikinci bir yararı daha vardır: İç geribesleme nedeni ile girişteki rezonans devresinin akordu ile çıkıştaki rezonans devresinin akordu biribirlerinden bağımsız olarak yapılamaz. Kritik durum iki rezonans devresi arasındaki karşılıklı etkileşmenin en büyük olduğu durum olduğundan, kararlılık şartı kiti kiti sağlanmış olan devrelerde osilasyon olmamakla beraber devrenin akordu çok zordur. Kritik durumdan uzaklaşıldığı ölçüde —iki

rezonans devresinin etkileşmesi azalacağından— akord kolaylaşır. Ancak  $G_1 \cdot G_2$  çarpımını gereğinden fazla büyütmek de sakincalıdır.  $G_1$  ve  $G_2$  girişteki ve çıkıştaki rezonans devrelerinin rezonanstaki admitansları (toplam paralel iletkenlikleri) olduğundan bunların büyütülmesi gerilim kazancının küçülmesine yol açar. O halde devrenin kararsızlık sınırlarından uzaklaştırılması ve akord edilebilirliğinin artırılması, gerilim kazancından fedakârlik edilerek sağlanabilmektedir.

Tranzistorlarda  $f_T$  ye göre küçük olan frekanslarda  $y_f$  pozitif gerçel bir büyüklüktür; yani  $\varphi_f \approx 0$  dir. İç geribesleme ise  $C_{eb}'$  kapasitesi üzerinden kolektörden baza doğru akan akımdan ileri gelir; yani

$$|y_r| = \omega C_{eb}', \quad \varphi_r \approx 270^\circ$$

dir. O halde (7.29) bağıntısı

$$G_1 G_2 \geq (m/2) |y_f| \cdot \omega \cdot C_{eb}' \quad (7.30)$$

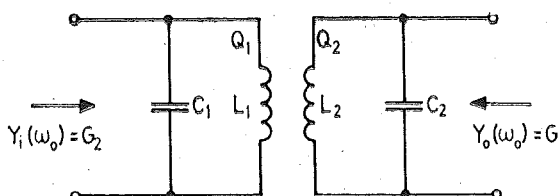
olarak basitleştirilebilir.

Girişinde ve çıkışında birer akordlu devre bulunan bir kuvvetlendirici için bulunmuş olan yukarıdaki bağıntılar, içinde çift akordlu devreler bulunan kuvvetlendiriciler için de kullanılabilir. Bu durumda  $G_1$  (ve  $G_2$ ) çift akordlu devrenin kuvvetlendiricisinin girişine (ve çıkışına) bağlı olan uçları arasındaki toplam admitansın rezonanstaki değeridir. Bu değerler Şekil 7.26. daki devreden hesaplanırsa

$$G_2 = Y_i(\omega_0) \cong \frac{1 + k^2 Q_1 Q_2}{\omega_0 \cdot L_1 \cdot Q_1} \quad (7.31)$$

$$G_1 = Y_o(\omega_0) \cong \frac{1 + k^2 Q_1 Q_2}{\omega_0 \cdot L_2 \cdot Q_2} \quad (7.32)$$

bulunur.



Şekil 7.26. Çift akordlu devrenin giriş ve çıkış empedansları.

$Q_1$  ve  $Q_2$  rezonans devrelerinin etkin değer katsayılarını göstermektedir.

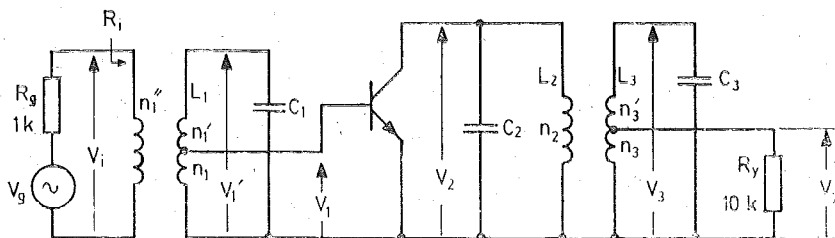
Akordlu kuvvetlendiricilerin kararsızlık tehlikesinden uzak kalabilmesi için aktif elemanın iç geribeslemesinin (genellikle giriş ve çıkış uçları arasındaki iç kapasite üzerinden meydana gelen geribeslemenin) olabildiği kadar küçük olması gerektiğini gördük. Bu nedenle tüplü akordlu kuvvetlendiricilerde triyotlar değil,  $C_{ag}$  kapasitesi çok daha küçük olan pentotlar kullanılmıştır. Tranzistorlu akordlu kuvvetlendiricilerin gerçekleştirilebilmesinde de özel olarak  $C_{cb}'$  kapasiteleri küçük olacak şekilde yapılmış olan tranzistorlar kullanılır. Tranzistor ortak bazlı olarak kullanıldığında iç geribeslemesi ortak emetörlü devreye göre daha küçüktür. Ancak bu durumda giriş direncinin ortak emetörlü devreye göre  $h_{fe}$  defa küçük olması, genellikle bazı sorunlar çıkartır.

### Örnek :

$V_{CE}=10$  V,  $I_C=1$  mA,  $f=455$  kHz için :

$g_{ie}=0,2$  mS,  $C_{ie}=40$  pF,  $g_{oe}=25$   $\mu$ S,  $C_{oe}=1$  pF

$y_{fe}=40$  mA/V,  $\varphi_{fe}=0$ ,  $y_{re}=3$   $\mu$ S,  $\varphi_{re}=270^\circ$



Sekil 7.27. Giriş tek akordlu çıkış çift akordlu tranzistorlu kuvvetlendirici.

Sekil 7.27. deki akordlu kuvvetlendiricinin merkez frekansı  $f_o=455$  kHz, band genişliği  $B=16$  kHz, tepe dalgalılığı 0,5 dB olacak, ayrıca  $f_o$  frekansında girişte maksimum güç aktarılması şartı sağlanacaktır. Kullanılan bobinlerin  $f_o$  frekansındaki değer katsayıları  $Q_L=200$  dır.  $L_2=L_3$  alınacaktır.

- Devrenin kutuplarının yerlerini belirleyiniz.
- Cıkışteki magnetik bağılasmalı devreye ilişkin eleman değerlerini ve  $n_3/n_3'$  oranını hesaplayınız.
- Girişteki devreye ilişkin  $n_1/(n_1+n_1')$  ve  $n_1''/(n_1+n_1')$  oranlarını ve m kararlılık katsayısını hesaplayınız.

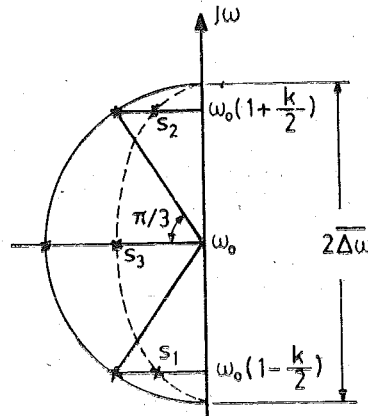
d) Akord frekansı için  $V_y/V_s$  gerilim kazancını bulunuz.

e) Kuvvetlendiricinin frekans eğrisini giriş ve çıkış devrelerinin frekans eğrilerinden yararlanarak çiziniz.

**Cözüm :**

a) Tepe dalgalılığı 0,5 dB olan Chebyshev tipi bir frekans eğrisi istendiğine göre kutup dağılımı Şekilde gösterildiği gibi olmalıdır.  $s_1$  ve  $s_2$  kutuplarını çıkıştaki magnetik bağlaşmalı devreden, iki tarafın etkin

$$\operatorname{Re}[s_3] = 0,524 \cdot \Delta\omega$$



Şekil 7.28. 0,5 dB tepe dalgalılığı için kutupların aynı band genişliğine sahip Butterworth tipi devreye ilişkin kutplardan yararlanarak bulunması.

değer katsayılarını eşit yaparak sağlayabiliriz.  $s_3$  kutbu ise girişteki tek rezonans devresinin kutbu olmalıdır. Bu kutbun sanal kısmı  $j\omega_0$ , gergel kısmı ise —aynı band genişliğini verecek Butterworth dağılımındaki kutbun sanal kısmının 0,524 katı— yani

$$|R_e[s_3]| = \omega_0/2 Q_1 = 0,524 \Delta\omega$$

dır. Buradan

$$Q_1 = \frac{\omega_0}{2 \Delta\omega} \cdot \frac{1}{0,524}$$

$$Q_1 = \frac{f_0}{B} \cdot \frac{1}{0,524}$$

$$Q_1 = \frac{455}{B} \cdot \frac{1}{0,524} \approx 34$$

bulunur.

$s_1$  ve  $s_2$  nin  $j\omega$  ekseni uzaklıklarının eşit olabilmesi için  $Q_2=Q_3$  olmalıdır.  $s_1$ 'in gergel kısmının değeri şeklin geometrisinden

$$|R_e[s_1]| = \frac{\omega_0}{2Q_2} = 0,524 \cdot \overline{\Delta\omega} \cdot \cos\left(\frac{\pi}{3}\right)$$

$$Q_2 = \frac{\omega_0}{2\Delta\omega} \cdot \frac{1}{0,524 \cdot \cos\left(\frac{\pi}{3}\right)}$$

$$Q_2 = \frac{f_0}{B} \cdot \frac{1}{0,524 \cdot 0,5}$$

$$Q_2 \approx 108$$

çıkar.  $s_1$  kutbunun sanal kısmı ise  $\omega_0$  dan  $(\omega_0 \cdot k/2)$  kadar küçüktür ki bu aynı zamanda  $(\Delta\omega \cdot \sin \pi/3)$ 'e eşittir. Buradan,

$$\omega_0 \frac{k}{2} = \overline{\Delta\omega} \cdot \sin\left(\frac{\pi}{3}\right)$$

$$k = \frac{B}{f_0} \cdot \sin\left(\frac{\pi}{3}\right)$$

$$k = 0,03$$

bulunur.

Bu bilgilerle sırası ile çıkıştaki ve girişteki akordlu devrelere ilişkin değerler hesaplanabilir.

### b) Çıkıştaki Magnetik Bağlaşmalı Devre :

Bu devre için bilinenler

$$L_2 = L_s = L$$

$$Q_2 = Q_3 = Q = 108$$

$$k = 0,03 \quad kQ = 3,24$$

dür. Birinci tarafın  $Q_2$  değer katsayısını belirleyen kayıplar bobinin kendi kaybı (bunu  $G_L$  ile temsil edeceğiz) ile tranzistorun çıkış iletkenliği ( $g_{oe}$ ) dir.  $Q_2$  etkin değer katsayısını belirleyen toplam iletkenlik  $G_T$  ile gösterilirse

$$G_T = G_L + g_{oe}$$

ve

$$G_T = \frac{1}{Q_2 L \omega_0}, G_L = \frac{1}{Q_L L \omega_0}$$

bağıntılarından

$$\frac{1}{Q_2 \cdot L \cdot \omega_0} = \frac{1}{Q_L \cdot L \cdot \omega_0} + g_{oe}$$

$$L = \frac{Q_L - Q_2}{\omega_0 \cdot g_{oe} \cdot Q_L \cdot Q_2}$$

bulunur.  $Q_L = 200$ ,  $Q_2 = 108$ ,  $g_{oe} = 25 \cdot 10^{-6} \text{ S}$  ve  $\omega_0 = 2\pi \cdot 455 \cdot 10^3 \text{ rad/s}$  değerleri yerlerine konursa

$$L \approx 60 \mu\text{H}$$

çıkar. Bunu  $f_o = 455 \text{ kHz}$  de rezonansa getirecek kapasite değeri ise

$$C = 1 / (\omega_0^2 L) = 2040 \text{ pF}$$

bulunur.

Çift akordlu devrenin ikinci tarafının yükü ise bobinin kendi kayıpları ile  $R_y$  yükünden aktarılan paralel iletkenliktir, iki tarafın etkin değer katsayılarının eşit olması için  $R_y$  den  $L_3$  ün uşalarına aktarılan paralel iletkenliğin  $g_{oe}$  ye eşit olması gereklidir (neden?). :

$$\left( \frac{n_3 + n_3'}{n_3} \right)^2 \cdot R_y = \frac{1}{g_{oe}}$$

Buradan

$$n_3/n_3' = 1$$

çıkar.

Cıktıstaki çift akordlu devre ile ilgili olarak hesaplanması gereken son bir büyülüklük de bunun rezonanstanaki eşdeğer giriş iletkenliğidir ( $G_2$  ile göstericeğimiz bu iletkenlik tranzistorun toplam eşdeğer yükündür ve kararlılığın incelenmesinde kullanılacaktır). (7.31) bağıntısından

$$Y_1(\omega_0) = G_2 \approx \frac{1 + (kQ)^2}{\omega_0 L_2 Q}$$

$$G_2 \approx 0,62 \text{ mS} \quad (R_2 = 1611 \text{ ohm})$$

elde edilir.

c) Girişteki Rezonans Devresi :

Bu devre için bilinenler

—  $s_3$  kutbunun yerinden yararlanılarak bulunmuş olan  $Q_1 = 54$  değeri,

- Girişte maksimum güç aktarılması için gerekli olan  $R_i = R_g = 1 \text{ k ohm}$  şartı,
- Tranzistorun giriş iletkenliği de dahil olmak üzere girişe paralel gelen toplam iletkenlik ( $G_1$ ) ile rezonans devresinin uçları arasındaki toplam eşdeğer iletkenlik arasındaki bağıntıdır. (Buradaki  $G_1$  değerinin ayrıca kararlılık şartını da yerine getirmesi gereklidir.)

Bu bilinenlerden, sırası ile aşağıdaki bağıntılar yazılabilir :

$$\left. \begin{aligned} G_{IT} &= G_{L1} + \left( \frac{n_1}{n_1 + n_1'} \right)^2 \cdot g_{ie} + \left( \frac{n_1''}{n_1 + n_1'} \right)^2 \cdot G_g \\ G_g &= \left( \frac{n_1 + n_1'}{n_1''} \right)^2 \cdot G_{L1} + \left( \frac{n_1}{n_1''} \right)^2 \cdot g_{ie} \\ G_1 &= \left( \frac{n_1 + n_1'}{n_1} \right)^2 \cdot G_{IT} \end{aligned} \right\} \quad (1)$$

Öte yandan,

$$G_{L1} = \frac{1}{Q_{L1} \omega_0 L_1}$$

$$G_{IT} = \frac{1}{Q_1 \omega_0 L_1}$$

olduğundan,  $G_{L1} = (Q_1/Q_{L1}) G_{IT} = q \cdot G_{IT}$  dir. Bu da kullanılarak (1) bağıntıları yeniden düzenlenirse

$$\left. \begin{aligned} \left( \frac{n_1}{n_1 + n_1'} \right)^2 \cdot g_{ie} + \left( \frac{n_1''}{n_1 + n_{12}} \right)^2 \cdot G_g + G_{IT} \cdot (q-1) &= 0 \\ \left( \frac{n_1}{n_1 + n_1'} \right)^2 \cdot g_{ie} - \left( \frac{n_1''}{n_1 + n_1'} \right)^2 \cdot G_g + G_{IT} \cdot q &= 0 \\ \left( \frac{n_1}{n_1 + n_1'} \right)^2 G_1 - G_{IT} &= 0 \end{aligned} \right\} \quad (2)$$

elde edilir. Bilinmiyen olarak  $(n_1/(n_1+n_1'))^2$ ,  $(n_1''/(n_1+n_1'))^2$  ve  $G_{IT}$  ye göre düzenlenmiş olan bu sistemin sıfırdan farklı çözüm verebilmesi için

$$\Delta = \begin{vmatrix} g_{ie} & G_g & (q-1) \\ g_{ie} & -G_g & q \\ G_1 & 0 & -1 \end{vmatrix} = 0$$

olması gereklidir. Buradan katsayılar arasında

$$G_1 = 2 \cdot g_{ie} / (1 - 2q)$$

şartı çıkar.  $G_1$ 'in bu bağıntıdan değeri hesaplanırsa

$$G_1 = 0,87 \cdot 10^{-3} \text{ S}$$

bulunur. (Bu değerin kararlılık için yeterli olup olmadığına kontrolü gereklidir.  $G_1 = 0,87 \cdot 10^{-3} \text{ S}$ ,  $G_2 = 0,62 \cdot 10^{-3} \text{ S}$  ve tranzistorun verilmiş olan parametreleri kullanılarak (7.29) bağıntısından  $m$  hesaplanırsa  $m \approx 9$  bulunur ki bu yeterlidir.  $m < 5$  çiksa iddî başlangıç değerlerinde bunu artıracak yönde gerekli değişikliklerin yapılması gereklidir).

(2) bağıntılarda  $\Delta = 0$  yapan  $G_1$  değeri kullanılsa da, seçilmiş olan üç bilinmeyen için tek bir çözüm takımı yoktur. Bunlardan birine bir değer verilmesi gereklidir. Biz — devredeki bütün bobinlerin eş olmasını sağlamak üzere  $L_1 = 60 \mu\text{H}$  seçelim. Böylece

$$G_{1T} = \frac{1}{Q_1 \cdot \omega_0 \cdot L_1} = \frac{1}{54,2 \pi \cdot 455 \cdot 10^3 \cdot 60 \cdot 10^{-6}}$$

$$G_{1T} = 108 \cdot 10^{-6} \text{ S}$$

bulunur. Bu değer (2) de yerine konulursa

$$\left( \frac{n_1}{n_1 + n_1'} \right) \approx 0,353$$

$$\left( \frac{n_1''}{n_1 + n_1'} \right) \approx 0,232$$

elde edilir.

d) Devrenin toplam gerilim kazancı

$$\frac{V_y}{V_g} = \frac{V_y}{V_3} \cdot \frac{V_3}{V_1} \cdot \frac{V_1}{V_1'} \cdot \frac{V_1'}{V_i} \cdot \frac{V_i}{V_g}$$

dir. Rezonansta  $R_i = G_g$  olduğundan  $V_i/V_g = 1/2$  dir.  $V_1'/V_i$  sarım sayıları ile belirli olup

$$\frac{V_1'}{V_i} = \frac{n_1 + n_1'}{n_1''} = \frac{1}{0,232} = 4,3$$

ve benzer şekilde

$$\frac{V_1}{V_1'} = \frac{n_1}{n_1 + n_1'} = 0,353$$

dür.  $V_3/V_1$  (7.21) bağıntısından hesaplanabilir :

$$\left| \frac{V_3}{V_1} \right| = g_m \cdot \omega_0 \cdot L \cdot Q \frac{kQ}{1 + (kQ)^2}$$

$$= 40 \cdot 10^{-3} \cdot 2\pi \cdot 455 \cdot 10^3 \cdot 60 \cdot 10^{-6} \cdot 108 \frac{3,24}{1 + (3,24)^2}$$

$$\left| \frac{V_3}{V_1} \right| \approx 209$$

$V_y/V_3$  oranı da

$$\frac{V_y}{V_3} = \frac{n_3}{n + n_3} = \frac{1}{2}$$

dir. O halde toplam kazanç

$$V_y/V_g = 0,5 \times 209 \times 0,353 \times 4,3 \times 0,5 \approx 79,3 \quad (\approx 38 \text{ dB})$$

bulunur.

e) Toplam devrenin frekans eğrisini elde etmek için girişteki tek rezonans devresinin ve çıkıştaki çift akordlu devrenin frekans eğrileri çizilecek ve bunlar (dB olarak) toplanarak istenilen eğri bulunacaktır.

Girişteki rezonans devresi için  $Q_1 = 54$  dır. O halde

$$\beta Q_1 = \frac{2 \cdot \Delta f}{f_0} Q_1 = \Delta f \cdot \frac{2 Q_1}{f_0}$$

yazılabilir.  $f_0 = 455 \text{ kHz}$  ve  $Q_1 = 54$  değerleri kullanılarak ve  $\Delta f$ , kHz olarak  $f_0$  dan uzaklık olmak üzere

$$\beta \cdot Q_1 = \Delta f \cdot 0,238$$

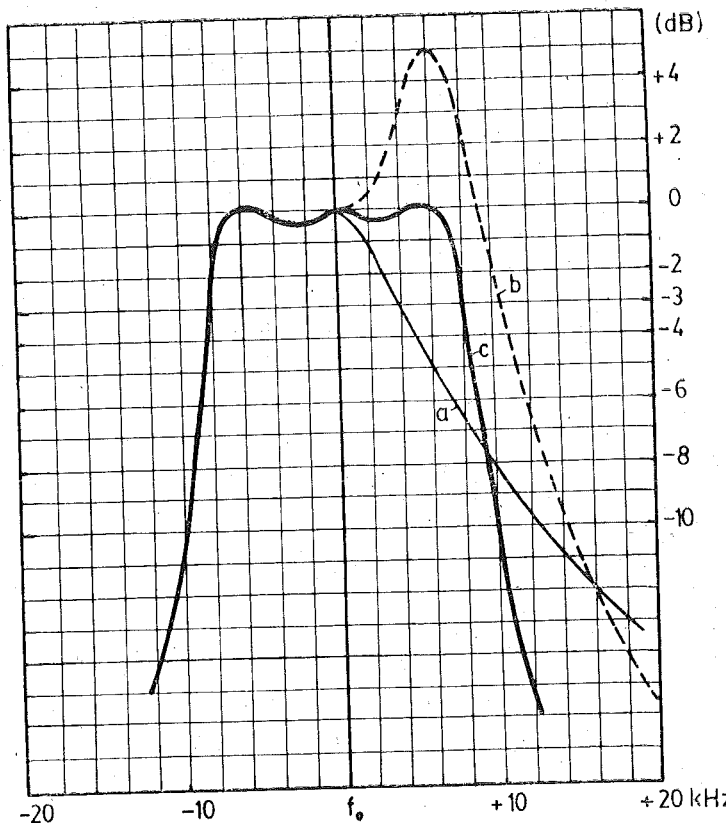
bulunur. Bu bağıntıda  $\Delta f$  ye 1, 2, 3, ... kHz gibi çeşitli değerler verilerek bunlara karşı düşen  $\beta Q_1$  değerleri bulunabilir ve bunlardan herbiri için Şekil 7.21. deki tek rezonans devresine ilişkin eğriden  $f_0$  akord frekansındaki değere göre dB olarak bağıl değişim okunur. Okunan değerler işaretlenerek Şekil 7.29. daki (a) eğrisi elde edilmiştir.

Çıkıştaki çift akordlu devre için

$$\beta Q_2 = \Delta f \cdot 2 Q_2 / f_0 = \Delta f \cdot 0,476$$

ve  $kQ_2 = 3,24$  dır. Şekil 7.21. üzerinde bu  $kQ$  değerine karşı düşen eğri enterpolasyonla elde edilerek çizilir. Sonra  $\Delta f$  ye çeşitli değerler verilerek bunlara karşı düşen  $\beta Q_2$  değerleri bulunur. Bunlardan herbiri için, elde edilmiş olan  $kQ \approx 3,24$  eğrisinden  $f_0$  frekansındaki değere göre bağıl değişimler okunur. Okunan değerler işaretlenerek Şekil 7.29 (b) eğrisi elde

edilir. Devrenin toplam frekans eğrisi (c), (a) ve (b) eğrilerinin toplamıdır. Tepe dalgalılığı —öngörüldüğü gibi—  $r \approx 0,5$  dB ve band genişliği  $B \approx 16$  kHz dir.



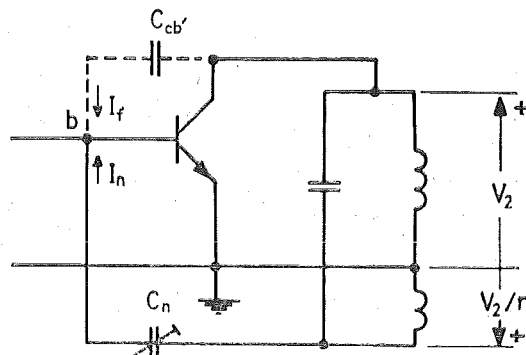
**Şekil 7.29.** (a) Örnek problemdeki devrenin girişindeki rezonans devresinin frekans eğrisi. (b) Çıktıstaki çift akordlu devrenin frekans eğrisi. (c) Devrenin toplam frekans eğrisi.

## 7.6. Nötürleştirme.

Akordlu bir kuvvetlendiriciyi kararsızlık tehlikesinden uzak olarak ve yüksek kazançla çalıştırmanın bir yolu, aktif elemanın iç geribeslemesini *nötürleştirmek* tır. Kararsızlık sorununu ortaya çıkartan etken —daha önce belirtildiği gibi— devredeki aktif elemanın çıkışından girişin bir iç geribesleme bulunmasıdır. Bu geribesleme genellikle elemanın

çıkış-giriş kapasitesi üzerinden, çıkıştan giriş düşümüne bir akım gelmesi şeklinde olur. Giriş düşümüne bu akımla eşit genlikte fakat zıt fazlı ikinci bir akım getirilebilirse toplam geribesleme akımı sıfır yapılmış, bir başka deyişle iç geribesleme nötürleştirilmiş olur.

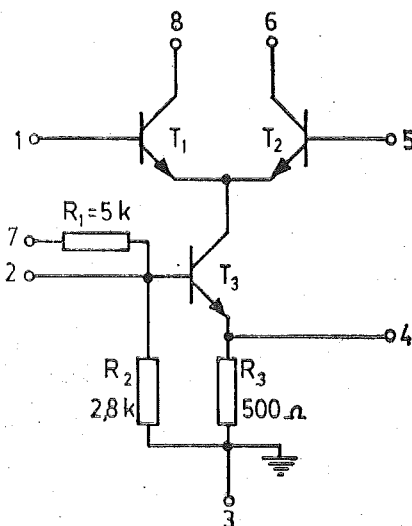
Şekil 7.30. da  $C_{cb'}$ ' üzerinden meydana gelen iç geribeslemesi nötürleştirilmiş tranzistorlu bir akordlu kuvvetlendirici katının prensip seması verilmiştir. Tranzistorun  $r_{bb'}$ ' baz gövde direnci ihmali edilirse  $I_f$  iç geribesleme akımının ve  $I_n$  nötürlestirme akımının aynı düğümde (b ye) geldiği kabul edilebilir.  $I_f$  ile  $I_n$  nin zıt fazda olduğu,  $C_n = n \cdot C_{cb'}$  için bu iki akımın modüllerinin de eşit olacağı şeviden kolayca görülebilir.



Şekil 7.30.  $C_{cb'}$  kapasitesinin etkisi nötürleştirilmiş bir akordlu kuvvetlendirici.

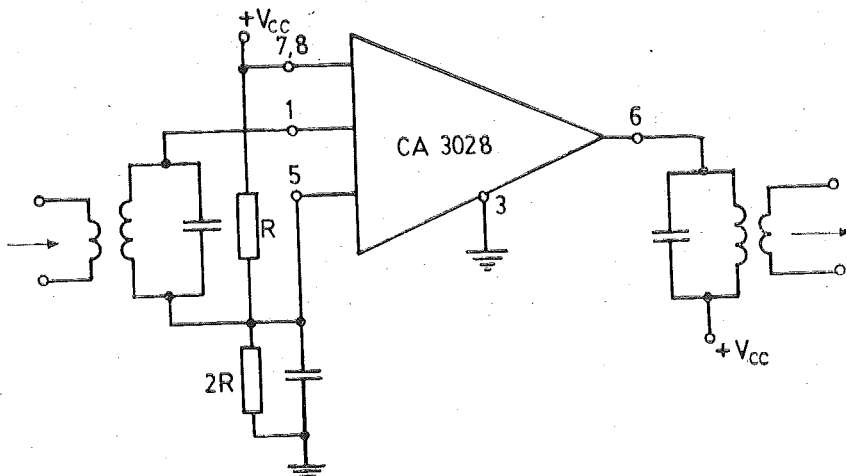
## 7.7. Tümdevreli Akordlu Kuvvetlendiriciler.

Günümüzde akordlu kuvvetlendiricilerin gerçekleştirilmelerinde tüm-devrelerden de geniş ölçüde yararlanılmaktadır. Bu devrelere en basit bir örnek Şekil 7.31. de verilmiştir. Bir uzun kuyruklu devre ile kutuplama elemanlarından oluşan bu tümdevre bir tranzistor yerine kullanılır. Üstünlüğü, giriş rezonans devresi ile çıkış rezonans devresi arasındaki geribesleme kapasitesinin  $T_1$  in bazi ile  $T_2$  nin kolektörü arasındaki parazitik kapasiteden ibaret olmasıdır. Bu kapasite bir tranzistorun  $C_{cb'}$  kapasitesine göre daha küçük olduğundan devre özellikle 100 MHz merkebesinde yüksek freksanslarda akordlu kuvvetlendiricilerin gerçekleştirilemeye elverişlidir. Şekil 7.32. de böyle bir akordlu devrenin seması verilmiştir.

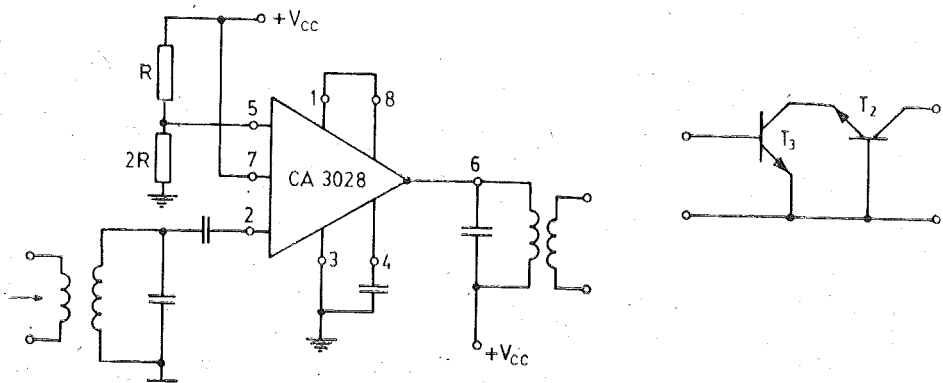


Sekil 7.31. CA 3028 tipi tümdevre. 2 numaralı uca uygulanan pozitif gerilim devrenin kazancının ayarlanmasıında kullanılabilir.

Aynı tümdevre uygun bağlantılarla bir *kaskod* akordlu kuvvetlendirici gerçeklestirmede de kullanılabilir. Bu kullanış şekli için bağlantı şeması ve basitleştirilmiş prensip şeması Şekil 7.33. de verilmiştir,



Sekil 7.32. CA 3028 tümdevresi ile emetör bağlamalı akordlu kuvvetlendirici



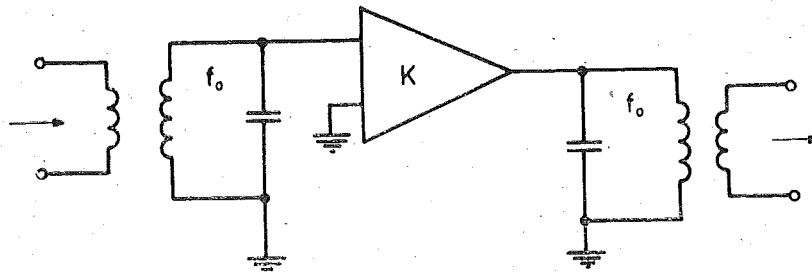
Sekil 7.33. (a) CA 3028 tümdevresi ile kaskod akordlu kuvvetlendirici. (b) Kaskod kuvvetlendiricinin prensip şeması.

Göründüğü gibi kaskod devrede ortak emetörlü olarak çalışan ilk tranzistorun yükü ortak bazlı bir tranzistorun giriş empedansıdır. Bu ikinci tranzistor giriş tranzistoru ile çıkış rezonans devresi arasında bir empedans transformatörü olarak çalışmaktadır. Çıkıştan girişe geribesleme ortak bazlı olarak çalışan T<sub>2</sub> nin kolektör baz parazitik kapasitesi ile T<sub>3</sub> ün C<sub>eb</sub>' kapasitesinin seri eşdeğeri olduğundan, gayet küçüktür.

Bu şekilde emetör bağlamalı yahut kaskod tipten bir akordlu kuvvetlendiricinin kazancı genellikle yetersiz kaldığından, gerektiği kadar art arda bağlanarak istenilen kazanç değerine ulaşılır.

Tümdevrelerin akordlu kuvvetlendiricilerde başka bir kullanılış şekli de gerekli kazancın çok katlı, doğrudan doğruya bağlamalı bir tümdevre kuvvetlendirici ile elde edilmesi, gerekli frekans eğrisi biçiminin bu kuvvetlendiricinin girişine ve çıkışına bağlanan rezonans devreleri yaradımı ile sağlanmasıdır (Şekil 7.34.). Tümdevre kuvvetlendirici, genellikle art arda yeteri kadar emetör bağlamalı kattan oluşan geniş bandlı bir kuvvetlendiricidir. f<sub>o</sub> merkez frekansı kuvvetlendiricinin üst kesim frekansından küçük olmak şartıyla herhangi bir frekans olabilir. Böyle bir kuvvetlendiricinin iç yapısı Şekil 6.19. da örnek olarak verilmiştir.

Böyle bir akordlu kuvvetlendiricide frekans eğrisi sadece iki akord devresi ile belirlendiği için frekans eğrisinin yan dikliği, herbirinin çıkışında bir akord devresi bulunan çok sayıda kattan oluşan bir tranzistorlu (yahut basit tümdevreli) kuvvetlendiricinininkine göre daha küçük olur.

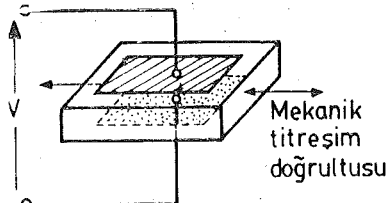


**Sekil 7.34.** Çok katlı büyük kazançlı bir  $K$  kuvvetlendiricidinden yararlanılarak gerçekleştirilen bir akordlu kuvvetlendirici.

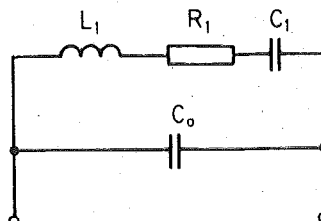
Frekans eğrisinin yan dikliğinin arttırılması için girişte ve çıkışta çift akordlu devrelerden yararlanılabilir. Başka bir yol da *piezoelektrik seramik filtre*'lerden yararlanmaktadır. Seramik filtrelerin LC akord devrelerine göre üstün tarafları boyut bakımından küçük olmaları, akordlarının bozulmasının söz konusu olmaması ve ucuz olmalarıdır.

## 7.8. Akordlu Kuvvetlendiricilerde Kullanılan Piezoelektrik Rezonatörler.

Piezoelektrik kristaller karşılıklı iki yüzeyi arasına bir gerilim uygulandığında buna dik doğrultuda bir boyut değişikliği gösteren kristalldir (Şekil 7.35.). Uygulanan gerilim alternatif bir gerilimse kristal buna uygun olarak titresir. Gerilimin frekansı kristalin titresiminin meydana geldiği doğrultu için mekanik rezonans frekansına eşit olduğunda titresim genliği maksimum olur. Başka bir deyişle kristal belirli bir genlikte titresimini minimum enerji ile devam ettirebilir. Böyle bir piezoelektrik kristalin gerilim uygulanan uçlarından görülen eşdeğer devresi Şekil 7.35. de verilmiştir. Burada  $L_1$ ,  $R_1$  ve  $C_1$  den oluşan seri rezonans



**Sekil 7.35.** Piezoelektrik rezonatör.

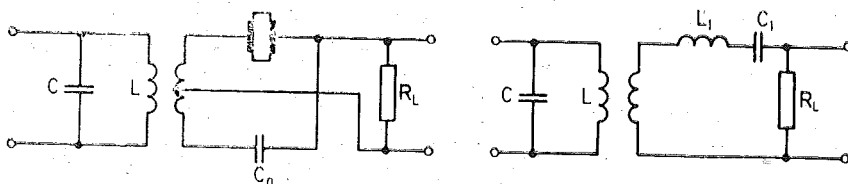


**Sekil 7.36.** Piezoelektrik rezonatörün elektriksel eşdeğer devresi.

devresi kristalin gerçek elektriksel esdeğeriidir.  $C_0$  kapasitesi gerilimin uygulandığı elektrodların kapasitesidir.  $f_s$  seri rezonans frekansından daha yüksek frekanslarda seri rezonans devresi endüktiftir. Bu bölgede bir  $f_p$  frekansında seri kolun esdeğer endüktansı ile  $C_0$  rezonansa gelir ki bu frekansa kristalin paralel rezonans frekansı denir.

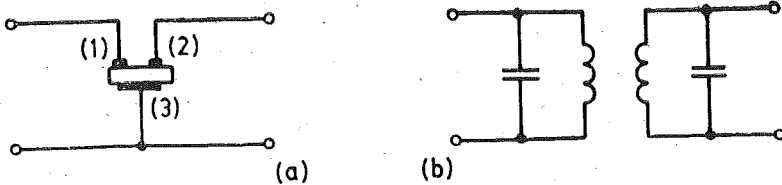
Piezoelektrik kristallerin en tipik örneği *kuartz*'dır. Piezoelektrik özellik gösteren bazı sentetik seramik malzemeler de vardır. Kuartzdan yapılmış piezoelektrik rezonatörlerin değer katsayıları çok yüksektir ( $10^4 \dots 10^6$  mertebesinde). Bunlardan yüksek kararlılık osilatörler gerekleştirmede yararlanılır. Seramik piezoelektrik rezonatörlerin değer katsayıları daha düşüktür ( $10^3$  mertebesinde). Bu yüzden band genişlikleri çok küçük olmayan filtrelerin gerçekleştirilemesine daha elverlidirler. Bu amaçla genellikle radyal olarak titreten disk şeklinde rezonatörler kullanılmaktadır.

Piezoelektrik rezonatörlü basit bir filtre devresi Şekil 7.37. (a) da verilmiştir.  $C_n$  kapasitesi rezonatörün  $C_0$  paralel kapasitesinin etkisini nötfürleştirir. Filrenin elektriksel esdeğeri Şekil 7.37. (b) de verilmiştir. Birinci taraftaki paralel rezonans devresi ile rezonatörün oluşturduğu seri rezonans devresinin etkisi ile devre, çift akordlu devre benzeri bir frekans eğrisi verir.



Şekil 7.37. (a) Piezoelektrik rezonatörlü filtre. (b) Filrenin esdeğeri devresi.

Piezoelektrik filtrelerin çok kullanılan bir tipi de mekanik bağılmalı çift akordlu rezonatörlerdir. Bağlaşma, aynı bir kristal üzerine —birer tarafları ortak— iki elektrod takımı yerleştirilerek sağlanır (Şekil 7.38. a). Böyle bir rezonatörün elektriksel davranışları, çift akordlu bir devreninkinin aynıdır. Bağlaşma katsayıısı (1) ve (2) elektrodlarının uzaklıkları ile belirlenir. Ayrıca bu elektrodların kristal üzerindeki yerleri uygun seçilerek giriş ve çıkış empedansları farklı yapılabılır.



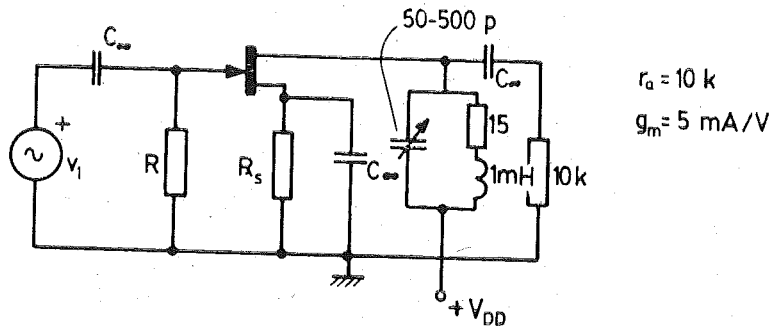
Şekil 7.38. Mekanik bağlaçlı çift akordlu piezoelektrik rezonatör (a) ve eşdeğer devresi (b).

## P R O B L E M L E R

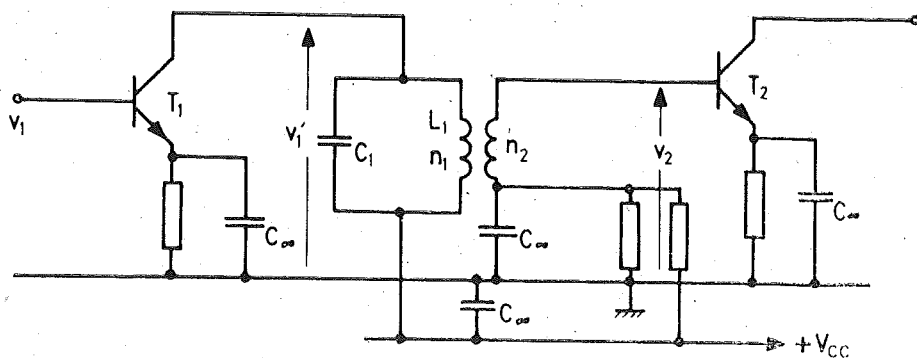
1 — a) Şekildeki kuvvetlendiricinin akord frekansı değişken C kondansatörü ile değiştirilmektedir. FET'in iç kapasiteleri ve montaj kapasiteleri ihmal edilecektir. Kuvvetlendiricinin en alçak ve en yüksek akord frekansını hesaplayın.

b) En alçak akord frekansı için  $V_2/V_1$  gerilim kazancını ve band genişliğini hesaplayın.

c) Kazancın akord frekansına bağlı olarak değişimini veren bağıntıyı çıkarıp değişimini yaklaşık olarak çiziniz.



2 —



$T_1$  ve  $T_2$  için çalışma noktası  $I_c = 1 \text{ mA}$ ,  $V_{CE} = 10 \text{ V}$  dur. Bu çalışma noktası için  $f_o = 450 \text{ KHz}$  de y parametreleri

$$g_{ie} = 0,54 \text{ mS} \quad g_{oe} = 11,5 \mu\text{S} \quad y_{fe} = 38 \text{ mS} \angle 0^\circ$$

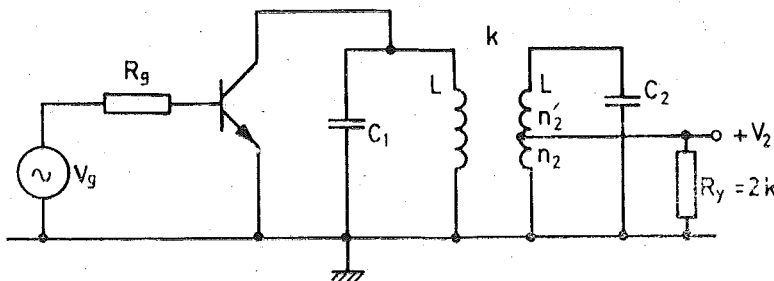
$$C_{ie} = 20 \text{ pF} \quad C_{oe} = 3 \text{ pF} \quad y_{re} \approx 0 \quad \text{ve}$$

$$L_i = 50 \mu\text{H} \quad Q_L = 150 \quad \text{olarak verilmiştir.}$$

Bu durum için

- Toplam rezonans kapasitesini
- Band genişliğinin  $B = 15 \text{ KHz}$  olması için  $n_1 : n_2$  gevürme oranını (Bağlaşma sıkı!)
- $C$  kondansatörünün değerini
- Akord frekansında  $V_2 / V_1$  kazancını bulunuz.

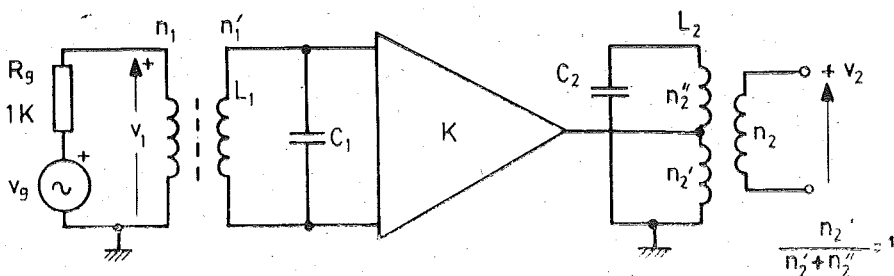
3 —



Şekildeki basitleştirilmiş şeması verilmiş olan akordlu kuvvetlendiricide transistorun  $f_o = 500 \text{ kHz}$  olan akord frekansındaki y parametreleri  $g_{ie} = 0,2 \text{ mS}$ ,  $C_{ie} = 50 \text{ pF}$ ,  $g_{oe} = 20 \mu\text{S}$ ,  $C_{oe} = 2 \text{ pF}$ ,  $y_{fe} = 20 \text{ mS} \angle 0^\circ$ ,  $y_{re} = 2 \mu\text{S} \angle 270^\circ$  dir. Devrenin frekans eğrisi maksimum düzülükte ve band genişliği  $B = 14 \text{ kHz}$  olacaktır.

- $L$ ,  $C_1$ ,  $C_2$ ,  $k$  ve  $n_2/n_2'$  değerlerini hesaplayınız. (Bobinlerin kenarları çok büyük kabul edilecektir).
- $R_g$  nin hangi değeri için devre kararsız duruma geçer (osilasyon yapar)? Pratikte  $R_g$  nin değeri en çok ne kadar olmalıdır?
- $R_g$  nin bu değeri için akord frekansında  $V_3/V_g$  yi bulunuz.

4 —



Şekildeki akordlu kuvvetlendiricide K, yüksek kazançlı, geniş bandlı bir tümdevre kuvvetlendiricidir. Giriş empedansı  $r_i = 50 \text{ k}\Omega$ , çıkış empedansı  $r_o = 100 \text{ ohm}$ ,  $C_o = 0$  olarak verilmiştir. Kuvvetlendiricinin frekans eğrisinin ortası  $f_o = 500 \text{ kHz}$ , band genişliği  $B = 20 \text{ kHz}$ , ve eğri maksimum düzükte bir frekans eğrisi olacaktır.  $L_1$  ve  $L_2$  bobinlerinin  $f_o$  frekansındaki değer katsayıları  $Q_L = 200$ , öz endüktansları  $L_1 = L_2 = 100 \mu\text{H}$  dir.

a) Birinci ve ikinci devrenin akord frekanslarını bulunuz.  $C_1$  ve  $C_2$  yi hesaplayınız.

b)  $n_1/n_1'$  ve  $n_2'/(n_2' + n_2'')$  sarım oranlarını hesaplayınız.

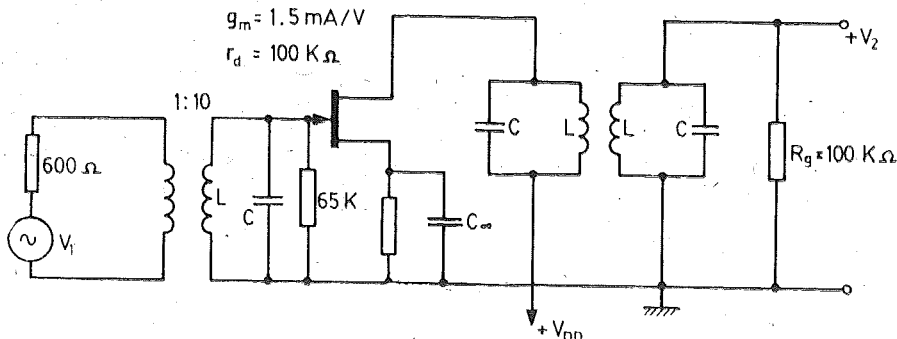
c)  $f_o$  frekansında  $V_2/V_1$  kazancını K cinsinden hesaplayınız.

5 — Şekildeki akordlu kuvvetlendirici devresinde akord frekansı  $f_o = 500 \text{ kHz}$ , kullanılan bobinlerin self endüktansları  $L = 1 \text{ mH}$ , değer kat sayları  $Q_o = 100$  dür ve bağlaşma kritik bağlaşmadır.

a) C kondansatörlerinin değerlerini hesaplayınız. (Elektrodlar arası kapasiteler ve montaj kapasiteleri ihmal edilecektir.)

b)  $f_o$  frekansındaki  $V_2/V_1$  gerilim kazancını hesaplayınız.

c) Kazancın 20 dB düşüğü frekansları bulunuz.



6 — Şekildeki ara frekans kuvvetlendirici 450 kHz'de çalışacaktır. Toplam band genişliğinin 9 kHz olması ve kesim frekanslarında her bir rezonans devresinin meydana getireceği düşmenin 1,5 dB olması isteniyor.  $L_1$  ve  $L_2$  bobinlerinin self endüktansları 1 mH ve değer katsayıları  $Q_L = 150$  dir.

- a)  $n_1/n_1'$  ve  $n_2/n_2'$  sarım oranlarını hesaplayınız.

b)  $C_1$  ve  $C_2$  kondansatörlerinin değerlerini hesaplayınız.

c) Akord frekansında  $V_2/I_1$  transfer empedansının değerini hesaplayınız.

$$f = 450 \text{ kHz},$$

$V_{CE} = -6 \text{ V}$ ,  $I_C = 1 \text{ mA}$  için :

$$g_{je} = 0,25 \text{ mS}, C_{je} = 30 \text{ pF}$$

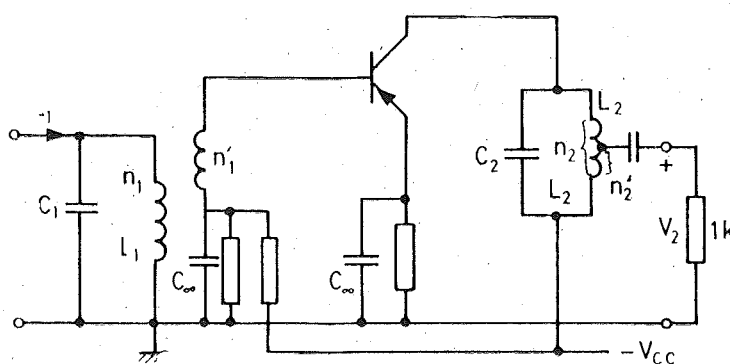
$$v_{re} = 0$$

$$y_{fe} = 40 \text{ mA/V}$$

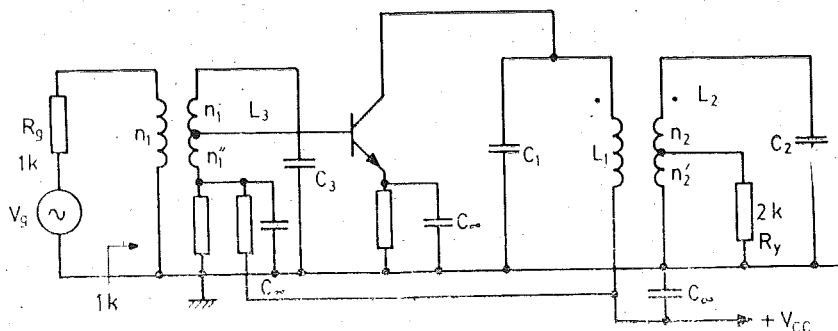
$$\phi_{f_0} = 0$$

$$g_{ee} = 1 \text{ nS}$$

$$C_{ee} = 4 \text{ pF}$$



7



$V_{CE}=10$  V,  $I_c=1$  mA,  $f=455$  kHz için y parametreleri

$$C_{ie}=40 \text{ pF} \quad g_{oe}=25 \mu\text{S} \quad y_{re}=0$$

$$g_{le}=0,2 \text{ mS} \quad C_{ee}=1 \text{ pF} \quad y_{fe}=40 \text{ mA/V}$$

Şekildeki kuvvetlendirici ile merkez frekansı  $f_o=455$  KHz de  $B=10$  KHz lik band genişliğini maksimum düzükte frekans eğrisi ile sağlayan bir ara frekans kuvvetlendiricisi gerçekleştirilecektir.  $Q_L=200$ ,  $L_1=L_2=L_3=L$  dir.

a) Devrenin kutuplarının yerlerini belirleyiniz.

b) Çıkıştaki magnetik bağlaşmalı devreye ilişkin eleman değerlerini,  $n_2'/(n_2'+n_2)$  oranını, girişteki devreye ilişkin eleman değerlerini,  $n_1/(n_1'+n_1'')$  ve  $n_1''/(n_1'+n_1'')$  oranlarını hesaplayınız.

c) Devrenin band ortasındaki gerilim kazancını bulunuz.

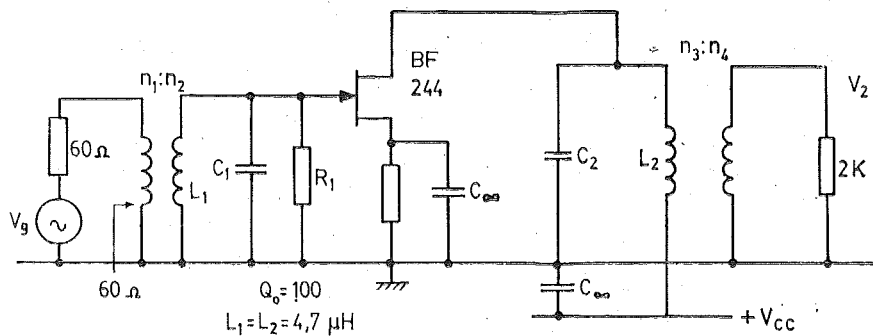
d) Aynı band genişliğini sağlayan  $r=0,1$  dB dalgalanmalı Chebyshev devresine ilişkin Q değerlerini bulunuz.

8 —  $n=4$  akordlu kat kullanarak,  $B=600$  KHz band genişliğini  $f_o=10,7$  MHz de  $r=0,5$  dB dalgalanmalı Chebyshev frekans eğrisi ile sağlayan bir ara frekans kuvvetlendiricisi gerçekleştirilecektir. Sürtücü kaynak iç direnci  $R_g=60$  ohm dur ve girişte maksimum güç aktarılması şartı sağlanacaktır. Çıkışa bağlanacak yük  $R_y=2$  K dur. Kullanılacak bobinler  $L=4,7 \mu\text{H}$  ve  $Q_L=150$  olduğuna göre bu devreyi tasarlaymentiz.

Kullanılabilecek elemanlar : (10,7 MHz de y parametreleri)

| FET                       | Tranzistor  |
|---------------------------|---|
| BF 244                    | BF 194 $(V_{CE}=10 \text{ V}, I_{CE}=2,5 \text{ mA})$ |
| $g_{ls}=3 \mu\text{A/V}$  | $C_{rs}=0$ $g_{le}=2 \text{ mS}$                      |
| $C_{ls}=3,7 \text{ pF}$   | $g_{rs}=0$ $b_{le}=3 \text{ mS}$                      |
| $g_{os}=25 \mu\text{A/V}$ | $g_{oe}=50 \mu\text{S}$                               |
| $C_{os}=15,9 \text{ pF}$  | $b_{oe}=100 \mu\text{S}$                              |
| $g_{fs}=5 \text{ mA/V}$   | $y_{fe}=100 \text{ mS}$                               |
|                           | $y_{re}=0$  |

9 —



Şekildeki kademeli akordlu FET'li kuvvetlendirici,  $f_o=10,7$  MHz ve  $B=400$  KHz olan ve bu band genişliğini maksimum düzükte sağlayan, bir FM ara frekans kuvvetlendiricisi olarak kullanılacaktır.

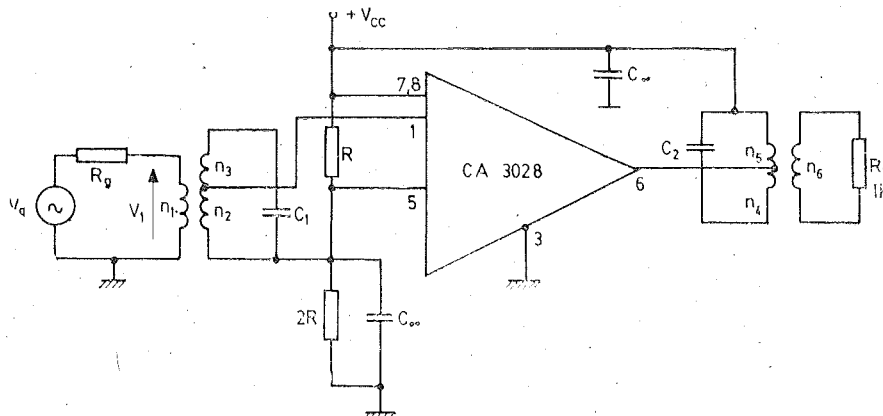
BF 244 için y parametreleri :

$$g_{is}=3\ \mu\text{A/V} \quad g_{os}=25\ \mu\text{A/V} \quad g_{fs}=5\ \text{mA/V}$$

$$C_{is}=3,7\ \text{pF} \quad C_{os}=15,9\ \text{pF} \quad C_{rs}\approx 0, \quad g_{rs}\approx 0$$

- Her bir rezonans devresi için gerekli akort frekansını ve  $Q$  değer katsayısını bulunuz.
- $C_1, C_2$  kondansatörlerinin değerini,  $R_1$  direncini,  $n_3 : n_4$  gevürme oranını bulunuz.
- Devrenin girişinden  $60\ \Omega$  görülebilmesi için  $n_1 : n_2$  ne olmalıdır?
- Devrenin  $V_2/V_g$  gerilim kazancını bulunuz.

10 —



CA 3028 tümdevresi ile şekildeki devre gerçekleştirilecektir. Kuvvetlendirilecek bandın merkez frekansı  $f_o = 50 \text{ MHz}$ , band genişliği  $B = 3 \text{ MHz}$  ve frekans eğrisi maksimum düzükte bir eğri olacaktır. Tümdevrenin 50 MHz için y parametrelerinin gerçel ve sanal bileşenleri :

$$\begin{array}{llll} g_{11} = 1,3 \text{ mS} & g_{12} = 0,06 \text{ mS} & g_{21} = -24 \text{ mS} & g_{22} = 0,35 \text{ mS} \\ b_{11} = 1,6 \text{ mS} & b_{12} = -0,05 \text{ mS} & b_{21} = 9 \text{ mS} & b_{22} = 1,3 \text{ mS} \end{array}$$

olarak verilmiştir. Devrenin yük direnci  $R_y = 1 \text{ K}$ , sürücü kaynak iç direnci  $50 \Omega$  dur. Girişte maksimum güç aktarılması şartı sağlanacaktır. Giriş ve çıkış rezonans devrelerinde kullanılan bobinlerin self endüktansları  $L = 0,6 \mu\text{H}$ , değer katsayıları  $Q_L = 250$  dir.

- a) Giriş ve çıkış rezonans devrelerinin yüklü haldeki değer katsayılarını ve akort frekanslarını hesaplayınız.
- b) Giriş ve çıkıştaki dönüştürme oranlarını ve akort kapasitelerinin değerlerini bulunuz. ( $m = 10$  alınacaktır).
- c) Gerilim kazancını hesaplayınız.
- d) 40 MHz frekanslı bir işaretin geçirme bandı içine düşen eşit genlikli bir işarete göre çıkışta ne kadar zayıflatılmış olacağını hesaplayınız.

## 8. GÜÇ KUVVETLENDİRİCİLERİ

### 8.1. Giriş.

Bir kuvvetlendirici zincirinde çoğu zaman kuvvetlendirilen işaret yüksek bir güç seviyesine yükseltilerek, bu gücü belirli bir amaç için kullanacak olan bir dönüştürücüye uygulanır. Bu dönüştürücü yerine göre, uçlarına uygulanan ses frekanslı elektriksel gücü ses dalgalarına, yani akustik güce dönüştüren bir hoparlör, uçlarına uygulanan yüksek frekanslı elektriksel gücü elektromagnetik dalgalar halinde uzaya yayan bir verici anteni, yahut doğru akım gücünü ile çalışan bir röle... v.b. olabilir.

Kuvvetlendiricilerin genel tanımından hatırlanacağı gibi bütün kuvvetlendirici devrelerde daima bir güç kazancı mevcuttur. Böyle olduğu halde, gerilimdeki kuvvetlenmenin daha önemli olduğu kuvvetlendiriciler *gerilim kuvvetlendiricisi*, akımdaki kuvvetlenmenin önemli olduğu kuvvetlendiriciler *akım kuvvetlendiricisi* diye anılırlar. Kuvvetlendirici zincirinin en sonunda bulunan ve gücü, onu harcayacak olan dönüştürücüye uygulayan devrelere de genel olarak *güç kuvvetlendiricisi* denir.

Bir güç kuvvetlendiricisinin, yükle aktardığı güç bazı hallerde çok yüksek olabilir. Bu durumda güç kuvvetlendiricisinin *verim*'inin büyük önemi vardır. Bir kuvvetlendiricinin verimi,  $P_Y$  yükle aktarılan işaret gücü ve  $P_{DA}$ , kuvvetlendiricinin doğru akım besleme kaynağından çektiği doğru akım gücünü olmak üzere

$$\eta = P_Y / P_{DA}$$

bağıntısı ile tanımlanmıştır. Örneğin bir vericinin, antene 100 kW'lık bir yüksek frekans gücü aktaran çıkış katı % 80 verimle çalışıyorsa bu katın besleme devresinden çektiği güç

$$P_{DA} = \frac{P_Y}{\eta} = \frac{100 \text{ kW}}{0,8} = 125 \text{ kW}$$

dir. Bu gücün 100 kW'ı yüksek frekanslı güç olarak antene verildiğine göre aradaki fark —25 kW— devrenin içinde, ısısı dönüşerek harcanacak demektir. Verim % 50 olsaydı besleme kaynağından çekilen güç

200 kW ve devre içinde ısiya dönüsgerek harcanan güç 100 kW olacaktı. Bu harcanan güç —bosa harcanması bir yana— devre içinde ısiya dönüştüğü için devrenin sıcaklığının sürekli olarak yükselmesine ve soğutma önlemi alınmamışsa devrenin harabolmasına sebep olur. Hem güç ziyannının az olması, hem de soğutma probleminin daha kolay çözümlenebilmesi için devrenin veriminin mümkün olduğu kadar yüksek olmasının gerekligi açıklar.

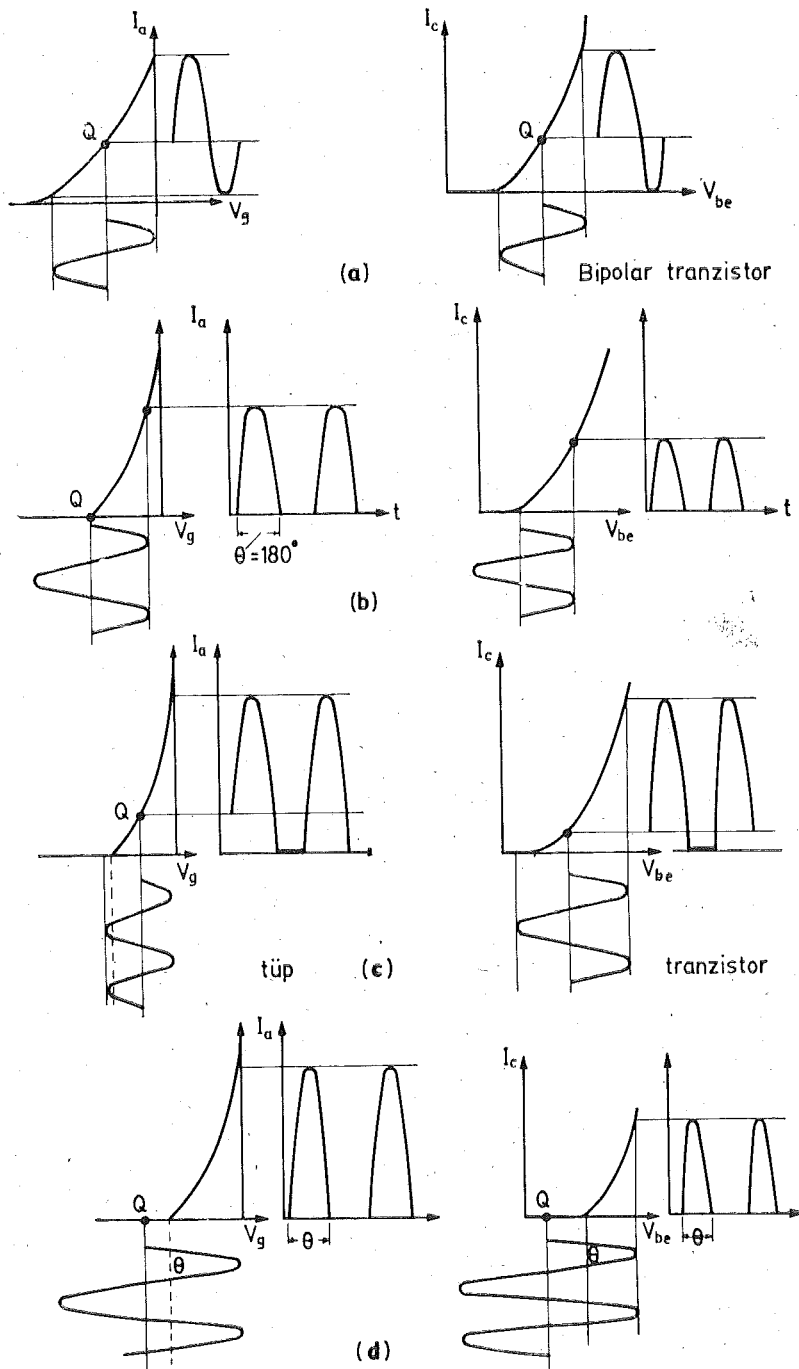
Verim, nispeten düşük güçlü devrelerde de çeşitli sebeplerle önemli olabilir. Pahalı enerji kaynaklarından (pillerden) beslenen devrelerde işe yaramadan harcanan gücün mümkün olduğu kadar az, yani verimin yüksek olması, ekonomik bakımından elverişlidir. Şehir şebekesinden beslenen tranzistorlu bir kuvvetlendiricide ise verim daha ziyade, devredeki tranzistorların soğutulması bakımından önemlidir.

Güç kuvvetlendiricilerinde çıkış gücünün ve verimin yüksek olabilmesi için akım ve gerilim dalgalarının büyük olması gereklidir. Bu durumda artık, çalışma noktasının civarındaki küçük genlikli değişimler için tanımlamış olduğumuz küçük işaret parametreleri ve bunlara dayanılarak çizilen eşdeğer devreler geçerli değildir. Hesapların tüp veya tranzistorların özeğrileri üzerinde, çizim yolu ile yahut bu elemanların nonlinear modelleri kullanılarak, bilgisayar yardımı ile yapılması gereklidir.

Güç kuvvetlendiricilerinde önemi çok büyük olan verim, çalışma noktasının, tüp veya tranzistor eğrileri üzerindeki yerine sıkı sıkıya bağlıdır. Çalışma noktasının yerine göre kuvvetlendiriciler aşağıdaki sınıflara ayrılır :

1. A sınıfı çalışma : Giriş işaretinin iki yarı peryodunda da giriş işaretti ile sürekli olarak değişen bir çıkış akımı akar. Başka bir deyişle çıkış akımının açısı  $360^\circ$  dir. Çıkış akımının dalga şekli giriş işaretinininkine oldukça benzer. Geçiş eğrisinin lineer olmaması sebebi ile bir miktar şekil bozulması (distorsyon) meydana gelir. (Şekil 8.1. a)

2. B sınıfı çalışma : Çıkış akımı giriş işaretinin bir yarı periyodunda akar, bir yarı periyodunda akmaz. Yani çıkış akımının açı açısı  $180^\circ$  dir (Şekil 8.1. b). Çıkıştaki dalga şekli giriştekine benzememekle beraber bir yarı peryotta bir tarafı, diğer yarı peryotta ikinci tarafı çalışan simetrik devrelerle, giriş işaretine benzeyen —az distorsyonlu— çıkış işaretleri elde edilebilir. Girişte işaret yokken kolektör —yahut anot— akımı sıfırdır (yahut çok küçüktür). Çıkış akımının ortalama değeri



Sekil 8.1. Tüplü ve tranzistorlu kuvvetlendiricilerde çalışma sınıfları.  
 (a) A sınıfı, (b) B sınıfı, (c) AB sınıfı, (d) C sınıfı.

(doğru bileşeni) işaret genliğine bağlıdır ve verim, A sınıfına göre daha yüksektir.

3. AB sınıfı çalışma : Çalışma noktası A sınıfı ile B sınıfı arasında olup çıkış akımının akış açısı  $180^\circ < \theta < 360^\circ$  dir (Şekil 8.1. c). Az distorsiyonlu bir çıkış işaretini elde edebilmek için B sınıfında olduğu gibi simetrik devre kullanılması gereklidir.

4. C sınıfı çalışma : Çıkış akımının akış açısı  $180^\circ$  den daha küçüktür. Kolektör yahut anot akımı kısa süreli darbeler şeklinde akar (Şekil 8.1. d). Bu sebeple ortalama değer (doğru bileşen), tepe değerine göre çok küçük, dolayısı ile verim yüksektir. Çıkış akımının dalga şekli giriş işaretinin kine benzemiyor ise de çıkış akımı, giriş işaretinin frekansına akordlu bir rezonans devresi yardımı ile süzülerek akım darbelerinin Fourier açılımındaki anabileşen elde edilebilir. Şu halde devre ancak tek bir frekans —daha doğrusu bir frekans bandı— için kullanılabilir.

## 8.2. Tranzistorlu A Sınıfı Güç Kuvvetlendiricileri.

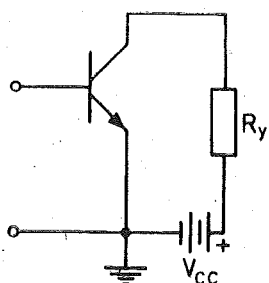
Direnci  $R_y$  olan yüke güç aktaracak bir güç kuvvetlendiricisi, prensip olarak, Şekil 8.2. deki gibi gerçekleştirilebilir. Ancak bu devre şeklinin, yani yükün kolektör akımı yolu üzerine doğrudan doğruya bağlanmış olmasının bazı önemli sakıncaları vardır:

1. Tranzistorun  $I_c$  kolektör doğru akımı sürekli olarak  $R_y$  den akar ve  $R_y$  üzerinde  $I_c^2 \cdot R_y$  ye eşit bir doğru akım gücü harcanmasına sebep olur. Devrenin amacı yüke, giriş işaretini ile değişen bir değişken akım gücünü aktarmaktır. Bu değişken akım gücünden ayrı olarak, devreye bir işaret uygulanmış olsun olmasın harcanacak olan  $I_c^2 \cdot R_y$  gücü boşuna harcanan bir güçtür ve devrenin verimini azaltmaktan başka bir işe yaramaz. Kaldı ki, yükten geçen doğru akım bazı hallerde zararlı da olabilir (Örneğin, yükün bir hoparlör olması halinde).

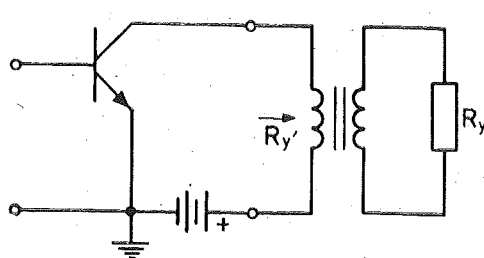
2. Yüke aktarılan gücün büyük olabilmesi için, uçlarındaki gerilimin ve içinden geçen akımın mümkün olduğu kadar geniş sınırlar içinde değişebilmesi gereklidir. Bu sınırları belirleyen, kullanılan tranzistorun sınır değerleri,  $V_{cc}$  besleme kaynağı gerilimi ve tranzistorun yüküdür. İlerde görüleceği gibi, belirli bir tranzistor ve belirli bir  $V_{cc}$  gerilimi için bu bakımından en uygun bir  $R_y$  değeri vardır. Elimizdeki yükün değeri, bu en uygun  $R_y$  değerine eşit olmayı bilir.

Bu sakıncalı durumlardan, yük tranzistora bir transformatörle bağlanarak kurtulunabilir. Gerçekten, yükün tranzistora Şekil 8.3. deki gibi bir «çıkış transformatörü» ile bağlanmış olması halinde :

a)  $I_c$  kolektör doğru akımı  $R_y$  üzerinden akmadığı için yükte bir doğru akım gücü harcanması söz konusu değildir. Bu durumda da transformatörün  $R_p$  birinci taraf (primer) doğru akım direnci üzerinde bir güç harcanacak ise de bu direnç küçük yapılarak kaybolan güç önemli ölçüde azaltılabilir. Ayrıca yükten bir doğru akım akması halinde doğabilecek sakıncalar da artık söz konusu değildir.

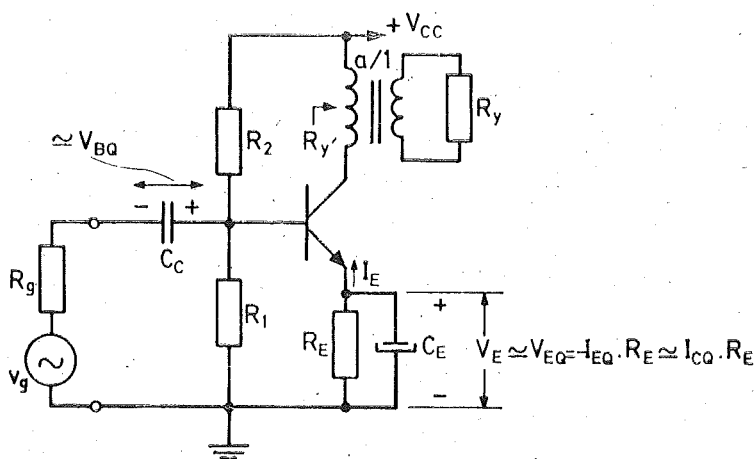


Sekil 8.2. Direnç yüklü kuvvetlendirici.



Sekil 8.3. Yük'e bir çıkış transformatoru ile bağlanmış bir kuvvetlendirici.

b) Değiştirme oranı uygun seçilerek transformatörün birinci taraf uçlarından görülen direncin, tranzistor için en uygun olan  $R_y'$  yük değerine eşit olması sağlanabilir. Böylece tranzistoru, daha büyük bir çıkış gücünü daha verimli olarak verecek şekilde kullanmak mümkün olur.

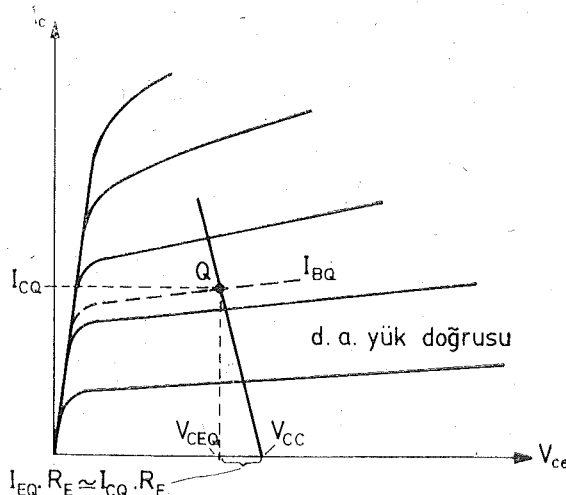


Sekil 8.4. A sınıfı tranzistorlu kuvvetlendirici.

Bu şekilde yükle bir çıkış transformatörü ile bağlanan A sınıfı bir güç kuvvetlendiricisi devresi其实, Şekil 8.4. deki gibi olacaktır.  $R_E$ ,  $R_1$  ve  $R_2$  dirençleri hem tranzistor için seçilen doğru akım çalışma noktasını belirleyecek hem de —tranzistorda harcanan güç büyük olacağı için gerilim kuvvetlendiricilerindekinden daha da önemli olan— ıslık kararlılığının sağlanması'na yarayacaktır.  $C_E$  bağlama kondansatörü ile  $C_E$  köprüleme kondansatörü kuvvetlendirilecek olan en alçak frekanslı bilesenler için bile kısa devre sayılabilen kadar büyük değerlidir. Bu özellik, bir başka bakış açısından, bu kondansatörlerden her birinin, kendine seri gelen toplam esdeğer dirençle belirlediği zaman sabitesinin, en alçak frekanslı işaret bileseninin peryoduna göre çok büyük olması demektir. O halde devrenin girişinde bir işaret yokken (sükünet halinde) bu kondansatörlerin uçları arasında bulunan doğru gerilimlerin girişe bir işaret uygulandığında sükünetteki değerlerini koruduğu kabul edilebilir.

Girişe uygulanan  $v_g$  değişken gerilim kaynağının iç direnci  $R_g$  dir.  $R_1$  ve  $R_2$  baz bölücü dirençlerinin paralel esdeğeri genellikle tranzistorun giriş direncine göre yeteri kadar büyükür. Çıkış transformatörünün birinci taraf sargı direncinin de ihmali edilebilecek kadar küçük olması sağlanabilir.

Şimdi, yukarıda yaptığımız kabulleri göz önünde tutarak tranzistorun doğru akım yük doğrusunu çıkış özeğrileri üzerinde gösterelim (Şekil 8.5.). Tranzistorun  $I_c$  kolektör doğru akımı sıfır iken kolektör emetör



Şekil 8.5. Şekil 8.4. deki devrede tranzistorun doğru akım yük doğrusu ve çalışma noktası (Çıkış transformatörünün birinci taraf sargı direnci ihmali edilebilecek kadar küçük kabul edilmisti).

gerilimi  $V_{CE} = V_{CC}$  dir.  $I_c$  yi arttırsak  $R_E$  direnci üzerinde  $R_E \cdot I_E \approx R_E \cdot I_C$  değerinde bir gerilim düşümü meydana gelir ve

$$V_{CE} \approx V_{CC} - R_E \cdot I_C \quad (8.1)$$

olur. Bu bağıntı  $V_{CE}$  eksenini  $V_{CC}$  noktasında kesen ve eğimi  $(-1/R_E)$  ye eşit olan bir doğru ile gösterilebilir. Bu doğruya tranzistorun *doğru akım yük doğrusu* denir ve herhangi bir  $I_c$  kolektör doğru akımı değeri için tranzistorun  $V_{CE}$  kolektör-emetör doğru geriliminin ne kadar olacağını gösterir.

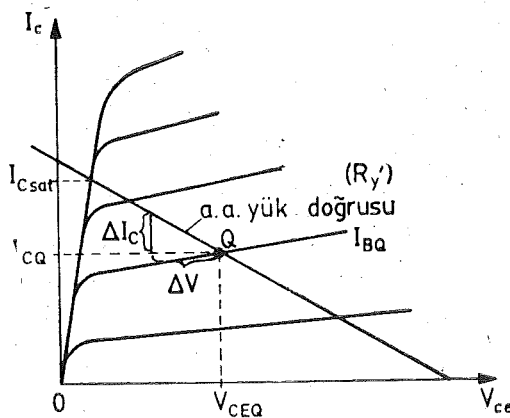
Tranzistor için bir  $I_{CQ}$  sükünət akımı seçilmişse çalışma noktası d.a. yük doğrusu ile  $I_c = I_{CQ}$  doğrusunun kesiştiği Q noktası olacaktır. Şekil 8.5. de, seçilen  $I_{CQ}$  akımını akitmak için gerekli  $I_{BQ}$  baz akımı,  $R_E$  üzerinde  $I_{EQ}$  ( $\approx I_{CQ}$ ) akımının meydana getireceği gerilim düşümü ve bunun yardımı ile tranzistorun sükünetteki kolektör-emetör gerilimi ( $V_{CEQ}$ ) işaretlenmiştir.

Devrenin doğru akım ve gerilimlerini bu şekilde belirledikten sonra, baz akımının  $I_{BQ}$  sükünət akımı etrafında  $i_b = \Delta I_B$  ani değeri ile değiştirildiğini kabul edelim. Kolektör akımında da buna bağlı bir  $\Delta I_c$  değişimi meydana gelecektir. İşaret frekansında çıkış transformatörü ideal bir transformatör gibi davranışyorsa birinci taraf (primer) uçlarından görünen direnç  $R_y' = a^2 \cdot R_y$  ve bunun uçlarında meydana gelen alternatif gerilim düşümü  $\Delta V = \Delta I_c \cdot R_y'$ , tranzistorun kolektör-emetör geriliminin ani değeri de  $(V_{CEQ} - \Delta V)$  olur. Böylece varılan, kolektör akımındaki herhangi bir  $\Delta I_c$  ani artımının kolektör-emetör gerilimini  $\Delta V = \Delta I_c \cdot R_y'$  kadar azaltacağı sonucu çıkış özeğrileri üzerinde işaretlenirse Q noktasından geçen ve eğimi  $(-1/R_y')$  olan bir doğru elde edilir (Şekil 8.6.). Bu doğruya tranzistorun *alternatif akım yük doğrusu* denir. Şekilden açıkça görüleceği gibi kolektör akımının alabileceği en küçük ani değer sıfır, en büyük ani değer ise  $I_{C\text{sat}}$  ile gösterilmiş olan doyma (satürasyon) akımı değeridir. Kolektör akımının, sükünət değerinin iki yanındaki değişim alanının eşit olabilmesi (değişimin sinüs biçimini, yahut genel olarak simetrik olması halinde mümkün olduğu kadar büyük genlikli bir kolektör akımı dalgalanması elde edilebilmesi) için  $R_y'$  a.a. yük direncinin,  $I_{C\text{sat}} = 2 I_{CQ}$  şartını sağlayacak değerde olması gerekeceği kolayca görülebilir. Bu durumda transformatörün uçlarındaki gerilimin değişim alanı da iki yönde eşit olmak şartı ile alabileceği en büyük değere sahip olur ve tranzistorun kolektör-emetör geriliminin alabileceği en büyük değer olan  $V_{CEM}$

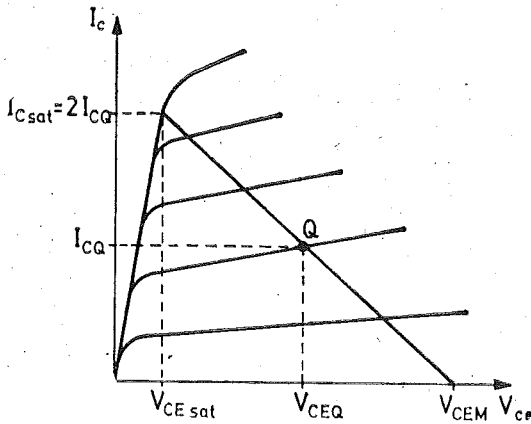
$$V_{CEM} = V_{CEQ} + (V_{CEQ} - V_{CE\text{ sat}})$$

$$V_{CEM} = 2 V_{CEQ} - V_{CE\text{ sat}} \approx 2 V_{CEQ} \quad (8.2)$$

bağıntısı ile hesaplanabilir (Şekil 8.7.).



Şekil 8.6. a.a. yük doğrusu.



Şekil 8.7. Maksimum genlikli çalışma için çalışma noktasının yeri.

Devrenin verebileceği maksimum çıkış gücü ve verimi hesaplamaya geçmeden önce kolektör akımı ile kolektör-emetör geriliminin maksimum değerlerini ( $I_{C\text{ sat}}$  ve  $V_{CEM}$  yi) ve tranzistorda harcanan gücü, kullanılan tranzistorun sınır değerleri açısından inceleyelim :

Bir tranzistorla ilgili sınır değerler akım, gerilim ve güçlerin tranzistora zarar gelmeden alabilecekleri en büyük değerlerdir. İncelediğimiz devre bakımından önemi olan sınır değerler

— Kolektör akımının tepe değerinin ( $I_{CM}$ ) alabileceği en büyük ani değer,

— Kolektör-emetör geriliminin alabileceği en büyük değer (bu değer baz-emetör arasındaki toplam dış devre direnci olan  $R_{BE}$  ye bağlıdır ve  $R_{BE}=0$  için maksimumdur).

— Belirli bir çevre sıcaklığı, yahut belirli bir kılıf sıcaklığı için tranzistorda harcanan toplam gücün ( $P_{tot}$ ) alabileceği en büyük değerdir.

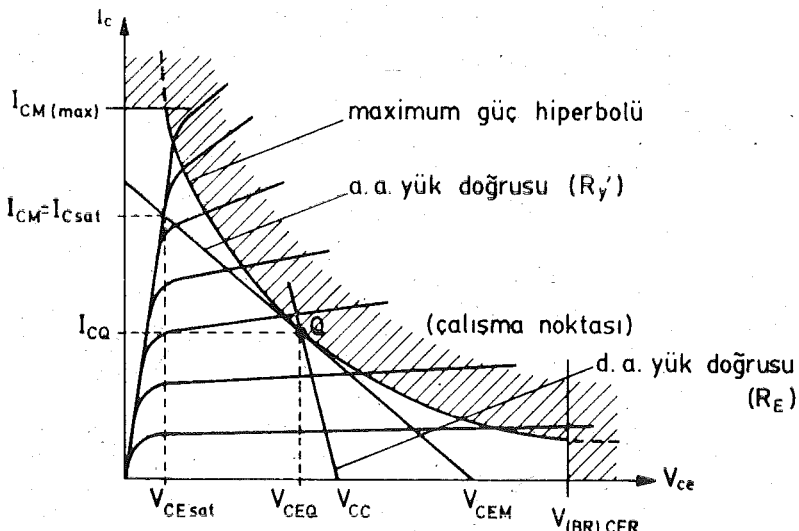
$I_{CM}$ 'nin alabileceği en büyük değer tranzistorun yapısına, özellikle jonksiyon alanlarına bağlı bir büyüklük olup genellikle  $I_{CM(max)}$  ile gösterilir.

Bir tranzistorun kolektör-emetör dayanma gerilimi, tranzistorun dış devresine bağlıdır. Baz açık devre iken tranzistorun dayanabileceği en büyük kolektör-emetör gerilimi  $V_{(BR)CEO}$ , baz emetöre kısa devre edilmişkenki dayanma gerilimi  $V_{(BR)CES}$  ile gösterilir ve  $V_{(BR)CEO} < V_{(BR)CES}$  dir. Baz ile emetör arasındaki  $R_{BE}$  dış devre direnci değerine bağlı olarak dayanma gerilimi bu iki uç değer arasında bir değer alır ve  $R_{BE}$  ye bağlı olarak değişimi, tranzistorun yapımı tarafından verilir.

Tranzistorda harcanan toplam gücün maksimum değeri  $P_{tot(max)}$  çevre sıcaklığına ve tranzistor içinde harcanarak ısiya dönüşen gücün gevreye ne ölçüde yayılabiligine bağlıdır (bu konu ilerde etrafı olarak incelenenecektir).

O halde, A sınıfı bir çıkış katında çalışma noktası ve yük direnci belirlenirken bu sınır değerlerden hiçbirinin aşılması gerekir. İncelenen devrede sükünet halinde tranzistorda harcanan güç (doğru akım gücü)  $I_{CQ}$  ile  $V_{CEQ}$  nun çarpımına eşittir. Tranzistorun çıkış özeğrileri üzerine  $I_c \cdot V_{ce} = P_{tot(max)} = \text{sabit eğrisi çizilirse (Şekil 8.8.) bu hiperbolün üzerinde } I_c \cdot V_{ce} \text{ çarpımının gücün sınır değerine eşit olacağı, hiperbolün üst tarafinda çarpımın sınır değeri aşağısı, hiperbolün altında kalan bölgede ise } I_c \cdot V_{ce} \text{ çarpımının (tranzistorda harcanan gücün) sınır değerden küçük olacağı kolayca görülebilir. O halde, belirli bir tranzistor ve belirli bir } V_{cc} \text{ besleme gerilimi için Q çalışma noktası belirlenirken bu noktanın } I_c \cdot V_{ce} = P_{tot(max)} \text{ bağıntısının belirlediği «maksimum güç hiperbolü»nün dışına düşmemesine dikkat etmek gerekir. Çalışma noktası ile birlikte a.a.}$

yük doğrusunun belirlediği  $I_{CM}$  ve  $V_{CEM}$  nin de bunlarla ilgili sınır değerlerin altında kalması gerekeceği açıklır.



Şekil 8.8. A sınıfı bir güç kuvvetlendirici için sınır değerler ve güvenli çalışma bölgesi.

Devre, kolektör akımı  $I_{CQ}$  sükünət değerinin iki yanında simetrik olarak 0 dan  $I_{CM}=2 I_{CQ}$  ya kadar değişebilecek şekilde sinüzoidal bir işaret kaynağından sürüldüğünde transformatörün primerine verilen a.a. gücü (devreden elde edilebilecek maksimum çıkış gücü), akım dalgalanmasının tepe değeri ( $I_{CQ}$ ) ve gerilim dalgalanmasının tepe değeri ( $V_{CEQ} - V_{CE\text{ sat}}$ ) cinsinden kolayca hesaplanabilir :

$$(P_y')_{\max} = (1/2) I_{CQ} \cdot (V_{CEQ} - V_{CE\text{ sat}}). \quad (8.3)$$

$V_{CC}$  besleme kaynağından çekilen d.a. gücü ise

$$P_{DA} = V_{CC} \cdot I_{CQ} \quad (8.4)$$

dir. Buradan, devreden maksimum çıkış gücü elde edilirkenki verim,

$$(\eta)_{\max} = \frac{\frac{1}{2} I_{CQ} \cdot (V_{CEQ} - V_{CE\text{ sat}})}{I_{CQ} \cdot V_{CC}}$$

$$V_{CEQ} \approx V_{CC} - I_{CQ} \cdot R_E$$

olduğundan

$$(\eta)_{\max} = \frac{\frac{1}{2} \cdot (V_{CC} - I_{CQ} \cdot R_E - V_{CE\text{ sat}})}{V_{CC}} \quad (8.5)$$

bulunur.  $R_E$  direncindeki gerilim düşümü ve  $V_{CE\text{ sat}}$  doyma gerilimi  $V_{CC}$  yanında ihmal edilebilecek kadar küçük kabul edilirse

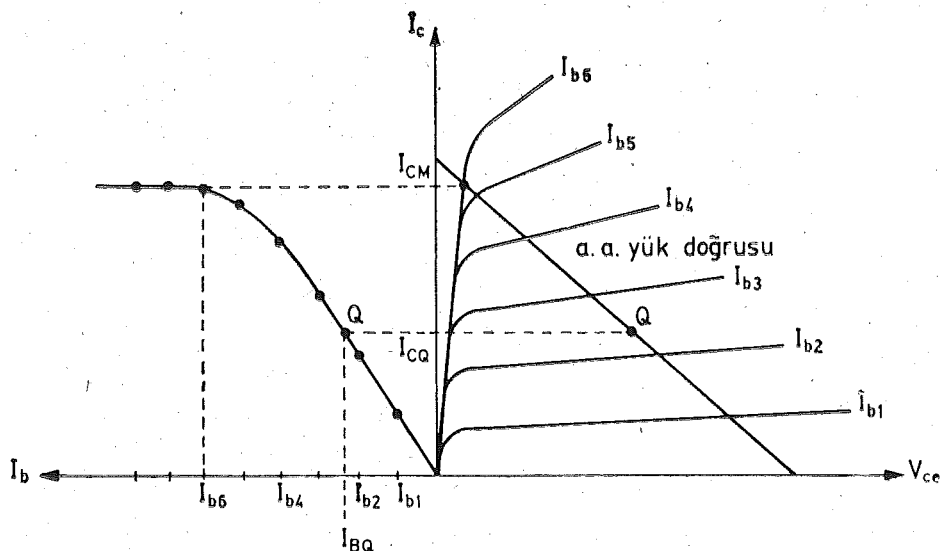
$$(\eta)_{\max} = 1/2 = \% 50 \quad (8.6)$$

bulunur. Ancak bu varsayımlar pratikte hiçbir zaman gerçekleşmeyeceğinden verim de % 50 den küçük olur. Ayrıca bu verim, transformatörün primerine verilen a.a. gücü esas alınarak hesaplanmıştır. Transformatörün verimi de  $(\eta_{tr})$  de hesaba katıldığında devrenin toplam maksimum verimi

$$(\eta_T)_{\max} = (\eta)_{\max} \cdot \eta_{tr} \quad (8.7)$$

bulunur.

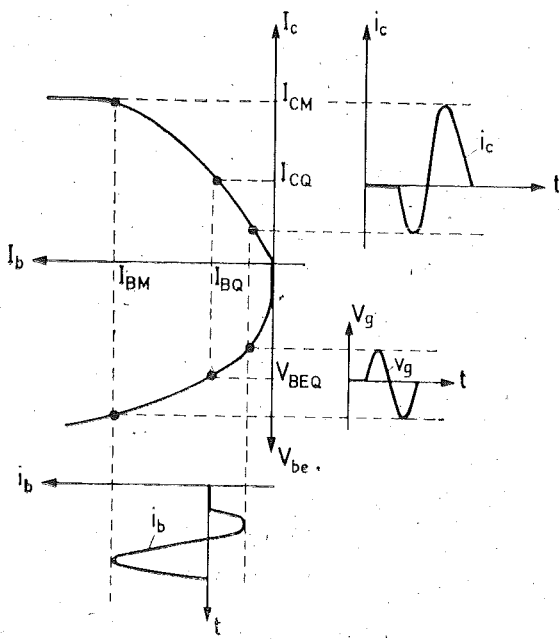
A sınıfı bir kuvvetlendiricide aktif elemanın nonlineerliği nedeni ile akım dalgalanmasında meydana gelen distorsyonun doğuracağı ortalamaya değer değişmesi ihmal edilirse besleme kaynağından çekilen doğru akım ve dolayısı ile kaynaktan çekilen gücün, yüke aktarılan güçten bağımsız olarak sabit kaldığı kabul edilebilir. O halde tranzistorda harcanan güç, yüke aktarılan güç maksimum olduğunda en küçük, yüke aktar-



Sekil 8.9. A sınıfı bir kuvvetlendiricide çalışma geçiş eğrisinin elde edilmesi.

rılan güç sıfır olduğunda en büyük ve besleme kaynağından çekilen güçe eşit olacaktır.

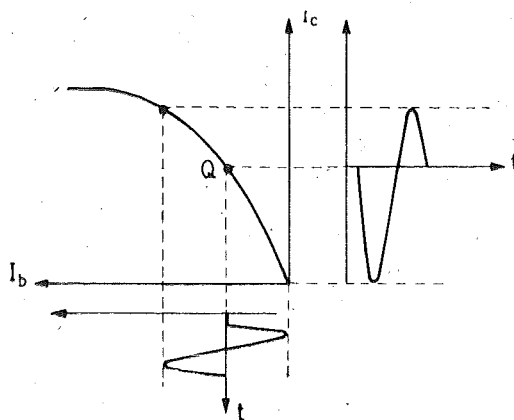
Maksimum çıkış gücü ve verimi hesaplarken kolektör akımının, sükünət değerinin iki yanında simetrik olarak 0 dan  $2 I_{CQ}$  değerine kadar değiştiğini kabul ettik. Aslında, tranzistor özeğrilerinin doğrusal (lineer) olmaması yüzünden bu varsayımlın —yaklaşık olarak da olsa— gerçekleştirilebilmesi için sürücü kaynak iç direncinin belirli bir değere sahip olması gereklidir. Şekil 8.9. da A sınıfı bir kuvvetlendiricinin  $I_c = f(I_b)$  çalışma geçiş eğrisi, çıkış özeğrileri ile  $R_y$ ' yük doğrusu yardımıyla çizilmiştir. Şekil 8.10. da da geçiş eğrisi ile  $I_b = f(V_{be})$  giriş eğrisi bir arada verilmiş



Şekil 8.10. A sınıfı bir kuvvetlendiricinin bir gerilim kaynağından sürülmeye halinde baz akımı ve kolektör akımı dalga şekilleri.

ve baz emetör geriliminin  $V_{BEQ}$  sükünət değeri etrafında sinüzoidal olarak değişmesi halindeki baz akımı ve kolektör akımı dalga şekilleri gösterilmiştir. Görüldüğü gibi  $V_{be}$  den  $I_b$  ye ve  $I_b$  den  $I_c$  ye geçişin doğrusal olmaması yüzünden baz akımı ve kolektör akımı dalga şekillerinde önemli ölçüde şekil bozulması (eğrisellik bozulması, nonlinear distorsyon) meydana gelmektedir. Şekil 8.11. de de tranzistorun bir akım kaynağından

—yahut çok büyük iç dirençli bir gerilim kaynağından— sürülmesi halinde kolektör akımının nasıl değişeceği gösterilmiştir. Şekil 8.10. ve 8.11. deki kolektör akımı dalga şekilleri karşılaştırırsa meydana gelen şekil bozulmasının ters yönde olduğu görülür. O halde, sürücü kaynak iç direncinin —sıfırla sonsuz arasında— belirli bir değeri için kolektör akımı dalga şeklindeki bozulma minimum olacaktır.



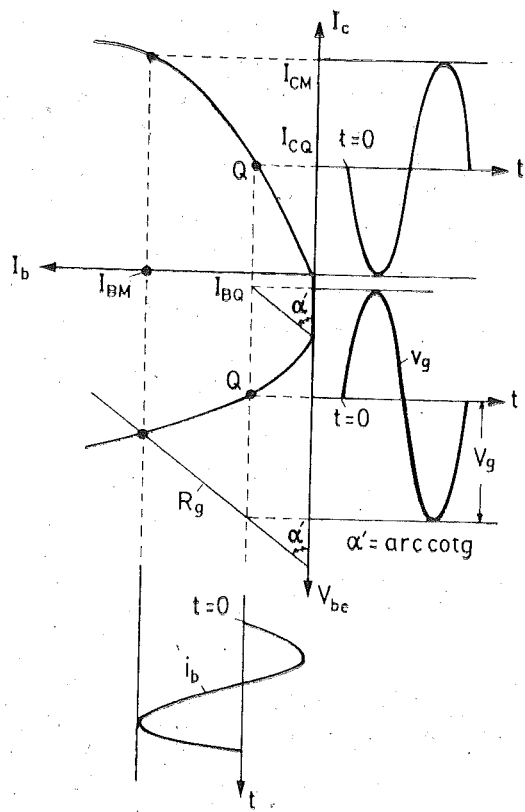
Şekil 8.11. A sınıfı bir kuvvetlendiricinin bir akım kaynağından sürülmesi halinde kolektör akımı dalga şekli.

Şekil 8.12. de  $R_g$  iç direnci uygun seçilmiş bir sinüzoidal gerilim kaynağından sürülen bir kuvvetlendiricide maksimum çıkış gücü için dalga şekilleri gösterilmiştir. Görüldüğü gibi sinüzoidal olan  $v_g$  geriliminin doğruduğu  $i_b$  baz akımının dalga bozuk olduğu halde  $i_c$  kolektör akımı düzgün ve  $v_g$  ninkine benzer bir dalga şekepline sahiptir.

$v_g$  kaynağının devreye verdiği güç, akıttığı akım ( $i_b$ ) tam sinüzoidal olmamakla beraber, akımın tepe değeri  $I_{BM}/2$  kabul edilerek yaklaşık olarak hesaplanabilir :

$$P_g = \frac{1}{2} V_g \cdot (I_{BM}/2)$$

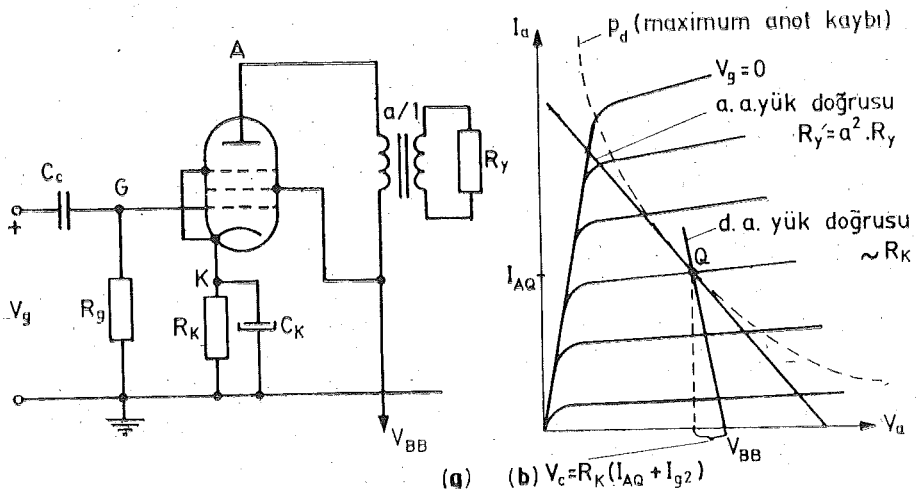
A sınıfı tranzistorlu güç kuvvetlendiricileri verim AB ve B sınıfı kuvvetlendiricilere göre oldukça düşük olduğu için büyük çıkış güçlerinde kullanılmaya elverişli değildir. Ancak verimin pek önemli olmadığı hallerde ve küçük güçler için, bir de büyük güçlü AB veya B sınıfı kuvvetlendiriciler için gerekli giriş gücünü sağlamak üzere sürücü kat olarak kullanılırlar.



Sekil 8.12. Uygun iç direngili bir kaynaktan sürülen A sınıfı bir kuvvetlendiricide maksimum çıkış gücü için dalga şekilleri.

### 8.3. Tüplü A Sınıfı Güç Kuvvetlendiricileri.

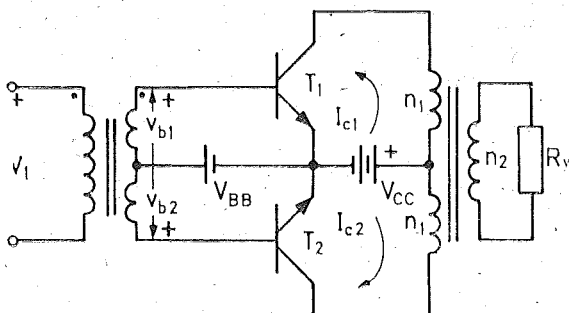
Tranzistorların yaygınlaşmasından önce alçak frekanslarda güç kuvvetlendiricisi olarak A sınıfı pentolu devreler geniş ölçüde kullanılıyordu. Triyotlu devreler hem verimleri düşük olduğu hem de belirli bir çıkış gücünü elde etmek için gerekli sürücü gerilim değeri pentolu devrelere göre daha yüksek olduğu için pentolu devrelere oranla daha az kullanılmışlardır. Pentolların çıkış özeğrileri şekil bakımından tranzistorlarainkine çok benzediğinden tranzistorlu devreler için bulunmuş olan maksimum çıkış gücü ve verim bağıntıları aynen geçerlidir. Şekil 8.13. de pentolu bir A sınıfı güç kuvvetlendiricisinin şeması ile çıkış özeğrisi üzerinde işaretlenmiş çalışma noktası ve yük doğruları gösterilmiştir.



Şekil 8.13. (a) Pentolu bir A sınıfı güç kuvvetlendiricisi. (b) Kuvvetlendiricinin Q çalışma noktası, d.a. yük doğrusu ve a.a. yük doğrusu.

#### 8.4. Puşpul (Simetrik) Kuvvetlendiriciler.

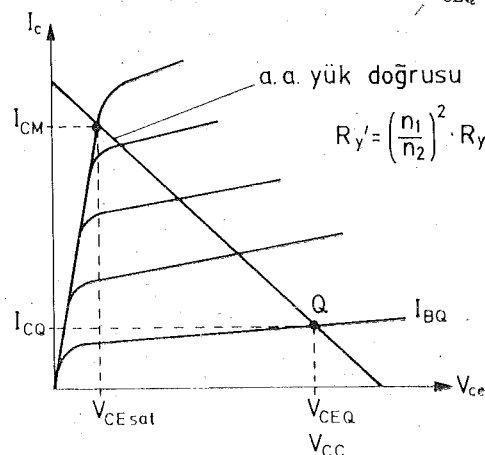
Kısım 8.1. de B veya AB sınıfında çalışacak şekilde kutuplanmış bir elemanda çıkış akımı dalga şékinin bir taraftan kırıplımsız olacağı, giriş işaretinininkine benzeyen bir dalga şéki elde edebilmek için iki elemanla gerçekleştirilen simetrik bir devre kullanılması gerektiği belirtildi. Şekil 8.14. de aynı tipten, (npn tipi) iki tranzistorla gerçekleştirilen bir puspul (push-pull) kuvvetlendirici şeması verilmiştir. Devredeki tranzisitorlar A, AB veya B sınıfında çalışacak şekilde kutuplanmış olabilirler.



Şekil 8.14. Bir puspul kuvvetlendiricinin prensip şeması.

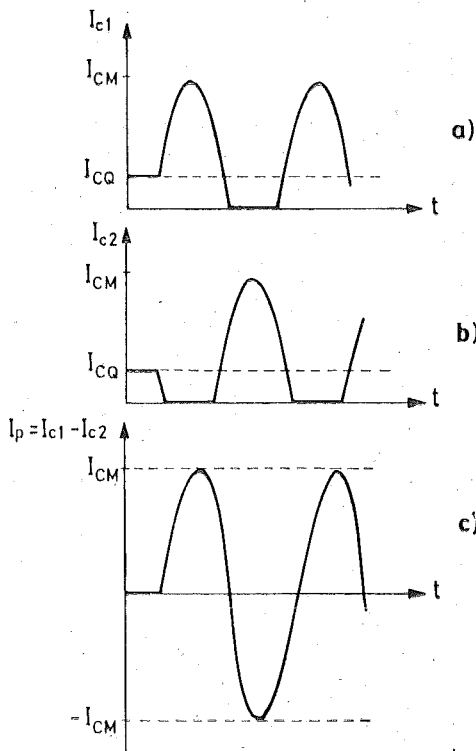
Şimdi tranzistorların —bir ara durum olan— AB sınıfında kutuplanmış olduklarını kabul ederek devrenin temel özelliklerini inceleyelim :

Sükûnet halinde her iki tranzistorun baz emetör gerilimleri eşittir ( $V_{BEQ} = V_{BB}$ ). Kolektör besleme gerilimleri de eşit olduğundan  $I_{c1}$  ve  $I_{c2}$  akımlarının sükûnetteki değerleri eşit olacaktır. Bu akım ( $I_{CQ}$ ) tranzistorlardan birine ait çıkış özeğrileri üzerinde Şekil 8.15. de gösterilmiştir. Çıkış transformatörünün birinci taraf sargı direncindeki d.a. gerilim düşümünün çok küçük olacağı kabul edilerek  $V_{CC} = V_{CEQ}$  alınmıştır.



Şekil 8.15. AB sınıfı bir puspuslu kuvvetlendiricide çalışma noktası ve a.a. yük doğrusu.

Tranzistorların girişlerine uygulanan işaret gerilimleri ( $v_{b1}$  ve  $v_{b2}$ ) zıt fazdadır.  $v_1$  giriş işaretinin sinyüs biçimi olduğu kabul edilirse bunun pozitif yarıperiodunda  $T_1$ 'in toplam baz-emetör gerilimi ve buna bağlı olarak baz akımı ve kolektör akımı artacaktır. Kolektör akımındaki bu değişken bileşenin doğuracağı gerilim düşümü  $T_1$ 'in alternatif akım yük doğrusu ( $R_y'$ ) ile belirlidir. Akım en çok  $I_{CM}$  doyma akımı değerine kadar artabilir. Bu durumda kolektör-emetör gerilimi de  $V_{CE\ sat}$  değerine düşer,  $v_1$ 'in negatif yarıperiodunda ise  $T_1$ 'in toplam baz-emetör gerilimi sükûnetteki değerinin altına düşer ve belirli bir değerden sonra  $T_1$  kesime girer. Sinyüs biçimini ve pozitif yarıperiodotta  $T_1$ 'i doyma sınırına kadar süren bir giriş işaretini için  $I_{c1}$ 'in zamanla değişimi Şekil 8.16. a da gösterilmiştir. Aynı giriş işaretini için  $I_{c2}$ 'nin ve transformatörün ( $I_{c1} - I_{c2}$ ) olarak ifade edebileceğimiz toplam birinci taraf akımının değişimleri de Şekil 8.16. a ve b de verilmiştir.



Sekil 8.16. AB sınıfı puşpul kuvvetlendiricide (a)  $T_1$ 'in kolektör akımı, (b)  $T_2$ 'nin kolektör akımı, (a) çıkış transformatörünün toplam birinci taraf akımı.

Buna göre transformatörün birinci taraf akımı,  $I_{CM}$  tepe değeri ile, yaklaşık olarak sinüs biçimini söylemeyecek şekilde değişmektedir.

Transformatörün giriş uçları arasındaki gerilimin değişimine gelince; tranzistorların kolektörlerine bağlı olan uçlardan herbirinin orta uca göre geriliminin sükUNETTEKİ değeri 0 ve tranzistordan  $I_{CM}$  akımı akarkenki değeri

$$V_M = V_{CEQ} - V_{CE \text{ sat}}$$

dir. O halde transformatörün birinci taraf geriliminin tepeden tepeye değişimi  $2 V_M$ , yani tepe değeri  $V_M$  olacaktır.

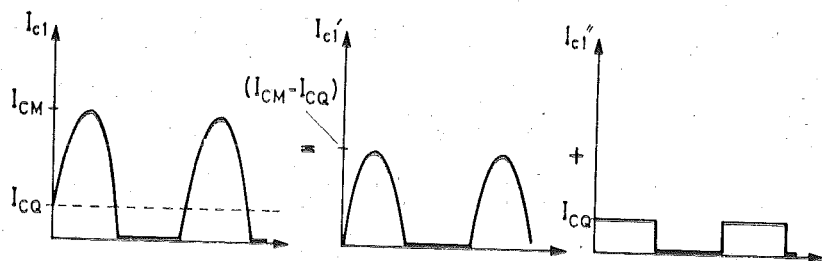
Buradan transformatörün girişine verilen gücün maksimum değeri hesaplanabilir :

$$(P_y')_M = \frac{1}{2} I_{CM} \cdot V_M$$

$$(P_y')_M = \frac{1}{2} I_{CM} (V_{CEQ} - V_{CE\text{ sat}})$$

$$(P_y')_M = \frac{1}{2} I_{CM} V_{CEQ} \left( 1 - \frac{V_{CE\text{ sat}}}{V_{CEQ}} \right)$$

Bu durumda devrenin  $V_{CC}$  besleme kaynağından çektiği doğru al  $T_1$  ve  $T_2$ 'nin akımlarının doğru bileşenleri (ortalama değerleri)ının to muna eşittir. Ortalama değerler Şekil 8.16. a ve b den akım değişimi bir peryot boyunca integrali alınıp peryoda bölünerek hesaplanabilir. hesabı, akım değişimini Şekil 8.17. deki gibi iki bileşene ayırip bunlar



Şekil 8.17. Tranzistorlardan birinin akımının ortalama değerinin yaklaşık olarak bulunması.

birini ( $I_M - I_{CQ}$ ) tepe değerli yarımsinus dalgaları, ötekini ise  $I_{CQ}$  te değerli bir kare dalga kabul etmek sureti ile yaklaşık olarak fakat k layca yapmak mümkündür. Bilindiği gibi yarımsinus dalgaları biçimde bir değişimin ortalama değeri tepe değerinin  $\pi$ 'de biri, bir kare dal gının ortalama değeri ise tepe değerinin yarısıdır. Buradan, devre maksimum çıkış gücünü verecek şekilde sinus biçimli bir işaretle sürüldüğü de  $I_{c1}$ 'in ortalama değeri (doğru bileşeni)

$$(I_{DA})_M \approx \frac{I_{CM} - I_{CQ}}{\pi} + \frac{I_{CQ}}{2}$$

bulunur.  $I_{c2}$ 'nin doğru bileşeni de buna eşit olacağından devrenin maksimum çıkış gücü için besleme kaynağından çektiği toplam doğru akım

$$(I_{DA})_M = \frac{2}{\pi} \cdot (I_{CM} - I_{CQ}) + I_{CQ}$$

$$= \frac{2}{\pi} I_{CM} \left[ 1 + \left( \frac{\pi}{2} - 1 \right) \cdot \frac{I_{CQ}}{I_{CM}} \right] \quad (8.9)$$

ve çekilen toplam doğru akım güçü

$$(P_{DA})_M = V_{CE} \cdot (I_{DA})_M = V_{CEQ} \cdot (I_{DA})_M$$

$$(P_{DA})_M = \frac{2}{\pi} V_{CEQ} \cdot I_{CM} \left[ 1 + \left( \frac{\pi}{2} - 1 \right) \frac{I_{CQ}}{I_{CM}} \right] \quad (8.10)$$

bulunur. (8.8) ve (8.10) bağıntıları yardımı ile devreden *maksimum güç elde edilirkenki verim*

$$\begin{aligned} (\eta)_M &= \frac{(P_y')_M}{(P_{DA})_M} = \frac{\frac{1}{2} \cdot I_{CM} \cdot V_{CEQ} \cdot \left[ 1 - \frac{V_{CE \text{ sat}}}{V_{CEQ}} \right]}{\frac{2}{\pi} \cdot V_{CEQ} \cdot I_{CM} \cdot \left[ 1 + \left( \frac{\pi}{2} - 1 \right) \frac{I_{CQ}}{I_{CM}} \right]} \\ (\eta)_M &= \frac{\pi}{4} \frac{\left[ 1 - \frac{V_{CE \text{ sat}}}{V_{CEQ}} \right]}{\left[ 1 + \left( \frac{\pi}{2} - 1 \right) \frac{I_{CQ}}{I_{CM}} \right]} \end{aligned} \quad (8.11)$$

bulunur. Bu bağıntı, genellikle  $V_{CE \text{ sat}} \ll V_{CEQ}$  olduğu göz önünde tutularak basitleştirilebilir ve sayısal değerler de hesaplanıp yerine konularak

$$(\eta)_M = 0,78 \frac{1}{1 + 0,6 \cdot \frac{I_{CQ}}{I_{CM}}} \quad (8.12)$$

elde edilir.

AB sınıfı çalışma için elde edilmiş olan yukarıdaki bağıntılarda  $I_{CQ}=0$  konularak B sınıfı çalışma için geçerli olan bağıntılara kolayca ulaşılabilir:

$$(P_y')_M = \frac{1}{2} I_{CM} V_{CEQ} \left( 1 - \frac{V_{CE \text{ sat}}}{V_{CEQ}} \right) \quad (8.13)$$

$$(P_{DA})_M = \frac{2}{\pi} I_{CM} V_{CEQ} \quad (8.14)$$

$$(\eta)_M = \frac{\pi}{4} \left( 1 - \frac{V_{CE \text{ sat}}}{V_{CEQ}} \right) \approx 0,78 \quad (8.15)$$

(8.15) bağıntısına göre, devreden maksimum çıkış gücü elde edilirken tranzistorlarda harcanan toplam güç

$$(P_T)_M = (P_{DA})_M - (P_y')_M = (P_y')_M \left( \frac{1}{\eta} - 1 \right)$$

$$(P_T)_M \approx (P_y')_M \cdot 0,28 \quad (8.16)$$

bulunur. Ancak B sınıfı kuvvetlendiricilerde tranzistorlarda harcanan gücün alabileceği en yüksek değer bu değildir. B sınıfı çalışmada herhangi bir çıkış gücü için kolektör akımının tepe değeri  $I_p$  ile gösterilirse  $k \leq 1$  olmak üzere

$$I_p = k \cdot I_{CM}$$

yazılabilir. Transformatörün girişindeki gerilim dalgalanmasının tepe değeri ise  $I_p$  nin  $R_y'$  üzerinde meydana getirdiği gerilim düşümüne eşit olacağından

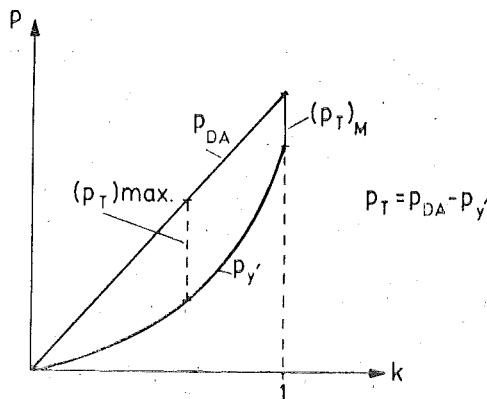
$$V_p = I_p \cdot R_y' = k \cdot I_{CM} \cdot R_y' \approx k V_{CEQ}$$

bulunur. Buradan çıkış gücü ve besleme kaynağından çekilen d.a. gücü hesaplanırsa

$$P_y' = \frac{1}{2} I_p V_p = \frac{1}{2} k^2 I_{CM}^2 \cdot R_y' \quad (8.17)$$

$$P_{DA} = (2/\pi) k I_{CM} V_{CEQ} \quad (8.18)$$

çıkar. Bu bağıntılara göre  $P_y'$  nün ve  $P_{DA}$  nin  $k$  ya bağlı olarak değişimleri incelenirse her ikisinin de  $k=0$  için sıfırdan başladığı, fakat  $P_{DA}$   $k$  ile orantılı olarak değişirken  $P_y'$  nün  $k$  nin karesi ile orantılı olarak değiştiği görülür (Şekil 8.18.).  $k=1$ 'e (maksimum çıkış gücüne) karşı düşen  $(P_T)_M$ ,



Şekil 8.18.  $P_{DA}$  ve  $P_y'$  nün  $k$  ile değişimi.

Şekil üzerinde işaretlenmiştir.  $k$  nin daha küçük değerleri için  $P_T$  nin önce artacağı,  $k$  nin belirli bir değeri için bir maksimumdan geçtikten sonra  $k=0$  için sıfır olacak şekilde azalacağı açıkça görülmektedir. Yani tranzistorlarda harcanan güç çıkış gücünün maksimum olduğu  $k=1$  durumunda değil, maksimum çıkış gücünden daha küçük bir çıkış gücü için maksimum olmaktadır.

Tranzistorlarda harcanan güç  $k$  ya bağlı olarak (8.17) ve (8.18) bağıntılarından hesaplanabilir :

$$\begin{aligned} P_T = P_{DA} - P_y' &= \frac{2}{\pi} k \cdot I_{CM} \cdot V_{CEQ} - \frac{1}{2} k^2 I_{CM}^2 \cdot R_y' \\ &= \frac{2}{\pi} k \cdot I_{CM} \cdot V_{CEQ} - \frac{1}{2} k^2 I_{CM} V_{CEQ} \\ P_T &= I_{CM} \cdot V_{CEQ} \cdot \left[ \frac{2}{\pi} k - \frac{1}{2} k^2 \right] \end{aligned} \quad (8.19)$$

Bu gücü maksimum yapan  $k$  değeri hesaplanırsa,

$$\frac{d(P_T)}{dk} = I_{CM} \cdot V_{CEQ} \cdot \left[ \frac{2}{\pi} - k \right] = 0$$

dan,

$$k = 2/\pi \quad (8.20)$$

bulunur. Bu  $k$  değerine karşı düşen  $P_T$ , yani tranzistorlarda harcanan gücün alabileceği en büyük değer (8.19) bağıntısı yardımı ile

$$\begin{aligned} P_{T_{max}} &= I_{CM} V_{CEQ} \cdot \left[ \frac{2}{\pi} \cdot \frac{2}{\pi} - \frac{1}{2} \cdot \frac{4}{\pi^2} \right] \\ P_{T_{max}} &= I_{CM} V_{CEQ} (2/\pi^2) \end{aligned} \quad (8.21)$$

bulunur. Devreden elde edileBILECEK maksimum çıkış gücünün değeri ise

$$(P_y')_M \approx \frac{1}{2} I_{CM} V_{CEQ} \quad (8.22)$$

dur. Son iki bağıntı yardımı ile tranzistorlarda harcanan gücün alabileceği maksimum değer, devrenin verebileceği maksimum çıkış gücü cinsinden

$$P_{T_{max}} = \frac{4}{\pi^2} (P_y')_M \approx 0,4 (P_y')_M \quad (8.23)$$

yahut devrenin verebileceği maksimum çıkış gücü, tranzistorlarda i canmasına müsaade edilebilecek maksimum güç cinsinden

$$(P_y')_M \approx 2,5 \cdot P_{T \max} \quad (8)$$

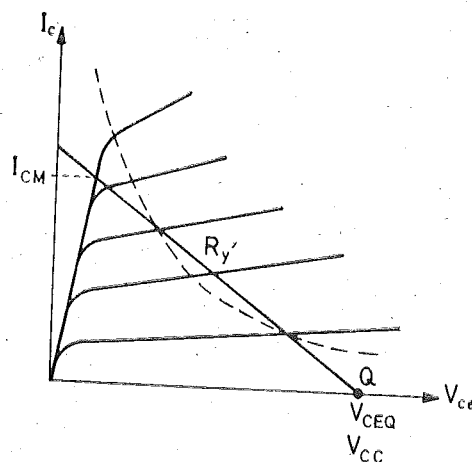
bulunur.

(8.23) bağıntısında  $(P_y')_M$  yerine tranzistorlardan birinin a.a. yi  $(R_y')$  cinsinden değeri konulursa

$$(P_y')_M = \frac{1}{2} - \frac{V_{CEQ}^2}{R_y'} \quad (8)$$

$$P_{T \max} = 0,2 - \frac{V_{CEQ}^2}{R_y'} \quad (8)$$

elde edilir. Buna göre, B sınıfı bir pusul kuvvetlendiricide sükünet  $V_{CEQ}$  gerilimi (ki bu yaklaşık olarak  $V_{CC}$  besleme gerilimine eşittir) müsaade edilen toplam maksimum güç kaybı bilindiğine göre, maksimum çıkış gücünü elde etmek için kullanılması gereken  $R_y'$  a.a. yük direni hesaplanabilir. Bu dirence karşı düşen yük doğrusu tranzistorun çil özeğrileri üzerine çizildiğinde bunun tranzistorun maksimum güç hiperbolü ile kesişmesi ihtimali vardır (Şekil 8.19). Bunun anlamı, ortalar zaman bu değeri aşmasıdır. Tranzistorun ıslık eylemsizliği (jonksiyon caklığının, açığa çıkan güce bağlı olarak değişim hızını belirleyen büyük) maksimum güç kaybının asıldığı sürelerde göre yeteri kadar büyük

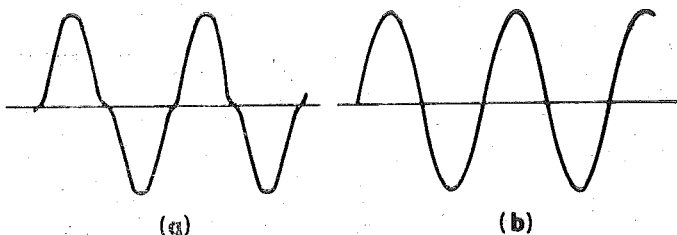


Şekil 8.19. B sınıfı bir kuvvetlendiricide yük doğrusu ve maksimum güç hiperbolü.

se, bu süreler içinde jonksiyon sıcaklığı fazla yükselemeyeceğinden tranzistora bir zarar gelmez. Ses frekansları bölgesinde durum genellikle böyledir.

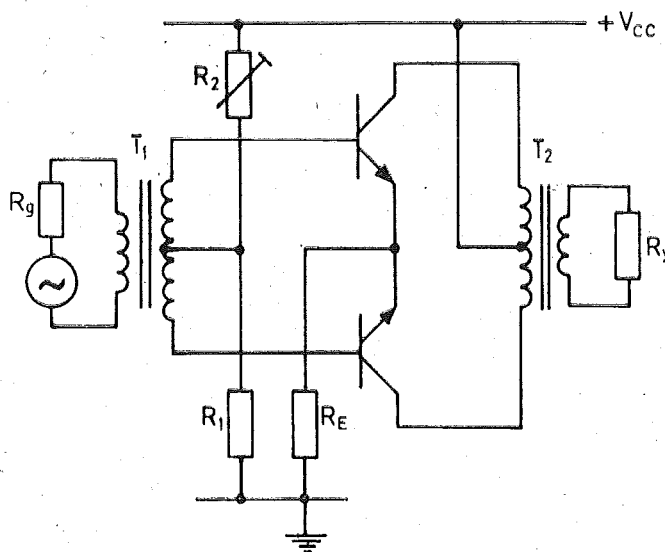
Devredeki tranzistorların tehlikesizce çalışabilmesi için bilindiği gibi akım ve gerilim sınır değerlerinin de aşılmaması gereklidir. Kolektör akımı tepe değerinin ( $I_{CM}$ ), müsaade edilen en büyük değeri olan  $I_{CM(max)}$ 'ı aşmaması gerekecegi açıkları. Kolektör emetör gerilimine gelince;  $V_{CC}$  besleme gerilimi ile beslenen transformatör çıkışlı, puşpul B sınıfı bir kuvvetlendiricide (Şekil 8.14.'e bakınız) örneğin  $T_1$ 'in akımı maksimum iken uçlarındaki gerilim  $V_{CE(sat)} \approx 0$ , o halde transformatör primerinin üst yarısındaki gerilim düşümünün anı değeri —alt uç pozitif olmak şartı ile— yaklaşık olarak  $V_{CC}$  dir. Bu sırada  $T_2$  tıkalı durumdadır ve içinden bir akım akmaz. Transformatör primerinin alt yarısında üst yarı akımının ( $i_{c1}$ 'in) endüklendiği gerilim —sarım sayıları eşit olduğundan—  $V_{CC}$ 'ye eşittir ve yönü de üst yaridakı gerilimin yönünün aynıdır. O halde  $T_1$ 'in akımı maksimum iken  $T_2$ 'nin uclarına gelen gerilim yaklaşık olarak  $2V_{CC}$  ye eşittir. Bu duruma göre devredeki tranzistorlardan herbirinin dayanma geriliminin  $2V_{CC}$  den daha büyük olması gereklidir.

Buraya kadar B sınıfı çalışmada çalışma noktasını tam kesimde ( $I_{CQ}=0$ ) aldık. Böyle yapıldığında, tranzistorların giriş özeğrilerinin biçimi sebebi ile baz akımı —ve dolayısı ile kolektör akımı— dalga şeklinde, akımın bir tranzistordan diğerine «geçtiği» bölgede tipik bir bozulma meydana gelecektir (Şekil 8.20. a). Bu bozulmaya *geçiş bozulması* veya *geçiş distorsyonu* denir. Tranzistorların çalışma noktaları —giriş özeğrileri üzerinde— tam  $I_{BQ}=0$  eşik noktasında değil de sükûnette bir miktar akım akacak şekilde, eğrinin yükselmeye başladığı yerde seçilirse bu bozulma önemli ölçüde azaltılabilir (Şekil 8.20. b). Sükûnet akımının,  $I_{CM}$ 'nin  $1/20$ 'si ile  $1/100$ 'ü arasındaki değerleri uygundur.



Şekil 8.20. (a)  $I_{CQ}=0$  gerçek B sınıfı çalışmada yük akımı dalga şekli.  
(b) Sükûnet akımı artırılarak geçiş bozulması azaltılmış yük akımı.

Şekil 8.21. de transformatör çıkışlı B sınıfı bir puspul kuvvetlendiricinin tam şeması verilmiştir. Giristeki transformatör  $T_1$  ve  $T_2$  için gerekli, eşit genlikli ve zit fazlı sürücü işaretlerinin elde edilmesini sağlar.  $R_E$  ısıl kararlılık direnci, çıkış gücünden fazla fedakârlık edilmemesi amacıyla ile, maksimum akımda uçlarındaki gerilim düşümü 1 V civarında olacak şekilde seçilen küçük değerli bir dirençtir.  $R_1$  ve  $R_2$  gerilim bölütürleri, devrenin çalışma noktasını belirler. Genellikle  $R_2$  ayarlanabilir bir dirençtir ve çalışma noktası bunun yardımcı ile, çıkış işaretinin osiloskop üzerinde izlenerek —geçiş bozulmasının yeteri kadar küçük olduğu, ancak sükünet akımının da fazla büyük olmadığı— uygun bir yere ayarlanır.  $R_g$  direnci (bir önceki katın eşdeğer çıkış direnci) toplam eğrisellik bozulmasını minimum yapacak değerde olmalıdır.



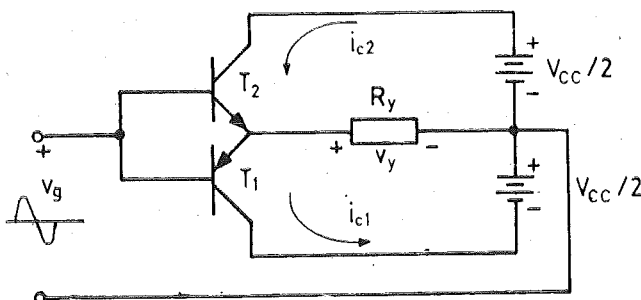
Şekil 8.21. Tranzistorlu bir puspul kuvvetlendiricinin tam şeması.

Tüpler kullanılarak da AB veya B sınıfı kuvvetlendiriciler gerçeklestirilebilir. Pentotlar için, tranzistorlar için bulunan bağıntılar kullanılabilir. Tüplü B sınıfı kuvvetlendiriciler ayrı bir öngerilim kaynağını gerektirdikleri için tranzistorlu devreler kadar yaygınlaşamamışlardır.

### 8.5. Transformatörsız Puşpul Kuvvetlendiriciler.

B sınıfı puşpul kuvvetlendiriciler, p-n-p ve n-p-n tipi tranzistorların birlikte sağladığı bazı olanaklardan yararlanılarak transformatörsız olarak da gerçekleştirilebilirler. Böylece ağır ve pahali bir eleman olan ve demirin miknatışlanması eğrisinin lineer olmaması yüzünden devreye ilâve bir distorsiyon getiren transformatörden kurtulduğu için bu tip devreler transformatörlü puşpul devrelere göre daha çok kullanılmaktadır. Bu tip devrelerin bir üstünlüğü de bazlara uygulanan sürücü işaretlerin zit fazda değil aynı fazda olmalarıdır.

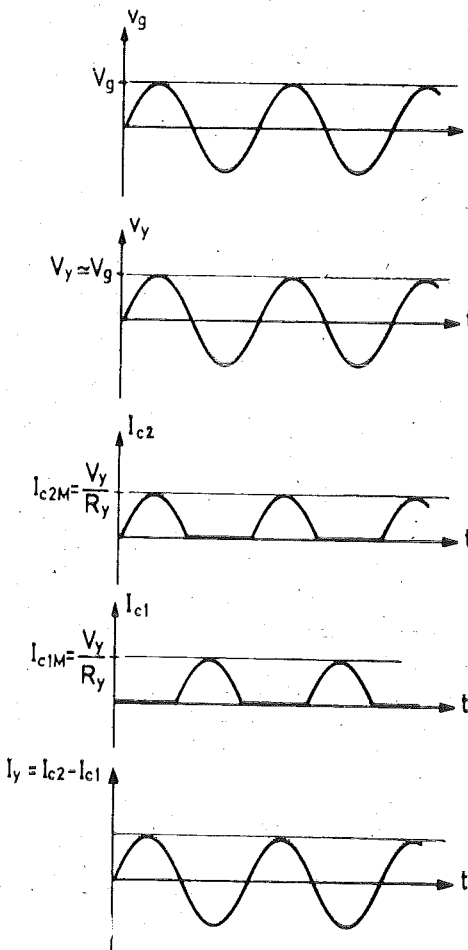
Biri p-n-p diğeri n-p-n tipi olan çıkış tranzistorları ile gerçekleştirilen bu tip kuvvetlendiricilere *eslenik tranzistorlu* yahut *komplemanter simetrisi* kuvvetlendiriciler denir. Kullanılan tranzistorlar aynı tipten olmadıkları halde özeliklerinin (en azından  $h_{FE}$ leri ile sınır değerlerinin) mümkün olduğu kadar benzer olması gereklidir. Devrenin prensip şeması Şekil 8.22. de verilmiştir. Tranzistorlar iki ayrı besleme kaynağından bes-



Şekil 8.22. Eslenik tranzistorlu bir puşpul kuvvetlendiricisinin prensip şeması.

lenmektedir. Tranzistorları iletim esliğinde (B sınıfında) tutan baz kuyruplama devresi gösterilmemiştir. Girişlere aynı  $v_g$  sürücü işaretini uygulanmıştır. Sükûnette ( $v_g=0$  iken)  $T_1$  ve  $T_2$ 'nin akıtacakları küçük değerli ve eşit kolektör sükûnet akımları  $R_y$  yükü üzerinden ters yönde akıtlarından yükten akan bir net doğru akım yoktur.  $v_g \neq 0$  için pozitif yarıperiotta  $T_2$ 'nin akımı artar ve  $R_y$  yükü ile emetör çıkışlı bir devre gibi çalışır. Bu yarıperiotta  $-v_g=0$  için zaten iletim esliğinde olan  $T_1$  kesime girer ve hiç akım akıtmaz. O halde  $v_g$  nin pozitif yarıperiyyodunda  $R_y$  üzerinden akacak olan akım sadece  $T_2$  nin akımıdır. Negatif yarıperiotta durum bunun tersidir;  $T_2$  tikanır,  $T_1$  tranzistoru  $R_y$  yükü ile eme-

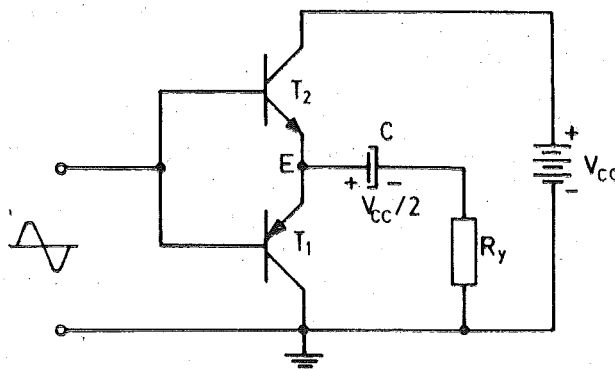
tör çıkışlı bir devre olarak çalışır.  $T_2$  nin emetör çıkışlı olarak çalıştığı yarıperiyot içinde gerilim kazancı 1'e yakındır. O halde  $R_y$  üzerindeki gerilim düşümü ( $v_y$ ), tepe değeri yaklaşık olarak  $V_g$ 'ye eşit pozitif bir yarım sinüs dalgası şeklindedir. Öteki yarıperiyotta ise gerilim düşümü yine  $V_g$  tepe değeri negatif bir yarım sinüstür. Bu duruma göre  $v_g$ ,  $v_y$ ,  $I_{c1}$ ,  $I_{c2}$  ve  $I_y = I_{c2} - I_{c1}$ 'in zamana göre değişimleri Şekil 8.23. deki gibi olacaktır.



Şekil 8.23. Eşlenik tranzistorlu B sınıfı puşpul kuvvetlendiricide akım ve gerillimlerin değişimi.

Devrenin bu hali ile önemli bir sakıncası iki ayrı doğru gerilim besleme kaynağına ihtiyaç göstermesidir. Şekil 8.24. de verilmiş olan devre

ile bu durum da düzeltilebilir.  $T_1$  ve  $T_2$  tranzistorları uygun bir baz devresi ile, küçük bir sükünət doğru akımı akıtacak şekilde —B sınıfında— kutuplanacaklardır. Özellikleri aşağı yukarı aynı olan ve içlerinden aynı sükünət akımı geçen tranzistorların  $V_{CE}$  gerilimleri de aşağı yukarı aynı olacak, başka bir deyişle  $V_{CC}$  besleme gerilimi iki tranzistor arasında eşit şekilde bölüştür. Bu durumda E noktasının gerilimi  $V_E \approx V_{CC}/2$  dir



Sekil 8.24. Tek besleme kaynağından beslenen eslenik tranzistorlu devre.

ve büyük kapasiteli bir kondansatör olan C bu gerilimle dolarak uçları arasındaki gerilim  $V_{CC}/2$  değerini alacaktır.  $C - R_y$  devresinin zaman sabitesi çok büyük yapılrsa girişi değişken bir işaret uygulanarak bu devre üzerinden değişken bir akım akıtıldığında C'nin uçlarındaki doğru gerilimin sükünət değerinde sabit kaldığı kabul edilebilir. Ohalde  $T_1$ 'in çıkış çevrimindeki doğru gerilim kaynağı(!)nin gerilimi  $V_{CC}/2$ ,  $T_2$ 'nin çıkış çevrimindeki eşdeğer doğru gerilim kaynağının gerilimi de  $V_{CC} - (V_{CC}/2) = V_{CC}/2$  dir. Böylece, devre Şekil 8.22. deki devreye dönüşmüştür. C nin uçlarındaki gerilimin değişmediği kabulünün geçerli olabilmesi için  $C \cdot R_y$  zaman sabitesinin, en alçak frekanslı işaretin peryoduna göre çok büyük olması gerektiği açıktır.

Devreden alınabilecek maksimum çıkış gücünün sınırını, dalga şeklinde kırılma olmaksızın elde edileBILEKÇECK çıkış gerilimi tepe değeri belirler ki bu  $(V_{CC}/2) - V_{CE\text{ sat}}$ 'a eşittir. Bu durumda akacak olan yük akımının tepe değeri

$$I_M = \frac{(V_{CC}/2) - V_{CE\text{ sat}}}{R_y} \approx \frac{V_{CC}/2}{R_y} \quad (8.27)$$

dir. Bu bilgilerle sinüs biçimli bir giriş işaretinin maksimum çıkış gücü

$$(P_y)_M = \frac{1}{2} \frac{I_M^2}{R_y} = \frac{V_{CC}^2}{8 R_y} \quad (8.28)$$

bulunur. Her bir yarıperyotta ( $V_{CC}/2$ ) gerilimli doğru akım kaynaklarından akan doğru akım (yük akımının ortalama değeri)

$$(I_{DA})_{IM} = \frac{1}{\pi} I_M$$

ve harcanan doğru akım gücü

$$\begin{aligned} (P_{DA})_{IM} &= \frac{1}{\pi} I_M \cdot \frac{V_{CC}}{2} \\ &= \frac{1}{\pi} \frac{V_{CC}^2}{4 R_y} \end{aligned}$$

her iki yarıperyotta birden harcanan toplam d.a. gücü ise

$$(P_{DA})_M = \frac{1}{2\pi} \frac{V_{CC}^2}{R_y} \quad (8.29)$$

cıkar. Buradan, maksimum çıkış gücü elde edilirkenki verim

$$\begin{aligned} (\eta)_M &= \frac{(P_y)_M}{(P_{DA})_M} \\ (\eta)_M &= \frac{\pi}{4} = \%78 \end{aligned} \quad (8.30)$$

bulunur. Görüldüğü gibi maksimum çıkış gücünde sağlanan verim (ki bu verimin de maksimumudur) transformatörlü B sınıfı devredenin aynıdır. İki devrenin özelliklerindeki paralellik sebebi ile tranzistorlarda harcanan gücün maksimum olduğu k değeri, dolayısı ile maksimum çıkış gücü ile tranzistorlarda harcanmasına müsaade edilebilecek maksimum güç arasındaki bağıntı da aynı çıkar:

$$(P_y)_M \approx 2,5 \cdot P_{T \max} \quad (8.31)$$

Elde edilebilecek maksimum çıkış gücü bakımından transformatörlü devre ile transformatörsüz devre arasında önemli bir fark vardır. Belirli bir besleme kaynağı gerilimi ( $V_{CC}$ ) ve belirli bir yük ( $R_y$ ) ile çalışırken transformatörlü devrede çıkış transformatörünün dönüştürme oranı uygun seçilerek tranzistorların  $R_y'$  yüklerinin (8.25) bağıntısının belirlediği değere eşit olması ve böylece devreden elde edilebilecek maksimum çıkış gücünün elde edilmesi sağlanabilir. Transformatörsüz devrede bu imkân

yoktur; elde edilebilecek maksimum çıkış gücü (8.28) bağıntısının belirlediği gibi besleme kaynağı gerilimine ve yük direncine katı bir şekilde bağlıdır.

Şekil 8.24.'deki devre akım ve gerilim sınır değerleri bakımından incelenirse kolektör akımının tepe değerinin alabileceği en büyük değerin

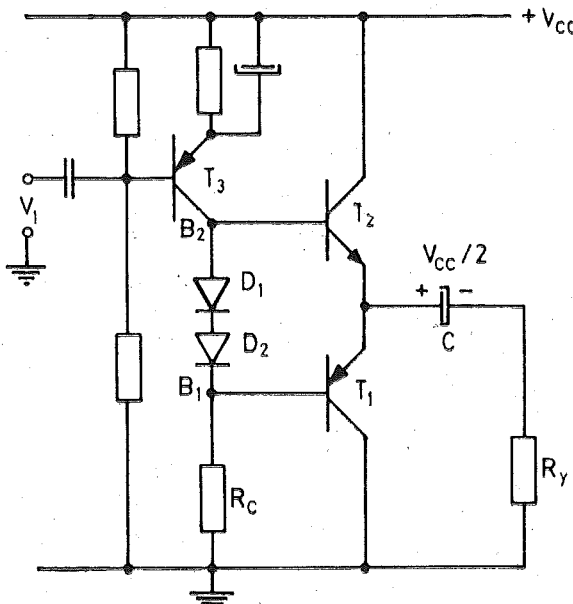
$$I_M = \frac{V_{CC}/2 - V_{CE\ sat}}{R_y} \approx \frac{V_{CC}/2}{R_y}$$

ve her bir tranzistor için maksimum kolektör emetör geriliminin

$$V_{CEM} = V_{CC} - V_{CE\ sat} \approx V_{CC}$$

olduğu görülür.

Transformatörsüz B sınıfı bir çıkış katını sürecek olan devrenin tranzistorları iletim eşliğinde tutacak (veya geçiş distorsyonunun az olmasını sağlayacak şekilde, küçük bir sükünət akımı akitacak) ayrıca her iki tranzistorun girişlerine yeteri kadar büyük genlikli bir sürücü işaretini uygulayacak bir devre olması gereklidir. Bu amaçla kullanılan devrelerden birinin şeması Şekil 8.25. de verilmiştir. Burada  $T_3$  sürücü tranzistorunun



Şekil 8.25. İki diyotla kutuplanılmış eşlenik tranzistorlu çıkış katı.

sükünət akımının  $D_1$  ve  $D_2$  diyotları üzerinde meydana getirdiği düşümü  $T_1$  ve  $T_2$ 'nin bazları arası uygulanmıştır. Diyotlarla talar aynı malzemeden yapılmışsa (örneğin silisyum ise) iletim gerə aşağı yukarı eşit (yaklaşık olarak 0,6 V) olacağından tranzistora küçük bir sükünət akım akacaktır. Ayrıca  $T_3$ 'ün sükünət akımının değeri uygun seçilerek  $T_1$ in bazındaki gerilimin  $V_{CC}/2$  den 0,6 V'da (dolayısı ile  $T_2$ 'nin bazındaki gerilimin  $V_{CC}/2$  den 0,6 V olması, yani  $V_{CC}$  geriliminin  $T_1$  ve  $T_2$  arasında eşit şekilde paylaşılmıştır.

Devredeki diyotların değişken akım dirençleri,  $I_D$  içlerinden doğru akım olmak üzere

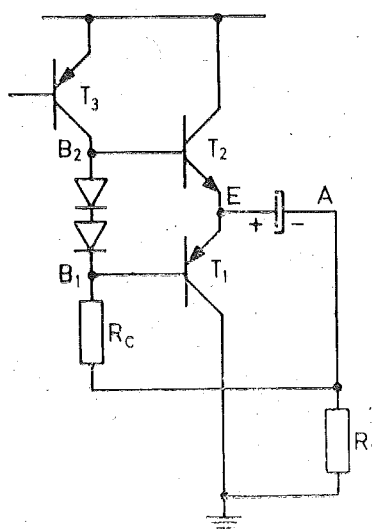
$$r_D = \Delta V_D / \Delta I_D \approx \frac{kT/q}{I_D}$$

bağıntısı ile hesaplanabilir.  $kT/q$  nun değeri oda sıcaklığında yaklaşık 25 mV olduğundan, birkaç mA lik  $I_D$  akımları için  $r_D$   $5 \dots 10 \Omega$  dan ibarettir. O halde  $2 r_D \ll R_c$  şartı kolayca yerine getirilerek  $T_1$  ve  $T_2$  bazlarının değişken işaretler bakımından aynı gerilimde bulunmaları sağlanabilir. Böylece, devrenin girişine değişken bir işaret uygulandığında tranzistorları aynı fazda ve pratik olarak eşit genlikli işaret sürülmüş olur.

Devrede  $T_1$  ve  $T_2$  emetör çıkışlı olarak çalışıklarından gerilim zançları 1'den biraz küçüktür. Üçüncü maksimum çıkış gücünün verilemesi için gerekli çıkış gerilimi tepe değeri ( $V_{CC}/2 - V_{CE\ sat}$ )  $\approx V_{CC}/2$  olduğundan,  $B_1$  ve  $B_2$  noktalarındaki gerilim değişimlerinin tepe değerleri  $V_{CC}/2$  den daha büyük olması gereklidir. Bunun yanısıra  $T_1$  ve  $T_2$ 'nın lektör çıkışlı bir kat ( $T_3$ ) için kabil değildir. Bunun yanı sıra  $T_1$  ve  $T_2$ 'nın baz akımları da  $B_1$  ve  $B_2$  noktalarının gerilimlerindeki değişimlerin tepe değerlerini sınırlar. Gerçekten, giriş işaretinin pozitif yarıperiodu için kesime girer ve  $T_1$  iletir;  $T_1$ 'in baz akımı olmasa idi sıfıra kadar düşebilecek olan  $v_{B1}$  gerilimi, bu baz akımının meydana getirdiği gerilim ösümü sebebi ile ancak  $I_{BIM} \cdot R_c$  gerilimine kadar düşebilir. Böylece  $v_{B1}$  geriliminin negatif tepe değeri sınırlanmış olur. Bu olumsuz durumdan direncinin alt ucunu toprağa göre daha negatif olan bir noktaya bağlayarak kurtulmak kabildir.

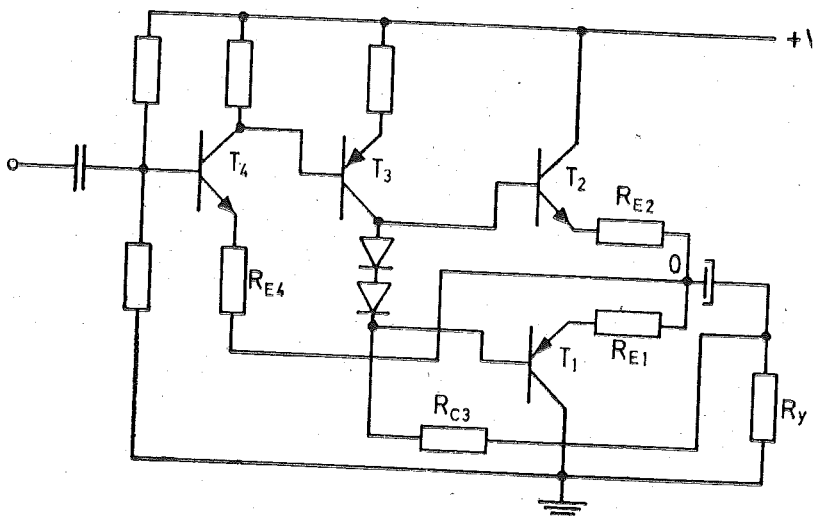
Sekil 8.26.'da prensip şeması verilmiş olan devrede  $R_c$ 'nin alt uc  $R_y$ 'nin üst ucuna (A) bağlanmıştır. Giriş işaretinin pozitif yarıperiodunda,  $T_3$ 'ün akımı azalır,  $B_1$  ve  $B_2$  noktalarının gerilimleri düşer;  $T_2$  kesim

girer,  $T_1$  in akımı artar.  $T_1$  in gerilim kazancı yaklaşık olarak 1'e eşit olduğundan A noktasının gerilimi  $v_{B1}$ 'i izler ve bu yüzden  $R_c$  üzerindeki değişken gerilim düşümü yaklaşık olarak sıfır olur. Böylece yukarıda anlatılmış olan sınırlama etkisi ortadan kalkar. Negatif yarıperyotta  $T_3$ 'ün akımı artar;  $B_2$  noktasının gerilimi yükselir.  $T_2$  iletme  $T_1$  kesime girer.  $T_3$ 'ün yükü Şekil 8.25. deki devrede  $T_2$ 'nin girişi ile diyotlar ve  $R_c$ 'nin oluşturduğu kolun paralel eşdeğeridir. Şekil 8.26. daki devrede ise  $v_{B1} \approx v_A$  olduğundan diyotlar ve  $R_c$  üzerinden akan akım çok küçüktür. Böylece  $T_3$ 'ün yükü önemli ölçüde azalmış olur. Şekil 8.26. daki devreye *sürüklemeli devre* («bootstrap» devresi) denir ve transformatörsüz çıkış katlarında sürülmeye problemini önemli ölçüde kolaylaştırdığından çok kullanılır.



Şekil 8.26. Eşlenik tranzistorlu çıkış katının «bootstrap» düzeni kullanılarak sürülmemesi.

B sınıfı transformatörsüz bir çıkış katında çıkış işaretinin iki yöne doğru değişim alanının eşit olabilmesi için yükün üst ucunun süküneti geriliminin,  $V_{CC}$ 'nin tam yarısına eşit olması gereklidir. Bu eşitliğin sağlanması yalnızca kullanılan tranzistorların özelliklerinin benzerliğine bârakılmaz ve genellikle Şekil 8.27 deki gibi bir doğru akım geribeslemesi üzerinden yararlanılır. Devrede  $T_3$  sürücü tranzistorunun önündeki gerilim kuvvetlendirme katının ( $T_4$ 'ün) emetör direncinin alt ucu 0 noktasına (orta noktaya) bağlanmış ve  $T_4$ 'ün baz böülübü dirençleri, sükünetteki

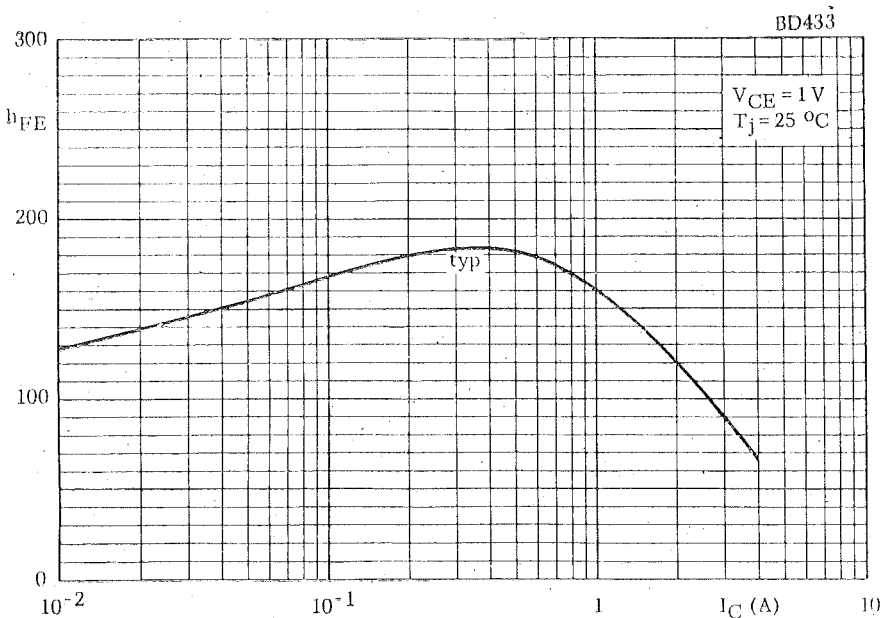


Şekil 8.27. Doğru akım geribeslemesi ile orta noktasının kararlılığı saglamış bir B sınıfı kuvvetlendirici.

emetör gerilimi  $V_{E4} = (V_{CC}/2) + R_{E4} \cdot I_{EQ4}$  olacak şekilde hesaplanılmıştı kiştaki  $T_1$  ve  $T_2$  tranzistorları arasındaki gerilim bölüşümü herhang nedenle bozulsa (örneğin 0 noktasının gerilimi olması gereken  $V_{CC}/2$  gerinden daha küçük bir değere düşse), bunun sonucunda  $T_4$ 'ün a artacak,  $T_3$ 'ün bazının gerilimi düşeceğinden (baz-emetör gerilimi seleçeginden) akımı artacak ve  $T_2$ 'nin bazının bağlı olduğu B<sub>2</sub> noktas gerilimi yükselecektir.  $T_2$ 'nin emetör gerilimi baz gerilimini —aşağı kari sabit bir farkla— izleyeğinden  $T_2$ 'nin emetör gerilimi (yani 0 noktasının gerilimi) artacaktır. Orta nokta geriliminde meydana geldi varsayıdığımız bir değişmenin bu şekilde kendi kendini karşılayan (k panze eden) bir etki doğurması, çıkış tranzistorlarının arasındaki ger bölüşümünün devamlı olarak kontrol edilmesi ve herhangi bir sebe meydana gelebilecek dengesizliklerin otomatik olarak giderilmesi mektir.

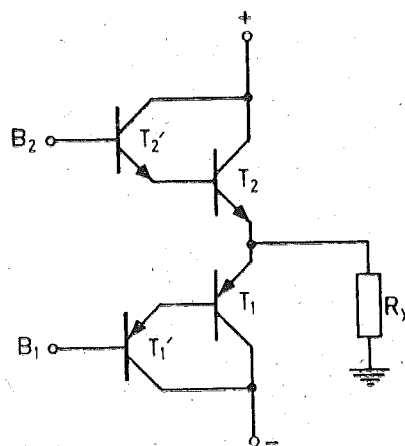
Devreye  $R_{C3}$  direnci yardımcı ile sürüklendirme uygulanmıştır. Ayrıca rüldüğü gibi  $T_1$  ve  $T_2$  çıkış tranzistorlarının emetörlerine birer direnç b laňmıştır. Çıkış tranzistorlarının işil kararlılığına yardımcı olmak üz konulmuş olan bu dirençler —çıkış gücünün çok düşmemesi için— çok değerli seçilirler. Pratikte bu dirençleri, tranzistordan maksim akım akarken direncin uçlarında  $V_{CC}$  nin 1/10'undan daha küçük bir rilim düşecek şekilde seçmek uygun olur.

Büyük güçlü devrelerde çıkış tranzistorlarının kolektör akımlarının tepe değerleri birkaç amper, hattâ daha yüksek değerlere ulaşabilir. Yüksek akım yoğunluklarında emetörden baz bölgesine difüzyonla geçen taşıyıcıların yoğunluğunun, baz bölgesindeki katkı yoğunluğuna yaklaşığı çok yüksek akım değerlerinde akım kazancı azalır. Şekil 8.28. de tipik bir güç tranzistorunda  $h_{FE}$ 'nin  $I_C$  ile değişimi verilmiştir.  $I_C$ 'nin büyük



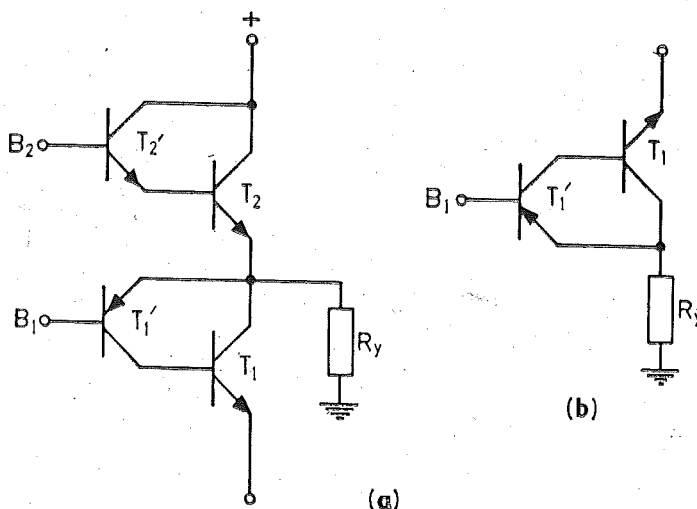
Şekil 8.28. Bir güç tranzistorunda  $h_{FE}$ 'nin akımla değişimi.

değerlerinde  $h_{FE}$ 'nin küçülmesi sebebi ile  $I_B$ 'nin de büyük değerler alacağı, bu durumda ise çıkış katımı süren A sınıfı katın düzgün çalışmasını sağlanmanın çok güç olacağı açıkları. Bu yüzden büyük güçlü devrelerde çıkış tranzistorları yerine birer Darlington çifti kullanmak yararlı olur (Şekil 8.29.). Devrenin sükünet halinde iletim esliğinde bulunabilmesi için  $V_{B2-B1}$  doğru geriliminin yaklaşık olarak dört diyon gerilime eşit olması sağlanmalıdır.



Şekil 8.29. Darlington çıkışlı, eşlenik tranzistorlu bir B sınıfı kuvvetlendirici (devre tek kaynaklı olarak da gerçekleştirilebilir.)

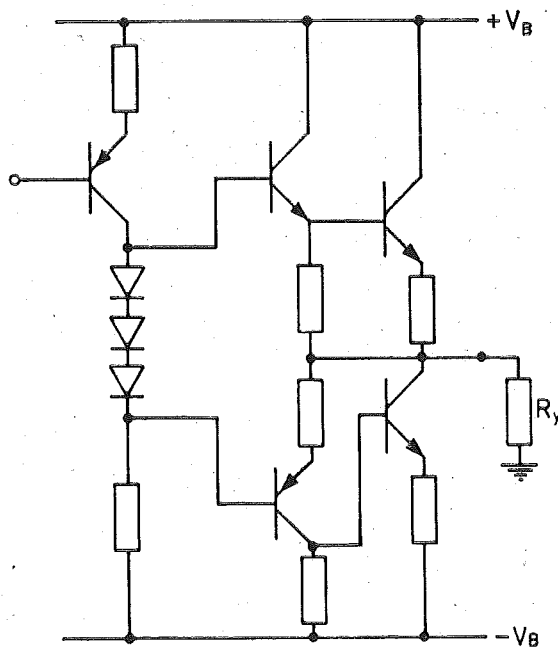
Yüksek güçlü devreler için es özelīkli fakat karşıt cinsten güç tranzistorlarının bulunması her zaman kolay olmaz. Bu yüzden, aynı cinsten iki es güç tranzistoru ile gerçekleştirilen Şekil 8.30. daki devre çok yay-



Şekil 8.30. (a) Sözde eşlenik tranzistorlu bir çıkış katı. (b)  $T_1, T_1'$  tranzistorlarının oluşturduğu +1 kazançlı devre.

gınlaşmıştır. Sözde eşlenik tranzistorlu çıkış katı adı verilen bu devrede  $T_2-T_2'$  çifti, normal bir darlington çiftidir ve  $B_2$  noktasının geriliminin,

pozitif yönde değiştiği yarıperiyotta  $R_y$  yük direnci ile emetör çıkışlı bir devre olarak çalışır; gerilim kazancı pratik olarak +1, giriş direnci ise  $h_{fe2} \cdot h_{fe2}' \cdot R_y$  dir. Devredeki  $T_1 - T_1'$  çifti seklin sağına, ayrı olarak bir defa daha çizilmiştir.  $B_1$  noktasının geriliminin negatif yönde değiştiği yarıperiyot için bu devrenin akım akitacağı kolayca görülebilir. Ayrıca devrenin gerilim kazancı ile giriş direnci bakımından yukarıdaki normal darlington çiftinin benzeri olduğu gösterilebilir. Küçük güçlü pnp tranzistorlarının gerçekleştirilmesi —ve bulunması— büyük güçlülere göre daha kolay olduğundan devredeki  $T_1'$  tranzistorunun pnp tipi olması önemli bir sakınca değildir. Bu devrede de sükünette çıkış çiftlerinin iletişim sırısında tutulması için  $V_{B2-B1}$  geriliminin üç diyot gerilimi kadar olması gereklidir. Şekil 8.31. de tek kaynaktan beslenen sözde eşlenik tranzistorlu bir güç katı sürücüsü ile birlikte verilmiştir.



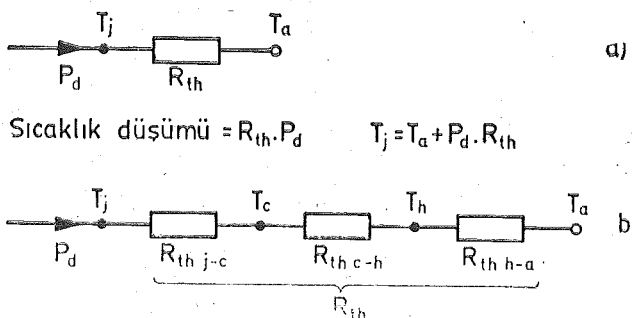
Şekil 8.31. Sözde eşlenik tranzistorlu, B sınıfı bir çıkış katı.

## 8.6. Tranzistorlu Güç Kuvvetlendiricilerinde Isıl Kararlılık.

Tranzistorlu güç kuvvetlendiricilerinde tranzistorlar genel olarak maksimum güç sınırında çalıştırılırlar. Bu durumda tranzistorda açığa

cıkan ve ısuya dönüsen gücün, jonksiyonun sıcaklığını sürekli olarak yükseltmesi ve sonunda, müsaade edilen sıcaklık sınırının aşılması tehlikesi vardır. Bu sınır, germanium tranzistorlar için  $100^{\circ}\text{C}$  ve silisyum tranzistorlar için  $200^{\circ}\text{C}$  civarındadır. Güçlü devrelerde, tranzistorlarda açığa çıkararak ısuya dönüsen kayıp gücünün tranzistordan kolayca uzaklaştırılmasını sağlamak üzere uygun soğutma düzenlerinin kullanılması ve ısıl kararlılığın yeteri kadar yüksek ( $K$  bağılı sıcaklık katsayısının yeteri kadar küçük) yapılması mutlaka gereklidir. Bu amacın sağlanması için negatif sıcaklık katsayılı (NTC) veya pozitif sıcaklık katsayılı (PTC) dirençlerden de yararlanılabilir.

Transiztorlarda, jonksiyonda açığa çıkan ısıl güç, buradan tranzistörün kılıfına, oradan —varsası— soğutucu levhaya, oradan da çevreye yayılarak uzaklaşır. Bu uzaklaşma yolunun ısıl direnci ne kadar küçükse ısı o kadar kolay yayılacak ve jonksiyonun sıcaklığı o kadar az yükselecektir. İdeal bir hal olarak ısıl direnç sıfırsa açığa çıkan güç hemen dış çevreye (havaya) gelecektir ve jonksiyonun sıcaklığı çevre sıcaklığının üstüne çıkamayacaktır. Ama sonlu bir ısıl direnç varsa jonksiyonun sıcaklığı çevre sıcaklığının üstüne çıkacaktır. Sıcaklık artmasının hem açığa çıkan güçce, hem de ısıl dirence bağlı olacağı açıklıdır. Durum, Şekil 8.32. (a) da ki eşdeğer devre ile gösterilebilir. Burada  $P_d$ , kolektörde açığa çıkan ve  $R_{th}$  ısıl direnci üzerinden çevreye akan gücü göstermektedir. Şekil 8.32.



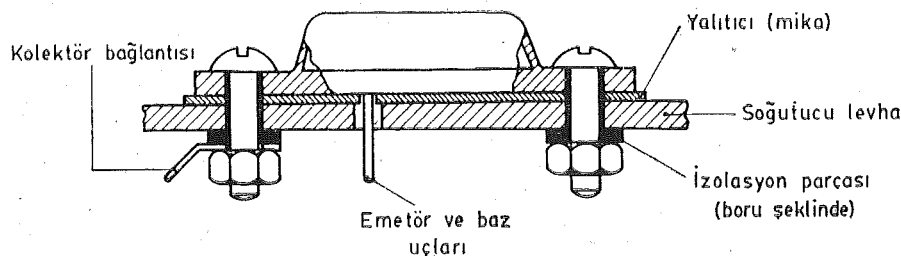
Şekil 8.32. Jonksiyondan çevreye kadar olan ısıl direnç ve bileşenleri.

(b) de  $R_{th}$ , çeşitli bileşenleri ile gösterilmiştir.  $R_{th j-c}$ ; jonksiyondan kılıfa kadar olan ısıl direnci,  $R_{th c-h}$ ; kılıftan soğutucuya kadar olan ısıl direnci,  $R_{th h-a}$  da soğutucudan dış çevreye kadar olan ısıl direnci gösterir.

$R_{th j-e}$ , tranzistorun yapısına bağlıdır. Özellikle yüksek güçlü tranzistorlarda küçük yapılmaya gayret edilir. Örneğin AC 128 tranzistoru için  $R_{th j-e} = 40^\circ\text{C}/\text{W}$  dir. Yani tranzistorda açığa çıkan 1 W lik bir güç jonksiyondan kılıfı geçerken arada  $40^\circ\text{C}$ 'lik bir sıcaklık düşümü meydana gelir. BDY 20 tranzistorunda ise  $R_{th j-e} = 1^\circ\text{C}/\text{W}$  dir. Yani açığa çıkan her Watt için jonksiyon sıcaklığı kılıfın sıcaklığından  $1^\circ\text{C}$  fazla olur.  $R_{th e-h}$ , yani kılıfla soğutucu levha arasındaki ıslık direnç, soğutucu levhanın kılıfı bağlanması şekline bağlıdır. Genellikle kolektöre elektriksel olarak bağlı olan kılıfla soğutucu arasında bir yalıtkan levha konulur ve bu durumda ıslık direnç

$$R_{th e-h} = \rho_{th} (1/S) + (R_{th e-h})_{min} \text{ } ^\circ\text{C/W} \quad (8.32)$$

olar. Burada  $\rho_{th}$  yalıtkan levha malzemesinin  $^\circ\text{C.cm}^2/\text{W.mm}$  olarak ıslık özdirenci (mika için  $\rho_{th}=25,5$ ), 1 levhanın kalınlığı ve S faydalı geçiş alanıdır (Şekil 8.33.).  $(R_{th e-h})_{min}$  ise yalıticı levha kullanılmadan bağlandığında, tranzistorun kılıfı ile soğutucu arasında meydana gelecek olan ıslık dirençtir (Meselâ BDY 20 için  $0,5^\circ\text{C}/\text{W}$ ).



Şekil 8.33. T041 tipi madeni kılıflı bir güç tranzistorunun soğutucuya bağlanması.

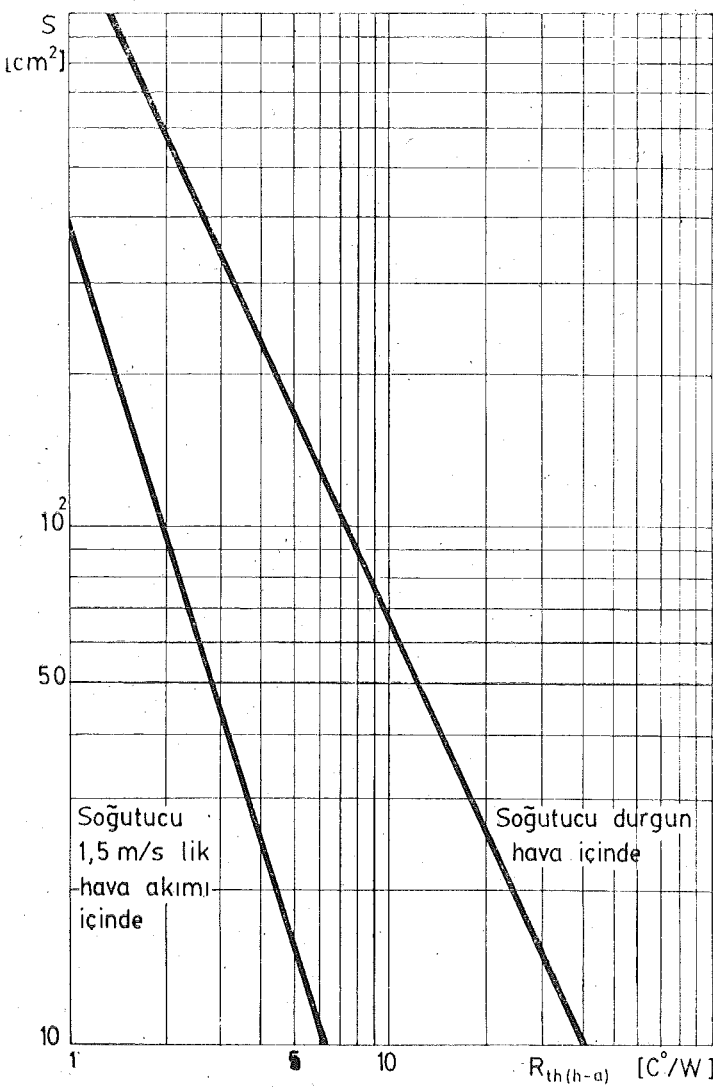
Belirli bir devrede, bir tranzistorda açığa çıkabilecek maksimum güç ( $P_d$ ) ise, çevre sıcaklığı alabileceği en yüksek değere ulaşsa bile jonksiyon sıcaklığının müsaade edilen sınır değeri aşmaması gereklidir. O halde en kötü halde

$$(P_d)_{max} \cdot [R_{th j-e} + R_{th e-h} + R_{th h-a}] = T_{j max} - T_{a max}$$

bağıntısı sağlanmalıdır. Buradan, soğutucudan çevreye ıslık direnci gösteren  $R_{th h-a}$  için

$$R_{th h-a} = \frac{T_{j max} - T_{a max}}{(P_d)_{max}} - (R_{th j-e} + R_{th e-h}) \quad (8.33)$$

bulunur. Kullanılacak olan soğutucu ile çevre arasındaki ıslık direncin bu değeri aşmaması gereklidir. ıslık direncin değeri kullanılan soğutucunun ya-



Sekil 8.34. 1,5 mm yahut daha kalın alüminyum levhadan yapılmış bir soğutucunun ısıl direnci ile alanı arasındaki bağıntıyı veren abak. (a) Soğutucu durgun hava içinde ise, (b) soğutucu 1,5 m/s'lik bir hava akımı ile soğutuluyorsa.

pıldığı malzemenin ıslı özdirence, boyutlarına, biçimine, yüzeyinin renge ve soğuk hava üflenerek soğutulmuş olup olmamasına bağlıdır. Şekil 8.34. de 1,5 mm yahut daha kalın levha şeklinde alüminyumdan yapılmış soğutucular için ıslı direnci levhanın alanına bağlı olarak veren bir abak görülmektedir. Abaktaki eğrilerden biri durgun hava içinde bulunan (üflenerek soğutulmamış) levhalar, diğeri 1,5 m/s'lik bir hava akımı üflenerek soğutulan levhalar içindir. Ayrıca, abaktan bulunan değerlerin geçerli olabilmesi için levhanın düşey olarak, yani konveksiyonla soğuması en kolay olacak durumda durması ve kenar uzunlukları oranının  $a/b=0,5 \dots 2$  arasında olması gereklidir. Levha yatay duruyorsa, yani konveksiyonla ısı yayması düşey durumda göre daha zorsa abaktan bulunacak alan değerini % 30 artırmak gereklidir. Levhanın yüzeyi siyahlatılmışsa (radyasyonla ısı yayma yeteneği artırılmışsa) abağın verdiği değerden % 30 daha küçük alanlı bir levha kullanılabilir.

### 8.7. C Sınıfı Kuvvetlendiriciler.

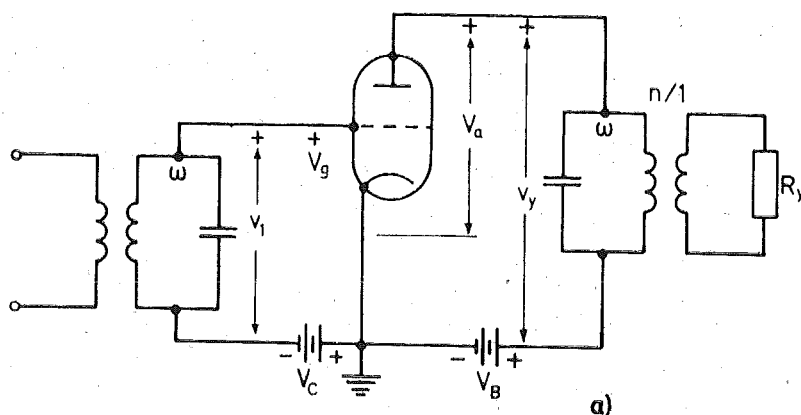
Frekansı değişmeyen yahut ancak dar bir band içinde kalmak şartı ile değişen sinüs biçimini işaretlerin kuvvetlendirilmesinde genel olarak akordlu kuvvetlendiriciler kullanıldığını biliyoruz. Bu tip kuvvetlendiriciler A sınıfında çalıştırılabilikleri gibi çıkış gücü ve verimin önemli olduğu yerlerde B veya C sınıfında da çalıştırılabilirler. Kuvvetlendirilecek işaretin dalga şeklinin herhangi bir şekle sahip olması ve kuvvetlendirilmesi gereken bileşenlerin geniş bir frekans bandını işgal etmesi halinde —örneğin ses yahut resim işaretleri kuvvetlendiricilerinde— dalga şeklini çok fazla bozduğu için uygulanamayan C sınıfı çalışma, frekansı —ve buna ilâve olarak genliği— değişmeyen sinüs biçimini işaretlerin kuvvetlendirilmesinde başarı ile kullanılabilir. Devrenin, frekansın sabit veya dar bir band içinde aşağı yukarı sabit kalması, genliğin değişmemesi ve dalga şeklinin sinüs biçimini olması şartı gibi kısıtlamalara karşılık getirdiği çok önemli bir özellik vardır; verimin çok yüksek olması. C sınıfı kuvvetlendiricilerde verim % 80 hattâ daha yüksek değerlere ulaşabilir. Bu sebeple sabit frekanslı ve büyük güçlü kuvvetlendiriciler (örneğin radyo vericilerinin çıkış katları) daima C sınıfı olarak gerçekleştirilir.

C sınıfı kuvvetlendiriciler hem tüplerle, hem tranzistorlarla gerçekleştirilebilirler. Tranzistorların yaygınlaşması ile tüpler pek çok alanda yerlerini tranzistorlara bıraktıkları halde yüksek güçlü C sınıfı kuvvetlendiricilerde üstünlük halâ tüplerdedir. Tranzistorların akım, gerilim

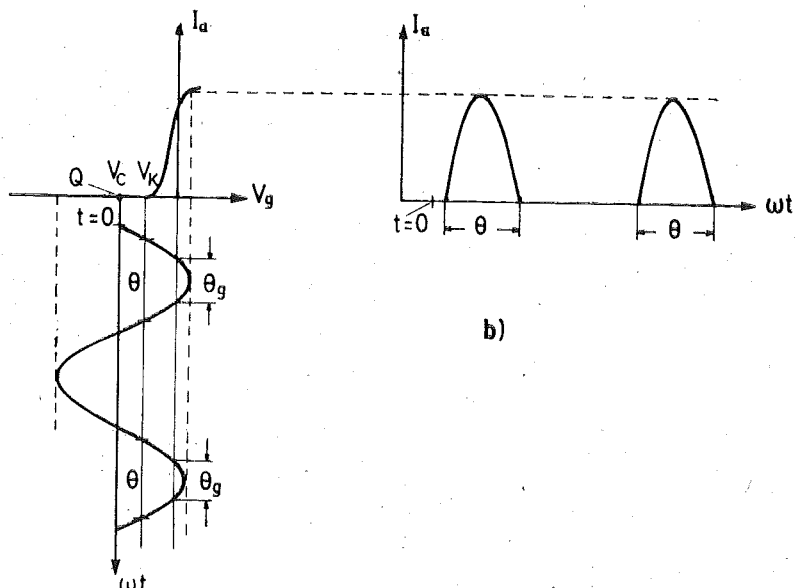
ve güç sınır değerleri bugün çıkış güçleri ancak birkaç yüz watt'a kadar olan C sınıfı devrelerin gerçekleştirilmesine elvermektedir. Buna karşılık, özel olarak yapılmış tüpler kullanılarak birkaç yüz kW'lık çıkış güçleri elde edilebilmektedir.

#### 8.7.1. Tüplü C Sınıfı Kuvvetlendiriciler.

**Şekil 8.35.** (a) da triyot tüplü bir C sınıfı kuvvetlendiricinin prensip şeması verilmiştir. Tüp —C sınıfı çalışma tanımı gereğince—  $V_k$  kesim



a)



b)

**Şekil 8.35.** (a) Triyot tüplü C sınıfı bir kuvvetlendiricinin prensip şeması.  
(b) Anot akımının giriş gerilimine bağlı olarak değişimi.

geriliminden daha negatif bir  $V_c$  öngerilimi ile kutuplanmıştır. Girişteki rezonans devresi üzerinden izgaraya uygulanan  $\omega$  frekanslı  $v_1$  geriliminin tepe değeri  $V_c$  den biraz büyüktür. Şekil 8.35. (b) de tübüin  $I_a=f(V_g)$  geçiş eğrisi yardımcı ile, anot akımının değişim şekli çıkartılmıştır. Gördülüdüğü gibi toplam izgara - katot gerilimi olan  $V_g$ 'nin  $V_k$  kesim geriliminden daha negatif kaldığı süreler boyunca bir anot akımı akmamakta, ancak  $V_g$ 'nin kesim geriliminin üstüne çıktıgı aralıklarda, yaklaşık olarak sinüs tepeleri biçiminde akım «darbeleri» akmaktadır. Anot akımı darbelerinin akma süresini belirleyen  $\theta$  ya *anot akımı akış açısı* denir.  $\theta$  nin  $180^\circ$  den küçük olduğu, ancak  $V_c=V_k$  olması, yani devrenin B sınıfında çalışması halinde  $\theta=180^\circ$  olacağı açıklıktır.  $V_g$ 'nin tepe değerinin öngerilimden biraz büyük seçilmiş olması, pozitif tepelerde izgaranın katoda göre pozitife geçmesine, dolayısı ile bu kısa sürelerde bir izgara akımı akmasına sebep olur. Izgara akımının aktığı süreleri belirleyen  $\theta_g$  açıları da Şekil 8.35. (b) üzerinde gösterilmiştir.

Devreden akan darbeler şeklindeki  $I_a$  anot akımının değişim biçimini tübüin  $I_a=f(V_g)$  geçiş eğrisinin şecline,  $\theta$  akış açısına ve genlige bağlıdır. Biçimi nasıl olursa olsun, peryodik olan bu değişim bir Fourier serisi ile ifade edilebilir.

$$I_a = I_{ao} + I_1 \cos \omega t + I_2 \cos 2\omega t + \dots \quad (8.34)$$

Bu akımın yolu üzerine konmuş olan yük —ki bu,  $\omega$  frekansına akordlu bir paralel rezonans devresidir—  $I_{ao}$  doğru bileşeni ile  $2\omega, 3\omega, \dots$  harmonik bileşenlerine karşı küçük bir empedans gösterir.  $\omega$  frekansında ise yükün göstereceği empedans —rezonans devresinin kendi kayipları ihmal edilirse—  $R_a \approx n^2 \cdot R_y$  değerinde, büyük bir dirençtir. Ohalde, yükün uçlarındaki gerilim düşümünün  $\omega$  frekanslı bileşeni geriye kalan bütün bileşenlere göre çok büyük olacağından

$$v_y \approx R_a \cdot I_1 \cos \omega t = V_y \cos \omega t \quad (8.35)$$

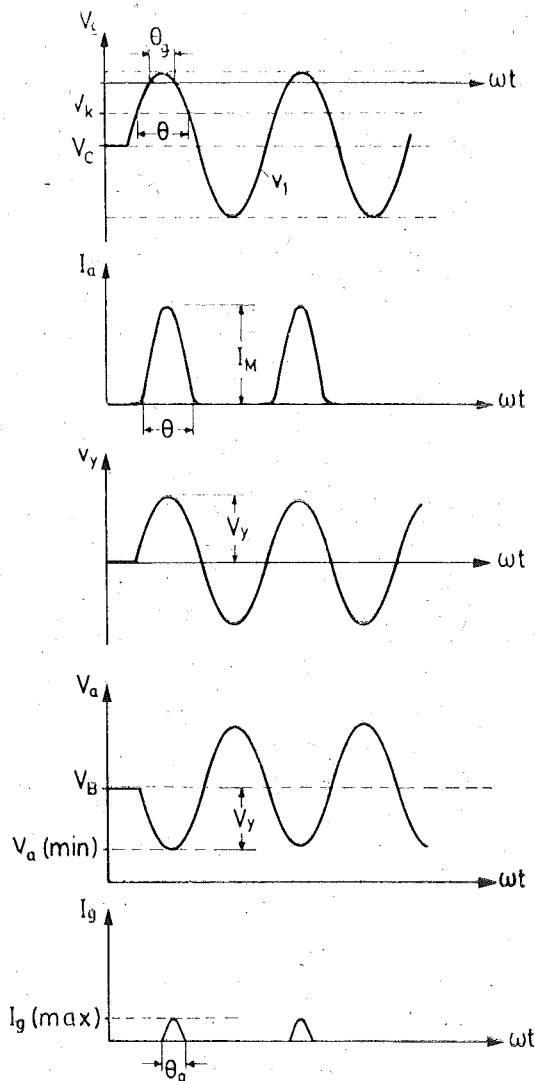
yazılabilir. O halde tübüin anot katot gerilimi de

$$V_a = V_B - v_y$$

$$V_a = V_B - V_y \cos \omega t$$

dir. Şekil 8.36. da devredeki akım ve gerilimlerin zamana göre değişimleri bir arada gösterilmiştir. Buradan görüleceği gibi tübüin içinden akan akım maksimumken uçlarındaki gerilim minimumdan geçmektedir.  $V_a$ 'nın bu minimum değeri ne kadar küçükse tüpte harcanan gücün o kadar küçük, dolayısı ile belirli bir  $V_B$  için verimin o oranda büyük olacağı açıklıktır.

Ancak  $V_a$  minimumdan geçtiği sırada  $V_g$  de pozitiftir ve maksimumdan geçer. Katottan çıkan elektronların çoğunuğunun izgara tarafından çekilerek büyük bir izgara akımı akmaması ve izgarada büyük bir güç açığa çıkmaması için en kötü halde bile anot izgaraya göre daha pozitif olmalı yani  $V_{a(\min)} > V_{g(\max)}$  şartı gerçekleşmelidir. Hem anot akımının hem de



Şekil 8.36. Triyot tüplü bir C sınıfı kuvvetlendiricide akım ve gerilim değişimleri.

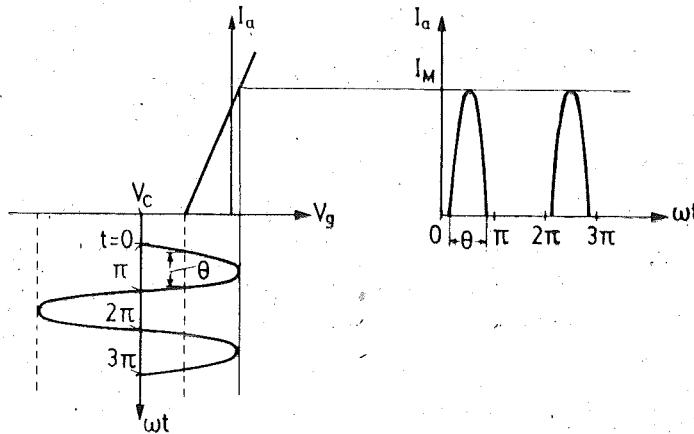
izgara akımının maksimumdan geçtiği anlarda katottan çıkan elektronlarin bu iki akımı karşılayacak kadar bol olması gerekir.

Tübüün yüke aktardığı yüksek frekanslı güç

$$P_y = \frac{1}{2} \frac{V_y^2}{R_y} \quad (8.36)$$

dir.  $P_y$ 'nin büyük olabilmesi için  $V_y = V_B - V_{a \min}$  değerinin mümkün olduğu kadar yüksek olması gereklidir. Bu yüzden büyük güçlü C sınıfı kuvvetlendiriciler birkaç kV hattâ 10 kV mertebesinde anot besleme gerilimleri ile çalışabilen özel tüplerle gerçekleştirilir.

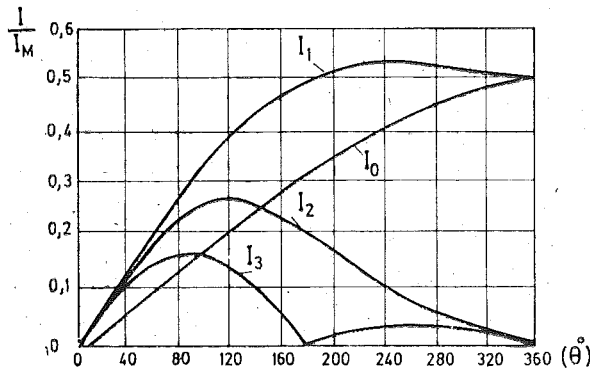
Bir C sınıfı kuvvetlendiricide anot akımına ilişkin Fourier serisinin bileşenlerinin  $\theta$  akış açısı ile  $I_a = f(V_g)$  geçiş eğrisinin biçimine bağlı olduğu belirtildi. Geçiş eğrisi Şekil 8.38. de gösterildiği gibi lineer kabul edilirse anot akımı darbeleri kırılmış sinyüs eğrisi biçiminde olur ve



Şekil 8.37.  $I_a = f(V_g)$  geçiş eğrisinin lineer kabul edilmesi hali için anot akımı darbeleri.

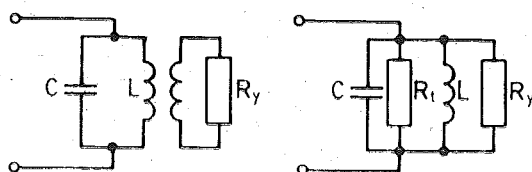
Fourier bileşenleri kolayca hesaplanabilir. Şekil 1.44. de  $I_c$ ,  $I_1$ ,  $I_2$  ve  $I_3$ 'ün bu yoldan hesaplanmış olan değerleri anot akımı darbelerinin  $I_M$  tepe değeri ile normalize edilerek verilmiştir. Eğrilerden görüldüğü gibi kaynaktan çekilen doğru akım gücünü belirleyen  $I_{ao}$  da, yüke aktarılan  $\omega$  frekanslı işaretin gücünü belirleyen  $I_1$  de  $\theta$  akış açısı arttıkça artar. Ancak  $I_1$ 'in  $I_{ao}$ 'a oranla en yüksek olduğu bölgelenin  $\theta = 120^\circ \dots 160^\circ$  aralığına düşlüğü görülmektedir.  $\theta$ 'nın küçük değerleri için verim yüksek olmakla

beraber çıkış gücü küçük olur. Büyüük  $\theta$  değerleri için ise çıkış gücü artar fakat verim küçük olur.  $120^\circ$  civarında anot akımı akış açısı değerleri için — $V_{a(\min)}$  de  $V_B$  gerilimi yanında yeteri kadar küçük tutularak— % 80 hattâ daha yüksek verim değerleri elde edilebilir.



Şekil 8.38. Geçiş eğrisinin lineer kabul edilmesi hali için anot akımının Fourier bileşenlerinin  $\theta$  ya bağlı olarak değişimleri.

C sınıfı kuvvetlendiricilerde  $\omega$  frekansında tübe dirençsel bir yük sağlayan ve çıkış gücünün  $R_y$  yüküne (örneğin bir antene) aktarılmasına aracılık eden rezonans devresine *tank devresi* de denir. Tank devresinin kendi kayıplarını temsil eden  $R_t$  eşdeğer paralel direnci ile  $R_y$  nin birinci tarafa aktarılmış eşdeğeri olan  $R_y'$  Şekil 8.39. da bir arada gösterilmiştir.



Şekil 8.39. Tank devresi ve eşdeğeri.

Devrenin girişine uygulanan gücün mümkün olduğu kadar büyük bir bölümünün  $R_y'$  de (dolayısı ile  $R_y$  de) harcanabilmesi için  $R_t \gg R_y'$  olması gerektiği açıkları. Giriş uygulanan gücün ne kadarlık bir bölümünün yüke

aktarılabilğini bilerleyen katsayıya *tank devresinin verimi* denir.  $\eta_T$  ile gösterilen tank devresi verimi rezonans devresinin yüksüz haldeki değer katsayısı ( $Q_o$ ) ve  $R_y'$  ile yüklü ikenki değer katsayısı ( $Q_y$ ) cinsinden hesaplanırsa

$$\eta_T = 1 - (Q_y/Q_o) \quad (8.37)$$

bulunur.  $\eta_T$ 'nin büyük olabilmesi için yüksüz haldeki değer katsayısının olabildiği kadar büyük, yüklü haldeki değer katsayısının olabildiği kadar küçük olması gereklidir.  $Q_o$  yüksüz haldeki değer katsayısını büyütmek için rezonans kondansatörü olarak hava dielektrikli bir kondansatör kullanmak, bobinin sargılarını büyük kesitli ve yüzey direncinin küçük olması için gümüşle kaplanmış iletkenler kullanarak sarmak gibi tedbirler alınabilir. Böylece — $\omega$  ya da bağlı olmak üzere— birkaç yüz ile birkaç bin arasında  $Q_o$  değerleri elde edilebilir.  $Q_y$ 'nin alt sınırını ise tank devresinden beklenen başka özellikler, örneğin devrenin harmonik frekanslarında göstereceği empedansların,  $\omega$  akord frekansındaki empedansa göre yeteri kadar küçük olması şartı belirler. Buna bağlı olarak  $Q_y$  için genellikle 5 ile 10 arasında bir değer seçilir.

Tank devresinin uçlarındaki  $\omega$  frekanslı sinüzoidal gerilimin tepe değeri  $V_y = V_B - V_{a(\min)}$  dir. Şekil 8.39.'daki eşdeğer devrede  $R_y'$  ile  $R_t$  nin paralel eşdeğerine  $R_e$  dersek devreye verilen güç

$$P_y = \frac{1}{2} \cdot \frac{V_y^2}{R_e} \quad (8.38)$$

dir. Devrenin —yüklü haldeki— değer katsayısı da

$$Q_y = \frac{R_e}{L\omega} \quad (8.39)$$

bağıntısı ile bellidir. Bu iki bağıntıdan

$$L\omega = \frac{V_y^2}{2P_y \cdot Q_y} \quad (8.40)$$

bulunur ki bu bağıntıdan yararlanılarak  $V_y$  ve  $P_y$  değerleri bilinen ve  $Q_y$  değer katsayısına sahip olması istenen bir tank devresinin endüktansının ne kadar olması gerektiği hesaplanabilir. Rezonans kapasitesinin değeri de

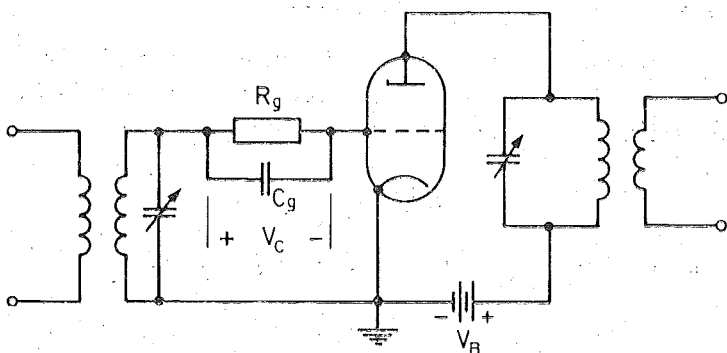
$$\omega = \frac{1}{\sqrt{LC}}$$

rezonans bağıntısı ile bellidir. Ancak buradan bulunacak kapasite de-

rinin devreye paralel bağlanan kondansatörün kapasitesi ile tübü anot-katot kapasitesinin ve bağlantı iletkenlerinden ileri gelen «parazit» kapasitelerin toplamı olduğu unutulmamalıdır.

Tüplü C sınıfı kuvvetlendiricilerin ızgara öngerilimlerinin, tübü kesim geriliminden de büyük negatif bir gerilim olduğunu biliyoruz. Birkaç yüz volt mertebesinde olabilen bu gerilimi, A sınıfı kuvvetlendiricilerde yaptığımız gibi katoda seri bir direnç bağlayarak katot akımının ortalaması değerinin bu direnç üzerinde meydana getirdiği gerilim düşümü olarak elde etmek uygun bir yol değildir. C sınıfı kuvvetlendiricilerde öngerilim ya ayrı bir doğrultucu —ve süzücü— düzeni yardımı ile, ya pozitif tepelerde akan ızgara akımından yararlanılarak, ya da karma olarak elde edilir.

Izgara akımından yararlanılarak  $V_C$  öngeriliminin elde edilişi Şekil 8.40. da gösterilmiştir. Izgara devresine seri olarak konmuş olan  $R_g$  direncinden akacak olan ızgara akımı  $I_{GM}$  tepe değerine ulaştığı anda  $R_g$ 'nin



Şekil 8.40. Izgara öngeriliminin ızgara akımı yardımı ile otomatik olarak elde edilmesi.

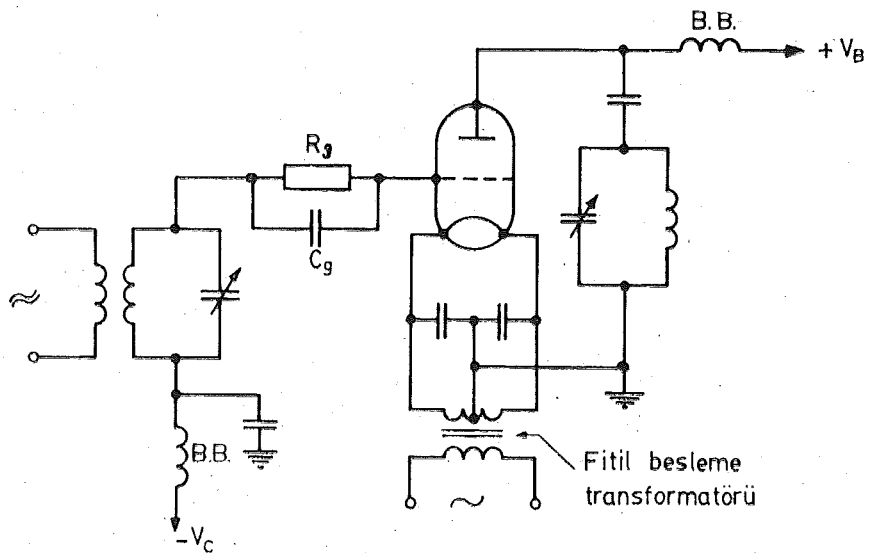
uçlarındaki gerilim düşümü  $R_g \cdot I_{GM}$  dir ve  $C_g$  kondansatörü de bu gerilimle dolar. Bu anda  $v_g$  de pozitif tepe değerine sahiptir.  $v_g$  tepeyi aşıp azalmaya başladığında  $I_g$  önce azalır, hemen sonra da kesilir.  $R_g \cdot C_g$  zaman sabiti işaretin peryoduna göre yeteri kadar büyükse ikinci bir pozitif tepe gelip ızgara akımı yeniden akmaya başlayana kadar  $C_g$ 'nın uçlarındaki gerilim —ki işaretin ızgarayı katoda göre negatif yapacak yönündedir— hemen hemen başlangıçtaki değerinde sabit kalır.

Izgara akımının bu yoldan elde edilmesinin önemli sakıncası herhangi bir sebeple sürücü gerilimin kesilmesi halinde —artık izgara akımı akmayacağından— öngerilimin sıfıra düşmesidir. Bu durumda tüpten sürekli olarak  $I_M$  ye yakın bir anot doğru akımı akmaya başlar ve tüpte harcanan güç sınır değerinin çok üstüne çıkacağından anodun sıcaklığı çok kısa sürede dayanabileceğİ değeri aşar. Bu durumun ortaya çıkımması için devreyi aşırı akıma karşı otomatik olarak koruyan düzenlerin kullanılması zorunludur. Başka bir yol da devrenin öngeriliminin bir kısmının bir öngerilim kaynağı ile, geriye kalan kısmının da izgara akımından yararlanılarak otomatik olarak elde edilmesidir (yarı otomatik öngerilim). Bu durumda sürücü işaretin kesilmesi, tam otomatik öngerilimde olduğu kadar tehlikeli değildir. Ayrıca kuvvetlendiriciye genlik modülasyonu uygulanması halinde bu tür öngerilimin sağladığı bazı faydalar vardır. Bu sebeplerle yarı otomatik öngerilim C sınıfı kuvvetlendiricilerde çok kullanılır.

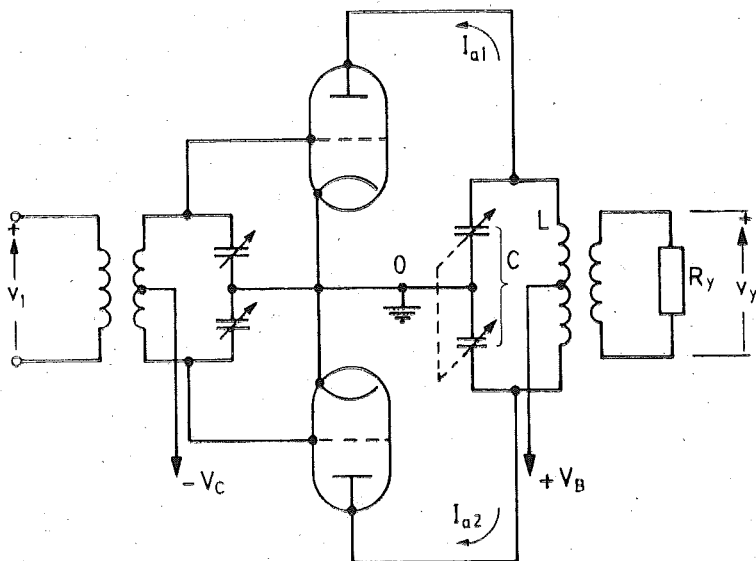
C sınıfı kuvvetlendiricilerde anot besleme kaynağının verdiği doğru akımla tüp ve tank devresi üzerinden akan yüksek frekanslı akımın yollarının iyi bir şekilde ayrılması için yeterli tedbirlerin alınması gereklidir. Bu amaçla doğru akım besleme yolu üzerine,  $\omega$  frekansında büyük bir empedans göstermek üzere bir boğucu bobin ve yüksek frekanslı akımın besleme kaynağından dolaşmadan devresini tamamlaması için gerekli yerlerde köprüleme kondansatörleri kullanılır.

Büyük anot gerilimleri ile çalıştırılan tüplerde tüp içinde az sayıda bulunabilecek —veya olasıblecek— pozitif iyonların katodu bombardıman etmeleri sonucunda katodun yapısının bozulması söz konusu olduğu için oksit kaplı katotlar yahut thorium'lu tungsten katotlar kullanılamaz. Emisyon verimi (yani 1 W/hk bir ısıtma gücü için katodun sağlayabileceği akım) düşük olmakla beraber saf tungsten kullanmak zorunludur. Bu durumda fitilin ısıtma devresi ile katot akımının yüksek frekanslı bileşenlerinin devresini biribirlerinden ayırmak için bazı tedbirlerin alınması gereklidir. Şekil 8.41. de triyot tüplü C sınıfı bir kuvvetlendirici, besleme kaynakları ile ilâve elemanlarla birlikte gösterilmiştir. Anot besleme kaynağı, anot akımının doğru bileşeni ile değişken bileşenlerinin yoluunu ayırmayı kolaylaştıracak şekilde, tübe paralel olarak uygulanmıştır.

C sınıfı kuvvetlendiriciler şimdije kadar incelediğimiz şekilde, tek tüplü olarak gerçekleştirildiği gibi, simetrik (puşpul) olarak çalışan iki tüple de gerçekleştirilebilir. Şekil 8.42. de görüldüğü gibi  $T_1$  ve  $T_2$  tüpleri  $V_c$  öngerilimi ile sükünette kesimin ötesinde tutulacak şekilde kutuplanımlarıdır. Giriş işaretinin pozitif yarıperiyodunda, genliğin yeteri kadar

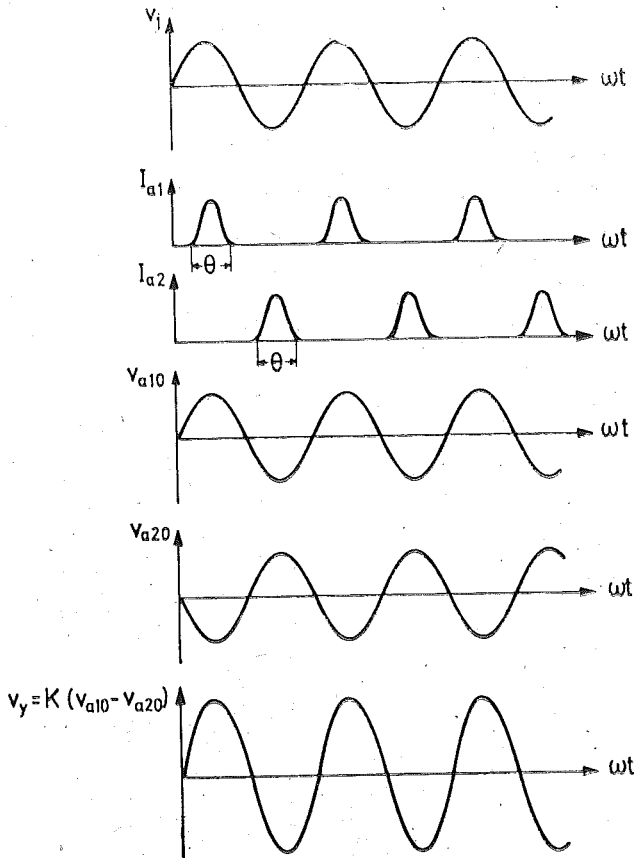


Sekil 8.41. Triyot tüplü C sınıfı bir kuvvetlendirici ve besleme devreleri.



Sekil 8.42. Triyot tüplü C sınıfı puspul kuvvetlendirici.

yüksek olduğu  $\theta$  aralığında  $T_1$  tübü, negatif yarıperiyotta ise ikinci  $\theta$  aralığında  $T_2$  tübü akım akıtır.  $I_{a1}$  akımının yolu üzerindeki empedans  $2C$  kapasitesi ile  $L/2$  endüktansının paralel eşdeğiridir; yani rezonans frekansı  $\omega = 1/\sqrt{LC}$  olan bir paralel rezonans devresidir.  $I_{a1}$ 'in  $\omega$  frekanslı temel bileşeninin bu rezonans devresinin uçları arasında meydana getireceği gerilim ( $v_{a10}$ ) Şekil 8.43. de giriş işaretini ve anot akımı değişimleri

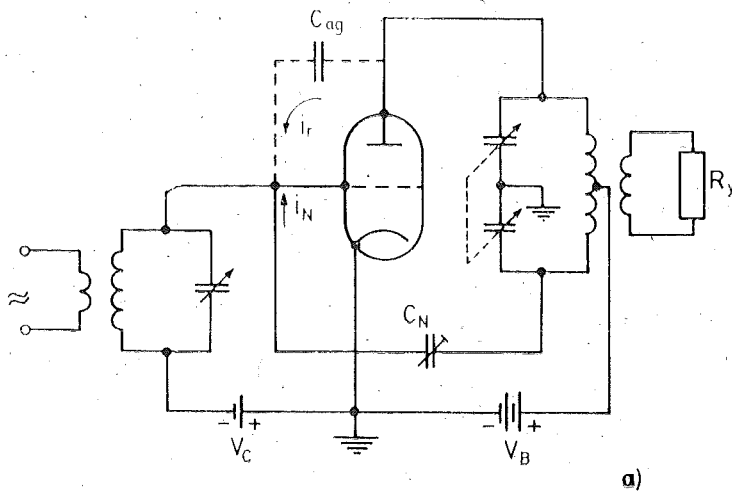


Şekil 8.43. C sınıfı puspul kuvvetlendiricide akım ve gerilimler.

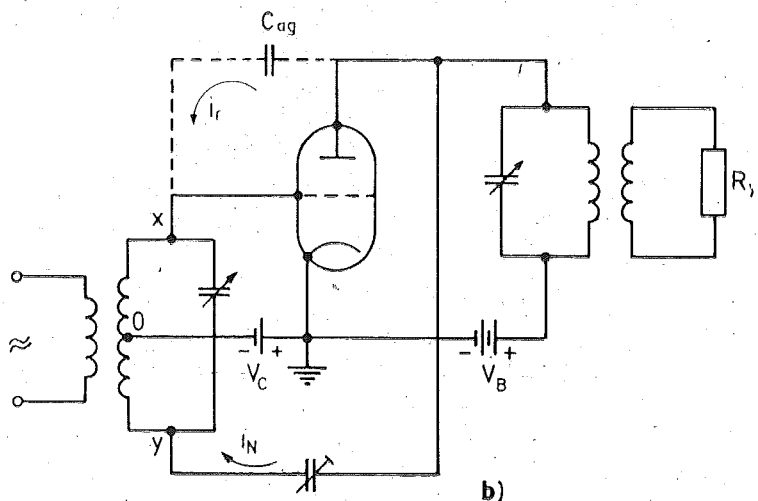
ile birlikte verilmiştir. Şekil üzerinde ayrıca,  $I_{a2}$  nin meydana getirdiği  $v_{a20}$  gerilimi ile, bunların toplamı ile orantılı olan  $v_y$  çıkış gerilimi de gösterilmiştir. Puspul C sınıfı kuvvetlendiriciler özellikle büyük çıkış güçleri elde etmek için geniş ölçüde kullanılır. Rezonans devrelerine

paralel gelen tüp kapasitelerinin, bir tübe ait kapasitenin yarısına eşit olması sebebi ile de yüksek frekanslarda tek tüplü devrelere kıyasla daha elverişlidirler.

Girişinde ve çıkışında aynı frekansa akord edilmiş birer rezonans devresi bulunan C sınıfı bir kuvvetlendirici, gerekli tedbirler alınmazsa, tübüün  $C_{ag}$  anot-izgara kapasitesi üzerinden meydana gelecek geribesleme yüzünden osilasyon yapabilir. Özellikle büyük tüplerde oldukça büyük



a)

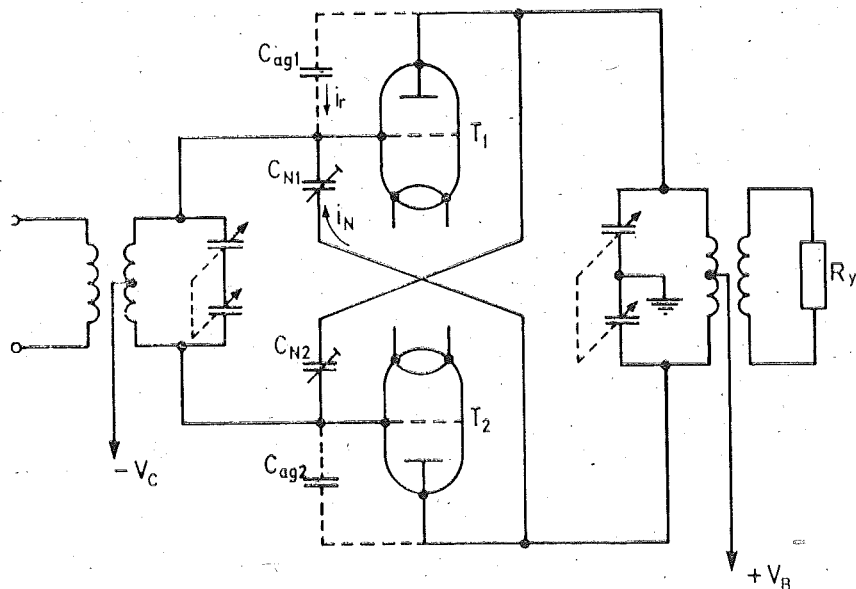


b)

Şekil 8.44. C sınıfı kuvvetlendiricilerde nötürleştirme düzenleri. (a) Hazeltine montajı, (b) Rice montajı,

olabilen bu kapasitenin ortadan kaldırılması kabil olmadığına göre, osilasyonu önlemek için etkisinin ortadan kaldırılması yoluna gitmek gerekir. Bu amaçla yapılan işe *nötürleştirme* denir. Bu amaçla en çok kullanılan devre düzenlerinden biri olan Şekil 8.44. (a) da gösterilmiş olan devreye «Hazeltine montajı» adı verilir. Tübün  $C_{ag}$  kapasitesi üzerinden, anottan izgara devresine geçen  $i_r$  geribesleme akımı, ayarlanabilir  $C_N$  kondansatörü üzerinden akıtlan,  $i_r$  ile eşit genlikli fakat zit fazda bir  $i_N$  akımı ile nötürleştirmiştir. Şekil 8.44. (b) deki devreye ise «Rice montajı» denir. Bu devrede ise  $i_r$  akımının meydana getireceği  $v_{xo}$  geriliminin,  $i_r$  ile aynı fazda olan  $i_N$  akımının meydana getireceği  $v_{yo}$  gerilimi ile zit fazda olmasından yararlanılmaktadır.

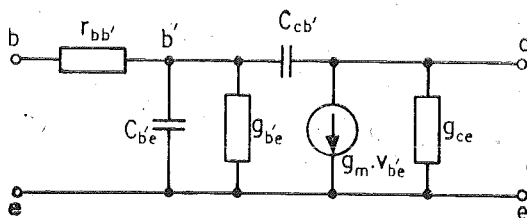
Puspul C sınıfı kuvvetlendiricilerde nötürlestirme kolay bir yoldan sağlanabilir (Şekil 8.45.).  $T_1$  tübüün anot gerilimi ile  $T_2$ 'ninki zit fazdadır. Ohalde  $T_1$ 'in anodundan izgarasına,  $C_{ag1}$  üzerinden geçen akım,  $T_2$ 'nin anodu ile  $T_1$ 'in izgarası arasına bağlanacak  $C_{N1}$  kondansatörü üzerinden akıtılacak akımla nötürlestirilebilir. Benzer şekilde  $C_{N2}$  de  $T_2$ 'nin izgarasına çıkıştan,  $C_{ag2}$  üzerinden gelen akımı nötürlestirir.



Şekil 8.45. Puspul C sınıfı kuvvetlendiricide çapraz nötürlestirme.

### 8.7.2. Tranzistorlu C Sınıfı Kuvvetlendiriciler.

C sınıfı kuvvetlendiriciler tranzistorlarla da gerçekleştirilebilir. Tranzistorlu C sınıfı kuvvetlendiricilerin tüplü devrelerden önemli bir farkı, tranzistor giriş direncinin oldukça küçük olması sebebi ile bir kattan sağlanabilen güç kazancının sınırlı olmasıdır. Yüksek frekanslara doğru gidildikçe daha da azalan güç kazancını mümkün olduğu kadar yüksek tutabilmek için tranzistorun giriş tarafında ve çıkış tarafında ayrı ayrı, maksimum güç transferi şartının sağlanması gereklidir. Yani girişteki sürücü kaynak empedansı tranzistorun giriş empedansının eşlenigine, yük empedansı da tranzistorun çıkış empedansının eşlenigine eşit olmalıdır. Bilindiği gibi bir tranzistorun yüksek frekanslardaki eşdeğer devresi Şekil 8.46. daki gibi çizilebilir. Bu eşdeğer devre aslında küçük genlikli değişimler için geçerli ise de, verdiği sonuçlar daha hatalı olmakla



Şekil 8.46. Yüksek frekanslarda kullanılmaya elverişli tranzistor eşdeğer devresi (basitleştirilmiş Giacoletto eşdeğer devresi).

beraber, büyük genlikli akım ve gerilim değişimlerinin söz konusu olduğu C sınıfı kuvvetlendiriciler için de kullanılabilir. Eşdeğer devredeki elemanların hemen hemen hepsi çalışma noktasındaki akım veya gerilim değerlerine bağlı olduklarından, büyük genlikli işaretler söz konusu olduğunda eşdeğer devre elemanlarının değerlerinin belirlenmesi kolay değildir. Bunların ya uygun bir şekilde ortalama alınarak belirlenmeleri, ya da çalışma şartlarına yakın ölçü şartları altında ölçü yolu ile belirlenmeleri gereklidir. Şekil 8.46. daki eşdeğer devre yardımıyla, girişte ve çıkışta maksimum güç transferi şartlarının sağlandığı kabul edilerek herhangi bir f frekansı için güç kazancı (elde edilebilecek en yüksek güç kazancı) hesaplanırsa

$$K_{G \max} \approx \frac{f_T}{8\pi \cdot f^2 \cdot r_{bb'} \cdot C_{cb'}} \quad (8.41)$$

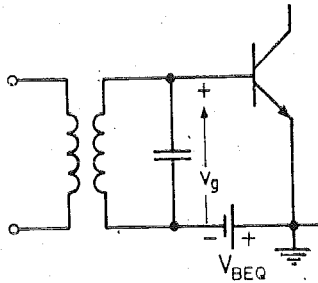
bulunur. Bu bağıntıdan güç kazancının tranzistorun özelliklerine ve fre-

kansa ne şekilde bağlı olduğu açıkça görülmektedir.  $K_{G \max}'$ 'in 1'e düştüğü frekans tanımı da evvelce verilmiş olan ve degeri

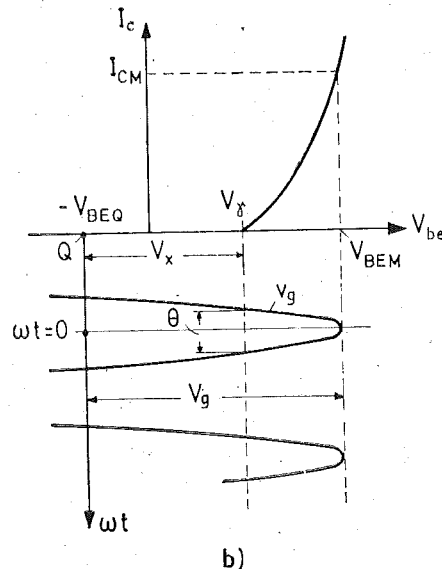
$$f_{\max} = \sqrt{\frac{f_T}{8\pi \cdot r_{bb'} \cdot C_{cb}}}$$

bağıntısı ile hesaplanabilen *maksimum osilasyon frekansi*'ndan başka birsey değildir.

Tranzistorlu C sınıfı kuvvetlendiricilerin çalışma özellikleri, tranzistorun sınır frekansına göre yeteri kadar alçak çalışma frekansları için özeğrilerden yararlanılarak incelenebilir. Şekil 8.47. de tranzistorlu bir



a)



b)

Şekil 8.47. (a) Tranzistorlu bir C sınıfı kuvvetlendiricinin giriş devresi. (b) Geçiş eğrisinden yararlanarak gerilim-akım ilişkilerinin bulunması.

C sınıfı kuvvetlendiricinin giriş devresi ile  $I_c=f(V_{be})$  geçiş eğrisi verilmiş ve çalışma noktası, sürücü işaret ve  $\theta$  akış açısı şekildeki üzerinde işaretlenmiştir. Tranzistorun akım akıtmaya başladığı  $V_\gamma$  eşik gerilimi ile  $-V_{BEQ}$  kutuplama gerilimi arasındaki uzaklık  $V_x$  ile gösterilirse  $V_x$ ,  $V_g$  sürücü işaret genliği ve  $\theta$  akış açısı arasında

$$\cos \frac{\theta}{2} = \frac{V_x}{V_g} \quad (8.42)$$

bağıntısı yazılabilir. Öte yandan, belirli bir  $I_{CM}$  kolektör tepe akımını akı-

tacak olan  $V_{BEM}$  gerilimi  $I_c = f(V_{be})$  geçiş eğrisinden okunabilir. Ayrıca

$$V_x = V_g - (V_{BEM} - V_\gamma)$$

bağıntısı (8.42) de yerine konarak

$$\frac{V_g - (V_{BEM} - V_\gamma)}{V_g} = \cos \frac{\theta}{2}$$

$$\frac{(V_{BEM} - V_\gamma)}{V_g} = 1 - \cos \frac{\theta}{2}$$

bulunur.  $V_g$  yerine de şekilden

$$V_g = V_{BEM} + V_{BEQ}$$

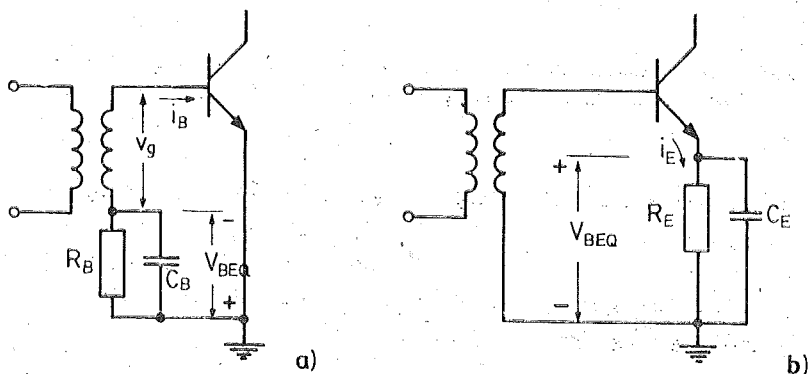
konursa

$$\frac{(V_{BEM} - V_\gamma)}{(V_{BEM} - V_{BEQ})} = 1 - \cos \frac{\theta}{2}$$

ve buradan

$$V_{BEQ} = \frac{V_{BEM} - V_\gamma}{1 - \cos \frac{\theta}{2}} - V_{BEM} \quad (8.43)$$

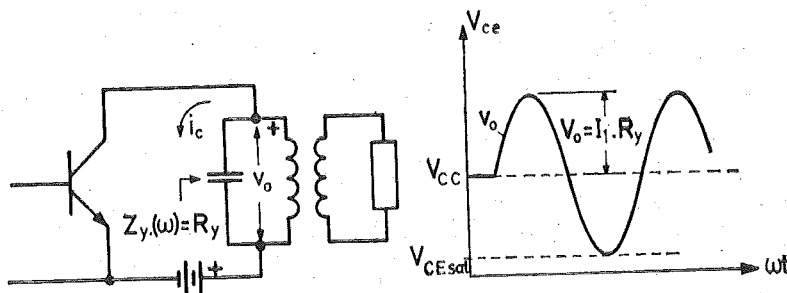
bağıntısı elde edilir. Böylece istenen bir  $I_{CM}$  tepe değeri ve istenen bir  $\theta$  akış açısı için gerekli  $V_{BEQ}$  kutuplama gerilimi bulunmuş olur. Bu gerilim  $I_{CM}$  nin değerine ve seçilen  $\theta$  ya bağlı olarak negatif, sıfır veya pozitif olabilir. Devre düzeni bakımından en elverişli durumun  $V_{BEQ} = 0$  olduğu açıktır. Büyuk güçlü devrelerde (yüksek  $I_{CM}$  değerleri söz konusu oldu-



Şekil 8.48. (a)  $V_{BEQ}$  negatif kutuplama geriliminin baz akımından yararlanılarak elde edilmesi. (b)  $V_{BEQ}$ 'nın emetör akımından yararlanılarak elde edilmesi.

ğunda)  $V_{BEQ}$  genellikle negatif çıkar. Bir kaç yüz mV mertebesinde olan bu gerilimi ayrı bir kaynaktan sağlamak yerine baz akımından veya emetör akımından yararlanarak, otomatik olarak elde etmek daha elverislidir. Şekil 8.48. (a) daki devrede baz akımı yolunun toplam direnci büyük olduğundan tranzistorun belverme gerilimi küçüller,  $V_{(BR)CEO}$  ya yaklaşır. Şekil 8.48. (b) deki devrede baz akımı yolunun toplam direnci çok küçük olacağından belverme gerilimi  $\approx V_{(BR)CES}$  ye eşittir.

Tranzistorlu C sınıfı kuvvetlendiricilerde de belirli bir  $\theta$  kolektör akımı akış açısı için kolektör akımı darbelerinin Fourier açılımındaki  $I_o$ ,  $I_1$ ,  $I_2$ , ... bileşenlerinin değerleri, Şekil 8.38. deki eğrilerden yararlanılarak, yaklaşık olarak bulunabilir. Geçiş eğrisi lineer farzedilerek çıkartılmış olan bu eğrilerden bulunacak değerlerin doğruluk derecesi yetersiz görültürse, kullanılacak olan tranzistorun  $I_c=f(V_{be})$  geçiş eğrisi yardımı ile nokta nokta çizilecek olan kolektör akımı darbesi dalga şekline, bilinen harmonik analizi metodlarından biri uygulanarak  $I_o$  doğru bileşeni ile  $I_1$  temel bileşen genliği hesaplanabilir.



Şekil 8.49. Tranzistorlu C sınıfı kuvvetlendiricide çıkış devresi ve çıkış geriliminin değişimi.

Tranzistorlu bir C sınıfı kuvvetlendiricide  $i_c$  kolektör akımı yolu üzere konulan  $\omega$  frekansına akordlu devrenin ugları arasında meydana gelecek  $\omega$  frekanslı sinüzoidal gerilim düşümünün genliği akım dalgasının temel bileşen genliği ( $I_1$ ) ile yük empedansının rezonanstanakı değerine ( $R_y$ ) bağlıdır. Bu gerilimin dalga şecline, tranzistorun doymaya girmesi sebebi ile kırılma meydana gelmemesi için genliği ( $V_{cc} - V_{CE\text{sat}}$ ) değerinden daha büyük olmamalıdır (Şekil 8.49.). Öte yandan yükle aktarılan güç  $V_o$ 'nun karesi ile orantılı olduğundan en uygun  $R_y$  değerinin

$$R_y = \frac{V_{CC} - V_{CE\ sat}}{I_1} \quad (8.44)$$

olacağı açıkları. Bu durumda  $R_y$  ye aktarılan güç

$$P_y = \frac{1}{2} \cdot \frac{(V_{CC} - V_{CE\ sat})^2}{R_y} \quad (8.45)$$

$V_{CC}$  besleme kaynağından çekilen güç

$$P_{DA} = I_o \cdot V_{CC}$$

ve verim

$$\eta = P_y / P_{DA} \quad (8.46)$$

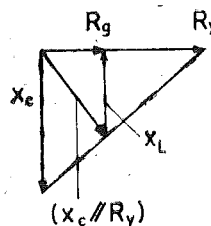
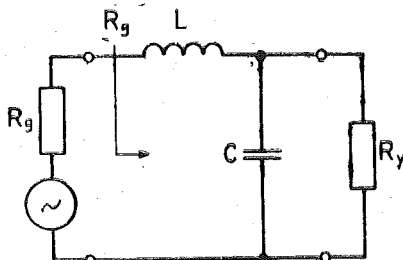
bulunur. (8.45) bağıntısında  $(V_{CC} - V_{CE\ sat})$  yerine yaklaşık olarak  $V_{CC}$  konduktan sonra (8.46) bağıntısı yardımı ile verim hesaplanırsa

$$\eta = \frac{1}{2} \cdot \frac{I_1}{I_0} \quad (8.47)$$

elde edilir. Şekil 8.38. den  $I_o$  ve  $I_1$ 'in, bunlar yardımı ile de çıkış gücü ve verimin  $\theta$  akış açısına bağlı olarak nasıl değişeceğini çıkartılabilir.

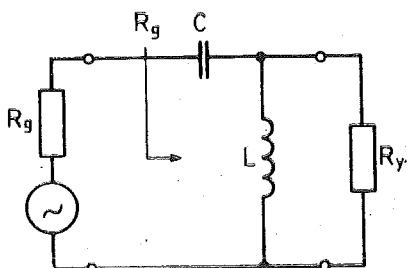
Tranzistorlu C sınıfı kuvvetlendiricilerde mümkün olan en büyük güç kazancının elde edilebilmesi için girişte ve çıkışta empedans uygunluğunun sağlanması gerektiği belirtildi. Yüksek güçlü tranzistorların çıkış iç empedansları oldukça küçük değerler olduğundan Şekil 8.49. daki paralel rezonans devreli devre bu amaca uygun değildir. Bunun yerine, rezonans devrelerinin özel şekillerinden başka birsey olmayan *empedans uydurma devresi* adı verilen devrelerden yararlanılır. Şekil 8.50. de iç direnci  $R_g$  olan bir kaynakla bir  $R_y$  yük direnci arasında, belirli bir  $\omega$  frekansında empedans uygunluğu sağlamada kullanılabilecek en basit dört devre verilmistir. İlk iki devre  $R_g < R_y$  hali için, diğerleri  $R_g > R_y$  hali için kullanılabilir. Şekil 8.51. de, daha geniş bir ayar esnekliğine sahip olan ve bu sebepten tranzistorlu C sınıfı kuvvetlendiricilerde çok kullanılan bir empedans uydurma devresi ve fazör diyagramı verilmiştir.

Tranzistorlu C sınıfı kuvvetlendiricilerde maksimum güç kazancı şartının sağlanabilmesi için giriş tarafında da sürücü kaynak (veya bir önceki katın çıkışı) ile giriş arasında empedans uygunluğu sağlanmalıdır. Bu amaç için de yukarıda verilmiş olan devreler veya benzerlerinden yararlanılır. Şekil 8.52. de katlar arası empedans uygunluğunu sağlamada çok kullanılan bir devre ve yaklaşık eşdeğeri verilmiştir.  $T_1$  tranzistorunun  $C_o$  çıkış kapasitesi ile  $L_1$  in çalışma frekansındaki paralel eşdeğeri,



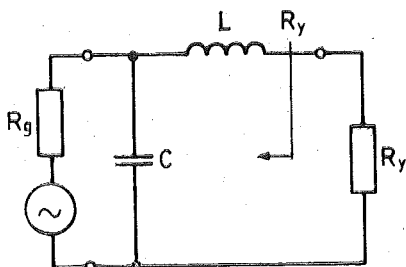
$$\omega L = \sqrt{R_g(R_y - R_g)}$$

$$\frac{1}{\omega C} = R_y \sqrt{\frac{R_g}{(R_y - R_g)}}$$



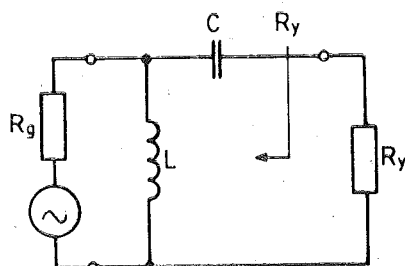
$$\frac{1}{\omega C} = \sqrt{R_g(R_y - R_g)}$$

$$\omega L = R_y \sqrt{\frac{R_g}{(R_y - R_g)}}$$



$$\omega L = \sqrt{R_y(R_g - R_y)}$$

$$\frac{1}{\omega C} = R_g \sqrt{\frac{R_y}{(R_g - R_y)}}$$

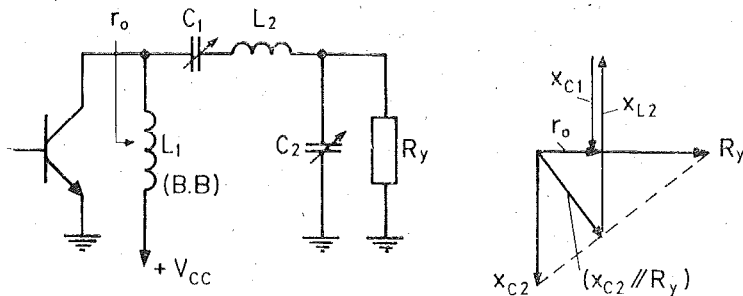


$$\frac{1}{\omega C} = \sqrt{R_y(R_g - R_y)}$$

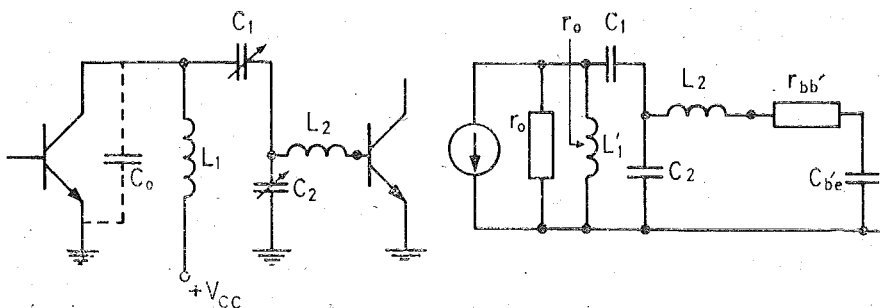
$$\omega L = R_g \sqrt{\frac{R_y}{(R_g - R_y)}}$$

Sekil 8.50. Basit empedans uydurma devreleri. (a) ve (b)  $R_g < R_y$  için, (c) ve (d)  $R_g > R_y$  için uygundur.

esdeğer devrede bir  $L_1'$  endüktansı ile gösterilmiştir.  $T_2$  nin  $f_{hfe}$  kesim frekansından yeteri kadar yüksek frekanslar için  $1/\omega C_b' \ll r_{b'}^e$  olduğu göz önünde tutularak giriş empedansı  $r_{bb}'$  ile  $C_{b'e}$  nin seri esdeğerinden ibaret kabul edilmiştir.



Sekil 8.51. Çıkış devresinde empedans uygunluğu sağlamada çok kullanılan bir devre ve fazör diyagramı.



Sekil 8.52. Katlar arası empedans uygunluğu sağlamada kullanılan bir devre ve yaklaşık esdeğeri.

### 8.7.3. Frekans Çoğaltıcı Devreler.

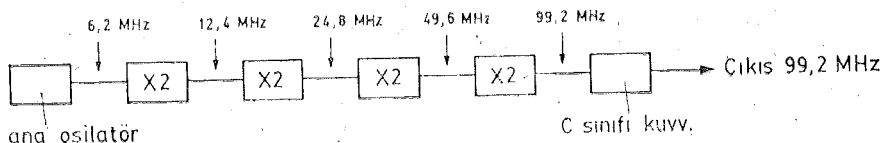
Tüplü yahut tranzistorlu C sınıfı kuvvetlendiricilerde çıkış akımı dalgasının

$$i = I_o + I_1 \cos \omega t + I_2 \cos 2\omega t + I_3 \cos 3\omega t + \dots$$

şeklinde bir Fourier serisi ile ifade edilebileceği belirtilmiştir. Bu akımın yolu üzerine koyduğumuz rezonanslı devreyi —C sınıfı kuvvetlendiricilerde yaptığımız gibi—  $\omega$  frekansına akord edecek yerde  $\omega$  nin bir tam katına (örneğin  $2\omega$  ya) akord edecek olursak empedans bu frekansta maksimum, bu frekansın uzağındaki frekanslar —bu arada  $\omega$  frekansı için—

küçük olacağından, çıkış gerilimi  $2\omega$  frekanslı, hemen hemen saf sinüsoidal bir gerilim olacaktır. Bu şekilde çıkıştaki rezonanslı devreyi (tank devresini) devrenin girişine uygulanan işaretin bir tam katına akord ederek giriş işaretini frekansından daha yüksek frekanslı bir çıkış gerilimi elde etmeye yarayan devrelere *frekans çoğaltıcı devreler* denir.

Frekans çoğaltıcı devrelerin pratikte geniş bir uygulama alanları vardır. Örneğin, FM bandında (88 ... 108 MHz) çalışan radyo yayın vericilerinde frekansın kararlılığını belirleyen ana osilatör 5 - 10 MHz mertebesinde çalışan ve frekans kararlılığı çok yüksek olan kristalli bir osilatördür. 100 MHz mertebesinde olan —ve kristalli osilatörlerle doğrudan doğruya elde edilmesi kabil olmayan— çıkış frekansına, frekans çoğaltıcı devreler kullanılarak çıkarılır (Şekil 8.53.). Pratikte en çok frekansı 2 katına çıkarılan çoğaltıcılar (frekans dublörleri) ile 3 katına çıkarılan çoğaltıcılar (frekans triplörleri), nadir olarak da frekansı 5 katına çıkarılan devreler kullanılır. Çoğaltma katsayısı ( $n$ ) yükseldikçe Fourier serisindeki  $I_n$  genliği de küçüldüğünden yüksek çoğaltma katsayıları kullanmak elverişli değildir.

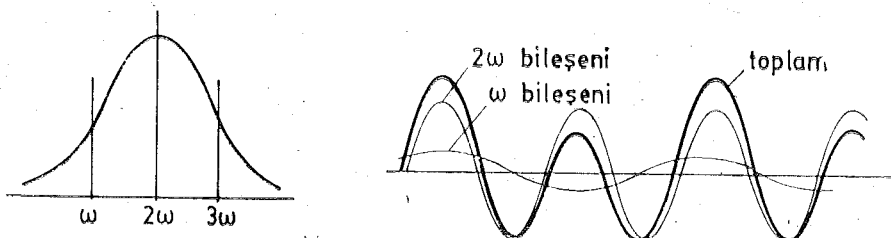


Şekil 8.53. Bir FM vericisinde 99,2 MHz'lik çıkış işaretinin 6,2 MHz'de çalışan kristalli bir osilatör ve 4 tane frekans dublörü kullanılarak elde edilmesi.

Bir frekans çoğaltıcı devrede anot veya kolektör akımı akış açısının ( $\theta$ ), çıkış akımındaki istenen harmonik bileşenin genliği maksimum olacak şekilde seçilmesi gereklidir. Şekil 8.38. den, ikinci harmonik ( $n=2$ ) için uygun  $\theta$  değerlerinin  $80 \dots 130^\circ$  aralığında, üçüncü harmonik için uygun  $\theta$  değerlerinin de  $60 \dots 120^\circ$  aralığında olduğu görülmür.  $120^\circ$  den daha büyük  $\theta$  değerlerinin özellikle 3. harmonik için çok elverisiz olduğu açıkça görülmektedir.

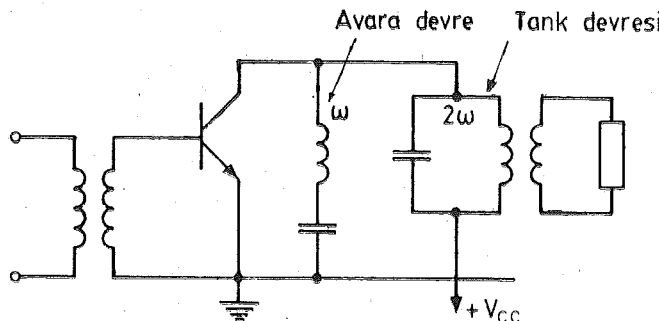
Frekans çoğaltıcı devrelerde, özellikle bir sonraki kata aktarılan gücün büyükçe olduğu hallerde yüklenme sebebi ile tank devresi değer katsayısının küçülmESİ, sakincalı bir durumun ortaya çıkmasına sebep olur. gücün büyükçe olduğu hallerde yüklenme sebebi ile tank devresi değer katsayısının küçülmESİ, bant genişliğini artırır ve Şekil 8.54. (a) da görüldüğü gibi temel bileşen ( $\omega$  frekanslı bileşen) ile 3  $\omega$  frekanslı bileşen için

empedansın çok külçük olacağım varsayıımı geçerliğini kaybeder. Bunun sonucu olarak çıkış geriliminde  $2\omega$  frekanslı bileşenin yanısıra  $\omega$  ve  $3\omega$  frekanslı bileşenler de bulunur. Akım dalgasındaki payı yüksek olduğu için  $\omega$  frekanslı gerilim bileşeninin daha büyük olacağı açıklar. Bu bileşenin varlığı yüzünden çıkış gerilimi dalga şeklinde ortaya çıkacak olan bozulma Şekil 8.54. (b) de gösterilmiştir. İdeal halde saf sinüs biçimini ve



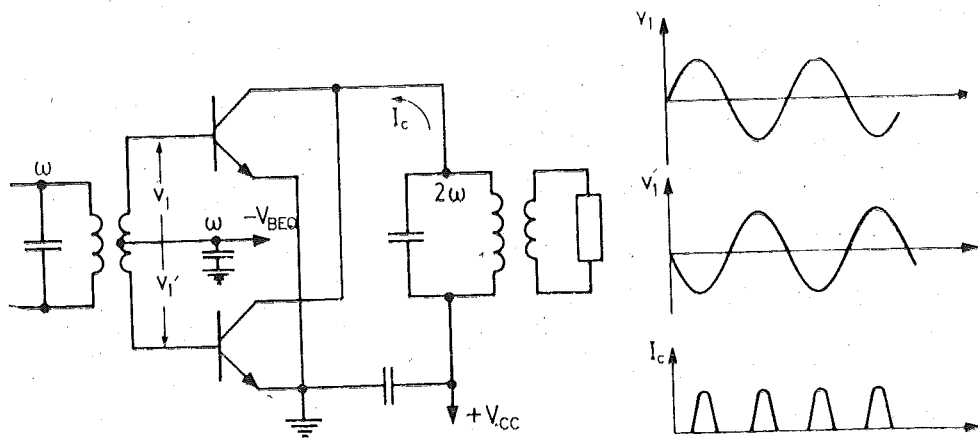
Şekil 8.54. (a) Bir frekans dublöründe tank devresi değer katsayısının küçük olmasının etkisi. (b) tank devresinin uşalarındaki toplam gerilimin dalga şekli ve bileşenleri.

$2\omega$  frekanslı bir gerilim olması gereken çıkış geriliminin dalga şekli bozulmuş, tepe değeri her peryot için aynı olmayan «topal» bir dalga şekli ortaya çıkmıştır. Bir sonraki katın sürülmesi bakımından sakincalı olan bu durumdan kurtulmanın bir yolu, çıkıştaki  $2\omega$  frekansına akordlu paralel rezonans devresine paralel olarak,  $\omega$  frekansına akordlu, yüksek Q'lu bir seri rezonans devresi bağlamaktır (Şekil 8.55.). Avara devre adı verilen bu devrenin görevi  $\omega$  frekanslı akım bileşenini kısa devre ederek çıkış gerilimindeki  $\omega$  frekanslı bileşenini ortadan kaldırmaktır.



Şekil 8.55. Çıkışında  $2\omega$  frekansına akordlu bir tank devresi ile  $\omega$  frekansına akordlu bir avara bulunan bir frekans dublörü.

Frekans dublöri olarak kullanılmaya çok elverişli bir devre de Şekil 8.55. (a) da verilmiş olan girişi simetrik - çıkışı paralel devredir (push-push devre). Devrede, giriş işaretinin her iki yarı peryodunda tank devresinden hep aynı yönde bir akım akar; yanısı çıkışındaki akım drebelerinin tekrarlanma frekansı  $2\omega$  dır. Dolayısı ile çıkış akımı drebelerinin Fourier açılımının temel bileşeni  $2\omega$  frekanslıdır ve  $\omega$  frekanslı bir bileşen zaten yoktur.



Şekil 8.56. (a) Push-push devresi, (b) gerilim ve akım dalga şekilleri.

## P R O B L E M L E R

1 — BD 135 tipi silisyum orta güç tranzistoru kullanılarak  $V_{CC}=12$  V luk bir kaynaktan beslenen, transformatör bağlamalı bir A sınıfı kuvvetlendirici yapılacaktır. Yük, 5 ohm luk bir hoparlördür. Emetör direnci uçlarında  $V_{EQ}=1$  V luk bir gerilim düşümü öngörülmüştür. Bağlama transformatörünün birinci taraf sargı direnci ihmali edilebilecek kadar küçüktür. Tranzistor için önemli büyüklükler :

- |  |                                |
|--|--------------------------------|
| Kolektör akımı ortalama değeri maksimumu   | : $I_c=1$ A                    |
| Kolektör akımı tepe değeri maksimumu   | : $I_{CM}=1,5$ A               |
| Kolektör-emetör dayanma gerilimi   | : $V_{BR(CEO)}=45$ V           |
| Kılıf sıcaklığı $T_c \leqslant 70^\circ\text{C}$ için maksimum güç kaybı : $P_{tot}=8$ W |                                |
| Doyma gerilimi ( $I_{CM} < 1,5$ A için)  | : $V_{CE\ sat} \leqslant 1$ V  |
| Akim kazancı   | : $h_{fe} \approx h_{FE} > 30$ |

- $I_c=I_{CE}$  ( $V_{CE}$ ) çıkış özeğrileri düzleminde güvenli çalışma bölgesini işaretleyiniz.
  - Güvenlik sınırını aşmaksızın maksimum çıkış gücünü sağlamak için gerekli Q çalışma noktası ile  $R_E'$  a.a. yük direncini belirleyiniz.
  - $R_E$  emetör direncini,  $f_{min}=30$  Hz alarak  $C_E$  kondansatörünü,  $S(I_{CQ}, h_{FE}) \leqslant 0,2$  olması ve öngörülen çalışma noktasının sağlanması için gerekli  $R_1, R_2$  baz böülücü dirençlerini hesaplayınız.
  - Transformatörün değiştirme oranı ne olmalıdır? Birinci taraf self endüktansı en az ne kadar olmalıdır? Neden?
  - Transformatör veriminin % 70 olduğunu kabul ederek maksimum çıkış gücü için devrenin toplam verimini hesaplayınız.
- 2 — Problem 1 deki tranzistorun jonksiyondan kılıfa ısil direnci  $10^\circ\text{C}/\text{W}$  dir. Yalıtım için etkin alanı  $1 \text{ cm}^2$  olan  $0,05 \text{ mm}$  kalınlığında bir mika levha kullanılacaktır.

a) Ortam sıcaklığının  $40^{\circ}\text{C}$ 'a kadar olan değerleri için kılıf sıcaklığının  $70^{\circ}\text{C}$ 'ı aşmaması için nasıl bir soğutucu kullanılır?

b) Bu durumda, tranzistorda maksimum güç harcanırken jonksiyon sıcaklığı kaç  $^{\circ}\text{C}$  olur?

3 — BD 135 tranzistorları kullanılarak transformatörlü puspuslu bir B sınıfı kuvvetlendirici gerçekleştirilecektir. Besleme gerilimi  $V_{cc}=12\text{ V}$ , yük  $R_y=5\text{ ohm}$ 'dur. Önemli büyüklükler Problem 1 de verildiği gibidir. Ayrıca eşik gerilimi  $V_\gamma=0,6\text{ V}$  olarak verilmiştir.

a) Devreden yükle maksimum güç aktarılabilmesi için gerekli yük direncini ve çıkış transformatörünün değiştirme oranını hesaplayınız.

b) Tranzistorlardan birinden maksimum akım akarken  $R_E$  üzerindeki gerilim düşümünün  $0,5\text{ V}$  dan büyük olması istenmiyor (Neden?).  $R_E$  ne olmalıdır?

c)  $R_1$  ve  $R_2$  dirençlerinin değerleri ne olmalıdır? (Hangi etkenler göz önünde bulundurulmalı?)

d) Devrenin maksimum verimi (transformatörünki hariç) ne kadarıdır?

e) Maksimum çıkış gücü alınırken tranzistorlarda harcanan güç ne kadardır?

4 — BD 135 ve eşleniği olan p-n-p tipi BD 136 tranzistorları ile transformatörsüz B sınıfı bir ses frekansı kuvvetlendiricisi yapılacaktır. Kaynak gerilimi  $V_{cc}=12\text{ V}$  dur. BD 136 nin önemli büyüklükleri Problem 1 de verilmiş olan BD 135 inkilerin aynıdır.

a) Kullanılacak yükün (hoparlörün) direnci en az ne kadar olabilir?

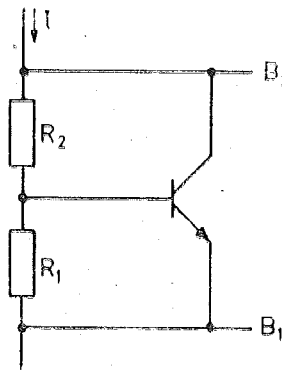
b) Bağlama kondansatörünün kapasitesi ne kadar olmalıdır? ( $f_{min}=50\text{ Hz}$  alınacaktır).

c) Devreden elde edilecek maksimum çıkış gücü ve bu durumdağı verim ne kadardır?

d) Çıkış katını surmek için kullanılacak devreyi tasarlayınız.

5 — Şekil 8.30. (b) deki «sözde Darlington» çiftinin küçük işaret giriş direncini, kısa devre akım kazancını ve eğimini basitleştirilmiş esdeğer devreleri kullanarak hesaplayınız. Sonuçları normal Darlington çiftinininkilerle karşılaştırınız.

6 — Eşlenik tranzistorlu B sınıfı kuvvetlendiricilerde, çıkış tranzistorlarını geçiş distorsiyonu olmayacak şekilde kutuplamak için Şekil 8.25. deki diyotlar yerine aşağıdaki devre kullanılabilir.



a)  $V_{B1B2}$  gerilimini  $R_1$  ve  $R_2$  ye bağlı olarak veren bağıntıyı çıkartınız ve yorumlayınız. Bu devrenin iki (veya üç) diyot kullanmaya göre üstünlüğü nedir?

b) Çıkış tranzistorlarının bazlarının değişken işaretler bakımından aynı potansiyelde olması için  $r_{B1B2} \ll R_C$  olmalıdır.  $r_{B1B2}$  yi veren bağıntıyı çıkartınız ve yorumlayınız.

7 — (8.37) bağıntısını çıkartınız ve yorumlayınız.

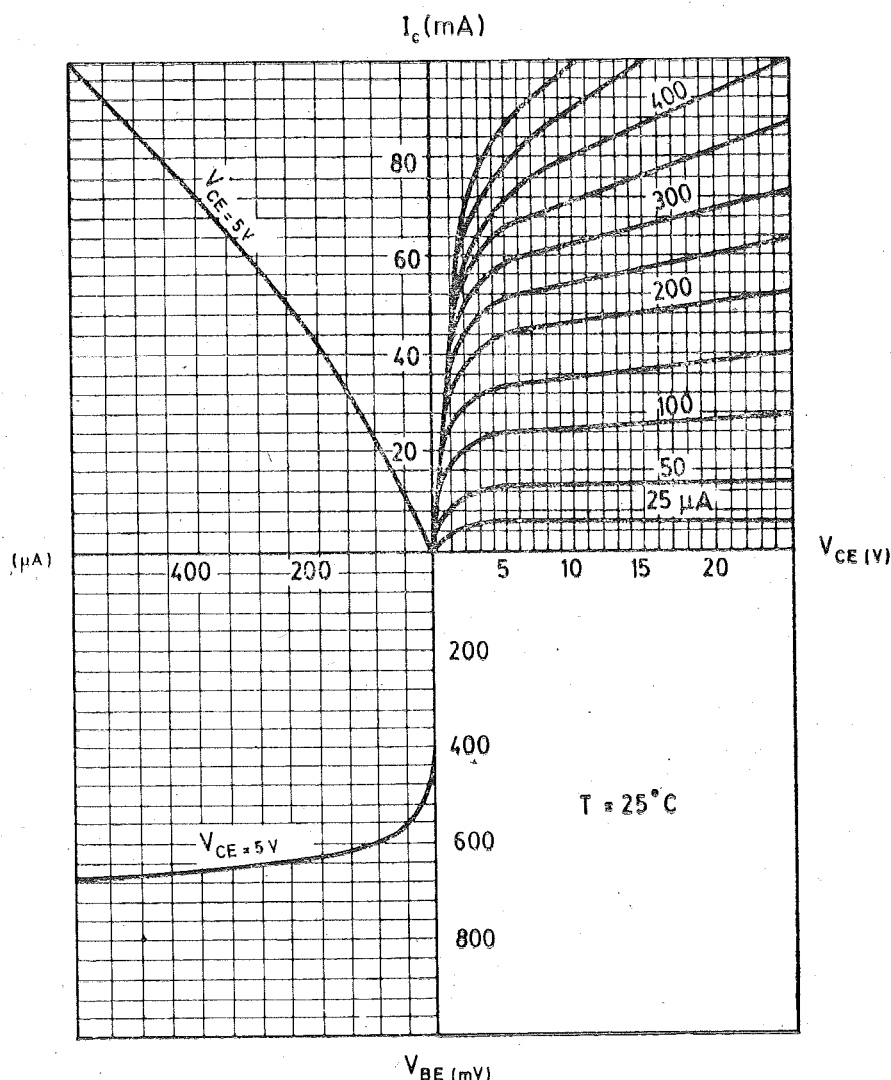
8 — Bir C sınıfı kuvvetlendiricinin nötürlestirme ayarının çıkış katı çalıştırılmazdan önce yapılması gereklidir. Bu ayarın Şekil 8.44. deki devrelerden herbiri için ne şekilde yapılması gerektiğini nedenleri ile açıklayınız. Ayar yapılmadan çıkış katının çalıştırılmasının (anot gerilimi uygulanmasının) sakıncaları nelerdir?

9 — (8.41) bağıntısını çıkartınız. Bu bağıntı ile (3.86) bağıntısı arasındaki ilişkiyi açıklayınız (Bağıntıyı çıkartırken söz konusu frekanslarda biribirlerine göre ihmali edilemeyecek direnç ve reaktansları dikkatle belirleyerek gerekli basitleştirici ihmalleri yapınız).

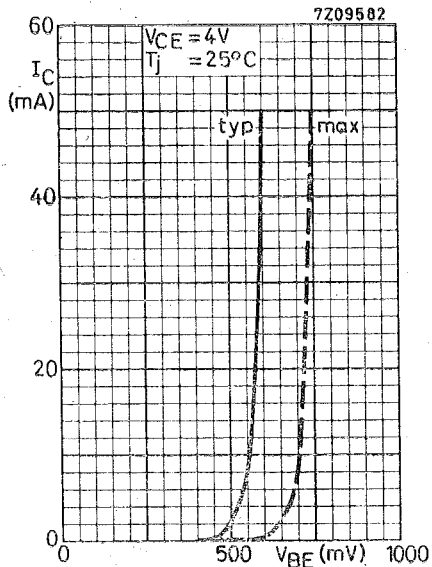
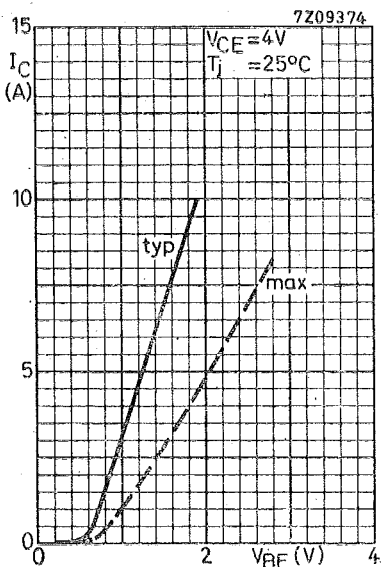
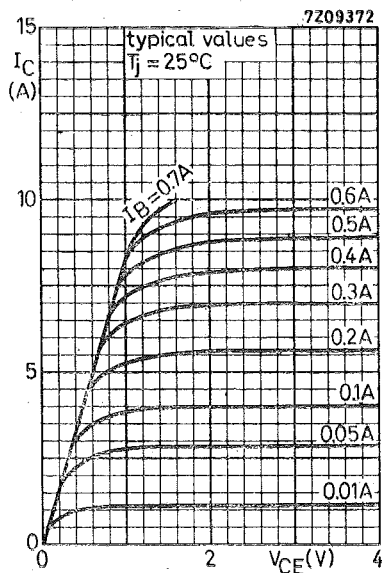
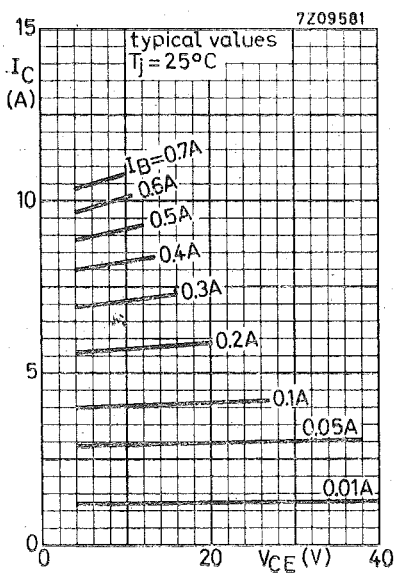
10 — a) Şekil 8.50. (b), (c) ve (d) için fazör diyagramlarını çiziniz.

b) Şekil 8.51. de verilmiş olan fazör diyagramını yorumlayınız. Bu diyagramdan yararlanarak devrenin ayarının nasıl yapılabileceğini açıklayınız.

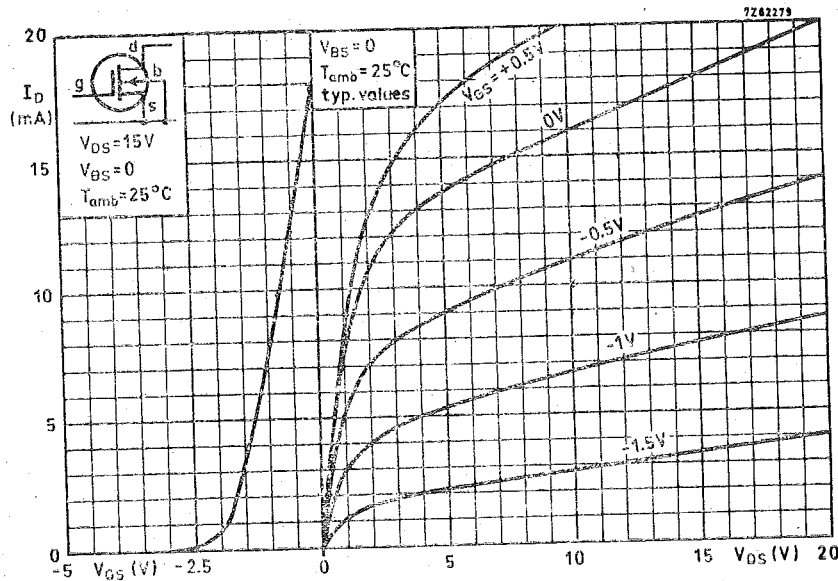
## E K — 1



BC 107 A tipi n-p-n silisyum tranzistorun özeğrileri.

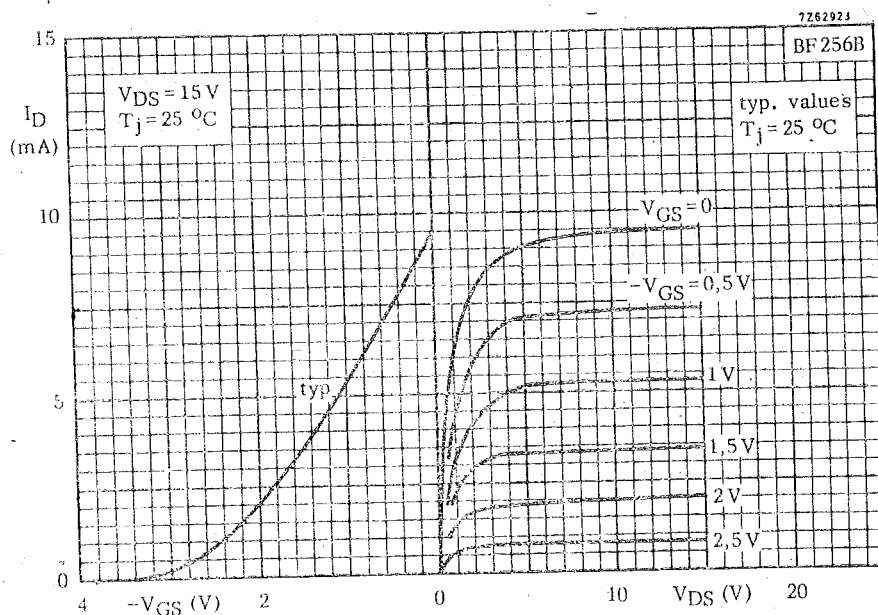


BDY 20 tipi n-p-n silisyum güç tranzistorunun özeğrileri. Sınır değerleri:  $I_{CM(\text{max})} = 15 \text{ A}$ ,  $V_{(BR)CBO} = 100 \text{ V}$ ,  $V_{(BR)CEO} = 60 \text{ V}$ ,  $P_{\text{tot}} = 115 \text{ W}$  (kilif tabanı sıcaklığının  $25^\circ\text{C}$  den küçük değerleri için),  $T_j \text{ max} = 200^\circ$ .



BFR 29 tipi n-kanallı MOS tranzistorun özeğrileri.

( $g_m > 6 \text{ mA/V}$ ,  $I_{DSS} = 10 \dots 40 \text{ mA}$ )



BF 256 B tipi n-kanallı silisyum jonksiyonlu FET'in özeğrileri.

( $g_m > 4,5 \text{ mA/V}$ ,  $I_{DSS} = 6 \dots 13 \text{ mA}$ )

## E K — 2

### YARIİLETKEN DEVRE ELEMANLARI İLE İLGİLİ HARF SEMBOLLER (IEC Publication 148'den özetlenmiştir)

#### AKIM, GERİLİM VE GÜÇ İÇİN HARF SEMBOLLER

##### Temel Harfler

Akim : I , i

Gerilim : V , v

Güç : P , p

(Küçük harf semboller yalnızca zamanla değişen ani değerleri göstermek için kullanılır).

##### İndisler

|             |   |
|-------------|---|
| A , a       | Anot ucu  |
| (AV) , (av) | Ortalama değer  |
| B , b       | Baz ucu, (MOS elemanlarda, taban)   |
| (BR)        | Belverme  |
| C , c       | Kolektör ucu  |
| D , d       | Savak (drain) ucu   |
| E , e       | Emetör ucu  |
| F , f       | İleriye doğru   |
| G , g       | Geçit ucu   |
| K , k       | Katod ucu   |
| M , m       | Tepe değeri   |
| O , o       | Üçüncü indis olarak : İndiste belirtilmemiş olan uç açık devredir.  |
| R , r       | Birinci indis olarak : Geriye doğru   |
|             | İkinci indis olarak : Tekrarlanan, tekrarlanabilen  |
|             | Üçüncü indis olarak : İndiste belirtilmemiş olan uç ile referans ucu arasında belirli bir diferenç bulunması halinde. |

(RMS), (rms) etkin (efektif) değer

**S , s** Birinci ve ikinci indis olarak : Kaynak (source) ucu (yalnız FET'lerde)

İkinci indis olarak : Tekrarlanmayan (FET'ler için geçerli değil!)

Üçüncü indis olarak : İndiste belirtilmemiş olan uç referans ucuna kısa devre edilmiştir.

**X , x** Belirli bir devre

**Z , z** Referans diyotlarında ve gerilim regülatörü diyotlarında R indisine yerine yazıldığından diyodon çalışma gerilimini, akımını yahut gücünü belirtmede kullanılır.

— Büyük harf indisler su büyülüklükleri belirtmede kullanılır :

- Doğru bileşen (değişken bileşen yok yahut hariç). Örnek :  $I_B$
- Toplam ani değer. Örnek :  $i_B$
- Toplam ortalama değeri. Örnek :  $I_{B(AV)}$
- Toplam tepe değeri. Örnek :  $I_{BM}$
- Toplam etkin değer. Örnek :  $I_{B(RMS)}$

— Küçük harf indisler yalnızca değişken bileşenlere ilişkin büyülüklüklerin belirtilmesinde kullanılır.

- Ani değer. Örnek :  $i_b$
- Etkin değer. Örnek :  $I_{b(rms)}$
- Tepe değeri. Örnek :  $I_{bm}$
- Ortalama değer. Örnek :  $I_{b(av)}$

**N o t :** Birden fazla indis gereğinde, her iki türü de bulunan indislerin ya hep büyük harf türü, ya hep küçük harf türü kullanılır.

### Akumlar İçin Kullanılan Indisler

Tranzistorlarda : Akımı taşıyan uç, birinci indisle belirtilir. (Akımın referans yönü, dış devreden söz konusu uca doğru akan akım pozitif olacak sekildedir.)

Örnekler :  $I_B$ ,  $i_B$ ,  $i_b$ ,  $I_{bm}$

Diyotlarda : Geçirme yönünde (anot ucundan içeriye) akan akım F yahut f indisile, tıkama yönünde akan akım R yahut r indisile belirtilir.

Örnekler :  $I_F$ ,  $I_R$ ,  $i_F$ ,  $I_{f(rms)}$

## Gerilimler İçin Kullanılan İndisler

**Tranzistorlarda :** Bir gerilimin ölçüldüğü uçlar, —ikinci indis referans ucu olmak üzere— ilk iki indisle belirtilir. Herhangi bir karıştırma ihtimali yoksa ikinci indis yazılmayabilir.

Örnekler :  $V_{BE}$ ,  $v_{BE}$ ,  $v_{be}$ ,  $v_{bem}$

**Diyotlarda :** Geçirme yönünde (anot katoda göre pozitif olacak şekilde) uygulanan bir gerilimi belirtmek için F yahut f sembolü tikama yönü gerilimi için ise R yahut r sembolü kullanılır.

Örnekler :  $V_F$ ,  $V_R$ ,  $v_f$ ,  $V_{rm}$

## Besleme Kaynağı Gerilimleri Yahut Akımları İçin Kullanılan Semboller

Besleme kaynağı gerilimleri yahut akımları, kaynağın bağlandığı ucun sembolü tekrarlanarak belirtilir.

Örnek :  $V_{CC}$ ,  $I_{EE}$

**N o t :** Referans ucuının da belirtilmesi gerekli ise bu, üçüncü indisle gösterilir.

Örnek :  $V_{CC}$

## Aynı Cinsten Birden Fazla Ucu Olan Elemanlar İçin Kullanılan Semboller

Bir elemanın aynı cinsten birden fazla ucu varsa bunlar o uca ilişkin sembol ve bunu izleyen birer numara ile belirtilir. Çok harfli indis halinde karışıklığı önlemek için bir ayırma çizgisi gerekebilir.

Örnekler :  $I_{B2}$  İkinci baz ucuna giren doğru akım.

$V_{B2-E}$  İkinci baz ucu ile emetör ucu arasındaki doğru gerilim.

## Cok Birimli Elemanlar İçin Kullanılan Semboller

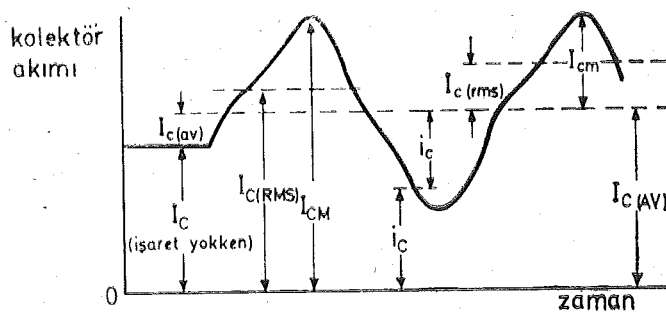
Cok birimli elemanlar için indis harflerinin önüne birer numara getirilir. Yanlış anlamayı önlemek amacıyla ayırma çizgisi kullanılabilir.

Örnekler :  $I_{2c}$  Eleman içindeki 2 numaralı birimin kolektör doğru akımı.

$V_{1C-2C}$  1 ve 2 numaralı birimlerin kolektör uçları arasındaki doğru gerilim.

## Kuralların Uygulanması

Aşağıdaki şekilde bir tranzistorun kolektör akımı zamanın fonksiyonu olarak gösterilmiştir.



## **ELEKTRİKSEL PARAMETRELER İÇİN HARF SEMBOLLER**

### **Tanım**

Bu yayında «elektriksel parametre» deyimi dört uçlu matrisi parametreleri, elektriksel eşdeğer devre elemanları, elektriksel empedans ve admitanslar ile endüktans ve kapasiteler için kullanılmıştır.

### **Temel Harfler**

Yarıiletken devre elemanlarının elektriksel parametreleri için kullanılan en önemli temel harf semboller şunlardır :

**B , b** : Süzeptans; bir admitansın sanal kısmı

**C** : Kapasite

**G , g** : İletkenlik; bir admitansın gerçel kısmı

**H , h** : Karma (hibrit) parametreler

**L** : Endüktans

**R , r** : Direnç; bir empedansın gerçel kısmı

**X , x** : Reaktans; bir empedansın sanal kısmı

**Y , y** : Admitans

**Z , z** : Emпеданс

### **Büyük harf semboller**

- Dış devrelerin yahut yarıiletken elemanın sadece bir parçasını oluşturuğu devrelerin elektriksel parametrelerini,
- Bütün endüktans ve kapasiteleri göstermek için kullanılır.

Küçük harf semboller elemanın iç parametrelerini göstermek için kullanılır (endüktans ve kapasiteler hariç).

## İndisler

### Genel İndisler :

Yariletken elemanların elektriksel parametrelerini göstermede kullanılan en önemli indisler şunlardır :

**F , f** : ileriye doğru

**I , i (yahut 1)** : giriş

**L , l** : yük

**O , o (yahut 2)** : çıkış

**R , r** : geriye doğru

**S , s** : kaynak

Örnekler :  $Z_s$ ,  $h_f$ ,  $h_F$

Bir indisin büyük harf türü, statik (doğru akım) değerlerinin belirtilmesinde kullanılır.

Örnekler :  $h_{FE}$  ortak emetörlü bağlama şekli için ileriye doğru akım transfer oranının statik değeri (d.a. kazancı)

$R_e$  Dış devre elemanı olan emetör direncinin d.a. değeri.

**N o t :** Statik değer ilgili özeğri üzerinde koordinat başlangıç noktasından çalışma noktasına çizilen doğrunun eğimi, yani çalışma noktasına ilişkin büyülüklüklerin oranıdır.

Bir indisin küçük harf tipi küçük- işaret değerlerinin belirtilmesinde kullanılır.

Örnekler :  $h_{fe}$  Ortak emetörlü devrede ileriye doğru kısa kısa devre akım transfer oranının küçük- işaret değeri.

$Z_e = R_e + jX_e$  Dış devre empedansının küçük- işaretler için değeri.

**N o t :** Birden fazla indis kullanılacaksa her iki türü de bulunan indislerin ya hep büyük harf türü, ya hep küçük harf türü kullanılır.

Örnekler :  $h_{FE}$ ,  $y_{RE}$ ,  $h_{fe}$

## Dört Uçu Parametreleri İçin Kullanılan İndisler

İlk harf indis (yahut ikili sayısal indis) giriş, çıkış, ileriye doğru transfer ve geriye doğru transfer'i belirtir.

Örnekler :  $h_i$  (yahut  $h_{11}$ )

$h_o$  (yahut  $h_{22}$ )

$h_f$  (yahut  $h_{21}$ )

$h_r$  (yahut  $h_{12}$ )

Devre şeklini belirtmek için ilâve bir indis kullanılır. Herhangi bir karıştırma ihtimali yoksa bu indis kullanılmayacaktır.

Örnekler :  $h_{fe}$  (yahut  $h_{21e}$ ) ,  $h_{FE}$  (yahut  $h_{21E}$ )

## Gerçel ve Sanal Kısımların Ayırıldılması

Bir elektriksel parametrenin gerçel ve sanal kısımlarının ayırdılması gerektiğinde ilâve indis kullanılmaz. Gerçel ve sanal kısımlar için özel semboller varsa bunlar kullanılabilir.

Örnekler :  $Z_i = R_i + jX_i$

$Y_{fe} = g_{fe} + jb_{fo}$

Böyle özel semboller yoksa, yahut özel sembollerin kullanılması elverişli değilse aşağıdaki gösterim şekli kullanılacaktır :

Örnekler :  $Re(h_{ib})$   $h_{ib}$  nin gerçel kısmı

$Im(h_{ib})$   $h_{ib}$  nin sanal kısmı

## **ALFABETİK İNDEKS**

### **A**

- A sınıfı çalışma 300  
A sınıfı güç kuvvetlendiricileri 302, 312  
AB sınıfı çalışma 302  
Admitans parametreleri 79  
Akım kaynağı 222, 224  
Akım kazancı 124  
Akım kontrol elemanı 8  
Akış açısı 300, 339  
Akord bozukluğu katsayısı 252  
Akordlu kuvvetlendiriciler 248, 286  
Aktif yük 227  
Alan etkili tranzistor 105  
Alt kesim frekansı 126, 170  
Art arda bağlama 128, 256

### **B**

- B sınıfı çalışma 300  
Bağlı sıcaklık katsayısı 53  
Bağlama kondansatörü 49, 168, 198  
Bağışmali rezonans devreleri 265  
Band genişliği 126, 189, 251, 258  
Baskın kutup 189  
Belverme gerilimi 32  
Bootstrap 150, 329  
Butterworth karakteristiği 262

### **C**

- C sınıfı çalışma 302  
C sınıfı kuvvetlendiriciler 337, 350  
Chebyshev karakteristiği 263, 272, 278  
CMRR 220  
Çalışma geçiş eğrisi 44, 309  
Çalışma noktası 14, 43, 158  
Çift akordlu kuvvetlendirici 265  
Çıkış direnci 75, 125  
Çıkış transformatörü 302

### **D**

- Darlington çifti 149, 230, 332  
Değer katsayısı 249, 343  
Desibal 129  
Difüzyon kapasitesi 92  
Diyodon çalışma eğrisi 5  
Diyodon küçük işaret direnci 7, 31  
Diyot 3, 29  
Doğru akım yük doğrusu 43, 305  
Doğru gerilim kuvvetlendiricileri 210, 213  
Doğrudan doğruya bağlama 210  
Doğrusal çalışma bölgesi 44  
Doyma 40, 44  
Dublör 357  
Duyarlık 54, 215, 217

### **E**

- Early katsayısı 85  
Ebers - Moll modeli 100  
Eğilme 199  
Eğim 15, 80, 83, 231  
Eğrisellik bozulması 47, 161  
Elektron tüpleri 10  
Emetör bağlamalı kuvvetlendiriciler 216  
Emetör gakislı devre 146  
Empedans uydurma devreleri 354  
Eşik gerilimi 4  
Eşlenik tranzistorlu kuvvetlendirici 323

### **F**

- $f_{max}$  frekansı 100  
 $f_T$  frekansı 98  
Fakirleşmiş bölge 24  
Fark işaret kazancı 219  
Fark kuvvetlendiricisi 216, 218

FET 105

Fiziksel parametreler 84

Frekans çoğaltıcı devreler 356

Frekans eğrileri 126

**G**

Geçirme yönünde kutuplama 28

Geçiş bölgesi 24

Geçiş bozulması (distorsiyonu) 321

Geribeslemeli kutuplama devresi 57

Gerilim kazancı 124

Giaceletto eşdeğer devresi 96

Giriş dengesizlik akımı 229

Giriş direnci 74, 125

Gövde direnci 95

Güç kazancı 123, 350

Güç kuvvetlendiricileri 299

**H**

h parametreleri 72

Hibrit parametreler 72

**I, İ**

İş ile elektron salma 10

İşıl direnç 334

İşıl kararlılık 52, 333

İşıl sürüklendirme 238

İşlemsel kuvvetlendirici 238

**J**

Jonksiyon kapasitesi 92

Jonksiyonlu FET 105

**K**

Kademeli akord 261

Karma parametreler 72

Karma  $\pi$  eşdeğer devresi 96

Kaskad bağlama 128

Kazanç ayarı 231

Kazanç - band genişliği çarpımı 255

Kirpılma 47

Kısıtlama 108, 113

Kompanzasyonlu kutuplama devreleri

66

Komplemanter simetrik kuvvetlendirici

323

Köprüleme kondansatörü 60, 176, 199

Kritik bağlaşma (kuplaj) 269

Küçük işaret eşdeğer devreleri 71

Kutuplama devreleri 49

Kuvvetlendirici 42, 123

**M**

Maksimum düzülkte frekans eğrisi 261,

271

Maksimum güç hiperbolü 307

Maksimum osilasyon frekansı 100, 351

Miller teoremi 183

MOSFET 111

**N**

Negatif direnç 189

Nötürleştirmeye 285, 349

**O**

Ortak bazlı devre 35, 82, 86, 152

Ortak emetörlü devre 35, 72, 134

Ortak işaret kazancı 219

Ortak işaret zayıflatma oranı 219

**P**

p-n jonksiyonu 24

Pentot 17

Piezoelektrik rezonatör 289

Puşpul kuvvetlendirici 313, 345

**S**

Satırasyon 40

Seçicilik 259

Sıfır - kutup diyagramı 170, 191, 250, 260, 268

Simetrik çıkışlı kuvvetlendirici 144

Simetrik kuvvetlendirici 300, 313

Sınır değerler 307

Sınır frekansları 97

Sogutucu 71, 335

Sürüklendirmeli kutuplama 150

**A**

Vakumlu diyot 11  
Verim 299, 308, 317, 337, 354

**X**

Y parameteleri 79  
Yahilimis geggidi FET 111  
Yarillikeler 22  
Yükseleme stirlesi 194, 202

**Z**

Zener gerilimi 32  
Zener diyodu 32

Üst kesim frekansı 126, 190  
Uzun kuyruklu devre 216

**B, D**

Transistor 33  
Transistor özegitler 38  
Triplör 357  
Tryot 12  
Tremolator 35  
Transformatör pusplu kuvvetlenenid-  
riti 323  
Tremolektromik emisyon 10  
Tikama yonunde kütüplama 27  
Termodinamik puspları pusplu kuvvetlenenid-  
riti 323  
Terminator 68  
Termoelektronik emisyon 10  
Tikama yonunde kütüplama 27  
Transistor 33  
Triplör 357  
Tryot 12  
Uzun kuyruklu devre 216  
Üst kesim frekansı 126, 190

**T**

Tank devresi 342  
Tipe dagalığı 263  
Terminator 68  
Termodinamik puspları pusplu kuvvetlenenid-  
riti 323  
Tremolator 35  
Tremolator özegitler 38  
Triplör 357  
Tryot 12

